

CCR2023

中华医学会 第30次全国放射学学术大会 CHINESE CONGRESS OF RADIOLOGY 2023



会议指南 PROGRAM



CCR2023官网

江苏 · 苏州
Suzhou, Jiangsu

2023年11月16-19日
Nov.16-19, 2023

主办单位:
中华医学会 中华医学会放射学分会

承办单位:
江苏省医学会 江苏省医学会放射学分会



中国专业医疗影像 智慧平台整体解决方案商



- ◇ 工信部网络安全产业发展中心应用创新典型解决方案
- ◇ 国内首个通过云影像信创国产化认证厂商



1、卡易AI PACS

- ◇ 原生态支持对象存储
- ◇ 支持信创国产化
- ◇ 支持人工智能
- ◇ 支持区域检查互认调阅
- ◇ 支持检查波形一体化调阅
- ◇ 临床调阅支持三维后处理
- ◇ 支持与第三方AI算法集成
- ◇ 通过医疗器械注册认证

2、新基建影像中台

- ✓ 包括数据中台和业务中台，实现多方数据协同处理
- ✓ 提供医疗影像数据治理结构化，支持科研和论文工作
- ✓ 涵盖影像全领域应用，为医院提供完备支持
- ✓ 协同应用、无缝数据共享和跨系统协同处理
- ✓ 助力医院建设，支撑医院评级



3、无极云影像平台

- ◇ 分布式高并发云影像引领者
- ◇ 国内首个信创国产化认证云影像厂家
- ◇ 国内荣誉最多及规模最大的地市级云影像平台
- ◇ 首个互联互通五级乙等案例
- ◇ 国内多个省市级影像云平台案例
- ◇ 工信部网络安全产业发展中心应用创新典型解决方案



目 录

欢迎辞 / Salutatory.....	3
荣誉会员 / Honorary Member.....	7
大会组织机构 / Congress Committee.....	10
中华医学会放射学分会第十六届委员会	12
中华医学会放射学分会第十六届委员会党的工作小组	12
CCR2023 会议须知	13
CCR2023 Meeting Information	16
苏州国际博览中心平面图 Suzhou International Expo Center Floorplan.....	19
CCR2023 日程一览表.....	22
CCR2023 Program at a Glance.....	23
CCR2023 详细日程.....	24
开幕式	24
主旨演讲	24
主题演讲	24
国际会场	26
神经学组	34
头颈学组	39
心胸学组	46
乳腺学组	52
腹部学组	57
骨关节学组	67
儿科学组	74
介入学组	78
磁共振学组	83
分子影像学组	91
青年学组	96
护理学组（筹）	103
传染病学组（筹）	106
基层放射科能力提升工作组	109



医学影像质量控制与管理规范工作组	110
对比剂使用和安全工作组	112
政府事务及法律与维权工作组	115
医学影像教育工作组	116
大数据与科学工作组	117
会员发展及国内交流工作组	118
临床多学科合作工作组	119
医工交叉工作组	121
医学影像人工智能工作组	122
科普工作组	125
群英会	127
闭幕式	127
卫星会	128
电子壁报安排	129
大会主要合作伙伴	198
展览平面图	199
参展商名录	200



欢迎辞 / Salutatory



尊敬的各位放射界同道、朋友们：

2023年11月16至19日，在中华医学会的直接领导下，中华医学会放射学分会举办的“中华医学会第30次全国放射学学术大会”将在苏州盛大启幕。本届大会是疫情三年后，中华放射学界首次线下全国大会，在此我谨代表中华医学会放射学分会和大会组委会，诚挚邀请全国放射界同道和朋友们，共襄盛会、共谋发展。

本届大会以“高质量发展”的理念为引领，以“赋能县域高质发展”作为会议主题，旨在打造医学影像学多学科融合、创新发展的国际化学术交流平台。在这里，我们将展示放射领域新动态，研讨影像发展新趋势，分享学术研究新成果，探究赋能县域新路径。希望通过此次大会，促进学术思想的碰撞和交流，推动放射学领域的创新与发展，促进县域影像的同质化和疑难疾病诊治能力的提升，让放射诊疗的进步转化为人民群众实实在在的获得感、幸福感和安全感。

忆往昔峥嵘岁月，久别重逢的我们将比以往更加热情洋溢，会议气氛将更加隆重而热烈；看今朝百舸争流，我们汇聚在这里凝心聚力，务实笃行，把握时代脉动，谱写中华放射学的新篇章。

苏州城东，金鸡湖畔，新地标“东方之门”高耸入云，它不但见证了这座古老历史名城“强富美高”的现代蝶变，也必将见证2023这一届精彩绝伦的放射盛会。期待与大家苏州相聚，共享精彩，共话未来。

刘士远

中华医学会第30次全国放射学学术大会主席
中华医学会放射学分会主任委员



欢迎辞 / Salutatory



Distinguished guests at home and abroad, dear fellows,

From November 16 to 19, 2023, under the direct leadership of the Chinese Medical Association, the “30th Chinese Congress of Radiology (CCR 2023)”, hosted by the Chinese Society of Radiology (CSR), will be held in Suzhou, China. This conference marks the first in-person national conference in the Chinese radiology community after three years of the Covid-19 pandemic. I would like to express my most sincere thanks and warmest welcome to everyone.

This conference is guided by the concept of “High-Quality development” and takes “Empowering Counties for High-Quality Development” as its theme. The aim is to create an international platform for multidisciplinary integration and innovative development in the field of medical imaging. Here, we will showcase the latest developments, discuss emerging trends, share new academic research achievements, and explore new pathways for empowering county-level areas in Radiology. Through this conference, we hope to facilitate the collision and exchange of academic ideas, drive innovation and development, promote the standardization of radiology in county-level areas, and enhance the diagnostic and treatment capabilities for complex diseases. Our goal is to translate the progress in radiological diagnosis and treatment into tangible benefits for the well-being, happiness, and security of the general public.

Recalling the past, with its memorable and challenging years, our reunion after a long separation will be filled with even more warmth and enthusiasm, making the conference atmosphere more grand and passionate than ever. As we witness the countless vessels of today’s challenging times, we gather here, united in purpose, committed to practical action, and ready to seize the pulse of the era. Together, we will craft a new chapter in Chinese radiology.

On the eastern side of Suzhou, by the shores of Jinji Lake, the new landmark “Gateway to the East” soars into the sky. It not only bears witness to the modern transformation of this ancient historical city, known for its strength, prosperity, beauty, and height, but it will also bear witness to the extraordinary radiological event of 2023. We look forward to meeting you all in Suzhou, sharing in the excellence, and discussing the future together.

Shiyuan Liu, M.D.

President, the 30th Chinese Congress of Radiology

President, Chinese Society of Radiology



欢迎辞 / Salutatory



尊敬的各位专家、各位同道：

你们好！

由中华医学会和中华医学会放射学分会共同主办，江苏省医学会和江苏省医学会放射学分会承办的中华医学会第30次全国放射学学术大会（CCR2023）将于2023年11月16-19日在苏州隆重举办。本次会议为三年来首次线下召开的学术年会，专家同仁期待已久。大会邀请了国内外三百多位知名专家莅临大会作学术讲座和指导。我谨代表大会承办方暨江苏省全体放射同仁对各位到来表示诚挚的欢迎和衷心的感谢！

作为此次大会的东道主，能够承办此次放射学术盛会而倍感荣幸！衷心感谢中华医学会、中华医学会放射学分会给与江苏放射界莫大的信任与支持。衷心感谢江苏省医学会为大会的举办提供强有力的支持，感谢苏州市医学会、上海市放射学会为大会的筹备工作提供的支持和协助，感谢江苏省尤其是苏州市各大医院的放射同仁的积极参与和无私贡献。

苏州，以古典园林为底，以千年古城为核，处处皆景，城在园中。一座姑苏城，半部江南诗。小桥、流水、人家，粉墙黛瓦，带来如梦如画的江南景致；游园、小巷、茶馆，吴侬软语，体会如痴如醉的诗意风雅。苏州“快与慢”、“古典与现代”和谐共存，体现了“崇文睿智、开发包容、争先创优、和谐致远”的苏州文化和城市精神。苏州是个好地方！

“花径不曾缘客扫，蓬门今始为君开”。历经三年抗疫，我们首次线下相聚。时隔七年，我们重逢金鸡湖畔。我们热情期待与您共聚一堂、共襄盛会，共叙友情、共话未来！

江苏欢迎您！苏州在等您！

胡春洪

中华医学会第30次全国放射学学术大会执行主席
江苏省医学会放射学分会主任委员



欢迎辞 / Salutatory



Distinguished experts and colleagues,

The 30th Chinese Congress of Radiology (CCR2023), co-sponsored by the Chinese Medical Association and the Chinese Society of Radiology, is organized by the Jiangsu Medical Association and the Jiangsu Society of Radiology. This conference will be held in Suzhou from November 16 to 19, 2023. It is the first annual academic conference held in person in three years, and experts have been looking forward to it for a long time. More than 300 experts, well-known beyond the border of China, are invited to give academic lectures and guidance. On behalf of the organizer of this congress and all the radiology colleagues in Jiangsu Province, I would like to express my sincere welcome and heartfelt thanks to all of you.

As the host of this conference, we are deeply honored to have the opportunity to organize this prestigious academic event in the field of radiology. We sincerely appreciate the trust and support given to Jiangsu society of radiology by Chinese Medical Association and Chinese Society of Radiology. We are grateful to the Jiangsu Medical Association for providing strong support to the conference, as well as the Suzhou Medical Association and the Shanghai Society of Radiology for their assistance in the preparations. We also express our thanks to the active participation and selfless contributions of radiology department from various hospitals in Jiangsu, particularly in Suzhou.

Suzhou, decorated with classical gardens and built upon a thousand-year-old ancient town, is a garden city filled with beautiful scenery. It is a city where you can enjoy most of the beauty in areas south of the lower reaches of the Yangtze River. Here, the delicate bridges over flowing water, together with the local houses with white walls and black roof-tiles, form a beautiful view like a Chinese painting. Moreover, the classical gardens, alleys, and tea houses immersed in the soft Wu dialect create a poetic atmosphere for all the people here. Suzhou is also a city where the fast-paced modern tempo balances the relatively slow-paced traditional lifestyle, which perfectly shows the spirit of the city, that is, admiring literacy and wisdom, adopting openness and inclusiveness, competing to create excellence, and achieving a harmonious society. Suzhou is a heaven on earth!

As an ancient Chinese poem goes, “the floral path hasn’t been swept as no one happens to come, but now for you the door opens”. It has been seven years since we met last time. This is also the first time we meet face to face after three-year-long fighting against Covid-19. We are happy to welcome you by the beautiful Jinji Lake. Let’s gather together, communicate together and cooperate together, to jointly create a brighter future.

Welcome to Jiangsu! Suzhou is waiting for you!

Chunhong Hu, M.D.

Executive President, the 30th Chinese Congress of Radiology
President, the Jiangsu Society of Radiology

荣誉会员 / Honorary Member



Konstantin Nikolaou MD.

Prof. Dr. Konstantin Nikolaou is now working in Diagnostic and Interventional Radiology University Hospitals Tübingen, Germany as distinguished professor. Prof. Nikolaou graduated from Ludwig-Maximilians-University of Munich in 2000 and then worked as residency in clinical radiology department as residency. He has been fellow in cardiology and cardiovascular imaging, imaging science laboratories in Mount Sinai School Medicine in USA in 2003. He became vice chair of the department of clinical radiology in Ludwig-Maximilians-University of Munich in 2007. Then he has been the chairman of diagnostic and interventional radiology of University Hospital Tübingen, Germany since 2014.

Prof. Nikolaou has been engaged in the clinical, teaching and scientific research of cardiac imaging for a long time, and has achieved fruitful results. He has published more than 400 scientific papers the cumulative IF is about 1515. He had written 25 book chapters and had done 3 books editions work. He is editorial board member for many international radiology journal in different sections. And he also has been member of the “Program Planning Committee” of different section for several ECR and RSNA annual meetings. In the 2017 ECR meeting, he was the chairman of Subcommittee Cardiac Imaging. He got lots of third-party funding & grants and was project lead for several funding & grants. Prof. Nikolaou also got awards from hospital, international symposiums and societies.

Prof. Nikolaou is member of the executive board of the European Society of Cardiac Radiology, ESCR, and had been member of finance committee of International Society of Magnetic Resonance in Medicine, executive board member of European Society of Molecular, Translational and Hybrid imaging (ESH), executive committee member of the Research Committee of ECR. He was 2016-2017 president of European Society of Molecular and Functional Imaging in Radiology, ESMOFIR.

In 2023, Prof. Nikolaou was elected as president of DRG (Germany Radiology Society). In his term, Prof. Nikolaou will focus on internationalization, science and research in radiology, as well as hospital and outpatient care reform and the shortage of radiology professionals. Young radiology professional training will be his key task during his term.

Nikolaou is keen on international exchanges and collaboration. He played different roles in international journals and international societies. He is also interested in collaboration with CSR. Prof. Nikolaou has given presentation on CCR annual meeting international session. And as local host, joined SPARK project which was training program for Chinese young talent to learn in Germany hospital for several months. We believe, with his efforts, the collaboration between DRG and CSR will reach a new level.

Konstantin Nikolaou, 医学博士。

Prof. Dr. Konstantin Nikolaou 是德国图宾根大学的杰出荣誉教授。Nikolaou 教授 2000 年毕业于德国慕尼黑大学医学院，2000-2006 年在慕尼黑导学医院放射科担任住院医生。并于 2003 年在美国西奈山医学院心脏病和心血管影像研究室担任研究员。2007-2014 年担任德国慕尼黑大学医院放射科副主任，从 2014 年起担任德国图宾根大学医院诊断和介入放射科科室主任。

Nikolaou 教授长期从事放射学的临床、教学和科研工作，学术成果累累。Nikolaou 教授累计发表了 400 篇文章，总的影响因子达到 1515 分，进行过 3 本书的编辑以及 25 个书籍章节的撰写编辑。Nikolaou 教授是多个国际期刊的编委会成员，也多次参与 RSNA、ECR 等全球知名国际学术会议的组织，是议程设计委员会的成员，并担任了 2017 年 ECR 会议心脏影像学术委员会的主席。Nikolaou 教授获得了多项基金项目支持并担任多个项目的负责人。

Nikolaou 是欧洲心血管放射学会的执行委员会委员，曾经担任国际磁共振学会财务委员会成员、欧洲分析、转化和混合成像学会的执行委员会委员、欧洲放射学会研究委员会执行委员会委员，并曾与 2016-2017 年担任欧洲分析和功能影像学会的主席。

2023 年 Nikolaou 教授被选为德国放射学会的主席。作为德放主席，Nikolaou 教授将重点关注放射学的国际化和放射学领域的科学和研究工作、同时关注医院和门诊服务的改革以及放射学专业人才短缺问题。Nikolaou 将年轻人的培养视为其任期内的中心任务。

Nikolaou 教授希望促进放射学领域的国际化交流与合作，担任多个国际学术杂志的编委会成员的同时也在多个国际学会组织中发挥重要作用。Nikolaou 教授曾在中放年会国际会场进行演讲和学术交流，并参与了中国青年人才培养计划—SPARK 项目，为中国年轻人才提供在德国交流学习的机会。相信德放在 Nikolaou 教授的带领下将和中放的合作迈上新的台阶。

荣誉会员 / Honorary Member



Jeong Min Lee MD, PhD.

Dr. Jeong Min Lee is working at the Seoul National University Medical School as Professor of Radiology. Prof. Lee graduated from Chonbuk National University in 1986, and received his Ph.D from Chungnam National University in 2004. He served as assistant professor of radiology of Seoul National University College of Medicine from 2002 to 2007, as the Associate Professor of Radiology of Seoul National University College of Medicine from 2007 to 2012, as the Professor of Radiology of Seoul National University College of Medicine since 2012, and as Chief Radiologist of Abdominal Imaging and nonvascular intervention section (2010-2016).

Prof. Lee has been engaged in the clinical, teaching, and scientific research of abdominal imaging for a long time, and has achieved fruitful results. His primary research interests encompass MR imaging diagnosis of hepato-biliary and pancreatic diseases, multiparametric MRI for oncologic diseases, MR elastography, and image-guided tumor ablation. He has authored numerous influential papers on the diagnosis of liver and biliary cancers, dual-energy CT, functional MR imaging for oncologic diseases, and radiofrequency tumor ablation for liver cancers. He published more than 470 scientific articles in international journals and received more than 70 grant supports. He is an esteemed member of the Editorial Board of several journals including Radiology, KJR, Cancer Imaging, and Liver Cancer. Furthermore, he is a distinguished member of The Korean Academy of Science and Technology and the National Academy of Medicine of Korea. In recognition of his contributions to the field, Dr. Lee has been honored as a fellow of ESGAR, and the International Society for Magnetic Resonance in Medicine (ISMRM). In 2022, he received the prestigious RSNA Honored Educator Award for his exemplary educational efforts.

Currently, Prof. Lee serves as the President of the Korean Society of Radiology and Chair of the Educational Committee for the Asia-Oceanian Society of Radiology. He has been awarded as a visiting professor (guest professor) by some hospitals, such as West China Hospital, and built a research platform cooperation with many top hospitals, and made more than 100 lectures in China. He has promoted the development of Asian Society of Abdominal Radiology and Asian Oceanian Society of Radiology in China positively, which has improved the international academic exchange of Chinese scholars.

Jeong Min Lee (李政旼), 医学博士, 理学博士

李政旼医生目前为首尔国立大学医学院放射科教授。李教授1986年毕业于全北国立大学, 2004年获忠南大学博士学位。2002年至2007年任首尔国立大学医学院放射学助理教授, 2007年至2012年任首尔大学医学院放射学副教授, 2012年起任首尔国立大医学院放射学教授, 并担任腹部成像和非血管介入科首席放射科医生(2010-2016年)。

李教授长期从事腹部影像学的临床、教学和科研工作, 并结出丰硕成果, 是国际著名的腹部影像专家。其主要研究方向包括肝、胆、胰疾病的MR影像诊断、肿瘤的多参数MRI、MR弹性成像和影像引导下的肿瘤消融, 撰写了众多具有影响力的学术论文, 涉及肝癌和胆管癌的诊断、双能CT、肿瘤的功能MR成像以及肝癌的射频消融。他在国际期刊上发表了470多篇文章, 获得70多项基金资助, 为Radiology、KJR、Cancer Imaging、Liver Cancer等多个国际期刊编委会的资深成员, 他亦为韩国科学技术院和韩国国立医学院的杰出成员。为表彰其在该领域的贡献, 李教授被荣邀为ESGAR和国际医学磁共振学会(ISMRM)的成员。2022年, 因其在教育方面的杰出贡献, 荣获享誉盛名的RSNA荣誉教育家奖。

李教授为现任韩国放射学会主席和亚洲大洋洲放射学会教育委员会主席; 已被华西医院等聘为客座教授; 搭建与三甲医院的科研合作平台, 在中国受邀学术等近100次; 积极推动亚洲腹部放射学会和亚洲大洋洲放射学会在中国的发展, 他的杰出贡献极大地促进了中国放射学学者的国际交流。

荣誉会员 / Honorary Member

Jean-Pierre,TASU MD.

French medical doctor degree, Paris and doctor degree in physic Degree, Paris-Sud University, current position is head of the interventional radiology department, University Hospital of Poitiers, France

Main area of expertise is diagnostic imaging in abdominal diseases and peripheral interventional radiology. Research has been the subject of 92 publications already indexed in PubMed.

Prof. Jean-Pierre has multiple position in a large of well-known medical society. Member of the French Society of radiology (SFR), the European Society of Radiology (ECR), the Radiology Society of North America (RSNA), and the European Society of Gastrointestinal and Abdominal Radiology (ESGAR), International Society of Radiology (ISR) board member, ESGAR ambassador for France, Member of the CIRE (Committee on International Radiology Education) committee of the RSNA, Vice president of the SFR for the foreign relationships. Head of the Oncology group of the SFR, Editor in Chief of the French radiology educational Journal (JIDI, Elsevier Masson, Paris)

Prof. Jean-Pierre is not only a leader in radiology and interventional radiology, but also show deep communication bonds between China and France in academic exchange

Jean-Pierre,TASU

拥有法国巴黎医学博士学位和巴黎南部大学物理学博士学位，现任法国普瓦捷大学医院介入放射科主任。

主要专业领域是腹部疾病的诊断成像和外周介入放射学。PubMed 已经收录了 92 篇研究论文。

Jean-Pierre 教授担任多个著名放射学会的学术任职，法国放射学会（SFR）、欧洲放射学会（ECR）、北美放射学会（RSNA）和欧洲胃肠和腹部放射学会（ESGAR）委员，国际放射学会（ISR）委员，ESGAR 驻法国大使，RSNA CIRE（国际放射教育委员会）委员会委员，SFR 负责对外关系的副主席、SFR 肿瘤组组长，法国放射学教育杂志主编（JIDI, Elsevier Masson, 巴黎）等。

Jean-Pierre 教授不仅是放射学和介入放射学领域的领军人物，而且在学术交流中展现了中法深厚的沟通纽带。



大会组织机构 / Congress Committee

大会主席：刘士远

大会共同主席：金征宇 陈 敏

大会名誉主席：刘玉清 戴建平 祁 吉 郭启勇 冯晓源 徐 克

大会副主席：洪 楠 王培军 宋 彬 张惠茅

大会顾问：陈星荣 周康荣 闵鹏秋 张云亭 滕皋军 周纯武 冯敢生 胡道予 卢光明
郭佑民

大会执行主席：胡春洪

大会秘书长：萧 毅

大会学术委员会

主任委员：刘士远

共同主委：金征宇 陈 敏

副主任委员：洪 楠 王培军 宋 彬 张惠茅

委员：（按姓氏笔划排序）

于春水 马 林 马 静 王光彬 王 青 王振常 王 健 王培军 王梅云 王锡明 卢再鸣
卢光明 卢 洁 叶兆祥 冯晓源 朱 力 朱文珍 刘士远 刘文亚 刘再毅 刘爱连 江新青
许茂盛 孙应实 严福华 李宏军 李松柏 李绍林 时高峰 吴飞云 余永强 宋 彬 张龙江
张永海 张志勇 张 明 张 勇 张晓琴 张雪宁 张敏鸣 张 敬 张惠茅 张 辉 陈 峰
陈 敏 邵剑波 范 丽 范国光 罗天友 罗良平 金征宇 周 石 周俊林 郑传胜 郑敏文
居胜红 赵心明 胡春洪 查云飞 钟红珊 侯 阳 姜慧杰 洪 楠 袁慧书 贾文霄 徐 克
郭佑民 陶晓峰 萧 毅 曹代荣 银 武 梁长虹 彭卫军 彭 飞 韩 丹 程英升 程敬亮
曾自三 曾献军 蒲 红 鲜军舫 廖伟华 薛华丹

大会组织委员会

主任委员：刘士远

共同主委：金征宇 陈 敏

副主任委员：洪 楠 王培军 宋 彬 张惠茅

执行主委：胡春洪 李 澄 邢 伟

秘书长：萧 毅 黄 莉

副秘书长：居胜红 吴飞云 薛华丹 黄 伟 侯 阳 汪登斌 娄 昕 殷信道 张龙江

工作秘书：关 澈 李春媚 祝因苏 王希明 彭新桂



委员：（按姓氏笔划排序）

于 红	于经瀛	于春水	马 林	马 静	王光彬	王 青	王忠敏	王怡宁	王绍武	王 健
王 悍	王培军	王梅云	王 维	王锡明	王鹏程	方向军	龙莉玲	平学军	卢再鸣	卢 洁
叶兆祥	田 捷	冯晓源	宁 刚	边 杰	邢 伟	吕发金	吕 粟	吕 滨	朱 力	朱文珍
刘士远	刘凤永	刘文亚	刘玉林	刘亚欧	刘再毅	刘 刚	刘爱连	刘 斌	刘 强	刘 笛
江新青	许茂盛	许建荣	孙应实	孙洪赞	孙艳秋	严志汉	严福华	李小虎	李小明	李子平
李玉梅	李 东	李宏军	李松柏	李绍林	李春媚	李家平	李 雪	李跃华	李 静	李 澄
杨文洁	杨 帆	杨 军	杨军乐	杨 健	杨 旗	肖书萍	肖喜刚	时高峰	吴飞云	吴仁华
吴 敏	吴燕燕	邱士军	余永强	汪登斌	沙 炎	沈定刚	宋 伟	宋 彬	宋 炖	张大明
张小安	张水兴	张龙江	张永海	张伟国	张志勇	张志强	张 岚	张 明	张佳胤	张 勇
张晓琴	张雪宁	张雪君	张敏鸣	张 敬	张惠茅	张 辉	陈卫国	陈 峰	陈 爽	陈 敏
陈 晶	邵剑波	范 丽	范国光	范维鹏	罗天友	罗良平	罗德红	金征宇	周 石	周建军
周俊林	郑传胜	郑海荣	郑祥武	郑敏文	居胜红	赵 丹	赵心明	赵世华	胡春洪	查云飞
钟玉敏	钟红珊	侯 阳	施裕新	姜慧杰	娄 眇	洪 楠	袁慧书	夏黎明	顾雅佳	徐俊卿
徐海波	殷信道	高家红	郭佑民	唐 豪	陶晓峰	黄 伟	萧 毅	曹代荣	龚良庚	龚启勇
银 武	梁 栋	彭卫军	彭 飞	彭 芸	韩 丹	程英升	程晓光	程敬亮	曾小红	曾自三
曾洪武	曾蒙苏	曾献军	谢传森	蒲 红	雷军强	蔡思清	鲜军舫	廖伟华	黎海亮	薛华丹
										薛蕴菁

会务工作委员会（按姓氏笔划排序）

丁庆国	王中秋	王正阁	王冬青	王守巨	王 菁	王丽君	王希明	王建良	尤 超	牛 磊
文娣娣	方向明	计一丁	叶 靖	田为中	付志辉	邢 伟	师毅冰	朱俊凤	朱 凌	任美吉
刘万花	刘希胜	许建铭	李小虎	李亚楠	李 丽	李若坤	李勇刚	李晓晨	李海歌	李 澄
杨 明	杨 凯	肖朝勇	吴飞云	吴献华	吴燕燕	沈文荣	沈钧康	沈海林	张玉东	张龙江
张 冰	张红梅	张志强	张 宏	张宗军	张继斌	张 鑫	陈双庆	陈宏伟	陈 杰	陈建新
陈晓丽	苗重昌	范国华	金东生	周 丹	周科峰	周 晖	周 智	单 飞	单秀红	郎 宁
居胜红	胡坚兴	胡春洪	胡春峰	胡 奕	柯晓艾	柏根基	施海彬	姜建威	祝因苏	顾文豪
顾红梅	徐 凯	徐 怡	徐秋贞	徐 峰	徐高峰	殷信道	郭莉莉	唐文伟	黄 伟	曹志宏
戚荣丰	龚沈初	盛 茂	常 婕	崔 磊	梁 斌	彭雪华	彭新桂	蒋 震	程广军	程晓青
蔡 庆	熊美连	潘昌杰	戴真煜							

中华医学会放射学分会第十六届委员会

主任委员：刘士远

前任主任委员：金征宇

候任主任委员：陈 敏

副主任委员：洪 楠 王培军 宋 彬 张惠茅

常务委员：

马 林 鲜军舫 袁慧书 赵心明 于春水 张 辉 刘爱连 严福华 居胜红

曹代荣 王梅云 朱文珍 刘再毅 郑敏文 周俊林

委员：

卢 洁 孙应实 薛华丹 叶兆祥 张雪宁 张 敬 时高峰 张晓琴 范国光 卢再鸣 钟红珊

侯 阳 姜慧杰 程英升 彭卫军 陶晓峰 萧 毅 胡春洪 吴飞云 张龙江 许茂盛 张敏鸣

余永强 曾献军 王光彬 王 青 王锡明 张 勇 查云飞 郑传胜 廖伟华 江新青 李绍林

罗良平 曾自三 陈 峰 罗天友 王 健 蒲 红 周 石 韩 丹 银 武 张 明 张永海

朱 力 刘文亚 马 静

中华医学会放射学分会第十六届委员会党的工作小组

组 长：刘士远

委 员：金征宇 陈 敏 王培军 洪 楠 宋 彬 朱文珍 周俊林 萧 毅

具体分工：

纪检委员：洪 楠

宣传委员：朱文珍

组织委员：宋 彬

群工委员：王培军

青年委员：周俊林



CCR2023 会议须知

会议时间：2023 年 11 月 16 – 19 日

会议地点：苏州国际博览中心

江苏省苏州市苏州大道东 688 号

会议语言：中文，国际会场要求每位演讲者提供中英文双语幻灯

会议注册及资料领取

1. **注册区地点：**苏州国际博览中心 B 馆 1 层大堂

2. 工作时间：

11 月 16 日 09:00–20:00

11 月 17–18 日 07:30–17:30

11 月 19 日 08:00–11:00

胸卡

所有参会人员进入会场，展厅及参加大会活动时需佩戴胸卡。胸卡遗失将不予补办，请妥善保管。未佩戴胸卡者，工作人员将有权谢绝其参与学术交流、参观展厅及其他大会活动。

胸卡颜色标示：**红色和橘红色 -VIP**

蓝色 - 正式参会代表

黄色 - 工作人员

绿色 - 参展企业人员

用餐

大会提供 11 月 17–19 日午餐，不提供晚餐。用餐时间地点安排如下

	午餐盒饭（12:00–12:30）
11 月 17 日	卫星会会场门口及 C3 馆（C 馆三层）
11 月 18–19 日	C3 馆（C 馆三层）

大会班车安排

11 月 16 日 10:00–20:00 逢整点发车，送代表从会场返回大会会议酒店

11 月 17 日早 06:45–07:15 从大会会议酒店门口设通勤车接代表到会场，晚 18:00–18:45 从会场返回大会会议酒店

11 月 18 日早 07:00–07:30 从大会会议酒店门口设通勤车接代表到会场，晚 18:00–18:45 从会场返回大会会议酒店

11 月 19 日早 07:00–07:30，从大会会议酒店门口设通勤车接代表到会场，中午 12:00–12:30 从会场返回大会会议酒店

请注意 17 日、18 日及 19 日从会场返回酒店的班车乘车地点为苏州国际博览中心 D 馆 3 层 D3 馆。

会议酒店如下：

1. 苏州柏颐酒店（苏州金鸡湖博览中心店）
2. 和颐至格酒店（苏州金鸡湖博览中心店）
3. 锦江之星品尚（苏州园区君地曼哈顿广场店）
4. 格林东方酒店（苏州园区博览中心阳澄湖店）



5. 桔子水晶苏州金鸡湖国际博览中心酒店
6. 苏州工业园区智选假日酒店
7. 苏州观园琉苏酒店
8. 苏州工业园区东沙湖亚朵酒店
9. 苏州金鸡湖希尔顿欢朋酒店
10. 美锦沃姆酒店（苏州李公堤精品店）
11. 美锦酒店（苏州金鸡湖内湾店）
12. 苏州书香世家酒店（星海店）

学术交流信息：

1. 大会试片室位于苏州国际博览中心 A 馆 A101 房间
2. 工作时间如下：

11月16日	13:00-19:00
11月17日	07:15-17:30
11月18日	07:30-17:30
11月19日	07:30-11:00

请专题讲座专家和大会发言者在发言前至少提前提前半天，将幻灯文件提交大会试片室。

学术组联系人：祝因苏 13675186571，黄伟 18905165002

未经预先请假，无故不按时参加讲课发言和会议主持者，会议将澄清事实后在放射学会网站提出通报批评并取消下一年度大会的相应资格。

讲者须知

- 根据全国继续教育委员会要求，从 2010 年起，会议主办方会后需提交所有讲者的 PPT 文件，以期对继续教育项目进行抽查考评及评估该继续项目今后的申报资质。
- 组委会提倡讲者提供会后可供代表免费分享的 PPT，我们在此向您的学术公益行为表示敬意和感谢。
- 讲者须在报到后再次核对本日程册内的发言时间安排、熟悉会场位置。
- 讲者须准备中文幻灯，国际会场的讲者请准备中英文幻灯各一套，在发言前至少提前提前半天，将 PPT 提交至大会试片室。金鸡湖厅（三层 B301）、A102-103、A104-105、A106-107 会场屏幕尺寸比例为 16:9，其他会场屏幕尺寸比例为 4:3。由于会议时间安排紧张，所有会场内不允许讲者使用自带的电脑。
- 讲者须提前 20 分钟进入会场，严格遵守会议时间安排，超时发言幻灯将自动关闭。

主持人须知

- 主持人须在报到后确认所主持的学术单元时间和会场位置；
- 主持人须提前 10 分钟到达会场，了解会议安排有无变化及讲者到场情况；
- 主持人须严格控制时间，适时提醒讲者按时完成发言；
- 主持人须围绕主题组织讨论、控制会场秩序。遇特殊情况要及时与大会会务组联系。

电子壁报交流须知

本次会议采用电子壁报形式交流，电子壁报区位于苏州国际博览中心 A 馆 1 层，2 层及 3 层。

学分

本次会议正式注册代表均可获得国家级 I 类继续教育学分。项目编号为 2023-09-01-004 (国)。需要学分的代表请在注册时务必提供相关个人信息。参会代表请于会议结束后三个月后登录中华医学会官网 www.cma.org.cn，点击右下方“在线栏目”下的“继续教育部相关服务”按钮，再点击“继教项目学员学分证书查询与打印”按钮，查找已发布项目，选择年度，输入姓名即可查询并打印电子学分证书。



展厅位置及开放时间

展厅位置：苏州国际博览中心 B 馆 1 层 B1 馆

展览时间：2023 年 11 月 17 日 10:00-17:00

2023 年 11 月 18 日 09:00-17:00

中华医学会放射学分会主委会、常委会及全委扩大会议安排

2023 年 11 月 16 日在苏州国际博览中心 A 馆 A109 会议室召开中华医学会放射学分会第十六届委员会主委会、常委会及全委扩大会议，具体时间安排如下：

13:30-14:00 主委会

14:00-14:30 常委会

14:30-17:30 全委扩大会议

会议重要活动安排：

1. 大会开幕式

时间：11 月 17 日 08:00-09:00

地点：苏州国际博览中心 B 馆三层金鸡湖厅（B301）

2. 大会展览开幕式

时间：11 月 17 日 10:00-10:30

地点：苏州国际博览中心 B 馆一层 B1 馆门口

3. 新书发布会

时间：11 月 17 日 14:30-16:30；11 月 18 日 9:00-11:30

地点：苏州国际博览中心 B 馆一层 B1 馆新书发布区域

大会临时医疗点及应急志愿服务

大会医务室地点：苏州国际博览中心 A 馆一层 A112 室

联系人苏州九龙医院救护站站长，王中查，13914054339

会议及其他相关声明

- 提问时须围绕讲者发言主题，避免采用评论性言辞，以简单明确的语言提出问题。
- 大会拥有会议所有内容的版权，未经允许严禁拍摄会议演讲幻灯、视频演示或者图片资料。
- 严禁在会场内外散发或摆放未经大会组委会允许的学术或产品资料。
- 会议期间进入会场和展厅须佩戴胸卡，未佩戴胸卡者，谢绝入场。
- 所有会场内手机须调至震动或关闭状态，严禁吸烟。
- 请参会代表注意保管好自己的财务和会议物品（资料、餐券）外出活动时务必注意交通安全和人身安全。

温馨提示

- 为了您能轻松愉悦地参加好此次会议，请您认真阅读《会议指南》。
- 为了顺利地完成大会议程，请您自觉遵守大会作息时间，按时参加各项会议和活动。
- 为了您能顺利地进入会场，参加各项活动，请您佩带好“代表证”或“工作人员证”。
- 为了保证会议质量，大会开始时，请您将手机调至震动。会议期间不要随意走动。大会中请您勿在会场内抽烟，纸屑垃圾请移放到专门收集处。离座或会议结束离开时，请您将椅子摆回原样。感谢您的理解和支持。
- 为了您的安全，请您务必注意防火、防盗、防破坏，如发现任何问题，请及时报告大会工作人员。
- 苏州国际博览中心安检严格，进场馆需要安检，请勿携带易燃、易爆、违禁品和食品进入场馆。

CCR2023 Meeting Information

Congress Information

Date: November 16th to 19th, 2023

Venue: Suzhou International Expo Center, Suzhou, China
688 E. Suzhou Avenue, Suzhou industrial Park

Language: Chinese. At international plenary/symposium sessions, Every speaker is requested to prepare his/her slides in both English and Chinese.

All speakers are required to provide their slides in both Chinese and English.

Registration

1. Location: 1/F, Hall B, Suzhou International Expo Center

2. Opening hours:

09:00-20:00, Nov. 16th

07:30-17:30, Nov. 17th to 18th

08:00-11:00, Nov. 19th

Delegate Badge:

All participants are required to bring their badge to enter the meeting hall and attend lectures. The staff have the right to refuse those without one. Since the badge cannot be reissued or replaced once lost or stolen, the representative is responsible for the safekeeping of their own badge.

* Badge categories

Red and Orange-VIP

Blue-Delegate

Yellow-Staff

Green-Exhibitor

Dining

Location and time are as follows

	Lunch (packed meal) (12:00-12:30)
Nov. 17 th	Satellite symposiums Hall C3 (3/F, Hall C)
Nov. 18 th to 19 th	Hall C3 (3/F, Hall C)

Presentation Submission Guide

The slides should be submitted in room A101, Hall A (Speaker Ready Room)

Opening hours:

13:00-19:00, Nov. 16th,

07:15-17:30, Nov. 17th,

07:30-17:30, Nov. 18th

07:30-11:00, Nov. 19th

* For Symposium Speakers, please submit your slides (in both English and Chinese) to the above mentioned rooms at least 6 hours before the lecture. For any questions, please contact Dr. Yinsu Zhu (mobile: 13675186571) or Dr. Wei Huang (mobile: 18905165002)



Notice to speakers

- According to the National Continuing Education Committee, starting from 2010, the organizing committee of related congress should submit the slides of all speakers. This is for a better evaluation of the congress and to determine whether it is qualified for the application of continuing education program in the future.
- We encourage all the speakers to share their slides for free with our participants after the congress. We would like to express our sincere gratitude in advance for your sacrifice for public welfare.
- All the speakers should check and confirm the time and place of their lectures, and should be familiar with the designated meeting room in advance.
- All the speakers in the international sessions are required to prepare their slides in both Chinese and English. Slides should be submitted to the submission room, as mentioned above in the “Presentation Submission Guide”. Due to the time limit, NO personal computer is allowed at the congress.
- Please note that you are to format the aspect ratio of your PowerPoint slides to 16:9 if your meeting room is B301 (3/F), A102-103, A104-105 or A106-107. In other meeting rooms, the aspect ratio of your PowerPoint should be 4:3.
- All the speakers should go to the meeting room 20 min in advance. Please notice the time limit of each lecture. Once the time is up, the slides will be closed automatically.

Notice to Moderators

- Moderators should confirm the time and place of their corresponding scientific session.
- Moderators should arrive at the meeting room 10 min in advance, and be aware of the update of the session and the attendance of the speakers.
- Moderators should strictly control the time and remind the speakers of their time limit.
- Moderators should organize the discussion and maintain the order of the scientific session. Please make sure to contact the congress committee in time when there is an emergency.

Notice to E-Poster Presenters

The E-posters will also be presented at the foyer of Level 1, 2 & 3 of Hall A.

Exhibition Hall and Opening Hours

Location: 1/F, Hall B (Hall B1)

Opening hour:

10:00-17:00, Nov. 17th, 2023

09:00-17:00, Nov. 18th, 2023

Important Events

A. Opening Ceremony

Time: 08:00-09:00, Nov. 17th, 2023

Location: B301, 3/F, Hall B

B. Opening Ceremony of Exhibition

Time: 10:00-10:30, Nov. 17th, 2023

Location: Lobby, 1/F, Hall B

C. The New Book Release Conference

Time: 2:30-4:30 PM, Nov. 17th; 9:00-11:30 AM, Nov. 18th

Location: New Book Release Area, B1 Hall, 1/F, Building B, Suzhou International Expo Center

Declaration



- All questions raised at the scientific session should be related to the lecture. Please be concise and avoid using critical words.
- The organizing committee has the copy right for its intellectual content. Taking photos of the slides, recording the lecture or other materials/files are not allowed without permission.
- It is prohibited to distribute or present academic or products materials that are not permitted by the committee.
- Participants without taking their own badge are not allowed to enter the meeting hall.
- During all lectures, cell-phones are required to be turned off or vibrated. Smoking is not allowed.
- Kindly take care of your own belongings including properties, materials and meal coupons. Please ensure your personal safety while out.

Gentle Reminder

- For a better experience at the congress, please carefully read the Notice to Participants.
- Kindly be aware of the schedule of the programs and be punctual in related activities.
- To enter the meeting hall and attend the lectures, please be sure to bring your own badge.
- To ensure the quality of each lecture, please turn your cell-phones to off or vibrate. Do not walk around the meeting area or make excessive noise. Smoking is NOT allowed in any meeting room. Please throw the garbage to designated location. When leaving the meeting room, please put the chairs back to their original place. Thank you in advance for your understanding and cooperation.
- For your safety, please be aware of any emergency and report it to the staff as soon as possible.
- Suzhou International Expo Center has strict security checks, and entry halls require security checks. Please do not bring flammable, explosive, prohibited items, or food into the venue.

苏州国际博览中心一层 1F, Suzhou International Expo Center

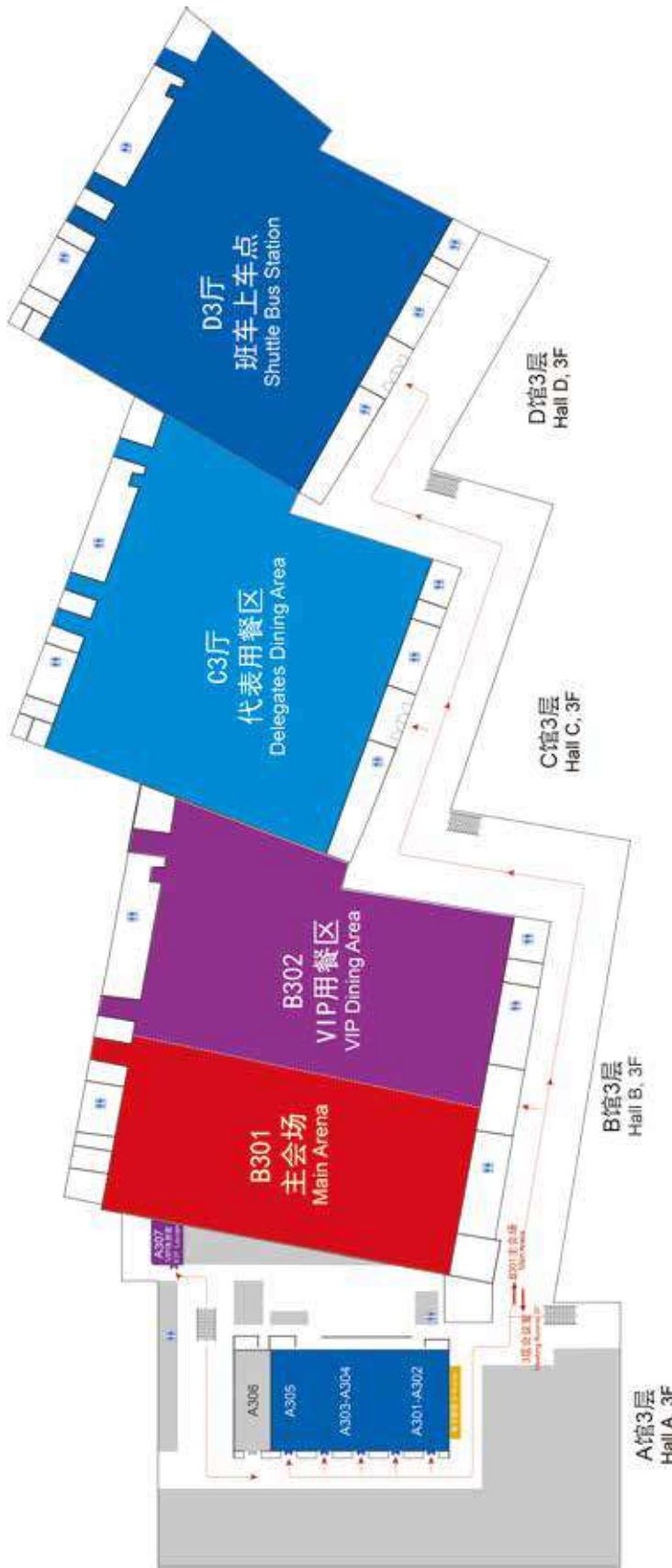


中华医学会
第30次全国放射学学术大会
CHINESE CONGRESS OF RADIOLOGY 2023

苏州国际博览中心二层
2F, Suzhou International Expo Center



苏州国际博览中心三层
3F, Suzhou International Expo Center



中华医学会 第30次全国放射学学术大会

CHINESE CONGRESS OF RADIOLOGY 2023



CCR2023 日程一览表

CCR2023 日程一览表

时间		2023.11.17				2023.11.18		2023.11.19			
会场		08:00-10:00	10:30~12:00	12:00-13:00	13:30-17:30	08:00-12:00	13:30-17:30	08:00-12:00			
三楼	B301	开幕式及主旨演讲	主题演讲								
A馆一楼	A102	转播开幕式	主题演讲	GE 卫星会	磁共振	磁共振	磁共振	群英会 (08:30-11:00)			
	A103			飞利浦 卫星会	磁共振	磁共振	磁共振				
	A104	转播开幕式	主题演讲					闭幕式 (11:00-12:00)			
	A105										
	A106	转播开幕式	主题演讲		骨肌	骨肌	骨肌	骨肌			
A馆二楼	A107	转播开幕式	国际会场		国际会场	腹部	国际会场	国际会场			
	A108				骨肌	骨肌	科普				
	A109	转播开幕式	国际会场		国际会场	国际会场	国际会场	国际会场			
	A110				头颈	头颈	头颈	头颈			
	A202			心胸	心胸	青委	青委	青委			
	A203										
	A204						青委				
	A205										
	A206			飞利浦 卫星会	心胸	心胸	心胸	心胸			
A馆三楼	A207				基层放射科能力提升	介入	介入	介入			
	A208				神经	神经	神经	神经			
	A209				医工交叉	多学科	对比剂	对比剂			
	A210				腹部	腹部	腹部	腹部			
	A211				儿科	儿科	儿科	腹部			
	A212				医学影像教育	护理	大数据与科学研究	政府事务与法律及维权			
	A213				青委	青委	传染病	传染病			
	A214				分子影像	分子影像	分子影像	分子影像			
	A215				乳腺	乳腺	乳腺	乳腺			
	A216				会员发展国内交流	医学影像质量控制与管理规范	人工智能	人工智能			



CCR2023 Program at a Glance (Opening Ceremony and International Sessions)

**CCR2023 Program
at a Glance**

Level	Meeting Room	11/17/2023			11/18/2023			11/19/2023
		08:00-10:00	10:30-12:00	13:30-17:30	08:00-12:00	13:30-15:30	15:30-17:30	08:00-12:00
3/F	B301	Opening Ceremony & Keynote Lecture						
	A108		International Session I on Percision Imaging	International Session III on Development in Medical Imaging		CSR & KSR Session on Body Imaging	CSR & SFR Session on Abdominal Imaging	CSR & DRG Session on Cardiac and Chest Imaging (Bayer)
1/F	A110		International Session II on Management Perspective in Radiology	Belt and Road Session I on Cancer Imaging	International Session IV on Multimodal Imaging	CSR & ASTR Session on Thoracic Imaging and AI		Belt and Road Session II on Progress and Application of Medical Imaging

中华医学会 第30次全国放射学学术大会

CHINESE CONGRESS OF RADIOLOGY 2023



开幕式

2023-11-17

B301

08:00-09:00

开幕式

主持人：胡春洪，苏州大学附属第一医院；萧毅，中国人民解放军海军军医大学第二附属医院

主旨演讲

09:00-10:00

主旨演讲

主持人：金征宇，中国医学科学院北京协和医院；祁吉，天津市第一中心医院

09:00-09:30 介入放射学发展趋势

滕皋军，东南大学附属中大医院

09:30-10:00 医学影像科高质量发展的机遇与挑战

刘士远，中国人民解放军海军军医大学第二附属医院

主题演讲

10:30-11:50

主委论坛

主持人：王培军，同济大学附属同济医院；周纯武，中国医学科学院肿瘤医院

10:30-10:50 如何做好放射科主任

郭启勇，中国医科大学附属盛京医院

10:50-11:10 放射学科质量控制

金征宇，中国医学科学院北京协和医院

11:10-11:30 神经影像学发展趋势预测

冯晓源，复旦大学附属华山医院

11:30-11:50 让科研成为医生腾飞的翅膀——我做放射介入医生 40 年

徐克，中国医科大学附属第一医院

A102-103

10:30-11:50

多学科主委论坛

主持人：洪楠，北京大学人民医院；王振常，首都医科大学附属北京友谊医院

10:30-10:50 精准医学与精准影像

陈敏，北京医院

10:50-11:10 核医学诊疗一体化的现状与展望

汪静，空军军医大学西京医院

11:10-11:30 卓越医学影像技师培养初探

李真林，四川大学华西医院



11:30-11:50 核医学功能影像的现状与未来
石洪成，复旦大学附属中山医院

A104-105

10:30-11:50 医工交叉主论坛

主持人：宋彬，四川大学华西医院；卢光明，中国人民解放军东部战区总医院

10:30-10:50 基于分子影像和人工智能的肿瘤术中导航和疗效量化评估
田 捷，中国科学院自动化研究所

10:50-11:10 肺部气体多核 MRI 及临床应用
周 欣，中科院精密测量科学与技术创新研究院

11:10-11:30 新一代磁共振技术变革的“三驾马车”：量子、超导与数学
郑海荣，中国科学院深圳先进技术研究院

11:30-11:50 脑网络组图谱启发的脑机融合
蒋田仔，中国科学院自动化研究所

A106-107

10:30-11:50 科学教育主论坛

主持人：张惠茅，吉林大学第一医院；程敬亮，郑州大学第一附属医院

10:30-10:50 以文载道，铸魂育人
杜 贤，人民卫生出版社

10:50-11:10 国家自然科学基金申请形式与应对策略
李恩中，国家自然科学基金委员会

11:10-11:30 青年放射医师成长的机遇和挑战
梁长虹，广东省人民医院

11:30-11:50 临床实践指南的制定方法和注意事项
张琳琳，中华放射学杂志编辑部



国际会场

2023-11-17

A108

10:30-11:55

International Session I on Precision Imaging

主席: 金征宇, 中国医学科学院北京协和医院

主持人: 王梅云, 河南省人民医院; Jeong Min Lee, Seoul National University Hospital (SNUH), South Korea

组织者: 王梅云, 河南省人民医院

10:30-10:40 Opening Ceremony

金征宇, 中国医学科学院北京协和医院

10:40-11:05 Imaging of Thymic Tumors

Noriyuki Tomiyama, Osaka University, Japan

11:05-11:30 Prognostic radiological features of hepatocellular carcinoma

Jeong Min Lee, Seoul National University Hospital (SNUH), South Korea

11:30-11:55 Lung cancer screening implementation in Europe: The 4-in-the-lung-run study, optimizing nelson results

Matthijs Oudkerk, Radiology at the University of Groningen, The Netherlands

13:30-15:20 International Session III on Development in Medical Imaging -Session 1

主席: 陈敏, 北京医院

主持人: 张志强, 中国人民解放军东部战区总医院; 夏爽, 南开大学

组织者: 王梅云, 河南省人民医院

13:30-13:40 Opening Ceremony

陈 敏, 北京医院

13:40-14:05 mpMRI for post-treatment evaluation and recurrence of Prostate Cancer

陈 敏, 北京医院

14:05-14:30 UTE Magnetic Resonance Imaging: Recent Technical Development and Clinical Applications

Jiang Du, University of California San Diego, United States

14:30-14:55 Implementation of AI in the public health care system: Moscow experience

Yuri Vasilev, Moscow Healthcare Department, Russia

14:55-15:20 Clinical Applications of MRF

王梅云, 河南省人民医院

**15:30-17:35 International Session III on Development in Medical Imaging -Session 2**

主席: 陈敏, 北京医院

主持人: 王珊珊, 中国科学院深圳先进技术研究院; 张孝勇, 复旦大学

组织者: 王梅云, 河南省人民医院

- 15:30-15:55 A new paradigm for MRI data acquisition through advanced MR coil technology
Hui Han, Cornell University, United States

- 15:55-16:20 Progress of AI in the medical imaging field
薛华丹, 中国医学科学院北京协和医院

- 16:20-16:45 The current clinical applications of MRgFUS in China
王 悍, 上海交通大学医学院附属第一人民医院

- 16:45-17:10 Clinical Applications of pancreatic MRE
石 喻, 中国医科大学附属盛京医院

- 17:10-17:35 Mimics of prostate cancer on MRI
李春媚, 北京医院

A110**10:30-12:00 International Session II on Management Perspective in Radiology**

主席: 冯晓源, 复旦大学附属华山医院

主持人: 龚启勇, 四川大学华西厦门医院; *John Chen, Harvard Medical School, United States*

组织者: 王梅云, 河南省人民医院

- 10:30-10:40 Opening Ceremony
冯晓源, 复旦大学附属华山医院
Louis Martí Bonmatí, Hospital Politécnico y Universitario La Fe, Spain

- 10:40-11:05 Brain on fire! Understanding neuroinflammation and implications for imaging
John Chen, Harvard Medical School, United States

- 11:05-11:30 How to improve the efficiency of Radiology departments in the modern times - European Experience
Evis Sala, Policlinico Universitario Fondazione Agostino Gemelli, Italy

- 11:30-12:00 Panel Discussion
冯晓源, 复旦大学附属华山医院
吕 粟, 四川大学华西医院
Evis Sala, Policlinico Universitario Fondazione Agostino Gemelli, Italy
Luis Martí Bonmatí, La Fe University and Polytechnic Hospital, Spain
Andrea Laghi, Ospedale I.C.O.T, Italy

中华医学会 第30次全国放射学学术大会

CHINESE CONGRESS OF RADIOLOGY 2023



13:30-14:20 Belt and Road Session I on Cancer Imaging-Session 1

主席: 宋彬, 四川大学华西医院

主持人: 刘再毅, 广东省人民医院; 李震, 华中科技大学同济医学院附属同济医院

组织者: 王梅云, 河南省人民医院

13:30-13:40 Opening Ceremony

宋彬, 四川大学华西医院

13:40-14:10 From Bench to Bedside - Examples from industry innovation for contrast imaging

Alberto Spinazzi, Global Medical & Regulatory affairs, Italy

14:10-14:20 Q&A

14:20-15:20 Belt and Road Session I on Cancer Imaging-Session 2

主席: 宋彬, 四川大学华西医院

主持人: 邓德茂, 广西壮族自治区人民医院; 范国光, 中国医科大学附属第一医院

组织者: 王梅云, 河南省人民医院

14:20-14:45 Role of imaging in the management of patients with glioma: current status and future prospects in China

卢洁, 首都医科大学宣武医院

14:45-15:10 Advanced imaging of brain metastases: how to improve detection and assessment of treatment response

Josef Vymazal, Na Homolce Hospital, Full Professor at Charles University, Czech Republic

15:10-15:20 Q&A

15:30-16:30 Belt and Road Session I on Cancer Imaging-Session 3

主席: 宋彬, 四川大学华西医院

主持人: 童彤, 复旦大学附属肿瘤医院; 沈文, 天津市第一中心医院

组织者: 王梅云, 河南省人民医院

15:30-15:55 Overview on HCC imaging guidelines from China and Europe

曾蒙苏, 复旦大学附属中山医院

15:55-16:20 Liver MRI: Extracellular or Liver Specific Agents?

Luis Martí Bonmatí, La Fe University and Polytechnic Hospital, Spain

16:20-16:30 Q&A

16:30-17:30 Belt and Road Session I on Cancer Imaging-Session 4

主席: 宋彬, 四川大学华西医院

主持人: 尤超, 复旦大学附属肿瘤医院; 王美豪, 温州医科大学附属第一医院

组织者: 王梅云, 河南省人民医院

16:30-16:55 Imaging Workups in Breast Cancer - Current Status in China

汪登斌, 上海交通大学医学院附属新华医院



- 16:55-17:20 AB MRI, CE Mammography and DBT - Imaging evolution in Europe
Daniela Bernardi, Humanitas IRCCS Research Hospital, Italy

17:20-17:30 Q&A

2023-11-18

A108

13:30-15:30 CSR & KSR Session on Body Imaging

主 席：刘士远，中国人民解放军海军军医大学第二附属医院

主持人：李东，天津医科大学总医院；叶晓丹，复旦大学附属中山医院

组织者：王梅云，河南省人民医院

13:30-13:50 Opening Ceremony

刘士远，中国人民解放军海军军医大学第二附属医院

Jeong Min Lee, Seoul National University Hospital (SNUH), South Korea

Jean-Pierre Tasu, Université de Poitiers, France

13:50-14:15 3D printing of congenital heart disease and surgical simulation

Whal Lee, Seoul National University Hospital, South Korea

14:15-14:40 Imaging spectrum of intrahepatic cholangiocarcinoma

王远成，东南大学附属中大医院

14:40-15:05 Molecular imaging for precision lung cancer diagnosis and therapy

孙夕林，哈尔滨医科大学附属第四医院

15:05-15:30 Spectrum of Cystic Hepatic Lesions: Differential CT and MRI Features

李若坤，上海交通大学医学院附属瑞金医院

15:40-17:30 CSR & SFR Session on Abdominal Imaging

主持人：宋小磊，清华大学生物医学工程系；高飞，山东省立医院

15:40-16:05 Future of HCC screening: update on a western perspective

Alain Luciani, University Paris Est Creteil, France

16:05-16:30 Progress and outlook of AI in Medical imaging

张惠茅，吉林大学第一医院

16:30-16:55 Abdominal imaging for ICU patients; learning from clinical cases

Jean-Pierre Tasu, Université de Poitiers, France

16:55-17:20 MRI Diagnostic Approach for Cystic Lesions of the Female Pelvic Floor

杨蕊梦，广州市第一人民医院

17:20-17:30 Q&A



A110

08:00-09:50 International Session IV on Multimodal Imaging-Session 1

主席: 洪楠, 北京大学人民医院

主持人: 郭钒, 中国人民解放军空军军医大学第一附属医院; 朱正, 中国医学科学院肿瘤医院

组织者: 王梅云, 河南省人民医院

08:00-08:10 Opening Ceremony

洪楠, 北京大学人民医院

08:10-08:35 Imaging diagnosis and differential diagnosis of odintogenictumors

Soraya Robinson, Diagnose Zentrum Urania Vienna, Austria

08:35-09:00 Using brain imaging to predict clinical outcome in schizophrenia: current progress and future direction

吕粟, 四川大学华西医院

09:00-09:25 Update on cCTA in Europe - ESCR registry and current Status of Cardiovascular Imaging in Germany

Fabian Bamberg, University of Freiburg, Germany

09:25-09:50 Ischemic Stroke: MR imaging Clues to predict Patients outcomes

娄昕, 解放军总医院第一医学中心

10:00-12:05 International Session IV on Multimodal Imaging-Session 2

主席: 洪楠, 北京大学人民医院

主持人: 龙茜, 华中科技大学同济医学院附属协和医院; 蒋涵羽, 四川大学华西医院

组织者: 王梅云, 河南省人民医院

10:00-10:25 A shift to Competency-Based Medical Education: The Canadian Radiology perspective

Raman Verma, University of Ottawa, Canada

10:25-10:50 CT-FFR Study and Clinical Applications in China

张龙江, 中国人民解放军东部战区总医院

10:50-11:15 Beyond Breast Density: Risk Measures for Breast Cancer in Multiple Imaging Modalities

Woo Kyung Moon, Department of Radiology, Seoul National University Hospital, South Korea

11:15-11:40 Diversity of breast fibroadenomas

张立娜, 中国医科大学附属第一医院

11:40-12:05 The application of PET imaging in Lung disease

李晓晨, 河南省人民医院

**13:30-15:20 CSR & ASTR Session on Thoracic Imaging and AI-Session 1**

主席：张惠茅，吉林大学第一医院

主持人：杨文洁，上海交通大学医学院附属瑞金医院；朱琳，上海交通大学医学院附属上海胸科医院

组织者：范丽，中国人民解放军海军军医大学第二附属医院

13:30-13:40 Opening Ceremony

张惠茅，吉林大学第一医院

13:40-14:05 Quantitative Assessment of COPD CT: present and future

Joon Beom Seo, University of Ulsan College of Medicine, South Korea

14:05-14:30 Imaging of IPF update 2023

陈起航，北京医院

14:30-14:55 Ferumoxytol for Cardiovascular MRI: the Chaoyang Experience

杨旗，首都医科大学附属北京朝阳医院

14:55-15:20 Artificial intelligence research of COPD based on CT imaging

范丽，中国人民解放军海军军医大学第二附属医院

15:30-17:35 CSR & ASTR Session on Thoracic Imaging and AI-Session 2

主席：张惠茅，吉林大学第一医院

主持人：黄沛钰，浙江大学；龚敬，复旦大学附属肿瘤医院

组织者：范丽，中国人民解放军海军军医大学第二附属医院

15:30-15:55 Advancing the science of artificial intelligence in radiology

Charles Kahn, Jr, Perelman School of Medicine, United States

15:55-16:20 Computational Pathology & Clinical Applications

陆铖，广东省人民医院

16:20-16:45 Generative AI and Medial Imaging

周少华，中国科学技术大学

16:45-17:10 Artificial intelligence research of pneumonia imaging

刘晨，中国人民解放军陆军军医大学第一附属医院

17:10-17:35 An imaging biomarker: epicardial adipose tissue evaluation

杨文洁，上海交通大学医学院附属瑞金医院

中华医学会 第30次全国放射学学术大会

CHINESE CONGRESS OF RADIOLOGY 2023



2023-11-19

A108

08:00-11:15 CSR & DRG Session on Cardiac and Chest Imaging (Bayer)

主席：刘士远，中国人民解放军海军军医大学第二附属医院

主持人：郑敏文，中国人民解放军空军军医大学第一附属医院；

Konstantin Nikolaou, University Hospitals Tübingen, Germany

组织者：王梅云，河南省人民医院

08:00-08:10 Opening Speech

刘士远，中国人民解放军海军军医大学第二附属医院

Konstantin Nikolaou, University Hospitals Tübingen, Germany

08:10-08:15 Opening Speech

胡文菁，拜耳医药保健有限公司

08:15-08:45 Photon-Counting CT in oncology and beyond

Konstantin Nikolaou, University Hospitals Tübingen, Germany

08:45-09:15 Cardiac imaging topic

吕 滨，中国医学科学院阜外医院

09:15-09:45 Update Cardiac CT - Photon Counting CT and its value in high-risk patients

Fabian Bamberg, University of Freiburg, Germany

09:45-10:15 Cardiac imaging topic

杨 旗，首都医科大学附属北京朝阳医院

10:15-10:45 Lung Screening with CT

Jens Vogel-Claussen, Hannover Medical School, Germany

10:45-11:15 CT use in lung cancer

范 丽，中国人民解放军海军军医大学第二附属医院

A110

08:00-09:50 Belt and Road Session II on Progress and Application of Medical Imaging-Session 1

主席：王培军，同济大学附属同济医院

主持人：陈峰，海南省人民医院；罗晓捷，北京医院

组织者：王梅云，河南省人民医院

08:00-08:10 Opening Ceremony

王培军，同济大学附属同济医院

08:10-08:35 Innovation in imaging techniques assists the early diagnosis and precision treatment of hepatocellular

宋 彬，四川大学华西医院

08:35-09:00 AI applications in female pelvis oncological imaging

Evis Sala, Policlinico Universitario Fondazione Agostino Gemelli, Italy

09:00-09:25 Diagnosis and evaluation of cardiac amyloidosis based on cardiac MRI

王怡宁, 中国医学科学院北京协和医院

09:25-09:50 Intramyocardial Hemorrhage in Acute Myocardial Infarction: the Mechanism and CMR Imaging

刘婷, 中国医科大学附属第一医院

10:00-12:05 Belt and Road Session II on Progress and Application of Medical Imaging-Session 2

主席: 王培军, 同济大学附属同济医院

主持人: 张大明, 中国医学科学院北京协和医院; 李飞, 四川大学华西医院

组织者: 王梅云, 河南省人民医院

10:00-10:25 Carotid artery: from degree of stenosis to advanced plaque imaging

Luca Saba, Azienda Ospedaliero-Universitaria di Cagliari, Italy

10:25-10:50 Spatial-radiomics and its applications to brain tumors

张志强, 中国人民解放军东部战区总医院

10:50-11:15 The specific signs of brain tumor based on imaging and pathology

夏爽, 南开大学

11:15-11:40 Image Recognition of Hypersensitivity Pneumonitis according to Guideline 2020

王丽华, 浙江大学医学院附属第二医院

11:40-12:05 The diagnosis approach for metaphysial bone tumors

王广谊, 广东省人民医院

中华医学会 第30次全国放射学学术大会

CHINESE CONGRESS OF RADIOLOGY 2023



神经学组

神经学组

2023-11-17

A209-210

13:30-15:30

学术讲座（一）

主持人：方向明，无锡市人民医院；苗延巍，大连医科大学附属第一医院；宋焱，北京医院

13:30-13:50 脑疾病分子成像
高明远，苏州大学

13:50-14:10 浅谈磁共振成像设备历史与展望
周 欣，中科院精密测量科学与技术创新研究院

14:10-14:30 神经放射学发展前沿：精神影像学
龚启勇，四川大学华西厦门医院

14:30-14:50 脑小血管病的 MRI 影像学
马 林，中国人民解放军总医院第一医学中心

14:50-15:10 脑肿瘤智能影像研究进展
张 辉，山西医科大学第一医院

15:10-15:30 磁共振引导神经调控治疗帕金森病临床应用：301 经验
娄 昕，解放军总医院第一医学中心

学术讲座（二）

主持人：张冬，陆军军医大学第二附属医院（新桥医院）；高波，贵州医科大学附属医院；王渊，西安交通大学

15:30-15:50 神经影像表型 - 脑转录组空间关联研究
余永强，安徽医科大学第一附属医院

15:50-16:10 神经系统磁波刀治疗进展
王梅云，河南省人民医院

16:10-16:30 早期帕金森病及非典型帕金森综合征脑类淋巴系统损害的 MR 研究
王光彬，山东第一医科大学附属省立医院

16:30-16:50 鼻咽癌放射性颞叶坏死诊断现状分析及改进策略
廖伟华，中南大学湘雅医院

16:50-17:10 血管性认知损害的磁共振成像研究进展
徐海波，武汉大学中南医院

17:10-17:30 空间导航在阿尔茨海默病早期脑损伤关键脑区成像新技术研究与应用
张 冰，南京鼓楼医院



2023-11-18

A209-210**08:00-10:00****学术讲座（三）**

主持人：王晓明，中国医科大学附属盛京医院；张永海，青海省第五人民医院；王文，空军军医大学唐都医院

08:00-08:20 MRI 新技术评估血管性认知障碍脑结构和功能改变
朱文珍，华中科技大学同济医学院附属同济医院

08:20-08:40 脑皮层肿瘤性病变的诊断与鉴别诊断
马 军，首都医科大学附属北京天坛医院

08:40-09:00 小脑半球常见占位的鉴别诊断
张 军，复旦大学附属华山医院

09:00-09:20 临影结合看图识病之颅内囊性病变信号分析
江桂华，广东省第二人民医院

09:20-09:40 脊髓非肿瘤性病变的 MRI 诊断
李明利，中国医学科学院北京协和医院

09:40-10:00 多发性硬化灰白质病灶的研究进展
李咏梅，重庆医科大学附属第一医院

10:00-12:00**学术讲座（四）**

主持人：黎海涛，陆军军医大学第一附属医院（西南医院）；初曙光，上海市东方医院（同济大学附属东方医院）；刘颖，北京大学第三医院

10:00-10:20 磁共振引导个体化经颅磁刺激治疗的研究进展及经验浅谈
邓德茂，广西壮族自治区人民医院

10:20-10:40 MRI 评估经筋疗法对脑神经网络运行模式优化作用的研究
郑文斌，汕头大学医学院第二附属医院

10:40-11:00 DTI 在 SVCI 研究中的初步应用
周 澈，上海交通大学医学院附属仁济医院

11:00-11:20 颅内血管平滑肌瘤的特征性影像学表现及其病理学基础
刘含秋，复旦大学附属华山医院

11:20-11:40 无症状性脑动脉慢性闭塞性疾病多模态影像学研究
孟祥水，山东大学齐鲁医院（青岛）

11:40-12:00 大脑中动脉血栓影像特征与取栓术后出血转化
杨运俊，温州医科大学附属第一医院

中华医学会 第30次全国放射学学术大会

CHINESE CONGRESS OF RADIOLOGY 2023

神经
科学

13:30-17:30

神经影像实战读片

讨论嘉宾：马林，中国人民解放军总医院第一医学中心；范国光，中国医科大学附属第一医院；
廖伟华，中南大学湘雅医院；李文彬，上海市第六人民医院；宋焱，北京医院；张冰，南京鼓楼医院；
吴元魁，南方医科大学南方医院

13:30-14:10 病例一

中国人民解放军总医院第一医学中心

14:10-14:50 病例二

中南大学湘雅医院

14:50-15:30 病例三

上海市第六人民医院

15:30-16:10 病例四

北京医院

16:10-16:50 病例五

南京鼓楼医院

16:50-17:30 病例六

南方医科大学南方医院

2023-11-19

A209-210

08:00-10:00

论文发言（英文）

主持人：赵艺蕾，浙江大学医学院附属第一医院；吕晋浩，解放军总医院第一医学中心；
熊颖，华中科技大学同济医学院附属同济医院

08:00-08:08 Altered brain iron depositions of SCA3: from pre-symptomatic to symptomatic stage
丘海珊，中山大学附属第一医院

08:08-08:16 ASPECTS-based net water uptake outperforms target mismatch for outcome prediction in patients with acute ischemic stroke and late therapeutic window
鲁珊珊，江苏省人民医院（南京医科大学第一附属医院）

08:16-08:24 Association between cumulative low-density lipoprotein cholesterol and brain white matter health: The META-KLS Study
孙婧，首都医科大学附属北京友谊医院

08:24-08:32 Cerebral hemodynamic and metabolic abnormalities in neonatal hypocalcemia: findings from advanced MRI
祁英，中国医科大学附属盛京医院

08:32-08:40 Interpretable and Intuitive Machine Learning Approaches for Predicting Disability Progression in Relapsing-Remitting Multiple Sclerosis Based on Clinical and Grey Matter Atrophy Indicators
严子淳，重庆医科大学



- 08:40-08:48 MRI histogram analysis of telomerase reverse transcriptase promoter mutation status in IDH-wildtype glioblastoma
张斌, 兰州大学第二医院
- 08:48-08:56 Performance evaluation of deep learning image reconstruction algorithm in low-dose whole brain CT perfusion examination of acute ischemic stroke: a feasibility study
雷丽敏, 郑州大学第一附属医院
- 08:56-09:04 Pericarotid fat density is associated with severity of cerebral small vessel disease
赵硕, 山东第一医科大学附属省立医院
- 09:04-09:12 Similar Transmembrane Water Exchange Rate but Different Transmembrane Pathway Patterns in Glioblastoma and Lung Cancer Brain Metastases
王宝, 山东大学齐鲁医院
- 09:12-09:20 The association among individual gray matter volume of frontal-limbic circuitry, fatigue susceptibility, and comorbid neuropsychiatric symptoms following COVID-19
牛璇, 西安交通大学第一附属医院
- 09:20-09:28 The deeper,The better? Efficacy of deep transcranial magnetic stimulation in spinocerebellar ataxia type 3
欧沛灵, 陆军军医大学第一附属医院(西南医院)
- 09:28-09:36 The Multi-faceted Imaging Presentation of Cerebral Amyloid- β -Related Angitis
吕晋浩, 解放军总医院第一医学中心
- 09:36-09:44 Transcriptional substrates underlying functional connectivity profiles of subregions within the human sensorimotor cortex
沈宇豪, 安徽医科大学第一附属医院
- 09:44-09:52 Use of biomarkers from contrast-enhanced magnetic resonance imaging radiomics to predict chemotherapeutic response in primary central nervous system lymphoma
王晓晨, 首都医科大学附属北京天坛医院
- 09:52-10:00 Visualizing the habenula using 3T high-resolution MP2RAGE and QSM
卞冰阳, 吉林大学第一医院

10:00-12:00**论文发言(中文)**

主持人:高欣, 上海全景医学影像诊断中心;刘虎, 中国医科大学附属第一医院;
郑阳, 中国医科大学附属盛京医院

- 10:00-10:08 白血病脑出血患者非对比增强CT标志物及短期预后模型的研究
施露, 北京大学人民医院
- 10:08-10:16 半剂量增强T2FLAIR肿瘤强化程度与血管渗透性的相关性研究
金腾, 华中科技大学同济医学院附属协和医院

中华医学会 第30次全国放射学学术大会

CHINESE CONGRESS OF RADIOLOGY 2023

神经学组

- 10:16-10:24 胆碱能基底前脑系统在帕金森病姿势不稳 / 步态障碍及注意力障碍中的机制研究
吴晨青, 浙江大学
- 10:24-10:32 动脉通过伪影能更简单识别颅内动脉粥样硬化狭窄患者短暂性脑缺血发作和卒中
李玲, 陕西省人民医院
- 10:32-10:40 复发缓解型多发性硬化不同类型病灶中氧摄取分数的变化 : 一项横断面和纵向研究
谢彦, 华中科技大学同济医学院附属同济医院
- 10:40-10:48 化学交换饱和转移频率重要性分析预测弥漫性胶质瘤 H3K27M 突变状态的价值
赵本琦, 清华大学附属北京清华长庚医院
- 10:48-10:56 基于功率谱斜率分析方法对酒精使用障碍患者体素水平的全脑静息态 fMRI 研究
阮霞, 武汉大学人民医院
- 10:56-11:04 基于海马 MRI 和 PET 纹理分析的阿尔茨海默病早期诊断研究
陈志庚, 首都医科大学宣武医院
- 11:04-11:12 基于核磁共振成像的影像组学用于评估成人和青少年弥漫性中线胶质瘤, 伴 H3 K27 改变患者的预后
涂佳琪, 复旦大学附属华山医院
- 11:12-11:20 基于深度学习的急性缺血性脑卒中多任务病灶分割及其对卒中预后预测的应用研究
崔莹, 东南大学附属中大医院
- 11:20-11:28 人类穹窿的寿命轨迹: 超高分辨率弥散 MRI 研究
胡强, 武汉大学中南医院
- 11:28-11:36 应用人工智能压缩感知技术加速慢性缺血性脑血管病患者全脑 3D 酰胺质子转移成像
夏超, 四川大学华西医院
- 11:36-11:44 应用神经突方向离散度和密度成像量化肌萎缩侧索硬化症中丘脑及其连接性的微结构损伤
曹运彬, 福建医科大学附属协和医院
- 11:44-11:52 运动成瘾的神经机制: 基于多模态磁共振成像的脑影像学研究
张菲菲, 山西医科大学第一医院
- 11:52-12:00 早发型与晚发型阿尔茨海默病一体化 18F-AV-1451 PET/MR 研究
许欣茹, 南京大学医学院附属鼓楼医院



头颈学组

2023-11-17

A202-203

13:30-15:30

头颈（一）

主持人：宋法亮，新疆生产建设兵团总医院；徐坚民，深圳市人民医院

讨论点评：周正荣，复旦大学附属肿瘤医院；韩志江，杭州市第一人民医院

13:30-13:50 泪道病变影像诊断

史大鹏，河南省人民医院

13:50-14:10 头颈部风湿性疾病影像表现

邢伟，苏州大学附属第三医院

14:10-14:30 下颌下腺病变临床影像读片

李恒国，暨南大学附属第一医院

14:30-14:50 基于MRI机器学习模型预测局部晚期鼻咽癌近期疗效与远期预后的研究

苏丹柯，广西医科大学附属肿瘤医院

14:50-15:10 系统性疾病的眼部影像学表现

刘筠，天津市第四中心医院

15:10-15:30 咽旁间隙肿瘤或瘤样病变诊断新观察

徐雷鸣，浙江大学医学院附属第二医院

15:40-18:00

头颈（二）

主持人：肖喜刚，哈尔滨医科大学附属第一医院；马辉，华中科技大学同济医学院附属协和医院

讨论点评：陈涓，北京医院；陈潭辉，福建医科大学附属第一医院

15:40-16:00 利用影像组学与机器学习探索腮腺肿瘤与脑胶质瘤侵犯瘤周组织的初步研究

月强，四川大学华西医院

16:00-16:20 (讲座) 内耳内淋巴积水磁共振影像评估

陈青华，首都医科大学附属北京同仁医院

16:20-16:40 侧颅底病变的影像检查技术及诊断

陈钰，中国医学科学院北京协和医院

16:40-17:00 颞骨超高分辨率CT在耳科中的应用进展

赵鹏飞，首都医科大学附属北京友谊医院

17:00-17:20 多模态磁共振成像在脊髓小脑变性症中的应用

马国林，中日友好医院

17:20-17:40 肿瘤相关淋巴结的影像学评估

杨军，云南省肿瘤医院（昆明医科大学第三附属医院）

中华医学会 第30次全国放射学学术大会

CHINESE CONGRESS OF RADIOLOGY 2023



17:40-18:00 双侧前庭疾病的临床与影像学认识的探讨
陈正光，北京中医药大学东直门医院

2023-11-18

A202-203

08:00-10:00

头颈（三）

主持人：罗德红，中国医学科学院肿瘤医院深圳医院；文戈，南方医科大学南方医院
讨论点评：满凤媛，中国人民解放军火箭军特色医学中心；丁长伟，中国医科大学附属盛京医院

- 08:00-08:20 认识并重视影像学重构新时代
王振常，首都医科大学附属北京友谊医院
- 08:20-08:40 源自临床的影像基础研究心路
陶晓峰，上海交通大学医学院附属第九人民医院
- 08:40-09:00 甲状腺癌淋巴结转移的 CT 临床研究探索及展望
韩丹，昆明医科大学第一附属医院
- 09:00-09:20 三叉神经痛影像分析
杨军乐，西安市第三医院
- 09:20-09:40 磁共振内耳钆造影的临床应用
沙炎，复旦大学附属眼耳鼻喉科医院
- 09:40-10:00 基于人工智能技术的鼻咽癌定量影像学研究
张水兴，暨南大学附属第一医院

10:10-11:15

头颈 - 国际（一）

主持 + 讨论：金彪，上海交通大学医学院附属新华医院长兴分院；文宝红，郑州大学第一附属医院

- 10:10-10:30 Imaging diagnosis and differential diagnosis of Jaw infection&necrosis
Soraya Robinson, Diagnose Zentrum Urania Vienna, Austria
- 10:30-10:45 Imaging of sensorineural hearing loss in adults
鲜军舫，首都医科大学附属北京同仁医院
- 10:50-11:05 Quantitative and semi-quantitative diagnostic points for salivary gland tumors on MRI
朱凌，上海交通大学医学院附属第九人民医院
- 11:00-11:15 MRI in Thyroid-Associated Ophthalmopathy: State of the Art
许晓泉，江苏省人民医院（南京医科大学第一附属医院）



11:20-12:00

头颈 - 英文论文交流（一）

主持 + 讨论：丁忠祥，杭州市第一人民医院；张大明，中国医学科学院北京协和医院；
夏军，深圳市第二人民医院

11:20-11:25 Abnormal regional spontaneous neural activity and functional connectivity in thyroid-associated ophthalmopathy patients with different activity: a resting-state fMRI study
姜梦达，上海交通大学医学院附属第九人民医院

11:25-11:30 Immune-Related Visual Dysfunction in Thyroid Eye Disease: a Combined Orbital and Brain Neuroimaging Study
张海扬，上海交通大学医学院附属第九人民医院

11:30-11:35 Dixon MRI based quantitative parameters of extraocular muscles, intraorbital fat and lacrimal glands for staging thyroid-associated ophthalmopathy
濮雄鹰，江苏省人民医院（南京医科大学第一附属医院）

11:35-11:40 Clinical and imaging analysis of nerve sheath myxoma
张巧莹，西安市中心医院

11:40-11:45 A fully automated artificial intelligence tool for prognosis stratification in patients with nasopharyngeal carcinoma
李讷敏，暨南大学附属第一医院（广州华侨医院）

11:45-11:50 Whole-brain morphological network alterations in patients with H3K27M-altered diffuse midline glioma
陈迪，四川大学华西医院

11:50-11:55 Causal associations of genetically determined tinnitus with neuroimaging traits: evidence from a Mendelian Randomization study
孙婧，首都医科大学附属北京友谊医院

11:55-12:00 Hemodynamic assessments of unilateral pulsatile tinnitus with jugular bulb wall dehiscence using 4D Flow MRI
代驰航，首都医科大学附属北京友谊医院

13:30-15:10

头颈（四）

主持人：毕万利，山东省立医院；高顺禹，北京大学肿瘤医院

讨论点评：白光辉，温州医科大学附属第二医院；马明平，福建省立医院

13:30-13:50 功能影像与智能影像及其应用
耿道颖，复旦大学附属华山医院

13:50-14:10 能量 CT 在头颈肿瘤诊断和随访中的价值
吴飞云，江苏省人民医院（南京医科大学第一附属医院）

14:10-14:30 鼻咽癌放射性脑损伤的早期影像诊断
邱士军，广州中医药大学第一附属医院

中华医学会 第30次全国放射学学术大会

CHINESE CONGRESS OF RADIOLOGY 2023



头颈学组

14:30-14:50 迷路病变的影像学检查
巩若箴，山东第一医科大学附属省立医院

14:50-15:10 头颈部罗道病病例分享
杨智云，中山大学附属第一医院

15:20-17:00 头颈（五）

主持人：袁庆海，吉林大学；王飞，海南省人民医院

讨论点评：肖嵐，新疆生产建设兵团第三师总医院；王斐斐，郑州大学第一附属医院

15:20-15:40 鼻咽癌的影像观察要点及结构化报告
黄 魏，广东省人民医院

15:40-16:00 岩斜区肿瘤影像学诊断思路
邬小平，西安市中心医院

16:00-16:20 喉癌空间异质性的可视化评估
夏 爽，南开大学

16:20-16:40 基于 CT 腮腺肿瘤的 AI 研究
彭 娟，重庆医科大学附属第一医院

16:40-17:00 基于病例的颞骨膨胀性病变影像学诊断及鉴别
李天云，中国人民解放军空军军医大学第一附属医院

17:05-17:47 头颈 - 中文论文交流（二）

主持人：乔英，山西医科大学第一医院；董敏俊，上海交通大学医学院附属第九人民医院；
王振祥，巴音郭楞蒙古自治州人民医院

讨论点评：叶靖，江苏省苏北人民医院；陈楠，首都医科大学宣武医院

17:05-17:11 3D-pCASL 与 DWI 在鉴别 T1 期鼻咽癌及淋巴组织增生的对照研究
莫志英，梧州市人民医院

17:11-17:17 18F-FDG PET/MR 在口腔癌中分期及复发检测中的临床应用
王芳晓，杭州全景医学影像诊断中心

17:17-17:23 安罗替尼联合放疗治疗伴瘤周水肿的有症状脑转移瘤患者的回顾性队列研究
黄诗琪，福建医科大学附属第一医院

17:23-17:29 深度学习图像重建算法在来自全脑 CT 灌注的脑 CTA 图像中的应用价值研究
雷丽敏，郑州大学第一附属医院

17:29-17:35 3.0T 磁共振高清结合功能成像对青少年颞下颌关节盘复位手术前后的应用价值
盛爱珠，宁波市第二医院

17:35-17:41 磁共振 T2mapping 技术对不同程度颞下颌关节功能紊乱综合征关节盘及周围韧带的定量研究
韦晓玉，云南大学附属医院



17:41-17:47 基于血栓放射组学预测颅内粥样动脉硬化性闭塞的研究
曹若瑶, 北京医院

2023-11-19

A202-203

08:00-10:00

头颈 - 中文论文比赛

比赛评委: 潘初, 华中科技大学同济医学院附属同济医院; 黄显龙, 中国科学院大学重庆医院;
王丽君, 大连医科大学附属第一医院; 张权, 天津医科大学总医院;
金观桥, 广西医科大学附属肿瘤医院; 许尚文, 中国人民解放军联勤保障部队第 900 医院

08:00-08:10 磁共振 T2-mapping 序列与纹理分析技术对鉴别嗜酸性鼻窦炎伴鼻息肉价值的研究
王宇辰, 首都医科大学附属北京同仁医院

08:10-08:20 高分辨率 CT 多平面重组及曲面重组对外伤性听力损伤、面瘫的诊断价值
杨 静, 西安市中心医院

08:20-08:30 多维度弥散磁共振成像在鼻咽癌中的应用: 一项探索性的横断面研究
陈影影, 中国医学科学院肿瘤医院深圳医院

08:30-08:40 基于双能量 CT 瘤内及瘤周血管异质性预测喉鳞状细胞癌患者诱导化疗后早期疗效
沈 阜, 南开大学

08:40-08:50 基于双能 CT 的列线图预测甲状腺乳头状癌大容量中央区淋巴结转移的价值
张佳燕, 西南医科大学

08:50-09:00 基于超声图像的甲状腺结节可解释性机器学习诊断系统构建与验证
张 璐, 暨南大学附属第一医院(广州华侨医院)

09:00-09:10 24 周窄带声治疗前后特发性耳鸣患者脑沟深度的变化研究
魏 璇, 首都医科大学附属北京友谊医院

09:10-09:20 合成 MRI 技术联合直方图分析在预测局部晚期鼻咽癌患者放化疗早期治疗反应中的价值
杨 凡, 中国医学科学院肿瘤医院

09:20-09:30 3D 酰胺质子转移成像 APT MRI 预测基线鼻咽癌的肿瘤(T)分期
钱李娟, 华中科技大学同济医学院附属协和医院

09:30-09:40 多参数定量磁共振技术评估甲状腺相关眼病活动性
唐宇轩, 大连医科大学附属第一医院

09:40-09:50 不同颅内压状态下乙状窦源性耳鸣患者的临床特征分析
陈澜月, 首都医科大学附属北京同仁医院

09:50-10:00 基于深度学习模型实现在颈椎 MR 图像上对脊髓及椎管的自动测量
马 超, 中国人民解放军海军军医大学第一附属医院



10:10-12:10

头颈 - 英文论文比赛

比赛评委：吴斌，复旦大学附属肿瘤医院；邬海博，北京大学第三医院；洪汝建，复旦大学附属眼耳鼻喉科医院；董诚，青岛大学附属医院；张菁，华中科技大学同济医学院附属同济医院

10:10-10:20 Quantitative pharmacokinetic parameter Ktrans map assists in regional segmentation of nasopharyngeal carcinoma in dynamic contrast-enhanced magnetic resonance imaging (DCE-MRI)
刘周，中国医学科学院肿瘤医院深圳医院

10:20-10:30 Development and validation of benign and malignant thyroid nodule risk stratification system based on MRI morphological features
郑婷婷，上海市闵行区中心医院

10:30-10:40 Altered dynamic brain activity and functional connectivity in thyroid-associated ophthalmopathy
蒋文昊，江苏省人民医院（南京医科大学第一附属医院）

10:40-10:50 Dark-blood computed tomography angiography combined with deep learning reconstruction for carotid artery wall imaging in Takayasu arteritis patients
苏童，中国医学科学院北京协和医院

10:50-11:00 An investigation of gray matter morphology and white matter integrity abnormalities in dyshyroid optic neuropathy using tract-based spatial statistics and surface-based morphometry study
邹梦莎，中山大学附属第一医院

11:00-11:10 Use of diffusion kurtosis imaging and dynamic contrast-enhanced MRI for differentiating parotid gland tumors
刘姿均，郑州大学第一附属医院

11:10-11:20 Apparent diffusion coefficient histogram analysis of adenoid cystic carcinoma: correlation with histopathology and the prediction of survival
唐为卿，上海交通大学医学院附属第九人民医院

11:20-11:30 Utility of machine learning for identifying stapes fixation on ultra-high-resolution CT
汤若薇，首都医科大学附属北京友谊医院

11:30-11:40 Assessment of lateral cervical lymph node metastasis in thyroid carcinoma by using the standard deviation of attenuation values on virtual monoenergetic images in dual-layer spectral detector computed tomography-a prospective study with external validation
黎升，中山大学附属肿瘤医院

11:40-11:50 Comparison of evaluation of locally advanced thyroid cancer R0/R1 resectability based on radiological CT scoring model and radiomics models: a two-center study
高心逸，浙江省肿瘤医院

11:50-12:00 Integrating Machine Learning and Multimodal Neuroimaging to Predict the Prognosis of Sudden Sensorineural Hearing Loss
邹婧，华中科技大学同济医学院附属协和医院

12:00-12:10 (2D BLADE) Turbo Gradient- and Spin-Echo in the evaluation of the sinonal occupying lesions: A comprehensive comparison of image quality in (2D navigator) Readout-Segmented Echo-Planar imaging
耿 悅, 复旦大学附属眼耳鼻喉科医院

中华医学会 第30次全国放射学学术大会

CHINESE CONGRESS OF RADIOLOGY 2023



心胸学组

2023-11-17

A204-205

13:30-15:30

肺癌

主持人：伍建林，大连大学附属中山医院；余建群，四川大学华西医院

13:30-13:50 早期肺腺癌的预后预测——CTR 的贡献

吴 宁，中国医学科学院肿瘤医院

13:50-14:10 基于病例的肺结节诊断思路

萧 穆，中国人民解放军海军军医大学第二附属医院

14:10-14:30 肺癌影像研究进展

胡春洪，苏州大学附属第一医院

14:30-14:50 肺结节病的 CT 诊断与鉴别诊断

罗良平，暨南大学附属第一医院

14:50-15:10 原发性肺淋巴上皮瘤（PLEC）影像、病理与临床

于 红，上海交通大学医学院附属胸科医院

15:10-15:30 气管及支气管占位影像诊断

张晓琴，内蒙古自治区人民医院

15:40-17:20

肺癌

主持人：郭佑民，西安交通大学第一附属医院；王艳，新疆维吾尔自治区维吾尔医医院

15:40-16:00 磨玻璃结节，除了肺腺癌，你还知道什么？

赵绍宏，中国人民解放军总医院第一医学中心

16:00-16:20 有关肺磨玻璃结节临床管控的几点思考

李智勇，大连医科大学附属第一医院

16:20-16:40 肺癌手术患者流行病学变迁的影像学思考

熊 曾，中南大学湘雅医院

16:40-17:00 2021WHO 更新的肺肿瘤少见类型—影像及病理学表现

陈麦林，北京市肿瘤防治研究所

17:00-17:20 亚厘米实性肺结节早期影像诊断及进展

王建卫，中国医学科学院肿瘤医院

**A206-207****13:30-15:30****心脏 CT**

主持人：张永高，郑州大学第一附属医院；彭礼清，四川大学华西医院

13:30-13:50 2022-2023 年国际心血管影像学术研究亮点
吕 滨，中国医学科学院阜外医院

13:50-14:10 CT 延迟增强技术评估心肌纤维化的可行性
葛英辉，阜外华中心血管病医院

14:10-14:30 非粥样硬化性冠状动脉疾病的影像诊断
王锡明，山东第一医科大学附属省立医院

14:30-14:50 冠周脂肪成像研究进展
侯 阳，中国医科大学附属盛京医院

14:50-15:10 冠状动脉斑块成像的现状和未来
张龙江，中国人民解放军东部战区总医院

15:10-15:30 ISMRM2023 年会心脏磁共振成像技术热点解读
杨 旗，首都医科大学附属北京朝阳医院

15:40-17:20**心脏 CT 专场**

主持人：张龙江，中国人民解放军东部战区总医院；邢艳，新疆医科大学第一附属医院

15:40-16:00 心脏 CT 对冠状动脉钙化患者的诊断价值研究
王怡宁，中国医学科学院北京协和医院

16:00-16:20 冠状动脉周围脂肪评价及其意义
徐 磊，首都医科大学附属北京安贞医院

16:20-16:40 CCTA 预测 CTO 患者心肌存活能力的临床价值
张永高，郑州大学第一附属医院

16:40-17:00 心脏 CT 在瓣膜病微创治疗中的应用价值
杨本强，中国人民解放军北部战区总医院

17:00-17:20 CT 心肌灌注成像：从科学研究到临床实践
张佳胤，上海交通大学医学院附属第一人民医院

2023-11-18**A204-205****08:00-10:00****肺综合专场**

主持人：赵绍宏，中国人民解放军总医院第一医学中心；罗良平，暨南大学附属第一医院

08:00-08:20 梳理与建立知识框架——呼吸影像临床能力培养
郭佑民，西安交通大学第一附属医院

中华医学会 第30次全国放射学学术大会

CHINESE CONGRESS OF RADIOLOGY 2023



- 08:20-08:40 非血栓性肺栓塞
宋伟, 中国医学科学院北京协和医院
- 08:40-09:00 肺移植术后并发症影像及临床
蒲红, 四川省医学科学院·四川省人民医院
- 09:00-09:20 肺多发磨玻璃结节随访管理策略
张同, 哈尔滨医科大学附属第四医院
- 09:20-09:40 气管支气管病变影像诊断
陈淮, 广州医科大学附属第二医院
- 09:40-10:00 肺部反晕征的识别及诊断策略
林艳, 汕头大学医学院第二附属医院

10:10-11:50 肺癌及肺综合专场

主持人: 宋伟, 中国医学科学院北京协和医院; 周舒畅, 华中科技大学同济医学院附属同济医院

- 10:10-10:30 NSCLC 免疫治疗的胸部影像学评估
邱建星, 北京大学第一医院
- 10:30-10:50 肺小结节的随访与手术时机选择
成官迅, 北京大学深圳医院
- 10:50-11:10 基于真实世界事件的 NSCLC 疗效的影像学客观评估要点与主观评估差异分析
胡晓云, 无锡市人民医院
- 11:10-11:30 肺肿瘤消融的 MRI 评价
叶晓丹, 复旦大学附属中山医院
- 11:30-11:50 肺肿瘤消融治疗后的影像学变化
李琼, 中山大学肿瘤防治中心

A206-207

08:00-10:00 人工智能专场

主持人: 朱力, 宁夏医科大学总医院; 吴江, 山西省心血管病医院

- 08:00-08:20 人工智能在肺癌影像诊断中的研究应用进展
许茂盛, 浙江中医药大学附属第一医院
- 08:20-08:40 肺腺癌 CT 人工智能精准诊断和辅助临床决策系统的研发和初步临床应用
单飞, 上海市公共卫生临床中心
- 08:40-09:00 心肌梗死人工智能研究进展
唐春香, 中国人民解放军东部战区总医院
- 09:00-09:20 人工智能在肺炎病灶及肺功能评估中的应用及展望
梁波, 华中科技大学同济医学院附属协和医院



09:20-09:40 基于数字病理 AI 的肺癌预后研究进展
陈 鑫, 广州市第一人民医院

09:40-10:00 精准医疗时代肺癌影像 AI 技术探索与应用: 数据驱动创新
龚 敬, 复旦大学附属肿瘤医院

10:10-11:50

心脏 MR

主持人: 刘辉, 广东省人民医院; 吴连明, 上海交通大学医学院附属仁济医院

10:10-10:30 Fabry 病心脏受累的 CMR 诊断
郑敏文, 中国人民解放军空军军医大学第一附属医院

10:30-10:50 基于肥厚型心肌病的合作研究
赵世华, 中国医学科学院阜外医院

10:50-11:10 运动负荷心脏磁共振的自主发明与初步应用
鄙发宝, 四川大学华西医院

11:10-11:30 磁共振对心力衰竭的评价
朱 力, 宁夏医科大学总医院

11:30-11:50 心肌炎症过程的磁共振分子成像评价研究
郭应坤, 四川大学华西第二医院

13:30-15:30

心脏 MR

主持人: 张璋, 天津医科大学总医院; 张金玲, 哈尔滨医科大学附属第二医院

13:30-13:50 主动脉病变的 CMR 诊断及进展
王荣品, 贵州省人民医院

13:50-14:10 CMR 在肥厚性心肌病中的应用价值
胡红杰, 浙江大学医学院附属邵逸夫医院

14:10-14:30 4D FLOW 评估流出道梗阻性肥心
刘 辉, 广东省人民医院

14:30-14:50 心脏磁共振评估多发性骨髓瘤患者心肌损伤和预后价值
张 燕, 贵州医科大学附属医院

14:50-15:10 急性心梗心脏磁共振信号特点
吴连明, 上海交通大学医学院附属仁济医院

15:10-15:30 肥厚型心肌病磁共振影像及临床应用
秦 乐, 上海交通大学医学院附属瑞金医院

中华医学会 第30次全国放射学学术大会

CHINESE CONGRESS OF RADIOLOGY 2023



15:40-17:20

心脏 CT 及 MR 专场

主持人：戴旭，辽宁中医药大学；马跃，中国医科大学附属盛京医院

15:40-16:00 肥厚型心肌病手术治疗前后 CMR 评估

夏黎明，华中科技大学同济医学院附属同济医院

16:00-16:20 影像学在卵圆孔未闭中应用策略

张笑春，广州市妇女儿童医疗中心

16:20-16:40 心血管 CT 新技术、临床应用及科研思路拓展

张璋，天津医科大学总医院

16:40-17:00 多发性大动脉炎临床及影像特征

张金玲，哈尔滨医科大学附属第二医院

17:00-17:20 左心耳封堵术术前和术后的 CT 结构化报告

弓静，中国人民解放军海军军医大学第一附属医院

2023-11-19

A206-207

08:00-10:00

肺弥漫性疾病专场

主持人：王健，陆军军医大学第一附属医院（西南医院）；管宇，中国人民解放军海军军医大学第二附属医院

08:00-08:20 肺弥漫性网格影：间质纤维化与非间质纤维化的 CT 对比

王仁贵，首都医科大学附属北京世纪坛医院

08:20-08:40 ANCA 相关性血管炎 (AAV) 肺部影像诊断

李新春，广州医科大学附属第一医院

08:40-09:00 CT 偶发间质性肺异常的识别、分类和管理

陈欣，西安交通大学第二附属医院

09:00-09:20 弥漫性肺实变的影像学鉴别

王丽华，浙江大学医学院附属第二医院

09:20-09:40 HRCT 在肺间质性疾病中应用

金晨望，西安交通大学第一附属医院

09:40-10:00 纤维化型 IL 的 HRCT 评估

刘敏，中日友好医院

10:10-11:50

肺感染及肺弥漫性疾病专场

主持人：金晨望，西安交通大学第一附属医院；史景云，同济大学附属肺科医院

10:10-10:30 肺内弥漫性炎性改变的诊断与思考

于晶，大连大学附属中山医院

10:30-10:50 结缔组织病变肺部相关肺部感染
彭德昌，南昌大学第一附属医院

10:50-11:10 肺曲霉病影像诊断
徐秋贞，东南大学附属中大医院

11:10-11:30 肺念珠菌病的临床与影像
黄洪磊，南平市第一医院

11:30-11:50 原发性肺淋巴瘤影像征象解析
王海燕，山东省立医院

中华医学会 第30次全国放射学学术大会

CHINESE CONGRESS OF RADIOLOGY 2023



乳腺学组

2023-11-17

A303-304

13:30-13:45

开幕致辞

13:45-15:30

专题讲座

主持人：彭卫军，复旦大学附属肿瘤医院；江魁明，广东省妇幼保健院；
华佳，上海交通大学医学院附属仁济医院

13:45-14:00 新医改下的影像科管理
罗娅红，辽宁省肿瘤医院

14:00-14:15 导管原位癌 - 认知的变化
顾雅佳，复旦大学附属肿瘤医院

14:15-14:30 乳腺分子影像学研究初步探索
汪登斌，上海交通大学医学院附属新华医院

14:30-14:45 CEM 与乳腺 MR 的临床应用比较——侧重流程与效益分析
杨帆，华中科技大学同济医学院附属协和医院

14:45-15:00 妊娠哺乳期乳腺癌：影像学评估策略及特征
李静，中国医学科学院肿瘤医院

15:00-15:15 基于相关病例的 CEM 临床实践与思考
陈卫国，南方医科大学南方医院

15:15-15:30 讨论

15:40-17:25

专题讲座

主持人：郑建军，中国科学院大学宁波华美医院；钱朝霞，中国福利会国际和平妇幼保健院；
易小平，南大学湘雅医院

15:40-15:55 让我“欢喜”让我忧的乳腺微小钙化灶
蔡思清，福建医科大学附属第二医院

15:55-16:10 影像组学联合临床病理特征早期预测乳腺癌术后复发转移风险
于韬，辽宁省肿瘤医院

16:10-16:25 乳腺硬化性改变概念及影像诊断
何之彦，上海市第一人民医院

16:25-16:40 乳腺血管源性病变影像学表现
刘佩芳，天津市肿瘤医院

16:40-16:55 基于 mIHC 技术评估的肿瘤免疫微环境与三阴性乳腺癌预后与分型的关系
薦璐奕，复旦大学附属肿瘤医院



16:55-17:10 曝光参数在乳腺 X 线摄影中对良恶性病灶的鉴别价值
马 乐, 南方医科大学南方医院

17:10-17:25 乳腺 X 线摄影中 BI-RADS 4 类微钙化病变的 MR 影像诊断
刘欢欢, 上海交通大学医学院附属新华医院

2023-11-18

A303-304

08:00-09:40

专题讲座

主持人: 柴维敏, 上海交通大学医学院附属瑞金医院; 杨琪, 吉林大学第一医院

08:00-08:15 乳腺脂肪坏死: 酷似恶性病变的多种影像检查与分析
张 伟, 中国医科大学附属盛京医院

08:15-08:30 乳腺癌骨转移疗效评价体会
刘 岚, 江西省肿瘤医院

08:30-08:45 同时性双侧乳腺癌分子分型与乳腺影像表现的相关性研究
林 青, 青岛大学附属医院

08:45-09:00 副乳病变影像诊断及鉴别思路
刘万花, 东南大学附属中大医院

09:00-09:15 乳腺癌脉管侵犯的影像学预测研究进展
杨晓棠, 山西省肿瘤医院

09:15-09:30 影响乳腺的全身性疾病: 影像诊断与处理
李海歌, 南京医科大学第二附属医院

09:30-09:40 讨论

09:45-10:45

专题讲座

主持人: 张玉珍, 上海交通大学医学院附属新华医院; 魏梦绮, 中国人民解放军空军军医大学第一附属医院

09:45-10:00 乳腺断层下活检真空辅助旋切的应用及质量控制
马 捷, 深圳市人民医院

10:00-10:15 影像在乳腺癌 MDT 分期中的作用
秦乃珊, 北京大学第一医院

10:15-10:30 多模态影像学特征预测浸润性乳腺癌前哨淋巴结转移负荷的可行性研究
丁莹莹, 昆明医科大学第三附属医院

10:30-10:45 乳腺 MRI 图像中的细节判读
张立娜, 中国医科大学附属第一医院

中华医学会 第30次全国放射学学术大会

CHINESE CONGRESS OF RADIOLOGY 2023



10:45-11:30

专题讲座

主持人：黄梓平，三明市第一医院；尤超，复旦大学附属肿瘤医院

10:45-11:00 乳腺微创介入的进展及存在问题

陈宝莹，西安国际医学中心医院

11:00-11:15 多模态医学图像人工智能在预测乳腺癌新辅助化疗疗效中的研究

毛 宁，烟台毓璜顶医院

11:15-11:30 乳腺磁共振结构式报告应用经验及问题

曹 崑，北京大学肿瘤医院

13:30-15:30

人机大赛

主持人：彭卫军，复旦大学附属肿瘤医院；罗娅红，辽宁省肿瘤医院

13:30-15:30 点评

周智鹏，桂林医学院附属医院

徐俊卿，广东医科大学附属医院

吴 卓，中山大学孙逸仙纪念医院

盛复庚，中国人民解放军总医院第五医学中心

15:30-17:30

乳影谁行 病例读片

主持人：彭卫军，复旦大学附属肿瘤医院；周纯武，中国医学科学院肿瘤医院

15:30-17:30 乳影谁行 病例读片

肖 勤，复旦大学附属肿瘤医院

15:30-17:30 北方队

姜 蕾，北京医院

杨 蕾，中国医学科学院肿瘤医院

曲 宁，辽宁省肿瘤医院

柴瑞梅，中国医科大学附属第一医院

边甜甜，青岛大学附属医院

15:30-17:30 南方队

刘春玲，广东省人民医院

王丽君，大连医科大学附属第一医院

孙 琏，上海交通大学医学院附属瑞金医院

郭 媛，广州市第一人民医院

赵 爽，四川大学华西医院



2023-11-19

A303-304

08:00-09:40

专题讲座

主持人：姚娟，新疆医科大学第一附属医院；邹薇薇，中国人民解放军海军军医大学第二附属医院；
张嫣，广东省妇幼保健院

08:00-08:15 超快速动态增强成像序列在乳腺癌诊断及疗效评估中的应用价值
路 红，天津医科大学肿瘤医院

08:15-08:30 影像组学在预测乳腺癌患者腋窝淋巴结转移中的研究进展
马彦云，山西医科大学第一医院

08:30-08:45 乳腺癌保乳术后磁共振检查阅片细则及信号评估
刘 艳，新疆医科大学附属肿瘤医院

08:45-09:00 乳腺 MR 非肿块强化病变的人工智能诊断现状与探索
王翠艳，山东第一医科大学附属省立医院

09:00-09:15 乳头乳晕复合体病变的多模态 MRI 诊断思路
徐丽莹，武汉大学中南医院

09:15-09:30 如何从 DBT 乳腺导管造影多样化征象中鉴别病灶的良恶性
曾 利，新疆伊犁州友谊医院 / 临床医学研究院

09:30-09:40 讨论

09:40-10:45

专题讲座

主持人：朱娟，安庆市立医院；卜丽红，武汉大学人民医院

09:40-09:55 乳腺粘液癌影像诊断及鉴别
谭红娜，河南省人民医院

09:55-10:10 乳腺癌转移的影像组学研究
孔令燕，中国医学科学院北京协和医院

10:10-10:25 肿瘤相关扩散加权成像模型在乳腺浸润性导管癌预后因子预测中的应用价值
许 茜，河北医科大学第四医院

10:25-10:40 锥光束乳腺 CT 应用及消融治疗初步进展
李 颖，中国人民解放军总医院第一医学中心

10:40-10:45 讨论

10:50-11:50

论文发言

主持人：李晶，贵州医科大学附属医院；刘宏，兰州大学第二医院；孙琨，上海交通大学医学院附属瑞金医院

10:50-11:00 CEM 量化特征联合形态学对不同分子分型乳腺癌的诊断价值
徐维敏，南方医科大学南方医院

中华医学会 第30次全国放射学学术大会

CHINESE CONGRESS OF RADIOLOGY 2023



- 11:00-11:10 基于基线水平不同乳腺影像学方法预测乳腺癌新辅助治疗疗效模型的建立及比较
周雅秋, 天津市肿瘤医院
- 11:10-11:20 基于影像基因组学探索时空异质性在预测腔面型乳腺癌治疗敏感性中的作用: 一项多中心研究
孙诗昀, 复旦大学附属肿瘤医院
- 11:20-11:30 Can An Artificial Intelligence System Help Radiologists Improve the Assessment Accuracy of Initial BI-RADS 3 and 4A cases in mammograms?
林小慧, 深圳市人民医院
- 11:30-11:40 Artificial intelligence model for diagnosis of breast lesions in contrast enhanced mammography: a multicenter study
张海程, 烟台毓璜顶医院
- 11:40-11:50 Quantitative Apparent Diffusion Coefficient Metrics for MRI-only Suspicious Breast Lesions: Any Added Clinical Value?
李 雪, 北京医院

11:50-12:00

闭 幕



腹部学组

2023-11-17

A212-213

13:30-16:10

综合影像（一）

主持人：刘爱连，大连医科大学附属第一医院；江新青，华南理工大学附属第二医院；孙应实，北京大学肿瘤医院

13:30-13:50 多模态影像赋能胰腺癌诊治决策
梁长虹，广东省人民医院

13:50-14:10 技术创新助力肝细胞癌的早诊精治
宋彬，四川大学华西医院

14:10-14:30 CT in the management of colon cancer
Andrea Laghi, Ospedale I.C.O.T, Italy

14:30-14:50 肝硬化高级别异型增生结节的 MR 诊断
赵心明，中国医学科学院肿瘤医院

14:50-15:10 智能压缩感知技术在腹盆 MRI 应用
刘爱连，大连医科大学附属第一医院

15:10-15:30 最新版肝癌诊疗规范指南及新进展
江新青，华南理工大学附属第二医院

15:30-15:50 直肠癌新辅助治疗后完全缓解的磁共振评价
孙应实，北京大学肿瘤医院

15:50-16:10 弥漫性胰腺病变的诊断与鉴别诊断
薛华丹，中国医学科学院北京协和医院

16:10-18:30

综合影像（二）

主持人：曾蒙苏，复旦大学附属中山医院；谢传森，中山大学附属肿瘤医院；雷军强，兰州大学第一医院

16:10-16:30 微小肝细胞癌的 MR 诊断及临床价值
曾蒙苏，复旦大学附属中山医院

16:30-16:50 腹膜肿瘤诊断思路
谢传森，中山大学附属肿瘤医院

16:50-17:10 不典型肝癌影像征象解读
雷军强，兰州大学第一医院

17:10-17:30 肾上腺囊性占位 CT 征象分析
张瑞平，山西医科大学第一医院

- 17:30-17:50 胃肠淋巴瘤的影像与临床
刘玉林, 湖北省肿瘤医院(湖北省肿瘤研究所)
- 17:50-17:55 Predictive Value of a Radiomics Nomogram Model Based on Contrast-Enhanced Computed Tomography for KIT Exon 9 Gene Mutation in Gastrointestinal Stromal Tumors
魏宇泽, 辽宁省肿瘤医院
- 17:55-18:00 MR 早期强化特征对局部进展期食管鳞癌新辅助化疗 / 化免治疗后肿瘤完全缓解的诊断价值
闫 铢, 北京大学肿瘤医院
- 18:00-18:05 Preoperative CT-Based Radiomics and Deep Learning Model for Predicting Risk Stratification in Patients with Gastric Gastrointestinal Stromal Tumors
杨 萍, 重庆医科大学
- 18:05-18:10 Early tumor shrinkage and depth of response during treatment with immune checkpoint inhibitors as predictors of overall survival in patients with second-line or later therapy for advanced esophageal squamous cell carcinoma
周 悅, 郑州大学第一附属医院
- 18:10-18:15 The changes of gut microbiome and neuropsychological activity in patients with Crohn's disease: A prospective microbiota-gut-brain axis study
张若楠, 中山大学附属第一医院
- 18:15-18:20 双能量CT来源的细胞外体积分数预测进展期胃癌新辅助免疫治疗的肿瘤退缩等级
陈 勇, 上海交通大学医学院附属瑞金医院
- 18:20-18:25 双层探测器光谱CT定量参数联合常规CT特征列线图术前预测结直肠癌肿瘤沉积的价值
冯飞文, 苏州大学附属第一医院
- 18:25-18:30 The Involvement of Mesorectal Fascia by Tumor Deposits and Extramural Venous Invasion Predicts Poor Overall Survival in Locally Advanced Rectal Cancer
冯雅茹, 复旦大学附属肿瘤医院

2023-11-18

A108

08:00-10:00 肝脏影像(一)

主持人: 刘晟, 中南大学湘雅三医院; 贾宁阳, 海军军医大学第三附属医院(上海东方肝胆外科医院);
郭大静, 重庆医科大学附属第二医院

- 08:00-08:20 门脉海绵状变性的影像诊断与病因分析
刘文亚, 新疆医科大学第一附属医院
- 08:20-08:40 肝脏非肿瘤性异常强化灶常见病因分析及临床意义
郭大静, 重庆医科大学附属第二医院
- 08:40-09:00 肝脏神经内分泌肿瘤的影像诊断
贾宁阳, 海军军医大学第三附属医院(上海东方肝胆外科医院)



- 09:00-09:20 门静脉系统影像分析
邓丽萍, 浙江大学医学院附属邵逸夫医院
- 09:20-09:40 MR 代谢平台在腹部肿瘤的应用
伍兵, 四川大学华西医院
- 09:40-10:00 不典型血管瘤普美显相关特殊征象及解读
李欣, 华中科技大学同济医学院附属协和医院

10:00-12:00 肝脏影像(二)

主持人: 张祥林, 锦州医科大学; 李天然, 中国人民解放军总医院第四医学中心;
张月浪, 西安交通大学第一附属医院

- 10:00-10:20 小肝癌影像分型再探讨
李天然, 中国人民解放军总医院第四医学中心
- 10:20-10:40 肝脏 FNH 和 FNH-like 的影像诊断
张月浪, 西安交通大学第一附属医院
- 10:40-11:00 深入解读 Gd-EOB-DTPA 增强 MRI 诊断肝癌的现状
王屹, 北京大学人民医院
- 11:00-11:20 肝内胆管癌分子分型与人工智能的影像学研究进展
廖锦元, 广西医科大学第一附属医院
- 11:20-11:40 肝脏边缘不规则性与肝脏再生相关性研究
刘屹, 辽宁省肿瘤医院
- 11:40-12:00 基于 LI-RADSv2018 的病例实战
王敏, 东南大学附属中大医院

A212-213

08:00-10:00 胰胆道 + 消化道影像(一)

主持人: 孙丛, 山东省立医院; 张欢, 上海交通大学医学院附属瑞金医院; 张红梅, 中国医学科学院肿瘤医院

- 08:00-08:20 急性胰腺炎胰外扩散的放射解剖学基础
闵鹏秋, 四川大学华西医院
- 08:20-08:40 胰腺囊性病变的鉴别
陈克敏, 上海交通大学医学院附属瑞金医院
- 08:40-09:00 胆石性肠梗阻影像诊断相关问题探讨
宦怡, 中国人民解放军空军军医大学第一附属医院
- 09:00-09:20 胃癌 T 分期 CT 征象与病理对照差异性分析
高剑波, 郑州大学第一附属医院

中华医学会 第30次全国放射学学术大会

CHINESE CONGRESS OF RADIOLOGY 2023

腹部组

09:20-09:40 胃肝样腺癌影像诊断
孙丛, 山东省立医院

09:40-10:00 MDT 诊治体会: 胃癌临床影像难点分析
张欢, 上海交通大学医学院附属瑞金医院

10:00-12:00 胰胆道 + 消化道影像 (二)

主持人: 巴图尔·吐尔地, 新疆维吾尔自治区人民医院; 孟晓春, 中山大学附属第六医院;
冯仕庭, 中山大学附属第一医院

10:00-10:20 直肠癌免疫治疗影像评价面临的问题与挑战
孟晓春, 中山大学附属第六医院

10:20-10:40 功能 MRI 成像在消化道疾病评估的应用
冯仕庭, 中山大学附属第一医院

10:40-11:00 小肠影像学及其研究进展
梁宗辉, 复旦大学附属华山医院静安分院

11:00-11:20 食管癌 MRI 技术及结构式报告规范化应用专家共识
曲金荣, 河南省肿瘤医院

11:20-11:40 小肠肿瘤性疾病影像学诊断思路分析
李相生, 中国人民解放军空军特色医学中心

11:40-12:00 胃韧带的影像解剖及应用
杨大为, 首都医科大学附属北京友谊医院

13:00-15:40 泌尿生殖影像 (一)

主持人: 王青, 山东大学齐鲁医院; 朱绍成, 河南省人民医院; 张铎, 北华大学

13:00-13:20 IgG4 相关泌尿和腹膜后病变的临床及影像学评价
韩萍, 华中科技大学同济医学院附属协和医院

13:20-13:40 子宫肉瘤影像诊断
王青, 山东大学齐鲁医院

13:40-14:00 女性附件占位病变 O-RADS MRI 诊断原则
刘剑羽, 北京大学医学院附属第三医院

14:00-14:20 宫颈癌 FIGO 分期与 MR 诊断
张铎, 北华大学

14:20-14:40 剖宫产瘢痕妊娠及相关并发症的 MRI 诊断
梁宇霆, 首都医科大学附属北京妇产医院

14:40-15:00 不孕症 MRI 及 MR 输卵管造影术的临床应用
王中秋, 江苏省中医院



15:00-15:20 MR 深度学习重建技术分段评估肝功能的临床应用
段庆红, 贵州医科大学附属医院 / 附属肿瘤医院

15:20-15:40 卵巢癌 MRI 术前评估: 放射科医师应注意什么?
郑贤应, 福建省妇幼保健院

15:40-18:30 泌尿生殖影像 (二)

主持人: 叶晓华, 北京医院; 任静, 中国人民解放军空军军医大学第一附属医院;
谭显政, 湖南省人民医院(湖南师范大学附属第一医院)

15:40-16:00 宫颈癌影像解读要点
叶晓华, 北京医院

16:00-16:20 宫颈癌第九版 AJCC 分期: 影像与临床
任 静, 中国人民解放军空军军医大学第一附属医院

16:20-16:40 肝癌患病人群多发病灶诊断及预后
杨 春, 复旦大学附属中山医院

16:40-16:45 Contrast-enhanced CT radiomics for preoperative prediction of stage in epithelial ovarian cancer: a multicenter study
冷银萍, 南昌大学

16:45-16:50 Feasibility of synthetic magnetic resonance imaging for deciding whether neoadjuvant chemotherapy and predicting its short-term efficacy in cervical cancer: Comparison with high resolution T2WI and DWI
欧晓荣, 中南大学湘雅医院

16:50-16:55 多模态功能磁共振成像鉴别 p53abn 与 p53wt 型子宫内膜癌的价值
田士峰, 大连医科大学附属第一医院

16:55-17:00 Diagnostic value of synthetic magnetic resonance imaging in prostate disease patients with PSA levels in the gray area.
曹文芯, 中山大学附属第一医院

17:00-17:05 Optimizing Prostate Biopsy Decision-Making for Patients with PI-RADS ≥ 3 Lesions: Novel MRI-based Nomograms
陈彦玲, 中山大学附属第一医院

17:05-17:10 基于时间依赖性磁共振弥散成像的细胞微结构研究鉴别前列腺癌与前列腺增生价值
李茜玮, 大连医科大学

17:10-17:15 基于赣 R 影像组学实现前列腺癌患者迥 DR 基因信号通路致病突变的预测——项多中心回顾性研究
陈云天, 四川大学华西医院

中华医学会 第30次全国放射学学术大会

CHINESE CONGRESS OF RADIOLOGY 2023

腹部组

- 17:15-17:20 Association between computed tomography-measured skeletal muscle quantity and quality characteristics and early diabetic kidney disease: a propensity score-matched study
范金蕾, 山东大学齐鲁医院
- 17:20-17:25 酰胺质子转移磁共振成像评估慢性肾病纤维化程度的价值
霍宇婷, 大连医科大学附属第一医院
- 17:25-17:30 基于多参数磁共振成像的膀胱影像报告与数据系统对不同形态膀胱癌评估的应用价值
马元昊, 中国人民解放军总医院第一医学中心
- 17:30-17:35 肾动脉几何形状联合计算流体动力学评价肾动脉动脉粥样硬化斑块特征
李笑天, 南开大学
- 17:35-17:40 基于醺 OLD-MRI 评估繡 CL4 诱导肝硬化大鼠肾脏动态变化及对肾损伤早期诊断的研究
秦佳明, 天津市第一中心医院
- 17:40-17:45 PI-RADS v2.1 评分联合 PSAD 检测 PSA 灰区临床显著性前列腺癌的双中心研究
张云, 中国人民解放军总医院第六医学中心
- 17:45-17:50 Multiparametric magnetic resonance investigations on acute and long-term kidney injury
王斌, 山西医科大学第一医院
- 17:50-17:55 探究 T1 mapping 与体素内不相干运动 (IVIM) 参数评估慢性肾病的价值
张倩瑜, 大连医科大学
- 17:55-18:00 2 型糖尿病伴肾功能不全患者肾脏磁共振体素内不相干运动及弥散峰度成像参数与糖尿病视网膜病变的相关性
周少鹏, 中国人民解放军总医院第一医学中心
- 18:00-18:05 Differential value of amide proton transfer imaging combined with diffusion weighted imaging in prostate cancer and benign prostatic hyperplasia
殷慧佳, 新乡医学院第一附属医院
- 18:05-18:10 Survival time prediction of patients with high-grade serous ovarian cancer based on PET/CT-derived spatial heterogeneity metrics
李贝贝, 中国医科大学附属盛京医院
- 18:10-18:15 基于 APTw 和 DCE-MRI 序列定量参数的列线图评估子宫内膜癌 Her-2 基因表达的价值
马长军, 大连医科大学
- 18:15-18:20 ASL combined with T1 mapping quantitatively assess renal function in patients long term after kidney transplantation and correlate with pathology
朱默, 苏州大学附属第一医院
- 18:20-18:25 基于深度学习重建的膀胱 MRI 在 VI-RADS 评估肌层浸润诊断中的前瞻性应用
张馨心, 中国医学科学院肿瘤医院



18:25-18:30 MRI 定量评估膀胱癌人表皮生长因子受体 2 (HER2) 表达
孔令敏 , 中山大学附属第一医院

2023-11-19

A212-213

08:00-10:00

胰腺影像 (一)

主持人 : 马静 , 新疆生产建设兵团总医院 ; 李建 , 中国医科大学附属第一医院 ;
李震 , 华中科技大学同济医学院附属同济医院

08:00-08:20 异位胰腺影像诊断
胡道予 , 华中科技大学同济医学院附属同济医院

08:20-08:40 胰腺癌的 AI 诊断和进展
李 震 , 华中科技大学同济医学院附属同济医院

08:40-09:00 难兄难弟 : 胰腺与胆道病变影像
余日胜 , 浙江大学医学院附属第二医院

09:00-09:20 异位胰腺的影像特征及并发症
邵成伟 , 海军军医大学第一附属医院 (上海长海医院)

09:20-09:40 脾脏少见原发肿瘤影像诊断
陈 勇 , 宁夏医科大学总医院

09:40-10:00 多参数定量磁共振在胰腺疾病中的应用
朱 亮 , 中国医学科学院北京协和医院

10:00-12:00

胰腺影像 (二) - 论文发言

主持人 : 朱正 , 中国医学科学院肿瘤医院 ; 杨春 , 复旦大学附属中山医院 ; 程悦 , 重庆大学附属肿瘤医院

10:00-10:05 A Fully Automated Artificial Intelligence Model to Predict Extrapancreatic Perineural Invasion at CT in Pancreatic Ductal Adenocarcinoma
俞婕妤 , 海军军医大学第一附属医院上海长海医院

10:05-10:10 CT Characteristics of Invasive Intraductal Tubulopapillary Neoplasms versus Invasive Intraductal Papillary Mucinous Neoplasms of the Pancreas
方 旭 , 海军军医大学第一附属医院 (上海长海医院)

10:10-10:15 Predicting Tumor Perineural Invasion Status and Risk Stratification in Patients with Intrahepatic Mass-forming Cholangiocarcinoma Based on Preoperative MRI Features
陈 爽 , 中国医学科学院肿瘤医院

10:15-10:20 A CT-based radiomics approach to predict intra-tumoral tertiary lymphoid structures and recurrence of intrahepatic cholangiocarcinoma
许 莹 , 中国医学科学院肿瘤医院

中华医学会 第30次全国放射学学术大会

CHINESE CONGRESS OF RADIOLOGY 2023

腹部组

- 10:20-10:25 Preoperative Scoring Model for Identifying Proliferative Hepatocellular Carcinoma on Multi-phase Liver MRI and Its Implication for Surgical Resection
潘俊含, 浙江大学
- 10:25-10:30 改变“廓清”在钆塞酸二钠增强MRI上的定义后 LI-RADS 对肝细胞癌(HCC)的诊断效能
吕 蓉, 天津市第三中心医院
- 10:30-10:35 基于肝脏和病灶自动分割的MRI拓扑深度学习技术预测肝细胞癌微血管侵犯
陈纪地, 四川大学华西医院
- 10:35-10:40 肝脏局灶实质性病灶的MRI多动脉期强化特征变化的研究
蒋佳慧, 首都医科大学附属北京友谊医院
- 10:40-10:45 基于多参数MRI评估肝细胞癌伴门静脉癌栓患者手术切除的预后研究
张 琳, 四川大学华西医院
- 10:45-10:50 The Value of Magnetic Resonance Elastography in Preoperatively Predicting Wnt/β-catenin Pathway Activation and MVI Expression in Hepatocellular Carcinoma
种欢欢, 上海交通大学医学院附属瑞金医院
- 10:50-10:55 A Nomogram for Preoperative Prediction of Vessels Encapsulating Tumor Clusters (VETC) Pattern and Prognosis of Hepatocellular Carcinoma
王寅中, 兰州大学第一医院
- 10:55-11:00 Pyrrolizidine alkaloids-induced hepatic sinusoidal obstruction syndrome: the correlation between CT and MRI findings with liver function and the severity
雷 萍, 华中科技大学同济医学院附属协和医院
- 11:00-11:05 钆塞酸二钠增强磁共振功能性肝脏影像学评分及影像征象与 ALBI 分级评估肝功能的对照研究
郭义万, 华中科技大学同济医学院附属协和医院
- 11:05-11:10 Noninvasive Identification of Proliferative Hepatocellular Carcinoma Preoperatively Using Quantitative Measurements and 2021 LI-RADS Lexicon-Based Features on Dynamic Contrast Enhanced CT
张婉丽, 广州市第一人民医院
- 11:10-11:15 钆塞酸二钠增强MRI简化序列对肝细胞癌高危人群的诊断新策略
何 旭, 河南中医药大学第一附属医院
- 11:15-11:20 使用钆塞酸二钠增强MRI定量评估移植肝功能: 功能性T1 mapping
陈 根, 华中科技大学同济医学院附属同济医院
- 11:20-11:25 与潜在基因表达模式相关的放射组学特征预测肝细胞癌的预后和治疗反应
王丹丹, 哈尔滨医科大学附属第二医院
- 11:25-11:30 肝细胞肝癌的自然生长模式: 单中心回顾性研究
谢 弘, 贵州医科大学附属医院



- 11:30-11:35 Radiomics Nomogram Model Based on Multi-phase Contrast-enhanced Magnetic Resonance Imaging for Predicting Early Recurrence in Hepatocellular Carcinoma After Curative Ablation
黄婉蓉, 福建医科大学附属第一医院
- 11:35-11:40 The LiverRisk Score: an accurate marker to predict liver fibrosis and diabetes-related death in the general population
尹晓春, 东南大学附属中大医院
- 11:40-11:45 基于深度学习成像重建低剂量 40keV 虚拟单能成像早期发现结直肠癌肝转移
李昇霖, 兰州大学第二医院
- 11:45-11:50 Feasibility study on the diagnosis of fatty liver with VNC in abdomen using second-generation dual-layer detector spectral CT
程 勇, 四川大学华西医院
- 11:50-11:55 A novel SSP strategy for screening of high risk varices by two-dimensional shear wave elastography (CHESS2004): A prospective multicenter study
何蕊玲, 兰州大学第一医院
- 11:55-12:00 多参数 MRI 在识别 HCC 瘤内自发性凝固性坏死的价值研究
左立平, 山东大学

A214-215

08:00-10:00

泌尿生殖 + 综合影像 (一)

主持人: 邢伟, 苏州大学附属第三医院; 王嵩, 上海市中西医结合医院; 刘于宝, 南方医科大学深圳医院

- 08:00-08:20 肾透明细胞癌似然评分解读
邢 伟, 苏州大学附属第三医院
- 08:20-08:40 炎症性肠病的影像学诊断
王 嵩, 上海市中西医结合医院
- 08:40-09:00 多模态组学在肾癌中的应用
王贵生, 中国人民解放军总医院第三医学中心
- 09:00-09:20 睾丸常见病变的 MRI 表现
孙浩然, 天津医科大学总医院
- 09:20-09:40 肾脏发育异常影像学表现
王海屹, 中国人民解放军总医院第一医学中心
- 09:40-10:00 肾上腺低脂腺瘤影像诊断与鉴别方法
李文政, 中南大学湘雅医院

中华医学会 第30次全国放射学学术大会

CHINESE CONGRESS OF RADIOLOGY 2023



10:00-11:55

泌尿生殖 + 综合影像 (二)

主持人：蔡萍，陆军军医大学第一附属医院（西南医院）；周良平，复旦大学附属肿瘤医院；
曾宪春，贵州省人民医院

10:00-10:20 妊娠期阑尾炎的 MRI 评估

蔡萍，陆军军医大学第一附属医院（西南医院）

10:20-10:40 肾上腺皮质肿瘤的不典型影像表现及病理对照分析

周良平，复旦大学附属肿瘤医院

10:40-11:00 肠系膜实质性占位的影像诊断及鉴别

曾宪春，贵州省人民医院

11:00-11:20 腹部安全带损伤影像学诊断

谭显政，湖南省人民医院（湖南师范大学附属第一医院）

11:20-11:25 Radiomics model based on contrast-enhanced CT texture features for pretreatment prediction of overall survival in esophageal neuroendocrine carcinoma

慕宛伶，郑州大学

11:25-11:30 CT-based artificial intelligence for individual lymph node metastasis assessment in gastric cancer
秦韵，四川大学华西医院

11:30-11:35 Combination of clinical and spectral-CT parameters in evaluating the perineural invasion of node-negative gastric cancer
任铁柱，兰州大学第二医院

11:35-11:40 系膜内结节“血管植入征”是局部进展期直肠癌预后独立影响因素

孙瑞佳，北京大学肿瘤医院

11:40-11:45 Quantitative imaging techniques of Creeping fat: research progress and clinical value in Crohn's disease
王博文，山东大学

11:45-11:50 Predicting human epidermal growth factor receptor 2 status of patients with gastric cancer by computed tomography and clinical features
王霁朏，中山大学附属第一医院

11:50-11:55 光谱 CT 的细胞外容积及电子云密度在结肠癌浆膜受侵中的研究

王艺洁，昆明医科大学第一附属医院



骨关节学组

2023-11-17

A106-107

13:30-15:30

骨关节新进展

主持人：袁慧书，北京大学第三医院；曾献军，南昌大学第一附属医院；
程晓光，首都医科大学附属北京积水潭医院

13:30-13:50 人工智能与骨质疏松
程晓光，首都医科大学附属北京积水潭医院

13:50-14:10 MR-ZTE 技术及其在骨关节中的应用
李绍林，中山大学附属第五医院

14:10-14:30 人工智能骨关节智能测量的研究和应用
龚向阳，浙江省人民医院

14:30-14:50 UTE 序列 MRI 在早期软骨退变的临床应用价值初探
汤光宇，同济大学附属第十人民医院

14:50-15:10 软骨磁共振研究和应用进展
陆 勇，上海交通大学医学院附属瑞金医院卢湾分院

15:10-15:30 脊柱侧弯畸形的人工智能测量研究
周 晟，甘肃省人民医院

15:40-17:20

骨关节新进展

主持人：孟悛非，中山大学附属第一医院；查云飞，武汉大学人民医院；丁建平，杭州师范大学附属医院

15:40-16:00 肩关节术后的 MR 定量评估
陈 爽，复旦大学附属华山医院

16:00-16:20 多发性骨髓瘤影像诊断进展
葛英辉，阜外华中心血管病医院

16:20-16:40 磁共振骨肌代谢成像前沿进展
杨 炼，华中科技大学同济医学院附属协和医院

16:40-17:00 脊柱影像诊断陷阱分享
涂占海，福建医科大学附属第一医院

17:00-17:20 T2 mapping 成像骨肌应用进展
张维升，大连医科大学附属第一医院



A109

13:30-15:30

骨与软组织肿瘤

主持人：王德杭，江苏省人民医院（南京医科大学第一附属医院）；曾自三，广西医科大学第一附属医院；
王绍武，大连医科大学附属第二医院

13:30-13:50 软组织肿块的MRI信号、强化类型及其鉴别价值
王绍武，大连医科大学附属第二医院

13:50-14:10 软组织肿瘤的影像诊断
崔建岭，河北医科大学第三医院

14:10-14:30 鼻窦及颅面部纤维—骨病变的影像学再认识
杨本涛，首都医科大学附属北京同仁医院

14:30-14:50 侵袭性纤维瘤病的影像学特征及疗效评价
张朝晖，中山大学附属第一医院

14:50-15:10 含脂肿瘤的影像诊断思路
刘霞，北京大学人民医院

15:10-15:30 极不靠谱的滑膜肉瘤：影像病理对照分析
许霖，中国人民解放军总医院第一医学中心

骨与软组织肿瘤

主持人：强永乾，西安交通大学第一附属医院；艾松涛，上海交通大学医学院附属第九人民医院；
郎宁，北京大学第三医院

15:40-16:00 硬化性骨病分类及影像学表现
强永乾，西安交通大学第一附属医院

16:00-16:20 隆突性纤维肉瘤影像学诊断与鉴别
艾松涛，上海交通大学医学院附属第九人民医院

16:20-16:40 长骨血管性肿瘤影像诊断
张劲松，中国人民解放军空军军医大学第一附属医院

16:40-17:00 骨肉瘤患者肺结节性质的判定
高振华，中山大学附属第一医院

17:00-17:20 骨盆肿瘤的影像诊断思路
于爱红，首都医科大学附属北京安定医院



2023-11-18

A106-107**08:00-09:40****运动与创伤**

主持人：徐文坚，青岛大学附属医院；王晨光，中国人民解放军海军军医大学第二附属医院；
陈建宇，中山大学附属第二医院

08:00-08:20 骨骼损伤影像诊断价值与限度

徐文坚，青岛大学附属医院

08:20-08:40 胸腰椎骨折影像评估：方法与内容

王晨光，中国人民解放军海军军医大学第二附属医院

08:40-09:00 跗骨窦损伤影像学诊断

陈建宇，中山大学附属第二医院

09:00-09:20 易于误诊为股骨头缺血坏死的病变分析

蔡香然，暨南大学附属第一医院（广州华侨医院）

09:20-09:40 慢性踝关节不稳影像分析

何波，昆明医科大学第一附属医院

09:50-11:50**运动与创伤**

主持人：白荣杰，首都医科大学附属北京积水潭医院；柳林，吉林大学中日联谊医院；
常晓丹，大连大学附属中山医院

09:50-10:10 TFCC 损伤的病理及影像学表现

白荣杰，首都医科大学附属北京积水潭医院

10:10-10:30 创伤性出血的 CT 诊断及治疗

柳林，吉林大学中日联谊医院

10:30-10:50 跖板损伤影像学评价

常晓丹，大连大学附属中山医院

10:50-11:10 髌胫束相关损伤的 MRI 诊断

赵衡，南华大学附属第一医院

11:10-11:30 脊柱术后并发症的影像学评估

何来昌，南昌大学第一附属医院

11:30-11:50 超短回波磁共振在半月板病变中的应用

吴梅，广州市第一人民医院

中华医学会 第30次全国放射学学术大会

CHINESE CONGRESS OF RADIOLOGY 2023



13:30-15:10

运动与创伤

主持人：李小明，华中科技大学同济医学院附属同济医院；潘诗农，中国医科大学附属盛京医院；
左后东，川北医学院附属医院

13:30-13:50 下肢血管的 MR 成像

李小明，华中科技大学同济医学院附属同济医院

13:50-14:10 儿童肩关节病变 MR 影像特征分析：五个思考

潘诗农，中国医科大学附属盛京医院

14:10-14:30 耻骨影像解剖及常见病变影像诊断与鉴别

陈伟，陆军军医大学第一附属医院（西南医院）

14:30-14:50 骨膜反应的影像学改变及病理机制

郝大鹏，青岛大学附属医院

14:50-15:10 髋股关节不稳的影像分析

陈君蓉，四川省骨科医院

15:20-17:20

炎性与代谢性疾病

主持人：田军，山东省医学影像学研究所；龚沈初，南通市第一人民医院；张燕，中国医学科学院北京协和医院

15:20-15:40 跗骨与大关节痛风影像学诊断

田军，山东省医学影像学研究所

15:40-16:00 再谈医学影像报告的撰写

余卫，中国医学科学院北京协和医院

16:00-16:20 骨质疏松影像学检查及质量控制

郭智萍，阜外华中心血管病医院

16:20-16:40 脊柱周钙化与骨化征象的影像 - 病理 - 临床分析

欧阳林，厦门大学附属东南医院

16:40-17:00 MRI 在强直性脊柱炎临床诊疗中的价值及科研体会

宋玲玲，贵州医科大学附属医院

17:00-17:20 类风湿性关节炎的诊断与鉴别诊断

程天明，河南省人民医院

A109

08:00-09:40

炎性与代谢性疾病

主持人：刘斯润，暨南大学附属第一医院（广州华侨医院）；牛金亮，山西医科大学第二医院；
雷新玮，天津市第一中心医院

08:00-08:20 从甲旁亢纤维囊性骨病看几种钙磷代谢异常骨病的临床影像诊断

刘斯润，暨南大学附属第一医院（广州华侨医院）



- 08:20-08:40 股骨头骨髓水肿相关疾病的诊断思路
牛金亮，山西医科大学第二医院
- 08:40-09:00 基于”滑膜 - 附着点复合体“早期识别 SpA 膝关节受累及相关鉴别诊断
雷新玮，天津市第一中心医院
- 09:00-09:20 布氏杆菌关节炎影像学表现
于静红，内蒙古医科大学第二附属医院
- 09:20-09:40 脊柱小关节病变影像诊断
何 涌，桂林医学院第二附属医院

09:50-11:50 炎性与代谢性疾病

主持人：黄仲奎，广西医科大学第一附属医院；姚伟武，上海交通大学医学院附属同仁医院；
黄振国，中日友好医院

- 09:50-10:10 马尔尼菲蓝菌骨肌感染影像学特征
黄仲奎，广西医科大学第一附属医院
- 10:10-10:30 脊柱不典型影像表现的病变诊断
姚伟武，上海交通大学医学院附属同仁医院
- 10:30-10:50 炎性肌病的影像诊断
黄振国，中日友好医院
- 10:50-11:10 痛风性关节炎双能 CT 和临床相关性研究
邹月芬，江苏省人民医院（南京医科大学第一附属医院）
- 11:10-11:30 布鲁杆菌性脊柱炎与脊柱结核影像鉴别诊断
戴 畅，浙江大学附属邵逸夫医院兵团阿拉尔医院
- 11:30-11:50 ax-SpA 髓髂关节炎 MR 评估
洪国斌，南方医科大学珠江医院

2023-11-19

A106-107

08:00-09:30 青年论文报告比赛 - 英文专场（8分钟发言，2分钟点评）

主持人：王凤丹，中国医学科学院北京协和医院；陈勇，杭州师范大学附属医院（杭州市第二人民医院）
讨论点评：陈爽，复旦大学附属华山医院；程晓光，首都医科大学附属北京积水潭医院；
李小明，华中科技大学同济医学院附属同济医院；吕晓虹，锦州医科大学附属第一医院；
唐静，四川大学华西医院；周永，新疆医科大学附属肿瘤医院

- 08:00-08:10 Feasibility of artificial intelligence-supported assessment of dual-energy computed tomography for measuring bone mineral density: correlation with quantitative CT
李亚丽，北京大学第三医院

中华医学会 第30次全国放射学学术大会

CHINESE CONGRESS OF RADIOLOGY 2023

骨关节学组

- 08:10-08:20 Quantitative multiparametric UTE-MRI sequences for early cartilage degeneration corresponding to biochemical components—an in vivo study
苏晓莲, 上海市第十人民医院
- 08:20-08:30 Radiomics analysis based on dual-energy CT hydroxyapatite (HAP)-fat decomposition technique for osteoporosis prediction
王金玲, 湖南中医药大学
- 08:30-08:40 Evaluation of the peripheral nerves of the knee using Double-Echo Steady-State MRI at 7 T
陈品珍, 陆军军医大学第一附属医院(西南医院)
- 08:40-08:50 Inter-rater variability and repeatability in the assessment of the Tanner-Whitehouse classification of hand radiographs for the estimation of skeletal age
耿 健, 陕西中医药大学附属医院
- 08:50-09:00 Prediction the early retear in the rotator cuff tear patients after arthroscopy based on preoperative indexes
刘新新, 西安市红会医院
- 09:00-09:10 Radiomics Model based on MRI to Differentiate Spinal Multiple Myeloma from Metastases: A Two-center Study
王 祥, 中国人民解放军海军军医大学第二附属医院
- 09:10-09:20 Investigation of the anatomic risk factors in acute anterior cruciate ligament rupture combined with ramp lesions of the medial meniscus by quantitative MRI
唐资益, 重庆医科大学
- 09:20-09:30 总结

09:50-11:00 青年论文报告比赛 - 中文专场 (8分钟发言, 2分钟点评)

主持人: 闫东, 首都医科大学附属北京积水潭医院; 崔久法, 青岛大学附属医院

讨论点评: 曾献军, 南昌大学第一附属医院; 曾自三, 广西医科大学第一附属医院;

王绍武, 大连医科大学附属第二医院; 吴刚, 华中科技大学同济医学院附属同济医院;

张晓东, 南方医科大学第三附属医院

- 09:50-10:00 基于影像及临床参数对脊髓型颈椎病预后评估的列线图模型构建
余召强, 南昌大学第一附属医院

- 10:00-10:10 基于骨骼弥散张量成像的模型可用于儿童身高的预测
李灵丽, 华中科技大学同济医学院附属协和医院

- 10:10-10:20 基于深度学习的肩关节 MR 冈上肌腱撕裂的全自动诊断方法
李 杰, 青岛大学附属医院

- 10:20-10:30 基于倾向性得分匹配法分析椎旁肌退变对腰椎椎间融合术后相邻节段病翻修术的预测价值
李丹丹, 大连医科大学附属第一医院

10:30-10:40 基于 3.0T 化学位移编码磁共振成像的髌股关节骨髓脂肪酸成分分析
陈 民，南方科技大学医院

10:40-10:50 髌下脂肪垫脂肪含量可评估膝骨性关节炎严重程度 ——一项基于磁共振 mDIXON—Quant 脂肪定量技术的研究
赵保根，河北医科大学第一医院

10:50-11:00 总结



儿科学组

2023-11-17

A214-215

13:30-15:30

儿童神经系统疾病影像诊断

主持人：张小安，河南科技大学；王春祥，天津市儿童医院；李庚武，安徽省儿童医院

13:30-13:50 儿童遗传代谢性疾病相关颅内钙化影像学特点

李 欣，天津市第二人民医院

13:50-14:10 影像征象与临床病理 - 探讨如何正确地影像思维

叶滨宾，中山大学附属第一医院

14:10-14:30 小儿双侧基底节病变的影像诊断思路

严志汉，温州医科大学附属第二医院

14:30-14:50 癫痫 MR 成像规范 (HARNESS-MRI) 及 MR 新技术应用进展

肖江喜，北京大学第一医院

14:50-15:10 儿童特发性全面性癫痫 MRI 研究

张体江，遵义医科大学附属医院

15:10-15:30 脑瘫儿童 MRI 研究进展

杨 健，西安交通大学第一附属医院

15:30-17:30

儿童肿瘤疾病影像诊断

主持人：贺玉玺，包头市第四医院（包头市儿童医院）；丁山，江西省儿童医院；

彭雪华，华中科技大学同济医学院附属武汉儿童医院

15:30-15:50 从影像征象出发，让放射回归本色 --- 小儿腹部经典征象剖析与临床意义

邵剑波，华中科技大学同济医学院附属武汉儿童医院

15:50-16:10 人工智能技术在儿科影像的应用

何 玲，重庆医科大学附属儿童医院

16:10-16:30 儿童脑中线肿瘤的诊断思路

曾洪武，深圳市儿童医院

16:30-16:50 儿童肾脏肿瘤影像诊断思路分析

赵 鑫，郑州大学第三附属医院

16:50-17:10 内淋巴囊瘤影像诊断与鉴别诊断

燕 飞，首都医科大学附属北京同仁医院

17:10-17:30 NMDAR 脑炎的 MRI 诊断

杨秀军，上海交通大学医学院附属儿童医院



2023-11-18

A214-215

08:00-10:00

胎儿及新生儿疾病影像诊断

主持人：王静石，大连市妇女儿童医疗中心；石浩，昆明市儿童医院；桂东川，新疆生产建设兵团第五师医院

08:00-08:20 磁共振在新生儿肺部疾病的的应用价值
宁 刚，四川大学华西第二医院

08:20-08:40 新生儿脑膜炎 MRI 研究
乔中伟，复旦大学附属儿科医院

08:40-09:00 胎儿畸胎瘤的 MRI 评价
刘鸿圣，广州市妇女儿童医疗中心

09:00-09:20 新生儿颅内出血的影像表现
金 科，湖南省儿童医院

09:20-09:40 MRKH 综合征临床及影像学特征
林剑军，广西壮族自治区妇幼保健院

09:40-10:00 MRI 在胎儿脑容积预测中的应用价值
王 强，泉州市儿童医院

10:00-12:00

儿童胸腹部疾病影像诊断

主持人：刘俊刚，厦门市儿童医院（复旦大学附属儿科医院厦门医院）；唐文伟，南京市妇幼保健院；杜桂枝，临沂市妇幼保健院

10:00-10:20 先天性门体静脉分流影像诊断
朱 铭，上海交通大学医学院附属上海儿童医学中心

10:20-10:40 小儿心力衰竭的磁共振评估
钟玉敏，上海交通大学医学院附属上海儿童医学中心

10:40-11:00 先心病患儿心脏影像成像中的气道观察
杨 明，南京医科大学附属儿童医院

11:00-11:20 十年腹痛为那般？上消化道梗阻案例分享
范 森，中山大学附属第一医院

11:20-11:40 儿童非结构性心脏病影像诊断思路
张 静，兰州大学第二医院

11:40-12:00 “慷慨解囊” -- 多囊样肾病变影像解读与鉴别
马 睿，山东省立医院

中华医学会 第30次全国放射学学术大会

CHINESE CONGRESS OF RADIOLOGY 2023



13:30-15:50 儿童免疫性疾病及其它疾病影像诊断

主持人：赖华，成都市妇女儿童中心医院；闫清淳，首都儿科研究所附属儿童医院；
王水，新疆维吾尔自治区儿童医院

13:30-13:50 儿童慢性EB病毒感染的影像认识
彭芸，国家儿童医学中心/首都医科大学附属北京儿童医院

13:50-14:10 多模态功能磁共振在儿童肾损伤中的应用
尹传高，安徽省儿童医院

14:10-14:30 儿童纵隔肿瘤影像诊断及鉴别诊断
赵建设，济南市儿童医院

14:30-14:50 MOGAD诊断. 国际国内专家共识相关临床影像解读
张晓凡，哈尔滨市儿童医院

14:50-15:10 儿童多系统炎症综合征的影像特征
赖灿，浙江大学医学院附属儿童医院

15:10-15:30 儿童线粒体脑肌病在中枢神经系统的MRI表现
周作福，福建省妇幼保健院

15:30-15:50 基于CT影像组学的机器学习模型在儿童社区获得性肺炎诊疗体系中的应用
徐树明，山西省儿童医院（山西省妇幼保健院）

16:00-16:50 青年学组专场（英文）

主持人：王静，吉林大学第一医院；刘明，上海交通大学医学院附属新华医院

16:00-16:10 Detention of fetal cardiac anomaly using prenatal MRI
董素贞，上海交通大学医学院附属上海儿童医学中心

16:10-16:20 Differential diagnosis of cerebellopontine angle area neoplasms in children
陈静，天津市儿童医院

16:20-16:30 Fetal development: From Biometry to sulcus
夏薇，华中科技大学同济医学院附属武汉儿童医院

16:30-16:40 MRI of the fetal posterior fossa disease
陈荟竹，四川大学华西第二医院

16:40-16:50 imaging diagnosis of central nervous system involvement in leukemia
刘锟，温州医科大学附属第二医院



16:50-17:20

论文发言（英文）

主持人：王静，吉林大学第一医院；刘明，上海交通大学医学院附属新华医院

16:50-16:55 Alterations of large-scale functional network connectivity in patients with infantile esotropia before and after surgery
国建林，首都医科大学附属北京儿童医院

16:55-17:00 Early recognition of necrotizing pneumonia in children based on non-contrast-enhanced computed tomography (CT) radiomics signatures
陈欣，重庆医科大学附属儿童医院

17:00-17:05 The associations of MRI-based proton density fat fraction of liver and vertebral marrow with common data acquired from physical examinations in children with obesity
李金凝，上海交通大学医学院附属新华医院

17:05-17:10 Conventional pituitary MRI radiomics feature improves diagnostic performance between growth hormone deficiency and idiopathic short stature
舒琨，温州医科大学附属第二医院

17:10-17:15 Structural covariance network alterations associated with motor controlling in preterm and full-term children with periventricular leukomalacia
林洁琼，深圳市儿童医院

17:15-17:20 Alterations of white-matter functional network in children with drug refractory temporal lobe epilepsy: A Graph-Theoretical Study
谢雨辛，遵义医科大学



介入学组

2023-11-18

A208

08:00-10:00

第一节：肿瘤介入专场（上半场）

主持人：朱旭，北京大学肿瘤医院；刘凤永，中国人民解放军总医院；郭金和，东南大学附属中大医院

08:00-08:20 肿瘤精准介入诊疗研究初探

钟红珊，中国医科大学附属第一医院

08:20-08:40 中晚期肝癌介入联合靶免治疗的实践与探索

李家平，中山大学附属第一医院

08:40-09:00 Angio-CT 在肝脏肿瘤介入治疗中的应用

邵国良，中国科学院大学附属肿瘤医院（浙江省肿瘤医院）

09:00-09:20 肝癌靶向治疗肠道不良反应机制研究

吕维富，中国科学技术大学第一医院

09:20-09:40 介入治疗在肝癌转化治疗中的临床实践

许林锋，中山大学孙逸仙纪念医院

09:40-10:00 HAIC 为核心血管内介入治疗胆管癌临床应用

张跃伟，清华大学附属北京清华长庚医院

10:00-12:00

第二节：肿瘤介入专场（下半场）

主持人：任伟新，新疆医科大学第一附属医院；李文涛，复旦大学附属肿瘤医院；

邵海波，中国医科大学附属第一医院

10:00-10:20 球囊闭塞经导管动脉化疗栓塞治疗肝细胞癌的研究进展

倪才方，苏州大学附属第一医院

10:20-10:40 不同治疗策略的钇 90 微球内放射治疗肝癌

朱康顺，广州医科大学附属第二医院

10:40-11:00 根治性钇 90 SIRT 治疗 HCC

朱海东，东南大学附属中大医院

11:00-11:20 微波消融联合经动脉化疗栓塞治疗进展期肺癌

李晓光，北京医院

11:20-11:25 Clinical analysis of esophageal artery chemoembolization combined with camrelizumab for advanced esophageal squamous carcinoma

许文泽，郑州大学第一附属医院

11:25-11:30 Immunomodulators enhance the effect of anti-PD-1 therapy on incomplete ablation of residual tumors.

孙 涛，华中科技大学同济医学院附属协和医院



- 11:30-11:35 MRI-based Investigation of Dynamic changes in Viable Hepatocellular Carcinoma following Transarterial Chemoembolization
王伟浪, 东南大学附属中大医院
- 11:35-11:40 肝动脉输注化疗联合分子靶向和免疫治疗最佳治疗有效率的初步研究
李 梅, 天津医科大学肿瘤医院
- 11:40-11:45 Transcatheter arterial embolization for hepatic hemangioma: effectiveness and its affecting factors
赵 丹, 华中科技大学同济医学院附属协和医院
- 11:45-11:50 真实世界中肝动脉灌注化疗治疗一线化疗失败的胰腺癌肝转移的疗效和安全性
朱坤忠, 青海大学附属医院
- 11:50-11:55 Glubran2 组织胶在肝细胞癌外科切除术前计划性门静脉栓塞术中的应用价值
王海瑞, 中国医科大学附属盛京医院
- 11:55-12:00 TACE 联合靶向或免疫药物治疗不可切除的肝内胆管细胞癌的临床疗效研究
宋子阳, 中国科学院大学附属肿瘤医院(浙江省肿瘤医院)

13:30-15:30**第三节：血管介入专场（上半场）**

主持人：杨建勇，中山大学附属第一医院；顾建平，南京市第一医院；许国辉，四川省肿瘤医院

- 13:30-13:50 2023《中国 Stanford B 型主动脉夹层影像诊断和介入治疗临床指南》解读
郑传胜, 华中科技大学同济医学院附属协和医院
- 13:50-14:10 杂交手术在下肢动脉硬化闭塞症的应用
周 石, 贵州医科大学附属医院
- 14:10-14:30 血流导向装置置入术后围手术期管理及并发症处理
王 峰, 大连医科大学附属第一医院
- 14:30-14:50 左锁骨下动脉闭塞开通重建的经验分享
胡红耀, 武汉大学人民医院
- 14:50-15:10 复杂动静脉畸形介入治疗理论与实践
张 靖, 广东省人民医院
- 15:10-15:30 TIPS 治疗门静脉阻塞所致门静脉高压症
胡继红, 昆明医科大学第一附属医院

15:30-17:30**第四节：血管介入专场（下半场）**

主持人：杨维竹，福建医科大学附属协和医院；李肖，中国医学科学院肿瘤医院；于长路，天津市第三中心医院

- 15:30-15:50 特殊类型门脉高压的介入诊疗进展
朱晓黎, 苏州大学附属第一医院

中华医学会 第30次全国放射学学术大会

CHINESE CONGRESS OF RADIOLOGY 2023



- 15:50-16:10 医用胶在胃静脉曲张 BRTO 中应用
梁 斌, 华中科技大学同济医学院附属协和医院
- 16:10-16:30 从跟跑到并跑, 浅谈 UKKA 指南中的中国技术
黄勇慧, 中山大学附属第一医院
- 16:30-16:50 经桡入路行外周介入的获益和经验分享
刘 曦, 重庆医科大学附属第二医院
- 16:50-16:55 脊髓 CT 血管造影对脊髓血管畸形的评价价值
曹旭阳, 北京大学人民医院
- 16:55-17:00 基于深度学习的 TBAD 真假腔智能分割重建研究
向东桥, 华中科技大学同济医学院附属协和医院
- 17:00-17:05 直接淋巴管造影在原发性乳糜尿中的诊断价值
郝 琪, 北京大学人民医院
- 17:05-17:10 Efficacy of TACE Combined with Sirolimus in the Treatment of Kasabach-Merritt Phenomenon in Infants
尹传高, 安徽省儿童医院
- 17:10-17:15 Endovascular Treatment for Patients with Perforator Stroke Related to Middle Cerebral Artery Stenosis: Based on Multi-Mode Imaging
王子尧, 郑州大学第一附属医院
- 17:15-17:20 肝硬化脾功能亢进大鼠模型的构建和部分脾动脉栓塞治疗研究
田桂甫, 昆明医科大学第一附属医院
- 17:20-17:25 逆向开通技术在肠系膜上动脉闭塞的应用策略
梁 凯, 河南省人民医院
- 17:25-17:30 Development of a Sun Yat-sen sharp recanalization (SYSR) scoring system for thoracic venous occlusive disease in hemodialysis patients
陈 斌, 中山大学附属第一医院

2023-11-19

A208

08:00-10:00

第五节：综合介入专场（上半场）

主持人：牟玮，陆军军医大学第一附属医院；王南，华中科技大学同济医学院附属同济医院；
李佳睿，吉林大学第一医院

- 08:00-08:20 生物可降解支架在非血管疾病治疗应用新进展
程英升, 同济大学附属同济医院
- 08:20-08:40 复杂性气道病变的介入治疗进展
王忠敏, 上海交通大学医学院附属瑞金医院



- 08:40-09:00 肝癌精准消融治疗
黎海亮, 河南省肿瘤医院
- 09:00-09:20 冷冻消融: 远隔效应并不遥远
范卫君, 中山大学肿瘤防治中心
- 09:20-09:40 提高胆道活检阳率的临床研究
黄明, 昆明医科大学第三附属医院
- 09:40-10:00 前列腺动脉栓塞治疗良恶性前列腺疾病的临床应用
孔健, 深圳市人民医院

10:00-12:00 第六节: 综合介入专场 (下半场)

主持人: 郑加贺, 中国医科大学附属盛京医院; 王志伟, 中国医学科学院北京协和医院;
牛刚, 西安交通大学第一附属医院

- 10:00-10:20 经皮骨水泥成形术治疗胸骨病变
吴春根, 上海市第六人民医院
- 10:20-10:40 晚期栓塞终点治疗子宫腺肌症
靳勇, 苏州大学附属第二医院
- 10:40-11:00 CT-guided percutaneous radiofrequency ablation of hepatic malignancies adjacent to the heart
胡鸿涛, 河南省肿瘤医院
- 11:00-11:20 输入袢综合征诊疗策略
任建庄, 郑州大学第一附属医院
- 11:20-11:25 Experimental Study on Thermal Field of Microwave Ablation in Homogenous Liquid Using Cyst-Mimicking Models
李彬, 北京医院
- 11:25-11:30 ERAS 理念联合氢吗啡酮 PCA 在恶性肿瘤介入围手术期的应用研究
赵久甜, 贵州医科大学附属肿瘤医院
- 11:30-11:35 基于 NaXWO₃ 纳米晶体的微波消融和化学动力学联合治疗三阴性乳腺癌
闫海丽, 山西医科大学第一医院
- 11:35-11:40 Low-dose CT fluoroscopy-guided interventional minimally invasive robot
何晓锋, 中国人民解放军总医院第一医学中心
- 11:40-11:45 介入光学成像实时引导及评估肝癌射频消融治疗
阙雷锋, 华中科技大学同济医学院附属协和医院
- 11:45-11:50 Safety and Efficacy of CT-guided Preoperative Indocyanine Green Localized Simultaneous Video-Assisted Thoracoscopic Surgery of Multiple Pulmonary Nodules a Retrospective Study
张深博, 中国医学科学院北京协和医院

中华医学会
第30次全国放射学学术大会
CHINESE CONGRESS OF RADIOLOGY 2023



11:50-11:55 Radiation Dose and Image quality evaluation of Virtual Monoenergetic Images from Spectral CT in CT guided percutaneous spine biopsy

田 帅, 北京大学第三医院

11:55-12:00 肝肾囊肿 CT 引导下聚桂醇硬化治疗

方统磊, 上海市第六人民医院



磁共振学组

2023-11-17

A102-103

13:30-15:30

MRI 前沿论坛（一）

主持人：贾文霄，新疆医科大学第一附属医院；罗天友，重庆医科大学附属第一医院；李飒英，北京医院

13:30-13:50 冠状动脉 MR 成像临床应用的探讨

卢光明，中国人民解放军东部战区总医院

13:50-14:10 黑质体 -1 征象：成像技术与临床应用价值

严福华，上海交通大学医学院附属瑞金医院

14:10-14:30 5T MRI 在中枢神经系统的应用及展望

冯 逢，中国医学科学院北京协和医院

14:30-14:50 纳米磁共振对比剂

高明远，苏州大学

14:50-15:10 从国自然评审的角度看基金标书书写注意事项

刘再毅，广东省人民医院

15:10-15:30 一体化 PET/MR 在癫痫的研究应用

卢 洁，首都医科大学宣武医院

MRI 代谢成像

主持人：张伟国，中国人民解放军陆军特色医学中心；刘鹏飞，哈尔滨医科大学附属第一医院；

程晓青，中国人民解放军东部战区总医院

15:50-16:10 磁共振代谢成像

程敬亮，郑州大学第一附属医院

16:10-16:30 酰胺质子转移成像在中枢神经系统的应用

李春媚，北京医院

16:30-16:50 代谢分子靶向磁共振技术的研发与应用

姚叶锋，华东师范大学物理与电子科学学院

16:50-17:10 在体代谢物的直接测量：磁共振编辑波谱技术的发展及应用

王 曼，浙江大学生物医学工程与仪器科学学院

17:10-17:30 磁共振成像在肿瘤放射治疗中的应用

温 宁，上海交通大学医学影像先进技术研究院

中华医学会 第30次全国放射学学术大会

CHINESE CONGRESS OF RADIOLOGY 2023



A104-105

13:30-15:30

MRI 前沿论坛（二）

主持人：强金伟，复旦大学附属金山医院；王莉霞，华中科技大学同济医学院附属协和医院；
童彤，复旦大学附属肿瘤医院

13:30-13:50 7T 神经影像临床应用初探

娄 昱，解放军总医院第一医学中心

13:50-14:10 MR 神经递质成像在脑疾病的应用

朱文珍，华中科技大学同济医学院附属同济医院

14:10-14:30 磁共振新技术在骨肌系统中的应用

李绍林，中山大学附属第五医院

14:30-14:50 高级扩散模型的神经系统临床应用进展

张 勇，郑州大学第一附属医院

14:50-15:10 肌萎缩侧索硬化症 MR 研究新进展

张 明，西安交通大学第一附属医院

15:10-15:30 MR 影像组学和人工智能在脑肿瘤的研究进展

张敏鸣，浙江大学医学院附属第二医院

15:50-17:30

MRI 前沿论坛（三）

主持人：任克，厦门大学附属翔安医院；赵莲萍，甘肃省人民医院；武春雪，首都医科大学宣武医院

15:50-16:10 磁共振弹性成像与临床应用

冯 原，上海交通大学

16:10-16:30 磁共振弹性成像的动物实验研究进展

石 喻，中国医科大学附属盛京医院

16:30-16:50 磁共振弹性成像在肿瘤中的研究进展

李若坤，上海交通大学医学院附属瑞金医院

16:50-17:10 脑小血管病磁共振表现与评估技术进展

张 鑫，南京大学医学院附属鼓楼医院

17:10-17:30 周围神经 MR 成像研究

王莉霞，华中科技大学同济医学院附属协和医院



2023-11-18

A102-103**08:00-10:00****MRI 临床思维训练（一）**

主持人：李亮，武汉大学人民医院；刘锴，中国人民解放军联勤保障部队第960医院；邢妩，中南大学湘雅医院

08:00-08:20 基于病例的DWI和PWI脑疾病鉴别诊断价值
曹代荣，福建医科大学附属第一医院

08:20-08:40 鞍上占位性病变影像诊断
崔光彬，空军军医大学第二附属医院

08:40-09:00 基底节区对称性病变的影像诊断与鉴别
王云玲，新疆医科大学第一附属医院

09:00-09:20 脑内淋巴系统肿瘤影像学
尹波，复旦大学附属华山医院

09:20-09:40 大动脉炎高分辨管壁成像的诊断价值
于薇，首都医科大学附属北京安贞医院

09:40-10:00 颅颈动脉粥样硬化疾病和卒中风险：高分辨率磁共振血管壁成像研究
李澄，东南大学附属中大医院

10:20-12:00**MRI 临床思维训练（二）**

主持人：武春雪，首都医科大学宣武医院；黄燕琪，广东省人民医院；罗禹，同济大学附属上海市第四人民医院

10:20-10:40 不同部位窦组织细胞增生症的影像表现
姚振威，复旦大学附属华山医院

10:40-11:00 泌尿生殖系统IgG4相关疾病的影像学表现和临床病理特征
赵斌，山东第一医科大学附属省立医院

11:00-11:20 跟骨肿瘤的影像诊断与鉴别诊断
李跃华，上海交通大学医学院附属第六人民医院

11:20-11:40 不典型胰腺癌影像诊断
肖文波，浙江大学医学院附属第一医院

11:40-12:00 急性胰腺炎活跃程度的临床和影像学评价
张小明，川北医学院附属医院

13:30-15:30**MRI 临床应用 - 神经**

主持人：田冰，海军军医大学第一附属医院（上海长海医院）；李传亭，山东第一医科大学附属省立医院；邢妩，中南大学湘雅医院

13:30-13:50 修订版阿尔茨海默病诊断临床标准（草案）解读
韩璎，首都医科大学宣武医院

中华医学会 第30次全国放射学学术大会

CHINESE CONGRESS OF RADIOLOGY 2023

磁共振学组

- 13:50-14:10 多发性硬化患者全流程管理的 MRI 应用
胡 娜, 四川大学华西医院
- 14:10-14:30 多模态神经影像与 VR 视觉训练在成人弱视患者中的研究
马国林, 中日友好医院
- 14:30-14:50 静息态功能磁共振参考常模的应用价值
臧玉峰, 杭州师范大学附属医院
- 14:50-15:10 基于 MRI 磁化率特征的脑健康标记物及其遗传结构
王超越, 上海交通大学医学影像先进技术研究院
- 15:10-15:30 自旋单态靶向谷氨酸氢质子磁共振波谱射频脉冲序列的开发及临床应用
刘含秋, 复旦大学附属华山医院

15:50-17:30 MRI 临床应用 - 心胸

主持人: 李安宁, 山东大学齐鲁医院; 王美豪, 温州医科大学附属第一医院;
张岚, 河南医科大学第一所附属医院

- 15:50-16:10 左室逆重构的 CMR 影像学评估
龚良庚, 南昌大学第二附属医院
- 16:10-16:30 CMR 及其新技术在心力衰竭中的应用
陆敏杰, 中国医学科学院阜外医院
- 16:30-16:50 心脏磁共振 (CMR) 在缺血性脑卒中的应用进展
赵新湘, 昆明医科大学第二附属医院
- 16:50-17:10 影像新技术在心肌纤维化中的应用价值
李小虎, 安徽医科大学第一附属医院
- 17:10-17:30 心脏血氧依赖磁共振成像的最新进展
刘 婷, 中国医科大学附属第一医院

A104-105

08:00-10:00 MRI 临床应用 - 腹盆 (一)

主持人: 辛军, 中国医科大学附属盛京医院; 陈雁, 中国医学科学院肿瘤医院; 田为中, 泰州市人民医院

- 08:00-08:20 不同评价标准在肝癌靶向及免疫治疗疗效评估中的价值研究
龙莉玲, 广西医科大学第一附属医院
- 08:20-08:40 孤立性门静脉癌栓的影像诊断
沈 文, 天津市第一中心医院
- 08:40-09:00 磁共振新技术在肝癌侵袭性及预后诊断中的价值
王 劲, 中山大学附属第三医院



09:00-09:20 混合型肝细胞癌 - 胆管癌和肝内胆管癌的 MRI 表现
张 岚, 河南医科大学第一附属医院

09:20-09:40 LI-RADS v2018 专项培训对提高肝细胞癌 MRI 诊断效能的作用
杨正汉, 首都医科大学附属北京友谊医院

09:40-10:00 乙肝肝硬化并发上消化道出血的 MRI 预测模型研究
陈天武, 重庆医科大学附属第二医院

10:20-12:00 MRI 临床应用 - 腹盆 (二)

主持人: 彭鹏, 广西医科大学第一附属医院; 夏艺, 中国人民解放军海军军医大学第二附属医院;
刘锴, 中国人民解放军联勤保障部队第 960 医院

10:20-10:40 前列腺癌 MRI 研究进展
张雪宁, 天津医科大学第二医院

10:40-11:00 前列腺多参数磁共振 PIRADS 演变史及临床应用
孙 昊, 中国医学科学院北京协和医院

11:00-11:20 MR 影像组学和深度学习在妇科肿瘤评估中的探索
强金伟, 复旦大学附属金山医院

11:20-11:40 直肠 MRI 使用和解读中的一些争议点
张晓燕, 北京大学肿瘤医院

11:40-12:00 腹部恶性肿瘤神经周侵犯及扩散的影像诊断
彭新桂, 东南大学附属中大医院

13:30-15:30 中文论文发言

主持人: 龚静山, 深圳市人民医院; 邢振, 福建医科大学附属第一医院; 杨蕊梦, 广州市第一人民医院

13:30-13:36 磁共振四维血流成像在肥厚型心肌病左室流出道应用的可行性研究
徐 璟, 中国医学科学院阜外医院

13:36-13:42 多参数 MRE 预测肝硬化患者的肝静脉压力梯度
鲁玥玥, 中国医科大学附属盛京医院

13:42-13:48 基于 11.7 T 磁共振成像系统 DWI 相关参数评估肝纤维化的实验研究
路怡妹, 上海交通大学医学院附属新华医院

13:48-13:54 基于 MRI 生境成像及影像组学预测高级别浆液性卵巢癌患者铂敏感性: 一项多中心研究
毕 秋, 复旦大学附属金山医院

13:54-14:00 基于动脉自旋标记联合 T1 mapping 的机器学习模型诊断阿尔茨海默病的应用研究
王笑男, 北京医院

中华医学会 第30次全国放射学学术大会

CHINESE CONGRESS OF RADIOLOGY 2023

磁共振学组

- 14:00-14:06 基于多模态磁共振的全流程端对端深度学习模型对经新辅助放化疗的局部进展期直肠癌患者的疗效及预后预测价值
刘宗霖, 复旦大学附属肿瘤医院
- 14:06-14:12 基于高分辨率磁共振血管壁成像研究颈动脉斑块内出血与斑块分布象限的关系
曹 鑫, 复旦大学附属华山医院
- 14:12-14:18 基于相位敏感反转恢复技术的灰血序列在检测瘢痕心肌中的临床应用
赵 洁, 华中科技大学同济医学院附属协和医院
- 14:18-14:24 基于血管周围间隙扩散张量成像技术评价发作性睡病患者的脑类淋巴系统改变
胡鹏鑫, 南昌大学第二附属医院
- 14:24-14:30 集成磁共振影像特征对三阴性乳腺癌的预测的研究
傅 彦, 中南大学湘雅医院
- 14:30-14:36 脑动静脉畸形血管构筑特征、破裂状态与 4D flow MR 血流动力学参数相关性的初步研究
王玉婷, 四川省医学科学院·四川省人民医院
- 14:36-14:42 脑小血管病患者白质损害介导脑龄增加对认知功能的影响
李元昊, 华中科技大学同济医学院附属同济
- 14:42-14:48 脑小血管病相关认知障碍患者总负荷评分与认知储备、认知功能的相关性研究
张晓倩, 中国医学科学院北京协和医院
- 14:48-14:54 区域选择性动脉自旋标记 MRI 技术对颈动脉近闭塞患者内膜剥脱术后脑过度灌注的预测价值研究
范晓媛, 中国医学科学院北京协和医院
- 14:54-15:00 三维多频磁共振弹性成像评价肝细胞癌的预后
刘桂雪, 上海交通大学医学院附属瑞金医院
- 15:00-15:06 神经突方向离散和密度成像 (NODDI) 在颞叶癫痫伴海马硬化患者中的诊断价值
张晓楠, 郑州大学第一附属医院
- 15:06-15:12 视野优化和约束无失真单次激发弥散加权成像对肺部病变图像质量及定量分析准确性的研究
李 婕, 中国人民解放军海军军医大学第二附属医院
- 15:12-15:18 心脏移植术后患者与健康者的心脏磁共振多参数对比研究
赵 洁, 华中科技大学同济医学院附属协和医院
- 15:18-15:24 IVIM 监测间充质干细胞对肝部分切除后大鼠肝再生的疗效研究
王旭阳, 南开大学
- 15:24-15:30 基于健康志愿者的三种感知磁共振弹性成像系统的比较研究
王艺锟, 上海交通大学医学院附属瑞金医院



15:50-17:50

英文论文发言

主持人：夏艺，中国人民解放军海军军医大学第二附属医院；
田冰，海军军医大学第一附属医院（上海长海医院）；白岩，河南省人民医院

15:50-15:56 A modified diffusion-weighted MRI-based Suidan criteria from the radiologist's perspective: improved performance in determining the surgical resectability for advanced high grade serous ovarian cancer
陆 静，复旦大学附属肿瘤医院

15:56-16:02 Added-value of 3D amide proton transfer MRI in assessing prognostic factors of cervical cancer: a comparative study with multiple model diffusion-weighted imaging
李淑健，郑州大学第一附属医院

16:02-16:08 Alterations of cerebral perfusion and corresponding brain functional networks in neuropsychiatric systemic lupus patient with cognitive impairment
刘慧洋，中国医科大学附属第一医院

16:08-16:14 Astrocyte reactivity influences cerebral cortical atrophy in prodromal Alzheimer's disease
曾庆泽，浙江大学

16:14-16:20 Cerebral blood flow changes and their genetic mechanisms in major depressive disorder: a combined neuroimaging and transcriptome study
孙雪甜，安徽医科大学第一附属医院

16:20-16:26 Development and validation of a model integrating radiomics and pathomics for predicting post-surgical prostate cancer biochemical recurrence
胡尘翰，苏州大学附属第一医院

16:26-16:32 Eight weeks of bright light therapy increases myelin density in the posterior thalamic radiation in young adults with subthreshold depression: A inhomogeneous magnetization transfer MRI study
陈观茂，暨南大学附属第一医院医

16:32-16:38 In vivo Imaging Exploration: Irisin Prevents High-Fat Diet-Induced Metabolic Disorders via Brown Adipose Tissue Activation
戴景月，东南大学附属中大医院

16:38-16:44 Initial and Follow-up High-Resolution Vessel Wall MRI Study of Spontaneous Cervicocranial Artery Dissection
林雪花，福建医科大学附属第一医院

16:44-16:50 MRI evaluation of serous borderline ovarian tumors and identification of risk factors predicting peritoneal implants
赵书会，上海交通大学医学院附属新华医院

中华医学会 第30次全国放射学学术大会

CHINESE CONGRESS OF RADIOLOGY 2023

- 16:50-16:56 Prenatal magnetic resonance imaging features and postnatal outcomes of congenital hepatic hemangioma: an observational retrospective study
孙 聰, 北京医院
- 16:56-17:02 Rectal Adenocarcinoma: Ex vivo 9.4T MRI - Correlation with Histopathologic Treatment Response to Neoadjuvant Chemoradiotherapy
沈 浮, 海军军医大学第一附属医院(上海长海医院)
- 17:02-17:08 T2-weighted magnetic resonance imaging radiogenomic features for the prediction of neoadjuvant chemotherapy response in patients with osteosarcoma
尹 平, 北京大学人民医院
- 17:08-17:14 Prediction of EGFR Mutation Status in Non-small cell lung cancer Based on Chest MRI Radiomics
杨 斌, 昆明市第一人民医院
- 17:14-17:20 Reproducibility and normal value of liver and spleen stiffness measurement among healthy volunteers by multi-frequency magnetic resonance tomoeLASTOGRAPHY
吕 文, 中山大学附属第一医院
- 17:20-17:26 Multifrequency MR Elastography Based Tomoelastography: Additional New Imaging Tool for Postoperative Pancreatic Fistula Risk Stratification
石思雅, 中山大学附属第一医院
- 17:26-17:32 Comparison of DW-MRI and FDG PET/CT in preoperative assessment of specific-region metastases in advanced epithelial ovarian cancer: a correlation study with surgical results
蔡宋琪, 复旦大学附属中山医院
- 17:32-17:38 A Multiparameter Diagnostic Model Based on MRI Volumetric ADC Histogram and Clinical Variables Accurate Differentiate Thymic Epithelial Tumors from Thymic Lymphomas
王璐娜, 上海交通大学医学院附属胸科医院
- 17:38-17:44 Quantitative assessment of tumor burden in multiple myeloma using MY-RADS from whole-body MRI: comparison with established prognostic biomarkers
熊 星, 苏州大学附属第一医院
- 17:44-17:50 Feasibility study on Pointwise encoding time reduction with radial acquisition (PETRA) magnetic resonance angiography (MRA) to assess intracranial artery at 7 Tesla
孔祥闻, 华中科技大学同济医学院附属协和医院

分子影像学组

2023-11-17

A301-302

13:30-14:55

分子影像大咖讲堂

主持人：居胜红，东南大学附属中大医院；郜发宝，四川大学华西医院；孙洪赞，中国医科大学附属盛京医院；
赵建洪，兰州大学第二医院

13:30-13:35 致辞
洪楠，北京大学人民医院

13:35-13:55 肿瘤演进的分子影像及智能影像研究
居胜红，东南大学附属中大医院

13:55-14:15 分子影像探针设计及临床应用研究
刘刚，厦门大学

14:15-14:35 构建影像引导肿瘤无创精准诊疗体系
王悍，上海交通大学医学院附属第一人民医院

14:35-14:55 动态分子影像实现恶性和良性疾病的靶向诊断
王锡明，山东第一医科大学附属省立医院

15:10-16:30 分子影像大咖讲堂

主持人：王锡明，山东第一医科大学附属省立医院；吴敏，四川大学华西医院；
燕桂新，新疆生产建设兵团第六师医院

15:10-15:30 磁共振新技术在心血管的基础研究与临床应用
郜发宝，四川大学华西医院

15:30-15:50 基于黑色素纳米探针用于分子成像和诊疗一体化研究
张瑞平，山西医科大学第一医院

15:50-16:10 分子影像技术在前列腺癌诊疗中的新进展
王良，首都医科大学附属北京友谊医院

16:10-16:30 阿尔茨海默病早期诊断的 CEST 生物标记物探索
吴仁华，汕头大学医学院第二附属医院

2023-11-18

A301-302

08:00-09:40

分子影像学术交流

主持人：谢金兵，东南大学附属中大医院；郭伟圣，广州医科大学生物医学工程学院；王锡臻，潍坊医学院

08:00-08:20 肝特异性纳米对比剂与磁共振肝胆成像
樊海明，西北大学

中华医学会 第30次全国放射学学术大会

CHINESE CONGRESS OF RADIOLOGY 2023



08:20-08:40 针对小分子 / 离子的磁共振分子影像和诊疗应用
周子健, 厦门大学

08:40-09:00 基于超微成像的病理分析技术
田良飞, 浙江大学

09:00-09:20 新型聚氨基酸铁纳米磁共振对比剂研发与临床转化
孙继红, 浙江大学医学院附属邵逸夫医院

09:20-09:40 脑小血管病 MR 功能与分子影像研究进展
赵小虎, 上海市第五人民医院

10:00-11:40 分子影像学术交流

主持人: 张雪君, 天津医科大学; 张建, 上海全景医学影像诊断中心; 麦筱莉, 南京鼓楼医院

10:00-10:20 磁共振新设备新技术在早产儿中的应用研究
李祥林, 滨州医学院

10:20-10:40 视神经脊髓炎脑功能及代谢成像进展
李勇刚, 苏州大学附属第一医院

10:40-11:00 纳米酶肿瘤诊疗一体化研究进展
于革新, 山东大学齐鲁医院

11:00-11:20 CT 特征及影像组学在肺癌诊疗的应用
史河水, 华中科技大学同济医学院附属协和医院

11:20-11:40 葡萄糖 CEST 成像的机理及在神经系统肿瘤诊断的初步应用
温志波, 南方医科大学珠江医院

13:30-15:08 分子影像百花齐放 (中文中稿论文比赛)

主持人: 王冠, 中国医科大学附属第一医院; 常娣, 东南大学附属中大医院

比赛评委: 张雪君, 天津医科大学; 王一帆, 宁夏医科大学总医院; 张家文, 复旦大学附属华山医院;
陈伟, 昆明医科大学第一附属医院; 唐作华, 复旦大学附属眼耳鼻喉科医院;
雷晶, 中国医学科学院北京协和医院

13:30-13:40 致辞
居胜红, 东南大学附属中大医院

13:40-13:48 响应型纳米探针联合定量磁共振成像技术精准评价肺癌耐药的实验研究
沈爱军, 上海市同济医院

13:48-13:56 自噬抑制剂增效锰促 STING 通路激活的免疫治疗用于防止 TNBC 术后复发转移
王 红, 山东大学齐鲁医院

13:56-14:04 基于磁共振 CEST 成像对脉冲电磁场治疗阿尔兹海默症小鼠的疗效评估与机理研究
刘思奇, 汕头大学医学院第二附属医院



- 14:04-14:12 抗基质纳米平台靶向胰腺导管腺癌的成像与协同治疗研究
杨晓艳, 浙江大学
- 14:12-14:20 纳米技术引发细胞焦亡联合影像技术监测癌症治疗的研究进展
黄月琳, 上海交通大学医学院附属新华医院
- 14:20-14:28 基于 J 差异编辑磁共振波谱的人体肝脏脂质组分测量
周煜凡, 浙江大学
- 14:28-14:36 新型靶向 LAG-3 环肽 PET 分子探针在肝细胞癌个体化免疫治疗的研究
全 震, 华中科技大学同济医学院附属协和医院
- 14:36-14:44 酸性肿瘤微环境激活的 MRI 纳米探针用于抗 PD-L1 免疫治疗的调节和可视化
范 凯, 东南大学附属中大医院
- 14:44-14:52 磁粒子成像和荧光分子成像双模态成像监测具有强靶向保留效应的自体外泌体负载平台并引导小鼠前列腺癌模型的光热 / 磁热治疗
刘松鹭, 首都医科大学附属北京友谊医院
- 14:52-15:00 用于乳腺癌早期诊断及精准手术导航的靶向 FI/MRI 多模态分子探针的构建
张爱薇, 徐州医科大学附属医院
- 15:00-15:08 基于 18F-FDG PET/CT 瘤内瘤周影像组学对非小细胞肺癌病理亚型分类的预测价值
秦 杰, 桂林医学院附属医院

15:30-16:50 分子影像百花齐放（英文中稿论文比赛）

主持人：王冠，中国医科大学附属第一医院；常娣，东南大学附属中大医院

比赛评委：李伟华，深圳市第二人民医院；牛晨，西安交通大学第一附属医院；孙少凯，天津医科大学；

王守巨，江苏省人民医院（南京医科大学第一附属医院）；

龚明福，中国人民解放军陆军军医大学第二附属医院；袁正，上海交通大学医学院附属第九人民医院

- 15:30-15:38 Dual-modality imaging-guided manganese-based nanotransformer for enhanced photothermal therapy combined immunotherapeutic strategy against triple-negative breast cancer
关秀红, 广州医科大学附属第六医院（清远市人民医院）

- 15:38-15:46 RSNA-10837 CT radiomics features of body composition can predict postoperative early recurrence of hepatocellular carcinoma
石 硕, 山东大学齐鲁医院

- 15:46-15:54 Manganese Ion-Bridged Nanodrug for MR/NIR-I/II Fluorescence Imaging and Synergistic Phototherapy of Breast Cancer
姚德帆，上海交通大学医学院附属新华医院

- 15:54-16:02 SPIONs-enhanced Magnetic Particle Imaging Visualizes Intraplaque Macrophages for Detecting and Assessing Inflammation of Atherosclerotic Unstable Plaques
韩 颖，中国人民解放军总医院第六医学中心

- 16:02-16:10 Forebrain neural progenitors effectively integrate into host brain circuits and improve neural function after ischemic stroke
何 晓, 杭州市第一人民医院
- 16:10-16:18 Biodegradable Silica Nanoparticles Incorporating Nanozyme for multimodal tumor imaging and therapy
王 珮, 东南大学附属中大医院
- 16:18-16:26 Low-Power Magnetic Resonance-Guided Focused Ultrasound Tumor Ablation upon Controlled Accumulation of Magnetic Nanoparticles by Cascade-Activated DNA Cross-Linkers
王静怡, 上海市第一人民医院
- 16:26-16:34 The mechanism of myocardial injury in iron overload cardiomyopathy based on CMR and Cell Biology
侯举香, 昆明医科大学第一附属医院
- 16:34-16:42 Nanoparticle-Mediated Blockade of CXCL12/CXCR4 Signaling Enhances Glioblastoma Immunotherapy: Monitoring Early Responses with MRI-Radiomics
韦瑞丽, 华南理工大学附属第二医院(广州市第一人民医院)
- 16:42-16:50 Intracranial gadolinium deposition after using gadolinium-based contrast agents in children: A systematic review and meta-analysis
马懿琦, 四川大学华西医院

2023-11-19

A301-302

08:00-09:40

分子影像科研培训

主持人: 李海明, 复旦大学附属肿瘤医院; 余德君, 福建医科大学附属第一医院; 纪铁凤, 吉林大学第一医院

08:00-08:20 观察性研究报告规范(STROBE) 2019 介绍与解读

孙洪赞, 中国医科大学附属盛京医院

08:20-08:40 人工智能在肿瘤纳米探针设计与选择中的应用

王守巨, 江苏省人民医院(南京医科大学第一附属医院)

08:40-09:00 神经相关副肿瘤综合征

黄薇园, 海南省人民医院

09:00-09:20 Bi 基 CT 成像探针

孙少凯, 天津医科大学

09:20-09:40 肿瘤磁共振精准成像

张兵波, 同济大学

10:00-11:40

分子影像科研培训

主持人：贾琳，新疆医科大学第一附属医院；张晓磊，汕头大学医学院第二附属医院；朱海涛，北京肿瘤医院

10:00-10:20 基于期刊审稿人的 SCI 论文的写作技巧及注意事项

王 良，首都医科大学附属北京友谊医院

10:20-10:40 定量影像指标用于 IBD 亚型鉴别泛化模型研究

沈亚琪，华中科技大学同济医学院附属同济医院

10:40-11:00 STING 靶向 PET 探针用于结直肠癌化疗后肿瘤免疫原性的早期评估

李 丹，中山大学附属第五医院

11:00-11:20 实体肿瘤免疫治疗的影像学评估进展

何泳蓝，中国医学科学院北京协和医院

11:20-11:40 Angiopep-2 靶向识别帕金森病脑内 α -突触核蛋白的 7T CEST-MRI 研究

关计添，汕头大学医学院第二附属医院

中华医学会 第30次全国放射学学术大会

CHINESE CONGRESS OF RADIOLOGY 2023



青年学组

2023-11-17

A217

13:30-14:30

大师面对面一

主持人：冯晓源，复旦大学附属华山医院；李春媚，北京医院

13:30-14:30 学科建设和医学教育

郭启勇，中国医科大学附属盛京医院

郭佑民，西安交通大学第一附属医院

冯敢生，华中科技大学同济医学院附属协和医院

张兆琪，首都医科大学附属北京安贞医院

14:30-15:30

大师面对面二

主持人：冯晓源，复旦大学附属华山医院；李春媚，北京医院

14:30-15:30 医疗实践和科学研究

徐克，中国医科大学附属第一医院

卢光明，中国人民解放军东部战区总医院

周纯武，中国医学科学院肿瘤医院

胡道予，华中科技大学同济医学院附属同济医院

15:40-18:00

科研设计及论文写作

主持人：周洋，哈尔滨医科大学附属肿瘤医院；朱正，中国医学科学院肿瘤医院；

尹喜，石河子大学医学院第一附属医院；杨蕊梦，广州市第一人民医院

15:40-16:05 领跑者 5000 (F5000) ——中国精品科技期刊顶尖学术论文项目介绍及论文遴选标准

史晓娟，中华放射学杂志编辑部

16:05-16:30 高质量英文论文撰写技巧

吕粟，四川大学华西医院

16:30-16:50 如何用科学的方法解决临床问题？

刘亚欧，首都医科大学附属北京天坛医院

16:50-17:15 示范讨论

张志强，中国人民解放军东部战区总医院

李春媚，北京医院

吕粟，四川大学华西医院

刘亚欧，首都医科大学附属北京天坛医院

17:15-17:40 CT Radiomics Combined with Clinical and Radiological Factors Predict Hematoma Expansion in Hypertensive Intracerebral Hemorrhage

余飞，重庆市急救医疗中心



17:40-18:00 Deep Learning-Based Reconstruction Enhances Image Quality and Improves Diagnosis in MR Imaging of the Shoulder Joint
文宝红, 郑州大学第一附属医院

2023-11-18

A204-205

13:30-15:10

影像思维

主持人: 李小虎, 安徽医科大学第一附属医院; 程瑾, 北京大学人民医院; 郭春杰, 吉林大学第一医院;
王渊, 西安交通大学

13:30-13:50 颅内钙化病变的影像诊断思路
郭 钊, 中国人民解放军空军军医大学第一附属医院

13:50-14:10 先天性肺异常产前 MRI 诊断思路
董素贞, 上海交通大学医学院附属上海儿童医学中心

14:10-14:30 乳腺非肿块样强化病变的影像诊断思路
徐丽莹, 武汉大学中南医院

14:30-14:50 卵巢常见囊实性肿瘤的影像诊断思路
赵莲萍, 甘肃省人民医院

14:50-15:10 T2 低信号肾脏肿瘤影像诊断
刘静红, 大连医科大学附属第一医院

15:20-17:20

MDT 面对面

主持人: 王怡宁, 中国医学科学院北京协和医院; 陈光祥, 西南医科大学附属医院; 黄子星, 四川大学华西医院;
梁琪, 中南大学湘雅三医院

15:20-16:20 肺结节 MDT- 一例局部晚期肺腺癌的九年之约
辛 页, 西南医科大学附属医院
刘 寒, 西南医科大学附属医院
熊小明, 西南医科大学附属医院
韩 飞, 大庆市人民医院(哈尔滨医科大学附属第五医院)
郑 芸, 西南医科大学附属医院

16:20-17:20 胰腺癌 MDT: 一例晚期胰腺癌的转化治疗
于浩鹏, 四川大学华西医院
李 倩, 重庆市人民医院
成 科, 四川大学华西医院
熊俊杰, 四川大学华西医院

中华医学会 第30次全国放射学学术大会

CHINESE CONGRESS OF RADIOLOGY 2023



A217

08:00-10:00

科研成长（一）

主持人：张璋，天津医科大学总医院；赵磊，内蒙古医科大学附属医院（内蒙古自治区心血管研究所）；
赵莲萍，甘肃省人民医院；童彤，复旦大学附属肿瘤医院

08:00-08:05 致辞

刘士远，中国人民解放军海军军医大学第二附属医院

08:05-08:20 NSFC 人才项目申请经验分享

刘再毅，广东省人民医院

08:20-08:40 临床科研与基金申请

李跃华，上海交通大学医学院附属第六人民医院

08:40-09:00 青年医师的修炼与成长

王怡宁，中国医学科学院北京协和医院

09:00-09:20 示范讨论

居胜红，东南大学附属中大医院

刘再毅，广东省人民医院

李跃华，上海交通大学医学院附属第六人民医院

王怡宁，中国医学科学院北京协和医院

09:20-09:40 心血管影像科研探索之路——如何再进步？

唐春香，中国人民解放军东部战区总医院

09:40-10:00 站在遗传与环境十字路口的脑影像——脑影像暴露基因组学科研之旅

徐佳圆，天津医科大学总医院

10:10-12:10

科研成长（二）

主持人：王先涛，西藏自治区人民医院；王广谊，广东省人民医院；谭艳，山西医科大学第一医院；
覃媛媛，华中科技大学同济医学院附属同济医院

10:10-10:30 浅析国家自然科学基金申请书撰写

娄昕，解放军总医院第一医学中心

10:30-10:50 国科金申报 23 条 - 先进技术、有意义临床问题 - 创新理论问题

张志强，中国人民解放军东部战区总医院

10:50-11:10 如何指导研究生进行科研和临床研究

李小虎，安徽医科大学第一附属医院

11:10-11:30 示范讨论

张志强，中国人民解放军东部战区总医院

娄昕，解放军总医院第一医学中心

李小虎，安徽医科大学第一附属医院



11:30-11:50 多参数定量 MRI 在结直肠癌肝转移抗血管生成治疗反应预测及转录因子 ZIC2 参与其耐药机制中的应用研究

柴瑞梅，中国医科大学附属第一医院

11:50-12:10 Gd 基纳米对比剂在鼻咽癌放疗增敏中的应用研究

黄薇园，海南省人民医院

2023-11-19

A204

08:00-10:00

影像青年说（一）

主持人：李小虎，安徽医科大学第一附属医院；刘兆会，首都医科大学附属北京同仁医院；
邢振，福建医科大学附属第一医院；彭鹏，广西医科大学第一附属医院

08:00-08:20 青年医生如何进行教学工作

祝因苏，江苏省肿瘤医院

08:20-08:40 青年医生如何进行住院医师规范化培训

王远成，东南大学附属中大医院

08:40-09:00 青年医生如何进行临床科研工作

孙洪赞，中国医科大学附属盛京医院

09:00-09:20 青年医生如何进行多中心队列研究

祁小龙，东南大学附属中大医院

09:20-09:40 青年医生如何进行临床 MDT

程凯亮，吉林大学中日联谊医院

09:40-10:00 青年医生如何进行科学研究

吴连明，上海交通大学医学院附属仁济医院

10:10-12:10

影像青年说（二）

主持人：杨文洁，上海交通大学医学院附属瑞金医院；杨丽，河北医科大学第四医院；沈爱军，上海市同济医院

10:10-10:20 Scientific research for the diagnostic value of CTA for second hepatic hilum of end-stage hepatic alveolar

艾尔肯·艾克拜尔，新疆医科大学第一附属医院

10:20-10:30 Targeted brain delivery of RVG29-modified Gd-based nanoparticles for Alzheimer's disease diagnosis.

尹俊，上海市同济医院

10:30-10:40 Application of DKI for the Evaluation of Renal Cold Ischemia-reperfusion Injury in Rat Model: A Preliminary Study

袁仪忠，天津医科大学总医院

中华医学会 第30次全国放射学学术大会

CHINESE CONGRESS OF RADIOLOGY 2023



青年学组

- 10:40-10:50 Prognostic MR Imaging Features of HCC
蒋涵羽, 四川大学华西医院
- 10:50-11:00 voxel based-lesion symptom mapping as updated ASPECTS in outcomes prediction of acute cerebral stroke
曹敏, 中国人民解放军东部战区总医院
- 11:00-11:10 Ranking the hot-cross bun (HCB) sign using magnetic transfer contrast MR imaging for early diagnosis of multiple system atrophy
吕海英, 上海交通大学医学院附属瑞金医院
- 11:10-11:20 Extracellular volume fraction as a potential predictor to differentiate lung cancer from benign lung lesions with dual-layer detector spectral CT
蒋欣昂, 中国人民解放军海军军医大学第二附属医院
- 11:20-11:30 Single low-dose INC280-loaded theranostic nanoparticles achieve multirooted delivery for MET-targeted primary and liver metastatic NSCLC
孙艺歌, 哈尔滨医科大学附属肿瘤医院
- 11:30-11:40 Multimodal gradients for predicting regional tau-PET accumulation in Alzheimer's disease
栾颖, 东南大学附属中大医院
- 11:40-11:50 Accuracy of preoperative CT T staging of clear cell renal cell carcinoma: which CT features predict advanced stage?
苗青杨, 安徽医科大学第一附属医院
- 11:50-11:54 统计成绩, 公布名次
- 11:54-12:10 点评
杨文洁, 上海交通大学医学院附属瑞金医院
白岩, 河南省人民医院
唐小平, 南昌大学第二附属医院
白亮彩, 兰州大学第二医院
陈伟, 昆明医科大学第一附属医院
沈爱军, 上海市同济医院
蒋日烽, 福建医科大学附属协和医院

A205

08:00-10:00

热点研究（一）

主持人: 张立娜, 中国医科大学附属第一医院; 郎宁, 北京大学第三医院; 高飞, 山东省立医院;
丁爽, 新疆医科大学第一附属医院

- 08:00-08:20 医工交叉热点研究
沈定刚, 上海科技大学生物医学工程学院
- 08:20-08:40 心血管研究热点
王怡宁, 中国医学科学院北京协和医院



- 08:40-09:00 肺部影像研究热点
杨文洁，上海交通大学医学院附属瑞金医院
- 09:00-09:20 神经影像研究热点 1
刘晨，中国人民解放军陆军军医大学第一附属医院
- 09:20-09:40 神经影像研究热点 2
黄沛钰，浙江大学
- 09:40-10:00 针对热点讨论和点评
李东，天津医科大学总医院
王乐，山西医科大学第一医院
徐丽莹，武汉大学中南医院
李颖，中国人民解放军总医院第一医学中心

10:10-12:10**热点研究（二）**

主持人：李东，天津医科大学总医院；石惠，宁夏医科大学总医院；张孟超，吉林大学白求恩第三临床医院；
黄沛钰，浙江大学

- 10:10-10:18 基于动脉自旋标记技术的帕金森病伴抑郁患者脑灌注研究
李昕阳，北京医院
- 10:18-10:26 第一代临床双源光子计数 CT 同时定量肝脏脂肪和铁含量的体模研究
郝婉婷，上海交通大学医学院附属瑞金医院
- 10:26-10:34 基于心脏磁共振组织追踪初步探究左心房功能预测缺血性心脏病患者预后的价值
王俊，安徽医科大学第一附属医院
- 10:34-10:42 解码脑网络老化在脑重大疾病认知障碍中的重要作用
李玉娜，首都医科大学附属北京天坛医院
- 10:42-10:50 空间组学分析在脑胶质瘤和转移瘤鉴别中的应用
陈小田，江苏省人民医院（南京医科大学第一附属医院）
- 10:50-10:58 逆转免疫抑制微环境增效胶质母细胞瘤免疫治疗及其可视化评估
韦瑞丽，华南理工大学附属第二医院（广州市第一人民医院）
- 10:58-11:06 2型糖尿病伴胰岛素抵抗患者小脑亚区灰质体积及功能连接异常的研究
张慧妍，甘肃省人民医院
- 11:06-11:14 合成 MRI 参数在乳腺癌新辅助化疗过程中的动态演变及疗效预判研究
赵睿萌，中国医科大学附属第一医院
- 11:14-11:22 嗅觉皮层变性在 AD 源性认知障碍疾病中的诊断价值
杨斯闵，吉林大学第一医院
- 11:22-11:30 基于 3D-T1 对脑瘫儿童个体形态学脑网络的研究
赵纯凤，遵义医科大学附属医院

中华医学会 第30次全国放射学学术大会

CHINESE CONGRESS OF RADIOLOGY 2023



11:30-11:38 肿瘤相关巨噬细胞在免疫治疗中的研究进展

羊倩羽, 海南省人民医院

11:38-11:46 采用产前 DWI 评估胎儿区域脑表现扩散的性别差异

任婧雅, 上海交通大学医学院附属上海儿童医学中心

11:46-11:54 CT 肾周脂肪特征与 2 型糖尿病肾病 KDIGO 风险类别及快速进展相关性研究

范金蕾, 山东大学齐鲁医院

11:54-12:10 点评

李东, 天津医科大学总医院

石惠, 宁夏医科大学总医院

史纲, 青海省第五人民医院

郭钒, 中国人民解放军空军军医大学第一附属医院

刘静红, 大连医科大学附属第一医院

黄沛钰, 浙江大学

范丽, 中国人民解放军海军军医大学第二附属医院

护理学组（筹）

2023-11-18

A216

08:00-08:15

开幕式 + 领导致辞

主持人：吴燕燕，中国人民解放军海军军医大学第二附属医院

08:00-08:05 开幕式

吴燕燕，中国人民解放军海军军医大学第二附属医院

08:05-08:10 领导致辞

彭飞，中国人民解放军海军军医大学第二附属医院

08:10-08:15 领导致辞

陈敏，北京医院

专题发言

主持人：李伟，四川大学华西医院；李娅，中国人民解放军空军军医大学第一附属医院；
赵丽，中国医科大学附属第一医院

08:15-08:35 把握现在 努力未来 --- 全国影像护理现况调研报告与发展思考

彭飞，中国人民解放军海军军医大学第二附属医院

08:35-08:55 创新引领学科实践促进发展 --- 影像护理学科建设思考与实践

李雪，中国人民解放军陆军特色医学中心

08:55-09:15 国内外碘对比剂急性不良反应处理流程的比较

李玉梅，中国医学科学院北京协和医院

09:15-09:35 瘘减 --- 放射科护理人员管理

肖书萍，华中科技大学同济医学院附属协和医院

09:35-09:55 基于职业发展规划为导向的分层培训与梯队构建

曾小红，南昌大学第一附属医院

09:55-10:15 影像护理信息化建设

唐慧，中南大学湘雅医院

论文发言 + 案例分享

主持人：陈颖琦，中国人民解放军东部战区总医院；李喆，北京医院；
陈娅，上海交通大学医学院附属第九人民医院10:15-10:20 The application of predictive nursing in magnetic resonance scan using the Hopkins Fall Score
戴婉姜，首都医科大学宣武医院10:20-10:25 Analysis of the current situation of perioperative pain management and the influencing factors
of self-efficacy of pain management of nurses in interventional department in China
张浩，河南省肿瘤医院

中华医学会 第30次全国放射学学术大会

CHINESE CONGRESS OF RADIOLOGY 2023



- 10:25-10:30 动画视频健康宣教模式对输液港患者自护能力提升中的价值研究
吴燕燕, 中国人民解放军海军军医大学第二附属医院
- 10:30-10:35 经导管主动脉瓣置换术中循环崩溃的抢救与护理
杨清, 陆军军医大学第一附属医院
- 10:35-10:40 新型机器人辅助穿刺系统在 CT 引导下肺穿刺活检术的应用研究及护理
张峥, 上海市肺科医院
- 10:40-10:45 优化护理流程在脑血管重症患者颅脑“百秒”快速成像磁共振检查中的应用研究
庄丽娜, 大连医科大学附属第一医院
- 10:45-10:50 基于多学科联合循证医学护理在 CT 增强碘对比剂外渗预防及处理中的应用
梁俊丽, 广西医科大学第一附属医院
- 10:50-10:55 CT 增强过敏史患者检查前禁食情况与不良反应的关系
李建洁, 中国人民解放军陆军特色医学中心
- 10:55-11:00 影像科护士共情疲劳现状及影响因素研究
伍冬梅, 四川大学华西医院
- 11:00-11:05 体外膜肺氧合支持下危重患者行 CT 血管造影检查的放射科管理
王晓弥, 浙江大学医学院附属第二医院
- 11:05-11:10 临床路径管理模式在成人 CTE 检查中的应用效果与评价
梁蝴蝶, 山东省立医院
- 11:10-11:15 多媒体宣传及心理护理在肝细胞癌患者增强 CT 检查中的临床应用价值
崔馨元, 哈尔滨医科大学附属第二医院
- 11:15-11:20 点评环节
王雪梅, 江苏省人民医院(南京医科大学第一附属医院)
姜红, 首都医科大学附属北京安贞医院
- 11:20-11:26 “防微杜渐, 步步为营”——1 例主动脉夹层合并心功能不全患者 CT 增强检查惊险记
兰芳, 中国人民解放军陆军特色医学中心
- 11:26-11:32 1 例碘克沙醇致罕见急性泛发性发疹性脓疱病
马秀秀, 南昌大学第一附属医院
- 11:32-11:38 一例脑出血合并肺栓塞病例分享
钟小宁, 重庆医科大学附属第二医院
- 11:38-11:44 6 例肝癌患者载药微球经导管动脉化疗栓塞术后罕见并发症的护理
陈冬萍, 华中科技大学同济医学院附属协和医院
- 11:44-11:50 今天也想辞职(原创情景剧)
李德彪, 重庆医科大学附属大学城医院



11:50-11:56 急诊手术 -- 生命之舞

王 京, 华中科技大学同济医学院附属协和医院

11:56-12:00 讨论及总结

李新云, 广东省人民医院

彭 飞, 中国人民解放军海军军医大学第二附属医院

中华医学会 第30次全国放射学学术大会

CHINESE CONGRESS OF RADIOLOGY 2023



传染病学组（筹）

传染病学组（筹）

2023-11-18

A217

13:30-15:30

传染病影像学

主持人：刘强，山东第一医科大学附属省立医院；刘晶哲，清华大学第一附属医院；
何玉麟，南昌大学第一附属医院

13:30-14:00 传染病学组成果新闻发布
李宏军，首都医科大学附属北京佑安医院

14:00-14:20 中国传染病放射学新征程
李宏军，首都医科大学附属北京佑安医院

14:20-14:40 耐药肺结核影像学诊断专家共识解读
陆普选，深圳市慢性病防治中心

14:40-15:00 AIE 新材料在分枝杆菌诊治中的研究
施裕新，上海市公共卫生临床中心

15:00-15:20 HBV 相关早期肝癌影像诊断标准问题解析
边杰，大连医科大学附属第二医院

15:20-15:25 PET/CT 在感染与炎症中的临床应用
杨斌，昆明市第一人民医院

15:25-15:30 基于双模态 MRI 的影像组学分析在 HIV 相关神经认知障碍早期诊断中的研究
王伟，首都医科大学附属北京佑安医院

传染病影像学

主持人：张华，山西医科大学第一医院；王刚，兰州大学第一医院；宋凤祥，上海市公共卫生临床中心

15:30-15:50 肾盂肾炎的影像诊断
许建荣，上海交通大学医学院附属仁济医院

15:50-16:10 肾脏感染性疾病的影像诊断
刘文亚，新疆医科大学第一附属医院

16:10-16:30 肝内肿块型胆管细胞癌影像进展
殷小平，河北大学附属医院

16:30-16:50 艾滋病合并马尔尼菲篮状菌感染者肺部 CT 征象分析及诊断
鲁植艳，武汉大学中南医院

16:50-17:10 HIV/ 糖尿病合并胸部感染的 CT 诊断思路
李莉，首都医科大学附属北京佑安医院



17:10-17:15 HIV 感染伴无症状神经认知障碍的脑体积改变及肠道菌群特征
李瑞利，首都医科大学宣武医院

17:15-17:20 Evaluating the diagnostic value of different field strengths MRI diffusion-weighted imaging in liver inflammation grading in chronic hepatitis B patients
刘渊，中国人民解放军总医院第五医学中心

17:20-17:25 造血干细胞移植后肺孢子菌肺炎与巨细胞病毒肺炎的肺 T 影像对比
程敏，北京大学人民医院

17:25-17:30 艾滋病合并原发性甲状腺淋巴瘤病例报道
李翔，昆明市第三人民医院

2023-11-19

A217

08:00-10:00

传染病影像学

主持人：吕圣秀，重庆市公共卫生医疗救治中心；劳群，杭州市儿童医院；李智慧，北京高博博仁医院

08:00-08:20 “半暗带的分子病理与影像” - 基础实验篇
鲁宏，重庆理工大学附属中心医院

08:20-08:40 Using Artificial Intelligence for Chest Radiograph Interpretation: A Retrospective Multi-reader-multi-center (MRMC) Study of the Automatic Detection of Multiple Abnormalities and Generation of Diagnostic Report System
刘远明，深圳市智影医疗科技有限公司

08:40-09:00 CT 在鉴别异位 ACTH 综合征患者肺部神经内分泌肿瘤和肿瘤样肺部感染中的作用
宋兰，中国医学科学院北京协和医院

09:00-09:20 基于大数据的结核病影像 AI 研究进展
侯代伦，首都医科大学附属北京胸科医院

09:20-09:40 基于 MRI 结构成像的抑郁症影像诊断标记物探讨
汪丽娅，深圳市龙华区人民医院

09:40-09:45 Vertebral and pelvic echinococcosis in northwestern China
郭辉，新疆医科大学第四附属医院

09:45-09:50 影像组学在透明细胞型肝癌和普通型肝细胞癌鉴别诊断中的价值
刘斌，民航总医院

09:50-09:55 COVID-19 肺部病变短期吸收与否的临床和肺 T 影像特征对比及随访研究
刘雪艳，重庆市公共卫生医疗救治中心

09:55-10:00 使用放射组学模型进行脑胶质瘤术前分级并与 3DASL 比较
王佳宁，河北大学附属医院

中华医学会 第30次全国放射学学术大会

CHINESE CONGRESS OF RADIOLOGY 2023



传染病学组（筹）

10:00-12:00

传染病影像学

主持人：张惠娟，福建省立医院；史燕杰，北京大学肿瘤医院；牡丹，南京鼓楼医院

10:00-10:20 肺多发性肉芽肿结节的影像表现及其病理基础

陈步东，首都医科大学附属北京佑安医院

10:20-10:40 核医学在感染性疾病中的应用

李萍，哈尔滨医科大学附属第二医院

10:40-11:00 基于新冠肺炎 CT 损伤指数的建立及临床应用价值

罗琳，内蒙古科技大学包头医学院第一附属医院

11:00-11:20 AIDS 合并颅内感染的 MR 特征与鉴别诊断

许传军，南京中医药大学附属南京医院（南京市第二医院）

11:20-11:40 肝脏小脓肿与微转移瘤的影像诊断

罗佳文，大连医科大学

11:40-11:45 AIDS 并发肺结核的临床影像表现分析

李春华，重庆市公共卫生医疗救治中心

11:45-11:50 不同 Child-Pugh 分级肝硬化患者并发新冠病毒肺炎后胸部 CT 表现

邵国庆，徐州市中心医院

11:50-11:55 HIV 患者无症状神经认知障碍相关神经机制的多参数 MR 成像研究

韩帅，山东大学齐鲁医院

11:55-12:00 Changes in White Matter and Neurophysiology in HIV Patients with Different Cognitive Functions after 1-2 years of Follow-up

马举铭，首都医科大学附属北京佑安医院



基层放射科能力提升工作组

2023-11-17

A208

13:30-15:35

影像中心建设

主持人：王龙胜，安徽医科大学第二附属医院；丁可，南宁市第二人民医院；邢艳，新疆医科大学第一附属医院

13:30-13:55 影像中心建设指南解读

曹代荣，福建医科大学附属第一医院

13:55-14:20 医技合作，共同推动影像医学互认进程

王光彬，山东第一医科大学附属省立医院

14:20-14:45 基于病例多发肺结节影像诊断分析思路

张晓琴，内蒙古自治区人民医院

14:45-15:10 IPF 与 NSIP、cHP 的影像识别

朱力，宁夏医科大学总医院

15:10-15:35 一站式下肢深静脉至肺动脉 CTA 成像新方法

陈晶，海口市人民医院

15:45-17:30

县域影像学科发展

主持人：詹阿来，福建省漳州市医院；于小平，湖南省肿瘤医院；曾文兵，重庆大学附属三峡医院

15:45-16:10 加强医疗基层队伍建设势在必行

张雪宁，天津医科大学第二医院

16:10-16:35 县域影像学科发展的挑战与机遇

宋超，安宁市第一人民医院

16:35-17:00 规范医联体建设，实现高质量发展

王冬青，江苏大学附属医院

17:00-17:05 3D 打印断层影像模型在医学影像教学中的初步应用

陈锰，中国医学科学院北京协和医院

17:05-17:10 基于“三维融通 虚实结合”理念的医学影像技术本科生临床思维模式培养策略

张磊，吉林大学第一医院

17:10-17:15 Naked eye 3D-AR teaching assistant system applied to undergraduate medical imaging education: a pilot study

马丽娜，中国人民解放军空军军医大学

17:15-17:20 医学影像学线上、线下实习的探索与实践

马丽娅，华中科技大学同济医学院附属同济医院

17:20-17:30 讨论 + 会议总结

中华医学会 第30次全国放射学学术大会

CHINESE CONGRESS OF RADIOLOGY 2023

医学影像质量控制与管理规范工作组



医学影像质量控制与管理规范工作组

2023-11-18

A305

08:00-10:00

医学影像质量控制与管理规范

主持人：韩萍，华中科技大学同济医学院附属协和医院；陈兵，宁夏医科大学总医院；
宋琦，上海交通大学医学院附属瑞金医院

08:00-08:20 建立以病人为中心的影像检查及质量管理与控制体系

鲜军舫，首都医科大学附属北京同仁医院

08:20-08:40 医学影像质量管理的发展趋势

王培军，同济大学附属同济医院

08:40-09:00 江苏省云影像质控标准制定及检查互认工作推进

李澄，东南大学附属中大医院

09:00-09:20 基于影像结果互认的质控关注点

刘筠，天津市第四中心医院

09:20-09:40 危急值相关质控问题探讨

刘文亚，新疆医科大学第一附属医院

09:40-10:00 急性主动脉综合征诊断规范速览

王健，陆军军医大学第一附属医院（西南医院）

10:00-12:00

医学影像质量控制与管理规范

主持人：韩丹，昆明医科大学第一附属医院；周俊林，兰州大学第二医院；
陈晓丽，首都医科大学附属北京同仁医院

10:00-10:20 落实和规范实施集体读片制度，确保影像诊断报告质量

罗天友，重庆医科大学附属第一医院

10:20-10:40 长三角质控联盟及其开展的工作

余永强，安徽医科大学第一附属医院

10:40-11:00 放射影像质量智能化评价解决方案的探索

龚向阳，浙江省人民医院

11:00-11:20 集采政策下对比剂规范管理

蒲红，四川省医学科学院·四川省人民医院

11:20-11:25 影像云在放射诊断质控工作中的应用价值

姚侃敏，上海交通大学医学院附属瑞金医院

11:25-11:30 布鲁氏菌性脊柱炎影像诊断专家共识

郭辉，新疆医科大学第四附属医院

- 11:30-11:35 基于深度学习构建颅脑 CT 图像质量智能量化评价体系的可行性研究
张鑫盛, 浙江省人民医院
- 11:35-11:40 心脏磁共振扫描简介及伪影控制策略
李燕, 山西医科大学第一医院
- 11:40-11:45 吉林省医学影像质控中心关于网络共享平台建立完善前影像检查结果互认开展的道路探索
张祯铭, 吉林大学
- 11:45-11:50 持续质量改进优化泌尿系 MSCT 图像质量的应用研究
夏传江, 中国人民解放军陆军特色医学中心
- 11:50-11:55 数字化 X 线标准化摄影操作视频在影像同质化中的应用
文雨婷, 四川大学
- 11:55-12:00 如何提高胎儿磁共振检查的成功率及图像质量
陈晓惠, 武汉大学中南医院



对比剂使用和安全工作组

2023-11-18

A211

13:30-15:20

对比剂的安全性与风险管理及前沿与创新

主持人：杨军，上海交通大学医学院附属同仁医院；席莘，上海市东方医院（同济大学附属东方医院）；
赵登玲，东南大学附属中大医院

13:30-13:35 分会领导致辞
洪楠，北京大学人民医院

13:35-13:40 工作组组长致辞
程英升，同济大学附属同济医院

13:40-14:00 钆塞酸二钠 MRI 赋能肝癌评价
梁长虹，广东省人民医院

14:00-14:20 高浓度钆对比剂临床应用进展
史长征，暨南大学附属第一医院

14:20-14:40 CT 增强饮食准备的新进展和未来趋势
李雪，中国人民解放军陆军特色医学中心

14:40-15:00 儿童使用钆造影剂后颅内钆沉积的荟萃分析（讲座）
陈卫霞，四川大学华西医院

15:00-15:20 乳腺超快速 DCE-MRI 研究进展及应用体会
张久权，重庆大学附属肿瘤医院

15:30-17:30 对比剂的临床应用

主持人：李月考，河北医科大学第四医院；徐向阳，华中科技大学同济医学院附属梨园医院；
乞文旭，中国医科大学附属盛京医院

15:30-15:50 钆塞酸二钠在肿瘤化疗后肝损伤中的应用价值
陈峰，浙江大学

15:50-16:10 高弛豫钆对比剂在心脏磁共振中应用价值
李小虎，安徽医科大学第一附属医院

16:10-16:30 阳性对比剂在膝骨关节炎早期诊断中的应用进展
刘成磊，上海交通大学医学院附属第九人民医院

16:30-16:50 超低碘对比剂 CT 评估轻中度肾功能不全
袁小东，中国人民解放军总医院第八医学中心

16:50-17:10 肝胆期呈等高信号的肝脏肿瘤性病变影像学分析
殷小平，河北大学附属医院



17:10-17:30 高心率冠状动脉 CTA 的创新探索
贾广生，哈尔滨医科大学附属第二医院

2023-11-19

A211

08:00-09:10 对比剂进展与应用圆桌论坛演讲比赛上半场

主持人：徐俊卿，广东医科大学附属医院；杨凯，上海市同济医院

讨论嘉宾：崔湧，北京大学肿瘤医院内蒙古医院；孙小芹，西宁市第一人民医院；

任庆国，山东大学齐鲁医院（青岛）；孙丛，山东省立医院；柰丽，新疆维吾尔自治区中医院

比赛评委：郑红伟，河南省省立医院；周莉，南昌大学第一附属医院；吕琦，上海市同济医院；

曹爱红，徐州矿务集团总医院；刘刚，青海红十字医院

08:10-08:20 “一碘正好”——碘对比剂在急危重症中的应用
刘云飞，上海市第一人民医院嘉定分院（上海市嘉定区江桥医院）

08:20-08:30 “会呼吸的痛”——一例 CT 增强碘对比剂诱发哮喘发作案例分析
蔡 莉，中国人民解放军陆军特色医学中心

08:30-08:40 穿越肝癌 mRECIST 评估的迷雾：能谱成像助力分析强化特征的独特视角
李元歌，广东医科大学附属医院

08:40-08:50 磁共振造影剂的临床应用探讨
童 群，井冈山大学附属医院

08:50-09:00 “碘”亮希望：低碘对比剂 - 低管电压 CT 血管成像在肾移植血管评估中的应用
张宝平，西安交通大学第一附属医院

09:00-09:10 圆桌论坛专家讨论点评及评委评分

09:10-10:20 对比剂进展与应用圆桌论坛演讲比赛下半场

主持人：徐俊卿，广东医科大学附属医院；杨凯，上海市同济医院

讨论嘉宾：刘连锋，延安大学咸阳医院；钱伟军，开封市中心医院；高明达，佳木斯市肿瘤医院；

王琦，沈阳市第二中医医院；李铭，华东医院

比赛评委：刘靖，上海市静安区闸北中心医院；方淳，上海市同济医院；

宋彬，上海市闵行区中心医院（复旦大学附属闵行医院）；杨利霞，上海市徐汇区中心医院；
朱怀仕，上海交通大学附属上海市第九人民医院黄浦分院

09:10-09:20 对比剂过敏管理（CAM）培训之东方经验分享
李志宇，上海市东方医院（同济大学附属东方医院）

09:20-09:30 低渗透压造影剂对长期肾功能损害的影响：碘海醇与碘普罗胺
张书航，东南大学附属中大医院

09:30-09:40 急性缺血性脑卒中的 CT 评估
徐浩洋，上海市第六人民医院

中华医学会 第30次全国放射学学术大会

CHINESE CONGRESS OF RADIOLOGY 2023



09:40-09:50 星星“碘”灯：让暗道无处遁行
康冰，山东第一医科大学附属省立医院

09:50-10:00 黑白世界寻真相，火眼金睛察秋毫 - 普美显的增益与陷阱
王曉，安徽医科大学第一附属医院

10:00-10:20 圆桌论坛专家讨论点评及评委评分

10:20-10:30 圆桌讨论会演讲比赛公布结果

比赛评委：程英升，同济大学附属同济医院

10:30-12:00 对比剂进展与应用大会发言

主持人：李树平，中国人民解放军海军特色医学中心；田庆华，上海市第六人民医院

讨论嘉宾：慕长萍，重庆市人民医院（两江院区）；李涛，柳州市工人医院；熊斌，广州医科大学附属第一医院；
李亮，天津医科大学第二医院

主持+讨论：刘曦娇，四川大学华西医院

10:30-10:50 Is contrast-enhanced MRI an alternative for contrast-enhanced CT? Appraisal of guidelines on intravenous gadolinium-based contrast media use in patients with kidney disease
钟京渝，上海市同仁医院

10:50-11:10 钇对比剂在小鼠体内不同组织沉积的研究
孔莹，徐州医科大学附属医院

11:00-11:10 老年高血压患者冠脉 CTA 检查注射非离子型碘对比剂血流动力学变化特征分析
李雪，中国人民解放军陆军特色医学中心

11:10-11:20 Analysis of Acute Adverse Reactions Caused by CT Contrast Medium: A Retrospective Study of 72556 Patients
陈俊，中南大学湘雅二医院

11:20-11:30 双低剂量联合 KARL 3D 技术在肺动脉 CTA 中的应用
叶曼，武汉大学人民医院

11:30-11:40 Biominerallized Gadolinium-cerium metal-doped nanoparticles with High relaxation rate for enhanced MRI
程时风，天津医科大学第二医院

11:40-12:00 论文发言专家点评讨论



政府事务及法律与维权工作组

2023-11-19

A216

08:00-10:05

医疗相关法律与政策

主持人：张志勇，复旦大学附属中山医院；鞠蓉晖，辽宁省人民医院

08:00-08:25 如何设计学术营销合规化顶层思维路径？

李岑岩，北京至瑾律师事务所

08:25-08:50 如何保护医生合法收入，释放医生专业价值？

李岑岩，北京至瑾律师事务所

08:50-09:15 放射诊断中的法律问题及对策分析

赵德利，哈尔滨医科大学附属第六医院

09:15-09:40 医疗信息线上公证在法律权益保护和纠纷预防处置中的实践

王雷，复旦大学附属中山医院厦门医院

09:40-10:05 业财融合背景下公立医院科研经费管理的对策和实施路径

黄巧红，上海市公共卫生临床中心

10:20-11:50

医疗安全

主持人：杨晓光，呼和浩特市第一医院；贾中正，南通大学附属医院

10:20-10:45 浅谈放射科具体不良事件、医疗纠纷及其防范措施

方向军，南华大学附属第二医院

10:45-11:05 加强应急能力提升，保护好患者与自我

刘希胜，江苏省人民医院（南京医科大学第一附属医院）

11:05-11:25 介入治疗安全管理制度与风险防控

王家平，昆明医科大学第二附属医院

11:25-11:50 如何规避信息时代下的医患纠纷之初探

史讯，盐城市第一人民医院

中华医学会 第30次全国放射学学术大会

CHINESE CONGRESS OF RADIOLOGY 2023



医学影像教育工作组

2023-11-17

A216

13:20-13:30

致辞

主持人：张辉，山西医科大学第一医院

13:20-13:30 领导致辞

宋彬，四川大学华西医院

13:30-15:10

谱一流教法，育影像全才（一）

主持人：徐文坚，青岛大学附属医院；王云玲，新疆医科大学第一附属医院

13:30-13:50 精准医疗背景下医学影像面临的挑战

张辉，山西医科大学第一医院

13:50-14:10 临床医学专业认证带来的医学影像专业课程调整

张雪君，天津医科大学

14:10-14:30 医工交叉医学影像复合人才培养模式构建与实践

张明，西安交通大学第一附属医院

14:30-14:50 新医科背景下知识复合型影像技术人才培养

王鹏程，山东第一医科大学

14:50-15:10 高质量教育体系背景下《医学影像学》教学模式改革的实践探索

郑祥武，温州医科大学附属第一医院

15:20-17:00

谱一流教法，育影像全才（二）

主持人：王效春，山西医科大学第一医院；任静，中国人民解放军空军军医大学第一附属医院

15:20-15:40 人工智能：医学影像教材建设中的插件？

薛华丹，中国医学科学院北京协和医院

15:40-16:00 新医科时代医学影像学 5 + 3 培养体系的建设

周石，贵州医科大学附属医院

16:00-16:20 新医科背景下夯实影像医学人才的基本功

吴飞云，江苏省人民医院（南京医科大学第一附属医院）

16:20-16:40 翻转课堂教学 8 学年：以学生为中心教学理念下的课堂革命？

潘诗农，中国医科大学附属盛京医院

16:40-17:00 影像教学案例库在专业型硕士研究生分层分级培养中的探索

韩志江，杭州市第一人民医院

大数据与科学的研究工作组

2023-11-18

A216

13:30-15:15

AI 临床与科研

主持人：刘晨，中国人民解放军陆军军医大学第一附属医院；石喻，中国医科大学附属盛京医院

13:30-13:35 致辞

刘再毅，广东省人民医院

13:35-14:00 医学影像人工智能医工交叉之探索

周少华，中国科学技术大学

14:00-14:25 临床问题为导向的科学研究

张龙江，中国人民解放军东部战区总医院

14:25-14:50 横岭侧峰——从产品经理与医生视角看医学影像 AI 创新

石磊，中国科学院大学附属肿瘤医院 / 浙江省肿瘤医院

14:50-15:15 浅谈医学影像数据集质量评价

王浩，中国食品药品检定研究院医疗器械检定所

15:25-17:10

AI 临床与科研

主持人：韦炜，中国科学技术大学附属第一医院（安徽省立医院）；

张玉东，江苏省人民医院（南京医科大学第一附属医院）

15:25-15:50 数字化时代医疗影像数据流通应用：法律风险与合规治理

张颖，广州大学

15:50-16:15 人才项目的申请经验分享

吕粟，四川大学华西医院

16:15-16:40 国家自然科学基金最新改革动态浅析

孙洪赞，中国医科大学附属盛京医院

16:40-16:46 多模态影像 - 病理整合在可切除性肺腺癌预后预测中的应用

林欢，广东省人民医院

16:46-16:52 基于深度学习的肺腺癌脑转移 EGFR 基因分型预测和 GTV 自动勾画的多尺度、多任务模型

周子淳，山东省肿瘤防治研究院（山东省肿瘤医院）

16:52-16:58 基于深度学习的肿瘤分割和总代谢肿瘤体积预测对弥漫性大 B 细胞淋巴瘤患者预后的研究

王雪，上海交通大学医学院附属瑞金医院

16:58-17:04 人工智能非心电门控 CT 冠状动脉钙化积分联合深度学习 MR 图像重建心肌延迟强化检出未识别心肌梗死

陆雪芳，武汉大学人民医院

17:04-17:10 图像引导放疗中基于深度学习和结构保真性的超稀疏 CBCT 重建算法的构建和临床性能评估

吴天雄，四川大学



会员发展及国内交流工作组

2023-11-17

A305

13:30-15:10

会员发展与国内交流（一）

主持人：鲜军舫，首都医科大学附属北京同仁医院；沈钧康，苏州大学附属第二医院；
郑建军，中国科学院大学宁波华美医院

13:30-13:55 中华放射学杂志：架起读者和作者交流的桥梁

胡凌，《中华放射学杂志》编辑部

13:55-14:20 人工智能在医学影像科研和写作中的应用

贺光军，《磁共振成像》杂志社

14:20-14:45 期刊编辑视角下的高质量论文特征浅析

郑春见，中国科学院声学研究所

14:45-15:10 脑转移瘤 MRI 全程监测与序列优选

李克，复旦大学附属华山医院

15:30-16:30

会员发展与国内交流（二）

主持人：黄伟，中国人民解放军东部战区总医院；刘斌，安徽医科大学第一附属医院；祝因苏，江苏省肿瘤医院

15:30-15:50 专科分会的组织与建设的思考 -- 以市级放射分会为例

胡春洪，苏州大学附属第一医院

15:50-16:10 脊髓炎性病变的 MR 诊断

李跃华，上海交通大学医学院附属第六人民医院

16:10-16:30 肺癌 MDT 中的影像价值

刘玉林，湖北省肿瘤医院（湖北省肿瘤研究所）

临床多学科合作工作组

2023-11-18

A211

08:00-12:10

“多维聚力，影领全局”全国影像 - 临床多学科团队病例大赛

主持人：周晖，中南大学湘雅医院；李海庆，复旦大学附属华山医院

比赛评委：夏黎明，华中科技大学同济医学院附属同济医院；居胜红，东南大学附属中大医院；

娄昕，解放军总医院第一医学中心；姜慧杰，哈尔滨医科大学附属第二医院；宋焱，北京医院；

曹代荣，福建医科大学附属第一医院；曾献军，南昌大学第一附属医院；

吕发金，重庆医科大学附属第一医院；王锡明，山东第一医科大学附属省立医院；

廖伟华，中南大学湘雅医院

08:00-08:10 致辞

王培军，同济大学附属同济医院

08:10-08:40 病例一：狡兔三窟：影像、病理均不典型的脑白质病变的多学科合作破迷之旅及启示

杨帅，中南大学湘雅医院

李静，中南大学湘雅医院

王延金，中南大学湘雅医院

胡忠良，中南大学湘雅医院

08:40-08:55 互问互答及专家点评

娄昕，解放军总医院第一医学中心

宋焱，北京医院

08:55-09:25 病例二：循肠论道，重获新生：晚期直肠癌影像 - 临床多学科讨论

王敏，东南大学附属中大医院

魏晓莹，东南大学附属中大医院

苏翔宇，东南大学附属中大医院

陶庆松，东南大学附属中大医院

09:25-09:40 互问互答及专家点评

姜慧杰，哈尔滨医科大学附属第二医院

夏黎明，华中科技大学同济医学院附属同济医院

09:40-10:10 病例三：小儿颅内炎性肌纤维母细胞瘤的诊疗之路：影像 - 临床多学科讨论

刘浩蒂，中国医科大学附属盛京医院

宋一晨，中国医科大学附属盛京医院

杨莹，中国医科大学附属盛京医院

刘畅，中国医科大学附属盛京医院

10:10-10:25 互问互答及专家点评

曾献军，南昌大学第一附属医院

吕发金，重庆医科大学附属第一医院

10:25-10:55 病例四：免疫治疗缓解后的盆腔直乙交界占位治疗何去何从？：影像 - 临床多学科合作与讨论

胡鸿博，哈尔滨医科大学附属第二医院

中华医学会 第30次全国放射学学术大会

CHINESE CONGRESS OF RADIOLOGY 2023

张巍远，哈尔滨医科大学附属第二医院
嵇晶晶，哈尔滨医科大学附属第二医院
曲迪，哈尔滨医科大学附属第二医院

- 10:55-11:10 互问互答及专家点评
王锡明，山东第一医科大学附属省立医院
居胜红，东南大学附属中大医院
- 11:10-11:40 病例五：一波三折的“共济失调”——小脑髓母细胞瘤的破冰行动：临床多学科少见病例分析
徐文睿，北京医院
裴傲，北京医院
杜俊，北京医院
龙云飞，北京医院
- 11:40-11:55 互问互答及专家点评
廖伟华，中南大学湘雅医院
曹代荣，福建医科大学附属第一医院
- 11:55-12:10 宣布结果及总结
廖伟华，中南大学湘雅医院



医工交叉工作组

2023-11-17

A211

13:30-14:40

多核成像与医工交叉融合（一）

主持人：朱文珍，华中科技大学同济医学院附属同济医院；贺永，北京师范大学；郑卓肇，北京清华长庚医院；吴丹，浙江大学

13:30-13:35 致辞

萧毅，中国人民解放军海军军医大学第二附属医院

13:40-14:00 从临床问题到临床文章 医工交叉合作共赢

田捷，中国科学院自动化研究所

14:00-14:20 磁共振领域做科研：医工融合创新实践

郑海荣，中国科学院深圳先进技术研究院

14:20-14:40 Artificial Intelligence in Life-Span Brain Health Study

沈定刚，上海科技大学生物医学工程学院

14:40-16:00

多核成像与医工交叉融合（二）

主持人：舒健，西南医科大学附属医院；张兵波，同济大学；裴贻刚，中南大学湘雅医院

14:40-15:20 心血管影像学发展离不开医工结合

赵世华，中国医学科学院阜外医院

15:20-15:40 多核 MRI 的临床应用及进展

朱文珍，华中科技大学同济医学院附属同济医院

15:40-16:00 基于 ¹³C 的代谢动力学技术探索睡眠障碍诱发脑损伤

王杰，中国科学院精密测量科学与技术创新研究院

16:00-18:20

讨论会

主持人：朱文珍，华中科技大学同济医学院附属同济医院；徐辉雄，复旦大学附属中山医院

16:00-18:00 工作组全体成员经验交流合作讨论会及胶质瘤分子分型共识讨论会

医工交叉工作组全体委员、相关科研院所、企业研究人员代表及特邀专家

18:00-18:20 会议总结



医学影像人工智能工作组

2023-11-18

A305

13:30-15:30

医学影像人工智能

主持人：周俊林，兰州大学第二医院；张苗，首都医科大学宣武医院

13:30-13:40 致辞

周俊林，兰州大学第二医院

13:40-14:05 基于人工智能和医疗大数据的影像组学及其临床研究

田捷，中国科学院自动化研究所

14:05-14:30 基于原始数据的医学影像 AI 创新探索

张惠茅，吉林大学第一医院

14:30-14:50 人工智能在神经肿瘤成像中的应用：现状与未来挑战

徐海波，武汉大学中南医院

14:50-15:10 骨肌系统基于深度学习 MRI 图像重建临床应用

查云飞，武汉大学人民医院

15:10-15:30 AI 肺癌影像研究最新进展

于红，上海交通大学医学院附属胸科医院

15:40-16:28

医学影像人工智能

主持人：崔艳芬，山西省肿瘤医院；曾自三，广西医科大学第一附属医院

15:40-15:46 Radiomics-based machine learning methods for volume doubling time prediction of pulmonary ground glass nodules with baseline chest CT

黄文君，中国人民解放军海军军医大学第二附属医院

15:46-15:52 Energy Spectrum CT Volume Quantitative Based Radiomics Models Developed With Features of the Whole Liver and Liver Biopsy Area: Assessment of the Severity of Liver Fibrosis

李富恺，兰州大学第二医院

15:52-15:58 Structured Reporting and Deep Learning to Reduce Miss Rate of Initial MRI-detected Radiation-induced Temporal Lobe Injury of patients with nasopharyngeal carcinoma

杨方雪，中南大学湘雅医院

15:58-16:04 基于影像组学和深度学习的肾癌 Leibovich 评分预测模型

李武超，贵州省人民医院

16:04-16:10 基于 ASPECTS 分区梗死核心定量的急性缺血性脑卒中长期预后的精准预测

魏来，同济大学附属同济医院

16:10-16:16 胸部 sDWI-CT 融合图像对肺结节的诊断价值研究

夏亮，南京医科大学附属逸夫医院



16:16-16:22 基于 MRI 影像组学术前预测胶质母细胞瘤肿瘤浸润性 CD8+ T 细胞表达的研究
薛彩强, 兰州大学第二医院

16:22-16:28 多区域影像组学在直肠癌表征和预后预测中的性能比较
朱影, 温州医科大学附属第一医院

2023-11-19

A305

08:00-10:00 医学影像人工智能

主持人: 王希明, 苏州大学附属第一医院; 邹建勋, 丽水市人民医院

- 08:00-08:20 医学影像人工智能应用研究
周俊林, 兰州大学第二医院
- 08:20-08:40 人工智能赋能磁共振成像
梁栋, 中国科学院深圳先进技术研究院

- 08:40-09:00 人工智能在肿瘤诊疗中的应用
董迪, 中国科学院自动化研究所

- 09:00-09:20 肺癌影像数据集发展现状与流程应用
许茂盛, 浙江中医药大学附属第一医院

- 09:20-09:40 影像人工智能在优化影像质控方面的应用
王勇, 河北医科大学第一医院

- 09:40-10:00 多发性硬化的人工智能诊断的研究现状与进展
周福庆, 南昌大学第一附属医院

10:10-11:58 医学影像人工智能

主持人: 张扬, 山东大学齐鲁医院; 郭帆, 中国人民解放军空军军医大学第一附属医院

- 10:10-10:30 智能影像研究方法及赋能临床初步实践
汪建华, 宁波大学附属第一医院
- 10:30-10:50 人工智能方法辅助乳腺疾病诊断研究
张亚琴, 中山大学附属第五医院

- 10:50-11:10 妇科肿瘤评估相关问题及人工智能研究进展
程杰军, 上海市第一妇婴保健院

- 11:10-11:16 General purpose Large Language model to Professional Large Language Model on Chinese Medical Image Reports: ChatGPT4 vs. Locally Finetuned Large Language Models
刘俊文, 上海交通大学医学院附属瑞金医院

中华医学会 第30次全国放射学学术大会

CHINESE CONGRESS OF RADIOLOGY 2023



- 11:16-11:22 Predicting Proliferative and Non-proliferative Hepatocellular Carcinoma Using EOB-MRI-based Deep Learning Model
何 刊, 吉林大学第一医院
- 11:22-11:28 Multimodal Classification Model for Gram-Positive and Gram-Negative Bacterial Pneumonia using Imaging and Clinical Features: Improving Antibiotic Treatment Decisions
温 茹, 中国人民解放军陆军军医大学第一附属医院
- 11:28-11:34 基于对比增强 T1WI 和表观扩散系数直方图分析术前评估成人颅内室管膜瘤病理分级和瘤细胞增殖活性的价值
刘显旺, 兰州大学第二医院
- 11:34-11:40 基于 MRI 影像组学特征预测高级别胶质瘤 C5AR1 基因表达水平及患者预后
吴子君, 武汉大学人民医院
- 11:40-11:46 基于动、静脉双期增强 CT 的胰腺囊性病变术前良恶性诊断深度学习模型
邓文祎, 中国医学科学院北京协和医院
- 11:46-11:52 基于靶向对抗学习构建的抗直肠伪影前列腺癌深度学习系统在真实临床情境下的应用
胡 磊, 广东省人民医院
- 11:52-11:58 基于多类别分割的肺间质性疾病 HRCT 影像征象的智能识别
程晓锐, 首都医科大学附属北京友谊医院

科普工作组

2023-11-18

A109

13:30-16:24

科普影像，汇医惠民

主持人：李永丽，河南省人民医院；郭锁，北京医院

比赛评委：郑敏文，中国人民解放军空军军医大学第一附属医院；马林，中国人民解放军总医院第一医学中心；袁慧书，北京大学第三医院；郑传胜，华中科技大学同济医学院附属协和医院；彭飞，中国人民解放军海军军医大学第二附属医院；严福华，上海交通大学医学院附属瑞金医院；刘爱连，大连医科大学附属第一医院；张伟国，中国人民解放军陆军特色医学中心；陶晓峰，上海交通大学医学院附属第九人民医院

13:30-13:39 胎儿侧脑室增宽

王静石，大连市妇女儿童医疗中心

13:39-13:48 玄学还是科学？探索精神影像的奥秘

文雨婷，四川大学

13:48-13:57 导管室的“男”丁格尔

葛文程，中国人民解放军海军军医大学第二附属医院

13:57-14:06 不死癌症 - 强直性脊柱炎

吴小佳，重庆医科大学附属第二医院

14:06-14:15 7TMR来了，我们可以做吗？

程伊莲，陆军军医大学第一附属医院（西南医院）

郑玉，陆军军医大学第一附属医院（西南医院）

14:15-14:24 摆脱“胸”险，原来“乳”此

唐小林，中国人民解放军陆军特色医学中心

14:24-14:33 现形吧！结节君

李子洲，西安大兴医院

14:43-14:46 致辞

张惠茅，吉林大学第一医院

14:46-14:55 辐射到底有多可怕

陈翔宇，中南大学湘雅二医院

14:55-15:04 “心”起搏外传

杜晓琳，大连医科大学附属第一医院

15:04-15:13 不是每个肺结节都是劫

陈銓，华中科技大学同济医学院附属协和医院

15:13-15:22 查查查，为啥进医院要做那么多检查？

雷慈林，四川大学华西医院

中华医学会 第30次全国放射学学术大会

CHINESE CONGRESS OF RADIOLOGY 2023



15:22-15:31 一年可以做几次 CT，手机、微波炉有辐射么？

罗 骊，浙江大学

15:31-15:40 子宫输卵管造影那些事儿

杨 迪，兰州市第一人民医院

15:40-15:49 请结合临床

程慧敏，空军军医大学第二附属医院

15:49-15:58 影像检查三大法宝

帅雪婷，东莞市滨海湾中心医院

15:58-16:09 评委代表点评

16:09-16:14 总结

刘爱连，大连医科大学附属第一医院

16:14-16:24 公布排名、合影



群英会

2023-11-19

A102-A105

08:30-11:00

主席: 刘士远, 海军军医大学第二附属医院

执行主席: 张惠茅, 吉林大学第一医院

主持人: 侯阳, 中国医科大学附属盛京医院; 查云飞, 武汉大学人民医院

08:30-08:32 开场视频

08:32-08:36 参会嘉宾介绍

08:36-08:41 开场致辞

08:41-08:46 参赛团队介绍

08:46-08:49 荣誉主席大会寄语

08:49-09:10 强基答题赛

09:10-09:15 专家点评

09:15-09:16 团长激励

09:16-10:56 思辨案例分析赛

10:56-11:00 总结致辞

闭幕式

11:00-12:00

主持人: 王培军, 同济大学附属同济医院; 居胜红, 东南大学附属中大医院

中华医学会
第30次全国放射学学术大会
CHINESE CONGRESS OF RADIOLOGY 2023



卫星会

	2023.11.17
	12:00-13:00
A102-A103	GE
A104-A105	飞利浦
A206-A207	飞利浦



电子壁报展示

PO-0001	阮兆	Functional Abnormalities of Cerebellum in Vascular Mild Cognitive Impairment	PO-0025	廖旦	Altered static and dynamic functional network connectivity in individuals with subthreshold depression: a large-scale resting-state fMRI study
PO-0002	阮兆	Altered Neurovascular Coupling in Patients with Vascular Cognitive Impairment: A Combined ASL-fMRI Analysis	PO-0026	赵文明	The reduction of vitamin D in females with major depressive disorder is associated with worse cognition mediated by abnormal brain functional connectivity
PO-0003	赵锴	Dynamic Contrast-enhanced MRI Distributed Parameter Model in Identifying IDH Mutation and 1p/19q Codeletion in Patients With Glioma	PO-0027	赵文明	Brain function mediates the association between low vitamin D and neurocognitive status in female patients with major depressive disorder
PO-0004	谢安	Altered Dynamic Functional Connectivity of Insular Subdivisions in cigarette smokers	PO-0028	赵文明	The protective effect of vitamin D supplementation on the brain of patients with major depressive disorder: A randomized controlled trial
PO-0005	谢安	Altered insular functional activity in individual following electronic cigarettes	PO-0029	王俊龙	Spin-Singlet Targeted Glutamate Proton Magnetic Resonance Radiofrequency Pulse Sequence Development and Preliminary Application
PO-0006	许晶晶	Progression of hippocampal subfield atrophy and asymmetry in Alzheimer's Disease	PO-0030	王俊龙	Quantitative Study of Clinical Application of Spin-Singlet Targeted Glutamate Proton Magnetic Resonance Radiofrequency Pulse Sequence
PO-0007	陈宇辰	Alteration in Resting-state Effective Connectivity within the Papez Circuit in Presbycusis	PO-0031	邱俊	Diffusion heterogeneity and vascular perfusion in tumor and peritumoral areas for prediction of overall survival in patients with high-grade glioma
PO-0008	陈浩波	Changes of resting-state MRI in patients with sleep problems after COVID-19 infection	PO-0032	曹海媚	Histogram models of dynamic contrast-enhanced MR imaging in predicting progression of enhancing non-measurable disease after chemoradiotherapy in high-grade glioma
PO-0009	杨倍胜	Comparison of Ruptured Intracranial Aneurysms Identification Using Different Machine Learning Algorithms and Radiomics	PO-0033	徐凯	Construction of Common Harmonic Waves on Major Depressive Disorder-A New Approach for Brain Network Analyses
PO-0010	陈婷	Predictive Value of Whole-brain CTP Combined with ABCD3 Score for Short-Term Stroke after TIA	PO-0034	周佳南	Predicting IDH1 Expression using Computational Modeling of Interstitial Fluid Pressure in Glioblastoma
PO-0011	臧玉莹	Clinicopathological and radiological characteristics of false-positive and false-negative results in T2-FLAIR mismatch sign of IDH-mutated gliomas	PO-0035	王军霞	Alterations of cortical and subcortical structures in mild cognitive impairment
PO-0012	李朋	Altered brain structure and function after EC-T chemotherapy in patients with breast cancer: a longitudinal MRI study	PO-0036	王军霞	Amygdala subnuclei volume predicts anxiety reactivity related to the COVID-19 pandemic
PO-0013	陈恺冬	Altered Functional Connectivity within the Brain Fear Circuit in Parkinson's Disease with Anxiety: A Seed-Based Functional Connectivity Study	PO-0037	陆加明	Systematically disrupted functional gradient of the cortical connectome in lifelong premature ejaculation
PO-0014	李燕	Ectopic invasive ACTH-secreting pituitary adenoma mimicking chordoma: a case report and literature review	PO-0038	张雯	Connectome-based Prediction of Global Cognition in Patients with Type 2 Diabetes
PO-0015	吴宏宇	Structural degeneration and functional reorganization of visual cortex and visual subcortex in dysthyroid optic neuropathy	PO-0039	吴晓玲	A clinical-radiomics machine learning framework tailored to predict clinical outcomes in patients with acute ischemic stroke
PO-0016	李欣	Non-alcoholic fatty liver disease is associated with brain function disruption in type 2 diabetes patients without cognitive impairment	PO-0040	李博	Evaluating magnetic resonance imaging characteristics and risk factors for hemifacial spasm
PO-0017	张标	Dimensional subtyping of first-episode drug-naïve major depressive disorder: A multisite resting-state fMRI study	PO-0041	薛彩强	Vasari-based features nomogram to predict the tumor-infiltrating CD8+ T cell levels in glioblastoma
PO-0018	于清扬	Altered brain structure in patients with right hemifacial spasm: A multimodal brain structure study	PO-0042	宦欣玥	AI-Based Automated Quantification of Arterial Stenosis in Head and Neck CT Angiography: A Comparison with Manual Measurements from Digital Subtraction Angiography and CT Angiography
PO-0019	于清扬	Structure Alterations in left-sided trigeminal neuralgia: A voxel-based morphometry and diffusion tensor imaging study	PO-0043	张驰	Dynamic functional connectivity patterns associated with asymptomatic carotid stenosis
PO-0020	江平	The hierarchical organization of the precuneus captured by functional gradients	PO-0044	曾蓉	Individualized Prediction of Mild Cognitive Impairment Progression Based on Morphological and Network Features of Gray Matter
PO-0021	张菲菲	Decoupling of Gray and White Matter Functional Networks in Cognitive Impairment Induced by Occupational Aluminum Exposure: a case control study	PO-0045	郭子玄	COVID-19 is associated with changes in brain function and structure: a multimodal meta-analysis of neuroimaging studies.
PO-0022	张菲菲	Evaluation of the Default Mode Network using Nonnegative Matrix Factorization in Patients with Cognitive Impairment Induced by Occupational Aluminum Exposure	PO-0046	郭子玄	Systematic Review and Meta-analysis: Multimodal Functional
PO-0023	张菲菲	The Role of the Orbitofrontal Cortex in Exercise Addiction and Exercise Motivation: A Brain Imaging Study Based on Multimodal Magnetic Resonance Imaging			
PO-0024	陈娟	Abnormal alterations of cerebral blood flow and functional connectivity in Neuromyelitis Optica Spectrum Disorders			

中华医学会 第30次全国放射学学术大会

CHINESE CONGRESS OF RADIOLOGY 2023

PO-0047	陈柱鸿	and Anatomical Neural Alterations in Autism Spectrum Disorder	PO-0070	周宏伟	first-episode schizophrenia
		The visual and attention network integration of migraine without aura patients in interictal period			Application of 3D vessel wall high-resolution MR(3D VW-MR) imaging in Primary Angitis of the Central Nervous System
PO-0048	李笑石	Analysis of magnetic susceptibility of thalamus in ischemic stroke using quantitative susceptibility mapping and fMRI	PO-0071	王琳玲	Prediction of CDKN2A/B homozygous deletion status in IDH-mutant astrocytoma by radiomics nomogram strategy
PO-0049	亚森依米提	Differentiation between cerebral alveolar echinococcosis and brain metastases with radiomics combined machine learning approach	PO-0072	周宏伟	Study on brain function changes in patients with neurological depression based on resting state functional magnetic resonance imaging(rs-fMRI)
PO-0050	郑飞	MRI-Based Machine Learning Fusion Models to Distinguish Encephalitis and Gliomas in Atypical Cases	PO-0073	周宏伟	The application of High-Resolution Vessel Wall MRI(HR-VW-MRI) in determining the stability of intracranial MCA and BA plaques
PO-0051	李梦婷	Comparison of three coordinate based meta-analysis methods in functional magnetic resonance imaging	PO-0074	李卫华	Structural and functional abnormalities of the insula subregions in patients with bulimia nervosa
PO-0052	展琳琳	Brain functional connectivity alterations of Wernicke's area in patients with autism in multi-frequency bands: a mega-analysis	PO-0075	邓金环	Association of the Glymphatic System with Motor Symptoms in Parkinson's Disease
PO-0053	王微微	Tract based spatial statistics analysis of T2DM patients	PO-0076	林思敏	Altered Voxel-Wise Degree Centrality of Brain Network in Chronic Rhinosinusitis Patients: A Resting-State Functional Magnetic Resonance Imaging Study
PO-0054	吴宝林	Disrupted structural brain networks and structural-functional decoupling in first-episode drug-naïve adolescent major depressive disorder	PO-0077	王宁宁	Research on radiomics in distinguishing anti myelin oligodendrocyte glycoprotein immunoglobulin G-associated disorder from aquaporin 4-immunoglobulin G-positive neuromyelitis optica spectrum disorder
PO-0055	吴宝林	Altered single-subject gray matter structural networks in first-episode drug-naïve adolescent major depressive disorder	PO-0078	李艳华	A Comparative Study: ASL and DSC Perfusion Imaging in Distinguishing Glioma Recurrence from Radiation-Induced Brain Injury using Machine Learning
PO-0056	靳轶涵	Aberrant resting-state functional connectivity of the amygdala in non-alcoholic fatty liver disease with mild cognitive impairment	PO-0079	李晓霞	The prognostic value and biological significance of MRI CE-T1-based radiomics models in CNS5-identified GBM
PO-0057	金平	Altered metabolites in the periaqueductal gray in COVID-19 patients with headache: a longitudinal MRS study	PO-0080	卢瞳	Disrupted long-range connections is related to cognitive performance in patients with cerebral small vessel disease
PO-0058	林丽萍	Peak time delay in the ischemic core may predict poor functional outcome in acute ischemic stroke	PO-0081	苟露斌	Longitudinal associations of cerebrospinal fluid α -synuclein with subcortical volumes differed between Parkinson's disease motor subtypes
PO-0059	姚祥	Neuroimaging characteristics and long-term prognosis of myxoma-related intracranial diseases	PO-0082	陈晓珺	CT-based radiomics for differentiating intracranial contrast extravasation from intraparenchymal haemorrhage after mechanical thrombectomy
PO-0060	邱甜甜	The Detrimental Impact of Cerebral Small Vessel Disease on the Integrity of the Cholinergic System in Patients with Mild Cognitive Impairment	PO-0083	李宇婷	Association of glymphatic system dysfunction with sleep disorders in Parkinson's disease
PO-0061	郑文乔	High-resolution MR vessel wall imaging combined with ideal cardiovascular health for evaluating the occurrence of ischemic stroke	PO-0084	卓芝政	Periventricular gradient of normal-appearing white matter and its transcriptional signatures in normal aging and multiple neurological diseases
PO-0062	李玉凤	Energy spectral CT assessment of the anti-angiogenic effect of carbon ions on rat C6 gliomas	PO-0085	李玉娜	A common brain network links aging and vulnerability to neurodegenerative diseases
PO-0063	许框慧	Mild cognitive impairment in non-alcoholic fatty liver disease is associated with abnormal resting-state functional connectivity between the default mode network and regions within the reward system	PO-0086	王鑫惠	The Influence of Perivascular Spaces in the Basal Ganglia on Function Brain Activity in Parkinson's Disease
PO-0064	张添辉	A preliminary study on the application of AI to improve the efficacy of cerebral aneurysm detection by resident physicians with different years of training	PO-0087	李玉娜	Imaging transcriptomics of brain functional alterations in multiple sclerosis and neuromyelitis optica spectrum disorder
PO-0065	王雪扬	Computed tomography imaging predictors of early neurologic deterioration and long-term functional outcomes in symptomatic acute ischemic stroke treated with thrombolysis	PO-0088	樊响	Dynamic Changes in Automatic Generated Quantitative Biomarkers and Correlation with Pathology type of Alzheimer's Disease – A Longitudinal Study
PO-0066	邵晗冰	MR imaging characteristics of 'diffuse hemispheric gliomas, H3 G34-mutant' and possible differentiation from 'glioblastomas, IDH-wildtype' in adolescents and young adults	PO-0089	黄炎	Application of SMS-RESOLVE DWI technology combined with artificial intelligence diagnostic system in acute cerebral infarction
PO-0067	舒琨	Impaired glymphatic system in pre-cirrhotic NAFLD patients: A pilot MRI study based on DTI-ALPS	PO-0090	黄炎	Application of perfusion weighted imaging technology combined with artificial intelligence diagnostic system in acute ischemic stroke
PO-0068	周百万	Difference of hierarchy and topology in individual gray matter network between MCI patients who converted to AD and who did not convert within 3 years	PO-0091	张东升	Structural and functional connectivity alteration patterns in different subregions of the cingulate gyrus in type 2 diabetes
PO-0069	吴旭莎	Baseline white matter dynamic functional connectivity reveals dysconnectivity and predicts the early treatment response in	PO-0092	邓心如	Intracranial granulomatous inflammation caused by



PO-0093	李阳阳	cryptococcal infection: a case report and literature review	PO-0114	刘栋	Diagnostic value of adenohypophyseal magnetic resonance imaging features in girls with precocious puberty
		The White Matter Integrity and Functional Connection Changes of Fornix (cres)/Stria Terminalis in Individuals with Mild Cognitive Impairment Induced by Occupational Aluminum Expose	PO-0115	曾琳岚	Predictive value of ADC histogram in preoperative peritumoral 2cm edema zone for spatial recurrence pattern of IDH wild-type glioblastoma
PO-0094	郭翠	Local-to-remote brain function alterations in patients with thyroid-associated ophthalmopathy: a resting-state fMRI study	PO-0116	苏宇	Synergistic effects of cerebral small vessel disease and deep gray matter iron deposition on cognitive impairment in hypertension
PO-0095	颜颖	Correlation of bBrain iron deposition correlates with and freezing of gait in Parkinson's disease: a cross-sectional study	PO-0117	李洁	Case evidence of functional connectivity-guided repetitive transcranial magnetic stimulation for refractory irritable bowel syndrome
PO-0096	朱能谨	Cerebellar morphometric evaluation of motor subtypes of distinguishes between Parkinson's disease motor subtypes	PO-0118	邵缨博	Neuropsychological Insights into Exercise Addiction: The Role of Brain Structure and Self-Efficacy in Middle-Older Individuals
PO-0097	罗骁	The Trends of Hippocampal Stratum Radiatum, Lacunosum, and Moleculare Changes in the Alzheimer's Disease Continuum	PO-0119	陈惠娟	Abnormal white matter along fibers by automated fiber quantification in patients undergoing hemodialysis
PO-0098	张昕悦	Aberrant brain structural-functional connectivity coupling associated with cognitive dysfunction in different cerebral small vessel disease burden	PO-0120	陈惠娟	Altered whole-brain resting-state functional connectivity and brain network topology in typhoon-related post-traumatic stress disorder
PO-0099	黄珊珊	Prognostic value of the baseline magnetic resonance score in patients with acute posterior circulation ischaemic stroke after mechanical thrombectomy	PO-0121	鲁珊珊	Automated estimation of quantitative lesion water uptake as a prognostic biomarker for patients with ischemic stroke and large vessel occlusion
PO-0100	赵亚莉	The visual pathway: a valuable biomarker of disease duration and cognitive function in amyotrophic lateral sclerosis	PO-0122	李盼龙	APOE4 aggravates self-propagating pattern of tau in brain
PO-0101	王瑶	Temporal and topological properties of dynamic networks reflect disability in patients with neuromyelitis optica spectrum disorders	PO-0123	张月	Increased T2 value may suggest the normal-appearing corticospinal tract degeneration following stroke with multiple overlapping-echo detachment quantitative magnetic resonance technology
PO-0102	Wangyiling	The disruption of network hierarchy patterns in bulimia nervosa revealing the brain information integration disorder	PO-0124	莫永谦	High-resolution vessel wall imaging study of the correlation between intracranial atherosclerotic plaque remodelling patterns and diabetes mellitus
PO-0103	赵亚莉	Glymphatic system impairment in dysthyroid optic neuropathy: relation with cerebrospinal fluid circulation in the optic nerve and visual function	PO-0125	杨隆涛	The axes among tobacco/alcohol, inflammation, and neuroimaging: a preliminary exploratory analysis
PO-0104	陆皓璇	The Impact of Magnetic Resonance-Guided Focused Ultrasound Thalamotomy on Gray and White Matter in Essential Tremor: A Neuroimaging Study	PO-0126	瞿姣	MRI radiomics for predicting intracranial progression in non-small cell lung cancer patients with brain metastases treated with epidermal growth factor receptor-tyrosine kinase inhibitors
PO-0105	邵浩月	Feasibility of MUSE DTI in the differentiation of spinal cord injury severity in cervical spondylotic myelopathy	PO-0127	徐晓璐	Structural and functional MRI markers for cognitive impairment in neuromyelitis optica spectrum disorders
PO-0106	盖群	Altered intersubject functional variability of brain white-matter in major depressive disorder and its association with gene expression profiles	PO-0128	江心雨	Visualization of the clearance mechanism on glial lymphatic pathway under different amyloid protein load via 9.4T MR
PO-0107	殷子欣	Value of Alberta Stroke Program Early CT Score on venous-phase CT in predicting the final infarct core and clinical outcome of the patients with acute ischemic stroke after endovascular thrombectomy	PO-0129	端木筱洁	The relationship between rest tremor and fiber organization in Parkinson's disease and Essential tremor
PO-0108	欧阳烽	The value of 3D T2-weighted TSE sequences in the differential diagnosis for spinal arteriovenous fistula and acute transverse myelitis	PO-0130	班美婷	Association of abnormal segment in uncinate fasciculus with cognitive deficit in first-episode, treatment-naïve young adults with major depressive disorder
PO-0109	任庆国	Changes in the corticospinal tract after acute and chronic attacks based on diffusion tensor imaging	PO-0131	雷丽敏	Influence of different scanning conditions of CTP combined with deep learning image reconstruction algorithms on image quality and perfusion parameters
PO-0110	盖群	Classification of Major Depressive Disorder Based On Integrated Temporal and Spatial Variability Features of Dynamic Brain Network	PO-0132	张楠	Value of whole-lesion histogram analysis of ADC and ASL in predicting the response to chemotherapy and prognosis of PCNSL
PO-0111	韩永良	Automated Anterior Visual Pathway Segmentation in Magnetic Resonance Image by a Novel Convolutional Neural Network	PO-0133	李鑫	Increased brain iron deposition in medication-overuse headache with quantitative susceptibility mapping
PO-0112	马立超	Delineation of Target Volume for Radiotherapy of High-Grade Gliomas through Registration of Preoperative MR on Postoperative MR Images	PO-0134	李静	Altered static and dynamic intrinsic brain activity in unilateral sudden sensorineurial hearing loss
PO-0113	张斌	Expression of p53 Combined with Ki-67 in IDH-wildtype Glioblastomas: Prediction by Apparent Diffusion Coefficient Values	PO-0135	高梓洋	Multilayer network analysis reveals instability of brain dynamics in untreated first-episode schizophrenia
			PO-0136	范文亮	Static and Dynamic Functional Connectome Alterations in Drug-naïve Patients with Early Parkinson's Disease

中华医学会 第30次全国放射学学术大会

CHINESE CONGRESS OF RADIOLOGY 2023

PO-0137	马懿琦	CDCA2 is a prognostic biomarker of glioma patients and correlates with immune cell infiltration in the tumor microenvironment	PO-0160	刘卓航	Assessment of Glx and GABA levels in the Global Developmental Disability Children: A MRS Study
PO-0138	范文亮	Neuroimaging Insights: Structural Changes and Classification in Ménière's Disease	PO-0161	卜书婷	Structural and functional alterations of motor-thalamus in different motor subtype of Parkinson's disease: An individual study
PO-0139	陈志晔	Inter-scanner Reproducibility of Volumetric Quantitative Susceptibility Mapping about Cerebral Subcortical Gray Nuclei at 3.0T MR	PO-0162	杨 佳	Molecular Mechanisms Underlying Human Spatial Cognitive Ability Revealed with Neurotransmitter and Transcriptomic Mapping
PO-0140	熊建美	The altered perfusion changes of locus coeruleus in the patients with chronic migraine: a pilot 3D-PCASL study	PO-0163	王 晨	Functional Network Modularity Differences between Drug-Responsive and Drug-Nonresponsive Schizophrenia Patients
PO-0141	余 薇	Structural characteristics of the thalamic nuclei in drug-naïve first-episode schizophrenia	PO-0164	陈雁菁	Investigating the shared genetic architecture between chronic pain and cognition
PO-0142	黄 攀	Hypoperfusion of periaqueductal gray as an imaging biomarker in chronic migraine beyond diagnosis: a 3D pseudo-continuous arterial spin labeling MR imaging	PO-0165	王 佳	Higher Baseline Subcortical Net Water Uptake in Computed Tomography Predicts Malignant Middle Cerebral Artery Infarction in Patients with Acute Ischemic Stroke
PO-0143	杨文博	Reduced functional connectivity induced by longitudinal alterations of structure and perfusion may be associated with cognitive impairment in patients on maintenance hemodialysis	PO-0166	宋丽君	Exploring cognitive loop decoupling in Nondialysis Patients with CKD based on multimodal MRI cross-modal coupling
PO-0144	郭义昊	Associations between glymphatic function and A β , tau with cognition in Alzheimer's disease	PO-0167	庞惠泽	Discriminating white matter degeneration patterns of cognitive impairment in Parkinson's disease and multiple system atrophy
PO-0145	周 利	Association of inflammatory cytokines with magnetic resonance imaging features of the brain in patients with depression	PO-0168	黄晓丹	MRI morphological differences comparing diffuse midline glioma - H3K27 mutation and near midline low grade glioma
PO-0146	陶 博	Characteristics of functional asymmetry and its association with age and sex in antipsychotic-naïve first-episode schizophrenia.	PO-0169	杨谢锋	MRI-based radiomics models for prediction of telomerase reverse transcriptase promoter mutation status in IDH-wildtype histological lower-grade astrocytoma
PO-0147	粟小芸	Detection of microstructural abnormalities of gray matter in migraineurs without aura using Mean Apparent Propagator (MAP) MRI	PO-0170	杨谢锋	MRI-based Radiomics Signatures for Predicting Ki-67, CD105, and VEGF Expression of IDH-mutant Astrocytoma
PO-0148	胡馨月	Morphometric dissimilarity between cortical and subcortical areas underlies cognitive impairment in first-episode, treatment-naïve patients with major depressive disorder	PO-0171	赵晨阳	Plaque distribution in multi-cerebrovascular beds associates with acute cerebral infarction: A magnetic resonance imaging study
PO-0149	涂宇卿	Genotype-specific brain structural damage in Hereditary Spastic Paraparesis subtypes	PO-0172	倪闻静	CBV Index could be a reliable predictor of the prognosis for acute ischemic stroke patients after EVT.
PO-0150	宋丽君	Aberrant structural-functional network coupling is associated with cognitive decline in patients with non-dialysis-dependent stage 5 chronic kidney disease	PO-0173	于子洋	Evaluation of Kidney-Brain Axis and Ferroptosis Mechanism based on Multimodal Magnetic Resonance Imaging
PO-0151	Yan Deng	Preliminary exploration of lumbosacral plexus DTI and further analysis of clinical characterization in anti-neurofascin 155 antibody-positive patients - a case series	PO-0174	刘昕孜	MEGA-PRESS Detects the Changes of Metabolite in Parkinson's Disease with Depression
PO-0152	陈玲珑	Dynamic Individual-specific Functional Connectivity Changes in Disorder of Consciousness Patients	PO-0175	宋雪琳	Combination of Hematoma and Perihematoma Tissue Radiomics Analysis on Baseline CT Scans Predicts Early Clinical Outcome of Conservatively Treated Spontaneous Cerebral Hemorrhage
PO-0153	何文杰	Prognostic value of perivascular space and small-vessel disease neuroimaging measures in idiopathic normal pressure hydrocephalus	PO-0176	尤 佳	Modular Edge Analysis Reveals Chemotherapy Caused Brain Network Changes for Lung Cancer Patients
PO-0154	柏盈盈	Mesenchymal stem cells with p38 mitogen-activated protein kinase interference ameliorate mouse ischemic stroke	PO-0177	谢佳培	Topological characteristics changes in chronic tinnitus: A Resting-State Functional Magnetic Resonance Imaging Study
PO-0155	杨成敏	Brain network hierarchy reorganization and neurotransmitter associations in deficit and non-deficit schizophrenia	PO-0178	赵欣欣	Atlas-based analysis of diffusion imaging may predict efficacy of constraint-induced movement therapy with different training modes for motor function recovery in stroke rats
PO-0156	黎 磊	Increased functional synchronization between gray and white matter in posttraumatic stress disorder	PO-0179	李宗烨	Prediction of meningiomas' critical molecular phenotype using the transverse relaxation time
PO-0157	卜书婷	Multi-parametric radiomics of conventional T1 weighted and susceptibility-weighted imaging for differential diagnosis of idiopathic Parkinson's disease and multiple system atrophy	PO-0180	葛 鑫	Whole-Tumor Histogram Analysis of Synthetic MRI Predicts isocitrate dehydrogenase mutation status in gliomas
PO-0158	张广文	Mismatched signs in Glioma Grading by Contrast-Enhanced MRI and 3D-ASL Perfusion Imaging	PO-0181	王 昊	Association between white matter hyperintensities and altered cerebral blood flow in maintenance hemodialysis patients: a longitudinal study
PO-0159	李晓露	Functional Alterations Associated with Tremor Help Identify Parkinson's Disease and Multiple System Atrophy: A Resting-State fMRI Study	PO-0182	任亚楠	Accurate staging of Cerebral Venous Sinus Thrombosis using T1 SPACE: clinical experience
			PO-0183	陈昱帆	Regional changes of neuromelanin and iron in the substantia nigra of early Parkinson's disease
			PO-0184	张国平	Based on CT plain scan, using 3D-Slicer to measure the effect of bleeding volume on the prognosis of posterior inferior



PO-0185	蒋小凤	cerebral aneurysm rupture	Waist-to-hip Ratio Loss Especially among Overweight and Obese adults
PO-0186	姜 健	Aberrant functional and causal connectivity of the amygdala in herpes zoster and postherpetic neuralgia patients	Disastrous Cerebral and Ocular Complications after Cosmetic Facial Filler Injections
PO-0187	张梨洁	Altered small-world, functional brain networks in patients with lower back pain	The prevalence of abnormal brain morphology in neurological disorders
PO-0188	王歆惠	Metaverse in Neuropsychiatric Imaging Research of Substance Use Disorders: A Promising Frontier	The effect of LRRK2 mutations on the cholinergic system in manifest and premanifest stages of Parkinson's disease: a cross-sectional free-water imaging study
PO-0189	Yahong Tan	Impaired interhemispheric synchrony in Parkinson's disease patients with progressive cognitive impairment	Cerebellar functional network topology and alterations in motor circuit connectivity in spinocerebellar ataxia type 3
PO-0190	卜春晓	Noninvasive Detection of Brain Glioma Temperature using Magnetic Resonance Spectroscopy: A Preliminary Study	Changes in brain susceptibility in Wilson's disease patients: A quantitative susceptibility mapping study
PO-0191	文宝红	Alteration of Static and Dynamic Intrinsic Brain Activity Induced by Short-term Spinal Cord Stimulation in Postherpetic Neuralgia Patients	Histogram analysis of MR perfusion imaging for glioma genotyping
PO-0192	王 瑶	Gray matter morphological abnormalities are constrained by normal structural covariance network in OCD	3-dimensional MR neurography shows unclear distal brachial plexus in amyotrophic lateral sclerosis (ALS): a case-control study
PO-0193	马 悅	Cerebral blood flow changes and their genetic mechanisms in COVID-19: a combined neuroimaging and transcriptome study	Neuromelanin magnetic resonance imaging of substantia nigra and locus caeruleus in Parkinson's disease with freezing of gait
PO-0194	郭 虹	Correlation between changes of brain ALFF and cognitive impairment in patients with neuropsychiatric lupus	Clinical and radiological differentiation between Trouseau syndrome and cardiogenic embolism
PO-0195	曹城浩	Glioblastoma phenotypes based on MR imaging radiomic features had diversity recurrence patterns	Spinal cord change patterns in normal aging population and multiple neurological diseases
PO-0196	曾 春	Choroid Plexus Volume Change-A Candidate for a New Radiological Marker of PD	Primary Ewing's sarcoma Peripheral Primitive Neuroectodermal Tumor of the lateral ventricle: a case report and literature review
PO-0197	段 翎	Subdivisional Iron Deposition and "Swallow Tail Sign" of Substantia Nigra in Relapsing Remitting Multiple Sclerosis Patients with Different Disease Duration by Quantitative Susceptibility Mapping	Assessment of acid-base metabolism in chronic ischemic brain tissue by amide proton transfer weighted imaging
PO-0198	张森皓	Comparison of 7T TOF-MRA and 3T TOF-MRA in Assessment of Moyamoya Disease	Time-variant and Tissue-Level Collaterals Predict Perioperative Neurological Recovery and Clinical Outcomes of Patients with Endovascular Thrombectomy
PO-0199	田 娅	Predictive Value of Integrated PET/MR Indicators for Early Detection of Ischemic Brain Changes Following CAS Stenting	Temporal region associated functional and effective connectivity relate to psychotic symptoms in drug-naïve first-episode adolescent-onset schizophrenia
PO-0200	田 娅	Resolving heterogeneity in depression using individualized structural covariance network analysis	Resolving heterogeneity in obsessive compulsive disorder through individualized differential structural covariance network analysis
PO-0201	李宗烨	Mapping of iron deposition gradients in the nigrostriatal system in normal aging and Parkinson's disease	Application of spinal subtraction and bone background fusion CTA in the accurate diagnosis and evaluation of spinal vascular malformations
PO-0202	闻家琪	Prediction of meningioma subtypes using a novel single-shot ultrafast T2 mapping pulse sequence	A chain multiple mediation model analysis reveals the distinct relationship among inflammation, white matter and recognition in individuals at different levels of risk for developing BD
PO-0203	梁 倩	Artificial Intelligence Imaging for Preicting High-Risk Molecular Markers of Gliomas	Altered static and dynamic functional connectivity strength in adolescents with first-episode major depressive disorder and previous suicide attempts
PO-0204	彭钰玲	Impact of white matter hyperintensity location on outcome in acute ischemic stroke patients: a lesion-symptom mapping study	Monitoring Bevacizumab-Induced Tumor Vascular Normalization by Intravoxel Incoherent Motion Diffusion-Weighted MRI
PO-0205	朱虹全	Investigation of grey matter abnormalities in patients with idiopathic generalized epilepsy: A neurite orientation dispersion and density imaging study	The effect of short-term antidepressant treatment on the functional connectivity strength in depressed adolescents with previous suicide attempts
PO-0206	崔 峰	Diffusion along the perivascular space as a potential biomarker for glioma grading and IDH1 mutation status prediction	Regional blood flow by 3D pseudo-continuous Arterial Spin Labeling as a predictor of headache and acute mountain sickness at high altitude in men and women
PO-0207	陶秋影	Static changes in intrinsic brain activity in first-episode patients with obsessive-compulsive disorder	Automatic Segmentation of Choroid Plexus Based on Gaussian Mixture Model in First-Episode Drug-Naïve Schizophrenia
PO-0208	芦 韶	The moderation effect of COVID-19 infection on the association between hyperarousal-related neural substrates and anxiety during the 1st wave of COVID-19 in China	Baseline alterations and Acute Effects of Escitalopram on Amygdala Functional Connectivity in Youth at High-Risk for Bipolar Disorder
PO-0209	孙 婧	Improved Brain Structural Health Related to Body Weight and	

中华医学会 第30次全国放射学学术大会

CHINESE CONGRESS OF RADIOLOGY 2023

PO-0232	曾伟雄	Predicting Prognosis and Severe Complications for Acute Ischemic Stroke Using Clinical-CT Fusion Feature-Based Ensemble Machine Learning	机器学习研究
PO-0233	魏璇	Alterations of Diffusion Kurtosis Imaging Measures in Gait-related White Matter in Parkinson's Disease	王艾博 乳腺癌术前化疗过程中脑静息态功能活动与类淋巴功能改变及相关性分析
PO-0234	高飞	Unlocking the Link: How Hippocampal Glutathione-Glutamate Coupling Predicts Cognitive Impairment in Multiple Sclerosis Patients	张华为 青年及青少年抑郁症患者自杀相关的大脑白质结构和网络异常
PO-0235	余晓	Topological properties of brain functional network in Vertically transmitted HIV positive adolescents	马文富 Sy-MRI 联合 3D-ASL 成像技术在恶性胶质瘤中预测 IDH 基因突变的应用研究
PO-0236	王恩峰	Gender Specific Re-considered of default mode network (DMN) in insomnia disorder patients: evidence from resting state fMRI	李欣 糖尿病前期及 2 型糖尿病皮层萎缩与认知功能的相关性研究
PO-0237	蒋静	Classifying major depressive disorder and post-traumatic stress disorder via static and dynamic functional networks with machine learning	欧阳颖 人工智能在基于 CT 灌注原始图像重组头颅 CT 血管成像的应用
PO-0238	陈晓娅	Reduced Diffusion Tensor Image Analysis Along the Perivascular Space (DTI-ALPS) Index in Neuromyelitis Optica Spectrum Disorder (NMOSD) Patients with Seropositive for AQP4-Antibody	唐小平 基于人工智能 CT 评估前循环大血管闭塞性急性缺血性卒中血管内治疗预后的影响因素
PO-0239	樊响	VR with eye-tracking to empower MRI in diagnosing of mild cognitive impairment	赵晗 大脑功能同伦的遗传机制：一项基于转录组学和静息态功能磁共振的研究
PO-0240	吴昊	Cerebral Blood volume measurement at tumor microvascularity derived from local image variance of susceptibility weighted imaging in glioblastoma: correlation with IDH mutation status	周宇堃 垂体腺瘤的诊断与鉴别诊断
PO-0241	印旭阳	The potential value of pseudo-continuous arterial spin labeling in reflecting cognitive performance for older adults with MRI-negative epilepsy	吴晓峰 椎管内节细胞神经瘤的 MRI 表现及文献复习
PO-0242	印旭阳	Mixed brain perfusion pattern and its association with epilepsy duration: The application of arterial spin labeling in older people with epilepsy	徐凯 抑郁症患者的功能及形态学脑网络构建与分析
PO-0243	吴菲	Exploring the Feasibility of Ultrafast, Single-Scan Quantitative Magnetic Resonance Imaging for Huntington's Disease Patients	汪涛 对左背外侧前额叶皮层行 rTMS 治疗来改善尼古丁依赖：一项静息态功能连接的纵向研究
PO-0244	黄晓妃	Diffusion Tensor Imaging Analysis Along the Perivascular Space Index uncovers relationships of glymphatic dysfunction and cognitive progression in de novo Parkinson's disease	何仕丽 CTA 联合 CTP 成像参数和血清生物学 对卒中复发事件的预测价值
PO-0245	李祥	Value of diffusion kurtosis imaging in the hierarchical diagnosis of glioma	李晨 血管选择性动脉自旋标记对成人颅内侧支循环的研究
PO-0246	崔龙彪	精神障碍神经影像国家自然科学基金青年项目申请书“解密”	王斌 体素内不相干运动成像 (IVIM) 监测脑胶质瘤复发和治疗后反应的初步探讨
PO-0247	谈炎欢	非痴呆型血管性认知障碍患者海马表观弥散系数平均值研究	姜洪新 磁共振 DTI 技术在内囊走形纤维束分析研究
PO-0248	谈炎欢	非痴呆型血管性认知障碍患者海马氢质子磁共振波谱研究	梁学恒 通过自动纤维定量的无监督机器学习探索多发性硬化症的亚型
PO-0249	王媛	多模态影像技术在脑泡状棘球蚴病中的诊断价值	陈钱 基于隐马尔科夫模型研究主观认知下降人群脑动态活动特征及与空间导航的关联
PO-0250	侯婕	基于 CCTA 影像标记物和影像组学预测脑白质高信号的进展：探索心脏和大脑之间的潜在相关性	康晓伟 去除环形强化 GBM 坏死相关炎症的影响区域是否可提高 MRI 定量研究中与感染性病变的鉴别能力？
PO-0251	邹灿	基底节区对称性低密度病变的发病机理与 CT 诊断相关性	李卫萍 基于纤维束自动定量法对遗忘型认知障碍患者脑白质纤维完整性改变的研究
PO-0252	苏厚铭	Mahalanobis 距离测量法：量化脑卒中患者白质变化与预测预后的 new 方法	傅琳清 2 型糖尿病患者认知障碍相关的脑自发活动和功能网络动力学改变
PO-0253	任静茹	初诊 GBA 相关帕金森病的神经递质变化特点	刘东明 影像基因组学在胶质母细胞瘤免疫浸润特征评估及预后预测中的应用研究
PO-0254	冉云彩	II ~ III 级颅内孤立性纤维瘤的 MRI 表征与病理特征分析	刘东明 单侧颞叶低级别胶质瘤患者健侧海马及其亚区结构的可塑性研究
PO-0255	刘显旺	全肿瘤表观扩散系数直方图分析鉴别微囊型脑膜瘤和颅内孤立性纤维性肿瘤的价值	王茂雪 人工智能重建在颅内 3D T1WI 成像中的应用价值
PO-0256	陈思丹	人工智能技术评估脊髓小脑共济失调 3 型患者脑萎缩的应用价值	王茂雪 基于螺旋成像技术的 TOF-MRA 在颅内小血管成像中的应用
PO-0257	刘畅	临床 5.0 T 超高场 MRI 磁敏感加权成像评估脑静脉及深髓静脉的价值	魏良鹏 基于自动纤维量化分析方法识别遗忘型 / 非遗忘型轻度认知障碍：一项多中心研究
PO-0258	彭珈璇	基于白质结构及衍生的网络属性预测 MCI 进展为 AD 的	李菁 利用 EEG 和 fMRI 从单模态到多模态研究阿尔茨海默病原发性早泄患者静息态 fMRI 脑网络研究：基于表面皮层的度中心度
PO-0259	王艾博	乳腺癌术前化疗过程中脑静息态功能活动与类淋巴功能改变及相关性分析	周梅萍 基于 APTw 成像感兴趣勾画的探讨构建脑胶质瘤分级的临床诊断预测模型
PO-0260	张华为	青年及青少年抑郁症患者自杀相关的大脑白质结构和网络异常	魏良鹏 认知障碍血液标志物与痴呆影像学标志物的相关性研究
PO-0261	马文富	Sy-MRI 联合 3D-ASL 成像技术在恶性胶质瘤中预测 IDH 基因突变的应用研究	倪玲 轻度认知障碍伴腔隙性脑梗死患者的脑自发活动异常 - 静息态功能 MRI 研究
PO-0262	李欣	糖尿病前期及 2 型糖尿病皮层萎缩与认知功能的相关性研究	谭淑睿 41 例脑干节细胞胶质瘤的影像特征分析
PO-0263	欧阳颖	人工智能在基于 CT 灌注原始图像重组头颅 CT 血管成像的应用	顾正章 终末期肾病患者的体素镜像同伦连接改变及其与患者认知功能之间的关系
PO-0264	唐小平	基于人工智能 CT 评估前循环大血管闭塞性急性缺血性脑卒中血管内治疗预后的影响因素	卢海涛 基于体素内不相干运动成像的直方图分析鉴别高、低级别脑胶质瘤的价值
PO-0265	赵晗	大脑功能同伦的遗传机制：一项基于转录组学和静息态功能磁共振的研究	卢海涛 首发未治疗成年重性抑郁障碍患者大尺度静息态脑网络
PO-0266	周宇堃	垂体腺瘤的诊断与鉴别诊断	
PO-0267	吴晓峰	椎管内节细胞神经瘤的 MRI 表现及文献复习	
PO-0268	徐凯	抑郁症患者的功能及形态学脑网络构建与分析	
PO-0269	汪涛	对左背外侧前额叶皮层行 rTMS 治疗来改善尼古丁依赖：一项静息态功能连接的纵向研究	
PO-0270	何仕丽	CTA 联合 CTP 成像参数和血清生物学 对卒中复发事件的预测价值	
PO-0271	李晨	血管选择性动脉自旋标记对成人颅内侧支循环的研究	
PO-0272	王斌	体素内不相干运动成像 (IVIM) 监测脑胶质瘤复发和治疗后反应的初步探讨	
PO-0273	姜洪新	磁共振 DTI 技术在内囊走形纤维束分析研究	
PO-0274	梁学恒	通过自动纤维定量的无监督机器学习探索多发性硬化症的亚型	
PO-0275	陈钱	基于隐马尔科夫模型研究主观认知下降人群脑动态活动特征及与空间导航的关联	
PO-0276	康晓伟	去除环形强化 GBM 坏死相关炎症的影响区域是否可提高 MRI 定量研究中与感染性病变的鉴别能力？	
PO-0277	李卫萍	基于纤维束自动定量法对遗忘型认知障碍患者脑白质纤维完整性改变的研究	
PO-0278	傅琳清	2 型糖尿病患者认知障碍相关的脑自发活动和功能网络动力学改变	
PO-0279	刘东明	影像基因组学在胶质母细胞瘤免疫浸润特征评估及预后预测中的应用研究	
PO-0280	刘东明	单侧颞叶低级别胶质瘤患者健侧海马及其亚区结构的可塑性研究	
PO-0281	王茂雪	人工智能重建在颅内 3D T1WI 成像中的应用价值	
PO-0282	王茂雪	基于螺旋成像技术的 TOF-MRA 在颅内小血管成像中的应用	
PO-0283	魏良鹏	基于自动纤维量化分析方法识别遗忘型 / 非遗忘型轻度认知障碍：一项多中心研究	
PO-0284	李菁	利用 EEG 和 fMRI 从单模态到多模态研究阿尔茨海默病原发性早泄患者静息态 fMRI 脑网络研究：基于表面皮层的度中心度	
PO-0285	周飞	原发性早泄患者静息态 fMRI 脑网络研究：基于表面皮层的度中心度	
PO-0286	叶梅萍	基于 APTw 成像感兴趣勾画的探讨构建脑胶质瘤分级的临床诊断预测模型	
PO-0287	魏良鹏	认知障碍血液标志物与痴呆影像学标志物的相关性研究	
PO-0288	倪玲	轻度认知障碍伴腔隙性脑梗死患者的脑自发活动异常 - 静息态功能 MRI 研究	
PO-0289	谭淑睿	41 例脑干节细胞胶质瘤的影像特征分析	
PO-0290	顾正章	终末期肾病患者的体素镜像同伦连接改变及其与患者认知功能之间的关系	
PO-0291	卢海涛	基于体素内不相干运动成像的直方图分析鉴别高、低级别脑胶质瘤的价值	
PO-0292	卢海涛	首发未治疗成年重性抑郁障碍患者大尺度静息态脑网络	



PO-0293	卢海涛	表现弥散系数的直方图特征与弥漫性胶质瘤组织学分级、Ki-67 增殖指数的对照研究	研究	PO-0325	王 敏	基于静息态 fMRI 对帕金森病不同运动亚型患者脑网络节点功能连接属性改变的研究
PO-0294	谢 彦	顺磁性边缘病灶对复发缓解型多发性硬化患者皮层厚度和灰白质对比度的影响		PO-0326	赵本琦	探讨脊膜瘤的少见及不典型 MRI 表现
PO-0295	朱雅静	气味刺激下主观认知下降患者嗅觉神经环路的功能连接改变		PO-0327	林雪瑶	基于体素内不相干运动扩散加权成像的影像组学列线图预测脑胶质瘤 ATRX 基因状态
PO-0296	黄纯自	基于能谱多期 CTA 技术探讨其对颅内动脉瘤术后影像评估的临床价值		PO-0328	伍雅婷	帕金森病执行控制网络对运动调节作用的动态功能连接研究
PO-0297	张 超	不同阶段血脑屏障通透性参数预测动脉瘤性蛛网膜下腔出血后迟发性脑缺血和预后		PO-0329	赵小二	16 例小脑胶质母细胞瘤影像及临床分析
PO-0298	张 超	蛛网膜下腔出血早期脑水肿评分与临床预后的关系：基于血脑屏障渗透性参数的评估		PO-0330	殷菲悦	多发性硬化症患者深层灰质核团的多模态研究及其临床相关性：一项多变量模式分析研究
PO-0299	冯 琪	遗忘型轻度认知障碍患者海马区体积改变及与认知表现的相关性		PO-0331	严家豪	急性轻度创伤性脑损伤的神经血管耦合异常研究
PO-0300	李雨薇	特鲁索综合征相关脑梗死的影像学特征及危险因素分析		PO-0332	丁 爽	QSM 联合 NODDI 研究帕金森患者脑铁沉积及微观结构变化特点
PO-0301	祁 丹	基于 FLAIR 血管高信号征构建急性缺血脑卒中临床结局预测模型的研究		PO-0333	樊丽华	基于动脉自旋标记技术探讨原发性痛经患者脑血流量的研究
PO-0302	洪玉芹	能谱 CT 容积定量分析对急性脑梗死介入术后碘对比剂渗出和脑出血转化鉴别应用价值		PO-0334	梁佳欣	MR 总负荷评分联合 AI 脑分割对脑小血管病变相关的认知障碍研究
PO-0303	阿布都热苏力·吐尔孙	MRI 一阶特征在脑泡型包虫和脑转移瘤鉴别诊断中的研究		PO-0335	周 翔	基于 MRI 影像组学和机器学习的急性前循环非腔隙性梗死预后预测的研究
PO-0304	曹伯裕	成人型神经元核内包涵体病的 MRI 特征（附 7 例报告及文献复习）		PO-0336	韩 蕾	DWI 联合 3D-ASL 技术评估胶质瘤 IDH-1 突变状态
PO-0305	王 磊	缺血性卒中脑类淋巴系统功能受损与运动功能障碍的相关性研究		PO-0337	刘芮杉	斜坡颅咽管瘤 1 例
PO-0306	李俊杰	基于人工智能的多参数 MRI 无创鉴别脑转移瘤、脑胶质母细胞瘤和颅内原发中枢神经系统淋巴瘤		PO-0338	陈义磊	无先兆偏头痛患者自发脑活动动态中异常的一致性：多变量模式分析研究
PO-0307	杨惠泉	DCE-MRI 定量和定性参数对脑胶质瘤 CDKN2A/B 纯合缺失的预测		PO-0339	陈义磊	慢性腰背痛中小脑到运动皮质的有效连接改变：一项基于多变量模式分析和频谱动态因果建模的研究
PO-0308	郝 桥	多模态影像融合技术在脑出血患者中的应用		PO-0340	周宏伟	基于弥散张量成像的首发未治疗抑郁症患者脑白质网络的初步研究
PO-0309	王微微	2 型糖尿病患者皮层形态特征的 MRI 结构研究		PO-0341	周宏伟	分辨率磁共振血管壁成像在原发性中枢神经系统血管炎中的诊断价值
PO-0310	陈阿梅	血管周围间隙扩散张量成像指数在评估帕金森病患者脑类淋巴系统功能中的价值		PO-0342	周宏伟	基于 VBM 及静息态 fMRI 对首发未治疗抑郁症患者脑功能磁共振研究
PO-0311	赵本琦	MRI 银杏叶征象对脊膜瘤与椎管内神经源性肿瘤的鉴别诊断价值		PO-0343	周宏伟	基于 4D Flow MRI 成像技术的颅内静脉系统血流动力学状态的初步研究
PO-0312	曾文婷	基于结构性 MRI 的形态学测量区分脊髓小脑共济失调及多系统萎缩的诊断价值		PO-0344	于洪伟	磁共振多延迟动脉自旋标记技术对椎 - 基底动脉扩张延长症患者脑血流灌注分析
PO-0313	韩 涛	表观扩散系数直方图分析在预测脑膜瘤复发风险中的价值		PO-0345	叶浩翊	磁共振波谱成像在急性颈内动脉闭塞模型大鼠中的应用
PO-0314	韩 涛	表观扩散系数直方图分析术前鉴别纤维型脑膜瘤与非纤维型脑膜瘤		PO-0346	刘春华	椎管内黏液乳头型室管膜瘤的 MRI 征象分析
PO-0315	于 泳	基于 MRI 弥散加权成像的影像组学特征预测急性缺血性脑卒中的短期预后		PO-0347	米热扎提·吐尔洪	基于多组学因素的颅内动脉瘤破裂风险深度学习预测模型的建立与验证：多中心队列研究
PO-0316	葛秀红	经典三叉神经痛患者单次触痛后脑功能变化		PO-0348	吕鑫一	复合双流注射法注射方案在头颈 CTA 检查中的应用价值
PO-0317	王 雪	增强型动脉自旋标记成像在帕金森病脑灌注损伤中的应用研究		PO-0349	韦 敏	基于 DTI-ALPS 指数评价 AICI 患者的脑胶质淋巴系统功能
PO-0318	舒震宇	基于 DTI 的衍生扩散参数预测轻度认知功能障碍疾病进展：一种列线图的构建及验证		PO-0350	张 波	DTI 鉴测腰神经损伤及疗效评估
PO-0319	冯天保	缺血半暗带定位和预测急性缺血性卒中进展		PO-0351	吴 慧	双侧岛叶较低的灰质体积介导了超重肥胖对精神分裂症患者不良的精神效应
PO-0320	赵 义	MR 定量磁敏感图磁化率及纹理分析在评估帕金森病轻度认知功能障碍中的价值		PO-0352	黎玉婷	帕金森病冻结步态患者超直接通路功能连接与运动功能的关系
PO-0321	张 远	多期 CT 血管造影对急性缺血性脑卒中血管内治疗短期预后的价值		PO-0353	栾 颖	阿尔茨海默病认知域特异性功能损害的网络连接标志物
PO-0322	张 远	临床影像组学模型在预测急性缺血性脑卒中血管内治疗短期预后的价值		PO-0354	方佃刚	注意缺陷多动障碍男童 SNAP-25 基因 MnII 多态性与静息态脑功能和工作记忆的相关性研究
PO-0323	赵 义	基于脑 MR 定量磁敏感图对帕金森病轻度认知功能障碍铁沉积协变网络特征的研究		PO-0355	阮 霞	酒精使用障碍患者自发脑活动的频率特异性改变
PO-0324	周治明	一种新颖的用于预测颅内动脉瘤破裂的临床 - 影像组学评分诺莫图		PO-0356	李秀丽	癫痫停药后复发患者的灰质形态网络异常
				PO-0357	阮 霞	酒精使用障碍患者全脑功能连接及度中心性功能成像研究
				PO-0358	郑茜诗	基于动脉自旋标记技术探究左旋多巴治疗背景下帕金森病特异性运动灌注模式的预后预测价值
				PO-0359	聂吉林	集成磁共振成像技术在多发性硬化患者脊髓病灶检出中的应用价值
				PO-0360	匡钦梅	血管源性脑白质高信号患者临床特征和认知相关的纤维束成像研究

中华医学会 第30次全国放射学学术大会

CHINESE CONGRESS OF RADIOLOGY 2023

PO-0361	赵厚亮	基于 fMRI 动态低频振幅应用于帕金森病辅助诊断研究	PO-0398	李 馨	夜班相关睡眠剥夺医生静息态 fMRI 局部一致性研究
PO-0362	余 琳	基于多模态 MRI 的多任务学习用于脑胶质瘤分割和 IDH 基因分型预测	PO-0399	吴亚平	多序列深度学习合成头部 T1 增强图像
PO-0363	赵婧含	基于 STAGE 序列探究帕金森病患者脑深部核团微结构的改变	PO-0400	韩舒婷	基于图论的方法研究不同病程耳鸣患者小世界功能网络拓扑属性的重组
PO-0364	袁伟晋	基于聚类探究特发性震颤临床异质性的脑结构与功能磁共振基础	PO-0401	冉海峰	2 型糖尿病患者脑功能连接梯度与认知功能相关性的研究
PO-0365	邢新博	单纯椎管内硬膜外海绵状血管瘤的 MRI 表现特点分析	PO-0402	蒲华霞	质子磁共振波谱定量评估不同亚型的皮质发育畸形伴癫痫的代谢异质性
PO-0366	邢新博	慢性单侧大脑中动脉重度狭窄 - 闭塞患者脑灌注与脑小血管病总负荷的相关性	PO-0403	王莉萍	癫痫伴偏头痛患者存在异常的脑代谢物改变
PO-0367	邢新博	大脑中动脉狭窄与脑小血管病影像标志物的相关性研究	PO-0404	王媛媛	烟雾病患者联合血运重建术后脑网络中心度改变的静息态功能磁共振研究
PO-0368	王景宇	四脑室区常见占位性病变的影像诊断	PO-0405	段莹星	中重度斑秃患者脑结构和功能磁共振成像初步研究
PO-0369	关依霖	肝豆状核变性患者的静息态脑功能磁共振研究	PO-0406	汪旭洋	基于血管周围间隙张量分析探究正常人脑双侧半球类淋巴系统与肠道短链脂肪酸之间的关系
PO-0370	宋 磊	影像标志物频率：脑出血后血肿扩大的新预测指标	PO-0407	屈明睿	基于顶点的形态学分析对帕金森病伴抑郁患者皮质下结构的形态改变及相关性研究
PO-0371	谢颖滢	环境因素对人脑白质纤维各向异性分数的影响	PO-0408	雷丽敏	深度学习图像重建算法在急性缺血性脑卒中低剂量全脑 CT 灌注检查中的应用价值
PO-0372	王 睿	发育过程中脑类淋巴组织间液分区引流的形成及其机制研究	PO-0409	雷丽敏	深度学习图像重建算法结合低管电流或低管电压扫描在脑灌注检查中的应用价值
PO-0373	陈 慧	基于度中心度和格兰杰因果分析对慢性下腰痛患者的脑网络有效连接变化研究	PO-0410	易小平	银屑病患者合并认知损害的大脑活性改变：一项前瞻性队列的横断面分析
PO-0374	王明霄	基于多参数 MRI 的机器学习检测原发性中枢神经系统淋巴瘤 BCL-6 过表达状态	PO-0411	方玮玮	基于 MRI 全脑定量分析对中、老年 2 型糖尿病合并高血压、高血脂脑结构的研究
PO-0375	刘晓虎	基于影像组学的多模态 MRI 成像技术在脑胶质瘤基因分型中的应用	PO-0412	周 焕	基于 TRACULA 技术对焦虑障碍患者的脑白质研究
PO-0376	吕鸿泽	3D-ASL 联合 SWI 对急性缺血性脑卒中的长期预后评估价值	PO-0413	谭永明	基于 MRI 的放射组学、深度学习评分和临床病理影像参数预测垂体瘤复发的 nomogram 模型研究
PO-0377	谢 青	终末期肾病血液透析患者认知波动与静息态 MRI 脑损伤的相关性研究	PO-0414	高安康	磁共振 3D-T1 高分辨率序列在矢状窦旁脑膜瘤术前诊断中的应用价值
PO-0378	蓝海源	深髓静脉评分与白质高信号负荷相关性研究	PO-0415	陈 翘	应用腰骶神经根 DTI 检测 II 型糖尿病周围神经病
PO-0379	丁玉洁	ADC 直方图分析和 ADC 直接测量法对 IDH1 突变型胶质瘤中 ATRX 基因突变的预测价值	PO-0416	朱 瑞	成人散发型神经元核内包涵体病的多模态影像学研究
PO-0380	张丽娟	颈内动脉迂曲与脑小血管病影像标志的关系研究	PO-0417	王悠之	DTI 联合 T2 mapping 多参数 MRI 成像定量分析正中神经对腕管综合征的诊断价值
PO-0381	胡 颖	与认知功能障碍相关的脑小血管病患者异常神经血管耦合随访研究	PO-0418	秦 燕	基于 MRI 影像组学驱动的神经网络模型的胶质瘤术前分级预测研究
PO-0382	范军坤	基于 NEPA 表观扩散系数值对高级别胶质瘤与孤立性脑转移瘤的鉴别价值	PO-0419	史孟容	多模态 CT 水摄取率对急性缺血性卒中发病时间的预测
PO-0383	白博锋	影像新型评分预测血管内再通成功的后循环卒中的预后	PO-0420	黄自强	脊髓小脑共济失调 3 型脑白质结构运动网络改变的研究
PO-0384	符晓娜	基于 MEGA-PRESS 脉冲序列的白质高信号与执行功能相关性研究：前扣带回皮层中 GABA 水平的中介作用	PO-0421	刘 俊	帕金森病患者日间过度嗜睡静息态脑功能局部一致性改变研究
PO-0385	顾 越	双能量 CT 对急性缺血性脑卒中血管内治疗术后梗死进展评估的价值	PO-0422	卫 霞	首发精神分裂症患者小脑有效连接改变及其治疗后的长期变化
PO-0386	顾晓瑜	癫痫患者中胼胝体形态的改变	PO-0423	朱涵婷	急性脑梗死患者脑铁沉积的定量磁敏感图初步研究
PO-0387	杨玉婵	基于磁共振结构成像评价血管性认知障碍及其中医证型的相关性研究	PO-0424	姚 梅	两条并行的 MOp-CP-SNr 环路单向调节 PD 运动障碍的机制研究
PO-0388	熊真亮	静息态 fMRI 网络效率在 OSAHS 脑类淋巴系统与认知功能关联中的介导作用：一项 DTI-ALPS 研究	PO-0425	唐 兴	毛细胞型星形细胞瘤影像学表现及病理特征分析
PO-0389	孙 闯	MRI 体素内非相干运动 (IVIM) 评价磁靶向引导骨髓间充质干细胞 (BMSCs) 治疗新生大鼠 HIBD 微血管密度 (MVD) 变化	PO-0426	黄丽娜	有氧运动对阈下抑郁人群静息态脑功能动态特征的影响
PO-0390	杨冠华	基于 CT 灌注特征评估急性缺血性脑卒中患者静脉溶栓后出血转化的价值研究	PO-0427	毛海霞	CSVD 相关认知障碍患者默认网络格兰杰因果连接分析
PO-0391	田家齐	双能量 CT 评估颈动脉支架最佳单能级研究	PO-0428	郑 冲	一体化 PET/MR 评估心衰患者左室心肌应变与脑结构改变的相关性研究
PO-0392	李文菲	肿瘤柄息弥散加权异质性量化预测胶质瘤预后的临床研究	PO-0429	魏亚蕊	首发精神分裂症言语性幻听患者的小脑 - 丘脑 - 皮层功能和有效连接异常
PO-0393	简永勤	基于影像组学整合模型预测帕金森病从正常认知到轻度认知功能下降	PO-0430	李天夭	基于 HR-VWI 评估的颅内动脉粥样硬化斑块稳定性与 2 型糖尿病患者血糖波动的相关性研究
PO-0394	周佳莹	脑白质疏松影响急性缺血性脑卒中病灶演变与临床结局	PO-0431	朱 默	脑小血管病 NODDI 网络属性参数与认知功能相关性研究
PO-0395	吴立强	基于体素的形态学测量的非酒精性脂肪性肝病患者脑结构改变及其与认知功能的相关性分析	PO-0432	李 玲	高分辨率 MRI 联合动脉自旋标记可以区分颅内狭窄的短暂性脑缺血发作和脑卒中
PO-0396	毛海霞	CSVD 相关认知障碍患者结构和功能网络的模块化分析	PO-0433	田诗云	利用 DCE-MRI 纹理分析鉴别诊断生长激素缺乏症和特发性矮小患者
PO-0397	李 馨	男性亚急性期缺血性卒中患者脑类淋巴系统活性研究	PO-0434	岳希鹏	自闭症谱系障碍患者异常局部脑区功能和结构的改变
			PO-0435	阎 肃	帕金森病患者黑质神经黑色素脱失与功能网络连接和运动



PO-0436	王昭杰	障碍有关 合并海马硬化的内侧颞叶癫痫中症状、结构和脑网络之间的关系	PO-0470	陈晨	森病鉴别中的价值 帕金森病患者的脑白质微结构改变
PO-0437	郭岳霖	脑梗死神经通路假性正常脑区的 MR-DKI 与病理学对照研究	PO-0471	周燕飞	乳腺癌患者化疗早期的皮层表面形态学改变和癌症相关疲劳变化的关系：基于表面形态测量方法
PO-0438	张隐笛	原发性中枢神经系统淋巴瘤多模态 MRI 不典型表现及其病理学基础的探讨	PO-0472	李洁琼	基于合成共振成像技术对帕金森病患者临床亚型分型的价值研究
PO-0439	张煜堃	脑小血管病患者豆纹动脉影像学特征与认知功能障碍的相关性研究	PO-0473	赵淑琴	NODDI 预测脑胶质瘤 IDH-1 基因状态效能分析
PO-0440	郑丽娟	衰老过程中大脑结构网络拓扑属性的变化模式及 APOE 基因多态性对其影响的研究	PO-0474	邓燕	臂丛 MRN 在诊断脱髓鞘合并轴索损伤 CIDP 中的应用
PO-0441	肖瑶	基于 97ms 单体素 PRESS MRS 的胶质瘤相关性癫痫患者的肿瘤区代谢研究	PO-0475	潘磊	基于深度学习与影像组学诊断原发性三叉神经痛的应用研究
PO-0442	洪璐威	探索听力损伤的轻度认知障碍患者脑皮层纵向变化模式	PO-0476	刘永贵	未破裂颅内动脉瘤血管内介入栓塞术患者疾病不确定感的潜在类别分析
PO-0443	柳佳	低血糖脑病 MRI 影像学表现	PO-0477	冯源	慢性主观性耳鸣患者的多层脑功能网络研究
PO-0444	高萍	3D APT 成像联合 IVIM MRI 对胶质瘤分级以及 IDH 突变状态的术前预测	PO-0478	黄丹妮	黎、汉族缺血性卒中患者 AS 分布差异及其危险因素分析
PO-0445	张新利	OGSE 联合 CEST 分析预测脑胶质瘤 IDH 突变	PO-0479	夏晓娜	临床 - 语义 - 放射组学列线图模型预测自发性脑出血早期血肿扩大：包含脑室出血的修订版本的探讨
PO-0446	刘城霞	脑小血管病中神经液体交互力学改变的研究	PO-0480	毛海霞	CSVD 相关认知障碍默认网络的结构网络属性分析
PO-0447	黄山	双能量 CT- 脑卒中血栓鉴别应用	PO-0481	苏筱芮	随机生存森林模型在成人弥漫性胶质瘤预后分析中的应用
PO-0448	高萍	常见脑肿瘤的酰胺质子转移成像研究进展	PO-0482	赵倩楠	精神分裂症不同皮层下结构亚型的表观遗传学异常模式研究
PO-0449	李鸿涛	CT 后处理技术对脑静脉畸形的诊断价值	PO-0483	马越	基于 3D 高分辨率磁共振成像的机器学习对颅内犯罪斑块的准确识别
PO-0450	宁聪	净水摄取率联合双能量 CT 碘图预测急性前循环缺血性卒中患者血管内治疗后预后的价值	PO-0484	王冬翠	单侧颞叶癫痫伴海马硬化患者双侧类淋巴功能障碍及其与病程的关系
PO-0451	蔡予	基于深度学习网络识别并定量评估原发性脑出血早期血肿周围水肿扩张	PO-0485	杨华光	原发性帕金森病和多系统萎缩帕金森型患者小脑改变的磁共振成像研究
PO-0452	李惠明	基于 CT 的影像组学模型预测中小型血肿的血肿扩张的研究	PO-0486	李自军	大脑外观正常烟雾病患者皮层下核团形态及灌注分析
PO-0453	王润强	多 PLD 3D-ASL 结合 DWI 在西宁地区急性期脑梗死患者对脑血流量评估方面的应用	PO-0487	林佳辉	肌萎缩侧索硬化症不同皮层起源皮质脊髓束纤维分枝受损：神经突方向离散度和密度成像研究
PO-0454	蒋玉婷	全身免疫炎症指数在成人高级别脑胶质瘤根治术后预后评估的价值研究	PO-0488	林妙	脑小血管病患者中白质自由水的升高速率与白质纤维退变相关：一项纵向研究
PO-0455	黄晓丹	比较弥漫中线胶质瘤 -H3K27 突变和近中线低级别胶质瘤的 MRI 形态学差异	PO-0489	伍佳静	心源性栓塞型急性缺血性卒中 4D-CTA 影像特征
PO-0456	林惠花	基于体素内不相干运动成像的脑白质高信号微结构改变和严重程度及认知功能减退相关性研究	PO-0490	魏莹	慢性脑桥梗死患者脑灰质体积及结构协变网络的异常改变
PO-0457	王思思	基于图论的复杂脑网络分析在急性期 mTBI 后躯体症状的研究	PO-0491	陈忠萍	3.0T 高分辨率磁共振管壁成像显示豆纹动脉的研究
PO-0458	谭斯珈	快眼动睡眠行为障碍对帕金森病脑白质微结构改变的纵向研究	PO-0492	周宇婧	精神分裂症与阿尔茨海默病之间的共同遗传结构初步研究
PO-0459	王敏	帕金森病冻结步态患者静息脑功能活动及功能连接改变的研究	PO-0493	王琳坤	基于增强 T1WI 的直方图分析在区分侵袭性垂体瘤和非侵袭性垂体瘤的鉴别诊断价值
PO-0460	贺锦程	基于多体素质子磁共振波谱的重度抑郁症前扣带回皮质代谢异质性研究	PO-0494	李一凡	基于系统性红斑狼疮的脑结构 - 功能耦合的磁共振研究
PO-0461	于文静	基于 MRI 纹理分析评估穿支动脉性脑梗死发生临床症状进展的初步研究	PO-0495	杨曦玥	视神经脊髓炎前视路扩散张量成像研究
PO-0462	许珂	吸烟者内侧前额叶皮层 NAAG 水平与尼古丁依赖评分的相关性研究	PO-0496	赵敏	NMOSD 患者扣带皮层神经递质紊乱的磁共振波谱研究
PO-0463	丁凯玥	帕金森病前驱期伴随快速眼动睡眠行为障碍自由水成像变化的研究	PO-0497	刘书林	磁共振脊髓 CE-MRA 成像技术在硬脊膜动静脉瘘诊断中的应用价值
PO-0464	邹宇	基于人工智能的 ASPECTS 评分各区域梗死对急性大血管闭塞取栓术后患者预后的影像	PO-0498	袁晓荣	基于新分型的帕金森病脑白质微结构改变及相关病理机制研究
PO-0465	申雨	自由水成像揭示帕金森病脑白质微观变化	PO-0499	陈夫涛	基于静息态 fMRI 研究主观认知下降患者动态低频振幅与空间导航障碍的相关性
PO-0466	贺凡入	非认知损害复发缓解型多发性硬化患者默认模式网络子系统的 MRI 研究	PO-0500	彭松	mTBI-DSANet：使用多层功能连接网络诊断轻度创伤性脑外伤的深度自我注意模型
PO-0467	陈婧姝	单侧颈内动脉或大脑中动脉严重狭窄或闭塞时大面积脑梗死脑预测新指标 -ASPECTS 与 CS 评分	PO-0501	孔令煜	双层探测器光谱 CT 对于减少脑动脉瘤术后患者 CTA 金属伪影干扰的研究
PO-0468	朱志鹏	ASL 在静脉勃起功能障碍 (VED) MR 检查中的应用研究	PO-0502	赵楠	基于高分辨率 DWI 的垂体腺瘤诊断应用研究
PO-0469	徐长媛	定量磁敏感成像联合自由水成像在早期多系统萎缩与帕金森病鉴别中的价值	PO-0503	江虹	颅脑动脉曲折率与脑小血管病总体负担评分的相关性研究
			PO-0504	韩小伟	低强度聚焦超声对于化疗相关认知障碍大鼠模型的神经调控研究
			PO-0505	唐小平	扩散谱成像评价伴轻度认知障碍的 2 型糖尿病患者脑白质微结构变化
			PO-0506	包文睿	探索新冠病毒感染后急性期疲劳易感风险人群先天大脑结构差异基础

中华医学会 第30次全国放射学学术大会

CHINESE CONGRESS OF RADIOLOGY 2023

PO-0507	柳计强	两种长春藤征的评分预测烟雾病患者的脑血流储备受损	PO-0544	扈雪晗	Application of spinal subtraction and bone background fusion CTA in the accurate diagnosis and evaluation of spinal vascular malformations
PO-0508	刘国莉	扩散加权成像及灌注成像评估原发性中枢神经系统淋巴瘤短期化疗效果的研究	PO-0545	饶 波	卒中后认知障碍背外侧前额叶微结构对自发性脑活动的高度限制性
PO-0509	李润泽	一例神经元核内包涵体病个案分享	PO-0546	蒋 健	WHO2-3级胶质瘤恶性的转化的临床及MRI特征分析
PO-0510	张明玉	中缝背核在甲基苯丙胺成瘾中的发挥的作用	PO-0547	朱成锐	脑膜瘤术后复发并存高级别胶质瘤一例
PO-0511	李 辉	急性大脑中动脉闭塞取栓术后恶性脑水肿发生的影像学及临床、实验室预测因素分析	PO-0548	单艳祺	基于 DTI 探讨终末期肾病继发性甲旁亢患者认知及脑白质损伤
PO-0512	张卓诚	“披头散发征”--神经梅毒树胶样肿型	PO-0549	田 勤	眼球运动障碍诊断定位与影像检查方法研究进展
PO-0513	梁 倩	3D-ASL 联合 DKI 在鉴别脑胶质瘤复发和假性进展中的应用价值	PO-0550	成 涛	超高分辨磁共振 T2WI：面神经炎可视化诊断新技术
PO-0514	马可燃	单侧颞叶癫痫患者的拓扑结构改变	PO-0551	李 欢	基于术前 MRI 影像组学对 IDH 野生型胶质母细胞瘤患者总生存期的预测
PO-0515	杨 春	基于 TBSS 对抑郁症患者白质结构改变的弥散张量成像研究	PO-0552	刘 娜	不同饮食依从性 2 型糖尿病患者抑制控制的神经电生理活动特点
PO-0516	林晨琳	基于多参数 MR 的遗传性痉挛性截瘫 5 型脊髓微结构变化纵向随访研究	PO-0553	王矩洲	阿尔兹海默症和帕金森病轻度认知障碍功能脑网络连通性改变的异同：一项基于独立成分分析的研究
PO-0517	陶秋影	首发未经药物治疗的强迫症患者内在脑活动的静态变化	PO-0554	冯 岩	磁共振广义 T2-FLAIR 错配征象在诊断星形细胞瘤 (IDH 突变型) 及预测分子状态中的临床价值
PO-0518	李璐璐	多延迟动脉自旋标记技术在慢性血管狭窄 / 闭塞患者中脑灌注评估中的应用价值	PO-0555	冯 岩	常规磁共振 T2 微囊聚集区及囊变间隔 / 囊壁 T2-FLAIR 不匹配征象在诊断星形细胞瘤 (IDH 突变型) 及预测分子状态中的临床价值
PO-0519	周 怡	基于非增强 CT 的影像组学识别动脉致密征阴性急性单侧前循环大血管闭塞的研究	PO-0556	陈晓惠	经胼胝体结构连接的毕生轨迹研究：一项 5T 超高场高分辨率多模态磁共振脑成像研究
PO-0520	李一凡	神经精神狼疮患者脑局部自发神经元活动的静息态功能磁共振成像研究	PO-0557	胡万均	裕固族双语大脑灰质结构动态变化的 VBM 研究
PO-0521	李英美	基于三重脑网络与小脑 - 大脑环路的网络内与网络间功能连接分析在多系统萎缩轻度认知功能障碍中的研究	PO-0558	魏璇	右侧扣带回与帕金森病患者步态和认知功能障碍的相关性研究
PO-0522	范 锐	胶质母细胞瘤 IDH 野生型伴 TERT 启动子突变的 MRI 表现	PO-0559	张 妍	顺磁性环能够鉴别多发性硬化与伴有皮层下梗死和白质脑病的常染色体显性遗传性脑动脉病吗？
PO-0523	陈 鹏	基于 MRI 镜像翻转图像构建影像组学模型鉴别高级别胶质瘤和单发性脑转移瘤	PO-0560	陆 钰	脑卒中机械取栓后颅内高密度征的双能 CT 应用
PO-0524	蒲华霞	睡眠相关过度运动性癫痫的局部大脑皮层厚度变薄和异常皮质折叠	PO-0561	李琬瑶	MOG 抗体阳性脑炎 3 例病例分析
PO-0525	陶秋影	强迫症患者的白质微观结构异常和灰质体积改变：基于坐标的荟萃分析	PO-0562	高 磊	无症状颈动脉狭窄认知下降的 MRI 神经影像研究
PO-0526	赵 错	磁共振扩散峰度成像鉴别影像表现不典型的胶质瘤与脑炎	PO-0563	孙文博	高 b 值下双指数、峰度、分数阶微积分和伽马分布扩散模型在表征胶质瘤异质性上的诊断价值评价研究
PO-0527	敖亚雯	运动锻炼对海马区体积作用的结构磁共振研究	PO-0564	孙文博	扩散 - 弛豫谱成像用于脑胶质瘤分级研究
PO-0528	柯高潭	自身免疫性胶质纤维酸性蛋白星形胶质细胞病的临床表现和影像学特征	PO-0565	余可妍	记忆主诉人群在新冠感染及“脑雾”后的丘脑结构特征分析
PO-0529	吕瑞瑞	合成 MRI 联合基于多重灵敏度编码 DWI 鉴别胶质瘤复发和治疗相关改变的应用研究	PO-0566	阎 肃	异常共激活模式动态特征与帕金森病脑加速老化有关
PO-0530	罕迦尔别克·库银	基于脑体积的影像组学模型在磁共振阴性癫痫分类中的应用研究	PO-0567	李 祥	扩散加权成像联合扩散峰度成像在脑胶质瘤 IDH 基因分型的预测研究
PO-0531	顾腾辉	急性缺血性脑卒中侧支循环建立的神经影像学评估	PO-0568	梁 高	2 型糖尿病患者丘脑亚区体积的改变
PO-0532	甄志铭	脊髓小脑共济失调 3 型患者的脉络丛增大与基因及其临床表现的相关性研究	PO-0569	阮 霞	基于功率谱斜率分析方法对酒精使用障碍患者体素水平的全脑静息态 fMRI 研究
PO-0533	宋彦澄	Rs-fMRI 评价 tDCS 改善脑梗死后图命名功能的功能连接研究	PO-0570	肖 钦	Persistent Proatlantal Intersegmental Artery(PPIA): Are Consideration Based On MSCTA
PO-0534	罗春燕	基于甲基化信息的精分分裂症免疫相关亚型	PO-0571	张莉敏	Non-Contrast CT Radiomics and Machine Learning for Outcomes Prediction of Patients with Acute Ischemic Stroke Receiving Conventional Treatment
PO-0535	雷格格	多模态 CT 水摄取率预测急性缺血性脑卒中发病时间的价值	PO-0572	陈 乾	Multimodal quantitative magnetic resonance imaging of the thalamus in tinnitus patients with different outcomes after sound therapy
PO-0536	伍光榕	孤独症谱系障碍动态功能连接的应用及研究进展	PO-0573	韩永顺	Study on CT Value of Lingual Thyroid
PO-0537	吕建勋	胶质母细胞瘤 2021 版 WHO 分类变化与影像诊断进展	PO-0574	凡 娜	Analysis of clinical and imaging features of carotid web patients with ischemic cerebrovascular disease
PO-0538	李翠翠	自闭症和多动症共病的儿童及青少年脑灰质不对称性改变	PO-0575	向 剑	Correlation of traditional Chinese medicine syndrome differentiation with CT imaging characteristic of nasopharyngeal carcinoma
PO-0539	刘斯辉	联合弥散加权成像的临床多模态磁共振成像组学模型在术前预测脑膜瘤脑侵犯的价值	PO-0576	纪权书	Feasibility of the mDIXON method for estimation the parotid gland fat fraction in Sjögren's syndrome
PO-0540	李宏伟	首发未用药青少年精神分裂症基于双侧楔前叶的功能及有效连接的网络异常			
PO-0541	韩文轩	急性一氧化碳中毒患者自发脑活动的动态变化			
PO-0542	阮秀杭	帕金森病伴冻结步态的脑网络层次结构紊乱			
PO-0543	季丹丹	基于 NCCT 影像组学在预测前循环缺血性脑卒中静脉溶栓后出血转化中的价值			



PO-0577	尉丽君	Prediction the risk of local recurrence in nasopharyngeal carcinoma patients based on multiparametric MRI	chemoradiotherapy in advanced nasopharyngeal carcinoma: combination with clinicopathological characteristics
PO-0578	冷银萍	Feasibility of 8 mL iodinated contrast media in cerebral computed tomographic angiography with a dual-layer spectral detector	Study on the lateral pterygoid muscle status after artificial temporomandibular joint replacement
PO-0579	周 燕	Dual-Energy CT-based intratumoral and peritumoral radiomics can preoperatively predict initial recurrence risk in papillary thyroid cancer	The value of spiral CT in evaluating primary maxillofacial ameloblastomas
PO-0580	邓文明	Value of arterial spin label technique on 3.0 T MR scanner in evaluating blood flow of thyroid glands in healthy adults	Percutaneous core needle biopsy of deep suprathyroid head and neck lesions with CT-guided: study of diagnostic performance and factors associated with diagnostic failure.
PO-0581	兰 雨	The Role of Multidetector CT Angiography in the assessment of disease activity in Takayasu's Arteritis	CT and MRI features of sinonasal teratocarcinosarcoma: a preliminary analysis of 12 cases
PO-0582	周 江	Increased brain iron in patients with thyroid-associated ophthalmopathy: a whole-brain analysis	Brain white matter variation in patients with obstructive sleep apnea-hypopnea syndrome with diffusional kurtosis imaging
PO-0583	马锦怡	Differential diagnosis of MRI Multi-sequence Imaging Technology in NAION and DON	Comparison the Diffusion Metrics of Single-shell and Two-shell Neurite Orientation Dispersion and Density Imaging in Human Brain
PO-0584	詹 力	Effect of different body position design on X-ray Grating Artifacts in Thyroid-Enhanced CT	Evaluation of MR imaging findings in differentiating Granular Cell Tumor from Solitary Fibrous Tumor in the orbit
PO-0585	王晓琰	Radiographic analysis of desmoplastic fibroma of the jaw bones	Assessment of a Deep Learning Image Reconstruction Algorithm's Effectiveness on CT Angiography Generated from Whole-Brain CT Perfusion
PO-0586	韩佳悦	Preoperative Prediction of Pathologic Response to Neoadjuvant Immunotherapy in Resectable Locally Advanced Head and Neck Squamous Cell Carcinoma Using Multiparametric MRI	Color duplex ultrasonography characteristics and clinical factors associated with recanalization in patients with unilateral extracranial vertebral artery dissection
PO-0587	徐 宁	The prevalence of malleus-tympanum synostosis on ultra-high-resolution CT: A preliminary study	Relationship of Neutrophil-to-Lymphocyte Ratio with Carotid Plaque Vulnerability in Patients—an exploratory research based on Histopathology
PO-0588	郑婷婷	Quantitative evaluation of diffusion-weighted MRI for differentiating benign and malignant thyroid nodules larger than 4 cm	Integration of optical and otoacoustic scanning system for depicting residual nasopharyngeal carcinoma and guiding surgery
PO-0589	郑婷婷	Thyroid Imaging Reporting and Data System with MRI Morphological Features for Thyroid Nodules: Diagnostic Performance and Unnecessary Biopsy Rate	Can we find the potential biomarkers of vulnerable carotid plaque in patients with type 2 diabetes? An exploratory research based on predictive models
PO-0590	魏 伟	Application Value of Radiomics Approach in predicting Chromosomal Arms 1p/19q in Low-Grade Gliomas	Is Arterial Spin Labeling necessarily low perfusion for cavernous hemangioma? A case of hyperperfusion cavernous hemangioma.
PO-0591	侯 静	Evolution of radiation-induced temporal lobe injury after intensity-modulated radiation therapy in nasopharyngeal carcinoma: a large cohort retrospective study	Application of double low-dose head and neck CT angiography using 60keV monoenergetic based on detector-derived spectral CT
PO-0592	仪晓立	Age-related changes in computed tomography density of thyroid gland in children: a single-centre retrospective study in Northern China	The value of detector-derived spectral CT parameters in identifying high-risk plaques in carotid atherosclerotic plaques
PO-0593	王 楠	Diagnostic Value of Cochlear Nerve Characteristics for Occupational Noise Induced Hearing Loss	Gender differences in lateral pterygoid muscle in patients with anterior disk displacement
PO-0594	王星皓	The changes of iron load in specific brain areas lead to neurodegenerative disease of the central nervous system	Nodular fasciitis in the head and neck: CT imaging findings
PO-0595	田曼婷	Changes in apparent diffusion coefficient values of the parotid gland before and after treatment in patients with primary Sjögren's syndrome	Synthetic MRI plus FSE-PROPELLER DWI for differentiating malignant from benign head and neck tumors: A preliminary study
PO-0596	吴 倩	Structural and functional brain changes after glucocorticoid therapy in thyroid-associated ophthalmopathy	Multimodal Ultrasound Imaging Diagnosis of Carotid Body Tumor: A Single Center Exploratory Study based on Histopathology
PO-0597	耿 颠	Time-dependent diffusion magnetic resonance imaging for the characterization of parotid gland tumors: a pilot study	Development and Validation of Radiomics Models of Pretreatment MRI-determined Metastatic Lymph Nodes for Prognostic Prediction in Nasopharyngeal Carcinoma: Evaluation with Three Regions of Interest Delineation
PO-0598	耿 颠	Impact of Hashimoto's thyroiditis on the dual-energy CT quantitative parameters and its performances in diagnosing metastatic cervical lymph nodes in patients with papillary thyroid cancer	Grading and Prognostic Value of Paranasal Sinus Invasion in Nasopharyngeal Carcinoma: Proposed Modification in Current T Classification
PO-0599	马绮繁	Predicting Response to Immunotherapy in Head and Neck Cancers via a CT-based Radiomics Model	Study about the Prognostic value of Structured Report based on Pre-treatment MRI of Nasopharyngeal carcinoma
PO-0600	过雨亭	Diagnosis of Major Depressive Disorder Based on individualized brain function and structural connectivity	
PO-0601	王 鹏	Synthetic MRI for early prediction of treatment response to	
PO-0602	孙 瑞		
PO-0603	田 涛		
PO-0604	唐为卿		
PO-0605	王伊凡		
PO-0606	翟曜耀		
PO-0607	刘原庆		
PO-0608	肖涵予		
PO-0609	周宇涵		
PO-0610	颜燕红		
PO-0611	蔡忻懿		
PO-0612	黄文慧		
PO-0613	刘雨森		
PO-0614	罗 丹		
PO-0615	任丽臣		
PO-0616	刘 洋		
PO-0617	王 硕		
PO-0618	王韶颖		
PO-0619	文宝红		
PO-0620	冯 月		
PO-0621	王晓怡		
PO-0622	王晓怡		
PO-0623	王晓怡		

中华医学会 第30次全国放射学学术大会

CHINESE CONGRESS OF RADIOLOGY 2023

PO-0624	魏龙宇	Preliminary study of dual-energy CT parameters combined with inflammatory indicators to predict cervical lymph node metastasis in papillary thyroid cancer	PO-0647	曹若瑶	Predictive Factors and the Development of a Clinical Scale for Futility Recanalization Following Endovascular Therapy in Patients with Large Anterior Vessel Occlusion
PO-0625	余苗	Associations between pericarotid fat density and image-based risk characteristics of carotid plaque	PO-0648	王卓	Nomograms Based on Multiparametric MRI Radiomics Integrated with Clinical-Radiological Features for Predicting the Response to Induction Chemotherapy in Nasopharyngeal Carcinoma
PO-0626	蔡伶伶	The multi-slice CT features and preliminary analysis of pleomorphic adenoma and low-grade malignant pleomorphic adenoma of parotid	PO-0649	王卓	Nomogram based on multiparameter MRI radiomics Integrated with Clinical Features for Predicting the Response to Induction Chemotherapy in Nasopharyngeal Carcinoma
PO-0627	汤若薇	Radiological evaluation of the tympanic segment of the chorda tympani nerve visualization by ultra-high resolution CT	PO-0650	仇晓妤	Hemodynamic changes in transverse-sigmoid sinus junction following effective surgical reconstruction for unilateral pulsatile tinnitus with sigmoid sinus wall anomalies: a 4D flow MRI analysis
PO-0628	汤若薇	Malleus in the tympanic cavity: spatial location in normal middle ears based on ultra-high-resolution computed tomography	PO-0651	吕珂	Exploring the hemodynamic mechanisms of symptomatic changes in venous pulsatile tinnitus during follow-up
PO-0629	汤若薇	A Novel Imaging Scoring Method for Identifying Facial Canal Dehiscence: An Ultra-High-Resolution CT Study	PO-0652	曲江明	Free-breathing 3D Stack-of-Stars GRE (StarVIBE) for Detection of Extranodal Extension in Head and Neck Cancer: An Image Quality and Diagnostic Performance Study
PO-0630	葛怀志	Correlation Between Condylar Structure and Temporomandibular Articular Disc Injury in Adolescents	PO-0653	张弦	Exploration of MRI T2 Mapping Image Application in Articular Disc Displacement of the Temporomandibular Joint in Adolescents
PO-0631	宋庆博	Value of MRI histogram parameters in differentiating benign from malignant submandibular gland tumors	PO-0654	文宝红	Application of deep learning in temporomandibular joint imaging and diagnosis of temporomandibular joint disc displacement
PO-0632	刘建鹏	Prognostic prediction in patients with primary DLBCL of the CNS using MRI-based radiomics	PO-0655	孙瑾	Magnetic resonance radiomics analysis for differentiating parotid neoplasms: A two-center study
PO-0633	邹嫣	Reduced Local Segregation of Single-Subject Gray Matter Networks in Unilateral Sudden Sensorineural Hearing Loss	PO-0656	陈宇	Explore the Value of Quantitative MRI Parameters of lacrimal gland in predicting Treatment Response to Intravenous Glucocorticoid Therapy for Thyroid-Associated Ophthalmopathy
PO-0634	代驰航	Accuracy of transverse sinus stenosis score predicting intracranial hypertension in patients with unilateral pulsatile tinnitus as the initial symptom	PO-0657	李杨	Assessment of low-dose paranasal sinus CT imaging using a new deep learning image reconstruction technique in children compared to adaptive statistical iterative reconstruction V (ASiR-V)
PO-0635	代驰航	Morphological remodeling of the repaired sigmoid sinus bone wall in patients with pulsatile tinnitus following successful surgical reconstruction: an ultra-high resolution CT study	PO-0658	仇晓妤	The effects of transverse sinus stenosis and trans-stenotic pressure gradient on the hemodynamics at the transverse-sigmoid sinus junction
PO-0636	齐萌	An MRI-based radiomics nomogram for predicting cervical esophagus invasion in hypopharyngeal squamous cell carcinoma	PO-0659	高心逸	Predicting treatment response to multitarget tyrosine kinase inhibitors neoadjuvant chemotherapy in locally advanced thyroid cancer using noninvasive radiomics biomarkers: integration of five clinical trials
PO-0637	王灿	Carcinoma ex pleomorphic adenoma of major salivary glands: CT and MR imaging findings	PO-0660	杨倩	基于DWI及ADC的影像组学模型对甲状腺结节良恶性的预测价值
PO-0638	徐玉芸	Preliminary study of arterial spin labeling technique to assess blood perfusion of thyroid parenchyma and mass lesions	PO-0661	肖钦	中枢神经细胞瘤fMRI表现及ADCmin与Ki-67相关性分析
PO-0639	丁贺宇	Relationship between the ultra-high-resolution computed tomography score of oval window region involvement and audiotometry in otosclerosis	PO-0662	胡文	耳蜗管长度与耳蜗大小的相关性分析
PO-0640	赵大伟	The Impact of Submandibular Glands Protection on xerostomia by Diffusion-Weighted Imaging in Nasopharyngeal Carcinoma Patients	PO-0663	邓建涛	Revolution CT 70kV 低管电压联合等渗碘对比剂在头颈心“一站式”CT血管成像中的应用价值
PO-0641	赵凡凡	Retrolaminar migration as a complication of intraocular silicone oil injection detected on unenhanced head CT.	PO-0664	程景风	全肿瘤表观扩散系数直方图在腮腺分泌性癌与腺泡细胞癌中的鉴别价值
PO-0642	张冀云	Study in intracranial hemodynamic assessment based on four dimensional flow MRI (4D flow MRI) for unruptured aneurysm	PO-0665	许云	基于脑CT灌注评估头颈部动脉狭窄
PO-0643	向诗语	Preoperative differentiated imaging of vagal nerve and sympathetic cervical schwannomas based on Diagnosis Score and vascular displacement nomogram	PO-0666	许云	头颈部动脉粥样硬化斑块周围血流动力学改变的研究
PO-0644	张思敏	Prediction of glioma IDH status and VEGF expression levels using auto-machine learning with whole brain morphologic features combined with multiregional radiomics	PO-0667	刘杰	先天内耳畸形的CT和MRI诊断及其临床价值
PO-0645	梁伟强	Quantitative analysis of orbital soft tissue for the detection of Dysthyroid Optic Neuropathy in patients with Thyroid-Associated Ophthalmopathy, based on 3D Cube FSE-flex.	PO-0668	向颖	合成MRI成像和酰胺质子转移成像在鼻腔鼻窦良恶性病变鉴别中的临床应用
PO-0646	张冀云	Four-Dimensional Flow Magnetic Resonance Imaging (4D Flow MRI) Technique in the Study of Hemodynamics of Intracranial Cerebral Arteriovenous Malformations	PO-0669	任继亮	MRI影像组学鉴别眼眶海绵状血管瘤及神经鞘瘤的价值
			PO-0670	任继亮	常规MRI影像组学评估口腔舌癌肿瘤浸润淋巴细胞水平的应用价值



PO-0671	鲜军舫	大数据人工智能时代头颈部影像学的优化与提升（专题讲座）	PO-0706	丁 萍	增强 CT 值对桥本甲状腺炎合并甲状腺乳头状癌中央区淋巴结转移的诊断价值
PO-0672	王国蓉	Mikulicz 病的临床及 MRI 特征分析	PO-0707	易茱琦	基于 DECT 的放射组学预测状甲状腺癌 BRAF V600E 突变
PO-0673	刘 巍	CT 与 MRI 在中枢神经系统神经母细胞瘤诊断中的价值及影像征象分析	PO-0708	王焱钧	基于 MRI 的后循环血管形态学因素与单侧突发感音神经性耳聋发生及预后的相关性研究
PO-0674	黄 炎	基于 3D real IR 序列评估梅尼埃病内淋巴积水与听力损失关系	PO-0709	陈正光	基于“少阳疏泻”探讨针刺风池（阳陵泉）穴位对前庭性偏头痛致痛机理的多模态影像学研究
PO-0675	李 震	磁共振成像测量脑血管反应性的系统评价	PO-0710	张 武	鼻腔及鼻窦骨化性纤维瘤多模态影像学诊断价值
PO-0676	项 蕾	中耳相关解剖结构的影像定量测量在耳硬化症诊断中的价值	PO-0711	杨 凡	合成 MRI 技术成像质量评估：在鼻咽癌中的初步研究
PO-0677	公 婷	HRCT 定量测量与耳硬化症手术相关解剖结构的研究	PO-0712	张 宏	胆脂瘤型中耳炎 HRCT 诊断价值
PO-0678	张火根	多层螺旋 CT 后处理重建技术对耳硬化症的术前诊断应用价值及对术后听力的评估	PO-0713	姜海龙	3.0T MRI 联合低浓度对比剂 CE-MRA 和灌注成像在急性缺血性脑卒中的应用价值
PO-0679	王佳红	Logistic 回归联合 ROC 曲线对不同病理亚型 Castleman 病的彩色多普勒超声表现的初步研究	PO-0714	张潇涵	双期增强 CT 对桥本甲状腺炎合并微小乳头状癌中央组淋巴结转移的预测价值
PO-0680	周 鸥	内淋巴积水与外淋巴强化征象联合对梅尼埃病的鉴别诊断价值	PO-0715	张潇涵	SHAP 值在 XGBoost MRI 模型中鉴别腮腺恶性肿瘤与 Warthin 瘤的价值
PO-0681	冉启胜	能谱 CT 最佳单能量伪影图联合 MPR 在臂丛神经显像中的初探	PO-0716	杨功鑫	探究深度学习图像重建和金属伪影减少算法在颌面部 CT 中减少金属植入物伪影价值的研究
PO-0682	杜 科	八通道颈动脉表面线圈与十六通道头颈相控阵线圈在颈部磁共振中的应用比较	PO-0717	章 彤	不同大小单灶甲状腺乳头状癌中央组淋巴结转移临床风险因素预测研究
PO-0683	任志鹏	应用屏气配合指令在头颈 CTA 检查中的应用价值	PO-0718	许泳康	临床和双能 CT 特征对甲状腺乳头状癌侧颈区淋巴结转移的预测价值
PO-0684	朱 鹏	基于双源 CT 70KEV 图像影像组学评估结甲背景下微小乳头状癌的诊断价值	PO-0719	过雨亭	探究深度学习图像重建和金属伪影减少算法在颌面部 CT 中减少金属植入物伪影价值的研究
PO-0685	田子玉	基于双源 CT 70KEV 图像影像组学评估结甲背景下微小乳头状癌的诊断价值	PO-0720	雷雨欣	能谱 CT 单能量技术优化头颈部 CTA 图像质量的研究
PO-0686	罗 丹	能谱 CT 多参数分析对甲状腺乳头状癌复发风险的预测价值	PO-0721	姜梦达	CT 多参数测量预测甲状腺相关眼病视神经病变：一种简单快速的识别方法
PO-0687	周 燕	双层探测器光谱 CT 多参数分析对甲状腺乳头状癌复发风险的预测价值	PO-0722	姜梦达	内耳畸形和耳蜗神经缺陷对极重度感音神经性听力损失儿童听觉语言网络发育的影响
PO-0688	朱翰林	CT 影像特征机器学习预测模型对甲状腺乳头状癌的预测价值	PO-0723	李文菲	基于融合多参数 DECT 的亚区生境技术预测晚期喉癌无进展生存期的临床研究
PO-0689	张赞霞	能谱 CT 多参数分析对甲状腺乳头状癌复发风险的预测价值	PO-0724	冀春亮	CT 多参数测量预测甲状腺相关眼病视神经病变：一种简单快速的识别方法
PO-0690	王 强	双能 CT 定量参数对甲状腺微小乳头状癌 cN0 淋巴结转移的特征分析	PO-0725	苏国义	基于常规影像联合弥散加权成像影像组学在鼻腔鼻窦良恶性病变鉴别中的应用
PO-0691	余加懿	基于动态对比增强磁共振成像的纹理特征预测鼻咽癌放疗疗效的价值	PO-0726	陈澜月	基于影像学无创性评价高颅压准确性的对比分析
PO-0692	任雨寒	CTA 源图像上颈动脉周围脂肪定量与斑块 MRI 易损特征的相关性研究	PO-0727	潘春树	3D 高分辨磁共振黑血管壁成像用于评估颈动脉闭塞应用研究
PO-0693	徐 宁	双能 CT 定量参数对甲状腺微小乳头状癌 cN0 淋巴结转移的特征分析	PO-0728	张海扬	基于 Dixon MRI 的全眼眶多参数评估甲状腺眼病活动性
PO-0694	王 楠	基于动态对比增强磁共振成像的纹理特征预测鼻咽癌放疗疗效的价值	PO-0729	刘波涛	IQon 光谱 CT 碘密度图影像组学对甲状腺乳头状癌颈部淋巴结转移的诊断价值
PO-0695	陈 靓	泪腺 IgG4 相关性病变与炎性假瘤及淋巴瘤的动态增强核磁共振图像定量参数对比分析	PO-0730	梁兰兰	多模态磁共振成像评估不同程度 TMD 患者翼外肌信号异常的价值
PO-0696	李 靖	三维 T2 加权快速梯度回波神经成像判断腮腺内面神经与肿瘤解剖关系的价值	PO-0731	刘俊华	外中耳畸形伴咽鼓管全程扩大畸形的 CT 表现
PO-0697	王艺华	CTA 源图像上颈动脉周围脂肪定量与斑块 MRI 易损特征的相关性研究	PO-0732	王锡文	乙状窦源性耳鸣伴正常颅压患者的脑脊液改变
PO-0698	徐含波	探究脑白质高信号与年龄的因果关联：一项来自孟德尔随机化的证据	PO-0733	屈欣然	基于快速自旋回波 TSE-DWI 序列对急性大脑后循环缺血性脑卒中的诊断价值研究
PO-0699	王星皓	探索多参数脑 MRI 表型与年龄之间的因果关系：来自孟德尔随机化的证据	PO-0734	杨玉斌	腮腺黏液表皮样癌的 MRI 表现
PO-0700	王星皓	探索多参数脑 MRI 表型与年龄之间的因果关系：来自孟德尔随机化的证据	PO-0735	栾继昕	基于规范建模方法研究梅杰综合征和面瘫患者脑区灰质体积差异
PO-0701	匡翠立	脊髓型颈椎病 C2/3 颈髓神经元退行性改变与脑灰质体积萎缩相关性研究	PO-0736	金 丹	基于能谱 CT 碘图的影像组学诊断甲状腺乳头状癌颈部淋巴结转移的价值
PO-0702	谢清明	基于 CT 宽探测器系统采用高清体积重建提高颅底图像质量	PO-0737	于金玉	梅尼埃病患者前庭及耳蜗内淋巴积水程度与临床分期之间的相关性研究
PO-0703	栾继昕	新冠病毒感染后嗅觉障碍患者的内嗅皮层灰质体积异常	PO-0738	朱文静	小唾液腺癌在多形性腺瘤中的影像学表现
PO-0704	孙鹏峰	高分辨率 CT 联合 MRI 对内耳畸形的诊断及评价	PO-0739	初同朋	抑郁症区域结构 - 功能连接耦合及其与基因表达谱的关联分析
PO-0705	许远帆	18F-FDG PETMRI 对鼻咽癌骨转移的评估价值	PO-0740	胡春锋	高分辨率磁共振血管壁成像技术在诊断头颈动脉夹层中的价值

中华医学会 第30次全国放射学学术大会

CHINESE CONGRESS OF RADIOLOGY 2023

PO-0742	魏培英	应用价值	PO-0776	王艺华	基于 T2WI 的纹理分析和磁敏感加权成像鉴别诊断腮腺常见良性肿瘤
PO-0743	刘园	双期增强 CT 对甲状腺乳头状瘤淋巴结转移的诊断价值：强化值、比值和差值的对照研究	PO-0777	沈 樊	定量磁共振成像在评估甲状腺相关眼病的疾病活动和严重程度中的应用价值
PO-0744	颜燕红	两种体质内非相干运动弥散加权成像在鼻咽癌中的对比研究：自旋回波技术和平面回波技术	PO-0778	罗明芳	经颈浅动脉 - 大脑中动脉搭桥术前后烟雾病患者的脑血流 4D flow 分析
PO-0745	王 雪	颈部血管超声与高分辨率磁共振成像评估单侧颈外段椎动脉夹层的一致性研究	PO-0779	李彩霞	高分辨 CT 结合 MRI 对颅底软骨肉瘤的诊断价值分析
PO-0746	张莲莲	磁共振纹理分析在头颈部良恶性肿瘤中的鉴别诊断价值	PO-0780	麦文锋	血管超声及高分辨率磁共振成像评估颈动脉粥样硬化斑块易损性的可行性研究
PO-0747	刘静垚	血管超声及高分辨率磁共振成像评估颈动脉粥样硬化斑块易损性的可行性研究	PO-0781	任小芳	基于双能 CT 形态学列线图鉴别 Bethesda III、IV 类甲状腺结节良恶性的价值
PO-0748	陈海静	基于碘图的光谱 CT 多模态参数成像在甲状腺乳头状癌中的诊断价值	PO-0782	吴 瑞	探讨智能快速磁共振重建技术在头颅检查中的应用
PO-0749	谢城锋	增强 CT 和 MRI 在鉴别鼻腔鼻窦鳞状细胞癌与淋巴瘤的应用探究	PO-0783	刘 娜	头颈部 CTA 中 GSI Assist 单能量成像结合个体化对比剂注射方案的应用研究
PO-0750	薛 晨	IVIM-DKI 定量参数诊断口腔癌颈部淋巴结转移可行性的初步研究	PO-0784	蹇新梅	基于双能 CT 形态学列线图鉴别 Bethesda III、IV 类甲状腺结节良恶性的价值
PO-0751	黄钰纯	基于 CTA 影像组学的机器学习模型评估出血性颈动脉斑块的研究	PO-0785	杨智云	异位甲状旁腺肿瘤的 CT 影像学表现及临床价值
PO-0752	王彦玲	T2WI 信号值与最小表观弥散系数 (ADC) 对腮腺良恶性肿瘤的鉴别诊断价值	PO-0786	韩 丹	一种罕见的头颈部神经内分泌肿瘤 - 磷酸盐尿性间叶肿瘤的 CT 和 MR 表现
PO-0753	柳 佳	原发性帕金森症患者视频透视吞咽造影检查与进食评估问卷调查工具评分—10 (EAT-10) 相关性探究	PO-0787	刘旭琴	光谱 CT 鉴别慢性化脓性中耳炎与中耳胆脂瘤的价值
PO-0754	文宝红	低血糖脑病的 MRI 影像学表现	PO-0788	邬小平	CT 直方图提高甲状腺癌微钙化检出率的可行性研究
PO-0755	许 卉	T1 mapping 和 RESOLVE-DWI 鉴别诊断腮腺肿瘤的价值	PO-0789	张冀云	侧颈底区病变类型及其 CT 和 M R I 特征分析
PO-0756	文宝红	第三代双源 CT 能谱纯化技术在泪道造影中的应用	PO-0790	张冀云	四维血流磁共振成像 (4D flow MRI) 技术在颅内未破裂动静脉瘤的血流动力学研究
PO-0757	徐心纯	T2 mapping 及分段读出 DWI 鉴别诊断腮腺肿瘤的价值	PO-0791	孙鹏峰	四维血流磁共振成像 (4D flow MRI) 技术在血流导向装置植入术后血流动力学研究
PO-0758	郑晗沛	单侧颈外段颈内动脉夹层患者卒中事件的预测因素 : 一项单中心探索性研究	PO-0792	蔡楚逸	侧颈底巨细胞修复性肉芽肿的影像特点分析
PO-0759	马 辉	S-MAR: 一种能有效评估动脉瘤介入术后载瘤动脉的血管情况的去金属伪影技术	PO-0793	孙宁达	MRI 多参数成像对鼻咽癌放射治疗后腮腺放射性损伤的研究
PO-0760	刘 蕊	人工耳蜗植入术前后影像学评价及其价值	PO-0794	徐海军	低剂量联合全模型迭代重建技术 IMR 对比迭代重建技术 iDose4 在头颈部 CT 血管成像中对图像质量的影响分析
PO-0761	谭正武	个案报道 : 鼻咽部错构瘤 1 例	PO-0795	宋杨柳	基于临床及 CT 危险因素的列线图预测甲状腺乳头状癌患者术后复发风险的价值
PO-0762	肖 丹	双层 探测器 CT 在淋巴瘤患者中评估淋巴结的诊断价值	PO-0796	刘姿均	基于临床因素及 MRI 特征的评分模型预测脑桥旁正中梗死早期神经功能恶化的价值
PO-0763	陈 鹏	基于 CT 多期三维纹理分析在腮腺良恶性肿瘤鉴别诊断中的价值	PO-0797	黄 炎	扩散峰度成像和动态增强磁共振成像对腮腺肿瘤良恶性的鉴别诊断价值
PO-0764	杨丽彬	CT 减影图像影像组学模型在鉴别腮腺多形性腺瘤和腺淋巴瘤的价值	PO-0798	张高正博	基于高分辨率 CT 的内耳骨性解剖与梅尼埃病的相关性研究
PO-0765	徐振潭	基于不同感兴趣区勾画方法的 T2 mapping 眼外肌定量测量在 Graves 眼病分期中的应用价值	PO-0799	杨 旭	基于临床及 CT 危险因素的列线图预测甲状腺乳头状癌患者术后复发风险的价值
PO-0766	裴彩侠	Multi-vane 技术用于腮腺肿瘤弥散加权成像的图像质量评价	PO-0800	陈艾琪	动脉自旋标记成像在干燥综合征腮腺损伤评估与诊断中的价值
PO-0767	郭建峰	两类罕见颈内动脉发育异常 3 例报道	PO-0801	杨 燕	双能量 CT 在缺血性卒中患者脑动脉机械取栓术后鉴别出血及对比剂外渗中的应用
PO-0768	信雨晴	基于多模态影像组学联合机器学习模型在预测甲状腺乳头状癌颈部淋巴结转移中的价值	PO-0802	于 洋	Kartagener 综合征的多层螺旋 CT 诊断 (附 4 例报告)
PO-0769	余 苗	T2 mapping 不同测量方法在甲状腺相关眼病活动性评估中的应用	PO-0803	张高正博	基于平扫 CT 影像组学对自发性脑出血短期内血肿扩大风险的预测研究
PO-0770	耿 悅	颈动脉周围脂肪密度与急性缺血性脑卒中事件的相关性研究	PO-0804	杨晓玲	腮腺 T2mapping 磁共振成像在干燥综合征中的应用价值
PO-0771	李 港	刀锋技术快速梯度自旋回波扩散加权成像在鼻腔鼻窦病变评估中的应用 : 与分段读出平面回波扩散加权成像图像质量的综合比较	PO-0805	吴飞云	DCE-MRI 及 DKI 在鼻咽癌诱导化疗联合同步放化疗中的应用
PO-0772	汤若薇	基于 CTA 成像探究急性脑梗死患者形成颈动脉高危斑块的危险因素	PO-0806	刁乙珂	基于平扫 CT 影像组学对自发性脑出血短期内血肿扩大风险的预测研究
PO-0773	汤若薇	基于高分辨率 CT 的砧骨关节影像解剖初步研究	PO-0807	伍晓倩	腮腺中酰基质子转移成像 B1 强度调整 : 一种图像质量调整策略及肿瘤检测可行性评估
PO-0774	王志伟	基于超高分辨率 CT 的砧骨环韧带及砧骨肌腱影像解剖初步研究	PO-0808	张 俊	眼眶孤立性纤维瘤影像表现及病理分类对照分析
PO-0775	曹慧君	MRI 对儿童眼眶的规范化评估及其临床意义	PO-0809	唐 言	眼眶孤立性纤维瘤影像表现及病理分类对照分析
		甲状腺乳头状瘤高容量淋巴结转移临床风险因素研究 : 单发与多发乳头状瘤对比分析	PO-0810	闫钟钰	IgG4 相关性疾病累及中耳的临床、病理与影像学表现
			PO-0811	蒋继萱	干燥综合征腮腺超声评分与 MRI 脂肪分级的相关性研究



PO-0812	张利捷	CTA-confirmed aortic in-stents floating thrombus after endovascular stenting		in hypertrophic cardiomyopathy
PO-0813	肖 钦	Analysis of Multislice Spiral CT Coronary Angiography Diagnosis of Vieussens Artery Ring, Coronary Pulmonary Fistula, and Aneurysm Triple Syndrome		Non-contrast cardiac computed tomography-derived mitral annular calcification scores in mitral valve disease
PO-0814	周陶胡	CT-Based Radiomic Nomogram for the Prediction of Chronic Obstructive Pulmonary Disease in Patients with Lung cancer		Cardiac magnetic resonance assessment of left ventricular myocardial strain and remodeling in essential hypertensive patients with asymptomatic hyperuricemia
PO-0815	周陶胡	CT whole lung radiomics nomogram: a potential biomarker for lung function evaluation and identification of COPD		Placental Transmogrification of lung misdiagnosed as cystic lung cancer: a case report
PO-0816	赵宝连	Correlation between features of intra-nodular vessels and tumor invasiveness of lung adenocarcinoma presenting as ground-glass nodules: A deep learning 3D reconstruction algorithm-based quantitative analysis on non-contrast CT images		Comparison of Clinical Radiomics Nomogram and Deep Convolutional Neural Network Model in Discriminating Atypical Pulmonary Hamartoma From Atypical Lung Adenocarcinoma
PO-0817	李 丽	Radiomic features add incremental benefit to conventional radiological feature-based differential diagnosis of lung nodules		Predictive value of epicardial adipose tissue for early left ventricular dysfunction in patients with suspected coronary artery disease
PO-0818	刘晓莹	Risk Stratification Study of Non-calcified Coronary Plaques based on CT Pericoronary Adipose Tissue Measurement		Vaccination effect on patients with Delta variant of COVID-19 pneumonia: A study of longitudinal dynamic chest CTs using artificial intelligence model
PO-0819	王 勇	Solid Nodular Non-small Cell Lung Cancer: Spectral CT for Preoperative Diagnosis of N2 Station Lymph Nodes Metastasis		Accuracy of artificial intelligence-based coronary artery calcium scoring in non-gated low-dose chest CT
PO-0820	林晓青	CT-Based Whole Lung Radiomics Nomogram: A Tool for Identifying the Risk of Cardiovascular Disease in Patients with Chronic Obstructive Pulmonary Disease		Differentiation of solid nodular pulmonary cryptococciosis and pulmonary adenocarcinoma based on intranodal and perinodal enhanced CT radiomics
PO-0821	管 宇	The characteristics of emphysema and pulmonary perfusion derived from spectral CT in smokers		Applicability of Multiphase-CTA Imaging with Pulmonary Artery Monitoring in Preoperative Evaluation of Left Atrial Appendage Closure
PO-0822	管 宇	Comparison of deep learning and radiomics-based machine learning methods for the identification of chronic obstructive pulmonary disease on low-dose CT images		Use ResViT Framework to identify COVID-19 pneumonia with Delta variant of SARS-CoV-2 from COVID-19 pneumonia based on Chest CT
PO-0823	陈 谦	Development and validation of CCTA-based radiomics signature for predicting coronary plaques with rapid progression		Association of liver Multi-parameter Quantitative Metrics Determined by Dual-Layer Spectral Detector CT With Coronary Plaque Scores: A Preliminary Study
PO-0824	何小群	The differential computed tomography features between small benign and malignant solid solitary pulmonary nodules with different sizes		Incremental Prognostic Value of CT-Based Liver Radiomics Signature over Coronary Computed Tomography Angiography Findings in Patients with Diffuse Coronary Artery Disease
PO-0825	尹红科	Applying of 7 T Cardiac Magnetic Resonance Imaging to investigate the effect of sodium selenite on right ventricular structure and function secondary to pulmonary arterial hypertension		The value of COPD prediction based on the quantitative features of CT mediastinal window and lung window image
PO-0826	张 迪	Aerodynamic simulation of small airway resistance: a new imaging biomarker for chronic obstructive pulmonary disease		Assessment of myocardial bridging and the pericoronary fat attenuation index on coronary computed tomography angiography: predicting coronary artery disease risk
PO-0827	张 迪	Chronic Obstructive Pulmonary Disease Rat Models: comparison of different construction methods using in/ex vivo micro-CT		Clinical value of fast left atrial long-axis strain in predicting atrial fibrillation in patients with apical hypertrophic cardiomyopathy
PO-0828	周陶胡	Baseline CT-based Whole Lung Radiomics Phenotype Predicts the Survival of Chronic Obstructive Pulmonary Disease		Risk Factor Analysis for Major Mediastinal Vessel Invasion in Thymic Epithelial Tumors Based on Multi-slice CT Imaging
PO-0829	王 艳	Acquired immunodeficiency syndrome-associated pulmonary Kaposi sarcoma: computed tomography staging and clinical prognosis		Diagnostic value of radiological features and hemodynamic parameters of combined V / Q SPECT / CT and CT angiography in patients with nonthromboembolic pulmonary hypertension
PO-0830	王 祥	CT-based Radiomics Predictive Model for Spread Through Air Space of IA Stage Lung Adenocarcinoma		Pulmonary Circulation Coupling Index: A Novel Non-Invasive Marker for Prognosis in Pulmonary Hypertension Secondary to Heart Failure
PO-0831	杨淑娟	Preoperative Left Atrial Reservoir Strain Derived from Cardiac Magnetic Resonance-Feature Tracking as an Independent Predictor of Outcome in Patients with Hypertrophic Obstructive Cardiomyopathy Following Surgical Myectomy		Solitary lung adenocarcinoma: follow-up CT, pathological-molecular characteristics, and surgical prognosis for different morphological classifications
PO-0832	杨 露	Spatial-Temporal Heterogeneity of Tumor Immune Microenvironment: A Paired Primary Tumor and Brain Metastases of Non-small cell lung cancer Samples Study		Clinical and Non-contrast Computed Tomography Characteristics and Disease Development in Patients with Benign Pulmonary Subsolid Nodules with a Solid Component ≤5 mm
PO-0833	郑若水	The value of coronary CT in the evaluation of septal branches		

中华医学会 第30次全国放射学学术大会

CHINESE CONGRESS OF RADIOLOGY 2023

PO-0854	李 琦	SARS - CoV - 2 Omicron Variant Infection Imaging Progression under Low Respiratory Viral Load		
PO-0855	蒋 旭	Presurgical prediction of occult lymph node metastasis in early-stage small cell lung cancer based on intra- and peritumoral contrast-enhanced CT-based radiomics: A multicenter study		
PO-0856	范 欣	Clinicopathological and CT features associated with recurrence of stage IA invasive lung adenocarcinoma after sub-lober resection		
PO-0857	唐思诗	Impact of Mitral Regurgitation on Right Ventricular Dysfunction and Biventricular Interaction in Hypertensive Patients Evaluated by Cardiac Magnetic Resonance Feature Tracking		
PO-0858	张国晋	Prediction of high-grade histological subtypes of stage I A lung adenocarcinoma based on CT radiomics model		
PO-0859	张国晋	The value of dual-energy spectral CT in differentiating mass pulmonary tuberculosis and peripheral lung cancer		
PO-0860	魏竹馨	Granzyme B PET Imaging Inflammation and Remodeling in Myocardial Infarction		
PO-0861	徐晓莉	Lung CT prediction of mortality in patients with severe influenza A H1N1 virus and ARDS		
PO-0862	熊祖江	Individualized Prediction of Solitary Sub-Solid Pulmonary Nodules Progression based on CT Semantic and Clinical Features: A 3-year Follow-Up Study		
PO-0863	张添辉	The Study of the Enhancement Effect of AI-Assisted Software on Detection of Rib Fractures by Resident Physicians in Fatigued States		
PO-0864	陈乐庆	CT quantification of pulmonary function and compensation after lobectomy and segmentectomy in patients with lung cancer		
PO-0865	陈 瑞	Radiomics Analysis of Peri-coronary Adipose Tissue from Baseline CCTA Enables Prediction of Coronary Plaque Progression		
PO-0866	周 慧	Preoperative prediction of perineural invasion in esophageal squamous cell carcinoma based on CT radiomics nomogram: a multicenter study		
PO-0867	肖 刚	MRI features of thymic extranodal marginal zone mucosa-associated lymphoid tissue lymphoma		
PO-0868	肖 刚	Ability of apparent diffusion coefficient value and DWI-based texture features to differentiate between thymic carcinomas and primary anterior mediastinal lymphomas		
PO-0869	齐 妙	Observing pectinate muscles and discriminating pectinate muscles from thrombus of left atrial appendage in patients with atrial fibrillation with enhanced CT and TEE		
PO-0870	樊丽华	Correlation Between Radiomics Features and Ki-67 Expression in Non-Small-Cell Lung Cancer		
PO-0871	杨 帆	Impaired Right Atrial Function in Pulmonary Hypertension Assessed with Myocardial Deformation before Right Ventricle Systolic Dysfunction		
PO-0872	彭丹丹	Roles of Free-breathing GRASP-DCE and IVIM Diffusion MRI for Identification of the subtypes of Lung Tumors		
PO-0873	史恒峰	Exploratory study of the clinical value of cystic airspaces in nonsolid lung adenocarcinoma on CT		
PO-0874	尹佳妮	A comparative study of synthetic Hct and intravenous Hct for calculating cardiovascular magnetic resonance-derived extracellular volume		
PO-0875	何承斌	Evaluation of therapeutic effect of myocardial infarction patch by cardiac magnetic resonance imaging		
PO-0876	马珂凡	Estimation of mean pulmonary arterial pressure and pulmonary vascular resistance using CMR in connective tissue disease-associated pulmonary arterial hypertension		
PO-0877	李子文	Prediction of microvascular obstruction by coronary artery angiography score after acute ST-segment elevation myocardial infarction		
PO-0878	李子文	Application value of cardiac magnetic resonance image fusion technique in patients with acute myocardial infarction		
PO-0879	赵 赞	Improvement in coronary microvascular dysfunction evaluated by cardiac magnetic resonance in patients with hypertrophic obstructive cardiomyopathy after transapical beating-heart septal myectomy		
PO-0880	赵 赞	Early reverse remodeling of left heart morphology and function evaluated by cardiac magnetic resonance in hypertrophic obstructive cardiomyopathy after transapical beating-heart septal myectomy		
PO-0881	吴权洋	Inter-observer Consistency on Subsolid Nodule Follow-up Recommendation Based on NCCN Guidelines in Low-Dose CT Lung Cancer Screening		
PO-0882	唐媛媛	Characterization and clinical significance of right cardiac chamber remodeling in patients with connective tissue disease analysis by tissue tracking cardiac magnetic resonance imaging		
PO-0883	高叶祺	The value of pulmonary magnetic resonance imaging-based radiological characteristics and texture analysis in the differentiation of benign and malignant pulmonary necrotic lesions		
PO-0884	任 华	Natural History and Clinical Characteristics of Subsolid Pulmonary Nodules in Pediatric Patients		
PO-0885	宋卫香	Restoring sinus rhythm reverses Left atrial remodeling in patients with atrial fibrillation and reduce LA fibrosis progression detected by LGE-MRI		
PO-0886	郭邦俊	The Use of Fully-Automatic On-site CT Derived Fractional Flow Reserve in Patients with Coronary Artery Disease: A Prospective Real-World Multicenter Randomized Controlled Trial		
PO-0887	郭邦俊	Artificial intelligence based fully-automated one-click on-site CT-FFR: Development and validation from multicohort China CT-FFR studies		
PO-0888	郑梦龙	Cardiac valve assessment with cardiovascular magnetic resonance imaging at 5 Tesla: a comparison study with 3 Tesla		
PO-0889	杨守鑫	CT-guided percutaneous transthoracic needle biopsy of ground-glass opacity lesions: how to limit non-diagnostic sampling?		
PO-0890	杨朝霞	Left atrial strain assessed with cardiac magnetic resonance feature-tracking to predict left ventricular adverse remodeling following ST-segment elevation myocardial infarction		
PO-0891	惠可尧	Clinical Prognostic Assessment of ischemic heart disease Patients based on Combined Analysis of Infarct Myocardium by CMR and Viable Myocardium by SPECT/PET		
PO-0892	何泽明	The value of a new CT left ventricular functional index in obstructive hypertrophic cardiomyopathy		
PO-0893	何泽明	Application of CT Technology in Early Cardiac Function Assessment and Differential Diagnosis: The Crucial Role of Myocardial Strain Parameters in Hypertrophic Cardiomyopathy and Hypertensive Heart Disease		
PO-0894	吴权洋	Application of computer-aided diagnosis for NCCN-based Follow-up Recommendation in subsolid nodules: effect on inter-observer agreement		
PO-0895	向晓睿	Left Atrial Strains in Discriminating Phenotypic Diseases from Hypertrophic Cardiomyopathy: A CMR Study		



PO-0896	谷瀟雨	CT, MRI imaging features and misdiagnosis of bronchogenic cyst		images in dual-energy spectral CT with a new adaptive statistical iterative reconstruction (ASIR-V) to improve the image quality of bronchial arteries.	
PO-0897	施夏韵	Septal involvement of myocardial fibrosis in fulminant myocarditis survivors after ECMO treatment	PO-0918	李爽昕	CT-FFR versus Aortic valve Calcification Scores: Prediction of Clinical Outcomes after Transcatheter Aortic Valve Replacement
PO-0898	施夏韵	Cardiac MRI for detecting acute myocardial injury of fulminant myocarditis survivors in adults	PO-0919	周宇涵	Thoracic First-Pass Perfusion Imaging for Detecting Emboli in Acute Pulmonary Embolism with Varying Risk Stratification: A Retrospective Analysis Using Detector-Based Functional CT
PO-0899	唐燕燕	Assessing the efficiency of eligibility criteria for low-dose lung screening CT in China according to current guidelines	PO-0920	文苗	Myocardial injury has occurred in HCM patients with preserved ejection fraction
PO-0900	苗雷	Predicting MET exon 14 skipping mutation in pulmonary sarcomatoid carcinoma by whole-tumour texture analysis combined with clinical and conventional contrast-enhanced computed tomography features	PO-0921	李庆	Right Ventricular Myocardial Deformation Assessment by Magnetic Resonance-Feature Tracking in Takayasu's Arteritis-Pulmonary Artery Involved Patients Without Pulmonary Hypertension
PO-0901	高越	Effects of Diabetes Mellitus on Left Ventricular Function and Deformation in Patients with Restrictive Cardiomyopathies: A 3.0T CMR Feature Tracking Study	PO-0922	张杰	Differentiation of mass-like thymic hyperplasia from thymic tumors using MR quantitative fat fraction technique in adulthood
PO-0902	李娜	Quantitating myocardial fibrosis using extracellular extravascular volume determined from computed tomography myocardial perfusion imaging	PO-0923	朱文颖	Dynamic changes in aortic dimension during the cardiac cycle analyzed by ECG gated computed tomography
PO-0903	Mengzhen Wang	Impact of a Novel Whole-Heart Motion-Correction Algorithm on Non-Contrast Cardiac CT Images and Coronary Artery Calcium Scores	PO-0924	富青	Feasibility study of free breathing ultrashort echo time for lung MRI at 1.5T
PO-0904	种欢欢	Feasibility and Utility of Dark-blood Images Derived from Dual-Energy Cardiac Computed Tomography on Evaluating the Left Atrial Fibrosis: A Preliminary Study	PO-0925	牛渝鑫	Predicting lymph node metastasis in non-small cell lung cancer based on peritumoral radiomics model
PO-0905	韩立文	Investigating the Peri-Saphenous Vein Graft Fat Attenuation Index on Computed Tomography Angiography: Relationship with Progression of Venous Coronary Artery Bypass Graft Disease and Temporal Trends	PO-0926	钱雯	Factors associated with underestimation of left ventricular strain obtained from single-shot compressed sensing cine imaging using cardiac magnetic resonance
PO-0906	范舒璇	Development and Validation of a Preoperative Contrast-Enhanced-CT-Based Model to Predict 7 Histologic Types of Solid Pulmonary Tumors	PO-0927	张昕旸	CTPA in the assessment of right heart dysfunction and adverse prognosis in pulmonary embolism.
PO-0907	张嘉凝	Contrast-enhanced CT-based radiomics machine-learning classifiers to differentiate Histologic Types of Solid Lung Tumors	PO-0928	吴光耀	Baseline chest CT based radiomics to predict short-term growth of incidental pulmonary nodules: a multicenter study: a multicenter study
PO-0908	吕登	A nomogram based on intratumoral and peritumoral radiomics and clinical-radiological features for the preoperative prediction of spread through air spaces in patients with clinical stage IA non-small cell lung cancer: A Multicenter Study	PO-0929	杨舒一	Combined anatomical MRI differentiates pulmonary invasive adenocarcinoma from tuberculoma in noncalcified nodule: a retrospective comparison of CT with MRI
PO-0909	张嘉凝	Prediction of major adverse cardiovascular events by coronary artery calcification using cancer-screening LDCT in an asymptomatic population	PO-0930	秦婕	Association of Coronary CT Angiography-derived Plaque Parameters and White Matter Hyperintensity
PO-0910	何焱	Evaluating cardiac injuries in young adults following moderate Omicron infection using cardiovascular magnetic resonance imaging	PO-0931	曾禹莉	The alterations and significance of computed tomography pulmonary angiography derived parameters in elderly patients with acute pulmonary embolism
PO-0911	李海军	Predictive value of CT and 18F-FDG PET/CT features on spread through air space in lung adenocarcinoma	PO-0932	古今	Diffuse Myocardial Fibrosis in Inflammatory bowel disease - Insights from ECV derived from dual-energy contrast-enhanced Computed Tomography
PO-0912	周陶胡	A CT-based whole-lung radiomics nomogram in distinction of severity of chronic obstructive pulmonary disease	PO-0933	刘佳	Diagnostic value of texture analysis based on native T1 mapping of cardiovascular magnetic resonance in differentiating hypertrophic cardiomyopathy subtypes and hypertensive heart disease
PO-0913	张靖雨	Cardiac magnetic resonance T2 mapping for evaluating myocardial edema in patients with advanced chronic kidney disease	PO-0934	谭华清	Comprehensive analysis of the effects of altitude on the structure and function of the rat heart
PO-0914	贾涵	Deep Learning Prediction of Survival in Patients with Heart Failure Using Chest Radiographs	PO-0935	朱冬勇	Using CMR-based tissue tracking strain to study the effects of prolonged exposure of aged male rats to a hypobaric and hypoxic environment at high altitude
PO-0915	李文平	Imaging and pathology of resected pneumonic-type lung adenocarcinoma: A comparative study	PO-0936	唐媛媛	Serum uric acid is associated with impaired right atrial strain derived from cardiovascular magnetic resonance feature tracking in connective tissue disease
PO-0916	刘佳丽	Coronary artery calcium score combined with sleep quality predicts major adverse cardiovascular events: The Multi-Ethnic Study of Atherosclerosis	PO-0937	曹伟娟	Application Value of Spectral CT Multi-Parameter Imaging in the Detection of Emboli and Assessment of Thrombus Burden in Acute Pulmonary Embolism
PO-0917	张田宝	To evaluate the application value of combining low energy	PO-0938	党珊	The value of MR BLADE T2WI contrast ratio combined

中华医学会 第30次全国放射学学术大会

CHINESE CONGRESS OF RADIOLOGY 2023

PO-0939	袁宁朗	with DWI in evaluating the pathological grade of solid lung adenocarcinoma	patients with hypertension by late iodine enhancement quantified extracellular volume fraction based on Dual-layer Spectral Detector CT
PO-0940	王进	Risk Stratification by chest pain symptoms in patients with zero coronary artery calcium (CAC) Score Results From the CREATION-CHINA Study	Artificial intelligence for segmentation and classification of lobar, lobular, and interstitial pneumonia using case-specific CT information
PO-0941	武丽俊	Incremental impact of coronary obstruction on right ventricular systolic and diastolic dysfunction in type 2 diabetes mellitus patients: assessed by CMR feature tracking	Development and validation of a Nomograph based on CAC and clinical features for diagnosis of obstructive coronary artery disease in Military Personnel
PO-0942	李擢繁	Predictive value of imaging and clinical feature models for Chest CT severity of severe acute respiratory syndrome coronavirus 2 breakthrough infection	Myocardial Extracellular Volume Fraction from Late Iodine Enhancement with Spectral Detector Computed Tomography for Risk Stratification in Non-ischemic Heart Failure
PO-0943	王怡淞	Radiomics-Based Myocardial Fibrosis Prediction in Patients with Hypertrophic Cardiomyopathy Using Cardiac Magnetic Resonance Cine Imaging	Incremental prognostic value of myocardial radiomics derived from coronary CTA over clinical and CTA findings in patients with stable angina: a multicenter study
PO-0944	代旭	Deep Learning in Interstitial Lung Disease: Classification and Prognostic Insights	Predicting Lymphovascular Invasion in Non-Small Cell Lung Cancer Using Deep Convolutional Neural Networks on Preoperative Chest CT
PO-0945	俞雅蓉	Financial and clinical outcomes of CT-MPI+CCTA versus CCTA-guided strategy in patients suspected of CCS	Left Ventricular Entropy is a novel predictor of major adverse cardiac events (MACE) in patients with coronary atherosclerosis: A multi-center study
PO-0946	杨文莉	Microvascular myocardial ischemia in diabetic patients without obstructive coronary stenosis and its association with angina	Entropy for the Assessment of Myocardial Fibrosis in Non-ischemic Cardiomyopathy
PO-0947	赵瑞杰	Long-term prognostic value of CT-based high-risk coronary lesion attributes and radiomic features of pericoronary adipose tissue in diabetic patients	Coronary computed tomography angiography compared with standard of care for evaluation of NSTE-ACS: a meta-analysis of randomised controlled trials
PO-0948	马静雯	Application of deep learning reconstruction in chest prone position scanning	Myocardial viability under various ischemic burdens in chronic total occlusions: a stress-cardiac magnetic resonance study
PO-0949	赵瑞杰	The value of coronary computed tomography angiography for suspected acute coronary syndrome patients with intermediate concentration hs-cTnI and ruled out myocardial infarction in emergency	Right Ventricular Function Predicts Outcome in Heart Failure with Preserved Ejection Fraction: Strain Analysis Derived from MR Feature-Tracking
PO-0950	任丽臣	Can deep learning improve image quality of low dose CT: a prospective study in interstitial lung disease	急性心梗PCI术后心脏MRI室壁运动分析
PO-0951	周玉陶	Radiomic model based on Coronary CT Angiography to assess myocardial perfusion function in patients with Chronic Total Occlusion	Association between thoracic skeletal muscle size and adverse outcomes in diabetes patients with heart failure and reduced ejection fraction: Quantitative analysis of sarcopenia by using cardiac MRI
PO-0952	吴少虹	Effect of lesion characteristics on diagnostic accuracy of CT-FFR: exploring indications for CT-FFR	Ideas for the Comparative analysis of coronary atherosclerosis score based on coronary CT angiography between hypertension patients with and without type 2 diabetes mellitus
PO-0953	周玉陶	CT radiomics-based models in the differential diagnosis of inflammatory and malignant pulmonary nodules with typical or atypical signs	Protective Effects of High-Altitude Hypobaric Hypoxia on Myocardial Infarction: A 7.0T Cardiovascular Magnetic Resonance Study in a Rat Model
PO-0954	张凯璐	Effect of nitroglycerin administration on the diagnostic performance of machine-learning fractional flow reserve derived from computed tomography angiography	Protective Effects of High-Altitude Hypobaric Hypoxia on Myocardial Infarction: A 7.0T Cardiovascular Magnetic Resonance Study in a Rat Model
PO-0955	蒋丽	Arrhythmogenic right ventricular cardiomyopathy: distribution of late gadolinium enhancement and prognostic assessment by cardiac magnetic resonance	Paeoniflorin Alleviates Myocardial Infarction-Induced Ventricular Remodeling in High-Altitude Hypobaric Hypoxia: Insights from a 7.0T Cardiovascular Magnetic Resonance Strain Analysis Rat Model
PO-0956	刘慧	The combined effects of diabetes and its comorbidities on lower extremity peripheral artery disease: A computed tomography angiography study	Comparison of the T2 effects of three T1 mapping sequences of the myocardium at 3T and 1.5T
PO-0957	贾玉琳	Machine learning prediction of obstructive coronary artery disease in PLWH: a new model based on HIV-specific factors.	Artificial intelligence software for coronary CT angiography can significantly underestimate the extent and amount of coronary stenosis: A preliminary study.
PO-0958	贾玉琳	The relationship between quantitative parameters of pericoronary adipose tissue and coronary artery plaque types based on spectral CT	Differential Diagnosis of Pulmonary Embolism Embolism Detection in Different Risk Stratification Using Spectral Multiparameter CT Imaging
PO-0959	田钊鑫	Evaluation of peri-plaque pericoronary adipose tissue attenuation in coronary atherosclerosis using spectral CT	CT-derived global longitudinal strain as a novel predictor of cardiovascular events in patients with stable angina
PO-0960	范茜寒	Cardiac MRI-based study of characteristic quantitative parameters in uremic cardiomyopathy patients	Densely calcification and total luminal occlusion in both lower limbs
PO-0961	朱巧	Quantitative evaluation of diffuse myocardial fibrosis in	
PO-0962	左蕊		
PO-0963	邓洁		
PO-0964	聂佩		
PO-0965	王健		
PO-0966	王文先		
PO-0967	高艳		
PO-0968	孔慧慧		
PO-0969	李康		
PO-0970	朱乐怡		
PO-0971	王丽华		
PO-0972	师轲		
PO-0973	蒋宇		
PO-0974	方鑫		
PO-0975	方鑫		
PO-0976	侯阳振		
PO-0977	侯阳振		
PO-0978	王芝浩		
PO-0979	顾慧		
PO-0980	顾慧		



PO-0981	尹芳	The qualitative and quantitative parameters of dual-layer spectral detector CT plain scan predicting the invasiveness of ground-glass adenocarcinoma	PO-1006	望云	胸膜侵犯的价值 影像组学联合 CT 特征预测胸膜下实性成分占比≤50% 的磨玻璃结节型肺腺癌浸润性的价值
PO-0982	陈月月	Prediction and Discrimination of Pre-Invasive Lesions and Minimally Invasive Adenocarcinoma from Invasive Adenocarcinoma Utilizing Advanced Ultra-HRCT Radiomic Features of Ground-Glass Nodules	PO-1007	罗洁君	CT 肺血管定量参数对 COPD 高危人群判定和诊断价值的研究
PO-0983	孙玉	Relationship between epicardial fat volume on cardiac CT and atherosclerosis severity in three-vessel coronary artery disease: a single-center cross-sectional study	PO-1008	罗洁君	CT 肺血管定量参数对 COPD 影像表型的鉴别诊断价值
PO-0984	孙玉	Prognostic value of left atrial longitudinal strain by cardiac magnetic resonance feature tracking in atrial fibrillation patients with mitral valve disease	PO-1009	胡歌	不同严重程度的新型冠状病毒感染患者在肺血容量分布上的差异
PO-0985	张钰	New Whole-Heart Motion Correction Algorithm Enables Diagnostic CT of Aortic Valve and Coronary Arteries in Systolic Phase for Transcatheter Aortic Valve Implantation Candidates	PO-1010	王灵丽	食管鳞状细胞癌胸椎骨折与放射治疗的相关性研究
PO-0986	张钰	Deep Learning Image Reconstruction for Transcatheter Aortic Valve Implantation Planning Computed Tomography using Low-kVp and Low-Contrast-Medium Protocol: Image Quality, Diagnostic Performance and Radiation Dose Assessment	PO-1011	张含笑	肺充气状态对亚急性肺结节影像组学特征稳定性的影响
PO-0987	赵鹏	Role of quantitative DCE-MRI parameters and ECV in differentiating non-small cell lung cancer subtypes and predicting lymph node metastasis	PO-1012	张含笑	肺充气状态对不同类别亚急性肺结节 CT 定量参数的影响
PO-0988	唐露	Evaluation of the effect of bariatric surgery on left ventricular function in obese subjects using cardiac magnetic resonance feature tracking	PO-1013	周秀秀	社区筛查人群低剂量 CT 参数反应图的定量分析及其与吸烟的关系：一项横断面研究
PO-0989	彭鹏飞	A preliminary study of accelerated mDIXON for segmented coronary adipose tissue evaluation in patients with suspected coronary artery disease	PO-1014	刘明珠	HRCT 定量参数对 COPD 早期诊断价值研究
PO-0990	董丹妮	Intranodular and Perinodular Radiomic Features on Lung CT Images Distinguish Pulmonary Cryptococcosis from Lung Adenocarcinoma.	PO-1015	张金	光谱 CT 不同扫描方案及重建算法对体模肺结节图像质量的影响
PO-0991	高心逸	Differentiating subcentimeter pulmonary metastases in differentiated thyroid cancer patients by integration of machine learning and deep learning: A retrospective, multicenter study	PO-1016	刘明珠	基于深度学习技术的早期 COPD 诊断模型研究
PO-0992	郭成伟	Differentiation of inflammatory pseudotumor and malignant pulmonary nodules using first-pass enhanced time to peak (TTP) with dual-input volume CT perfusion	PO-1017	张金	基于光谱及双源 CT 的扫描参数及重建算法肺结节测量的对比：体模研究
PO-0993	胡艳军	量化 LDCT 肺癌筛查方案并探寻筛查年龄的边界	PO-1018	李信友	对比剂分段注射法对胸部增强 CT 减轻上腔静脉伪影的价值
PO-0994	徐晶	静息和负荷磁共振心肌应变在缺血性心脏病中诊断价值的动物实验研究	PO-1019	李信友	小剂量团注测试多兴趣区选择对确定 CTPA 扫描延迟时间的价值
PO-0995	吕登	CT 联合临床特征的列线图预测临床 IA 期非小细胞肺癌气腔播散的价值	PO-1020	罗毅	基于 DL 的 T2 黑血成像 (ACS T2-DB) 在心脏磁共振中的应用价值
PO-0996	邹兴雄	CT 在高原慢性阻塞性肺疾病患者中的评估价值	PO-1021	罗毅	心脏磁共振延迟增强灰血技术提高心肌梗死检出能力的应用
PO-0997	阴玮灵	基于定量 CT 诺模图对支气管扩张咯血风险的预测研究	PO-1022	樊荣荣	人工智能在非门控胸部 LDCT 平扫冠脉钙化积分危险分层的预测价值探讨
PO-0998	刘晓滢	基于脂肪衰减指数对冠状动脉非钙化斑块的风险分层预测	PO-1023	赵宝连	基于人工智能的肺磨玻璃结节内血管定量特征与肺腺癌侵袭性之间的相关性研究
PO-0999	邹灿	肺部 HRCT3D 重建联合 LDH 和 CRP 诊断难治性支原体肺炎的早期识别	PO-1024	王菲菲	探讨肺腺癌纯磨玻璃样结节 (pGGN) 的 CT 纹理特征与半乳糖凝集素 -9 (Gal-9) 表达的相关性
PO-1000	张文钊	基于深度学习量化 CT 图像评估 COVID-19 患者严重程度及病情转归预测研究	PO-1025	李燕	心脏占位诊断与鉴别
PO-1001	龚敬	基于 CT 影像组学的集成学习模型对非小细胞肺癌脑转移预测研究	PO-1026	韩小雨	基于 Delta 影像组学模型预测 NSCLC 新辅助免疫治疗疗效
PO-1002	龚敬	基于 3D 多任务深度影像组学的非小细胞肺癌 EGFR 基因突变状态预测	PO-1027	杨淑娟	T2 mapping 识别肥厚型心肌病患者心肌损伤的可行性研究
PO-1003	王之悦	基于冠状动脉 CT 血管成像的左心房测量参数对慢性肾病患者肾功能的评价	PO-1028	杨露	非小细胞肺癌患者术后脑转移的风险：影像组学及临床病理特征分析
PO-1004	吴树剑	基于增强 CT 深度学习影像组学术前预测胸腺瘤风险分类	PO-1029	和燕斐	肺动脉鞘血肿与急性 Stanford A 型主动脉夹层近期预后相关性研究
PO-1005	望云	影像组学联合 CT 特征预测胸膜下临床 IA 期肺腺癌脏层	PO-1030	马培松	探究心肌灌注储备与氧化应激及病理学指标之间的相关性：一项针对 2 型糖尿病兔的心血管磁共振研究
			PO-1031	江京洲	基于冠状动脉 CT 血流储备分数预测老年冠心病患者远期结局的研究
			PO-1032	孙伟航	计算机断层扫描心肌灌注成像与心理应激检测焦虑和阻塞性冠心病患者心肌缺血
			PO-1033	肖艳	肺 NUT 癌 CT 影像诊断及鉴别诊断(附 1 例肺 NUT 癌报道)
			PO-1034	曹旭阳	异基因造血干细胞移植后慢性移植物抗宿主病患者肺部影像评估
			PO-1035	储晨	基于人工智能定量评估结缔组织病相关间质性肺疾病严重度的研究
			PO-1036	陈文萍	基于 CT 纹理分析及血常规指标联合预测模型在浸润性肺腺癌病理亚型鉴别中的应用
			PO-1037	邢俊	VHP 技术在颈动脉、冠脉 CTA “一站式” 扫描中的应用与价值
			PO-1038	邓铁	基于 CTA 及临床资料预测急性主动脉夹层患者围手术期死亡风险
			PO-1039	蔡久微	基于 CT 影像组学的计算机辅助鉴别周围型肺癌与肿块 /

中华医学会 第30次全国放射学学术大会

CHINESE CONGRESS OF RADIOLOGY 2023



PO-1040	王利华	结节型肺结核的研究	PO-1076	张旭阳	基于能谱 CT 单能量图像影像组学模型预测 NSCLC 患者 EGFR 突变状态
PO-1041	高 曼	晚期肺癌患者免疫相关肺炎的临床及影像学表现	PO-1077	黄瑞良	复杂肺动脉闭锁伴室间隔缺损合并肺动脉起自冠状动脉一例
PO-1042	杨文静	基于 CT 影像深度学习技术的肺部良性病变与早期肺腺癌的鉴别诊断研究	PO-1078	杜梦颖	基于临床、增强 CT 影像组学构建影像组学列线图模型预测胸腺瘤危险分类
PO-1043	韩 冬	心血管磁共振特征追踪技术预测糖尿病性射血分数保留型心力衰竭的不良结局	PO-1079	苏燕萍	精准调控斑块微环境的碳酸钙基纳米递药平台的抗动脉粥样硬化研究
PO-1044	韩 冬	基于迁移学习构建鉴别活动性肺结核及社区获得性肺炎胸片的卷积神经网络模型	PO-1080	景 瑞	亚实性肺小结节浸润性腺癌相关危险因素研究及临床预测模型建立
PO-1045	王雄慧	鉴别活动性肺结核及社区获得性肺炎 3D 卷积神经网络模型的开发和验证：基于胸部 CT	PO-1081	景 瑞	基于机器学习算法建立对体检发现的亚实性肺小结节生长模式的临床预测模型研究
PO-1046	夏元豪	基于双气相配准定量 CT 评估 COPD 患者空气潴留	PO-1082	洪静静	基于双瞬切能谱 CT 虚拟平扫与常规平扫在肺内部分实性结节图像质量的对照研究
PO-1047	刘雪成	基于患者临床指标构建列线图来预测 A 型夹层患者在院死亡风险	PO-1083	张新伟	基于 CCTA 的冠状动脉周围脂肪影像组学模型预测主要心血管不良事件：前瞻性队列研究
PO-1048	夏玲凤	基于增强 CT 影像组学模型预测胸腺上皮性肿瘤侵袭性非小细胞肺癌 CT 征象与 ROS1 重排的相关性研究	PO-1084	刘 韵	嗜酸性肉芽肿性多血管炎肺部受累 CT 影像征象
PO-1049	夏玲凤	急性主动脉夹层合并无菌性胆囊炎的影响因素探讨	PO-1085	金聿嘉	自身免疫病相关免疫抑制宿主肺部机会性感染临床特点分析
PO-1050	耿纪刚	可变螺距技术在肺胀气综合症 CT 血管成像中的应用价值	PO-1086	邓靓娜	临床与能谱 CT 参数联合预测 N0 期非小细胞肺癌淋巴血管侵犯
PO-1051	马宇卉	应用增强 CT 评估瘤内血管特征对胸腺上皮性肿瘤亚型的诊断价值	PO-1087	颜春龙	高原慢性低氧环境下大鼠心指数和右心室肥厚指数的研究
PO-1052	岳丽娜	阿里海拔 4500 米高原肺水肿计算机断层扫描特征分析	PO-1088	黄定品	基于治疗前 CT 的放射组学模型预测非小细胞肺癌新辅助化疗联合免疫治疗的主要病理反应
PO-1053	杨雨桦	开发和验证基于增强 CT 的深度迁移学习及临床 - 影像组学联合模型来鉴别胸腺瘤与胸膜囊肿：一项多中心研究	PO-1089	马珂凡	基于心脏共振右心室 - 肺动脉耦联参数在评估 CTD-PH 危险分层中的研究
PO-1054	邹佩伶	有无隐球菌脑膜炎的隐球菌肺炎的临床及 CT 特征比较	PO-1090	张 莹	应用影像组学技术预测结缔组织病相关间质性肺病的可逆性
PO-1055	刘雨蒙	磁共振心肌初始 T1 值和细胞外容积分数对心肌淀粉样变性患者的预后评估价值	PO-1091	张 凤	基于 HRCT 影像组学预测早期肺腺癌高级别亚型的研究
PO-1056	范 欣	肺血栓塞症 CTPA 假阳性诊断常见原因分析及影像表现	PO-1092	陈长春	CT 引导下经皮纵隔肿块穿刺活检中胸骨通路的临床应用
PO-1057	王 猛	双能量肺部扫描技术“一站式”评估急性肺栓塞及肺灌注对于临床的应用价值	PO-1093	盛忆嘉	基于冠状动脉 CT 血管成像左冠脉前降支斑块定量参数与左心功能的相关性研究
PO-1058	陈莹莹	肺部恶性肿瘤经支气管镜下射频消融术后 CT 影像表现及疗效评价	PO-1094	薛 迪	CMR 定量评估非梗阻性肥厚型心肌病左房功能的应用研究
PO-1059	曹瑕尹	MRI 影像组学对非小细胞肺癌纵隔淋巴结转移的预测价值	PO-1095	高艺源	心脏磁共振特征追踪技术定量右心房功能对扩张型心肌病患者预后的预测价值
PO-1060	陈 斌	探讨分别基于肺活量测定与参数响应图定义的小气道功能性障碍人群的肺结构差异	PO-1096	张 莉	应用影像组学技术预测结缔组织病相关间质性肺病的可逆性
PO-1061	刘俊七	基于低剂量呼 - 吸双相胸部 CT 对肺结节定量参数测量的研究	PO-1097	左津铭	不同类型 ANCA 相关性血管炎胸部影像特征及其免疫抑制治疗后预后探究
PO-1062	阿巴斯江·阿地力	CMR 参数定量技术在心肌梗死中的临床应用价值探索	PO-1098	张耘博	心脏 MR 在冠状动脉慢血流患者中的初步研究
PO-1063	王福南	C T 影像特征在预测非小细胞肺癌免疫联合化疗治疗疗效中的价值	PO-1099	邝平定	胸膜气囊型孤立性纤维瘤的 CT 诊断
PO-1064	马岩岩	右心畸形为主先心病术后左心房功能的 CMR 研究	PO-1100	刘宇豪	心肌应变对肥厚型心肌病患者左心室舒张功能评估的应用价值
PO-1065	黄 瑶	基于心脏 MR 组织特征成像的 2 型糖尿病早期心肌损伤定量评价及其与心外膜脂肪厚度关系的研究	PO-1101	李 塞	肺动脉铸型技术结合显微 CT 成像定量评价慢性黏液阻塞性肺病小鼠肺血管重塑的功能 - 影像研究
PO-1066	郭玉博	左心房应变在 II 期轻链型心脏淀粉样变中的预后价值	PO-1102	孟繁杨	基于 CT 形态和能谱定量指标预测非小细胞肺癌新辅助免疫治疗反应的研究
PO-1067	田 琪	基于共识聚类分析非小细胞肺癌的术后复发生存期	PO-1103	潘月影	肺黏膜相关淋巴组织淋巴瘤 CT 诊断
PO-1068	陈 蓉	基于 CT 纹理分析预测急性肺栓塞短期预后的研究	PO-1104	李春华	伴空洞的非结核分枝杆菌肺病与继发性肺结核的 CT 表现对比分析
PO-1069	邹孟宏	基于瘤内及瘤周影像组学模型对肺癌淋巴结转移、Ki-67 表达水平的预测研究	PO-1105	包如意	能谱 CT 成像评价食管静脉曲张破裂出血 TIPSS 术后的食管微循环情况
PO-1070	景梦园	冠脉 CTA 评估的不同斑块类型及其与冠状动脉周围脂肪组织的体积和衰减的关系	PO-1106	白苗苗	基于心脏共振组织追踪技术定量分析糖尿病对高血压患者左心房及左心室心肌应变的叠加影响
PO-1071	彭 佳	融合 CT 图像和临床变量的深度残差网络预测肺腺癌的侵袭性	PO-1107	耿立刚	基于双能 CT 影像组学预测非小细胞肺癌靶向治疗疗效
PO-1072	梁 硕	基于冠状动脉 CTA 的冠周脂肪影像组学特征结合机器学习对冠状动脉支架内再狭窄的诊断性能研究	PO-1108	李洪敏	叶内型肺隔离症合并曲霉感染 1 例
PO-1073	彭 佳	cT1N0M0 期肺癌的影像学表现和分子生物标记物相关性分析	PO-1109	张 越	肺部良恶性混合磨玻璃结节实质性成分的 CT 特征比较
PO-1074	申 利	“双低”技术联合不同重建算法在超重患者 CCTA 成像中优化图像质量的应用价值	PO-1110	尹 柯	双能 CT 定量参数在预测实质性肺腺癌气道播散状态的性能
PO-1075	郑嘉男	比较冠状动脉 CT 血管成像和临床风险评分在疑诊冠心病患者他汀类药物决策中的作用			



PO-1111	荀心怡	研究	PO-1148	涂永波	分及定量分析与常规肺功能的相关性研究
PO-1112	林梦	3例肺部血管内大B细胞淋巴瘤的病例报道及影像回顾 基于非阈值法测量冠状动脉周围脂肪组织平均密度在冠状动脉粥样硬化斑块评估中的应用	PO-1149	李爽昕	基于冠脉CTA的冠状动脉周围脂肪组织CT衰减预测冠脉搭桥术后桥血管闭塞
PO-1113	伊慧明	双气相配准CT在异基因造血干细胞移植后闭塞性细支气管炎综合征的初步研究	PO-1150	席华泽	CT-FFR和冠状动脉钙化评分对经导管主动脉瓣置换术后临床事件的预测价值
PO-1114	贺祎凡	心脏磁共振评估健康女性超重和肥胖人群左心房心肌应变及应变率的初步研究	PO-1151	朱琳	CCTA定量的冠状动脉周围炎症与不同运动状况之间的关系
PO-1115	毕玉瑜	基于定量CT评估慢性阻塞性肺疾病患者肺气肿严重程度与骨质疏松的相关性研究	PO-1152	张惠茅	基于MRI随访扫描预测COPD患者偶发肺结节的长期转归——一项多中心临床试验
PO-1116	彭林	骨肉瘤合并自发性气胸肺转移灶的CT表现	PO-1153	袁宇宇	基于肺CT平扫的心外膜下脂肪与冠心病合并心力衰竭患者预后的相关性分析
PO-1117	黄明	新型冠状病毒肺炎患者发病早期胸部影像学表现	PO-1154	曹玉坤	基于定量CT分析吸烟与年龄对无症状健康男性小气道病变的交互影响
PO-1118	王付言	探索单次屏气压缩感知心脏磁共振电影序列在评估左右心室应变中的可行性	PO-1155	王金华	基于1.5T心脏磁共振的中国儿童心脏、主动脉和肺动脉正常值参考范围
PO-1119	史征	特发性肺纤维化的大螺距高分辨CT扫描优势	PO-1156	陈伟婷	胸部低剂量CT应用深度学习重建算法在胸部病变诊断中的可行性研究
PO-1120	种欢欢	CMR联合心肌应变技术在房颤患者左房纤维化评估中的初步研究	PO-1157	周宇涵	探讨超低剂量胸部CT不同重建算法对AI肺炎定量和图像质量的影响
PO-1121	张丽	2型糖尿病患者肺小血管重构的CT定量研究	PO-1158	李伊	胸部首过灌注成像检测不同风险分层的急性肺栓塞中的栓塞
PO-1122	郭炜	瘤周结节CT定量特征预测胸膜上皮肿瘤危险度	PO-1159	洪榕	基于肝/脾CT值诊断的非酒精性脂肪肝对中晚期非小细胞肺癌患者免疫疗效的影响
PO-1123	刘静	心脏磁共振组织追踪技术及容积-时间曲线评估无明显并发症肥胖成人的舒张功能障碍：一项前瞻性研究	PO-1160	龚冰鑫	基于双层探测器光谱CT定量参数及常规CT特征列线图评估肺浸润性非黏液腺癌高级别亚型的价值
PO-1124	张丽	肺气肿、气道及肺血管与肺癌风险相关的定量CT评估	PO-1161	席华泽	癌症中的免疫检查点抑制剂：动脉粥样硬化性心血管疾病事件风险和冠状动脉钙化进展增加
PO-1125	郝继元	基于胸部增强CT的影像组学模型在鉴别周围型肺癌和肺炎性假瘤中的研究价值	PO-1162	龚冰鑫	冠状动脉周围脂肪组织衰减对心功能的影响：基于Revolution CT的回顾性评价
PO-1126	景晓萍	改良后左心房CTA检查在左心耳封堵术前的评估	PO-1163	董浩	肺动脉与升主动脉内径比值对接受使用免疫检查点抑制剂治疗的非小细胞肺癌患者的预后价值
PO-1127	李晔	CT影像组学在转移性EGFR突变型非小细胞肺癌患者靶向治疗前预测T790M耐药发生的应用价值及风险评估	PO-1164	王佳辉	基于胸部定量CT探究新型冠状病毒感染患者俯卧位治疗前后肺结构的变化
PO-1128	侯代伦	耐多药肺结核影像组学研究进展	PO-1165	冯凯	4D FLOW CMR分析儿童室性期前收缩左心室血流特征
PO-1129	杨敏	淋巴管肌瘤病患者囊性病变的定量分析和基于CT成像预测气胸的影像组学方法	PO-1166	王雷	基于CT体素形态测量法建立列线图预测COPD的严重程度
PO-1130	晋慧	基于冠状动脉CT血管造影的冠状动脉钙化评分预测脑白质高信号的进展——可行性和准确性	PO-1167	任成龙	冠心病患者合并高尿酸血症与左心室重构的相关性研究
PO-1131	王敏	冠脉CTA-FFR与CAD-RADS评分相关性分析	PO-1168	欧阳丽娜	基于冠状动脉CTA评估斑块特征及血流动力学变化对急性冠状动脉综合征的预测价值
PO-1132	王楠	基于常规肺部CT应用深度学习方法评估肺功能	PO-1169	辛洋	基于CMR评价急性STEMI患者心肌内出血对左室动力学的影响
PO-1133	张亚楠	基于胸部平扫和临床参数的主动脉夹层预测模型的建立与初步验证	PO-1170	马丽荣	不同采集方式的4D Flow技术对左心室腔内血流速度测量的比较研究
PO-1134	杨晶晶	基于能谱CT定量参数预测肺不张病因	PO-1171	陆晓燕	囊腔类肺癌CT影像学特征及其与病理相关性分析
PO-1135	马光明	深度学习图像重建在提高肺部CT图像质量的临床应用研究	PO-1172	牛渝鑫	3mm和6mm瘤周放射组学模型预测非小细胞肺癌的淋巴结转移效能
PO-1136	陈蒙	基于冠状动脉CTA的血流储备分数对2型糖尿病合并冠心病患者预后的预测价值	PO-1173	杜华阳	深度学习(DLR)与混合迭代(HIR)重建算法联合CE-boost后处理技术对下肢静脉CTV图像质量影响的对比探究
PO-1137	龙振楚	胸部SMARCA4缺失的未分化肿瘤的CT及18F-FDG PET/CT表现	PO-1174	牛渝鑫	增强CT放射组学模型：能否为预测非小细胞肺癌的淋巴结转移提供增量价值
PO-1138	贺祎凡	评估磨玻璃结节样肺腺癌在随访CT过程中的生长速率和相关性分析	PO-1175	杨钰成	基于心脏MRI评估肥厚型心肌病与压力负荷对心肌重塑的交互作用
PO-1139	邵国柱	多参数CMR对缩窄性心包炎诊断及预后的增量价值	PO-1176	朱紫瑞	光谱CT多参数成像定量分析在评估浸润性肺腺癌病理分级中的应用价值
PO-1140	贺祎凡	应用临床及CT影像学特征预测肺粘液腺癌Ki-67增殖指数的研究	PO-1177	郭宁	不同病理级别囊腔型肺腺癌的临床及影像特征分析
PO-1141	王策	首诊肺结节病CT影像学征象的聚类分析	PO-1178	杜华阳	能谱纯化技术联合ADMIRE重建算法在超低剂量CT肺功
PO-1142	贺祎凡	基于CT组学预测表现为纯磨玻璃结节肺腺癌的Ki-67表达			
PO-1143	贾建业	基于CT影像组学联合营养成分参数预测食管鳞癌患者术后3年无进展生存期和总生存期：一项多中心研究			
PO-1144	王国杰	珠海地区经外周静脉置入中心静脉置管头端位置异常原因分析			
PO-1145	李婷	建立CT影像组学列线图模型在孤立性肺结节型肺隐球菌病和肺癌鉴别诊断中的应用			
PO-1146	罗振东	自身免疫性IgG4相关肺疾病的CT表现及文献复习			
PO-1147	王金华	成人肺朗格汉斯细胞组织细胞增生症高分辨率CT视觉评			

中华医学会 第30次全国放射学学术大会

CHINESE CONGRESS OF RADIOLOGY 2023

PO-1179	陈 茗	能定量中应用的前瞻性探究	PO-1215	周忠琴	CMR 全定量心肌灌注评价川崎病患儿心肌灌注损伤：与左心室重构的关系
PO-1180	刘培欣	MSCT 对 Stanford B 型主动脉夹层破裂的诊断价值	PO-1216	喻 杰	基于深度学习模型非门控胸部 CT 左心房容积测量：和心脏门控 CT 手动测量比较
PO-1181	景梦园	胸内原发滑膜肉瘤的 CT 表现及预后因素分析	PO-1217	党 珊	MR-T2 刀锋伪影校正技术联合 DWI 对局灶性机化性肺炎与周围型肺癌的鉴别诊断价值研究
PO-1182	叶天和	无冠心病患者的不同临床特征与通过冠脉 CTA 量化的冠状动脉周围脂肪组织衰减值增加之间的关系	PO-1218	屠 远	基于自动全肺分割的 CT 放射组学模型对肺功能下降人群的预测价值研究
PO-1183	苏海燕	定量 CT 检查用于小气道疾病：图像质量控制和外部验证	PO-1219	潘 虹	急性 Stanford A 型主动脉夹层患者 30 天内死亡率的预测模型
PO-1184	孟 雪	成人肺炎性肌纤维母细胞瘤 CT 特征与病理对照	PO-1220	田瑞娟	基于深度学习对肥胖患者行低剂量 CCTA 成像的应用价值
PO-1185	沈钰鸿	单次短屏气法在冠状动脉 CT 减影血管成像中的应用	PO-1221	顿雨桐	急性心肌梗死后非缺血远程心肌应变的影响因素研究
PO-1186	王南薇	肺定量 CT 不同呼吸屏气状态下肺结节测量的差异分析	PO-1222	张 倩	18F-FDG PET/CT 和血清肿瘤标志物对非小细胞肺癌肿瘤突变负荷的预测价值
PO-1187	张旭阳	胎儿肺先天发育性疾病 MRI 表现的个案报道及回顾性分析	PO-1223	李 叶	双肺多发结节罕见病例分享
PO-1188	罗 焕	探讨深度学习重建算法在改善 CTPA 图像质量中的价值	PO-1224	张春芳	多参数胸部 CT 在评估结缔组织疾病相关肺动脉高压预后中的价值
PO-1189	何文章	基于双源 CT 下人工智能 CT 血流储备分数联合冠状动脉周围脂肪衰减指数对高海拔地区冠状动脉粥样硬化心脏病的评估及预测	PO-1225	魏应敏	双源 CT 冠脉成像在老年冠心病临床诊断中的有效性研究
PO-1190	黄国成	光谱 CT 联合不同呼吸屏气状态改善心力衰竭患者肺动脉 CTA 图像质量的可行性研究	PO-1226	张 托	肺癌化疗后耶氏肺孢子菌肺炎 1 例
PO-1191	杨长蔚	冠心病患者内脏脂肪与代谢综合征相关性研究	PO-1227	段丽君	术前误诊的良性肺结节与典型恶性肺结节的预测研究
PO-1192	梁海胜	肺癌 CT 多期增强扫描的影像学特征与特异性标记物表达相关性以及联合诊断价值研究	PO-1228	孙潇楠	肺动脉血栓 CT 值与急性肺栓塞介入溶栓治疗疗效的相关性研究
PO-1193	崔倩男	肺癌主支气管良性肿瘤的多排螺旋 CT 评价	PO-1229	姜 玲	肺癌 CT 放射组学与 Ki-67 表达的相关性研究
PO-1194	郝沁敏	肿瘤位置在预测直径小于 2cm 肺腺癌隐匿性淋巴结转移中的应用价值	PO-1230	邓 林	早期肺腺癌 CT 异常形态血管形成的病理机制研究
PO-1195	施辉友	迭代重建技术在胸廓软骨扫描中的运用价值	PO-1231	乔金晗	CCTA 减影技术结合冠状动脉人工智能辅助诊断系统的诊断效能分析
PO-1196	李 莎	非酒精性脂肪肝与冠状动脉 CT 血流储备分数相关性的研究	PO-1232	兰紫婷	CT-FFR 用于糖尿病患者主要心血管不良事件的预测
PO-1197	刘海法	不同扫描剂量（常规剂量及低剂量）下标准卷积核对肺结节测量及显示的影响	PO-1233	雷子乔	4D-CT 血管量化评价临床应用初步研究
PO-1198	方煜翔	光谱 CT 定量参数鉴别纵隔高危胸腺瘤	PO-1234	赵宏亮	合并颈动脉严重狭窄的急性主动脉 A 型夹层患者急诊术后影像学疗效评估
PO-1199	舒 俊	持续存在肺纯磨玻璃结节血管分型预测结节未来生长趋势	PO-1235	尹 芳	双层探测器光谱 CT 在与胸膜接触的纯磨玻璃结节中鉴别浸润性癌和微浸润性癌的价值
PO-1200	宋林声	心脏磁共振特征跟踪对非缺血性扩张型心肌病恶性室性心律失常诊断价值的初步研究	PO-1236	李凤兰	双层探测器光谱 CT 定量参数对非小细胞肺癌 EGFR 突变的预测价值
PO-1201	李 雪	基于心脏电影序列的放射组学预测扩张型心肌病的预后	PO-1237	赵 凯	免疫检查点抑制剂相关心肌炎的心脏磁共振表现初探
PO-1202	晏婷莉	基于心脏 CT 增强的影像组学分析预测严重主动脉瓣狭窄患者 TAVI 术后左心室不良重构的价值	PO-1238	蒋 涛	深吸气与深呼气下肺 CT 在肺非实性结节随访中价值的研究
PO-1203	卓瑶瑶	联合深度学习 - 机器学习术前精准预测 I A 期肺腺癌气腔内播散：人机对比研究	PO-1239	庞小莉	老年侵袭性肺真菌感染病临床影像预测模型的建立及评价：一项多中心研究
PO-1204	姚彦娥	基于定量 CT 评估中高危急性肺栓塞的研究	PO-1240	王荣华	基于胸部 CT 图像的深度学习算法评估肺腺癌的组织学微血管密度
PO-1205	景梦园	冠脉 CTA 量化的冠状动脉周围脂肪衰减值与冠状动脉疾病严重程度之间的关系	PO-1241	牛惜情	4D Flow MRI 技术评价急性心肌梗死患者左心室局部血流动能的初步研究
PO-1206	王璐静	心脏磁共振评价的二尖瓣环平面收缩期位移：心肌梗死后风险分层的一个可靠指标	PO-1242	金 榕	双源 CT 优化心电脉冲编辑技术在左心功能评估中的应用
PO-1207	刘 星	探讨极低辐射剂量联合 Pulmo 3D 技术在肺炎患者肺部 CT 检查中的应用价值	PO-1243	蒲豆豆	类风湿关节炎相关间质性肺病的定量评价：纵向研究
PO-1208	申 利	双低”技术联合高权重深度学习重建在冠状动脉血管成像中的应用价值	PO-1244	贾玉琳	基于光谱 CT 冠周脂肪定量参数与冠状动脉狭窄程度相关性研究
PO-1209	陈伟婷	超低剂量胸部 CT 结合深度学习重建行肺结节评估的可行性研究	PO-1245	李凤兰	双层探测器光谱 CT 定量参数检测肺腺癌中的表皮生长因子受体突变的价值
PO-1210	游 弋	心脏磁共振 T1 mapping 联合应变技术在心肌淀粉样变和肥厚型心肌病的诊断及鉴别的应用研究	PO-1246	褚志刚	紧贴胸膜的肺部实性结节 CT 鉴别诊断研究
PO-1211	郭 靖	IQon 能谱 CT 在评价吸烟人群肺部血流情况中的价值探讨	PO-1247	林丽娟	基于肺部 CT 的影像组学特征预测 EGFR 突变型肺腺癌患者脑转移
PO-1212	陈伟婷	超低剂量扫描条件下深度学习重建对计算机辅助检测系统肺结节定量分析影响	PO-1248	周小兵	阻塞性睡眠呼吸暂停综合征致左室结构及功能改变相关心脏磁共振研究
PO-1213	隋 昕	肺泡蛋白沉积症的 CT 表现及预后分析	PO-1249	文 凤	临床 - 影像学模型预测冠状动脉中度狭窄患者基于冠状动脉 CT 造影所获无创血流储备分数 ≤ 0.8 及预后作用
PO-1214	王媛媛	基于 CCTA 的定量斑块分析评估不同斑块特征与腔内衰减梯度的相关性	PO-1250	陈皓田	7.0T 心脏磁共振用于慢性肾脏病大鼠心功能改变的基础研究
			PO-1251	褚志刚	薄层 CT 图像上“微网格征”在预测肺纯磨玻璃结节侵袭



PO-1252	褚志刚	性中的价值研究 炎症细胞浸润和相对密度与肺非肿瘤性磨玻璃结节边界表现的相关性研究	PO-1283	邵亚军	Erdheim-Chester 病 (Erdheim-Chester disease, ECD) 影像诊断与鉴别
PO-1253	杨晓娜	基于 HRCT 图像对纤维化性间质性肺疾病的定量分析研究	PO-1284	王慧	光谱 CT 参数变化预测食管癌新辅助化疗联合免疫治疗的病理完全缓解
PO-1254	龙振楚	基于 CT 影像组学预测肌炎相关性间质性肺疾病抗 MDA5 抗体阳性	PO-1285	秦宇	磁共振扩散峰度成像在鉴别非小细胞肺癌术前纵隔淋巴结转移的应用研究
PO-1255	褚志刚	CT 低密度征在鉴别肺部炎性和恶性肿块样病变的敏感性和特异性研究	PO-1286	傅琳	基于胸部 CT 测量部分胸部呼吸肌体积变化的方法评估重症监护病房获得性肌无力
PO-1256	金承	通过新冠肺炎 (COVID-19) 住院患者的治疗前胸部 CT 表现预测肺纤维化的早期结局	PO-1287	吕静	基于左心室不同区域心肌 CMR 影像组学模型预测肥厚型心肌病并发室性心律失常
PO-1257	陈琳涛	I 期非小细胞肺癌术前 CT 影像学特征与预后的关系	PO-1288	顾慧	基于 ct 衍生的整体纵向应变可作为稳定型心绞痛患者心血管事件的一种新的预测因子
PO-1258	褚志刚	良恶性斑片状磨玻璃影的薄层 CT 鉴别诊断研究	PO-1289	杨潇	恶性血液病肺真菌感染的 CT 诊断与高通量测序的对照分析
PO-1259	赵永雷	基于计算机断层扫描肺动脉造影自动三维血管参数测量在肺动脉高压危险分层中的价值探究	PO-1290	冉玲平	心脏磁共振自由呼吸运动校正人工智能电影序列在心力衰竭患者中的临床应用
PO-1260	岳汛	双层探测器光谱 CT 单能量联合低对比剂量在冠状动脉和静脉“一站式”成像中的应用价值	PO-1291	冯湛	胸部骨骼肌指数对非小细胞肺癌免疫治疗患者预后的评估价值
PO-1261	李玉敏	4D-FLOW 技术结合 CMR 一站式评估 BAV 患者升主动脉血流动力学特点及亚临床左心室功能障碍	PO-1292	蒋赵娟	基于机器学习预测非小细胞肺癌新辅助化疗后的病理反应
PO-1262	郑娅楠	基于 CCTA 冠周脂肪衰减指数构建冠心病 MACE 风险列线图预测模型的研究	PO-1293	周可	冠脉狭窄部位冠周脂肪 CT 图像三维组学特征与心肌缺血的相关性及其预测心肌缺血的诊断价值
PO-1263	张天悦	心脏磁共振特征追踪技术在 LGE 阴性的扩张型心肌病患者危险分层及预后评估中的作用	PO-1294	吕静	基于心脏磁共振影像组学对肥厚型心肌病的价值研究
PO-1264	文雨婷	双层光谱探测器 CT 虚拟平扫代替常规平扫的可行性研究在主动脉夹层支架术后的应用	PO-1295	邓莉萍	探讨深度学习图像重建算法在肝脏低剂量 CT 扫描中的应用价值
PO-1265	文雨婷	超低管电压联合高权重深度学习图像重建算法在冠脉 CT 血管成像“双低”扫描中的应用价值	PO-1296	付芳芳	18F-FDG PET/MRI 多参数预测非小细胞肺癌淋巴结转移
PO-1266	刘晓滢	基于 CCTA 多参数评估冠状动脉非钙斑性狭窄缺血风险价值初探	PO-1297	冯吉贞	肺动脉发育不良患者体—肺侧支分布规律及形态学特征分析
PO-1267	高峻峰	基于人工智能的冠状动脉钙化积分算法在非门控胸部 CT 中的应用价值及影响因素分析	PO-1298	牡丹	ST 段抬高型心肌梗死患者 MR 心外膜脂肪体积与微循环障碍的关系
PO-1268	何泽明	CT 左心室功能学新指标在肥厚型心肌病中的应用价值：早期心功能评估和鉴别诊断	PO-1299	梁正荣	食管平滑肌瘤伴梗死、囊变误诊 1 列报道
PO-1269	王彤	双层探测器光谱 CT 对 stage I 期肺腺癌 PD-L1 表达的预测价值—开发和验证一种新的列线图	PO-1300	宋彪	CT 引导下难治性气胸封堵治疗：一项单中心回顾性研究
PO-1270	吕静	基于心脏磁共振影像组学联合临床因素对肥厚型心肌病并发室性心律失常的预测价值	PO-1301	刘丹	多层螺旋 CT 或 PET-CT 假阳性致肺结节误切的影像学征象分析及原因分析
PO-1271	贾韬宇	基于 MOLLI 序列和 SMARTI 序列的对比剂注射前心肌 T1mapping 成像诊断心肌病效能的初步比较研究	PO-1302	王升平	应用病理全切片分析亚实性肺腺癌的放射病理相关性：一项前瞻性临床研究
PO-1272	徐杭	基于 CCTA 的肝脏影像组学联合冠脉多参数模型对急性冠脉综合征预测价值的研究	PO-1303	梁敏	基于术前临床影像特征识别 I 期肺腺癌复发危险因素的多维度分层研究
PO-1273	吕仁锋	深度学习重建算法结合 70KVp 管电压在肺部 CT 扫描中的可行性：肺部膜体研究	PO-1304	毛婷	联合 CCTA 影像参数及临床构建缺血性心脏病患者冠状动脉侧支循环形成的预测模型
PO-1274	李杉	心脏磁共振 T1 mapping 联合特征追踪技术在 LGE 阴性的肥厚型心肌病中的应用价值	PO-1305	吕建波	血尿酸水平对左心功能的影响：一项心脏磁共振组织追踪技术研究
PO-1275	吴月	基于 CCTA 的冠脉周围脂肪组织放射组学对未来 5 年内发生不良心血管事件的预测价值	PO-1306	刘远康	基于冠脉衰减指数评估降糖治疗对二型糖尿病冠脉炎症的影响
PO-1276	郭倩	双能量 CT 检测心肌瘢痕特征构建陈旧性心肌梗死患者预后模型	PO-1307	魏璇	基于胸部 CT 探究新型冠状病毒肺炎病灶体积与多系统的关系
PO-1277	郭倩	双能量 CT 检测心肌瘢痕特征对陈旧性心肌梗死患者发生主要心血管事件的预测	PO-1308	许文清	北京大学医学部
PO-1278	王拓	基于深度学习算法下严重冠状动脉钙化血管成像及应用研究	PO-1309	叶媛鑫	基于影像及临床资料的列线图对肺腺癌病理亚型的预测价值
PO-1279	王丽华	基于实性结节影像组学的肺隐球菌病和浸润性腺癌鉴别	PO-1310	彭鹏飞	基于冠脉 mDIXON 序列对疑似冠状动脉疾病的分节段冠状动脉周围脂肪组织评估的初步研究
PO-1280	顾海蓉	左心耳血流淤滞 CT 征象预测房颤患者主要不良心血管事件的发生风险	PO-1311	蒋佳坤	绝经后射血分数保留型心衰患者心外膜脂肪特征及其与心肌纤维化之间的关系
PO-1281	吴志斌	非电门控自由呼吸大螺距 Flash 扫描在左心耳肺静脉 CT 扫描中的应用	PO-1312	王旭	CT 大重建矩阵联合重建算法对肺结节诊断的应用价值
PO-1282	杨旭	3D 打印技术指导复杂冠心病小切口微创冠脉搭桥的应用研究	PO-1313	蒋佳坤	双能量 CT 定量心肌细胞外容积预测射血分数保留心衰患者再住院风险
			PO-1314	蒲彩玲	基于心脏磁共振 cine 图像和 T1 map 的放射组学特征的可重复性研究
			PO-1315	王天明	基于配对肺部影像数据集的跨模态图像合成：MRI-to-CT
			PO-1316	朱占英	人工智能无创血流储备分数 (FFRCT) 联合 CCTA 斑块特

中华医学会 第30次全国放射学学术大会

CHINESE CONGRESS OF RADIOLOGY 2023

PO-1317	朱永月	征对冠心病研究价值 基于双能低剂量CT的影像组学对肺磨玻璃结节良恶性的预测价值	to identify the risk of non-sentinel lymph node metastasis in patients with early-stage breast cancer Assessment on contrast-enhanced CBBCT lexicons for breast cancers: A comparative study with mammography and MRI
PO-1318	李曼	急性肺动脉栓塞预测模型的建立与验证	Diagnostic Performance of Unenhanced MR Imaging for assessment of normal-sized nodal staging in Breast cancer
PO-1319	尤超	Radiogenomic-based multi-omic analysis reveals imaging intratumor heterogeneity phenotypes and therapeutic targets	Differentiating Benign and Malignant Proliferative Breast Lesions Using a Continuous-Time Random-Walk (CTRW) Diffusion Model
PO-1320	王思敏	The value of subregion-based radiomics of contrast-enhanced mammography in differentiating the HER2-enriched and non-HER2-enriched invasive breast cancers: A double-center study	Does biopsy influence effectiveness of radiomics in the classification of benign lesions and cancers on breast MRI?
PO-1321	刘周	Voxelwise mapping of DCE-MRI time-intensity-curve profiles enables visualizing and quantifying hemodynamic heterogeneity in breast lesions	Using machine learning to assess tumor metastatic lymph nodes and Ki-67 expression aggressiveness from breast MRI using a large clinical dataset of 300 cancers
PO-1322	黄瑶	Early prediction of pathologic complete response to neoadjuvant chemotherapy using multi-phases DCE-MRI by Siamese network in breast cancer: a prospective longitudinal study	Comparison of magnetic resonance guided core needle biopsy and vacuum-assisted biopsy in breast lesions
PO-1323	郭浩东	Differentiation of Triple-negative and HER2 Positive Breast Cancer Using DISCO CE-MRI	Application Value of Cone-beam Breast Computed Tomography, Mammography and MRI for Diagnosing Breast Cancer
PO-1324	安永玉	External validation of multiparametric MRI-based decision rules for characterizing breast lesions and comparison to Kaiser score and BI-RADS category	Mammography-Based Nomogram for Predicting Malignant Risk of Breast Suspicious Microcalcifications
PO-1325	何翠菊	Radiomics model based on multi-sequence MRI for accurate diagnosis of complex cystic breast lesions	Mammography-Based Radiomic Nomogram for Predicting Malignant Risk of Breast Suspicious Microcalcifications
PO-1326	赵楠楠	Application of Magnetic Resonance Imaging Radiomic Analysis in Differential Diagnosis of Benign and Malignant Breast Lesions	Prediction of HER2 Status in Breast Cancer by Mammographic Radiomics Features and Clinical Characteristics: A Multicenter Study
PO-1327	林婷婷	Preliminary analysis of the correlation between multi-parameters MRI and ctDNA of breast cancer	Automatic deep learning method for detection and classification of breast lesions in dynamic contrast-enhanced magnetic resonance imaging
PO-1328	张睿馨	A Multiparametric MRI-based Radiomic Model for Stratifying Postoperative Recurrence in Luminal B Breast Cancer	Use of Dixon in magnetic resonance breast contrast-enhanced T1 weighted imaging for mastectomy patients at 3T
PO-1329	朱爽爽	Based on Contrast-Enhanced Mammography Radiomics Analysis for Preoperative Prediction of Breast Cancer Molecular Subtypes	MRI Radiomics for the Preoperative Evaluation of Lymphovascular Invasion in Breast Cancer: A Meta-Analysis
PO-1330	王金花	Mammography-based deep learning radimics for the prediction of upgraded ductal carcinoma in situ	The specific manifestations of ultrasound and mammography to predict the malignancy of primary architectural distortion detected on mammography
PO-1331	张翔	Mean Apparent Propagator-MRI: A Novel Diffusion-Based Approach for Quantitative Assessment of Tumor-Stromal Ratio in Breast Carcinoma	Benign and Malignant Mucocele-Like lesion of the Breast: Imaging Features
PO-1332	张翔	Discrimination between HER2-Overexpressing, -Low-Expressing, and -Zero-Expressing Statuses in Breast Cancer using Multiparametric MRI-based Radiomics	Differential diagnosis of benign and malignant breast calcification by contrast-enhanced spectral mammography
PO-1333	陈思义	The longitudinal changes in functional MRI during neoadjuvant chemotherapy can predict treatment response early in patients with HER2-positive breast cancer	Breast Galactography with Contrast-enhanced mammography (CEM)—An innovative attempt
PO-1334	邱立艳	MRI findings of primary highly-invasive B-cell lymphoma of male breasts: a case report	Preoperative Prediction of Axillary Lymph Node Metastasis in Breast Cancer Based on Dynamic Contrast-Enhanced MRI including the Entire Axilla
PO-1335	李雪	Whole-tumor Histogram Analysis of Multiparametric Breast Magnetic Resonance Imaging to Differentiate Pure Mucinous Breast Carcinomas from Fibroadenomas with High-signal Intensity on T2WI.	Accuracy of cone-beam breast CT for assessing breast cancer tumor size - comparison with breast MRI
PO-1336	李雪	Comparison of Radiomics-Based Machine-Learning Classifiers for Pretreatment Prediction of Pathologic Complete Response to Neoadjuvant Therapy in Breast Cancer.	Dual-layer detector spectral CT based iodine density for the diagnosis of benign and malignant breast masses: compare with BIRADS categories in mammography
PO-1337	王继萍	Effect of MicroRNA-766 Promotes Proliferation, Chemosensitivity, Migration, and Invasion of Breast Cancer Cells	Prediction of Risks in Ductal Carcinoma In Situ with Micro-invasion based on Clinicopathological and Imaging Features
PO-1338	廖婷婷	Classification of asymmetry in mammography via the DenseNet convolutional neural network	Establishment of segmentation and classification model of breast tumors based on bilateral asymmetrical detection
PO-1339	于海童	A machine learning approach based on multiparameter MRI	Tumour size change based on early DCE-MRI treatment for predicting neoadjuvant efficacy in breast cancer and the construction of an integrated clinical prediction model
			Identify molecular subtypes in breast cancer using time-dependent diffusion MRI based microstructural mapping



PO-1364	王晓霞	Tomoelastography complementing diffusion-weighted imaging for the prediction of pathological complete response to neoadjuvant chemotherapy in patients with breast cancer: A prospective longitudinal study	PO-1392	韩珺琪	基于超声和乳腺 X 线影像学特征预测乳腺癌分子亚型和预后的研究
PO-1365	王晓霞	A Robust Deep Learning Framework for Automatic Molecular Subtypes Assessment in Breast Cancer Based on MRI: a Multicenter Study	PO-1393	卢艳会	基于基线影像学征象及临床病理参数预测三阴性乳腺癌无进展生存期的应用价值
PO-1366	王晓霞	Extracellular volume fraction derived from routine chest dual-energy CT for the characterization of breast tumor: Comparison with apparent diffusion coefficient and validation against histopathological findings	PO-1394	黄亚博	MRI 影像学征象对乳腺癌保乳术中切缘阳性的预测价值
PO-1367	王贊霞	Clinical Study on the Prediction of ALN Metastasis Based on Intratumoral and Peritumoral DCE-MRI Radiomics and Clinicoangiographical Characteristics in Breast Cancer	PO-1395	赵思奇	酰胺质子转移成像和扩散加权成像在预测乳腺癌预后因素中的价值
PO-1368	高微波	Synthetic MRI and Apparent Diffusion Coefficient (ADC) Measurement in Breast Tumor: Effect of Region-of-Interest Methods on Quantitative Values and Diagnostic Ability	PO-1396	蔺璐奕	BRCA 基因突变型与正常乳腺癌患者间 MRI 影像特征的差异及对预后的预测价值
PO-1369	刘家玲	Prediction of Pathological Complete Response to Neoadjuvant Chemotherapy in Breast Cancer using a Deep Learning–Machine Learning Fusion Approach	PO-1397	刘儒攻	X 线三维立体定位引导下乳腺病变真空辅助旋切技术的经验体会
PO-1370	唐彩丽	Histogram Analysis of Diffusion-weighted Imaging with a Fractional Order Calculus Model in Breast Cancer: Diagnostic Accuracy and Correlation with Prognostic Factors	PO-1398	陈 阳	基于磁共振成像影像组学构建的 21 基因检测复发风险预测模型评估 ER+/HER2- 乳腺癌预后的探索研究
PO-1371	叶钉利	Application of Breast Cancer Heterogeneity Combined with Visual Features of MR Images in Predicting Lymph Node Metastasis of cN0 Breast Cancer	PO-1399	陈 阳	磁共振成像瘤周影像组学预测 ER+/HER2- 乳腺癌 21 基因检测复发风险评分的价值研究
PO-1372	黄 旭	MRI and clinicopathological features in HER2-low versus HER2-zero breast cancer treated with neoadjuvant therapy	PO-1400	陈 阳	磁共振成像影像组学预测 ER+/HER2- 乳腺癌 21 基因检测复发风险评分的价值研究
PO-1373	李 雪	Classification of MRI-only suspicious breast lesions: Development and validation of a nomogram combining MRI features and apparent diffusion coefficient histogram.	PO-1401	陈 阳	第一部分 磁共振成像影像学特征预测 ER+/HER2- 乳腺癌 21 基因检测复发风险评分的价值研究
PO-1374	丁 婕	时间依赖扩散加权成像联合多层激发技术在乳腺病变良、恶性诊断价值中的探索研究	PO-1402	占 婷	合成 MRI 联合酰胺质子转移成像对乳腺癌诊断的临床价值探讨
PO-1375	丁 婕	酰胺质子转移技术联合 T1 mapping 和 DWI 成像鉴别乳腺肿块型病变的价值	PO-1403	占 婷	酰胺质子转移技术联合乳腺体层成像诊断乳腺肿块样病变的价值
PO-1376	吴虹仪	乳腺 MRI 在乳房再造术后残余腺体评估的临床价值研究	PO-1404	马新星	MRI 在最大径 < 3cm 三阴性乳腺癌和纤维腺瘤中的鉴别诊断价值
PO-1377	曲 宁	多模态 MRI 对非肿块型乳腺钙化病变的诊断价值	PO-1405	党艳莉	MRI 引导下乳腺病变真空辅助旋切活检术的临床应用
PO-1378	曲 宁	多模态磁共振联合 X 线摄影对非肿块型乳腺钙化病变的诊断价值	PO-1406	李远飞	基于多序列 MRI 的组学模型用于鉴别呈平台型的乳腺良性病变的研究价值
PO-1379	孔丹青	分析磁共振扩散峰度成像在乳腺良恶性病变鉴别诊断中的价值	PO-1407	林小慧	男性乳腺经典型粘液瘤伴皮肤破溃一例
PO-1380	韩珺琪	基于超声和乳腺 X 线的深度学习模型预测乳腺癌无病生存率的研究	PO-1408	康钟元	ER 阳性 /HER2 阴性乳腺癌 Ki-67 高低表达的鉴别：四种 MRI 扩散模型的对比研究
PO-1381	付岩宁	锥光束乳腺 CT 对于乳腺癌不同分子亚型的鉴别诊断价值	PO-1409	张晓栋	基于多参数 MRI 深度学习模型术前预测乳腺癌腋窝淋巴结转移的研究
PO-1382	马 冬	光谱 CT 多参数成像对乳腺肿瘤检查的应用	PO-1410	陈艳虹	青年乳腺癌影像特征与预后因素的相关性研究
PO-1383	张爱娟	不同年龄及月经状态女性正常乳腺动态增强 MRI 半定量参数值变化	PO-1411	宁 宁	T2 mapping 联合 mDixon Quant MRI 在需手术年轻女性乳腺良恶性疾病中的应用价值
PO-1384	韩 露	DBT 和超声对小肿块 ($\leq 20\text{mm}$) 的诊断价值对比研究	PO-1412	宁 宁	基于多参数 MRI 影像组学评估年轻女性乳腺癌高复发风险因素的价值
PO-1385	郑广莹	基于瘤内、瘤周和 BPE 影像组学预测乳腺癌新辅助化疗病理完全反应：多种机器学习算法	PO-1413	盛美红	多模态特征融合模型在预测肿块型乳腺癌术后复发风险中的应用
PO-1386	何翠菊	乳腺 X 线摄影引导下导丝定位在乳腺簇状钙化病变的应用	PO-1414	汪 飞	分数阶微积分模型扩散加权成像结合多层同时加速技术对乳腺良恶性病变应用价值研究
PO-1387	张 蓉	乳腺断层摄影与全数字乳腺摄影在乳腺癌诊断中的价值对比	PO-1415	周嘉音	基于空间异质性的影像基因组学模型预测三阴性乳腺癌病理完全缓解及预后
PO-1388	张睿馨	基于多模态 MRI 影像组学区分非化脓性乳腺炎与炎性乳腺癌研究	PO-1416	覃雁秋	基于深度学习对乳腺 X 线摄影钙化的分割及良恶性分类
PO-1389	张睿馨	非对比增强 MRI 在评价数字乳腺 x 线 BI-RADS 0 类病变中的价值	PO-1417	向春锋	乳腺 MRI 动态增强中表现扩散系数图像纹理分析变化在鉴别乳腺良恶性病变中的诊断价值
PO-1390	王菲菲	致密性乳腺 1.5T 磁共振 DWI 成像时 b 值的选择	PO-1418	向春锋	基于乳腺磁共振 ADC 图像组学鉴别乳腺病变良恶性的多维联合模型应用场景可行性研究
PO-1391	赵媛媛	相位编码方向对乳腺弥散加权成像图像质量的影响	PO-1419	文婵娟	乳腺 CEM 环形强化肿块的临床病理特征及良、恶性鉴别
			PO-1420	顾思谦	入院常规光谱 CT 术前无创评估乳腺癌的价值探讨
			PO-1421	柏玉涵	乳腺 X 线摄影中“结构扭曲”的综合影像诊断与对比研究
			PO-1422	王 婷	ER 阳性、Her2 阴性、淋巴结阴性的早期浸润性导管癌 X 线征象与 21 基因检测结果间的相关性分析
			PO-1423	游荆晶	基于超声图像的自动化可复用深度学习 (AutoRDL) 框架预测乳腺癌新辅助化疗疗效及腋窝淋巴结转移
			PO-1424	郑甜甜	基于 CEM 的多任务迁移学习网络系统对乳腺癌患者新辅助化疗反应的早期预测
			PO-1425	郑甜甜	基于深度学习的全自动化管道系统在 CEM 图像病灶分割

中华医学会 第30次全国放射学学术大会

CHINESE CONGRESS OF RADIOLOGY 2023



PO-1426	尚怡研	DWI联合DCE-MRI影像组学特征术前预测乳腺癌HER-2低表达	PO-1459	曾利	和分类中的研究 断层技术在乳头溢液造影诊断中的应用价值		
PO-1427	彭舒怡	多层分段读出平面回波弥散加权成像在乳腺良恶性病变鉴别诊断中的应用	PO-1460	曾利	影响乳腺导管造影质量及成功率的因素		
PO-1428	李子胤	基于多区域DCE-MRI的深度学习网络在乳腺癌患者腋窝淋巴结新辅助化疗反应的预测	PO-1461	刘永波	乳腺精简序列MR检查对致密型乳腺癌筛查降本增效的临床价值研究		
PO-1429	李菊	3D-APT预测乳腺癌不同分子分型疗效的价值研究	PO-1462	姚薇薇	辐射剂量管理系统在乳腺摄影组成及乳腺实质构成对平均腺体吸收剂量的影响研究中的应用 基于压缩感知序列的超早期快速扫描序列在乳腺良恶性疾		
PO-1430	朱文颖	辐射剂量管理系统在乳腺摄影组成及乳腺实质构成对平均腺体吸收剂量的影响研究中的应用	PO-1463	张婷婷	腺体吸收剂量的影响研究中的应用 病诊断中的价值探讨		
PO-1431	阎岚	基于DCE-MRI治疗早期肿瘤大小变化预测乳腺癌新辅助疗效及临床综合预测模型的构建	PO-1464	彭程宇	动态增强MRI纹理分析对乳腺癌分子分型及腋窝淋巴结		
PO-1432	李晓冉	DBT影像组学预测乳腺癌腋窝淋巴结转移的应用	PO-1465	汤卫霞	状态的诊断价值 乳腺导管造影GICS及GGS分级系统的临床应用价值		
PO-1433	杜思瑶	T1、T2弛豫图一阶特征变化对不同亚型乳腺癌新辅助化疗反应的早期预测价值	PO-1466	王昭华	多参数MRI预测乳腺癌驱动蛋白Kif2a表达水平的研究 基于FFDM的影像组学模型鉴别BI-RADS4类病变良恶		
PO-1434	荣小翠	基于对比增强乳腺X线摄影影像组学对BI-RADS4A类病变的诊断价值	PO-1467	武静	性的临床价值研究 基于DBT的影像组学对乳腺癌分子分型的鉴别价值		
PO-1435	周哲	常规磁共振特征联合定量参数在乳腺肿瘤中的研究价值	PO-1468	张铭	多参数MR与转录因子E2F2在乳腺癌生物侵袭性行为预		
PO-1436	蒋雯虹	基于多参数磁共振生境分析早期预测乳腺癌新辅助治疗疗效的研究	PO-1469	李远飞	测中的应用 初探mDIXON-QUANT联合DWI在平台型乳腺导管原位		
PO-1437	刘金瑞	合成MRI在乳腺癌分子亚型的临床价值研究	PO-1470	荣小翠	癌与乳腺良性病变的价值 数字乳腺断层摄影引导下活检技术的临床应用初探		
PO-1438	周哲	定量MRI预测I-III期乳腺癌分子亚型和预后的可行性研究	PO-1471	张莉华	基于多参数MR列线图在HR阳性乳腺癌术后复发风险评估中的预测价值		
PO-1439	许泽艳	联合治疗前和治疗后深度学习量化的DCE-MRI血流动力学特征评估乳腺癌新辅助治疗后腋窝淋巴结状态及预后的研究	PO-1472	叶钉利	PO-1473	彭程宇	乳腺癌异质性联合MRI图像视觉特征在预测cN0乳腺癌腋窝淋巴结转移中的应用研究 罗瑶
PO-1440	彭灿	不同时间相选择下DISCO DCE-MRI药代动力学参数对乳腺癌新辅助化疗后病理完全缓解的预测价值	PO-1474	王文轩	DCE-MRI不同增强时相的组学特征在乳腺癌新辅助治疗后残余癌识别中的应用价值 Development and application of hepatocellular carcinoma risk prediction model based on clinical characteristics and liver related indexes		
PO-1441	毕文忠	64排CT平扫加增强扫描联合穿刺活检及形态学特征在诊断乳腺癌并淋巴结转移的价值	PO-1475	崔光彬	PO-1476	许莹	Preoperative assessment of peripheral vascular invasion of pancreatic ductal adenocarcinoma based on high-resolution MRI Prediction of intra-tumoural tertiary lymphoid structures and survival of intrahepatic cholangiocarcinoma using MRI-based radiomics
PO-1442	周晓平	乳腺导管原位癌或不伴微浸润的临床病理及影像学特征对比分析研究	PO-1477	胡培安	PO-1477	胡培安	The clinical and radiological features of pediatric adrenal cortical carcinoma: compared with benign/uncertain malignant potential counterparts.
PO-1443	王晓煜	基于灰度共生矩阵的乳腺浸润性导管癌和非哺乳期乳腺炎ADC图纹理特征研究	PO-1478	梁洪伟	Extracellular volume fraction determined by equilibrium contrast-enhanced CT to predict the survival outcomes in patients with resectable pancreatic ductal adenocarcinoma		
PO-1444	赵梦然	术前锥光束乳腺CT与乳腺MRI预测乳腺癌保乳手术切缘状态的临床价值	PO-1479	张博	Multi-slice spiral computerized tomography findings of colorectal cancer with chronic schistosomiasis		
PO-1445	林舒婷	X线特征与乳腺癌ER、PR、HER2、Ki-67表达的相关性	PO-1480	孙泽华	Correlation study between CT-based perirenal fat variables and preoperative blood biochemical indicators with T Stage of clear cell renal cell carcinoma		
PO-1446	姚娟	数字化乳腺断层融合X线摄影及影像组学一阶纹理特征对乳腺肿块样病灶的诊断效能分析	PO-1481	鲁梦恬	A risk prediction model for proliferative hepatocellular carcinoma and its prognostic value: using LI-RADS v2018 and other MR imaging features		
PO-1447	袁华	多参数MRI与超声成像的决策树模型与Logistic回归模型识别三阴性与非三阴性乳腺癌	PO-1482	张晗媚	PO-1482	张晗媚	Preoperative CT-based radiomics model for predicting muscle invasion in patients with upper tract urothelial carcinoma
PO-1448	王梦帆	基于DCE-MRI肿瘤早期退缩模式与不同亚型乳腺癌新辅助治疗后病理反应的相关性研究	PO-1483	伍颖仪	Simultaneous multislice accelerated free-breathing diffusion-weighted imaging of the liver lesions at 3T		
PO-1449	杨丹	双能CT图像评估乳腺癌ER表达水平的价值	PO-1484	梁莹莹	PO-1484	梁莹莹	A Gd-EOB-DTPA-MRI-based multivariable model using LI-RADS v2018 and other imaging features for preoperatively predicting Ki-67 expression in hepatocellular carcinoma
PO-1450	王苹苹	精准无对比剂增强乳房MRI成像技术研究	PO-1485	丁菲儿	Predicting overall survival in hepatocellular carcinoma patients using the functional liver imaging score model		
PO-1451	沈怡媛	DCE-MRI影像特征对乳腺癌HER2表达水平的鉴别诊断价值	PO-1486	朱建国	Multiparametric MRI for Staging of Bowel Inflammatory Activity in Crohn's Disease with MUSE-IVIM and DCE-MRI:		
PO-1452	武丽霞	数字乳腺断层摄影评价乳腺癌新辅助治疗疗效多因素分析					
PO-1453	郭亚欣	基于DWI联合T2WI瘤内及瘤周影像组学特征术前预测乳腺癌组织学分级的临床研究					
PO-1454	何子龙	基于乳腺DBT图像深度学习模型分类典型非典型结构扭曲的研究					
PO-1455	宁宁	基于FF图的瘤内瘤周影像组学预测年轻女性乳腺癌肿瘤侵犯的价值研究					
PO-1456	孔淑凤	乳腺浸润性导管癌磁共振影像表现与VEGF、Her-2表达水平的关联性分析					
PO-1457	邢滔	MRI影像组学术前预测浸润性导管癌腋窝前哨淋巴结转移的价值					
PO-1458	赵思奇	酰胺质子转移成像在不同雌激素受体状态下乳腺癌中的应					



PO-1487	俞 灿	A Preliminary Study Establishment and Validation of the LI-RADS Morphologic Type II Hepatocellular Carcinoma Early Recurrence Risk Scoring System.	PO-1508	张火根	hypertension Different treatment options for Primary vaginal malignant melanoma with abdominal multiple metastases: Two cases reports
PO-1488	董淑雯	Feasibility of abdominal aortic angiography utilizing ultra-low-dose contrast medium based on low-level virtual monoenergetic imaging: An prospective study	PO-1509	孙心言	Preliminary study of multi-parameter Spectral Detector Computer Tomography imaging in predicting lymphovascular space invasion in cervical cancer
PO-1489	李涵宇	Imaging and Pathological Feature Analysis of Idiopathic Portal Hypertension	PO-1510	孙心言	Study of the optimal monoenergetic images of cervical cancer on Dual-layer spectral detector Computed Tomography
PO-1490	陈武杰	Risk Stratification and Overall Survival Prediction in Advanced Gastric Cancer Patients Based on Whole-volume MRI Deep Learning Radiomics	PO-1511	刘海峰	Value of Gd-EOB-DTPA-Enhanced MRI and Diffusion-Weighted Imaging in Detecting Residual Hepatocellular Carcinoma After Drug-Eluting Bead Transarterial Chemoembolization
PO-1491	陈武杰	Hepatic Epithelioid Hemangioendothelioma: CT Manifestations and Clinicopathologic Findings	PO-1512	刘海峰	Dynamic contrast-enhanced MRI with Gd-EOB-DTPA for the quantitative assessment of early-stage liver fibrosis induced by carbon tetrachloride in rabbits
PO-1492	欧 坤	Shape changes in the levator ani muscle obtained by dual-energy computed tomography compared with 3T MR imaging in women with stress urinary incontinence	PO-1513	左立平	Preoperative multiphase liver MRI for predicting early recurrence of single hepatocellular carcinoma after curative resection
PO-1493	欧 坤	Age-related variations in levator ani muscle fat and muscle content of once vaginal delivered females evaluated using spectral CT imaging	PO-1514	周 悅	Early tumor shrinkage as a predictor of survival in patients with advanced esophageal squamous cell carcinoma treated with first-line checkpoint inhibitors
PO-1494	宋晨宇	Spatial Evaluation of the First-line Systemic Therapy Related Pathological Indicators in Hepatocellular Carcinoma with Multiparametric Magnetic Resonance Imaging	PO-1515	王 瑞	Multi-slice spiral CT study on the anatomical variation of the left renal vein
PO-1495	申晓迪	The correlation of gut microbiome and metabolites with MR enterography and their combined efficacy in evaluation of bowel damage of patients with Crohn's disease	PO-1516	乔晓梦	The Value of Combined Clinical-Radiomics-Deep Learning Model for Diagnosis of Clinically Significant Prostate Cancer
PO-1496	杨佳文	A Deep Learning Model Based on MRI for Prediction of Vessels Encapsulating Tumour Clusters and Prognosis in Hepatocellular Carcinoma: A Two-Centre Study	PO-1517	张玉梅	Prediction of Fuhrman nuclear grade for clear cell renal carcinoma by a muti-information fusion model that incorporates CT-based features of tumor and serum tumor associated material
PO-1497	吴 超	Preoperative MR-based deep transfer learning and radiomics feature prediction of disease-free survival in patients with early-stage cervical cancer	PO-1518	朱永健	Fast non-Gaussian diffusion-weighted imaging with deep learning-based reconstruction in locally advanced esophagogastric junction adenocarcinoma: image quality assessment and prediction of microsatellite instability status
PO-1498	孙 军	Susceptibility-weighted Imaging for Renal Iron Overload Assessment: A Pilot Study	PO-1519	周佳萍	A Radiomics Differentiation Model of “rich blood supply like” Pancreatic Ductal Adenocarcinoma Based on MRI
PO-1499	孙 军	The Role of MRI Texture Analysis Based on Susceptibility-Weighted Imaging in Predicting Fuhrman Grade of Clear Cell Renal Cell Carcinoma	PO-1520	金鹏飞	Quantitative differentiation of non-invasive bladder urothelial carcinoma and inverted papilloma based on CT urography
PO-1500	孙 军	Using the “2 standard deviations” rule with Dixon MRI to differentiate renal cell carcinoma types	PO-1521	孙泽华	Correlation between CT-Based Adipose Variables and Short-Term Postoperative Complications in Clear Cell Renal Cell Carcinoma
PO-1501	季长风	Application of convolutional neural network in diagnosing gastric poorly cohesive carcinoma in CT late arterial phase	PO-1522	郭艺璇	Estimating Vessels Encapsulating Tumor Clusters in Hepatocellular Carcinoma at Pretreatment CT: Prognostic Impact for Outcomes after Transarterial Chemoembolization
PO-1502	王 晴	A prognostic nomogram model for guiding treatment selection in unresectable hepatocellular carcinoma treated by transarterial chemoembolization plus lenvatinib with or without PD-1 inhibitor therapy	PO-1523	雷 燕	Predicting Microvascular Invasion in Hepatocellular Carcinoma Using an CT and MRI-Based Multimodality Deep Learning Model
PO-1503	王 晴	What imaging modality is more effective in predicting early recurrence of hepatocellular carcinoma after hepatectomy using radiomics analysis: CT or MRI or both?	PO-1524	赵雨蒙	Predictive value of computed tomography imaging features in Vessels that encapsulate tumor clusters pattern of HCC
PO-1504	王 晴	Feasibility of T1 Mapping with Histogram Analysis for the Diagnosis and Staging of Liver Fibrosis: Preclinical Results	PO-1525	赵雨蒙	Added value of CE-CT radiomics to predict high Ki-67 expression in hepatocellular carcinoma
PO-1505	刘海峰	A nomogram model integrating LI-RADS features and radiomics based on contrast-enhanced magnetic resonance imaging for predicting microvascular invasion in hepatocellular carcinoma falling the Milan criteria	PO-1526	赵 奔	Development of a radiomics-based model to predict occult liver metastases of pancreatic ductal adenocarcinoma: a multicenter study
PO-1506	刘海峰	Machine learning-based CEMRI radiomics integrating LI-RADS features achieves optimal evaluation of hepatocellular carcinoma differentiation	PO-1527	徐 媛	Correlation between quantitative multi-parameters of energy-spectrum CT and short-term prognosis of acute-on-chronic liver failure
PO-1507	丁玖乐	Association between renal surface nodularity and increased adverse vascular event risk in patients with arterial hypertension	PO-1528	李永瑞	Comparison of Image Quality and Radiation Dose of CT Colonography Using Different Low-dose CT Scanning

中华医学会 第30次全国放射学学术大会

CHINESE CONGRESS OF RADIOLOGY 2023

PO-1529	袁佳欣	Parameters and Statistic-based Reconstruction Algorithm levels: A Study Using Pig Colonic Phantoms and An Anthropomorphic Phantom	PO-1550	冬冬	growth factor receptor 2 expression in node-negative gastric cancer
PO-1530	瞿琦	Role of tomoelastography in differentiating between pancreatic neuroendocrine neoplasms and solid pseudopapillary neoplasms	PO-1551	白鑫	Quantitative iodine concentrations measurements with dynamic spectral CT imaging to detect viability of hepatocellular carcinoma after transcatheter arterial chemoembolization
PO-1531	张添辉	Preoperative gadoxetic acid-enhanced MRI features for evaluation of vessels encapsulating tumor clusters and microvascular invasion in hepatocellular carcinoma: nomogram for risk assessment	PO-1552	卢文正	Adrenal hyperplasia and lipid-poor adenoma: Can they be differentiated with CT density and volume?
PO-1532	王杨迪	A comparative study of constructing prediction models for muscle invasive of bladder cancer based on different machine learning algorithms combined with MRI radiomic	PO-1553	刘历	Multiparametric spectral CT imaging for the evaluation of perineural invasion in rectal cancer
PO-1533	秦石泽	CT-based radiomics signature of visceral adipose tissue and bowel lesions for identifying patients with Crohn's disease at high risk of primary nonresponse to infliximab	PO-1554	卢俊	Exploring a Multiparameter MRI-Based Radiomics Approach to Predict Tumor Proliferation Status of Serous Ovarian Carcinoma
PO-1534	曹凯	Prediction of Postoperative Reintervention Risk for Uterine Fibroids using CE-T1WI Radiomics Nomogram before High-Intensity Focused Ultrasound Ablation	PO-1555	顾潜彪	Computed tomography-based body composition parameters can predict short-term prognosis in ulcerative colitis patients
PO-1535	韩佳悦	Highly Accurate Large-Scale Pancreatic Cancer Detection via Noncontrast CT and AI	PO-1556	陈爽	Construction and validation of a novel CT-measured body composition Radiomics model to estimate prognosis of Pancreatic Ductal Adenocarcinoma after resection
PO-1536	李曼曼	Development of a diagnostic model based on Contrast-Enhanced CT to distinguish Clear Cell Renal Cell Carcinoma from Small Renal Masses	PO-1557	代洁	Risk stratification for Overall Survival and Recurrence-Free Survival after R0 Resection for Solitary Intrahepatic Mass-Forming Cholangiocarcinoma Based on Preoperative MRI and Clinical Features
PO-1537	钮约	Prediction of postoperative disease-free survival in colorectal cancer using CT radiomics nomogram: a multicenter study	PO-1558	李斯婕	MRI Radiomics Features of Mesorectum Can Predict Metachronous Metastasis in Patients with Rectal Cancer
PO-1538	孙明华	Comparison of preoperative CT- and MRI-based multiparametric radiomics in the prediction of lymph node metastasis in rectal cancer	PO-1559	郑悠	Preliminary Study on CT Radiomics Model for Evaluating Peritoneal Cancer Index
PO-1539	曹敏	PI-RADS version 2.1 evaluation of prostate 'nodules in nodule': clinical, imaging and pathological features	PO-1560	汤伟	Diagnostic Accuracy of liver and spleen stiffness on Magnetic Resonance Elastography for the Detection of Gastroesophageal Varices: A Systematic Review and Meta-analysis
PO-1540	陈芳莹	Curled edge Sign of Epstein-Barr virus-associated gastric cancer on CT imaging	PO-1561	汤伟	Development and Validation of CT-based Radiomics Deep Learning Signatures to Preoperatively Predict Lymph Node Metastasis in Non-functional Pancreatic Neuroendocrine Tumor: A Multi-cohort Study
PO-1541	卢俊	Predictive value of modified MRI-based split scar sign (mrSSS) score for pathological complete response after neoadjuvant chemoradiotherapy for patients with rectal cancer	PO-1562	赵瑞	MRI-based multiregional radiomics for pretreatment prediction of distant metastasis after neoadjuvant chemoradiotherapy in patients with locally advanced rectal cancer
PO-1542	雷柏	Association between radiomics features of visceral fat derived from computed tomography enterography (CTE) and short-term prognosis in UC disease	PO-1563	张耀丹	MRI-based multiregional radiomics for pretreatment prediction of distant metastasis after neoadjuvant chemoradiotherapy in patients with locally advanced rectal cancer
PO-1543	王莎	Arterioportal Shunt as a Prognostic Factor in HCC Patients Treated With DEB-TACE	PO-1564	Wei Cai	Preoperative prediction of renal fibrous capsule invasion in clear cell renal cell carcinoma using CT-based radiomics model
PO-1544	刘梓莞	Progress in the application of dual-energy CT in pancreatic diseases	PO-1565	丁小博	Development of a CT-based scoring system to predict progression after intraoperative radiotherapy in locally advanced pancreatic cancer with initial stable disease
PO-1545	黄润倩	Preoperative CT features for characterization of vessels that encapsulate tumor clusters in primary hepatocellular carcinoma	PO-1566	何春雷	4.The Value of Deep Learning Image Reconstruction Algorithm on Double-Low Renal artery CTA
PO-1546	景国东	A modified targetoid feature emphasizing thin-rim APHE to improve the diagnostic performance of LI-RADS for malignant hepatic tumors	PO-1567	陈峻帆	Diagnostic benefit of dual-energy spectral CT imaging over conventional contrast-enhanced CT in patients with bladder cancer
PO-1547	吴茜	Predicting mismatch-repair status in rectal cancer using multiparametric MRI-based radiomics models: A preliminary study	PO-1568	朱永健	Mono+ algorithm assessment of the diagnostic value of dual-energy CT for high-risk factors for colorectal cancer: a preliminary study
PO-1548	杨博文	Differential diagnosis of dual-phenotype hepatocellular carcinoma (DPHCC) from non-DPHCC and intrahepatic cholangiocarcinoma (ICC) based on MRI radiomics and deep learning models	PO-1569	王悦	Bi-regional quantitative dynamic contrast-enhanced MRI-based nomogram for prediction of microvascular invasion in solitary hepatocellular carcinoma and its significance for prognosis and treatment
PO-1549	任铁柱	Evaluation of image quality and diagnostic performance of deep learning-based reconstruction of prostate T2WI for transition zone prostate cancer			Texture Analysis Based on Iodine Based Material Decomposition Images of Spectral CT Imaging for Predicting the Expression of Ki-67 in Colorectal Cancer
		Spectral-CT iodine concentration to evaluate human epidermal			Dual-layer spectral-detector CT for predicting microsatellite instability status and prognosis in locally advanced gastric cancer



PO-1570	刘明璐	An MRI-based pelvimetry nomogram for predicting surgical difficulty of transabdominal resection in patients with middle and low rectal cancer	PO-1593	韩昕君	Chemoembolization for Hepatocellular Carcinoma using artificial intelligence
PO-1571	王继萍	Intussusception caused by an inverted colonic diverticulum: a case report	PO-1594	滕 跃	Automated Segmentation of Liver Segment on Portal Venous Phase MR Images Using a 3D Convolutional Neural Network
PO-1572	刘明璐	Which Definition of Upper Rectal Cancer Is Optimal in Selecting Stage II or III Rectal Cancer Patients to Avoid Postoperative Adjuvant Radiation?	PO-1595	周明慧	Virtual monoenergetic imaging in dual-layer spectral CT can improve diagnostic performance of active Crohn's disease
PO-1573	唐华丽	Renal fat deposition measured on Dixon-based MRI is significantly associated with early kidney damage in obesity	PO-1596	吴 娟	Multifrequency three-dimensional MR elastography assessment liver fibrosis heterogeneity in Rat Models
PO-1574	施跃全	Magnetic resonance diagnosis of polypoid endometriosis	PO-1597	钟莲婷	Diagnosis of primary biliary melanoma with distinct imaging features: a case report and literature review
PO-1575	王志颖	Three-dimensional MR Elastography Identifies Portal Hypertension in Cirrhosis: A Prospective Multicenter Study	PO-1598	潘俊含	T1 mapping predicts progression-free survival of clear cell renal cell carcinoma after nephrectomy
PO-1576	陈文新	Differentiation of Crohn's disease from intestinal tuberculosis by clinical, endoscopic and radiological features	PO-1599	卢园飞	Intraindividual Comparison of CT and MRI for Predicting Vessels Encapsulating Tumor Clusters in Hepatocellular Carcinoma: Which Imaging Modality is Better?
PO-1577	马德良	The Diagnostic Value of Extracellular Volume Fraction Based on CT Scan in Differentiating Clear Cell Renal Carcinoma from Minimal Fat Renal Angiomyolipoma	PO-1600	郭 瑞	Acid-etched Layered Double Hydroxides Armed with Dual "Doorkeepers" for Immunomodulatory-NIR III Photodynamic Therapy of Hepatocellular Carcinoma
PO-1578	黄红艳	Pretreatment MRI-based radiomics for prediction of rectal cancer outcome: a discovery and validation study	PO-1601	杨丽勤	MRI quantitative hemodynamic parameter histogram assement of hepatocellular carcinoma devolopment in a rabbit VX2 liver cancer model
PO-1579	黄红艳	Multiphase and multiparameter MRI-based radiomics for prediction of tumor response to neoadjuvant therapy in locally advanced rectal cancer	PO-1602	卢文正	The Comprasion of Modified ESUR Score and Mehralivand Grade for Predicting Extracapsulare Extension in Prostate Cancer
PO-1580	陶雨溪	Nomogram Using CT Radiologic Features and Clinical Risk Factors for Preoperative Estimation of Microvascular Invasion in Hepatocellular Carcinoma: Multicenter Development and External Validation Study	PO-1603	陈海燕	Differentiate gastric stromal tumors from adenocarcinomas of the stomach: spectral CT quantitative parameters
PO-1581	甘师嫚	Predicting Early Response to Transarterial Chemoembolization in Hepatocellular Carcinoma Using a Multimodality Deep Learning Model With CT and MRI	PO-1604	陈海燕	Machine learning methods based on CT features differentiate G1/G2 from G3 pancreatic neuroendocrine tumors
PO-1582	刘海峰	Multi-parametric MRI-based intratumoral and peritumoral radiomics for predicting pathological differentiation of hepatocellular carcinoma	PO-1605	陈海燕	T1 mapping of the pancreas in patients with pancreatic cancer—does pancreatic extracellular volume fraction or signal intensity ratio increase the diagnostic value?
PO-1583	董文璐	Evaluation of Hypoxia Status in a Rat Liver Fibrosis Model Using IVIM and T1 Mapping	PO-1606	陈海燕	Preoperative Prediction of Microvascular Invasion in Pancreatic Neuroendocrine Tumors Through Analysis of Portal Venous Phase CT Images
PO-1584	付 宇	The Value of Pelvic Skeletal Muscles to Identify the Low-Risk Rectal Cancers with Poor Prognosis	PO-1607	冯秋霞	A nomogram for predicting the prognosis of pancreatic neuroendocrine tumors patients with liver metastases
PO-1585	汪鑫斌	A CT-based radiomics nomogram involving the cystic fluid area for differentiating appendiceal mucinous neoplasms from appendicitis with intraluminal fluid	PO-1608	庞慧婷	Dual-energy CT Quantitative Parameters to Evaluate Occult Peritoneal Metastasis in Advanced Gastric Cancer Preoperatively
PO-1586	徐 媛	Construction of a Nomogram Predicting the Healing Time of Clinically Relevant Pancreatic Fistula after Pancreaticoduodenectomy Based on Abdominal Visceral Fat Area	PO-1609	向 啓	Combination of MRI with clinical parameters helps in predicting recurrence in patients with stage IB2 and IIA2 cervical cancer receiving neoadjuvant surgery and concurrent chemoradiotherapy
PO-1587	刘 波	Predictive Nomogram for Healing Time of Esophagojejun Anastomotic Leakage after Total Gastrectomy for Gastric Cancer Based on Skeletal Muscle Index	PO-1610	潘 晨	The CT features and prognosis of acquired cystic disease-associated renal cell carcinoma: a review
PO-1588	谷潇雨	Correlative study of clinical, serum biochemical, CT parameters and pathological findings between hepatoid adenocarcinoma of the stomach and common gastric adenocarcinoma	PO-1611	余庆龄	Evaluation of Pancreatic Iodine Uptake and Related Influential Factors in Multiphase Dual-energy CT
PO-1589	郑潇涵	The Value of Intravoxel Incoherent Motion Imaging in Diagnosing Placenta Accreta Spectrum Disorders and Predicting Their Intraoperative Bleeding	PO-1612	蒋常琴	A machine learning-derived radiomics signature of visceral adipose tissue predicts the cardiovascular events risk in patients with T2DM
PO-1590	陈彦玲	Histogram analysis of MR quantitative parameters: Are they correlated with prognostic factors in prostate cancer?	PO-1613	庄莹莹	Prediction value of iodine based images of dual-energy CT on venous phase in esophageal variceal bleeding: a prospective analysis of one-year follow up
PO-1591	付 佳	Feasibility of machine learning based CT radiomics to predict gastric poorly cohesive carcinoma	PO-1614	张惠茅	Contrast enhanced CT imaging to predict early recurrence of Primary liver cancer post-ablation
PO-1592	孙中琪	Dynamic prediction of Overall survival After Transarterial Chemoembolization for Hepatocellular Carcinoma using artificial intelligence	PO-1615	尹晓南	CT Radiogenomics: a potential tool for prediction of molecular subtypes in gastric stromal tumor

中华医学会 第30次全国放射学学术大会

CHINESE CONGRESS OF RADIOLOGY 2023

PO-1616	金玉梅	Development of a combined nomogram integrating radiomics, deep learning, and clinical risk factors to predict neoadjuvant chemoradiotherapy outcomes in patients with rectal cancer	PO-1636	孟祥盼	CT-radiomics-based surrogates of distinct vascular patterns assisted surgical procedure decision-making and prognostic prediction
PO-1617	李晓霞	Computed tomography-based tumoral and peritumoral radiomics: Clinical machine-learning models for the prediction of postoperative recurrence and metastatic risk in localized clear cell renal cell carcinoma	PO-1637	刘茜玮	Inferior vena cava thrombosis after gastrointestinal ulcer perforation
PO-1618	孟铁豹	Apparent diffusion coefficient histogram metrics of multiplexed sensitivity encoding diffusion weighted imaging in evaluating pelvic lymph node metastasis of cervical cancer	PO-1638	柳洋	Value of magnetic resonance imaging for diagnosis of LR-3 and LR-4 lesions coexisting with hepatocellular carcinoma
PO-1619	陈志晔	Implementation of CT colonography for colorectal cancer screening in a Chinese hospital: initial outcomes from the first pilot study	PO-1639	方旭	Computed tomography radiomics nomogram to predict the intraoperative hypertensive crisis of abdominal pheochromocytoma and paraganglioma: a two centers study
PO-1620	徐敏	Value of routine CT parameters for PD-L1 expression status in gastric cancer	PO-1640	方旭	CT-based radiomics nomogram to predict the intraoperative massive blood loss of abdominal pheochromocytoma and paraganglioma: a two centers study
PO-1621	孙中琪	Optimal treatment strategy for Child-Pugh stage B of hepatocellular carcinoma based on recurrence time and tumor size: A propensity score matching study	PO-1641	王伟	The Value of MRI Radiomics in Differential Diagnosis of Autoimmune Pancreatitis and Pancreatic Cancer
PO-1622	孙嘉晨	Nomogram based on energy spectral computed tomography for predicting mutation status of c-KIT exon 11 in gastrointestinal stromal tumors	PO-1642	董秋杰	Profiling intussusception in adults: focusing on treatment decision based on the clinical manifestations and MDCT features
PO-1623	聂彤	Influence of skeletal muscle and intermuscular fat on postoperative complications and long-term survival in rectal cancer patients	PO-1643	宫嘉祺	Fat Free Muscle Area measurement based on liver MRI workflow to assess sarcopenia
PO-1624	郭义万	Prognostic value of platelet-to-lymphocyte ratio in patients with unresectable hepatocellular carcinoma undergoing transarterial chemoembolization and tyrosine kinase inhibitors plus immune checkpoints inhibitors	PO-1644	董秋杰	Clinical value of intratumoral necrosis in the prognosis of pancreatic ductal adenocarcinoma based on pathological and MDCT characteristics
PO-1625	刘家成	Using Intra-voxel Incoherent Motion MRI to Dynamically Evaluate the Anti-hepatic Fibrotic Effects of Donafenib Combined with Carvedilol in a Thioacetamide-induced Rat Model	PO-1645	谢一婧	Whole-lesion iodine map histogram analysis in the risk classification of gastrointestinal stromal tumor: Comparison single-slice iodine concentration measurement
PO-1626	黄伟燕	Influence of regional adipose tissue distribution on prognosis in patients with locally advanced rectal cancer	PO-1646	常玲玉	Predicting Preoperative Pathologic Grades of Bladder Cancer Using Intravoxel Incoherent Motion and Amide Proton Transfer-Weighted Imaging
PO-1627	张兰	Locally Advanced Rectal Cancer: Add Value of Amide Proton Transfer Weighted MR imaging in the Evaluation of Complete Response to Neoadjuvant Chemo- and Radiation Therapy	PO-1647	郝雨薇	Diagnostic Value of Clear Cell Likelihood Score v1.0 and v2.0 for Pathological Subtypes of Small Renal Masses: A Multicenter Comparative Study
PO-1628	吴佳威	Imaging follow-up and literature review of 2 intractable case of visceral angiosarcoma	PO-1648	徐兴华	Combined intravoxel incoherent motion and diffusion kurtosis imaging in preoperative assessment of bladder cancer with different grades and stages
PO-1629	李文萃	Inter-operator variation and error sources in response assessment for advanced hepatocellular carcinoma to combined targeted immunotherapy	PO-1649	谭显政	Decoding Tumor Stage by Peritumoral and Intratumoral Radiomics in Resectable Esophageal Squamous Cell Carcinoma
PO-1630	朱振宁	Development of combining CT features and CA 125 to diagnose occult peritoneal metastasis in patients with advanced gastric cancer preoperatively	PO-1650	罗怡婧	Feasibility of three-dimension chemical exchange saturation transfer MRI for predicting tumor and node staging in rectal adenocarcinoma: an exploration of optimal ROI measurement
PO-1631	陶超	Nomogram Based on Body Composition and Prognostic Nutritional Index Predicts Survival After Curative Resection of Gastric Cancer	PO-1651	董秋杰	Role of clinical and MDCT features in the prediction of patients with intestinal lipoma developing intussusception
PO-1632	包佳怡	A non-contrast CT radiomics nomogram for early differentiation of acute necrotizing pancreatitis from acute interstitial edematous pancreatitis	PO-1652	汪洋	The role of MRI Compared to CT in Diagnosing metastasis of Ovarian Cancer
PO-1633	高旭坤	Hepatic alveolar echinococcosis accompanied by lung and kidney metastases: a case description of imaging findings	PO-1653	魏龙宇	Development of a nomogram based on body composition analysis of quantitative CT combined with clinical prognostic factors to predict disease-free survival after surgery and adjuvant chemotherapy in patients with gastric cancer
PO-1634	陶迪	The prediction of mortality outcomes at CT in patients with severe acute pancreatitis: Non-Local Means Denoising and Histogram Analysis	PO-1654	汪希雯	A Bibliometric Analysis of Medical Imaging in Hepatocellular Carcinoma from 2000 to 2022
PO-1635	李世超	Pathological Grading of Clear Cell Renal Cell Carcinoma: Role of Perirenal Fat, Automated Segmentation and Ensemble Learning	PO-1655	曾旭	A radiomics nomogram based on MSCT and clinical factors can stratify fibrosis in inflammatory bowel disease
			PO-1656	贾鹏	Preliminary study on deep learning image reconstruction algorithm for improving abdominal thin layer image quality
			PO-1657	王焰	A comparative study of two-dimensional single-shot fast spin echo (2D SSFSE) with deep learning based reconstruction and three-dimensional fast imaging employing steady state acquisition (3D FIESTA) in the assessment of active



PO-1658	刘璐	inflammation in Crohn's Disease		distinguish patients with primary aldosteronism and healthy controls
PO-1659	蒋涵羽	Application of MR Radiomics in Predicting Extramural Vascular Invasion in Rectal Cancer	PO-1680	陈俐璇 Quantification of MCTS1 Scoring and Improvement in Predictive Ability for the Duration of Hospitalization in Patients with Acute Hypertriglyceridemic Pancreatitis: A Focus on CT Values
PO-1660	张彩霞	Development of a model including MRI features for predicting advanced-stage recurrence of hepatocellular carcinoma after liver resection	PO-1681	温德英 Noninvasive Evaluation of Renal Oxygenation by Blood Oxygenation Level-dependent Magnetic Resonance Imaging: Comparison between Patients with Primary Aldosteronism and Healthy Controls
PO-1661	王欣欣	The Relationship between CT Imaging Characteristics and the Preoperative Response to Anti-PD1 Therapy in Colorectal Cancer with High Microsatellite Instability (MSI-H)	PO-1682	姜丽 Performance of Node-RADS Scoring System: Lymph node invasion in preoperative rectal cancer patients
PO-1662	朱艳艳	Predicting MVI and Early Recurrence of Hepatocellular Carcinoma: A Real-world Study Based on HBP Imaging Radiomics Combined with Liver Function Indices	PO-1683	张泽华 Value of diffusion kurtosis MR imaging and conventional diffusion weighed imaging for evaluating response to first-line chemotherapy in unresectable pancreatic cancer
PO-1663	李政晓	Assessing Vessels That Encapsulate Tumor Clusters via Preoperative MRI in HCC Based on Integrating Deep Learning and Radiomics Features	PO-1684	谢婷婷 The development and external validation of automatic future liver remnant (FLR) assessment system for non-anatomic resection (NAR) based on deep learning
PO-1664	蒋涵羽	Preoperative CT histogram analysis to predict the expression of Ki-67 in solid pseudopapillary tumors of the pancreas	PO-1685	谢婷婷 Automatic future liver remnant (FLR) assessment prior to major hepatectomy : comparison between hepatic VCAR and deep learning based assessment system
PO-1665	段婷	Prognostic MRI features to predict postresection survivals for very early to intermediate stage hepatocellular carcinoma	PO-1686	谢婷婷 Automatic future liver remnant (FLR) assessment prior to major hepatectomy: comparison between hepatic VCAR and human doctor
PO-1666	李芷凡	Deep learning-based compressed SENSE improved diffusion-weighted image quality and liver cancer detection: a prospective study	PO-1687	谢婷婷 Fully Automated Segmentation and Volumetry of key anatomic structures of the liver at CT prior to hepatectomy using deep learning
PO-1667	温又佳	Are Systematic Reviews of Diagnostic Tests for Rectal Cancer Trustworthy? A Cross-sectional Study	PO-1688	刘子怡 Arteriovenous Shunt in Hepatocellular carcinoma: Characteristics based on DSA, CT and MR Imaging
PO-1668	马璐阳	Development and validation a model in predicting the expression of Ki-67 in pancreatic ductal carcinoma with radiological features and dual-energy computed tomography quantitative parameters	PO-1689	翟雪 Value of renal Intravoxel incoherent motion diffusion-weighted imaging in different regions in distinguishing Immunoglobulin A nephropathy patients from healthy volunteers
PO-1669	唐希	The Influence of Female Pelvic Configuration at All Ages on Pelvic Organ Prolapse	PO-1690	聂佩 Pre-/post- transplant CT-based deep learning radiomics prognostic nomograms for hepatocellular carcinoma: comparison with existing criteria
PO-1670	李星	Extracellular volume fraction determined by equilibrium contrast-enhanced dual-energy CT for the prediction of histological grade	PO-1691	郭义万 Comparison of T1rho, DKI, and IVIM Imaging Parameters for Liver Fibrosis Staging in a Rat Model
PO-1671	张妃媛	Hepatoid carcinoma of the pancreas: A case report and literature review	PO-1692	张晓霄 Quantification of arterial enhancement fraction and extracellular volume fraction extracellular: utility for differentiating pathological grade of renal clear cell carcinoma
PO-1672	王苗苗	Diffusion-weighted MRI to predict the efficacy of irreversible electroporation for the ablation of pancreatic cancer	PO-1693	陈永露 Histogram analysis of whole placental T2-weighted magnetic resonance image-derived in patients with Pre-eclampsia
PO-1673	程连华	Prediction of Vessels Encapsulating Tumor Clusters (VETC) Pattern and Prognosis of Hepatocellular Carcinoma Based on Preoperative Gd-EOB-DTPA MR	PO-1694	方如旗 Utility of reduced FOV diffusion-weighted MRI in distinguishing endometrial cancers from invasive histologic subtype
PO-1674	颜荣华	Evaluation of Amide Proton Transfer-Weighted Imaging and T2 mapping for preoperative risk stratification of endometrioid adenocarcinoma	PO-1695	刘译阳 Deep learning reconstruction to improve characterization of gastrointestinal system tumors in low-keV virtual monoenergetic dual-energy CT: a comparative study with routine imaging
PO-1675	王倩	Inflammatory pseudotumor-like follicular dendritic cell sarcoma of liver	PO-1696	马利娣 Imaging-based surrogate classification predicts response to adjuvant hepatic arterial infusion chemotherapy in hepatocellular carcinoma with microvascular invasion
PO-1676	张茜茹	Value study in predicting CK19 positive hepatocellular carcinoma and recurrence based on MRI radiomics and clinical characteristic nomograms	PO-1697	卢玉婷 Quantitative evaluation of acute pancreatitis based on dual-energy computed tomography
PO-1677	杜竞赛	CT radiomics nomogram to predict the intraoperative hypertensive crisis of abdominal pheochromocytoma and paraganglioma	PO-1698	刘相如 Dual-Energy Computed Tomography Imaging in Early-Stage Hepatocellular Carcinoma: A Preliminary Study
PO-1678	俞婕妤	Comparative study of the diagnostic efficacy of CT and MRI in the identification of supraclavicular lymph node metastasis in patients with esophageal squamous cell carcinoma	PO-1699	余前娥 Case report: Idiopathic mesenteric phlebosclerosis: clinical experience and literature review
PO-1679	温德英	The application of multi-layer perception network classifier based on CT in the diagnosis of extrapancreatic perineural invasion in pancreatic ductal adenocarcinoma	PO-1700	蔡佳楠 The diagnostic value of dual-energy CT for the preoperative T
		Comparative study of stretched-exponential and kurtosis models of diffusion-weighted imaging in renal assessment to		

中华医学会 第30次全国放射学学术大会

CHINESE CONGRESS OF RADIOLOGY 2023

PO-1701	周紫玲	staging of gastric cancer	PO-1722	张 珍	imaging	
PO-1702	栾一祎	Volumetric visceral fat machine learning phenotype on CT for differential diagnosis of inflammatory bowel disease	PO-1723	郭凌楠	High-resolution DWI for hepatic lesions detection: prospective comparison with gadoxetic acid-enhanced MRI using DWI	
PO-1703	栾一祎	To investigate the correlation between DCE-MRI quantitative parameters and tumor microvascular characteristics and the value of combined prediction of lymph node metastasis in cervical cancer	PO-1724	谭 佳	CDP-choline modulates cholinergic signaling and gut microbiota to alleviate DSS-induced inflammatory bowel disease	
PO-1704	乞文旭	Preliminary Study of Functional Magnetic Resonance Imaging in Evaluating Pathological Features and Hypoxic Microenvironment of Cervical Squamous Cell Carcinoma	PO-1725	杨慧义	The application value of dual-layer detector CT in reducing metal artifacts of abdominal coils	
PO-1705	潘 靓	Feasibility of 3D magnetic resonance elastography for assessing cervical stiffness in healthy and diseased participants	PO-1726	张家伟	Tumor markers combined with quantitative parameters of double-layer detector CT predict vascular nerve infiltration in patients with colorectal cancer	
PO-1706	潘 靓	Prediction of Fuhrman grade of renal clear cell carcinoma by multimodal MRI radiomics: a retrospective study	PO-1727	吕 蓉	DISCO 定量参数与半定量参数在前列腺癌的诊断应用价值评估	
PO-1707	潘 靓	Radiogenomics of clear cell renal cell carcinoma and non-clear cell renal cell carcinoma: Associations between multimodel MRI texture features and mutations	PO-1728	吕 蓉	基于钆塞酸二钠增强 MRI 利用 LI-RADS v2018 辅助特征提高小肝细胞癌(≤20mm)的诊断效能	
PO-1708	朱庆强	Diffusion kurtosis versus diffusion-weighted MRI in differentiating clear cell renal cell carcinoma and renal angiomyolipoma with minimal fat: a comparative study	PO-1729	吕 蓉	辅助征象替代阈值增长后 LI-RADS 对 HCC 的诊断效能	
PO-1709	姜 昊	A Comprehensive Prediction Model Based on MRI Radiomics to Predict Tumor Therapeutic Response After Neoadjuvant Chemoradiotherapy in Rectal Cancer	PO-1730	洪 薇	基于钆塞酸二钠增强 MRI 简化 LI-RADS 诊断肝细胞癌的价值	
PO-1710	李小虎	GSI-Deep learning image reconstruction to improve accuracy of iodine quantification and image quality in Spectral CT of the abdomen: preliminary clinical application study	PO-1731	郝 琼	肥胖人群减重术前的定量 CT 体质成分与代谢综合征分的关系	
PO-1711	李小虎	TrueFidelity for contrast-enhanced CT of the upper abdomen: similar image quality with lower radiation dose in direct comparison with ASIR-V	PO-1732	郝 琼	经阴道三维超声子宫肌瘤血管网评估高强度聚焦超声消融疗效的应用价值	
PO-1712	何 旭	Gadoxetate-enhanced Abbreviated MRI for Hepatocellular Carcinoma Surveillance in At-Risk Patients: A multi-center Study in China	PO-1733	杨文华	经阴道三维超声子宫肌瘤血管网评估高强度聚焦超声消融疗效的应用价值	
PO-1713	石宇婷	Collateral vessels on preoperative enhanced computed tomography for predicting high WHO/ISUP grade in ccRCC	PO-1734	黄华驰	MRI 征象及临床因素对胎盘植入性疾病的预测研究	
PO-1714	邓虔娇	The Value of High-resolution MRI in The Diagnosis of Adjacent Organ Invasion in Middle and Lower Rectal Tumors Involving Anterior Wall	PO-1735	王 辉	全模型迭代重建 (IMR) 算法在改善 CT 门静脉成像中的应用研究	
PO-1715	李 欢	Dual-Energy Computed Tomography Iodine Imaging Combined with Laboratory Data for Preoperative Evaluation of Microvascular Invasion in Patients with Hepatocellular Carcinoma: A Two-Center Study	PO-1736	李 娟	王 辉	APT 定量参数评估直肠癌预后相关因素
PO-1716	裴金霞	The value of H2O based automated machine learning in predicting microvascular infiltration in hepatocellular carcinoma	PO-1737	曲林涛	曲林涛	磁共振成像对粘连性小肠梗阻手术与否的预判价值探讨
PO-1717	肖雨瑶	MR radiomics to predict microvascular invasion status and biological process in combined hepatocellular carcinoma-cholangiocarcinoma.	PO-1738	曹建新	曹建新	联合 80KV 管电压及 Karl 迭代重建降低 320 排 CT 腹部增强扫描辐射剂量的可行性
PO-1718	胡祺雯	MR imaging findings of stage I intravenous leiomyomatosis: A Retrospective Single-Center Study in 19 Cases	PO-1739	宋怡沛	宋怡沛	假性肝硬化的临床及影像诊断现状
PO-1719	王 泽	Quantitative analysis of MRI parameters in the diagnosis of clinically significant prostate cancer in lesions with PI-RADS 4	PO-1740	吕 瑞	吕 瑞	多参数成像在肾脏恶性肿瘤诊断及鉴别诊断中的价值
PO-1720	张 雨	Accelerated 3D MR cholangiopancreatography using a deep learning-based reconstruction in patients with cholelithiasis	PO-1741	徐辉景	徐辉景	基于双参数 MRI 联合 PSA 等衍生参数构建模型预测灰区前列腺癌的诊断价值研究
PO-1721	田名可	Radiomics analysis of magnetic resonance imaging improves diagnostic performance of lymph node metastasis and prognosis in patients with cervical cancer	PO-1742	吕 蓉	吕 蓉	LI-RADS v2018 对 HCC 高危人群肝脏病变的诊断效能: 增强 CT 和 MRI 的对比研究
PO-1722	汪 征	Influence of rectal susceptibility artefacts on diagnosis of prostate cancer based on biparametric magnetic resonance	PO-1743	张 博	张 博	血吸虫肠病合并结直肠癌的计算机 X 线断层扫描影像学表现
			PO-1744	李晓阳	李晓阳	影像学诊断老年隐匿性急性肾衰竭
			PO-1745	吕 瑞	吕 瑞	3.0T MR DWI 序列在肾脏肿块型病变的诊断价值
			PO-1746	钟林辉	钟林辉	多频 MRE 术前预测肝细胞癌 MVI 的初步研究
			PO-1747	王思凯	王思凯	探讨多层次螺旋 CT 评估胃间质瘤病理危险度分级的可行性
			PO-1748	鲁梦恬	鲁梦恬	基于 LI-RADS v2018 对肝细胞癌 CK19 表达风险分层及术后复发预测价值
			PO-1749	余 韩	余 韩	基于 LI-RADS v2018 对肝细胞癌 CK19 表达风险分层及术后复发预测价值
			PO-1750	王 娇	王 娇	嗜酸性实性和囊性肾细胞癌: 一例新型肾脏肿瘤的病例报告
			PO-1751	苑乐添	苑乐添	肝血管瘤 CT 增强诊断分型与肝固有动脉直径相关性研究
			PO-1752	苏 彤	苏 彤	扩散峰度成像在胃印戒细胞癌的诊断效能
			PO-1753	苏 晟	苏 晟	不同治疗方案下输尿管结石能谱 CT 参数的改变
			PO-1754	魏伟安	魏伟安	透明细胞肾癌的诊断和病理相关分析: 一项基于 CT 直方图的初步研究
			PO-1755	郭婷婷	郭婷婷	多材料分离技术重建虚拟平扫 CT 图像: 评估儿童肝脏肿瘤的诊断价值
			PO-1756	田士峰	田士峰	增强 CT 量化分级奥沙利铂相关肝窦损伤
				吴树剑	吴树剑	酰胺质子转移加权和脂肪定量测量技术评估子宫内膜癌淋巴血管间隙浸润
						基于临床 - CT 影像组学动态列线图预测 T1~2 期直肠癌淋巴结转移



PO-1757	赵 娜	MiT 家族易位性肾癌影像诊断与鉴别诊断	PO-1792	刘 强	磁共振弹性成像在宫颈癌诊断中的初步应用研究
PO-1758	李晓明	Gd-EOB-DTPA 增强 MRI 和 CT 对粗梁 - 团块型肝细胞癌患者的预测价值	PO-1793	王 晴	基于术前增强 MRI 影像组学分析的列线图模型预测肝细 胞癌切除术后复发风险的价值
PO-1759	景建梅	双能量螺旋 CT 肝脏门静脉海绵样变性成像扫描技术	PO-1794	任 袁	影像组学在卵巢癌早期诊断及铂耐药预测中的研究进展
PO-1760	赵 青	基于转录组学的直肠癌新辅助放化疗抵抗差异基因筛选与 图像识别	PO-1795	刘 琪	体素内不相干运动弥散加权成像定量参数在术前评估胰腺 导管腺癌可切除性的价值
PO-1761	赵 青	基于 MRI 影像组学的直肠癌新辅助放化疗抵抗预测与肿 瘤微环境研究	PO-1796	孙心言	光谱 CT 及 MRI 评价宫颈癌分期与临床分期一致性的初步 研究
PO-1762	金 军	基于 CTE 影像组学模型预测肠道克罗恩病炎症活动度的 价值	PO-1797	孙心言	多参数光谱 CT 技术预测宫颈癌 LVSI 的初步研究
PO-1763	张海妮	定量磁化率成像技术在直肠癌不同病理特征中的初步应 用探讨	PO-1798	伏庆琳	超高 b 值弥散加权成像评估促红细胞生成素治疗肾缺血再 灌注损伤效果
PO-1764	张海妮	比较小视野多激发平面回波序列 DWI 与常规单激发平面 回波序列 DWI 在直肠癌中的应用价值	PO-1799	陈 婧	T2mapping 成像动态定量评估肾脏缺血再灌注损伤的价值
PO-1765	陈秋颖	基于 L3 水平骨骼肌 CT 图像的深度学习模型在胃癌患者 生存结局中的预测价值	PO-1800	沈夏枫	前列腺影像报告和数据系统的阳性预测值研究
PO-1766	陈秋颖	联合肿瘤及 L3 水平骨骼肌 CT 图像构建深度学习模型辅 助胃癌预后评估及化疗决策	PO-1801	胡 然	基于对比增强 CT 的影像组学模型预测急性胰腺炎后糖尿病 的初步研究
PO-1767	马天文	矢状位 RS-EPI DWI 与 SS-EPI DWI 对直肠病变 DWI 图像 质量的影响	PO-1802	左立平	化疗药物相关性急性胰腺炎的 CT 表现：一项横断面观察 性研究
PO-1768	严金国	TIMAPPING 定量分析移植肾肾功能的价值	PO-1803	安坤宝	1.5T 磁共振自由呼吸高分辨率序列 AX 3D T1 (QuickStar) 联合 JET T2WI FS 对肠道肿瘤的研究价值
PO-1769	付宝月	基于定量 CT 身体组分分析及临床预后因子的列线图预测 局部晚期宫颈癌同步放化疗后生存	PO-1804	葛润钦	探讨 DWI 不同 B 值序列在 MRI 胰腺肿瘤的研究
PO-1770	曾建威	比较小视野 IRIS-DWI 序列和 TSE-DWI 序列在直肠癌中 的应用价值	PO-1805	郝慧婷	集成 MRI 驰豫时间定量技术在前列腺癌术前神经侵犯评 估中的应用价值
PO-1771	丁思萱	基于多序列 MRI 的影像组学模型术前预测早期子宫内膜 癌 ki-67 表达水平	PO-1806	张志文	直肠癌新辅助治疗后淋巴结的磁共振评价与病理对照
PO-1772	郭 铁	影像组学联合深度学习在 CT 平扫上自动识别隐匿性脾挫 裂伤	PO-1807	徐家军	CT 联合腹部脂肪定量预测肾细胞癌侵袭性
PO-1773	薛 婷	影像组学综合列线图预测 BRAF 突变型结直肠癌患者的术 后早期复发：多中心研究	PO-1808	文 勇	CT 小肠造影、小肠胶囊内镜在小肠疾病诊断中的应用 价值
PO-1774	陆小燕	卵巢子宫内膜样癌的 MRI 影像及肿瘤指标分析	PO-1809	刘春蕾	异基因造血干细胞移植后患者肠壁积气症的 CT 表现及其 诊断价值
PO-1775	张永胜	双参数 MRI 影像组学对前列腺癌 ISUP 分级的预测价值	PO-1810	张 虎	CT 影像组学结合机器学习诊断 T1-T2 期结直肠癌淋巴结 转移价值研究
PO-1776	李少朋	基于钆塞酸二钠增强磁共振功能性肝脏影像评分联合 T2* mapping 序列在小肝癌术前肝功能评估中的应用价值	PO-1811	张 虎	临床 -CT 影像组学列线图预测结直肠癌无病生存价值研究
PO-1777	张 瑾	基于 CT 的影像组学结合腹部脂肪面积预测肝细胞癌的微 血管侵犯	PO-1812	张晓金	CT 影像组学在 II 期结肠癌风险分层中的应用研究
PO-1778	张 瑾	基于 CT 的机器学习预测肝细胞癌微血管侵犯	PO-1813	刘扶摇	基于 ZOOM-mDixon 的 T2*/R2* 成像术前预测胰腺导管腺 癌淋巴结转移的价值
PO-1779	史曙光	影像组学在胃癌术后早期复发与晚期复发者中的比较	PO-1814	乔晓梦	双参数 MRI 机器学习模型和不同年资医师 PI-RADS 对前 列腺癌和临床显著性前列腺癌诊断价值的多中心研究
PO-1780	白浩言	对比分析增强 CT 于 MRI 对于妇科恶性肿瘤的评估价值	PO-1815	陈永明	深度学习重建算法在提高肝脏及门脉 CT 图像质量中的应 用研究
PO-1781	苑乐添	血清 GDF15 、 sB7-H1 联合 MSCT 对胃癌患者淋巴结转移 的诊断价值	PO-1816	邓 景	对妊娠期高血压及先兆子痫孕妇的分层管理：基于胎盘 IVIM 灌注及虚拟磁共振弹性成像优于超声及实验室检查
PO-1782	查婷婷	MR 体素内不相干运动成像评价兔肾动脉狭窄肾纤维化的 研究	PO-1817	李晓凤	能谱 CT 容积定量参数评估结直肠癌组织学分级的可行 性
PO-1783	王 斌	DKI 及 ASL 评价对比剂相关的急性肾损伤向持续性肾功 能不全进展中的应用研究	PO-1818	李晓凤	能谱 CT 容积定量参数鉴别结直肠黏液腺癌和管状腺癌的 价值
PO-1784	王 斌	多模态磁共振评价法舒地尔在对比剂相关急性肾损伤向持 续性肾功能不全进展中的保护作用	PO-1819	王梓又	基于图像空间重建技术的小视野 DWI (rFOV IRIS-DWI) 序列在直肠癌 T 分期中的应用价值
PO-1785	傅 君	磁共振动态增强及弥散加权成像对胰腺癌诊断及其侵袭性 预测价值的临床研究	PO-1820	邝俊杰	基于 DCE-MRI 影像组学联合临床特征术前鉴别肝内胆管 细胞癌与混合型肝癌
PO-1786	孙 军	磁敏感加权成像评价肾脏过量铁沉积的价值	PO-1821	黄 鹏	甲胎蛋白联合 EOB-MRI 影像特征诊断微小 (<1cm) 肝细 胞癌的新标准建立
PO-1787	李 辉	增强 CT 形态学特征及 CT 值评估结直肠癌分化程度	PO-1822	李笑石	肾上腺静脉术前规划中的新技术：CT 容积双能量成像结 合全息可视化三维重建
PO-1788	周 群	双源 CT 评估不同部位的克罗恩病与肝脏脂肪变性的相 关性	PO-1823	喻泓清	基于 MRI 影像组学列线图预测早期宫颈癌非肿大淋巴结 转移
PO-1789	施婷婷	双源 CT 评估克罗恩病不同部位病变肠壁脂肪变性的相 关性	PO-1824	李笑石	低剂量容积扫描 CTA 扫描技术在动脉型勃起功能障碍诊 断与治疗中的应用
PO-1790	季长风	基于 CT 的腹部脂肪定量与 Borrmann IV 型胃癌术后病理 的关系	PO-1825	于 庆	光谱 CT 虚拟平扫代替普通平扫价值
PO-1791	刘 强	在体孕期子宫颈 MRI 三维模型构建及其意义	PO-1826	包圆圆	巨大肠系膜多形性未分化肉瘤一例
			PO-1827	韦秋莹	CT 影像组学模型在双表型肝癌和肝内胆管细胞癌鉴别诊 断中的价值

中华医学会 第30次全国放射学学术大会

CHINESE CONGRESS OF RADIOLOGY 2023

PO-1828	魏泽华	肝脏淀粉样变性计量学分析	PO-1863	唐兆伦	凶险性前置胎盘 MRI 征象与产后出血的相关性分析
PO-1829	彭 聰	直肠腺癌伴骨化生一例	PO-1864	刘 炯	基于多序列 MRI 影像组学列线图预测肝外胆管癌 PD-L1 表达
PO-1830	徐玉娇	自适应迭代技术联合能谱在腹部 CT 三期增强扫描对肝实质图像质量的应用与研究	PO-1865	李茜玮	APT 联合 DWI 鉴别前列腺癌与前列腺增生价值评估
PO-1831	郭义万	肝多灶性吻合状血管瘤一例	PO-1866	赵 莹	血清总胆汁酸与 TACE 治疗无效的肝细胞癌患者增强磁共振影像组学特征的相关性研究
PO-1832	王晓洁	胰腺癌化疗患者预后的危险因素分析及影像相关列线图风险模型构建	PO-1867	马丽娅	腹膜后血管瘤 CT 及 MRI 影像学表现
PO-1833	贾永军	深度学习重建算法在提高上腹部平扫及增强 CT 图像中的价值	PO-1868	冬 冬	肌肉减少症影像学评估对免疫治疗的晚期肝细胞癌患者疗效和预后的影响
PO-1834	张继云	基于钆塞酸二钠增强 MRI 预测 VETC 阳性肝细胞癌的相关研究	PO-1869	王 威	不同呼吸模式下呼气后憋气扫描磁共振肝脏弹性成像的对比研究
PO-1835	陈千娟	评估磁共振成像特征预测肝细胞癌 PD-L1 表达的诊断价值	PO-1870	谢 欢	以患者为中心的上腹部普美显磁共振检查前准备方法对降低患者动脉期补扫率的作用与价值
PO-1836	冯俊榜	联合影像组学及深度学习在 CT 平扫上自动识别隐匿性肝挫裂伤	PO-1871	谢 欢	分析上腹部普美显增强检查动脉期图像伪影发生与普美显注射刺激的关系研究
PO-1837	瞿 琦	基于钆塞酸二钠增强 MRI 列线图预测 MVI 阴性肝细胞癌术后复发	PO-1872	姜 吴	基于 MR 影像组学模型预测直肠癌术前同时性远处转移
PO-1838	陈菁华	双层探测器光谱 CT 定量参数在结直肠肿瘤 Ki-67 和 HER2 表达中的评估	PO-1873	王 野	酰胺质子转移加权成像评估子宫内膜癌 PTEN 基因表达的价值
PO-1839	陈菁华	双层探测器光谱 CT 定量参数在结直肠肿瘤分化程度、T 分期及淋巴结转移 的应用价值初步研究	PO-1874	邱才新	多模型 MRI 扩散加权成像评估大鼠标准肝部分切除术后残肝再生的价值
PO-1840	于 泳	基于多模态 MRI 影像学表现的 Logistic 回归分析模型对鉴别小肝癌和肝局灶性结节增生的应用价值	PO-1875	魏 博	双层探测器光谱 CT 虚拟平扫代替常规平扫 评估结直肠癌的可行性研究
PO-1841	于 泳	肠道神经鞘瘤的影像学表现	PO-1876	卢 婷	瘤周脂肪特征联合全身炎症反应指数预测结直肠癌新辅助治疗的病理完全反应
PO-1842	胡玉敏	基于磁共振构建胎盘植入性疾病产后大出血的影像组学 - 临床联合预测模型	PO-1877	张 生	双螺旋 128 排 CT 对于肾损伤的影像诊断以及治疗措施的相关研究
PO-1843	贺星云	CT 对局部进展期胃癌转化治疗效果的预测	PO-1878	黄瑞岁	基于能谱 CT 定量参数及临床特征预测肝硬化食管静脉曲张出血风险的列线图模型研究
PO-1844	单佳媛	定量磁敏感图与慢性肾脏病病理对照的初步研究	PO-1879	董玉莹	子宫宫腔畸形 1 例并文献学习
PO-1845	秦 琴	基于增强 CT 的 LI-RADS M 类肝细胞癌与肿块型肝内胆管细胞癌鉴别诊断及预后研究	PO-1880	高 瑾	卵巢癌术后病理检查结果与 CT 及超声影像特征的比较分析
PO-1846	徐文娟	一站式驰豫定量 (MAGIC) 技术预测前列腺移行带 PI-RADS3 分病灶灶恶性能力的临床价值研究	PO-1881	张倩瑜	体素内不相干运动扩散加权成像评估肝细胞癌 TACE 治疗早期疗效的价值
PO-1847	彭文静	基于光谱 CT 参数的结直肠癌术后极早期远处转移风险分层新型标志物研究	PO-1882	左孟哲	基于低剂量双层光谱探测器 CT 平衡期的细胞外体积分数在胃部病变诊断中的可行性分析
PO-1848	袁 逍	提高胎盘植入性病变诊断效能的 MRI 影像特征及整合方法研究	PO-1883	徐红霞	静脉内平滑肌瘤病一例报告
PO-1849	张倩雯	基于基线腹部对比增强 CT 的临床 - 影像组学列线图评估胃癌同时性卵巢转移：一项双中心研究	PO-1884	李丽军	基于 QCT 探讨腹部脂肪与胡桃夹现象的关系
PO-1850	李信友	腹部增强 CT 动脉期后不同间隔时间与门静脉强化幅度的相关性研究	PO-1885	李茜玮	基于 IVIM 序列的超高 b 值 AQP-MRI 预测骨转移性前列腺癌价值评估
PO-1851	王丹丹	影像组学联合深度学习在肝细胞癌 TACE 疗效评估中的应用价值	PO-1886	唐华佑	宫颈淋巴瘤 MR 影像分析及文献荟萃
PO-1852	彭 容	CT 严重指数 (CTSI) 与急性生理和慢性健康评分 (APACHE II) 对急性胰腺炎严重程度评价	PO-1887	李 强	MSCT 对盆腔淤血综合征的病因价值分析
PO-1853	邓 艳	基于增强 CT 影像组学的诺莫图前预测胰腺癌神经侵犯	PO-1888	梁 田	基于 CT 的肾囊性病变 2019 版 Bosniak II ~ III 类阅片者间一致性分析
PO-1854	黄海波	对比剂个性化在肝脏增强 CT 扫描的初步应用研究	PO-1889	张绍婷	腹腔镜下直肠癌全系膜切除术困难程度的影响因素的术前评估：腹膜反折的重要性
PO-1855	黄海波	肝脏增强 CT 扫描对比剂个性化应用价值	PO-1890	冯 庆	基于临床 -CT 征象模型对胃肠道移植物抗宿主病诊断的研究
PO-1856	黄豆豆	基于双能量 CT 定量参数对结直肠癌神经浸润的预测价值	PO-1891	许远帆	一体化 PET/MR 对肝癌术后复发的诊断价值
PO-1857	李涵宇	特发性与硬化性门静脉高压影像学对比分析及病理对照研究	PO-1892	周 刚	腹膜后多发平滑肌瘤并玻璃样变性一例
PO-1858	雷 岩	多参数 MRI 定量分析在卵巢 - 附件磁共振成像报告和数据系统 (O-RADS MRI) 4 分病变中的诊断价值	PO-1893	王美蓉	基于 MSCT 评估术前结肠癌壁外血管侵犯对临床预后的价值研究
PO-1859	雷 岩	多参数 MRI 图像纹理分析在区分 0-RADS MRI 4 分病变良恶性中的价值	PO-1894	郝 琪	联合应用 CT 淋巴管成像与 ⁹⁹ Tcm-DX 淋巴显像在原发性乳糜尿诊断中的应用价值
PO-1860	王乐瑶	LI-RADS v2018 影像学特征对甲胎蛋白阴性肝细胞癌患者预后价值	PO-1895	盛 静	基于临床及 CT 影像特征的诺模图预测克罗恩病活动性的价值研究
PO-1861	王乐瑶	定性和定量磁共振参数对微血管侵犯阴性肝细胞癌患者的预后价值	PO-1896	郝 琪	CT 淋巴管成像 (CTL) 和非增强 MR 淋巴管成像 (MRL) 对于原发性乳糜尿的诊断价值初探
PO-1862	易坤明	基于多参数 MSCT 检查在胃神经鞘瘤与间质瘤鉴别诊断的价值。	PO-1897	解添淞	光谱 CT 虚拟单能量成像在神经内分泌肿瘤肝转移检出中的优势：与常规 CT 和普美显 MR 的对比研究



PO-1898	曹丹	基于 CE-CT 的机器学习模型术前预测患者半肝切除术后的残肝再生	PO-1933	张紫亭	研究
PO-1899	王婷	脾脏少见原发肿瘤的影像与病理对照分析	PO-1934	陈若余	T1/T2 期直肠癌周围脂肪与皮下脂肪和内脏脂肪的影像组学差异性研究
PO-1900	卢婷	基于增强 CT 的衰减系数预测局部晚期结直肠癌新辅助化疗联合贝伐珠单抗与信迪利单抗的治疗反应	PO-1935	吴玉锦	CT 腹部脂肪定量测量与腹主动脉钙化相关性的研究
PO-1901	刘洁	运用 T1 mapping 定量成像技术探究宫颈癌复发的危险因素	PO-1936	谢宗源	动态定量增强磁共振成像对外周带前列腺癌的诊断价值
PO-1902	刘洁	运用定量和定性磁共振成像参数预测宫颈癌治疗后 2 年随访期内复发的初步研究	PO-1937	周永进	DWI 联合 mDixon-Quant 序列评估直肠癌 ki-67 表达的价值
PO-1903	白潇涵	双能 CT 定量参数在预测胰十二指肠切除术后急性胰腺炎中的应用价值	PO-1938	李佳奕	胆总管原发性神经内分泌癌一例
PO-1904	谷小磊	早期 CT 定量参数变化预测胰腺神经内分泌瘤肝转移索凡替尼治疗效果及无进展生存期	PO-1939	陆静瑜	扩散峰度成像多定量参数预测肝细胞癌 TACE 术后早期疗效的价值
PO-1905	袁恩雨	基于增强 CT 图像的肾细胞癌病理 T3a 侵犯影像组学预测模型的建立与时间验证	PO-1940	季丹	CT 及 MRI 诊断肝内胆管导管内乳头状瘤一例
PO-1906	张宏瑜	术前 R.E.N.A.L 评分联合光谱 CT 参数预测肾透明细胞癌的 WHO/ISUP 核分级	PO-1941	于岩岩	提高成人 Curranino 综合征检出率及影像诊断的准确性
PO-1907	崔英珠	基于增强 CT 门静脉影像组学模型在门脉高压诊断中的应用	PO-1942	刘静	预测孤立性肝细胞癌患者肝切除术后超早期复发的诺模图
PO-1908	徐鸿昊	表观扩散系数直方图对 EPE 分级系统预测前列腺癌包膜外侵犯的附加价值	PO-1943	徐慧	腰椎 X 线影像组学联合机器学习方法预测中晚期慢性肾病患者腹主动脉钙化及其预后
PO-1909	朱先锋	高分辨 T2WI 形态学参数预测直肠癌临床分期的价值	PO-1944	杜娟	基于深度学习技术与压缩感知的三维各向同性高分辨率的膀胱 T2WI 磁共振成像的可行性探究
PO-1910	陆遥	双能 CT 定量参数及形态学特征对 IB-IIA 期宫颈癌淋巴结转移的预测价值	PO-1945	孙铭洁	多参数 MR 为基础的预测模型术前评估胃肠间质瘤的危险度分级
PO-1911	张荣魁	双能 CT 定量参数及形态学特征对 IB-IIA 期宫颈癌淋巴结转移的预测价值	PO-1946	徐慧	基于 QCT 身体组分参数和临床因素构建直肠癌根治术患者预后的列线图预测模型
PO-1912	余传林	基于深度学习的放射组学模型预测肝癌术后早期复发	PO-1947	李杭	Feasibility of accelerated 3D isotropic high-resolution T2-weighted bladder magnetic resonance imaging using the deep learning-constrained compressed sensitivity encoding technique (SENSE)
PO-1913	李开	使用延迟双源 CT 细胞外体积分数评估肝纤维化分期及程度的应用价值	PO-1948	刘波涛	双能量 CT 的不同定量参数在直肠癌术前评估中的应用价值
PO-1914	房昌星	Native T1 mapping 在胰腺导管腺癌诊断中的可行性研究	PO-1949	位影	双层探测器光谱 CT 碘密度图像组学对直肠癌区域淋巴结转移的诊断价值
PO-1915	房昌星	能谱 CT 在胰腺癌与肿块型慢性胰腺炎鉴别诊断中的应用价值	PO-1950	吴吟晨	肝异常灌注与原发性肝癌复发、转移之间的关系
PO-1916	王旭	基于光谱 CT 的放射组学模型术前预测胃癌 Lauren 分型	PO-1951	王婷婷	双层探测器光谱 CT 双期参数对术前预测胃癌分化与 E-cadherin 蛋白表达的价值
PO-1917	付宇	定量形态学特征鉴别小肾透明细胞癌与肾乏脂肪血管平滑肌脂肪瘤的价值	PO-1952	蓝燕芬	特发性腹膜后纤维化的多层次螺旋 CT 影像及临床诊断价值
PO-1918	丁文博	基于体素内不相干运动成像的直肠癌脉管浸润预测模型构建	PO-1953	陈丽华	对比分析磁共振 Ishim-DWI 序列与双能量 CT 定量参数在预测胃癌 Lauren 分类的应用价值
PO-1919	董雪	MSCT 多平面重组技术在腹股沟疝鉴别及嵌顿疝预测中的价值	PO-1954	陈丽华	T1-mapping 联合 DWI 预测前列腺癌神经侵犯的可行性研究
PO-1920	董明松	影像学方法对孤立性肝细胞癌微血管侵袭的术前预测能力：一项系统回顾和荟萃分析	PO-1955	戴玲玲	T2-mapping 联合 DWI 预测前列腺癌神经侵犯的可行性研究
PO-1921	罗诗维	临床 -CT 影像组学列线图术前预测结肠癌淋巴结转移应用研究	PO-1956	陈丽华	肾脏少常见原发恶性肿瘤 CT、MRI 影像学表现及其病理学特征
PO-1922	程词	基于对比增强 CT 的定量测量鉴别小透明细胞肾细胞癌和小良性肾脏肿瘤	PO-1957	郑悠	初探 mDIXON-Quant 联合弥散加权成像鉴别前列腺癌有无神经侵犯的可行性
PO-1923	黄冬冬	吞服异物引起的各种并发症的临床及影像特征分析	PO-1958	陈丽华	4D-Flow MR 成像预测肝硬化门脉高压患者胃肾及脾肾分流的价值
PO-1924	李烨	双层探测器光谱 CT 在鉴别原发肝癌与富血供肝转移瘤中的价值	PO-1959	梅超	酰胺质子转移成像联合弥散加权成像预测前列腺癌神经侵犯的可行性研究
PO-1925	李晨晖	应用能谱 CT 细胞外体积分数评估卵巢癌 WT-1 状态的初步探索	PO-1960	刘玲	基于增强 CT 影像组学对肾透明细胞癌恶性程度的鉴别
PO-1926	安琪	基于磁共振多 b 值 DWI 数据的生境成像与肝细胞癌 VETC 占比的相关性研究	PO-1961	宋庆玲	双源 CT 胰腺脂肪定量对 2 型糖尿病患者冠脉狭窄的预测价值
PO-1927	张钦和	DTI 定量参数预测宫颈鳞状细胞癌周围神经侵犯的可行性研究	PO-1962	周丽莎	基于深度学习重建的高分辨率 SSFSE MRI 在卵泡计数中的应用价值
PO-1928	安琪	基于 APT 影像组学评估宫颈癌淋巴结转移	PO-1963	杨仁杰	基于能谱 CT 细胞外容积分数评估上皮性卵巢癌 P53 状态
PO-1929	张钦和	基于 MRI 的肾上腺体积对肌、脂、骨成分改变的影响	PO-1964	宋庆玲	基于能谱 CT 碘图参数评估高级别浆液性卵巢癌腹膜转移的价值
PO-1930	张钦和	CT 影像 - 代谢组学对急性胰腺炎严重程度的预测价值	PO-1965	王锐	基于能谱 CT 碘水值及 ECV 纹理分析预测直肠癌神经侵犯
PO-1931	安琪	基于磁共振脂肪分数图的肝脏脂肪、胰腺脂肪和内脏脂肪与血清总胆汁酸的相关性研究	PO-1966	赵林伟	LI-RADS v2018 CT 征象与 HCC 的关联性和诊断效能
PO-1932	李军	基于肾上腺体积的影像组学模型对 2 型糖尿病诊断价值的			

中华医学会 第30次全国放射学学术大会

CHINESE CONGRESS OF RADIOLOGY 2023



PO-1967	董新峰	小视野结合压缩感知技术短时间屏气高分辨 3D-MRCP 的可行性研究	PO-2002	陈荷冰	双层探测器光谱 CT 在恶性淋巴瘤活性状态评估中的应用探索
PO-1968	李阳阳	“善变”的肝血管瘤——肝脏硬化性血管瘤	PO-2003	王雅宁	基于深度学习的 CT 水平脾挫裂伤分类网络框架的建立
PO-1969	叶 露	光谱 CT 多参数定量评估胃癌 HER-2 表达的相关性研究	PO-2004	施雨廷	磁共振酰胺质子转移加权成像对卵巢肿瘤性质的鉴别价值
PO-1970	李 烨	基于盆底 MR 三维模型分析子宫无韧带状态下受腹压影响的应力改变	PO-2005	程静云	基于重建的深度学习技术在克罗恩病磁共振小肠成像中的应用
PO-1971	穆西虎	双源 CT 肝动脉三期扫描及增强灌注扫描诊断肝硬化背景下小肝癌的价值	PO-2006	金 嵩	术前 CT 影像特征对于肾透明细胞癌 Fuhrman 分级的预测价值
PO-1972	乔冠中	基于三期增强 CT 影像组学和临床特征在小肾透明细胞癌鉴别诊断中的应用分析	PO-2007	刘一婷	术前 CT 评估胃癌新辅助化疗后腹主动脉分支周围软组织反应在手术方面的临床意义
PO-1973	彭云松	基于营养学深度学习模型的慢加急性肝衰竭患者 90 天不良预后预测	PO-2008	王一棣	非子宫附件部位子宫内膜异位症影像表现
PO-1974	陈 铨	新型 18F 放射性标记分子探针用于高表达 GPC3 肝细胞癌的 PET 成像	PO-2009	周 浩	双层探测器光谱 CT 70keV 单能量扫描技术在胰腺癌术前诊断中的应用
PO-1975	管 真	构建预测结直肠癌 POLE 致病突变的影像组学模型	PO-2010	刘一婷	CT 检查改良公式法判断食管胃结合部腺癌 Siewert 分型的临床价值
PO-1976	白 鑫	基于机器学习的影像特征在鉴别肾上腺增生和乏脂肪腺瘤中的诊断价值	PO-2011	向 窦	社区全人群与 2 型糖尿病人群的慢性肝脏疾病检出率及临床特征：一项基于瞬时弹性成像技术的前瞻性研究
PO-1977	王进进	卵巢甲状腺肿的术前影像学诊断及鉴别	PO-2012	陶雨晴	孤立性肝癌超标准复发术前预测评分系统
PO-1978	管 真	结肠癌影像 T 分期诊断流程及其效能评价	PO-2013	郝 清	全腹平扫 CT 在胃肠间质瘤靶向治疗疗效评估中的应用价值
PO-1979	郝璐雯	CT 在食管尖锐异物诊断中的应用：病例回顾分析与 CT 食管碘水造影模其实验研究	PO-2014	张 兰	直肠癌 APTw 成像的基线值及其预测新辅助治疗抵抗的可行性研究
PO-1980	左 翊	增强 T2* 血管加权成像预测肝细胞癌肝切除术后早期复发的价值	PO-2015	郭嘉骏	探讨磁共振 mDIXON-Quant 序列 R2 值对卵巢上皮肿瘤性质的鉴别价值
PO-1981	王芋楠	APT 联合 T1-mapping 预测前列腺癌神经侵犯的可行性研究	PO-2016	张 硕	基于能谱 CT 多期增强碘水图的影像组学特征预测肾透明细胞癌侵犯肾包膜
PO-1982	宋嘉琦	APT 联合 T2-mapping 预测前列腺癌神经侵犯的可行性研究	PO-2017	徐校胜	胃 T2WI 图像质量优化：HASTE-GRE-Separated、HASTE-TSE-Separated、TSE-BLADE 和 TSE 序列的对比研究
PO-1983	李 金	基于肝脏普美显的人工智能研究	PO-2018	张 硕	基于 IVIM-DWI 的纹理分析预测肝细胞癌术后复发的价值
PO-1984	袁 杰	MRI DWI 评估肝纤维化的最佳 b 值组合	PO-2019	张 硕	多参数磁共振脂肪定量技术预测宫颈癌淋巴结转移
PO-1985	岳 鑫	计算机视觉处理生成的能谱 CT 斜率参数图图像质量及定性诊断克罗恩病的效能评价	PO-2020	刘 飞	MRI 体素内不相干运动对高原妊娠征胎盘微循环及微结构的研究
PO-1986	张扬帆	术前超重 / 肥胖和脂肪组织分布对胃癌预后的价值：一项回顾性队列研究	PO-2021	张 豪	MR 弹性成像与钆塞酸二钠增强 T1 mapping 评估肝纤维化定量的对比研究
PO-1987	周婷婷	体素内不相干运动成像与宫颈癌病理学特征的相关性	PO-2022	王一哲	基于 CT 的体成分分析与肠梗阻患者术后并发症的相关性研究
PO-1988	曾淑敏	直肠癌 / 直肠系膜脂肪 CT 影像组学预测局部淋巴结转移	PO-2023	李园秋	基于 CTE 的影像特征及体成分分析可提高肠白塞与克罗恩病的鉴别效能
PO-1989	于思文	基于 CT 放射学线图对肾透明细胞癌患者病理 T1-3 分期的个体化预测	PO-2024	许启帆	初探 mDixon-Quant 技术脂肪分数对鉴别卵巢上皮肿瘤良恶性的价值
PO-1990	邵 芳	基于 CT 影像组学联合身体成分预测 pMMR/MSS 型结直肠癌预后	PO-2025	徐 迅	不同 MRI 对比剂在预测肝细胞癌微血管侵犯中的应用探究
PO-1991	岳 鑫	计算机视觉处理生成的能谱 CT 斜率参数图诊断克罗恩病的价值	PO-2026	王美佳	探讨单源双能 CT 标准化碘浓度值对卵巢癌 WT-1 表达的预测价值
PO-1992	岳 鑫	计算机视觉处理生成的能谱 CT 斜率参数图评估克罗恩病活动度的价值	PO-2027	方如旗	基于多参数 MRI 预测子宫肌瘤 HIFU 术后复发
PO-1993	李 靖	局部进展期胃癌新辅助化疗疗效的预测：能谱 CT 与 DWI 的对比研究	PO-2028	薛 铭	基于 CT 平扫的影像组学在预测急性胰腺炎预后的应用价值
PO-1994	陈海静	光谱 CT 显示左结肠动脉的最佳虚拟单能量	PO-2029	薛长菊	术前磁共振扩散加权成像结合血清 CA125 对子宫内膜癌及其淋巴结转移的评估价值
PO-1995	孙 阳	ct 主动脉造影作为判断腹主动脉瘤动脉壁不稳定性的诊断工具	PO-2030	张 菊	不同严重程度初发性急性胰腺炎患者复发性急性胰腺炎的 CT 特征
PO-1996	焦 桥	CT 征象评估预测胃肠道穿孔部位：100 例手术患者的回顾	PO-2031	郭俊婷	应用多个非高斯弥散模型预测膀胱癌的组织学分级
PO-1997	朱 宇	CT 小肠造影预测克罗恩病发病率和短期手术中的价值	PO-2032	邓 娟	能谱 CT 参数对胃癌新辅助化疗疗效的预测价值
PO-1998	黄薇薇	多模态磁共振成像纹理特征分析鉴别肝细胞癌与肝脏局灶性结节性增生的初步研究	PO-2033	邓 娟	临床联合能谱 CT 参数在预测胃癌 Lauren 分型中的价值
PO-1999	袁 隆	基于 CT 影像组学评估结直肠癌肝转移一线化疗的早期疗效	PO-2034	高 齐	CT 影像组学在鉴别有无功能肾上腺腺瘤中的临床应用研究
PO-2000	范雪姣	多参数光谱 CT 对于胰腺神经内分泌肿瘤与腺癌的鉴别价值	PO-2035	李小甜	开发和验证影像组学空间综合模型预测直肠癌新辅助治疗患者病理完全反应：基于机器学习的人工智能模型研究
PO-2001	马 樱	基于增强 CT 影像组学模型预测泌尿系梗阻患者分肾功能的价值			



PO-2036	谭正式	在诊断和治疗 Zinner 综合征中对精囊腺囊肿进行分类：六例病例报告和文献复习	PO-2070	陈安良	因分层
PO-2037	谭正式	CT 平扫自发性孤立性肠系膜上动脉夹层周围脂肪模糊的临床意义	PO-2071	李文婧	双能 CT 碘（水）图细胞外体积分数纹理分析预测直肠癌肿瘤出芽分级
PO-2038	刘川	卡维地洛预防基于新型无创模型分层的临床显著门静脉高压患者的肝硬化失代偿	PO-2072	颜荣华	Gd-EOB-DTPA 增强 MRI 对不典型增生结节和肝细胞癌的鉴别诊断效能的 Meta 分析
PO-2039	谢宗源	基于 IVIM 序列评估局部进展期直肠癌新辅助放化疗效果的研究	PO-2073	张彩霞	原发性肝癌热消融治疗的 MR 评估及进展
PO-2040	梁田	CT 影像组学对 Bosniak II ~ III 级肾脏囊性病变良恶性的鉴别诊断	PO-2074	王东升	三维酰胺质子转移磁共振成像与直肠腺癌预后因素相关性的研究
PO-2041	杨雪	CT 建模图卷积神经网络模型识别肝细胞癌患者微血管侵犯	PO-2075	胡文君	自适应迭代技术与频谱 CT 相结合在肝实质检查动脉期中的应用
PO-2042	张春来	MDCT 和 EUS 对胃十二指肠异位胰腺与小于 3cm 胃肠道间质瘤的鉴别	PO-2076	唐希	基于双能 CT 的细胞外体积分数构建诺模图预测胃癌微卫星不稳定状态
PO-2043	于怡蓓	ADC 直方图分析在卵巢占位性病变鉴别诊断中的应用	PO-2077	管真	基于双能 CT 衍生的影像组学术前预测直肠腺癌组织学分级的价值
PO-2044	钱贤灵	构建并验证基于 MRI 影像组学的列线图用于肝内胆管癌的区域淋巴结转移和预后预测	PO-2078	印隆林	矢状位 T2WI 新征象对于新辅助治疗后直肠癌完全缓解的诊断价值
PO-2045	张海芳	儿童肝母细胞瘤 MRI 特点探讨	PO-2079	汪自然	双层探测器光谱 CT 虚拟单能量图像在下腔静脉成像中的研究
PO-2046	张超	使用基于 MRI 的影像组学模型预测富粗梁亚型肝细胞癌	PO-2080	李丹燕	基于多参数 MRI 联合影像组学在前列腺癌骨转移风险评估中的应用研究
PO-2047	方旭	基于 T2WI 影像组学模型预测胰腺浆液性囊性肿瘤和黏液性囊性肿瘤	PO-2081	李莹	基于双能 CT 构建诺模图预测直肠癌组织学分级的价值
PO-2048	何康文	基于增强 CT 的影像组学模型预测前列腺 PI-RADS 4-5 分病灶的良恶性以避免不必要的活检	PO-2082	陈安良	双能 CT 结合 DCE-MRI 对直肠癌肿瘤出芽分级的价值
PO-2049	董军强	多层螺旋 CT 结合脂肪酶、D- 二聚体、糖蛋白 2 对急性胰腺炎的临床诊断价值探讨	PO-2083	李政晓	基于常规 CT 征象评估胰腺导管腺癌胰周血管侵犯的研究
PO-2050	张磊	基于平扫 CT 的肌肉分层分析技术在预测肝移植术后并发症中的研究	PO-2084	李政晓	基于增强 CT 影像组学预测胰腺导管腺癌胰周血管侵犯的研究
PO-2051	刘霞	基于多期增强 CT 影像组学对原发性胃淋巴瘤与 Borrmann IV 型胃癌的诊断价值	PO-2085	禹雯婧	双层探测器光谱 CT 虚拟单能量图像在下腔静脉成像中的研究
PO-2052	海梦璐	全组 MRI 定量参数预测直肠癌脉管侵犯及其独立危险因素筛选	PO-2086	印隆林	基于双能 CT 的影像组学在前列腺癌骨转移风险评估中的应用研究
PO-2053	孙羽	基于多层螺旋 CT 增强扫描的卵巢浆液性囊腺癌术前腹膜转移风险预测模型	PO-2087	印隆林	基于双能 CT 的影像组学在前列腺癌骨转移风险评估中的应用研究
PO-2054	朱子超	磁共振扩散峰度成像直方图分析对前列腺癌的诊断价值及侵袭性评估	PO-2088	厉惠滢	基于双能 CT 的影像组学在前列腺癌骨转移风险评估中的应用研究
PO-2055	李茜玮	mDixon-Quant 序列预测前列腺癌神经侵犯价值评估	PO-2089	马更慧	基于影像及临床特征的 LI-RADS 形态 II 型肝癌早期复发风险评分系统的建立及验证
PO-2056	白煜	比较不同呼吸方式对胰腺志愿者磁共振弥散加权成像测量可重复性及图像质量的临床价值	PO-2090	包艳俊	联合多模态磁共振成像在肝细胞癌病理分级诊断的应用
PO-2057	陈婷	伊犁地区少数民族女性卵巢恶性肿瘤的多模式联合诊断价值	PO-2091	胡文君	基于双能 CT 的影像组学在前列腺癌骨转移风险评估中的应用研究
PO-2058	姚晓强	能谱 CT 碘基值术前预测可切除性胃癌 Lauren 分型的价值	PO-2092	郭鑫	基于双能 CT 的影像组学在前列腺癌骨转移风险评估中的应用研究
PO-2059	韩哲	基于磁共振成像预测结直肠癌肝转移患者 RAS 基因突变状态和肝切除术后的预后的临床模型的开发和外部验证	PO-2093	史雨鑫	基于双能 CT 的影像组学在前列腺癌骨转移风险评估中的应用研究
PO-2060	张娟	术前 Gd-BOPTA MRI 在微血管浸润性肝细胞癌患者中的预后价值研究	PO-2094	张倩瑜	基于双能 CT 的影像组学在前列腺癌骨转移风险评估中的应用研究
PO-2061	王曼姝	肝脏硬化性血管瘤样结节转化的 MR 特征及病理学基础	PO-2095	岳鑫	基于机器学习的 CT 影像组学方法预测肝细胞癌 M2 级微血管侵犯
PO-2062	张倩瑜	探究动脉自旋标记灌注成像 (ASL) 评估慢性肾病的价值	PO-2096	岳鑫	基于机器学习的 CT 影像组学方法预测肝细胞癌高 Ki-67 表达
PO-2063	刘翠芳	下腔静脉 MRI 4D Flow 成像参考值	PO-2097	熊妍希	基于双能 CT 的影像组学在前列腺癌骨转移风险评估中的应用研究
PO-2064	陈青青	基于 MRI 的深度学习模型与 LI-RADS 标准在肝细胞癌诊断中的对比研究	PO-2098	鞠烨	基于双能 CT 的影像组学在前列腺癌骨转移风险评估中的应用研究
PO-2065	刘百川	穿刺活检后前列腺 MRI 出血回避征对前列腺癌的诊断价值	PO-2099	熊妍希	基于双能 CT 的影像组学在前列腺癌骨转移风险评估中的应用研究
PO-2066	李广政	基于磁共振质子密度脂肪分数成像在前列腺癌风险分层中的应用研究	PO-2100	赵光堂	基于双能 CT 的影像组学在前列腺癌骨转移风险评估中的应用研究
PO-2067	许飒	直肠癌区域淋巴结良恶性与周围浸润程度相关性的磁共振成像分析	PO-2101	胡富碧	基于双能 CT 的影像组学在前列腺癌骨转移风险评估中的应用研究
PO-2068	陈安良	双能 CT 碘（水）图细胞外体积分数直方图分析预测直肠癌 T 分期	PO-2102	张瀚月	基于双能 CT 的影像组学在前列腺癌骨转移风险评估中的应用研究
PO-2069	姜宇晨	小体积管腔增强 CT 成像对非肿瘤性小肠出血的定位及病			

中华医学会 第30次全国放射学学术大会

CHINESE CONGRESS OF RADIOLOGY 2023

PO-2103	刘晓鸽	压缩感知 3D MRU 与常规 3D MRU 对采集时间、图像质量和诊断效能的对照研究	PO-2138	王 宁	全缓解的预测价值
PO-2104	吴 菲	基于 MRI 的超出米兰标准的多结节性 HCC 患者预后分层系统	PO-2139	肖 波	原发性肝癌肉瘤的临床特征和 MRI 表现
PO-2105	张瀚月	DTI 与 T1mapping 序列评估慢性肾脏病患者肾功能的价值	PO-2140	朱 钰	增强 CT 图像联合实验室指标对急性胰腺炎严重度早期预测的影像组学研究
PO-2106	王思齐	酰胺质子转移成像联合 Mapping 在肝脏局灶性病变诊断中的价值研究	PO-2141	肖长慧	在局部晚期直肠癌患者中预测术后远处转移风险：使用基于 MRI 的 Delta 影像组学方法
PO-2107	原雨航	CT 联合肿瘤标志物对肝细胞癌的诊断及预后评价	PO-2142	张 丹	基于双能量 CT 多参数成像精准诊断继发性胆总管结石的研究
PO-2108	宋祖华	基于双能 CT 定量参数、影像征象及临床特征构建的机器学习模型预测胰腺癌 Ki-67 表达的临床价值	PO-2143	白 玉	光谱 CT 虚拟单能量图像对胰腺导管内乳头状粘液性肿瘤与胰管交通结构显示的研究
PO-2109	周少鹏	磁共振 Dixon 水脂分离技术在鉴别 2 型糖尿病患者中糖尿病肾病与非糖尿病肾病的价值	PO-2144	袁 杰	原发性肝癌肝外转移患者预后生存影响因素分析
PO-2110	王 明	光谱探测器 CT 虚拟单能量成像优化 Riolan 弓图像质量的研究	PO-2145	李梦蕾	IVIM 和 DKI 技术评估直肠癌肿瘤间质比的研究
PO-2111	胡文君	基于双能 CT 的静脉增强分数评估胃癌神经、脉管浸润：初步探索	PO-2146	诸露冰	基于 CT 影像组学及临床特征的 II 期结直肠癌患者预后预测
PO-2112	徐晓倩	多参数 MRI 联合 SCC-Ag 预测早期宫颈癌盆腔淋巴结转移的价值	PO-2147	唐鹤菡	基于人工智能临床影像与病理多模态融合对胰腺癌术后患者生存期预测的研究
PO-2113	文 禹	基于 CT 影像自动分割的肿瘤 - 血管空间位置信息在预测胰腺导管癌患者血管受累中的应用	PO-2148	刘相如	应用钆塞酸二钠增强磁共振 T1 加权成像对肝细胞癌肝切除术后肝脏再生的术前评估
PO-2114	张瀚月	ECV 对肝血管瘤与肝细胞癌的鉴别诊断价值	PO-2149	蔡佳楠	双能量 CT 图像在胃癌显示中的优化选择
PO-2115	朱 容	妊娠性绒毛膜癌 CT 及 MRI 影像表现分析	PO-2150	田名可	基于常规磁共振联合临床特征影响组学模型预测宫颈癌淋巴结转移和预后的研究
PO-2116	王艺洁	光谱 CT 细胞外容积在结肠癌分化程度中的应用研究	PO-2151	宋铁军	IVIM 模型对直肠腺癌壁外血管侵犯的诊断价值及与 Ki-67 的相关性
PO-2117	柯晓艾	能谱 CT 诊断膀胱癌壁外脂肪间隙侵犯的价值	PO-2152	罗 慧	基于定量 CT 研究腹部脂肪分布、肝脏脂肪含量及胰腺脂肪含量预测急性胰腺炎复发的价值
PO-2118	吴锦华	男性远段尿道结石在不同影像学检查中的表现	PO-2153	孙 昕	基于 MRI 影像特征和组学分析的联合模型预测子宫内膜样癌微卫星高度不稳定状态的初步研究
PO-2119	陈 根	定量 MRI 用于评估离体供及长期随访结果	PO-2154	冯飞文	全容积 ADC 直方图分析联合 ADC 值术前预测直肠癌肿瘤沉积的价值
PO-2120	张茜茹	术前 CT 影像特征预测腹部嗜铬细胞瘤 / 副神经节瘤术中大量出血的危险因素	PO-2155	何 苹	肝硬化背景下肝内胆管细胞癌和肝细胞癌的影像诊断对照研究
PO-2121	邓 林	基于 MRI 四种强化模式下肝细胞癌患者行手术切除和射频消融术后早期复发率比较及复发危险因素研究	PO-2156	杨巨顺	双能量 CT 的影像指标在急性阻塞性肠系膜缺血发生不可逆透壁性肠坏死评估中的价值
PO-2122	魏 博	双层探测器光谱 CT 预测结直肠癌微卫星不稳定状态的价值	PO-2157	吴志斌	80kV 三低扫描技术在低 BMI 指数病人 CT 门静脉血管成像中的应用
PO-2123	任 雪	IVIM 联合 ESWAN 及 ITSS 预测肝细胞肝癌微血管侵犯	PO-2158	姜文龙	能谱纯化技术与低浓度对比剂对门静脉血管成像质量的研究
PO-2124	周科峰	基于弥散加权成像的磁共振影像组学预测克罗恩病对抗 TNF 药物的治疗反应	PO-2159	杨巨顺	双能 CT 能谱技术对急性阻塞性肠系膜缺血异常肠壁图像显示的优化
PO-2125	温德英	BOLD-MRI 无创评价肾氧合：原发性醛固酮增多症患者与健康对照组的比较	PO-2160	张嘉诚	钆塞酸二钠增强 MRI 诊断肝嗜酸性粒细胞浸润 1 例
PO-2126	花 煜	扩散加权成像参数与子宫内膜癌免疫组化预后因子及病理分型的相关性	PO-2161	赵小二	肝假性淋巴瘤的典型及不典型 MRI 特征
PO-2127	王 翮	基于弥散张量成像评估狼疮性肾炎早期肾功能损害及无创性分级肾功能损害程度的价值	PO-2162	刘明娟	DWI 和半定量 DCE-MRI 预测醋酸甲羟孕酮治疗子宫内膜非典型增生和子宫内膜样腺癌疗效的价值
PO-2128	何秀超	肾脏混合型上皮和间质肿瘤的 CT 、MRI 表现及临床特征分析	PO-2163	张 新	基于靶向整合素 $\alpha v \beta 3$ 的新型 MR 超微纳米探针用于肝纤维化诊断的可行性研究
PO-2129	金红瑞	基于术前 ADC 图纹理分析对胰腺癌组织学分级的预测价值	PO-2164	赵娓娓	基于多参数 MRI 和 68Ga-PSMA PET/CT 的前列腺癌的对比研究
PO-2130	李 敏	双期增强 CT 成像特征能否预测胃癌新辅助治疗后的病理完全缓解？初步回顾性研究	PO-2165	王芝浩	应用光谱多参数 CT 鉴别门静脉血栓与癌栓的诊断研究
PO-2131	王明亮	MRI 特征列线图模型鉴别胰腺实性假乳头状肿瘤与非功能性胰腺神经内分泌瘤	PO-2166	杨慧义	肿瘤标志物联合双层探测器 CT 定量参数预测结直肠癌患者脉管神经浸润
PO-2132	杨 婉	双源 CT 碘定量参数预测胃癌浆膜侵犯和不同亚型分析	PO-2167	叶蕴锐	基于动态增强 CT 术前预测结直肠肿瘤间质比状态的研究
PO-2133	温德英	弥散加权成像的拉伸指数模型和峰度模型在肾脏评估中区分原发性醛固酮增多症患者与健康对照组的比较研究	PO-2168	胡文君	能谱 CT 多参数术前鉴别 HER2-0, HER2 低阳性及阳性胃癌的价值
PO-2134	肖 波	急性坏死性液体积聚和包裹性坏死合并感染的 CT/MRI 评价	PO-2169	成文欣	肿瘤周侧支血管对肾透明细胞癌 WHO/ISUP 分级预测研究
PO-2135	肖 波	基于修订版亚特兰大标准：急性胰腺炎“假性囊肿”术语的影像学意见	PO-2170	戎泽宁	结合 CT 影像组学和基于深度学习的病理学特征预测 II 期结直肠癌患者预后
PO-2136	肖 波	坏死性胰腺炎伴胰管中断综合征的 MR 征象：“厚层性 / 透壁性胰腺坏死 - 胰管中断 - 胰腺包裹性坏死”三部曲	PO-2171	于浩鹏	基于 CT 图像的老年糖尿病伴肌少症患者的胰腺影像组学
PO-2137	史雨鑫	基于腹部 CT 的身体成分参数对乳腺癌新辅助化疗病理完			



PO-2172	于浩鹏	基于人工智能技术的胰腺平扫 CT 图像诊断糖尿病的研究	PO-2206	王金玲	Optimization of keV for radiomics extracted from spectral virtual monochromatic images to predict osteoporosis
PO-2173	胡文君	基于双能 CT 单能量图的 Delta 纹理特征术前预测胃癌淋巴结转移的价值	PO-2207	罗慕晴	Combination of 3.0T magnetic resonance imaging T2 mapping with texture analysis for evaluating the degeneration of lumbar facet joints
PO-2174	程天明	多层螺旋 CT 血管造影检查在胡桃夹综合征的应用	PO-2208	罗慕晴	Evaluation of early cartilage degeneration of knee based on 3.0T multi-parameter MRI and its correlation with β -catenin and MMP-13
PO-2175	马俊朝	医学影像在评估肾细胞癌肾外脂肪浸润中的价值	PO-2209	齐岩松	Study on morphology and position of coracoid process in patients with subscapular tendon tear based on CT three-dimensional model
PO-2176	王诗瑜	探究个体化低剂量 CT 成像参数对 QCT 肝脏脂肪含量测量的影响	PO-2210	刘音其	Application of dual-energy CT fat-muscle decomposition techniques in assessment of paraspinal muscles in young patients with chronic nonspecific low back pain
PO-2177	王诗瑜	探究 CT 成像参数对 QCT 肝脏脂肪含量测量的影响	PO-2211	刘音其	Effect of Zhitong-Jiangu recipes on cartilage Wnt5a expression in knee osteoarthritis rabbits and correlation between Wnt5a expression and T2 value
PO-2178	李丽聪	基于不同区域的 18F-PSMA-1007 PET 影像组学特征预测前列腺癌患者根治术后 PSA 持续状态	PO-2212	周晓娜	Chronic non-specific low back pain, gender and BMI influenced fat infiltration in lumbar paraspinal muscles for young patients
PO-2179	杨崇图	基于 MRI 测量脾体积预测肝细胞癌伴肝硬化患者行根治性手术切除后晚期复发风险	PO-2213	王玉琪	Application of IDEAL-IQ technique in quantitative assessment of adipose infiltration in dermatomyositis/polymyositis
PO-2180	王松	肝脏弥漫结节型血管肉瘤 1 例误诊分析并文献复习	PO-2214	王玉琪	Application of MR Integrated sequences in active stage diagnosis of dermatomyositis/polymyositis
PO-2181	盛流吉	术前肝细胞癌微血管侵犯预测：细胞外对比剂增强磁共振与肝胆特异性对比剂增强磁共振效能相当	PO-2215	王玉琪	Application of MR Integrated sequences in quantitative evaluation of edema muscle in dermatomyositis/polymyositis
PO-2182	杨行	胰腺脂肪含量与糖尿病的相关性研究	PO-2216	王玉琪	Application of MR Integrated sequences in the diagnosis and quantitative evaluation of dermatomyositis/polymyositis
PO-2183	杨行	生活方式与胰腺脂肪含量的相关性研究	PO-2217	王玉琪	Application value of MAGiC combined with IDEAL-IQ technology in the diagnosis of dermatomyositis/polymyositis
PO-2184	孟晓岩	VI-RADS：膀胱癌双参数 MRI 的准确性及 DCE 的必要性探讨	PO-2218	王玉琪	Quantitative diagnosis of dermatomyositis/polymyositis by IDEAL-IQ technique
PO-2185	孟晓岩	双平面小视野 DWI (rFOV DWI) 在膀胱癌肌层侵袭性评估中的应用	PO-2219	王玉琪	Quantitative diagnosis of dermatomyositis/polymyositis by MAGiC combined with IDEAL IQ technology
PO-2186	任雪	DWI 及 MRI 影像征象预测肝细胞肝癌 CK19 的表达	PO-2220	王祥	Prognostic value of FDG-PET/CT based radiomics analysis in newly-diagnosed multiple myeloma: comparison with clinical assessment
PO-2187	任雪	Gd-BOPTA 增强 MR 对肝转移瘤的检出价值	PO-2221	李威	Automatic grading of knee osteoarthritis using a radiomic model based on plain radiographs: the effect of combined use of anteroposterior & lateral images
PO-2188	阮吉陆	200 例减重与代谢手术病人上消化道碘水造影应用体会	PO-2222	孙冬	The Advantage of 3-Dimensional Quantitative Assessment for Supraspinatus Intramuscular Fatty Infiltration in Patients with Different Degree of Rotator Cuff Tear.
PO-2189	曹卜月	基于术前增强 CT 的影像组学预测胰腺癌间质亚型	PO-2223	王博成	The value of improving artifacts by using WARP sequences in assessing image quality after internal fixation implants
PO-2190	马倩	胰腺切除术后临床相关胰瘘的术前预测模型及风险分层	PO-2224	郭轶	Risk Factors of Intravertebral Cleft in Acute Spinal Fractures and Its Relationship with Cement Leakage After Percutaneous Vertebroplasty or Percutaneous Kyphoplasty
PO-2191	张帆	基于 CT 全肿瘤直方图分析的肾细胞癌淋巴结转移非侵入性预测研究	PO-2225	张力	Diagnostic value of cervical spine DWI-ZOOM in cervical spondylotic myelopathy ---A novel diffusion imaging in spinal
PO-2192	何苹	普美显增强 MRI 鉴别肝硬化背景下混合型肝细胞癌 - 胆管癌与肝细胞癌的诊断价值	PO-2226	李炼	Advancements in the Application of Compressed Sensing Techniques in Spinal and Articular Imaging
PO-2193	陈颖俐	基于增强 CT 图像建立影像组学模型精准预测非功能性胰腺神经内分泌肿瘤的生长抑素受体 2 (SSTR2) 表达情况——项初步研究	PO-2227	张雯双	Muscles fat infiltration evaluation for second hip fracture among female adults: a qualitative and quantitative study
PO-2194	袁恩雨	影像组学预测肝细胞癌微血管侵犯：一项系统评价	PO-2228	尹平	A practical deep learning framework for the segmentation of Pelvic and sacral tumors on Multiple MRI sequences
PO-2195	高萌萌	CT 影像组学在慢性肾脏病患者预后预测方面的应用研究	PO-2229	徐国栋	Diagnostic value of color-coded virtual non-calcium dual-energy CT for the assessment of bone marrow edema of wrist rheumatoid arthritis
PO-2196	马丽娅	直肠癌术后吻合口漏与腹部脂肪及肌肉参数的相关性研究			
PO-2197	李梅成	1.5T 和 3.0T MRI 评估垂体铁沉积与肝脏、心脏铁沉积的相关性研究			
PO-2198	罗虹虹	Spectral CT assists differentiation of osteoblastic bone metastasis from bone island in newly diagnosed cancer patients			
PO-2199	常荣	Application of 3.0T 1H MRS in differential diagnosis of benign and malignant compression fracture of spine			
PO-2200	胡培安	A series of radiologically misdiagnosed visceral lymphatic malformation (LM)			
PO-2201	姜海	MRI-based radiomics models of the patella predict the radiographic progression of osteoarthritis: Data from the FNIH OA Biomarkers Consortium			
PO-2202	周凤云	Comparisons of volumetric Hounsfield units and bone density in discriminating vertebral fractures on lumbar CT scans			
PO-2203	周凤云	Evaluation of the magnification of full-length weight-bearing lower extremity measurement using a single-shot exposure x-ray system			
PO-2204	孔蒙娟	Quantitative study of patellar ligament in patients with knee osteoarthritis based on MRI T2 mapping technology			
PO-2205	李冰	A retrospective study of the association between disc shape alterations following percutaneous endoscopic lumbar discectomy and the 1-year postoperative outcomes.			

中华医学会 第30次全国放射学学术大会

CHINESE CONGRESS OF RADIOLOGY 2023

PO-2230	张晏境	Reversible Changes of the Knee Articular Cartilage After a Half-marathon: an MRI Study in Healthy Amateur Runners	predicting prognosis in osteosarcoma: a multicenter study
PO-2231	罗于夕	Effect of lumbosacral transitional vertebrae on developmental alterations of the hip investigated by quantitative measurements of lumbo-pelvic-hip complex on whole body CT	Hip muscle size and density are associated with trochanteric fractures of elderly women
PO-2232	易坤明	Evaluation of anatomical variations with morphological measurements and their relationship to ligament injury	Prevalence and risk factors of osteoporosis in Chinese inpatients with major depressive disorder — a cross-sectional study based on quantitative CT
PO-2233	罗 鹏	Diffusion-relaxation correlation spectrum imaging for detecting early-stage knee osteoarthritis with four compartment	田 帅 Fusion with or without fixation in combined posterior laminoplasty and anterior discectomy for multilevel cervical spondylotic myelopathy with a single prominent disc herniation
PO-2234	周素颖	Effect of lumbosacral transitional vertebrae on sagittal balance of lumbo-pelvic complexity assessed by quantitative whole-body CT imaging	高 鹏 Differentiation of abdominal extra-abdominal desmoid-type and nodular fasciitis based on conventional MRI signs and quantitative segmentation methods
PO-2235	姚婉贞	MRI features in the ankles of amateur marathon runners and analysis of associated factors	黄 聰 Solitary sacral osteochondroma growing into the spinal canal: Case report and review of the literature Running title: Solitary sacral osteochondroma
PO-2236	彭晓娟	Blood Oxygenation Level Dependent MRI on Assessing the Muscle Perfusion of Patients with Peripheral Arterial Occlusive Disease under the P30 Model	李金戈 Correlation between Skeletal Muscle Changes and Insulin Resistance and Islet β Cell Function in Type 2 Diabetes Mellitus Evaluated Using MRI
PO-2237	穆 琳	QRAPMASTER for Quantitative evaluation of knee cartilage: ready for clinical daily practice?	张雯双 Quantification of Volumetric Thigh and Paravertebral Muscle Fat Content: Comparison of Q-Dixon MRI with High-Speed T2-Corrected Multiecho MR Spectroscopy
PO-2238	闫玉辰	Effects of vitamin D on bone marrow fat fraction and microvascular permeability in diabetic rabbits:a quantities MRI study	庄佳纯 A Correlative Study of Monosodium Urate Crystal Volume Measured by Dual-energy CT and Gout-related Hematological Indicators.
PO-2239	王奇政	Deep learning based on knee MRI for fully automated precision diagnosis of rheumatoid arthritis, gout, and pigmented villonodular synovitis	刘 琳 Implementation of a Novel Classification and Stratification System for Solitary Bone Tumor: Osseous Tumor Radiological and Interpretation and Management System (OT-RIMS)
PO-2240	李亚丽	Dual-energy computed tomography for measuring bone mineral density at different energy levels: correlation with quantitative CT	靳 波 Prediction of Arthroscopic Meniscoplasty or Meniscectomy for a Torn Discoid Meniscus: Using Conventional Magnetic Resonance Imaging and Quantitative T2-Mapping
PO-2241	刘 金	Association of Lumbar Trabecular Bone Ultrashort Echo Time Magnetization Transfer Ratio (UTE-MTR) with Intervertebral Disc Degeneration	徐 凡 Deep learning-based artificial intelligence model for classification of vertebral compression fractures: A multicenter diagnostic study
PO-2242	彭 飞	Utilization of T1-Mapping for the pelvic and thigh muscles in Duchenne Muscular Dystrophy: a quantitative biomarker for disease involvement and correlation with clinical assessments	朱玉鹏 Morphological changes of meniscus after anterior cruciate ligament injury : posterior base angle of medial meniscus
PO-2243	徐 军	A splicing method to reduce misalignment artifacts and radiation dose in digital radiography(DR) full-length photography of both lower extremities	张泽坤 Hawkins III型距骨颈骨折与距骨完全脱位的对比分析
PO-2244	周宇涵	The Discriminatory Potential of Multiparametric Spectral CT in Distinguishing Bone Islands from Osteoblastic Metastases	张泽坤 尺侧腕骨轴向骨折脱位的影像诊断
PO-2245	杨金荣	Value-added Opportunistic Chest CT Screening for Osteoporosis using Bone Mineral Density Estimation Computed by Multi-View Semi-Supervised Learning	张泽坤 大弧损伤性月骨脱位的分型及影像诊断
PO-2246	毛 怡	Combined radiomics-radiologic model to predict acute and chronic Osteoporotic Vertebral Compression Fractures on CT	黄鑫尘 IDEAL IQ 和 BOLD-MRI 定量评估大鼠股四头肌脂肪浸润和血流灌注对肌肉减少症早期诊断的实验研究
PO-2247	谭华清	Analysis of the use of MRI and CT in the diagnosis of SAPHO syndrome	黄鑫尘 扩散张量磁共振成像非侵入性评估肌肉减少症大鼠腰椎旁肌细胞外基质重塑
PO-2248	谭华清	The value of MRI in assessing structural changes in the spine in SAPHO syndrome	常 荣 3.0T 1H MRS 在脊柱良性压缩性骨折鉴别诊断中的应用
PO-2249	代 孟	Chronic Ankle Instability: A Cadaveric Anatomical and 3D High-Resolution MRI Study for Surgical Reconstruction Procedures	常 荣 磁共振 IDEAL-IQ 在糖尿病继发肌少 - 骨质疏松症定量诊断中的应用价值
PO-2250	刘倩云	Sex-specific Body Composition Profile Determined by Pelvic Computed Tomography Associated with Mortality in Older Patients with Hip Fracture	邢福义 MRI T2-mapping 及 MR-DTI 在膝关节软骨损伤中的价值研究
PO-2251	曹伟萌	Differential Diagnosis of Osteogenic Metastatic and Bone Island with Multiparameter Spectral CT Enhanced Imaging	陈彤彤 基于透明质酸的磁共振可视化水凝胶促进关节软骨修复再生
PO-2252	粟秋实	CT-based intratumoral and peritumoral radiomics for	管文敏 骨密度及体质成分特征对新冠病毒感染后住院时长的影响
			管文敏 新型冠状病毒感染患者一年随访骨密度及体质成分特征分析
			潘德润 基于可解释机器学习模型探讨 X 线征象在骨肿瘤分类中的价值
			谢卓耀 基于 X 射线图像的深度学习模型改善医生对原发性骨肿瘤组织学分类的研究
			马培旗 定量 CT 评估锁骨不同区域骨密度的差异
			刘 英 腰椎管狭窄患者硬膜囊横截面积与马尾神经冗余关系的



PO-2280	孟凡晶	MRI 研究 比较业余马拉松运动员与健康志愿者大腿肌肉的质与量： 一项基于多参数磁共振的定量研究	PO-2315	贾永军	能谱 CT 定量与发作期膝骨关节炎中医证型的相关性研究
PO-2281	黄丽娟	能谱 CT 成像评估壮医治疗对痛风石内钙、羟基磷灰石吸收的应用分析	PO-2316	曹娜娜	健康人膝关节股骨内髁软骨 T2 值研究
PO-2282	周宇堃	大转子疼痛综合征的诊断	PO-2317	苏树燕	中轴骨痛风的 CT 及 MRI 表现
PO-2283	倪 铭	AI 辅助压缩感知 (ACS) 技术在膝关节 MRI 扫描中的应用研究：3D-MRI 视角	PO-2318	许鹏君	膝骨性关节炎疼痛因素分析
PO-2284	姜文篆	胸部低剂量 CT 联合定量 CT 评估肺癌筛查人群的骨折风险	PO-2319	黄珍媚	合成 MRI 在业余马拉松运动员距骨软骨急性改变中的初步研究
PO-2285	苑筱晴	髋部骨折患者股骨头不同区域骨微结构与股骨近端几何结构分析	PO-2320	李佳慧	定量 MR 技术对业余马拉松运动员椎间盘生化成分的研究
PO-2286	苑筱晴	基于腹部 CT 的影像组学模型在预测髋部骨量异常中的应用价值	PO-2321	胡楠栎	胸部 CT 联合 QCT 机会性测定南京地区健康人群 T8-L2 骨密度分布规律及低骨量、骨质疏松患病率的研究
PO-2287	梁彦博	基于 Micro-CT 和微有限元分析研究辛伐他汀对去卵巢小鼠骨组织和生物力学的影响	PO-2322	罗振东	基于 X 线及磁共振影像组学预测骨肉瘤术后复发的研究
PO-2288	陈永晔	基于 MRI 特征的影像组学模型在预测脊柱转移瘤立体定向放射治疗疗效方面的应用研究	PO-2323	杨淇麟	骨质疏松性椎体压缩骨折椎体强化术后残余背痛的临床 - 影像预测模型研究
PO-2289	吴俊华	骨促结缔组织增生性纤维瘤的影像学表现特点	PO-2324	巩庆雷	膝关节应力位 CT 扫描技术
PO-2290	穆星星	双能 CT 中的新型胶原蛋白成像在腰椎间盘突出症评估中的应用	PO-2325	曹 淇	基于低剂量胸部 CT DCNN 辅助筛查骨质疏松的可行性研究
PO-2291	李春丽	X 线几何测量参数预测慢性踝关节不稳的临床价值	PO-2326	赵 晖	不同病原体脊柱感染的 MR 鉴别诊断
PO-2292	秦 健	基于 CT 脊柱骨质定量系统的腰椎相关参数在评估骨量异常中的应用价值	PO-2327	王童语	基于 MRI 影像及数字病理的组学列线图预测软组织肉瘤术后复发风险的研究
PO-2293	邢 俊	3D 机器人系统锥形束计算机断层成像在颈椎成像中的应用价值	PO-2328	胡 亮	中老年直肠癌患者骨盆骨髓扩散高信号的影响因素及潜在原因研究
PO-2294	郑运松	针刺治疗膝骨性关节炎患者的脑结构 MRI 研究	PO-2329	郭 林	远侧尺桡关节不稳定的 MRI 影像学分析
PO-2295	刘君艳	灌注加权成像在股骨头缺血性病变早期诊断中的价值	PO-2330	任庆云	胸椎 QCT 诊断骨质疏松 BMD 阈值的临床研究
PO-2296	梁彦博	基于临床因素预测冠状动脉粥样硬化患者的骨量健康状况	PO-2331	邓亚利	不同勾画方法及参数定量评估 DLS 患者椎旁肌群 MRI 特点
PO-2297	吴雅雯	全身磁共振扩散加权成像评估多发性骨髓瘤不同骨髓浸润模式	PO-2332	杨淑辉	双能 CT 的虚拟去钙技术对非创伤性股骨头坏死骨髓水肿的检出价值
PO-2298	陈 旭	MRI 中 PDWI 序列在膝关节损伤中的应用价值	PO-2333	牟章林	椎间盘突出 MRI 表现和椎旁肌脂肪浸润与慢性腰痛的相关性
PO-2299	贾晓茜	膝关节骨骼发育主观评价在 MRI 骨龄预测的应用	PO-2334	罗嗣频	基于横断位 T2 脂肪抑制 MRI 桡骨乙状切迹影像组学模型诊断远端尺桡关节失稳
PO-2300	张 蓉	两种不同的站立位双下肢全长拍摄、拼接方式肢体力线测量差异与准确度研究	PO-2335	寸晗雪	腰椎椎体及椎旁肌 MRI 改变预测 2 型糖尿病患者椎体骨折
PO-2301	黄 艺	男性业余马拉松运动员胫股关节软骨厚度、体积及 T2 * 值改变	PO-2336	陈佳鑫	慢性腰痛患者椎旁肌肉脂肪浸润与椎体骨质量评分有关，但与 Modis 分类无关：一项前瞻性横断面研究
PO-2302	陈地友	b 值及脂肪抑制方式对磁共振四肢软组织弥散成像的影响	PO-2337	邓 欣	能谱 CT 单能量成像 +MARs 技术在肢体外固定支架术后评估中的应用
PO-2303	于子川	中老年人胫骨结节 - 股骨滑车沟距离与髌股关节软骨退变之间的关系研究	PO-2338	李 伟	OLT 磁共振软骨 T2 值与 Jagged1 表达的相关性分析
PO-2304	李博怡	定量 MRI 对业余马拉松运动员椎体脂肪含量相关性的研究	PO-2339	苏 宇	膝关节置换术后假体周围骨溶解诊断效能对比
PO-2305	吴少强	腰椎孤立性纤维瘤病例 1 例并文献复习	PO-2340	费紫嫣	DCE-MRI 联合脂肪酸代谢组学评价免糖尿病重症肢体缺血骨髓内皮祖细胞功能
PO-2306	张 力	增强后多时序 T1mapping 量化退行性颈椎病血脊髓屏障破坏的初步研究	PO-2341	曹 毅	膝关节骨性关节炎肌肉改变的 IDEAL 定量研究
PO-2307	张 力	神经根型颈椎病症状发作及缓解期臂丛扩散张量成像的对比研究	PO-2342	钱佳慧	钙化上皮瘤影像表现 1 例及文献回顾
PO-2308	弓 通	双源下肢静脉 CTV 对下肢 DVT(深静脉血栓) 的显示与诊断的研究	PO-2343	朱能新	单侧永存坐骨动脉伴下肢缺血一例
PO-2309	詹 力	西门子双源螺旋 CT 扫描技术在成人股骨头坏死临床诊断中的应用和疗效观察	PO-2344	方军杰	基于 MR 单髓小视野扫描的股骨头坏死 ARCO 分期诊断：一项可行性研究
PO-2310	刘 星	探讨去金属伪影 (iMAR) 算法与电影式体积渲染技术 (cVRT) 在髋关节成形术后 CT 评价中的临床价值。	PO-2345	于夫尧	基于多模态磁共振评估全身振动训练对 PCOS 大鼠模型下肢骨骼肌胰岛素代谢功能的影响
PO-2311	刘 颖	基于 CT 影像组学在肺转移预测中的研究	PO-2346	周 静	基于 MRI 分析业余马拉松运动员大腿肌肉与膝关节损伤和跑步因素的相关性
PO-2312	李 媛	应用深度学习分析颈椎 CT 形态学参数	PO-2347	乌宏娟	妊娠期合并富巨细胞骨肉瘤 1 例
PO-2313	张恩龙	颈椎 MRI 中央椎管和椎间孔狭窄自动检测与分类的深度学习模型	PO-2348	曹 雨	腰椎定量 CT 骨密度测定与双能 X 线骨密度测量对老年患者骨质疏松症中的应用效果对比
PO-2314	贾永军	Hoffa 脂肪垫能谱 CT 成像在膝骨关节炎诊断中的临床应用价值	PO-2349	王奇政	破碎脂肪垫征：鉴别膝关节类风湿性关节炎和骨关节炎的重要影像征象
			PO-2350	侯博文	代谢综合征下肢肌肉 CT 直方图与脂肪分布分析
			PO-2351	刘金瑞	基于能谱 CT 物质分离技术在创伤性骨髓水肿的定量研究
			PO-2352	刘 玉	脊椎骨内神经鞘瘤的影像学诊断与鉴别诊断
			PO-2353	吴雅雯	泡沫滚轴及静态拉伸对半程马拉松后大腿肌肉微损伤恢复的多模态磁共振研究

中华医学会 第30次全国放射学学术大会

CHINESE CONGRESS OF RADIOLOGY 2023

PO-2354	冯福婷	q-Dixon 和 T2 mapping 评价下腰痛患者腰椎间盘退行性变和腰痛情况的定量研究	PO-2392	王慧峰	ZTE-MRI 在膝关节间隙和角度诊断中的临床应用
PO-2355	黄 欣	基于能谱 CTA 的下肢动脉硬化闭塞性疾病支架显示质量评价研究	PO-2393	刘雅怡	IDEAL-IQ 定量参数 FF 值评估女性贫血的价值
PO-2356	潘小磊	多模态影像检查在肩袖钙化性肌腱炎诊断中的应用价值	PO-2394	肖 丹	发生于左胫骨远端的急性痛风 1 例
PO-2357	张华月	儿童颅骨内脑膜瘤影像学表现	PO-2395	张国庆	突出腰椎间盘重吸收的 MR 回顾性分析
PO-2358	郭晓桐	探讨 MRI 对膝关节腱鞘巨细胞瘤与结节状增生的慢性滑膜炎的鉴别诊断价值	PO-2396	张锦香	钙化在骨肉瘤患者肺良性恶性和结节鉴别诊断中的价值
PO-2359	高宇凡	多参数定量 MRI 评价外源性硫化氢干预兔糖尿病重症肢体缺血骨髓氧化应激水平与微血管渗透性	PO-2397	刘新新	酰胺质子转移成像 APT 在鉴别良恶性骨与软组织肿瘤中的应用价值
PO-2360	陈茂娟	二维超声联合剪切波弹性成像对产后腹直肌肌力评估的临床研究	PO-2398	范广涛	前交叉韧带重建术后移植物及大腿肌肉评估的多参数 MRI 研究
PO-2361	傅 菲	动态 CT 血管扫描技术在骨肌血管影像检查中的应用研究	PO-2399	端木羊羊	中国多发骨髓瘤患者中肌少症与虚弱评分的关联性研究
PO-2362	李智伟	混杂型肩袖撕裂与肩袖病变磁共振征象对比分析	PO-2400	崔 佳	开发和验证用于预测 axSpA 骶髂关节结构性进展的影像组学 - 临床列线图模型
PO-2363	吴庭苗	改良法双下肢直接法 CT 静脉造影在下肢静脉曲张性病变中的成像研究	PO-2401	杨 健	慢性腰痛患者椎间盘高度的 MRI 分析
PO-2364	张 瑰	基于 DCE-MRI 影像组学及临床特征深度学习预测骨肉瘤患者新辅助化疗反应的研究	PO-2402	曹伟萌	光谱多参数 CT 增强成像在成骨型转移瘤与骨岛的鉴别诊断研究
PO-2365	钱 塏	不典型部位骨巨细胞瘤影像学表现	PO-2403	鲍建峰	First-Time Resolution of Unsaturated Fatty Acid Peaks in Trabecular Bone Using Clinical 1D Magnetic Resonance Spectroscopy
PO-2366	吕嘉玲	T2mapping 定量测量前交叉韧带重建术后移植物的韧带化进程	PO-2404	谢铭飞	应用 MRI 去金属伪影技术评估骨肉瘤保肢术后影像表现
PO-2367	王慧峰	定量弛豫时间测量值可以有效地辅助诊断膝关节半月板损伤程度	PO-2405	胡 帅	人工智能辅助压缩传感技术在踝关节 MR 成像中的应用
PO-2368	王 晶	弥散加权成像 ADC 值和 SPARCC 评分在强直性脊柱炎活动期评估中的价值探讨	PO-2406	田 帅	基于卷积神经网络的颈椎 CT 椎间盘突出自动检测和分类的应用研究
PO-2369	李晓芬	基于对比增强 T1 加权图像结合机器学习预测软骨肉瘤术后复发风险的价值研究	PO-2407	王 琦	业余滑板运动员不同运动类型对踝关节健康影响的影像研究
PO-2370	刘小明	SEMAC 结合压缩感知成像技术在骨肉瘤假体植入术后评估中的应用	PO-2408	李 义	医学影像在脊柱侧弯畸形中的应用价值及技术要点
PO-2371	倪 铭	基于弥散共振的早期脊髓型颈椎病配对病例对照研究	PO-2409	荆国庆	7.0T 磁共振 SWI 序列与 UHRCT 对膝关节骨结构对比研究
PO-2372	袁 峰	基于机会性胸部 CT 对中老年男性骨量减低的诊断价值研究	PO-2410	张丽芳	血友病性骨关节病 X 线表现及鉴别诊断 (附 60 例报告)
PO-2373	邬 超	髋关节临床应用解剖 CT 数字化测量及相关性分析	PO-2411	张雪萍	18 岁及以下患者骨巨细胞肿瘤的临床及影像学特征分析
PO-2374	张 宁	布氏杆菌性脊柱炎的磁共振成像诊断	PO-2412	王 皓	双层探测器光谱 CT 虚拟单能量 40 keV 在老年病人下肢动脉血管造影中的应用价值
PO-2375	范茜茜	基于临床及早期影像学特点的儿童急性过伸性脊髓损伤的发病机制探讨	PO-2413	田 帅	增强现实导航在经皮影像引导脊椎活检中的应用
PO-2376	周宇涵	双层探测器多参数光谱 CT 在鉴别骨岛与成骨细胞转移瘤中的应用价值	PO-2414	祝静雅	冬季北方赛区长跑人群运动性踝关节损伤特点的初步研究
PO-2377	卢小婷	蜡油样骨病影像学表现	PO-2415	赵艳红	深度学习重建算法对腰椎 QCT 图像质量的影响
PO-2378	姚红艳	髌骨肿瘤样病变的骨痛风一例	PO-2416	周兴顺	基于 L3 层面躯干肌质量与腰椎小关节炎严重程度相关性的研究
PO-2379	赵 骏	老年退行性脊柱畸形患者活动受限与椎旁多裂肌脂肪浸润相关性的单体素波谱研究	PO-2417	黄 杰	跑步相关慢性踝关节不稳 MRI 损伤特征及足底压力、小腿肌力变化
PO-2380	董 印	软组织血管纤维瘤的 MRI 表现	PO-2418	周兴顺	股骨近端骨原发性假肌源性血管内皮瘤 1 例 影像及病理分析
PO-2381	张 炜	双能量 CT 骨髓水肿在骨肌创伤中的临床应用	PO-2419	张凌滔	合成分磁共振成像对半月板损伤分级的定量评估
PO-2382	艾 军	基于 QCT 研究中青年腰椎间盘突出与椎旁肌脂肪浸润及骨密度之间的关系	PO-2420	张妃媛	定量 DWI 评估前交叉韧带重建术后 6、12 个月移植物成熟度变化及其与临床评分的相关性
PO-2383	石 琳	寒区长跑运动膝关节慢性损伤的区域性特征及相关性分析	PO-2421	张 平	甲基乙二醛——干预糖尿病骨代谢紊乱的新靶点
PO-2384	方 靖	DXA 在青海地区绝经后类风湿关节炎患者发生骨质疏松症危险因素分析	PO-2422	孟 帆	腺泡型软组织肉瘤 MRI 特征、全体积表观扩散系数 (ADC) 直方图评估 Ki-67 表达水平及组织学分级
PO-2385	陈 兵	运用 CT 三维重建技术测量骨质疏松性椎体压缩骨折与中青年创伤性胸腰椎 (T11-L5) 骨折患者椎弓根宽度的临床价值	PO-2423	刘 娜	压缩感知对腰骶丛神经 3D-T2*-FFE 磁共振成像的影响
PO-2386	潘 晶	基于深度学习多特征融合机会性筛查骨质疏松可行性研究	PO-2424	金梦妮	36 例韧带型纤维瘤病的 CT、MR 征象及病理分析
PO-2387	晏 杰	骨内副神经节瘤的影像特征分析及文献复习	PO-2425	赵露露	3D 打印个性化截骨导板在骨盆肿瘤切除重建术中的精准评价研究
PO-2388	张 杨	探讨临床及影像多种因素对首诊新鲜肋骨骨折漏诊的影响	PO-2426	王琳琳	脊柱原发原始神经外胚层瘤的 MRI 诊断
PO-2389	吴 珊	腺泡型软组织肉瘤的 CT 及 MRI 影像学特征	PO-2427	高 冰	腕部磁共振 T2 mapping 成像对不同类型 TFCC 损伤的诊断性能
PO-2390	杨 梅	脊柱包虫病影像学表现特征	PO-2428	夏 会	膝关节屈曲位磁共振成像对前交叉韧带撕裂合并 Ramp 区损伤患者的诊断价值
PO-2391	郑雪妮	磁共振 T2* mapping 分析不同跑量下业余马拉松运动员单侧膝关节周围肌肉改变及趋势变化	PO-2429	郭 燕	磁共振 T1 ρ 成像在非专业马拉松军事学员膝关节软骨改变中的价值
			PO-2430	韩志巍	实性动脉瘤样骨囊肿的影像学表现
			PO-2431	刘婷婷	骶尾椎骨巨细胞瘤的影像学表现及临床诊断价值分析



PO-2432	闻锦旭	下尺桡关节形态与腕关节慢性疼痛的相关性分析	PO-2469	沈艳勇	Combined Assessment with QSM and Synthetic MRI
PO-2433	李贝贝	骨上皮样血管内皮细胞瘤临床特征与 MR 表现分析			Cortical microstructural abnormality of Self-limited epilepsy with centrotem-poral spikes: A surface-based and voxel-based morphometry
PO-2434	梁晓青	腰椎间盘与椎小关节退变的 T2、T2* 值直方图分析研究	PO-2470	万雷	Forensic age estimation of living hands and wrists: A comparison of MRI and X-ray to evaluate the feasibility of MRI estimation of bone age
PO-2435	李新民	北京地区青少年肘关节 X 线骨龄研究	PO-2471	张士朋	Non-ECG-triggered dual-source dependent CTA in children with congenital heart disease
PO-2436	刘艳东	椎旁肌肉参数与椎体骨折分级的相关性研究	PO-2472	张飞飞	ASSEMENT OF ULTRA-LOW-DOSE CHEST CT IMAGING USING A NOVEL ARTIFICIAL INTELLIGENCE ITERATIVE RECONSTRUCTION TECHNIQUE IN INFANTS WITH CONGENITAL HEART DISEASE
PO-2437	张宗军	骨矿物质密度 CT 定量分析简易校准体模的制作	PO-2473	林丽萍	Altered White Matter Integrity and Gray Matter Morphology in pediatric acute lymphoblastic leukemia without clinically diagnosed central nervous system infiltration
PO-2438	王玉玲	Kummell 病的影像学诊断	PO-2474	吴璠	Relative mediastinal displacement index: A stable indicator to predict adverse events for fetuses with isolated left congenital diaphragmatic hernia by prenatal MRI
PO-2439	李亦彤	利用 IDEAL-IQ 实现对骶髂关节骨质侵蚀与脂肪沉积的定性与定量评估	PO-2475	胡立伟	Dose optimization for pediatric on Emergency head CT : from age-specific to size-specific study
PO-2440	徐亭婷	跗骨窦综合征的影像诊断价值	PO-2476	田露	Structural or/and functional MRI-based machine learning for the diagnosis of attention-deficit/hyperactivity disorder: a systematic review and meta-analysis
PO-2441	张玲	基于 T2*mapping 成像技术定量分析膝骨性关节炎患者的软骨损伤	PO-2477	沈艳勇	White Matter Integrity Abnormalities in children with Global Developmental Delays: A DKI Study Utilizing Tract-Based Spatial Statistics and ROI-Based Analysis
PO-2442	李佳泓	光谱检测器计算机断层扫描 VMI 对评估椎体溶骨转移显示的价值	PO-2478	沈艳勇	Microstructural alterations of the corpus callosum in young-age autism spectrum disorder: a diffusion kurtosis imaging study
PO-2443	邵小桐	小腿腺泡状软组织肉瘤一例并文献复习	PO-2479	王长浩	Cortical gray-white matter contrast abnormalities in male children with attention deficit hyperactivity disorder
PO-2444	杨旭	双能 CT 虚拟去钙技术在膝关节外伤性骨髓水肿中的应用价值	PO-2480	杨楠	Performance Evaluation of Deep Learning-based Bolus-tracking Technology For pediatric abdominal enhanced CT
PO-2445	刘春雨	基于定量 CT 分析腰椎间盘突出症患者椎旁肌肉退变与骨密度的相关性	PO-2481	王子鉴	The Optimal Level of Adaptive Statistical Iterative Reconstruction Veo Algorithm for Improvement of the Pediatric Superior Mesenteric Artery Image Quality in the Era of Dual-Energy Spectral CT
PO-2446	詹昊	基于 QCT 分析维持性血液透析患者骨密度、体质成分变化及其相关性	PO-2482	张琳	A comprehensive segmentation of chest X-ray improves deep learning-based WHO radiologically confirmed pneumonia diagnosis in children
PO-2447	刘兴利	腰椎躯干肌的 CT 测量参数与躯体功能及上肢肌肉力量的相关性研究	PO-2483	马双	Exploring the clinical value in dual energy spectral imaging multi-material artifact reduction (MMAR) technique for metal foreign bodies in the stomach of children
PO-2448	蒋海波	基于 MR Q-Dixon 序列和 QCT 测量小鼠肝脏脂肪含量的可行性研究	PO-2484	侯欣	Prediction of drug treatment response in children under 3 years old with asthma by using the morphological structure of large airways
PO-2449	袁军辉	腺泡状软组织肉瘤 MRI 表现与病理学指标的相关性研究	PO-2485	冉海峰	Altered neurovascular coupling in children with refractory temporal lobe epilepsy
PO-2450	陈其春	双源双能量 CT 脂肪图定量测量肥胖患者肝脏脂肪含量可行性研究	PO-2486	张晓雪	The integrity of cerebral white matter fiber tracts in children with global developmental delay assessed by diffusion kurtosis imaging: a tract-based spatial statistics study
PO-2451	李国荣	SAPHO 综合征 5 例影像表现分析及文献复习	PO-2487	张增俊	Does premotor connectivity reflect stereotyped behavior in ASD children Evidence from resting fMRI study
PO-2452	黄龙全	SEMAC-VAT 在全髋关节置换术后慢性髋关节疼痛的评估	PO-2488	谢荣倩	Neurovascular coupling analysis in children with periventricular leukomalacia with cerebral palsy
PO-2453	张艺腾	基于多参数光谱 CT 的痛风算法在痛风诊疗中的应用研究	PO-2489	任婧雅	Sex Differences in Normal Fetal Regional Brain Apparent Diffusion Coefficient Changes Assessed by Utero-DWI
PO-2454	程天明	探讨韧带样纤维瘤病 (DF) 的影像学特征及其病理学基础	PO-2490	彭海伦	A simple and reliable quantitative diagnosis model of
PO-2455	王文斌	低位腰椎间盘突出与脊柱 - 骨盆矢状位参数的相关性研究			
PO-2456	邢璐	MDCT 结合 MPR 诊断 Bastrup 病的价值			
PO-2457	李晶灵	磁共振脂肪定量技术评估放化疗过程中骨髓脂肪含量的变化			
PO-2458	沈婧	地诺单抗治疗后骨巨细胞瘤的 CT 影像表现研究			
PO-2459	王旭	不同剂量下重建矩阵对定量 CT 椎体骨密度测量值的影响			
PO-2460	张丹	骶髂关节周围韧带钙化规律的 CT 征象分析			
PO-2461	杨江飞	弹簧韧带损伤的 MRI 诊断价值			
PO-2462	朱玉鹏	The feasibility of ASL and IVIM in the identification of pediatric IgAN and HSPN			
PO-2463	罗益镇	Development and validation of a risk prediction nomogram for multiple magnets ingestion in children, a large sample retrospective study			
PO-2464	王奥楠	Comparison of maternal comfort level and fetal MR imaging quality in supine and left-lying position in a 75-cm bore magnet			
PO-2465	马维	Early imaging differentiation of children with acute hematologic malignancies that present in pancytopenia			
PO-2466	程勃超	Altered functional connectivity density in distinct brain networks of early onset schizophrenia			
PO-2467	苏舒	Quantification of myelination in Children with Attention-deficit/hyperactivity Disorder: A Comparative Assessment with Synthetic MRI and DTI			
PO-2468	苏舒	Evaluation of Deep Gray Matter Iron and Myelin Changes in children with Attention-deficit/hyperactivity disorder: A			

中华医学会 第30次全国放射学学术大会

CHINESE CONGRESS OF RADIOLOGY 2023

PO-2491	郑慧	idiopathic central precocious puberty in girls based on fisher stepwise discriminant analysis	PO-2514	王文轩	learning of characteristic regions in digital hand-wrist radiograph
PO-2492	刘婷婷	Deep learning based pediatric brain region segmentation and volumetric analysis in healthy children	PO-2515	姚小芬	超声对肩胛裂的产前诊断价值：Meta 分析
PO-2493	李金凝	Maturation and reorganization of structural connectivity in infants within half a year	PO-2516	马维	深度学习在儿童先天性空间隔缺损和房间隔缺损辅助检测中的应用研究
PO-2494	徐生芳	Contrast-Enhanced CT-Based Radiomics Facilitates Prediction of Synchronous Pulmonary Metastasis from Pediatric Hepatoblastoma	PO-2517	黄华驰	儿童塑形性支气管炎的临床及 MSCT 影像特征分析
PO-2495	庄毅	Global Trends in Neonatal MRI Brain Neuroimaging Research over the Last Decade: Bibliometric Analysis	PO-2518	刘畅	三维动脉自旋标记在足月新生儿缺氧缺血性脑病的早期诊断和预后分组中的价值
PO-2496	赵彩蕾	Altered brain networks in pediatric autistic patients: A connectivity gradient-based research	PO-2519	陈华	儿童先天性肺气道畸形的 CT 表现与病理对照
PO-2497	易婷	Machine Learning and Statistic Analysis to Predict Drug Treatment Outcome in Pediatric Epilepsy Patients with Tuberous Sclerosis Complex	PO-2520	陈华	双能量 CT 小肠造影定量评估儿童克罗恩病活动性的初步研究
PO-2498	储彩婷	Feature Selection and Combination of Information in the Brain Connectome for Discrimination of Autism Spectrum Disorder and Analyses of Altered Brain Patterns	PO-2521	程勃超	儿童失神发作癫痫患者异常个体脑结构网络的探索
PO-2499	毕璐琳	A prediction nomogram for refractory mycoplasma pneumonia in children with community acquired pneumonia: using low-dose computed tomography	PO-2522	谢明叶	双能 CT 虚拟平扫技术在儿童腹部增强 CT 扫描中的应用：降低辐射剂量
PO-2500	庄霞梅	Dual-energy CT (DECT)—an important role in the diagnosis of acute osteomyelitis in children	PO-2523	谢明叶	双能 CT 联合前瞻性心电门控技术在先心病患儿心脏 CT 血管成像的应用：辐射剂量与对比剂剂量
PO-2501	国建林	Feasibility of CT-like MR for the diagnosis of fractures in children based on point-to-point encoding time reduction of radial acquisition (PETRA) sequences: comparison of conventional and "CT-like" ultrashort echo time (UTE) images	PO-2524	何玲	能谱 CT 在儿童胸部大血管疾病的应用
PO-2502	李亚农	Automated Fiber Quantification Analysis Identifies Tract-specific Microstructural Alterations in Intermittent exotropia	PO-2525	黄新颜	髋关节平片对 DDH 患者 limbus 的预测
PO-2503	张馨元	Altered brain networks in pediatric autistic patients: A connectivity gradient-based research	PO-2526	徐加利	基于 MRI 的影像组学特征与儿童低级别胶质瘤免疫组化指标联系的研究
PO-2504	文深	Feasibility of CT-like MR for the diagnosis of fractures in children based on point-to-point encoding time reduction of radial acquisition (PETRA) sequences: comparison of conventional and "CT-like" ultrashort echo time (UTE) images	PO-2527	管艳	基于 MRI 的影像组学特征与儿童低级别胶质瘤免疫组化指标联系的研究
PO-2505	韩青	Discussion of children's axial-axis radiography techniques	PO-2528	杨艳丽	影像组学、临床因素和 CT 形态学特征的联合列线图模型在鉴别支原体肺炎和细菌性肺炎中的价值
PO-2506	张冀云	Cerebral blood flow changes in COVID-19 children with neurological symptoms	PO-2529	邓景	基于 DTI 图论分析法对痉挛型脑瘫儿童认知功能的研究
PO-2507	张冀云	A fully automated deep learning approach for accurate differentiation of subtypes in primary intracranial germ cell tumors using preoperative MR images	PO-2530	唐世龙	基于胎盘的虚拟磁共振弹性成像及基于 IVIM 的双指数和拉伸指数模型参数在预测小于胎龄儿预后中的价值
PO-2508	高芷欣	An Investigation into Disparities in Accuracy and Clinical Utility of Artificial Intelligence for Assessing Bone Age in Pediatric Imaging	PO-2531	唐世龙	基于 DTI 图论分析法对痉挛型脑瘫儿童认知功能的研究
PO-2509	吕莹	A Study Assessing the Precision of an Artificial Intelligence-Based Bone Age Measurement System for Evaluating Bone Age in Pediatric Patients with Delayed Growth and Development	PO-2532	唐世龙	基于胎盘的虚拟磁共振弹性成像及基于 IVIM 的双指数和拉伸指数模型参数在预测小于胎龄儿预后中的价值
PO-2510	罗达霖	Diagnosis of Fungal Infections and Management of Antifungal Agents in Pediatric Acute Lymphoblastic Leukemia: What is the Role of Chest CT	PO-2533	高凯	基于胎盘的虚拟磁共振弹性成像及基于 IVIM 的双指数和拉伸指数模型参数在预测小于胎龄儿预后中的价值
PO-2511	秦池	Exploring predictive factors for hypoplastic aortic arch development in pediatric patients with complex coarctation of the aorta	PO-2534	蒋士杰	研究探讨 3.0T 磁共振准连续式动脉自旋标记灌注中不同标记距离及延迟时间在新生儿缺血缺氧性脑病的应用分析
PO-2512	张冀云	Effect of different solutions on CT manifestation of crystal ball in vitro	PO-2535	孙雪峰	定量磁共振成像技术在注意缺陷多动障碍伴孤独症特征儿童诊断中的应用
PO-2513	张冀云	Evaluation of cerebral development in preterm infants by using multiparametric MRI	PO-2536	唐世龙	基于胎盘的虚拟磁共振弹性成像及基于 IVIM 的双指数和拉伸指数模型参数在预测小于胎龄儿预后中的价值
		Study and progression of artificial intelligence assisted system in bone age imaging assessment of children	PO-2537	陈双利	扩散峰度成像显示注意力缺陷 / 多动障碍儿童部分脑区灰质和白质发育异常
		Preliminary research on the construction of artificial intelligence bone age assessment system based on deep	PO-2538	王浩入	扩散峰度成像显示注意力缺陷 / 多动障碍儿童部分脑区灰质和白质发育异常
		learning of characteristic regions in digital hand-wrist radiograph	PO-2539	白刚	研究探讨 3.0T 磁共振准连续式动脉自旋标记灌注中不同标记距离及延迟时间在新生儿缺血缺氧性脑病的应用分析
		超声对肩胛裂的产前诊断价值：Meta 分析	PO-2540	毕璐琳	影像组学特征与儿童低级别胶质瘤免疫组化指标联系的研究
		深度学习在儿童先天性空间隔缺损和房间隔缺损辅助检测中的应用研究	PO-2541	王雪源	基于胎盘的虚拟磁共振弹性成像及基于 IVIM 的双指数和拉伸指数模型参数在预测小于胎龄儿预后中的价值
		儿童塑形性支气管炎的临床及 MSCT 影像特征分析	PO-2542	沈黎婷	基于胎盘的虚拟磁共振弹性成像及基于 IVIM 的双指数和拉伸指数模型参数在预测小于胎龄儿预后中的价值
		三维动脉自旋标记在足月新生儿缺氧缺血性脑病的早期诊断和预后分组中的价值	PO-2543	徐琳	弥散张量成像对孤独症谱系疾病儿童的研究
		双能 CT 小肠造影定量评估儿童克罗恩病活动性的初步研究	PO-2544	陈希文	弥散张量成像对孤独症谱系疾病儿童的研究
		双能 CT 虚拟平扫技术在儿童腹部增强 CT 扫描中的应用：降低辐射剂量	PO-2545	贾绚	能谱 CT 虚拟平扫在儿童腹部成像中的应用研究
		双能 CT 联合前瞻性心电门控技术在先心病患儿心脏 CT 血管成像的应用：辐射剂量与对比剂剂量	PO-2546	贾阳	能谱 CT 虚拟平扫在儿童腹部成像中的应用研究
		能谱 CT 在儿童胸部大血管疾病的应用	PO-2547	舒意凯	弥散张量成像对孤独症谱系疾病儿童的研究
		能谱 CT 虚拟平扫在儿童腹部成像中的应用研究	PO-2548	王晓霞	弥散张量成像对孤独症谱系疾病儿童的研究



PO-2549	曾伟彬	儿童甲型 H3N2 与 H1N1 流感相关性脑病的影像表现比较分析	PO-2588	廖 怡	儿童发育性口吃多模态结构磁共振成像与机器学习建立特征分类模型的研究
PO-2550	李 鹏	超低剂量胸部平扫结合深度学习算法 (DLR) 重建在儿童肺部感染筛查中的应用	PO-2589	何玉伦	儿童及青少年难治性颞叶癫痫脑网络改变与认知功能相关性研究
PO-2551	杨 楠	基于深度学习的 Bolus 跟踪技术在儿童腹部 CTA 中的性能评估	PO-2590	王媛媛	新生儿高胆红素血症患者的脑深部灰质核团和脑白质在定量磁化率图 (QSM) 上的变化
PO-2552	杨 楠	中国华北地区儿童心脏形态、功能磁共振参考值	PO-2591	陶晓娟	儿童流感相关性脑病的影像表现
PO-2553	白万晶	MRI 3D-UTE 序列不同翻转角成像以及与 3D-DESS 序列在未成年猪离体膝关节中的对比研究	PO-2592	刘婉晴	发育性口吃儿童脑血流异常的磁共振研究
PO-2554	胡颖熠	多模态 MRI 在脊髓性肌萎缩症肌肉定量研究中的应用进展	PO-2593	王 静	Oliver 病并卵巢颗粒细胞瘤一例
PO-2555	李亚琦	磁共振 3D UTE 序列与常规 2D 序列在儿童膝关节疾病中的对比研究	PO-2594	高 洁	早产风险对新生儿短程纤维微结构及发育模式影响的 dMRI 研究
PO-2556	孙记航	利用 MARs 及深度学习图像重建减少儿童脊柱术后 CT 图像金属伪影的可行性	PO-2595	朱 颖	LAMA2- 相关肌营养不良患儿大腿骨骼肌 MRI 改变特点
PO-2557	闫 岚	婴儿泛发性动脉钙化的一例报告并文献复习	PO-2596	李春鸽	儿童急性脑病的临床和磁共振表现分析
PO-2558	翟爱国	1 例婴幼儿心内膜弹力纤维增生症的 MRI 表现及文献复习	PO-2597	夏昕玥	MRI 对胎儿先天性高位气道梗阻综合征的诊断价值。
PO-2559	毛慧敏	基于 CT 三维可视化技术在儿童胰胆管合流异常肝血管解剖变异中的分析	PO-2598	文 深	儿童 X 线跟骨轴位摄影技术的探讨
PO-2560	宋思思	儿童慢性肾脏病心脏重构的 CMR 研究	PO-2599	郭 豫	DCE 和 IVIM 联合预测髋关节发育不良儿童复位后股骨头缺血性坏死
PO-2561	邱 露	基于沿血管周围弥散张量成像分析和脑网络参数诊断难治性癫痫	PO-2600	于晓军	儿童弥漫内生型脑桥胶质瘤的临床和影像学特征、治疗反应和总生存率之间的关系
PO-2562	陈锡建	“双低”扫描结合迭代重建技术应用于干细胞移植后儿童腹部大血管 CTA 成像	PO-2601	冯占起	多参数心脏磁共振在儿童心肌炎中的临床应用和研究进展
PO-2563	赵文华	基于头颅 MRI 影像学表现分析早产儿脑损伤与预后的相关性	PO-2602	黄婷婷	脑室周围白质损伤患儿发生混合型脑瘫的预测模型的建立
PO-2564	马秋红	儿童 H3 K27M 突变型弥漫性中线胶质瘤的 MRI 表现及随访	PO-2603	张冀云	人工智能在儿童骨龄影像评估的准确性与临床应用差异性的研究
PO-2565	许远帆	18F-FDG PET/MR 全身显像在儿童横纹肌肉瘤分期中的应用价值	PO-2604	王小飞	基于模糊聚类算法的早产儿 PWMD 的 MRI 影像组学及相关危险因素分析
PO-2566	孙惠苗	全面性发育迟缓婴幼儿脑白质微观变化 MRI 研究	PO-2605	惠丽红	脑损伤新生儿前额叶脑 γ -氨基丁酸与谷氨酸代谢改变研究
PO-2567	周 刚	ADC 值对儿童后颅窝良恶性肿瘤的鉴别价值	PO-2606	姜文龙	基于 CT 多模态技术在降低儿童先天性心脏病 CTA 辐射剂量上的应用价值
PO-2568	巨昕薇	神经与行为异常早期筛查模型的建立与应用：基于胎儿脑结构和母体血液指标的分析	PO-2607	郭 乔	儿童新型冠状病毒感染相关急性坏死性脑病的影像学表现及预后分析
PO-2569	张增俊	儿童脑结节性硬化症的影像学研究	PO-2608	白 瑛	MRI-DTI 在脑发育迟缓中的诊断价值
PO-2570	张增俊	多模态 MRI 对侧脑室旁白质软化症的诊断及预后评估	PO-2609	杜明珊	传统尸检与基于 7.0 T MRI 影像学虚拟尸检在死胎和胎儿畸形的表型特征描述中的比较
PO-2571	张增俊	儿童颈部肿块的影像学分析	PO-2610	王 冬	基于 3D-FIESTA 信号强度对自发性脑脊液耳漏与分泌性中耳炎鉴别诊断研究
PO-2572	张增俊	婴幼儿 LCH 多器官损害的临床与影像学表现	PO-2611	宋修峰	儿童腹部结外淋巴瘤的影像学表现
PO-2573	郝跃文	双能量 CT 小肠造影在儿童活动期炎症性肠病的临床应用	PO-2612	宋修峰	儿童 SAPHO 综合征临床及影像学表现
PO-2574	杨 琳	儿童淋巴瘤的 MRI 表现与病理基础	PO-2613	母芳芳	儿童智力障碍患者的多需求网络静息态功能连接改变的初步探索
PO-2575	宋 宇	Duchenne 异常肌营养不良症臀周肌群 MRI 生物标志物与临床运动功能的纵向研究	PO-2614	张忠和	10 周胎儿脑发育结构的 9.4T MRI 与组织学切片对照研究
PO-2576	秦 池	动脉自旋标记成像技术评估早产儿脑发育	PO-2615	王龙伦	基于扩散张量成像技术的学龄前儿童孤独症谱系障碍患者脑白质纤维束异常分析
PO-2577	孟宪磊	MRI 3D CISS 序列与 3D SPACE 序列在儿童眼部疾病中的应用	PO-2616	李 权	3D MERGE 在胎儿脊柱评估中的临床应用价值
PO-2578	张思琦	构建和验证儿童重症肺炎的 nomogram 预测模型	PO-2617	杨默然	特发性中枢性早熟及单纯乳房发育患儿腺垂体形态学参数与促性腺激素水平的相关性研究
PO-2579	张永远	儿童坏死性肺炎的 CT 影像学表现	PO-2618	石 浩	儿童不同部位淋巴瘤影像表现分析
PO-2580	李殊明	儿童胸膜肺母细胞瘤 CT 影像学表现	PO-2619	石 浩	儿童不同病原体感染相关坏死性脑病的影像学分析
PO-2581	刘 栋	腺垂体磁共振成像特征对女童性早熟鉴别诊断价值的研究	PO-2620	张 黎	基于薄层 CT 影像组学联合临床参数预测儿童腺病毒肺炎后闭塞性细支气管炎
PO-2582	程美英	儿童新型冠状病毒感染相关脑并发症磁共振表现分析	PO-2621	沈艳勇	扩散峰度成像结合机器学习识别全面发育迟缓儿童
PO-2583	徐生芳	MAP-MRI 扩散模型在新生儿高胆红素血症中的应用价值	PO-2622	黄婷婷	基于 MRI 建立并验证 6-24 月脑室周围白质损伤患儿发生脑瘫的预测模型：一项多阅片者多病例研究
PO-2584	易 婷	机器学习结合弥散基质谱成像的脑网络分析在学龄前 ASD 早期诊断中的应用	PO-2623	邬晓辉	基于 CT 影像组学的儿童肺炎支原体肺炎早期鉴别诊断的研究
PO-2585	胡子涛	基于 CT 定量测量与临床特征联合儿童重症 CAP Nomogram 预测模型的构建研究	PO-2624	陈 欣	A multicentre study predicting drug resistance after mycoplasma pneumoniae in children based on computed tomography (CT) radiomic features
PO-2586	杨 凤	基于人工智能的儿童骨折的自动检测和定位	PO-2625	王长浩	用药或未用药注意力缺陷多动障碍男性儿童丘脑体积改变
PO-2587	苏晓然	儿童原发椎管内原始神经外胚层肿瘤 / 尤文肉瘤的 MRI 影像表现			

中华医学会 第30次全国放射学学术大会

CHINESE CONGRESS OF RADIOLOGY 2023

PO-2626	郭志鹏	The relationships among neural activity and connectivities, peripheral GABA and dopamine levels, and appetite and weight disturbance in major depression		
PO-2627	张 羽	Nomograms based on clinical and imaging parameters help predict progress and outcome after concurrent chemoradiotherapy in patients with locally advanced cervical cancer		
PO-2628	张 羽	Models for assessing postoperative risk factors in patients with cervical cancer		
PO-2629	杨斌斌	Early Diagnosis of Patellofemoral Arthritis could be achieved using fat fraction of quadriceps femoris as imaging marker		
PO-2630	周 诚	Microstructural Degeneration in the Hypothalamic Subunits in Parkinson's Disease and Probable REM Sleep Behavior Disorder		
PO-2631	常 荣	Fat Fraction Quantified via Magnetic Resonance Spectroscopy in the Diagnosis of Osteoporosis: A Meta-analysis		
PO-2632	崔龙彪	Identification of transcriptional marker as predictors of short-term brain structural changes and associated cognitive impairments in first-episode schizophrenia		
PO-2633	杨 斌	Quantitative Analysis of Chest MRI Images for Benign-Malignant Diagnosis of Pulmonary Nodules		
PO-2634	陈 婷	High-Resolution Vessel Wall Imaging for Quantitatively and Qualitatively Evaluating In-Stent Stenosis of Intracranial Aneurysms Compared with CE-MRA and TOF-MRA		
PO-2635	魏晓凡	Association of Systemic inflammatory response index with intracranial plaque vulnerability and the severity of subsequent ischemic events		
PO-2636	邹 乔	Identification of invasive adenocarcinoma in pulmonary ground-glass nodules using zero echo time magnetic resonance imaging (ZTE-MRI)		
PO-2637	邹 乔	Predicting invasiveness of pure ground-glass nodules of Lung-Rads 2 using 3.0 T MRI		
PO-2638	庄白燕	Stress T1 Mapping Detecting Hibernating Myocardium in a Swine Model: A Validation Study with Pathology		
PO-2639	杨景云	The value of enhanced T2 FLAIR in the differential diagnosis of central nervous system lymphoma and high-grade adult diffuse glioma		
PO-2640	李逢芳	Disrupted resting-state functional connectivity and network topology in mild traumatic brain injury: An arterial spin labelling study		
PO-2641	马培旗	Correlation between cerebral perfusion by arterial spin labeling and blood lipids in patients with cerebral small vessel disease		
PO-2642	陈如串	Application of clinicopathological features and multiparametric magnetic resonance-based radiomics for predicting TP53-mutated prostate cancer		
PO-2643	罗慕晴	Comparative study on three kinds of 3.0 T MRI sequences for lumbar facet joint cartilage		
PO-2644	凡 娜	Analysis of high resolution MRI plaque burden and its correlation with ABCD2 scores in transient ischemic attack and acute ischemic stroke patients		
PO-2645	徐 润	Distinguishing benign from malignant breast lesions with tumor subregion complexity using fractal analysis		
PO-2646	程勃超	Social Support Mediates the Influence of Cerebellum Posterior Lobe Functional Connectivity Strength on Postpartum Depression symptoms		
PO-2647	徐 凯	Altered functional and morphological brain networks in major depressive disorder: Findings from the resting-state and structure analysis		
PO-2648	李 婕	Comparison of single-short, FOCUS single-short, MUSE, and		
PO-2649	莫 凡	FOCUS MUSE diffusion weighted imaging for pulmonary lesions: A pilot study		
PO-2650	夏 艺	Co-localization of dysfunction in auditory verbal hallucinations in schizophrenia: a study on state- and trait-based brain networks		
PO-2651	于瀛	Diffusion-weighted imaging using multiplexed sensitivity encoding (MUSE) without and with field-of-view optimized and constrained undistorted single-shot (FOCUS) In Different pathological types of pulmonary nodules and masses		
PO-2652	于瀛	Dysregulated brain dynamics in visual-motor network of type 2 diabetes and its relation to cognitive impairment		
PO-2653	姚善文	Study on the pattern of nucleus accumbens-associated dynamic functional network abnormalities in type 2 diabetes mellitus		
PO-2654	姚善文	Functional connection network mapping to explore structural and functional damage networks of the risk for schizophrenia and bipolar disorder		
PO-2655	刘思雨	Neural mechanism underlying the beneficial effect of Theory of Mind psychotherapy on early-onset schizophrenia: A randomized controlled trial		
PO-2656	陈静瑶	Functional gradient of the fusiform gyrus and its underlying molecular basis		
PO-2657	苑乐添	Correlations between DKI and DWI with Ki-67 Index in Gastric Adenocarcinoma		
PO-2658	杨清宁	Automatic Diagnosis and Measurement of Intracranial Aneurysms Using Deep Learning in MRA Raw Images		
PO-2659	王敏阳	A correlative study of pituitary MRI manifestations in patients with hyperprolactinemia		
PO-2660	胡梦瑶	Hippocampal dynamic functional connectivity, HPA axis activity, and personality trait in bipolar disorder with suicidal attempt		
PO-2661	胡梦瑶	The value of myocardial contraction fraction and long-axis strain to predict late gadolinium enhancement in multiple myeloma patients with secondary cardiac amyloidosis		
PO-2662	郑欢欢	The utilization of cardiac magnetic resonance in hypertrophic cardiomyopathy in the past 10 years (2013-2023): A bibliometric analysis based on Citespace		
PO-2663	徐 润	Measurement of tumor heterogeneity with habitats in breast cancer and its application in molecular subtype discrimination		
PO-2664	陈 盼	Hippocampal dynamic functional connectivity, HPA axis activity, and personality trait in bipolar disorder with suicidal attempt		
PO-2665	景 辉	The utilization of cardiac magnetic resonance in hypertrophic cardiomyopathy in the past 10 years (2013-2023): A bibliometric analysis based on Citespace		
PO-2666	费南希	Unraveling the Intricacies of Left Ventricular Hemodynamic Forces: Age and Gender-Specific Normative Values Assessed by Cardiac MRI in Healthy Adults		
PO-2667	郭子玄	Gut microbiota-brain-inflammation relationships in unmedicated bipolar disorder II: A prospective study		
PO-2668	阙 傲	The predictive value of myocardial microcirculation for left ventricular reverse remodeling in dilated cardiomyopathy patients		
PO-2669	谢 昊	Common and distinctions between the type 2 diabetes mellitus and Alzheimer's disease: A systematic review and multimodal neuroimaging meta-analysis		
PO-2670	张 何	Differentiation Value of Left Atrial Dysfunction in Reperfused		



PO-2671	张何	Chronic Myocardial Infarction	PO-2694	黄佳宇	Cerebral Infarction in MCAO Rats
PO-2672	张何	Effect of infarct location and size on Left Atrial Function: a cardiovascular magnetic resonance feature tracking study	PO-2695	李昕阳	Morphometry alterations of brain in patients with vestibular schwannoma after surgery: a pilot study
PO-2673	张中旭	Effect of infarct location and size on Left Atrial Function: a cardiovascular magnetic resonance feature tracking study	PO-2696	崔颖	Quantitative chemical exchange saturation transfer MR imaging of the substantia nigra and red nucleus in Parkinson's disease
PO-2674	马萧童	Study on the effect of acupuncture on brain function connection in patients with primary dysmenorrhea based on edge connection analysis	PO-2697	潘毅樊	Value of Non-Contrast Enhanced Vessel Wall MR imaging in Assessing Vascular Invasion of Retroperitoneal Tumors
PO-2675	桑紫帆	A study of functional brain networks in patients with primary dysmenorrhea based on graph theory	PO-2698	高亦安	Prediction of microvascular invasion in HCC based on multi-modality MR radiomics and Delta radiomics model
PO-2676	王艳	MRI-enhanced subtraction pattern in patient prognosis assessment in recurrent glioblastoma	PO-2699	陈晓琳	Brain iron deposition and analysis of risk factors in cerebral small vessel disease patients with different total CSVD scores: A quantitative susceptibility mapping study
PO-2677	秦梨	A comprehensive study of intracranial atherosclerotic plaque by 3.0T magnetic resonance high-resolution vascular wall technology	PO-2700	郝晓勇	Delta radiomics analysis based on multi-sequence contrast enhanced MRI to predict Ki-67 marker index in hepatocellular carcinoma
PO-2678	侯西蔓	Exploring Gray Matter Changes in Tinnitus with and without Hearing Loss: Source - based morphometry (SBM) and Voxel - based morphometry (VBM) study	PO-2701	冬冬	Evaluation of Myocardial Strain in Patients With Subclinical Hypertrophic Cardiomyopathy and Subclinical Hypertension Heart Disease Using Cardiac Magnetic Resonance Feature Tracking
PO-2679	胡然	Shared and Unique Alterations of Large-Scale Network Connectivity in drug-naïve Adolescent-onset and Adult-onset Major Depressive Disorder	PO-2702	沈杉杉	Compare the diagnostic performance of susceptibility-weighted imaging (SWI) and T2* mapping in evaluating articular cartilage at 3-Tesla MR scanner
PO-2680	李汶羽	Intravoxel Incoherent Motion Diffusion-weighted imaging for evaluating the pancreatic perfusion in cirrhotic patients	PO-2703	杨真偲	Brain regions involved in pain relief after operative treatment of trigeminal neuralgia
PO-2681	倪民桦	Ultrasensitive Magnetic Resonance Angiography based on Interlocking Stratagem for Diagnosis of Vascular Diseases	PO-2704	王修禹	Associations of quantitative susceptibility mapping with cortical atrophy and brain connectome in Alzheimer's disease: a multi-modal study
PO-2682	张中旭	Functional-structural decoupling in visual network is associated with cognitive decline in patients with type 2 diabetes mellitus: Evidence from a multimodal MRI analysis.	PO-2705	王修禹	Multiplexed Sensitivity Encoding versus Single-Shot Echo-Planar Imaging: A Comparative Study for Diffusion-Weighted Imaging of the Thyroid Lesions
PO-2683	刘豹	The influence of parallel acquisition technology and different compression perception acceleration factors on head and neck high-definition vascular wall imaging	PO-2706	郭然	Magnetic susceptibility and R2*-based texture analysis for evaluating liver fibrosis in chronic liver disease
PO-2684	魏恒乐	Assessing varicose veins of the lower extremities : a comparative study of non- contrast enhanced MRV with DSA	PO-2707	陈连芹	Dysfunction of the triple-network model is associated with cognitive impairment in patients with cerebral small vessel disease
PO-2685	陈瑜	Dysfunction of the triple-network model is associated with cognitive impairment in patients with cerebral small vessel disease	PO-2708	宋瑞瑞	Association of multimodal magnetic resonance imaging -derived brain age gap with the development of chronic kidney disease: a UK Biobank observational study
PO-2686	闵晨艳	Characterization of parotid gland tumors: whole-tumor histogram analysis of diffusion weighted imaging, diffusion kurtosis imaging, and intravoxel incoherent motion	PO-2709	田瑶天	Investigating Anorectal Function Using Postoperative MRI-based Fibrosis Score in Patients with Locally Advanced Rectal Cancer Receiving Neoadjuvant Chemoradiotherapy: A two-center study
PO-2687	方菡	The additive impact of metabolic syndrome on left ventricular deformation and function in patients with coronary artery disease assessed by 3.0T cardiac magnetic resonance feature tracking	PO-2710	周亮	Correlations between cognitive reserve, brain and cerebrospinal fluid volume in mild cognitive impairment patients
PO-2688	曹鑫	Biventricular Dysfunction and Ventricular Interdependence in Patients with Pulmonary Hypertension: A 3.0 T Cardiac MRI Feature Tracking Study	PO-2711	王宏超	High clear visualization and precise quantification of habenula based on STAGE
PO-2689	张玉金	Scientific research and clinical application of the recently developed "Firefly imaging": preoperative assessment of brain tumor blood vessels and intratumoral microbleeds	PO-2712	王继萍	Fat Free Muscle Area measurement based on clinical liver MRI workflow to assess sarcopenia
PO-2690	兰文婧	Amide proton transfer imaging of musculoskeletal tumors to characterize tumors and associate with Ki-67	PO-2713	张书航	The Imaging Features of LI-RADS Nonviable or Equivocal Lesions in The First Follow-up Evaluation After TACE for HCC to Predict Recurrence
PO-2691	黄丽娜	Evaluation of cerebral microbleeds and the correlation between cognitive impairment by SWI	PO-2714	梁晓	Altered neural intrinsic oscillations in patients with multiple sclerosis: effects of cortical thickness
PO-2692	林紫荆	Modulatory effects of aerobic training on the degree centrality of brain functional activity in subthreshold depression	PO-2715	朱静	Bidirectional analysis of myocardial strain in healthy Chinese people by cardiac magnetic resonance-feature tracking
PO-2693	马桢	MRI-based radiomics model to preoperatively predict mesenchymal transition subtype in high-grade serous ovarian cancer	PO-2716	谢昊	DKI Evaluation of Crossed Cerebellar Diaschisis after

中华医学会 第30次全国放射学学术大会

CHINESE CONGRESS OF RADIOLOGY 2023

PO-2717	吕慧婷	circuit is associated with the cognitive decline in patients with type 2 diabetes	PO-2739	洪靖蕊	patients with postherpetic neuralgia
PO-2718	刘宇豪	Altered effective connectivity of the pain matrix in herpes zoster and postherpetic neuralgia patients: a resting-state fMRI study with granger causality analysis	PO-2740	盖群	Association of MRI Findings with Paraspinal Muscles Fat Infiltration in Patients with Chronic Low Back Pain: A Multicenter Study
PO-2719	樊秋菊	Quantitative analysis of four-dimensional blood flow in cardiac magnetic resonance: A preliminary study on the loss of left ventricular viscous energy by vortex ring in healthy people	PO-2741	欧阳烽	Altered intersubject variability in functional connectivity within brain white-matter of major depressive disorder and its association with gene expression profiles
PO-2720	王瀚苇	Establishment and validation of a Nomogram Clinical prediction model for osteoporosis based on magnetic resonance DXION and MT techniques	PO-2742	罗骁	Diagnosis of spinal dural arteriovenous fistula: a multimodal magnetic resonance imaging assessment strategy
PO-2721	王瀚苇	Preoperative Vascular Heterogeneity Based on Dynamic Susceptibility-weighted Contrast MRI in Predicting Spatial Pattern of Locally Recurrent High-grade Gliomas	PO-2743	庞慧婷	Inferior frontal sulcal hyperintensities changes along the Alzheimer's disease continuum, and their association with amyloid and tau level
PO-2722	吴敏容	Radiomic analysis based on intratumoral heterogeneity to predict spatial recurrence patterns of high-grade gliomas	PO-2744	李烁	MRI is a potential prognostic imaging biomarker for 5-year survival in cervical cancer patients treated with neoadjuvant therapy followed by radical hysterectomy
PO-2723	刘洋洋	Diagnostic performance of modified O-RADS score combined with clinical features in the assessment of adnexal lesions with solid tissue based on non-DCE MRI	PO-2745	王燕停	High Resolution 3D T2-Weighted SPACE Sequence with Compressed Sensing Improved Diagnostic Performance in Muscle Invasion for Bladder Cancer Based on Radiomics
PO-2724	张治	T1 mapping and hepatocyte uptake indices in gadoxic acid-enhanced MRI for Quantitative Evaluation of Liver Function	PO-2746	黄晶	Nomogram based on apparent diffusion coefficient and MR features to differentiate intracranial solitary fibrous tumor (WHO grade II) from angiomyxoma meningioma
PO-2725	罗骁	The association between glymphatic system dysfunction and alterations in cerebral function and structure in patients with white matter hyperintensities	PO-2747	陈奎	An MRI study on the correlations between the atrophy of gray matter related to memory function, white matter damage, and memory impairment in patients with subcortical ischemic vascular disease
PO-2726	曹鑫	White Matter Hyperintensity Predicts Future Financial Capacity Impairment: A Study Based on Cognitively Normal Older Adults	PO-2748	罗骁	Functional disruption of brain subnetworks in patients with first and recurrent adolescent depression
PO-2727	汤桂贤	Radiomic Models for Distinguishing Unstable Carotid Plaques from Stable Carotid Plaques on High-resolution Vessel Wall MRI	PO-2749	罗骁	Assessment of the DTI-ALPS Parameter Along the Perivascular Space in Early- and Late-Onset Alzheimer's Disease
PO-2728	汤桂贤	Effects of bright light therapy on cingulate cortex dynamic functional connectivity and neurotransmitter activity in young adults with subthreshold depression: A double-blind randomized controlled trial	PO-2750	陈志华	Assessing the Relationship Between Brain Iron Levels and Glymphatic Function in the Alzheimer's Disease Continuum
PO-2729	王蕊	Alterations of apparent diffusion coefficient from ultra-high b-values in the bilateral thalamus and striatum in MRI-negative refractory epilepsy	PO-2751	罗白荷	Visualization of Collateral Vessels in 4D TRANCE MR Angiography Compared with 3D TOF in Moyamoya Disease
PO-2730	黄新淋	Performance of 0.55T magnetic resonance imaging (MRI) for parotid gland: Comparison with 1.5T and 3T MRI	PO-2752	罗白荷	Three-dimensional MR Elastography evaluates changing of melanoma stiffness after Dabrafenib treatment
PO-2731	孙琦	Abnormal Functional Connectivity in the Fronto-Strial Network in adolescent depression with Psychotic Symptoms	PO-2753	刘元早	The Diagnostic Value of Diffusion Weighted Imaging and Conventional Magnetic Resonance Imaging on Parotid Gland Tumors
PO-2732	孙琦	Application of Multi-echo in steady-state acquisition sequence in MR imaging of Inferior alveolar nerve	PO-2754	孙峰	Left Ventricular Dyssynchrony Measured by Cardiovascular Magnetic Resonance-Feature Tracking in Anterior ST-Elevation Myocardial Infarction: Relationship with Microvascular Occlusion Myocardial Damage
PO-2733	刘冰	The Value of Enhanced 3D-STIR Sequence in Detecting the Inferior Alveolar Nerve	PO-2755	罗江	RO-2754: Radiomics models based on multiparametric magnetic resonance imaging for early predicting the prognosis of peripancreatic collections in acute pancreatitis
PO-2734	曹金凤	DCE-MRI in cervical cancer: correlation between quantitative parameters and molecular markers HIF-1 α , VEGF, and Ki-67	PO-2756	刘金金	Performance of Node Reporting and Data System (Node-RADS): A Preliminary Study in Cervical Cancer
PO-2735	邵晗冰	Comparison of Monoexponential and Biexponential Model of Diffusion-Weighted Imaging in Grading Clear Cell Renal Cell Carcinoma	PO-2757	张月	Anti-motion ultrafast T2 mapping via multiple overlapping-echo detachment imaging technology based on deep learning
PO-2736	张聪	MRI radiomic features-based machine learning approach to identify H3 G34 mutation in patients with diffuse hemispheric glioma	PO-2758	宫琰	Predicting carotid plaque vulnerability by high-resolution vessel wall imaging with macrophage-targeted nanoagent
PO-2737	汤梦月	Effects of acupuncture treatment on changes in the brain structural covariance network in patients with primary dysmenorrhea	PO-2759	雷萍	雷萍: Detection of renal hemodynamic change in patients with chronic diseases by free-breathing 3D Turbo Gradient Spin Echo pCASL Sequence with different ROIs: a comparative study
PO-2738	熊佳欣	Study on the changes of brain structural covariance network in	PO-2760	范晨辰	Application of MRI-based radiomics model in preoperative grading of grade II and III gliomas
				马晓亮	The added value of ADC-based nomogram in assessing the



PO-2761	鲍艺文	depth of myometrial invasion of endometrial endometrioid adenocarcinoma	孙 晴	A Preliminary Study of Diffusion Weighted Imaging and Resting-state Functional MRI in the Link between Brain Structural and Functional Network Disruptions in Cirrhosis with Minimal Hepatic Encephalopathy
PO-2762	张 瑾	Resting-state functional MRI reveals altered brain neural activities and is correlated with brain amyloid- β deposition in type-2 diabetes with and without mild cognitive impairment.	李少雷	MRI-based Tumor Habitat Analysis for Treatment Valuation of Radiotherapy on Esophageal Cancer
PO-2763	龙凤华	Non-invasive isocitrate dehydrogenase 1 status prediction in grade II / III glioma based on magnetic resonance images: a transfer learning strategy	刘 洁	Diagnostic value of diffusion weighted imaging to predict cervical lymph node status of papillary thyroid carcinoma
PO-2764	吴佳昱	Brain magnetic resonance imaging predicts treatment outcomes in major depressive disorder	薄 娟	MRI differential diagnosis value between ovarian thecoma-fibroma with cystic degeneration and ovary adenofibroma
PO-2765	龙 婷	Altered hippocampal subfield volumes in chronic occupational manganese-exposed welders	陈懂燕	Brain recovery of the NAc fibers in smokers by high-frequency repetitive transcranial magnetic stimulation(rTMS)
PO-2766	唐鑫悦	Abnormal temporal variability of thalamo-cortical circuits in moderate to severe OSA patients	李俊林	Cervical transforaminal ligaments on MRI and its clinical significance
PO-2767	柏金全	Meta-analytical evidence of functional and structural brain abnormalities across Alzheimer's disease spectrum	陈 昱	Altered functional connectivity in the resting state of amygdala in patients with primary angle-closure glaucoma
PO-2768	杜彦瑶	Changes and correlation analysis of abdominal tissue in obese subjects after bariatric surgery: A prospective magnetic resonance imaging study	肖雅雯	3D pCASL with dual PLDs could reflect cerebral blood flow regulation in patients with hydrocephalus
PO-2769	郑瑞平	Gray matter thickness and subcortical nuclear volume injury in male SARS-CoV-2 Omicron survivors in the acute phase: a prospective longitudinal study	王 昊	A fixel-based analysis of micro- and macro-structural changes in end-stage renal disease with cognitive impairment
PO-2770	郑瑞平	Causal evidence for cerebello-striato-limbic circuit dynamics supporting depression	许祎帆	Central diabetes insipidus with thickening of pituitary stalk: Differential diagnosis Langerhans cell histiocytosis from germ cell tumors by clinical-radiologic features
PO-2771	孔祥闻	Decreased intrinsic neural timescale in first-episode, treatment-naïve adolescent depression	黄 靖	Quantitative Synthetic MRI evaluation of hippocampus in patients with multiple sclerosis
PO-2772	江建芹	Subtractionless compressed-sensing-accelerated whole-body MR angiography using two-point Dixon fat suppression with single-pass half-reduced contrast dose: feasibility study and initial experience	刘 键	Quantification imaging of renal steatosis in T2DM patients and reproducibility of IDEAL-IQ
PO-2773	邵紫薇	Multiparametric pulmonary MR-based radiomics nomogram for predicting brain metastases in patients with stage II-IV lung cancer	梁 晓	Multimodal MRI data to identify multiple sclerosis and neuromyelitis spectrum diseases: Machine learning analysis
PO-2774	何 健	The change of modular properties of functional brain network in patients with cervical spondylotic myelopathy	孙 慧	Quantitative brain anatomy analysis in aiding clinical evaluation of patients with severe mental illness: a preliminary study
PO-2775	何 健	Heart Failure with Normal Natriuretic Peptide Levels and Preserved Ejection Fraction: A Prospective Clinical and CMR study	曾 文	Assessment of AAA morphology using relaxation-enhanced angiography without contrast and triggering (REACT)
PO-2776	冯兆丰	Prognostic value of left atrial strain derived from CMR fast semi-automated long-axis strain analysis in cardiac light-chain amyloidosis	李 欣	T1 mapping-based Radiomics model in EOB-MRI for assessment of liver reserve function
PO-2777	杨舒一	The value of diffusion-weighted imaging for predicting pathologic response to neoadjuvant immunotherapy combined with chemotherapy in locally advanced resectable esophageal squamous cell carcinoma	高 敏	Assessment of Tissue Characteristics in Brain Tumors and Tumor Microenvironment Using Multi-Parameter MRI Based on Histogram Analysis
PO-2778	熊 星	Feasibility of bone marrow infiltration pattern and ADC values for assessment of tumor burden using multi-parameter MR in multiple myeloma	刘乃慈	Altered cortical structural topology in first-episode antipsychotic naïve patients with schizophrenia
PO-2779	张雨洁	Aberrant dynamic properties of whole-brain functional connectivity in patients with non-small cell lung cancer after chemotherapy revealed by Hidden Markov Models	董丘熠	White matter microstructural disruption in minimal hepatic encephalopathy: a neurite orientation dispersion and density imaging (NODDI) study
PO-2780	蔺 雪	A radiomics-based nomogram for preoperative T staging prediction of rectal cancer	吴 昊	A long-term study of patients with newly-diagnosed primary CNS lymphoma: Arterial spin labeling MRI can predict prognosis
PO-2781	祁海峰	MRI-based radiomics model for preoperative prediction of extramural venous invasion of rectal adenocarcinoma	姚 辉	Evaluation of the efficacy of PC cine MRI in patients with obstructive hydrocephalus and the ETV of traffic hydrocephalus
PO-2782	陈玉珊	Features of MR signals of retroplacental basal decidual space and its diagnostic significance	吴 菲	Enhancing MRI Image Quality and Meniscus Injury grading in Knee Joints with Deep Learning
		Multimodal imaging findings and predictive efficacy of primary diffuse large B-cell lymphoma of the central nervous system	李季璇	Decoupling of Regional Cerebral Blood Flow and Brain Function along the Alzheimer's Continuum
			马 琼	Radiomics analysis of diffusion kurtosis imaging for predicting locally advanced rectal cancer response to neoadjuvant chemoradiotherapy: a comparative study with diffusion weighted imaging

中华医学会 第30次全国放射学学术大会

CHINESE CONGRESS OF RADIOLOGY 2023

PO-2807	黄新琳	Exploring the neuropathological characteristics of abnormal white matter functional signaling in adolescents with major depression	PO-2830	高飞	Plastic alterations in cortical morphology due to age-related hearing loss: multiparametric mapping, multiscale neurobiological underpinnings and roles in cognitive impairment
PO-2808	陈雨薇	Characteristics of white matter networks in adolescents with first-episode non-suicidal self-injury	PO-2831	蒲倩	Evaluation of cardiac function and myocardial strain based on a novel 3D cine sequence
PO-2809	齐一伟	Artificial Intelligence (AI)-assisted compressed sensing technology application in Thoracic spine 3D STIR MR imaging	PO-2832	蒋宛霖	Preliminary study on the application value of ZTE sequence in calcified plaques of intracranial arterial wall
PO-2810	齐一伟	Artificial Intelligence (AI)-assisted compressed sensing technology application in hip 3D PD-SPAIR-ISO imaging	PO-2833	叶蕾	Clinical feasibility of multiparametric MRI in determining bladder-sparing strategy after initial systemic therapy for muscle-invasive bladder cancer Runninghead: MRI assessment of response to systemic therapy for MIBC
PO-2811	张奥翔	Effects of altered network controllability on attention and anxiety symptom in first-episode medication-naïve major depressive disorder patients	PO-2834	张玮	自由呼吸 Star-VIBE 序列动态增强联合 T1 mapping 成像在孤立性肺结节诊断中的应用价值
PO-2812	肖波	Magnetic Resonance Imaging for Acute Pancreatitis in patients with Type 2 Diabetes Mellitus	PO-2835	高瑶	磁共振扩散张量成像对女性青少年特发性胸腰弯腰椎间盘的定量研究
PO-2813	杨紫伟	Static and dynamic alterations of default mode network subsystem in patients with acute and chronic low back-related leg pain	PO-2836	王倩	磁共振动脉自旋标记及体素内不相干扩散技术评估 2 型糖尿病患者早期肾功能的改变
PO-2814	古成丽	Multiparametric magnetic resonance imaging shows promising results to detect early kidney injury in chronic kidney disease	PO-2837	周平	基于高分辨率 MRI 放射组学诺莫图的宫颈癌患者预后模型的构建
PO-2815	李小虎	Application value of cardiac magnetic resonance in patients with cardiac symptoms recovered from Omicron virus infection	PO-2838	邹兴雄	高和超高 b 值弥散加权腹部成像病灶检测和图像质量的定性和定量比较
PO-2816	李小虎	Application value of magnetic resonance endogenous contrast T1 ρ technology in the detection of myocardial fibrosis in type 2 diabetes	PO-2839	张茜	基于 PI-RADS v2.1 评分探讨不同经验影像医生采用双参数及多参数 MRI 对前列腺癌诊断效能的影响
PO-2817	李小虎	Early Detection of Myocardial Involvement by Noncontrast T1 ρ Mapping of Cardiac Magnetic Resonance in Type 2 Diabetes Mellitus	PO-2840	黄仪杰	中重度阻塞性睡眠呼吸暂停患者中的多层网络分析
PO-2818	邓炜	Changes in subclinical cardiac abnormalities 1 Year after recovering from COVID-19 in patients without clinical cardiac findings	PO-2841	杨晨升	多 b 值拟合 RESLOVE 弥散加权成像评估中轴型脊柱关节炎炎症活动性及疗效
PO-2819	林婕	Comparison of rFOV and fFOV magnetic resonance imaging image quality: A meta-analysis	PO-2842	王伟	外周带前列腺癌 PI-RADS V2 评分与 Gleason 评分的比较研究
PO-2820	梁伟强	Quantitative MRI analysis of brachial plexus and limb-girdle muscles as a diagnostic biomarker for upper extremity onset Amyotrophic Lateral Sclerosis	PO-2843	王伟	不同计算化高 b 值对外周带前列腺癌第二版前列腺影像和数据报告系统中弥散加权成像评分的影响
PO-2821	王宗猛	Integrating diffusion-weighted MRI radiomics features to predict brain invasion of meningiomas	PO-2844	许晓雯	3.0T MRI 扩散加权成像及灌注加权成像在肾脏良恶性肿瘤鉴别诊断中的价值
PO-2822	施京京	Capecitabine Induced Ileitis Worsened after Dose De-escalation	PO-2845	许晓雯	MRI 多模态成像技术在肾透明细胞癌分级诊断中的应用价值
PO-2823	翟曜耀	Relationship between brain damage and anxiety, depression, and cognitive impairment in patients with moderate to severe obstructive sleep apnea using diffusional kurtosis imaging	PO-2846	刘忠柳	多模态磁共振成像对宫颈癌化疗后早期效果评估的价值
PO-2824	张岱	Structural signatures of arithmetic abilities in children are associated with gene expressions	PO-2847	王亚弟	磁共振高分辨率血管壁成像技术对大脑深静脉系统显示的应用价值
PO-2825	谭裕奇	Fast Clinical Non-enhanced Sequences with Deep Learning Reconstruction in Abdominal MRI	PO-2848	马文婷	动态增强磁共振灌注参数对结直肠癌患者微卫星不稳定的预测价值
PO-2826	安冉	Parkinson's disease Diagnosis and Biomarker Analysis using rs-fMRI Functional Brain Network and Deep Learning	PO-2849	马培旗	mDIXON-quant 序列评估脂肪肝严重程度与尿液农药水平的关系
PO-2827	赵凡玉	Application of the magnetic resonance 3D multi-echo Dixon sequence for quantifying hepatic iron overload and steatosis in patients with thalassemia	PO-2850	庄白燕	心脏磁共振特征追踪成像在鉴别心脏淀粉样变性亚型中的诊断性能
PO-2828	魏璇	Gait Impairment-related axonal degeneration in Parkinson's disease: A Neurite Orientation Dispersion and Density Imaging Study	PO-2851	丁菲儿	钆贝葡胺增强磁共振成像的定量信息可预测单发肝细胞癌的增殖亚型
PO-2829	唐露	Evaluation of biventricular function in obese subjects after bariatric surgery by cardiac magnetic resonance feature tracking	PO-2852	李丽	利用 MRI 评价不同运动强度的正常体重青年男性的脂肪组织和肌肉的含量和功能
			PO-2853	张前	BASS-TRANCE 非增强血管成像技术在下肢动脉疾病的的应用价值
			PO-2854	秦智	基于线圈匀场技术改善颈部压脂成像质量的临床应用研究
			PO-2855	程卓	儿童膝关节软骨 DTI 成像中 b 值和弥散梯度方向数对成像结果的影响研究
			PO-2856	靳新娟	“显微镜”高分辨率 MRI 鉴别良、恶性皮肤局灶隆起性结节
			PO-2857	胡建平	多模态 MRI 影像组学在脑膜瘤分级预测中的研究
			PO-2858	杨谢锋	DWI 联合 SWI 及 DSC-PWI 在 IDH 突变型星形细胞瘤分级中的价值
			PO-2859	郑婉静	Gd-BOPTA 增强 MRI 鉴别 LI-RADS M 类别中肝细胞癌与



PO-2860	马菲尔	肝内肿块型胆管细胞癌的辅助征象及其附加价值 基于 ASL 成像机器学习智能预测糖尿病患者早期肾损伤及进展的新应用	PO-2892	张晋瑞	睡眠剥夺实验对小鼠类淋巴系统 DTI-ALPS 指数的影响
PO-2861	郭伟	基于多参数 MRI 的放射组学模型预测弥漫中线胶质瘤的 H3 K27M 突变状态：不同序列和机器学习技术的比较研究	PO-2893	杜亚楠	MR 弹性成像与超声实时剪切波弹性成像评估兔肝纤维化的对比研究
PO-2862	殷晓丽	应用动态对比增强 MRI 技术探讨直肠癌肝转移病灶环形强化特征在预后评价的价值研究	PO-2894	颜瑞馨	基于瘤内与瘤周影像组学的子宫内膜癌微卫星不稳定性预测
PO-2863	夏艺	MUSE 与 FOCUS-MUSE DWI 用于肺癌的初步研究：与 ki67 表达的相关性	PO-2895	阿布都克尤木江阿布力孜	基于磁共振的孕晚期前置胎盘数字三维模型临床应用的研究
PO-2864	邢振	使用 DWI 和 DSC-PWI 结合常规 MR 成像对世界卫生组织 II 级和 III 级星形细胞瘤 IDH 突变状态进行无创评估	PO-2896	李德福	基于脂肪抑制 T2 mapping-T2 弛豫时间的不同测量方法评价轻度甲状腺相关眼病活动性的研究
PO-2865	邢振	瘤体及瘤周区的 DWI 和 DSC-PWI 在鉴别胶质母细胞瘤 IDH 基因分型中的应用	PO-2897	王薪钢	脊髓小脑共济失调三型患者神经影像功能网络的研究
PO-2866	张小艳	基于 Gd-EOB-DTPA MRI 增强 T1mapping、R2* 定量参数及其联合指标评估乙肝肝硬化肝功能的价值	PO-2898	张何	心血管磁共振成像技术在急性 ST 段抬高型心肌梗死患者经皮冠脉介入治疗后心肌内出血中的研究进展
PO-2867	牛文举	基于多序列 MRI 影像组学的胶质母细胞瘤风险分层预测研究	PO-2899	张何	基于心血管磁共振技术评估心肌梗死研究进展
PO-2868	朱凤英	基于机器学习的放射组学模型区分脑胶质瘤和孤立性肺癌脑转移瘤及亚型	PO-2900	张中旭	基于连边分析研究针刺对膝骨性关节炎患者脑功能连接的影响
PO-2869	谢晓亮	非对称回波最小二乘估算法迭代水脂分离技术在肩关节 MRI 扫描的应用价值	PO-2901	牛晓凤	评估辐射诱导的轴突运输功能障碍：MRI 嗅觉通路成像
PO-2870	徐凯	抑郁症患者的功能及形态学脑网络同步构建与联合分析	PO-2902	王艳	基于 3.0T HRMR-VWI 技术对颅内动脉粥样硬化斑块与缺血性脑卒中的研究
PO-2871	邓颖	肿瘤全域表观扩散系数诺模图预测高级别子宫内膜癌	PO-2903	汪博泉	DCE-MRI 及高 b 值 DWI 在前列腺癌及前列腺增生鉴别诊断中的应用价值
PO-2872	徐凯	构建抑郁症患者大脑公共谐波及其形态学特征谐波能量差异性的分析	PO-2904	刘梦珂	基于 MRI 影像组学对原发性下肢淋巴水肿临床分期评估的研究
PO-2873	李娇	体素内不相干运动成像评估高等强度间歇运动与中等强度持续运动干预对骨骼肌灌注的影响	PO-2905	刘梦珂	MRI 在原发性下肢淋巴水肿分期中的价值
PO-2874	杨清宁	运用深度学习方法对 MRA 原始图像进行颅内动脉瘤全自动诊断和测量	PO-2906	杨洁	MR 降噪类深度学习重建技术在前列腺癌的临床应用研究
PO-2875	白晶晶	基于多序列磁共振影像组学在膀胱癌复发风险分层中的预后价值	PO-2907	曹雨薇	基于时间依赖性弥散 MRI 的微观结构映射用于鉴别高级别浆液性卵巢癌和浆液性交界性卵巢肿瘤
PO-2876	郝敏	基于多参数 MRI 的影像组学模型预测脑胶质瘤总生存期：一项多中心队列研究	PO-2908	曹雨薇	肥胖 / 超重多囊卵巢综合征患者的自发脑活动改变：一项静息态功能磁共振成像研究
PO-2877	胡梦瑶	CMR 组织追踪技术定量评估糖代谢异常患者左心室心肌应变的临床研究	PO-2909	程苗	非打药非触发的弛豫增强血管成像（REACT）技术初步探究
PO-2878	郭宇	磁共振检查技术在小鼠颅脑损伤疗效评估中的应用	PO-2910	梁秀琴	静息态全脑体素水平功能连接分析对脑小血管病相关轻度认知障碍患者认知水平的预测作用
PO-2879	颜雅兰	MRI 神经 - 骨融合成像在下颌第三磨牙拔除术中的作用	PO-2911	熊佳欣	带状疱疹后神经痛患者脑结构协变网络变化的研究
PO-2880	徐磊	动脉期不规则环形强化肝细胞癌的病理学特征及早期复发预后研究	PO-2912	牟鹏	基于冠状位平行肛管扫描的直肠癌 MR 影像分析：病灶与肛门解剖关系的研究
PO-2881	徐磊	基于钆塞酸二钠增强 MRI 构建双表型肝细胞癌的列线图预测模型	PO-2913	李文	3D-ASL 联合 APT 鉴别诊断高级别胶质瘤和单发脑转移瘤的价值
PO-2882	吴瑛	利用磁共振弥散张量成像评估盆源性腰痛大鼠椎旁肌纤维类型转化	PO-2914	张中旭	并行采集技术与不同压缩感知加速因子对头颈高清血管壁成像的影响
PO-2883	张聪	基于表面的形态学测量原发性痛经磁共振脑结构研究	PO-2915	阮啟超	西门子 3.0T 磁共振 Skyra 心肌延迟强化与平扫 T1 mapping 相关性分析
PO-2884	杨洁	MR-T2WI 及增强序列影像组学特征列线图鉴别卵巢囊肿和单房囊腺瘤的应用价值	PO-2916	胡鹏鑫	基于定量磁敏感图评估不宁腿综合征患者治疗前脑铁含量变化
PO-2885	冯若涵	首发未用药青少年抑郁症患者负性生活事件与大脑海马结构相关性研究	PO-2917	田博文	基于孟德尔随机化研究分析糖脂代谢指标与脑小血管病 MRI 特征之间的关系
PO-2886	冉红芹	增强 T1 加权流动敏感黑血成像在肺癌脑转移放疗疗效评估的应用研究	PO-2918	李娇	ADC 直方图分析对多发性骨髓瘤患者细胞遗传学高危的预测价值评估
PO-2887	唐若瑜	伴有抑郁症状的肠易激综合征患者前扣带回皮层亚区的静息态功能连接异常模式研究	PO-2919	秦石泽	基于 MR 双序列影像组学预测高强度聚焦超声消融子宫肌瘤后再干预风险
PO-2888	何畅	心脏磁共振组织追踪技术定量分析肥厚型心肌病左心室心肌应变的应用研究	PO-2920	王一婷	自动分割技术在颞叶内侧癫痫伴海马硬化亚区体积中的应用
PO-2889	白娟	基于 HR-VWI 的影像组学和机器学习识别基底动脉粥样硬化高危斑块	PO-2921	李少朋	5.0 T 超高场磁共振磁敏感加权成像（SWI）在肝细胞肝癌合并静脉系统癌栓的应用价值
PO-2890	曾瑞腾	高分辨率弥散加权成像（RESOLVE）对直肠肿瘤成像的探究	PO-2922	张耿标	经筋疗法改善失眠障碍患者类淋巴系统功能的磁共振研究
PO-2891	李松遥	对 200 例重庆地区多发性硬化临床和常规磁共振影像表现	PO-2923	林雪花	基于高分辨率血管壁 MRI 的颈部及颅内动脉夹层临床危险因素和影像特征
			PO-2924	陈琰	动态对比增强 MRI 预测直肠癌患者重度急性放射性直肠损伤的价值
			PO-2925	马桢	ADC 直方图在中枢神经系统淋巴瘤鉴别诊断中的价值

中华医学会 第30次全国放射学学术大会

CHINESE CONGRESS OF RADIOLOGY 2023

PO-2926	马桢	大鼠 MCAO 脑梗死后交叉性小脑神经机能联系不能的 DKI 评价	PO-2962	赵阳	基于沿血管周围间隙扩散张量成像技术的早期帕金森病患者脑内类淋巴系统循环功能改变的研究
PO-2927	杨静	基于多参数 MRI 的影像组学结合 PI-RADS 评分和临床变量的综合模型评估前列腺癌侵袭性的研究	PO-2963	彭飞	多回波 Dixon 技术定量输血依赖性疾病肝脏铁沉积的应用价值
PO-2928	陶秋成	基于使用供氧系统状态下提高胎儿磁共振检查成功率的研究	PO-2964	张家慧	术前 PI-RADS v2.1 与前列腺癌根治术后 Gleason 评分变化的关系
PO-2929	朱琴琴	动态低频振幅在阿尔茨海默病高危人群中的变化	PO-2965	王艺宁	新路易斯湖标准诊断急性心肌炎：心内膜心肌活检假阴性患者的心血管磁共振特征
PO-2930	黄钰莹	钆塞酸二钠增强磁共振成像在肝脏局灶性病变诊断及评估肝细胞癌病理分化程度的价值研究	PO-2966	李媛	慢性肾脏病患者脑血流量改变：基于 3D-pCASL 成像技术
PO-2931	陈录广	基于全病灶和全腺体双参数 MR 直方图与纹理分析检测前列腺临床显著性癌	PO-2967	奎晓玲	基于 MR-BOLD 的 R2* 值对盘源性腰痛大鼠 (DLBP) 椎旁肌微循环和肌肉功能改变的研究
PO-2932	张晓霄	肾动脉自旋标记成像参数定量分析：肾动脉狭窄介入治疗后灌注改善的无创指标	PO-2968	朱虹全	质子交换速率成像在脑胶质瘤诊断中的初步应用
PO-2933	何敏	退行性腰椎侧凸患者多节段椎旁肌群退变特点	PO-2969	周杰	比较 3DFast Spin Echo MRCP 两种不同采集方式的图像质量
PO-2934	赵雪莹	高分辨率磁共振血管壁成像在 SLE 患者早期脑血管炎性改变中的应用	PO-2970	邓景	利用胎盘虚拟磁共振弹性成像及 IVIM 参数联合 T2WI 纹理特征的列线图预测妊娠高血压患者的新生儿围产期不良预后
PO-2935	贾毓茜	颅颈一体化高分辨血管壁 MRI 成像联合 PWI 评估卒中复发危险因素	PO-2971	赵骏	健康重庆成年人下腰段后伸力的年龄和性别影响的退变规律：六回波 T2* 校正 Dixon 序列多参数评估研究
PO-2936	柳柏玉	基于扩散生成模型构建的高 b 值 DWI 在前列腺 MRI 阴性癌结节检测中的应用	PO-2972	刘锦	3D 酰胺质子转移成像和小视野弥散加权成像预测直肠腺癌病理分级的价值
PO-2937	吴昊	三维动脉自旋标记 MRI 监测原发性中枢神经系统淋巴瘤患者疗效和预测预后的长期研究	PO-2973	安琪	肌、脂、骨成分与心功能的关系
PO-2938	李金芹	基于自动脑分割技术对颞叶癫痫伴海马硬化患者颞叶亚区白质体积的分析及其临床应用价值	PO-2974	杨金泽	合成磁共振成像 T1、T2 弛豫时间在儿童孤独症谱系障碍中的应用价值
PO-2939	刘泽宇	3D FSE 序列在库欣病垂体微腺瘤患者术前 MRI 中的应用价值	PO-2975	张瀚月	探讨 HR-mDixonQuant 序列在定量棕色脂肪方面可行性的研究
PO-2940	杨巧丽	胎儿先天性膈疝膈肌缺损的 MRI 三维重建及其与预后的相关性	PO-2976	李军	HR mDIXON-Quant 与 mDIXON-Quant 对棕色脂肪定量的准确性研究：以 iDQC 为金标准
PO-2941	陆海迪	基于 MRI 放射组学直肠充盈在直肠癌术前 T 分期应用价值研究	PO-2977	王頤	IVIM-MRI 与 DWI 评估晚期宫颈癌盆腔转移淋巴结放疗疗效的临床价值
PO-2942	程畅	磁共振技术定量定性肾周脂肪组织的意义、可行性及优势	PO-2978	王兴兰	早期帕金森病伴认知障碍患者小脑的静息态功能连接的改变
PO-2943	李雨婷	单侧突发性感音神经性听力损失患者低频波动幅度的动态变化	PO-2979	李淑媛	分数微积分模型对子宫内膜癌分级中的价值
PO-2944	王浩天	磁共振成像影像组学特征对乳腺癌淋巴血管浸润的预测价值	PO-2980	陶英	基于体素的影像组学模型预测胶质母细胞瘤复发高风险区域
PO-2945	曹毅	3D-FIESTA-C 序列显示肘管综合征中弓状韧带价值的研究	PO-2981	曾一佳	三种不同 T1 成像方法在胎儿肠道磁共振的应用
PO-2946	方玉	基于 DISCO 的定量 DCE 技术在乳腺良恶性疾病中的诊断价值	PO-2982	李家钰	大脑中动脉粥样硬化斑块与脑白质高信号的磁共振研究
PO-2947	方玉	3D TOF-MRA 和 ZTE-MRA 在磁共振脑血管成像中的对比	PO-2983	周理余	单次屏气 3D-GRASE 序列在 MR 胰胆管成像的应用
PO-2948	栾一祎	DCE-MRI 成像联合临床及血管病理参数预测早期宫颈癌淋巴结转移	PO-2984	王克军	基于深度学习重建的加速合成 MRI 在膝关节骨关节炎中的应用
PO-2949	栾一祎	DCE-MRI 成像及微血管密度、周细胞覆盖率与宫颈癌淋巴结转移的相关性研究	PO-2985	李承毅	血管周围间隙扩散张量成像指数在帕金森病的应用价值研究
PO-2950	陈悦	基于 SWI 评估脑小血管病患者的认知功能障碍	PO-2986	邹智	静息态功能磁共振成像技术评估失眠障碍患者情绪及认知功能障碍
PO-2951	郝琪	非增强 MR 淋巴管成像在原发性乳糜尿中的诊断价值初探	PO-2987	谢芳芳	药物难治性颞叶癫痫患者脑结构 - 功能耦合的研究及构建术后复发风险预测模型
PO-2952	张琴	合成磁共振成像技术对肿块型浆细胞性乳腺炎及乳腺癌的鉴别诊断价值	PO-2988	程晓青	糖尿病相关动脉粥样硬化斑块的鉴别诊断：基于颅内高分辨率磁共振的放射组学研究
PO-2953	朱柳红	胸椎横断位 T1 压脂增强磁共振成像图像质量的对比研究： radial k 空间采样脉冲序列 vs. 传统笛卡尔 k 空间采样脉冲序列	PO-2989	王笑男	动脉自旋标记成像联合酰胺质子转移成像在阿尔茨海默病中的初步研究
PO-2954	卢锦婷	MRI 对乳腺癌患者新辅助化疗治疗效果的评价价值	PO-2990	胡尘翰	基于双参数 MRI 的深度学习 - 临床混合模型对临床显著性前列腺癌诊断价值的研究
PO-2955	陈思颖	脑小血管病总体负担与视网膜微血管异常的相关性研究	PO-2991	朱艳	基于 3.0T MR 的大鼠颅内出血模型构建评估的应用研究
PO-2956	康依蒙	优化髋关节磁共振成像：利用基于深度学习的重建技术提高图像质量并增强观察者之间的一致性	PO-2992	熊浩	CMR T1mapping 技术 MOLLI、ShMOLLI 和 SASHA 序列定量扩张型心肌病心肌纤维化的对照研究
PO-2957	罗朝天	新的肝脏铁定量方法——吲哚菁绿结合磁共振扫描	PO-2993	王亚魁	基于超材料的无线腕关节线圈优化 1.5T 磁共振成像
PO-2958	秦彩	DKI 比值法对肌层浸润性膀胱癌的诊断价值	PO-2994	王思齐	基于 MRI 脂肪分数图的 RSF 影像组学模型在 T2DM 中的应用价值研究
PO-2959	匡钦梅	血管源性脑白质高信号患者的合成 MRI 成像研究	PO-2995	梅楠	胶质母细胞瘤分子标志物 OLIG2 的预后作用及 MR 影像
PO-2960	张丹庆	QSM 对轻微型肝性脑病脑铁沉积的定量研究			
PO-2961	张丹庆	脑小血管病 MRI 总负荷与认知功能减退的相关性			



PO-2996	彭 婷	组学预测模型的研究 基于 MRI 影像特征评估接受 TACE 或放疗肝癌患者预后的初步研究	PO-3031	黄思泓	研究 Omicron 感染后急性期到慢性期恢复趋势以及持续性白质异常
PO-2997	尚丹丹	神经突方向离散度与密度成像 (NODDI) 在帕金森病脑深部核团微观结构变化的临床应用	PO-3032	林 琳	2型糖尿病患者脑结构链接独立成分分析及个体结构网络拓扑属性差异
PO-2998	钟林辉	多频 MRE 术前预测肝细胞癌 VETC+/MVI+ 的初步研究	PO-3033	陈若宜	伴自杀意念青少年重性抑郁障碍动态脑功能改变与皮质醇的相关性研究
PO-2999	程天馨	人工智能压缩感知不同加速因子在臂丛神经 MRI 成像中的应用	PO-3034	霍芊芊	MRI-DWI 联合 HE4、CA125 对卵巢良恶性肿瘤诊断鉴别的价值
PO-3000	任凯旋	基于 MRI 的改良脑小血管病负担评分联合颅内动脉责任斑块特征对卒中复发的预测价值	PO-3035	杨 帅	ConSept 法下扩张型心肌病心肌 T2 值准确性评估
PO-3001	胡鸿博	基于 3.0T MRI 的影像组学特征预测局部进展期直肠癌新辅助治疗疗效及多种分类器效能比较	PO-3036	王雪雯	生长激素缺乏对儿童结构脑网络影响研究
PO-3002	刘璟仪	氢质子磁共振波谱成像在胶质瘤分子特征中的应用	PO-3037	赵 伟	基于多模态 MRI 影像组学预测脑胶质瘤 IDH1 基因突变及 MGMT 基因甲基化状态
PO-3003	彭 飞	定量磁化率成像技术对地中海贫血患者脑铁沉积的定量研究	PO-3038	高 洁	2型糖尿病海马血管周围间隙扩大与海马容积及认知功能的相关性研究
PO-3004	李茜玮	基于时间依赖性磁共振弥散成像区分前列腺病变组织微结构研究	PO-3039	黄辉伟	轻微肝性脑病脑功能网络动态中心性的改变及其与代谢紊乱的关系
PO-3005	王宇新	基于深度学习的减影技术提高 LR-TR 诊断效能	PO-3040	张晓霄	扩散峰度成像评估 IgG4 肾脏疾病的可行性研究
PO-3006	宋承汝	伴海马硬化与 MRI 阴性颞叶癫痫静止和动态脑自发活动的异同	PO-3041	李海军	个体特异性功能连接对阻塞性睡眠呼吸暂停患者认知障碍分类及预测研究
PO-3007	李 栎	合成磁共振成像评估子宫内膜癌肌层浸润深度和预测病理类型的可行性：与高分辨 T2WI 和 DWI 的比较	PO-3042	岳晓宁	基于多序列 MRI 影像组学预测子宫内膜癌危险分层的研究
PO-3008	刘金金	基于治疗前 MRI 的影像组学特征分析预测局部晚期宫颈癌患者新辅助化疗后淋巴结转移情况：一项双中心研究	PO-3043	云 游	酰胺质子转移 MRI 和扩散加权成像定量参数直方图在中央腺体区前列腺癌和前列腺增生结节鉴别的诊断价值
PO-3009	王 倩	基于磁共振的鞘内化疗后 ALL 儿童的脑白质微结构研究	PO-3044	赵 洁	心脏磁共振定量评估心脏移植术后患者心肌纤维化程度
PO-3010	张 勇	长期吸烟人群静态脑网络异常的功能磁共振评价	PO-3045	袁文欢	肝性脑病患者局部自发脑活动异常改变的元分析
PO-3011	邵紫薇	脊髓型颈椎病大脑功能网络模块化特性的变化	PO-3046	赖世伟	自由呼吸全心黑血成像与普通黑血成像对比研究
PO-3012	梁 雪	3D 体液衰减反转恢复序列和黑血序列增强在肺癌柔脑膜转移诊断中的临床应用	PO-3047	陈 娟	MRI 影像组学模型预测肝细胞癌微血管侵犯的研究
PO-3013	黄小兰	肝胆特异期信号强度比值和表观弥散系数在肝脏局灶性病变良恶性鉴别诊断中的应用	PO-3048	胡 帅	大号超柔线圈 (Flexcoil Large) 应用于肩关节 MR 成像的可行性
PO-3014	孔祥闯	对比增强全身 MRA 新技术的临床应用研究	PO-3049	胡 帅	人工智能辅助压缩感知技术应用于肩关节快速磁共振成像的可行性
PO-3015	曹 赫	3.0T 磁共振三维成像序列对腰骶神经根成像的一致性对比研究	PO-3050	胡鸿博	基于多参数磁共振成像特征的深度学习预测直肠癌患者的 BRAF 基因突变状态
PO-3016	郭 茜	FACT 序列脂肪定量技术的临床运用研究	PO-3051	臧书芹	基于直肠磁共振的直肠侧系膜结构观察及其临床价值的探究
PO-3017	王银秋	基于增强心脏磁共振电影图像的组学分析对心肌淀粉样变患者的预后预测价值	PO-3052	郭 钰	基于 3D T2WI 的直肠癌转移性淋巴结诊断：影像 - 病理对照研究
PO-3018	江建萍	肺癌 B1 期校正 T1 mapping 影像组学特征的可重复性研究	PO-3053	马潇越	绝对定量磁共振灌注成像在缺血性脑卒中患者中的初步研究
PO-3019	张利岩	磁共振 DTI 技术定量参数在脑淋巴瘤与高级别胶质瘤鉴别中的应用	PO-3054	辛仲宏	APT 联合 IVIM 鉴别宫颈鳞状细胞癌病理分化程度
PO-3020	慕庚明	9 例阴道斜隔综合征影像表现及相关文献学习	PO-3055	曹 宸	颅内动脉粥样硬化性闭塞持续时间分析及对非急性再通价值
PO-3021	王玉瑶	常规 MRI 分形分析预测成人较低级别胶质瘤 IDH1 突变状态	PO-3056	李 倩	震颤型帕金森病的脑灰质体积及密度变化：一项基于 VBM 的研究
PO-3022	贾鸣男	自动脑分割在帕金森病、多系统萎缩及进行性核上性麻痹鉴别诊断中的应用	PO-3057	吴宗乾	锰掺杂超细氧化铁磁共振成像信号特点的对比研究
PO-3023	郭俊婷	基于多种磁共振弥散加权成像模型对膀胱癌肌层浸润性的评估	PO-3058	崔学飞	ALL 儿童鞘内预防性化疗后脑改变的 VBM 研究
PO-3024	张 超	基于 MRI 扩散张量成像评价宫内孤立性侧脑室扩张胎儿脑白质改变	PO-3059	李嘉豪	腹侧额叶和枕叶之间的功能连接可能是带状疱疹患者的有效神经影像标记物
PO-3025	郭益彤	基于 3D-IDEAL-IQ 序列评估椎旁肌肌肉脂肪浸润的可行性验证：一项多中心研究	PO-3060	袁 蕾	不同解剖分区前列腺癌的 fMRI 定量比较研究
PO-3026	李啸扬	腹部异位脂肪对糖代谢异常的潜在指示作用	PO-3061	董冰清	原发性失眠患者大脑静息态低频振荡振幅百分比和功能连接变化
PO-3027	刘 蕊	不同积液量 TMD 伴疼痛患者的静息状态功能磁共振成像研究	PO-3062	梁 晓	多模态 MRI 数据鉴别多发性硬化及视神经脊髓炎谱系疾病的机器学习分析
PO-3028	郑永宏	运用磁共振 Dixon 技术研究 2 型糖尿病与肝脏及胰腺脂肪含量的相关性	PO-3063	迟 娟	基于脑肠轴探究功能性消化不良患者脑网络的拓扑改变
PO-3029	霍芊芊	基于 MRI-DTI 及 MAGIC 技术对面肌痉挛患者的脑结构和功能的研究	PO-3064	蔡 非	DCE-MRI 联合 Micro-CT 评价四氯嘧啶诱导兔糖尿病合并肢体会缺血骨髓内皮祖细胞功能和骨微结构改变
PO-3030	朱 艳	基于 3.0T MR 的裸鼠颅内异种原位癌模型构建评估的应用	PO-3065	伏广东	基于深度学习技术的脊柱磁共振图像生成算法的临床验证研究

中华医学会 第30次全国放射学学术大会

CHINESE CONGRESS OF RADIOLOGY 2023



PO-3066	张鹏鹏	睡眠碎片化与左心室结构功能的线性关系: The Multi-Ethnic Study of Atherosclerosis(MESA)	PO-3102	苑冠杰	酰胺质子转移成像与扩散峰度成像在无创定量评估慢性肾病患者肾功能及病理中的比较研究
PO-3067	潘佩纯	脑室旁白质高信号独立于脑萎缩加重 T2DM 认知功能下降	PO-3103	付佳亮	基于多参数 MRI 影像组学评估卵巢癌淋巴结转移的研究
PO-3068	马超	DWI 梯度非线性误差校准在胰腺疾病中的应用价值研究	PO-3104	王宁	系统性红斑狼疮患者大脑半球间镜像同伦功能连接研究
PO-3069	周梦迪	基于 rs-fMRI 探索机器学习算法对间歇性外斜视儿童患者脑改变分类识别效果的研究	PO-3105	杨紫伟	急慢性下腰退痛患者默认网络子系统的动静态神经机制变化
PO-3070	王楠	压缩感知技术在颈静脉成像中的应用	PO-3106	陶然	磁共振细胞特征成像 IMPULSED 序列的研究进展
PO-3071	刘磊	MOGAD 和 AQP4+ NMOSD 颅内病变分布概率与神经递质分布的关联研究	PO-3107	朱蓉	酰胺质子转移成像在前列腺癌诊断及危险分层评估中的应用价值
PO-3072	肖轩	基于心脏共振和机器学习建立肥厚型心肌病不良预后风险评估模型	PO-3108	阮鹏	基于 DCE-MRI 分析评价免肢体高压电烧伤早期骨骼肌变化
PO-3073	袁蕾	前列腺癌分区异质性生境成像研究	PO-3109	张琪	应用 QSM 评估帕金森病合并 2 型糖尿病患者的脑静脉血氧饱和度变化
PO-3074	郝勇飞	超高 b 值 DWIb1000、DWIb2000 和 DWIb3000 在直肠癌 3TMRI: 一项图像质量评估和影像组学特征的初步研究	PO-3110	祁颖艺	用于 3T 小动物成像的智能无线超材料
PO-3075	王雪樱	基于集成机器学习方法结合术前颅脑磁共振影像学特征鉴别单发性脑转移瘤和多形性胶质母细胞瘤的研究	PO-3111	刘梦	CT 联合 MR 多序列成像对胆总管小微结石的诊断价值
PO-3076	杨培	MINOCA 的影像学表现	PO-3112	虞心田	基于化学交换饱和转移成像鉴定氧化还原代谢物的体内及体外实验
PO-3077	傅彦	关于青少年边缘型人格障碍的非自杀性自残行为和视觉工作记忆与脑白质微结构改变的关系的研究	PO-3113	宋欣龠	3.0T 磁共振风车 dS ZOOM 技术与高分辨率技术在直肠肿瘤成像中的应用价值
PO-3078	冷月爽	DKI 及 DTI 技术评估颈动脉斑块患者颅脑微观结构改变	PO-3114	许晓阳	凝血功能参数联合 MRI 预测胎盘植入患者剖宫产术中出血风险
PO-3079	孙仕林	伴忧郁特征抑郁症患者壳核功能连接与其认知功能障碍的相关性研究	PO-3115	蒲倩	基于单次屏气三维电影序列评估心脏功能和心肌应变的研究
PO-3080	唐小平	动态对比增强磁共振评价伴轻度认知障碍的 2 型糖尿病患者血脑屏障通透性	PO-3116	郑小燕	不同流速编码在脑积水患儿的脑脊液电影成像的可行性研究
PO-3081	刘娜	磁共振 IDEAL-IQ 与 mDIXON Quant 技术对腹部、椎体脂肪定量的对比分析	PO-3117	黄超	可视化呼吸训练在肝脏 MR 增强扫描序列中的应用
PO-3082	黄侃	初探静音技术在颅脑磁共振成像中的应用	PO-3118	程巍	非缺血性扩张型心肌病患者中期心脏磁共振随访的预后价值: 一项前瞻性队列研究
PO-3083	付其昌	颅内动脉瘤的 DCE-MRI 和 4D-flow-MRI 研究	PO-3119	邵丹丹	刀锋伪影校正技术在精神疾病患者海马 MRI 检查中的应用研究
PO-3084	陈思涵	基于高分辨率 MRI 的影像组学评估颈动脉斑块患者 CEA 术后围手术期 NIHLS 的研究	PO-3120	蒲倩	血液透析患者心脏结构和功能改变的磁共振研究
PO-3085	刘娜	平面回波成像校正(EPIC)联合低方差表观弥散系数(LOVA ADC) 在颈髓 DWI 和 DTI 序列中的应用	PO-3121	焦飞涵	MENSA 和 CUBE STIR 技术对坐骨神经图像质量的比较价值
PO-3086	刘娜	基于压缩感知技术联合风车采集优化颅脑 T2 加权成像	PO-3122	焦飞涵	功能 MRI 联合生化指标对肾氧合水平与早期肾功能损伤的应用
PO-3087	叶蕾	基于定量 T2-mapping 和常规膀胱磁共振的影像组学模型预测膀胱癌高低级别的价值	PO-3123	田健	磁共振 Radial vibe T1 序列在胎儿中枢神经系统疾病的的应用
PO-3088	刘玉凤	DCE-MRI 纹理分析精准评估乳腺良恶性病变的应用价值	PO-3124	薛艺珂	静态血氧水平依赖功能磁共振成像对急性脑梗死患者上肢运动功能康复的诊断价值
PO-3089	刘明朋	DCE-MRI 动脉早期宫颈黏膜强化对诊断子宫内膜癌宫颈间质浸润的价值	PO-3125	张嘉诚	钆塞酸二钠增强 MRI 在结直肠癌肝转移术前评估中的临床价值
PO-3090	夏会	基于术前 T2 磁共振影像组学预测结直肠癌肝转移瘤 TACE 术后早期疗效的研究	PO-3126	华艳秋	轻度认知功能障碍中脉络丛的临床价值
PO-3091	岳汛	探讨磁共振特征追踪技术在帕金森病患者左心评估中的价值	PO-3127	李磊磊	基于任务态功能磁共振的睡眠剥夺和日间小睡对工作记忆的影响
PO-3092	黄社磊	磁共振 3D-THRIVE 增强序列联合 MIP 重建在复杂性肛瘘患者中的诊断效能及治疗指导价值研究	PO-3128	戴艳芳	磁共振黑血成像技术评价脑静脉窦血栓再通的应用价值
PO-3093	王楠	AI 辅助压缩感知技术在上腹部 T2WI 序列中的应用	PO-3129	杜兵	基于磁共振弥散模型不同功能参数图的影像组学分析在临床显著性前列腺癌中的诊断价值
PO-3094	耿宽	1H 磁共振波谱结合模式识别对食管鳞癌诊断标志物的探寻研究	PO-3130	孙轶群	MRI 评估局部进展期直肠癌新辅助放化疗联合免疫治疗疗效——复旦肿瘤医院经验
PO-3095	罗贺丹	多参数集成序列联合人工智能压缩感知技术在颅脑中的应用	PO-3131	陶黎	时间飞跃法磁共振静脉血管成像在髂静脉压追综合征腔内粘连结构特征分型中应用价值研究
PO-3096	尹娜	黑血技术增强序列在颅内微小转移瘤诊断中的应用价值	PO-3132	常英娟	无对比剂自由呼吸 mDixon 序列冠脉 MRA 与冠脉 CTA 的图像质量对比
PO-3097	尹娜	基于 fMRI 技术探索化疗对 NSCLC 患者认知、情绪障碍影响的神经生物学机制	PO-3133	林港	体表标记投影结合 3D-nerve view 在臀肌挛缩术前应用价值
PO-3098	罗贺丹	基于人工智能辅助下的压缩感知技术优化颅神经一站式 3D-MATRIX 成像	PO-3134	蒋雨	高强度聚焦超声 (HIFU) 治疗子宫肌瘤早期疗效的磁共振影像组学研究
PO-3099	罗贺丹	多参数集成序列定量参数联合 rADC 值鉴别诊断高级别胶质瘤与脑转移瘤的应用价值	PO-3135	程巍	扩张型心肌病 LGE 模式与左心室逆转重构的关系
PO-3100	颜美静	特发性正常压力脑积水特征性结构变异脑网络拓扑属性的研究	PO-3136	程巍	变形配准分析测量的分层周向应变: 基于 DENSE 序列验证
PO-3101	张孟哲	吸烟成瘾与体重状态交互作用的脑结构磁共振研究			



PO-3137	王正福	基于冠状动脉 MRA 脂肪分数对冠状动脉粥样硬化患者的预测效能评价	PO-3167	许文泽	TACE)
PO-3138	高亚男	发作性睡病患者内侧前额叶 GABA+/Glx 比值与认知功能异常相关性的 MRS 研究			Transarterial chemoembolization combined donafenib with/without programmed death-1 inhibitors for initially unresectable hepatocellular carcinoma: a multicenter retrospective study
PO-3139	刘宗霖	基于机器学习的多参数影像组学模型预测结直肠癌的共识分子亚型 4 (CMS4)：一项多中心回顾性研究	PO-3168	梁超	A Multicenter, Retrospective Study Comparing the Efficacy of BACE Combined with Anlotinib and BACE Alone in the Treatment of Advanced Non-small Cell Lung Cancer
PO-3140	赵思荟	正常人浅睡眠期额叶 GABA+ 水平与脑电连接网络拓扑效率的相关性研究	PO-3169	褚玥	Prognostic value of venous outflow profiles on multiphase CT angiography for the patients with acute ischemic stroke after endovascular thrombectomy
PO-3141	邹锦莉	基于 MR T2WI 影像组学模型对胎盘植入性疾病进行产前诊断及分型	PO-3170	张旭胤	Development and validation of a predictive model of nondiagnostic results in patients undergoing CT-guided percutaneous transthoracic needle lung biopsy
PO-3142	张濛	基于深度学习重建的磁共振成像在胰腺占位性病变中的应用价值	PO-3171	代艳美	The Superior Efficacy of Combination Transarterial Chemoembolization with Radiofrequency Ablation in Patients with Hepatocellular Carcinoma: a Meta-Analysis
PO-3143	栾继昕	利用孟德尔随机化探讨多模态磁共振脑影像与耳聋之间的因果关系	PO-3172	张利捷	Hepatitis B virus reactivation in hepatocellular carcinoma patients after hepatic arterial infusion chemotherapy combined with and without immunotherapy
PO-3144	袁野	深度学习结合压缩感知技术在屏气 3D MRCP 中的临床应用	PO-3173	尹璇	A Comparison of the Performance of 68Ga-Pentixafor PET/CT versus Adrenal Vein Sampling for Subtype Diagnosis in Primary Aldosteronism
PO-3145	陈诗	MRI 影像组学结合临床预测 ≤5 cm 肝细胞癌患者的粗梁亚型	PO-3174	王丹丹	Role of radiomics in predicting the therapeutic efficacy of initial transarterial chemoembolization in hepatocellular carcinoma: a systematic review and meta-analysis
PO-3146	冯岩	常规磁共振特征在诊断星形细胞瘤 (IDH 突变型) 及预测分子状态中的临床价值	PO-3175	孙博	Radiofrequency Hyperthermia Enhances the Effect of OK-432 for Hepatocellular Carcinoma Via Activation of TLR4-cGAS-STING Pathway
PO-3147	方鑫	基于深度学习重建的缺血性卒中“百秒”快速磁共振成像的可行性	PO-3176	郭煜升	Ablation alone is noninferior to radiotherapy plus ablation in the patients with early-stage hepatocellular carcinoma: a population-based study
PO-3148	胡万均	改良磁共振 REACT 成像技术在全身血管成像的临床应用	PO-3177	周宇涵	Enhancing Follow-Up Diagnostic Effectiveness in Patients with 125I Seeds: A Combined Approach Incorporating Spectral Computed Tomography and Metal Artifact Reduction Algorithm
PO-3149	赵以惠	多序列 3D-MRI 影像组学对乳腺小肿块的鉴别价值	PO-3178	白耀威	Impact of sarcopenia on prognosis in primary hepatocellular carcinoma patients treated with transcatheter arterial chemoembolization: A single center retrospective study
PO-3150	田蕾	首发未服药强迫症患者岛叶亚区功能连接变化及其与认知灵活性的相关性研究	PO-3179	白耀威	Dual neovascular targets of VEGFR and PDGFR ameliorate thioacetamide (TAA) induced liver fibrosis in rats
PO-3151	李诗诺	基于心脏磁共振 T1 mapping 建立影像组学模型在鉴别急性与慢性心肌梗死中的应用价值	PO-3180	陈超	Preliminary study on the mechanism of medical ozone water promoting apoptosis of hepatocellular carcinoma cells
PO-3152	盛爱珠	磁共振全身脂肪分布特征与代谢风险相关性研究	PO-3181	朱丽彬	Treatment of Gastrointestinal Tumor Liver Metastases with the Combination of Apatinib and Transarterial Chemoembolization
PO-3153	王恩锋	失眠障碍患者静息态视觉脑网络研究	PO-3182	朱丽彬	Efficacy of radiofrequency ablation vs liver resection in the treatment of hepatocellular carcinoma with severe fibrosis
PO-3154	侯国瑞	3D 酰胺质子转移成像与扩散峰度成像对前列腺癌的诊断价值研究	PO-3183	朱丽彬	Liver Resection Combined with Radiotherapy versus Liver Resection Alone in the Treatment of Hepatocellular Carcinoma: A Population-based Study
PO-3155	李梅成	MAGIC 技术在定量垂体铁沉积中的应用价值	PO-3184	王国权	Retrograde Type A Aortic Dissection During or After Thoracic Endovascular Aortic Repair: A Single Center 16-Year Experience
PO-3156	梁建乐	磁共振 Thrive_3D_iso 序列评估腋窝淋巴结转移的研究与应用	PO-3185	宋松林	Hepatic arterial infusion chemotherapy combined with toripalimab and surufatinib in the treatment of advanced intrahepatic cholangiocarcinoma: A single center retrospective study
PO-3157	康英杰	基于独立成分分析的轻度肝性脑病的大尺度网络功能连接研究	PO-3186	宋松林	Hepatic arterial infusion chemotherapy combined with target/immunotherapy for advanced hepatocellular carcinoma:
PO-3158	蒋学涛	PD - 3D MATRIX - SPAIR 序列联合人工智能压缩感知技术对踝关节的应用价值			
PO-3159	桂玉熙	基于 4D-FLOW MRI 的小型颅内动脉瘤内及动脉瘤临近载瘤动脉局部血流动力学分析			
PO-3160	张利捷	Prognostic value of CRAFITY score in hepatocellular carcinoma after transarterial chemoembolization combined with tyrosine kinase inhibitors and PD-1 inhibitor			
PO-3161	张利捷	Safety and Effectiveness of Transarterial Chemoembolization in Patients with Hepatocellular Carcinoma Aged Greater Versus less than 80 Years			
PO-3162	江哲宇	Downregulated FTO promotes MicroRNA-155-Mediated inflammatory response in cerebral ischemia/reperfusion injury			
PO-3163	张骜丹	Neutrophil-to-HDL-C Ratio as an Inflammatory Biomarker in Patients with Anxiety and Obstructive Coronary Artery Disease: a Retrospective Study			
PO-3164	郭雅文	Bacterial community analysis of pyogenic liver abscess with or without gas formation by 16S rDNA sequencing			
PO-3165	郭雅文	The correlation between duration of symptoms and CT features in pyogenic liver abscess patients			
PO-3166	郭馨雨	Multiparametric MRI-based Radiomics Nomogram Predicts the Recurrence of Hepatocellular Carcinoma After Postoperative Adjuvant Transarterial Arterial Chemoembolisation (PA-			

中华医学会 第30次全国放射学学术大会

CHINESE CONGRESS OF RADIOLOGY 2023

PO-3187	王朝阳	tumour response and safety Reversion of liver cirrhosis after endovascular treatment in Chinese patients with Budd-Chiari syndrome	PO-3206	汪桠琴	Decreased CD11b+/CD33+/CD14+/HLA-DRlow/-(mMDSC) and stable HLA-DR-/CD14-/CD33+(eMDSC) in Patients with Hepatocellular Carcinoma after Microparticles-Transarterial Chemoembolization
PO-3188	任衍乔	Melatonin enhances the efficacy of anti-PD-L1 antibody by improving hypoxia in residual tumors after insufficient radiofrequency ablation	PO-3207	刘华平	CRISPR/Cas9-Mediated SHP-1-Knockout T Cells Exhibit Anti-tumour Activity in Hepatocellular Carcinoma, Enhanced by Simvastatin
PO-3189	陈磊	A surprising effect of metformin plus transarterial chemoembolization on hepatocellular carcinoma patients with type II diabetes	PO-3208	刘曦	The clinical application of Transarterial embolization via radial artery in the treatment of hemorrhagic diseases in obstetrics and gynecology
PO-3190	任衍乔	Drug-eluting beads transarterial chemoembolization combined apatinib/ camrelizumab for advanced hepatocellular carcinoma with hepatic arterioportal shunts	PO-3209	刘曦	Efficacy and safety of TACE combined with HIFU in the treatment of massive hepatocellular carcinoma with portal vein tumour thrombosis
PO-3191	吴文龙	Safety and Efficacy of Sorafenib Combined with Camrelizumab Plus Transcatheter Arterial Chemoembolization for Intermediate and Advanced Hepatocellular Carcinoma	PO-3210	胡鸿涛	Local ablation of pulmonary malignancies abutting pleura: evaluation of midterm local efficacy and safety
PO-3192	张鸿森	Radiofrequency-Thermal effect of cisplatin-crosslinked nanogels for triple therapies of Ablation-Chemo-Embolization	PO-3211	曹磊	Efficacy and Safety of regorafenib plus a PD-1 inhibitor and transarterial chemoembolization for treating advanced hepatocellular carcinoma
PO-3193	王迎亮	Synergistic effects of nanoscale CaO2 combined with PD-1 inhibitors in the treatment of hepatocellular carcinoma: a promising combination	PO-3212	宋欣颖	Prediction of Early Treatment Response to Initial Conventional Transarterial Chemoembolization for Caudate Lobe Hepatocellular Carcinoma: A Retrospective Study
PO-3194	董祥军	The solid tumor microenvironment and related targeting strategies	PO-3213	马娅琼	The Value of Spectral CT Iodine Density in Predicting Pulmonary Hemorrhage in Percutaneous CT-guided transthoracic Lung Tumor Biopsy: Single-Institution Experience of 458 Cases
PO-3195	刘家成	Synergistic effect of a VEGFR targeting peptide-drug conjugate with the anti-PD-1 antibody on hepatocellular carcinoma	PO-3214	陈桂玲	基于多模态CT预测急性前循环闭塞性脑卒中机械取栓术后预后的研究
PO-3196	王富权	Drug-eluting (irinotecan) bead transarterial chemoembolization with CalliSpheres® microspheres for treatment colorectal cancer liver metastases patients who fail chemotherapy treatment	PO-3215	江哲宇	吡非尼酮通过抑制肝星状细胞自噬促进凋亡治疗肝纤维化
PO-3197	范宏杰	Risk assessment of pneumothorax in colorectal lung metastases treated by percutaneous thermal ablation: a multicenter retrospective cohort study	PO-3216	杨威威	CT三维导航下经皮肺穿刺活检术的临床应用价值
PO-3198	黄嘉	GM-CSF armed herpes simplex virus treats residual tumors after incomplete radiofrequency ablation by activating innate immunity and reprogramming tumor microenvironment	PO-3217	何梦娇	PRECEDE 模式在急性心梗介入治疗患者中的护理效果
PO-3199	刘佳韵	HBV reactivation in HBV-related hepatocellular carcinoma patients undergoing hepatic arterial infusion chemotherapy in combination with tyrosine kinase inhibitors plus immune checkpoint inhibitors	PO-3218	石静	CalliSpheres 载药微球经导管灌注化疗栓塞治疗肝癌的临床研究
PO-3200	钱坤	Molecular mechanisms of Heat-enhanced Local Chemotherapy: Doxorubicin's penetration promoted and HSP70 high expression both contributed to enhanced the effect of comprehensive treatment under heat-stress condition	PO-3219	石静	肾包膜动脉栓塞联合超选择性肾动脉栓塞治疗损伤性肾出血
PO-3201	钱坤	Feasibility and safety of ultrasound-guided real-time needle aspiration biopsy sequential Transhepatic artery embolization in the management of liver tumor	PO-3220	石静	氢吗啡酮自控镇痛 (PCIA) 法对瘢痕妊娠患者子宫动脉栓塞术的进行术后镇痛的有效性和安全性
PO-3202	张鸿森	Wood Structure-inspired Injectable Lignin-basedNanogels as Blood-Vessel-Embolic Sustained Drug-releasing Stentfor Interventional Therapies on Liver Cancer	PO-3221	石静	双侧髂内动脉 Fogarty 球囊阻断术在剖宫产术后瘢痕妊娠辅助清宫手术中的疗效与安全性
PO-3203	张桂林	Transarterial chemoembolization combined with radiofrequency ablation and iodine-125 seeds implantation under combined imaging guidance for hepatocellular carcinoma in high risk locations: A Propensity Score Matching Analysis	PO-3222	胡桃	i-Flow 在大脑中动脉支架植入术后再狭窄的评估
PO-3204	田帅	Parameter research of suitable keV recombination of metal artifact reduction algorithm in CT guided percutaneous lung biopsy	PO-3223	潘峰	临床前标准化淋巴管造影术和淋巴管介入治疗培训方案
PO-3205	张一帆	Interventional embolization for anomalous systemic arterial supply to the normal basal segment of the lower lobe	PO-3224	张祥海	冠状动脉前降支不同造影体位测量准确性研究
			PO-3225	张祥海	3D-DSA 和 Dyna CT 重建影像对血管内支架的显示价值
			PO-3226	闫海丽	经动脉灌注靶向递送 Bi2Se3 纳米花增强兔原位肝癌的微波消融疗效
			PO-3227	闵旭红	一项 CT 引导下激光消融治疗肺结节的长期回顾性研究
			PO-3228	马进	能谱 CT 在肝癌 TACE 术后评估碘油沉积状态的研究
			PO-3229	王玉娟	音乐联合放松干预对 TACE 术患者围术期焦虑心理和疼痛作用分析
			PO-3230	曹晖	图像融合技术优化 CT 引导下穿刺
			PO-3231	黄冰钰	机器视觉联合增强现实技术在 CT 引导下经皮穿刺介入中的应用研究
			PO-3232	刘倩	探讨血管内治疗后患者发生脱发的危险因素
			PO-3233	夏梦岩	加速康复外科理念在下肢动脉硬化闭塞症患者介入治疗护理中的应用
			PO-3234	夏梦岩	肢体固定出血检测装置联合改良斜坡侧卧位在减少股动脉穿刺术后并发症中的应用
			PO-3235	张凯	输卵管积水患者介入栓塞术后 IVF-ET 临床妊娠结局影响因素分析
			PO-3236	张凯	3D 血管造影引导下子宫肌瘤供血动脉超选择性栓塞的



应用

- PO-3237 袁 晶 双针成角同时消融+活检胸膜下恶性肺结节的安全性分析
 PO-3238 何晓峰 CT引导肺结节温度消融术后感染影像学特征及抗感染治疗
 PO-3239 张文哲 不同长度鞘管在腹主动脉球囊阻断联合剖宫产术中的对比分析
 PO-3240 米热扎提·吐尔洪 Pipeline 血流导向装置治疗颅内动脉瘤后出现的支架内狭窄:发生率、危险因素及预后
 PO-3241 张 超 介入置管技术建立营养通路改善重症营养方面的应用和疗效
 PO-3242 陈长春 术前 AI 三维影像手术计划联合 CT 引导下线钩穿刺定位在多发肺结节精准手术中的临床应用
 PO-3243 陈长春 电脑摄影辅助技术用于 CT 引导下经皮肺穿刺活检的初步研究
 PO-3244 周 林 ICA 与 CTCA 在冠状动脉慢性完全闭塞病变的应用比较
 PO-3245 张 强 AngioJet Zelante 血栓清除术在永久性滤器源性急性下腔静脉闭塞腔内治疗中的初步探索
 PO-3246 何晓峰 CT 引导下新型便携式胸腔闭式引流装置治疗气胸的动物实验研究
 PO-3247 潘 登 卡梅综合症的介入硬化栓塞治疗研究
 PO-3248 潘 登 婴幼儿腮腺血管瘤的介入治疗
 PO-3249 潘 登 经动脉导管化疗栓塞术在儿童肝母细胞瘤治疗中的应用价值
 PO-3250 闫卫鹏 肝肉瘤样癌的影像学表现及经动脉栓塞的临床效果
 PO-3251 刘一鸣 多功能金纳米凝胶栓塞剂增强肝癌介入治疗效果的实验研究
 PO-3252 刘一鸣 多功能可注射温敏水凝胶用于增强肝癌 TAE 治疗抑制肿瘤转移的实验研究
 PO-3253 刘一鸣 非肝癌患者和接受 TACE 治疗的肝癌患者并发肝脓肿:临床特征、病因特征、治疗和结果分析
 PO-3254 瑶书光 经导管动脉化疗栓塞术加阿帕替尼联合或不联合卡瑞丽珠单抗单抗治疗不可切除肝细胞癌:一项单中心回顾性研究
 PO-3255 冯一鸣 探究基于 M1 巨噬细胞 Exo 构建的新型仑伐替尼纳米载药系统对肝癌的治疗效果
 PO-3256 周宇涵 提高 125I 粒子植入患者的随访诊断有效性:结合光谱计算机断层扫描和金属伪影减少算法的联合方法
 PO-3257 孔德元 利伐沙班预防肝硬化食管胃底静脉曲张出血 TIPS 术后血栓的疗效
 PO-3258 阚雪峰 经导管动脉美蓝造影在下消化道动脉出血定位中的临床应用
 PO-3259 熊 付 射频热疗协同增效单纯疱疹病毒胸苷激酶 / 更昔洛韦基因治疗大鼠肝癌的实验研究
 PO-3260 吕 滨 单纯 α- 氨基丙酸正丁醇联合双腔取栓球囊阻断术治疗脾动脉瘤 2 例
 PO-3261 王国权 胸主动脉腔内修复术相关逆行性夹层患者影像学特征研究
 PO-3262 范雪姣 ASL-MRA 和 CE-MRA 评估脑动静脉畸形闭塞
 PO-3263 马金强 比较经导管动脉 CT(Angio-CT) 扫描与常规多层螺旋 CT 扫描在 TACE 中的临床应用研究
 PO-3264 王 莉 基于 Web of Science 数据库 90 选择性内放射治疗研究的知识图谱分析
 PO-3265 郭小朋 替拉扎明纳米凝胶联合 PD-1 单抗减少肝癌介入栓塞后残存和转移的机制及疗效研究
 PO-3266 操焱焱 载裂解 OK-432 和阿霉素的可注射水凝胶治疗不完全消融后残存肝癌的疗效及机制研究
 PO-3267 张又新 经动脉插管腹部 CTA 取代 DSA 造影步骤在急性消化道出血栓塞手术中的可行性研究
 PO-3268 范宏杰 肿瘤源 PPIA 介导结直肠癌肝转移射频消融术残瘤化疗抵抗的机制研究
 PO-3269 卢浩浩 球囊扩张联合内外引流管治疗良性输尿管下段狭窄的远期

疗效分析

- PO-3270 李 安 经动脉栓塞治疗胰十二指肠出血的安全性和有效性
 PO-3271 钱 坤 温敏纳米碘油用于动脉模型栓塞的实验研究
 PO-3272 钱 坤 肝癌合并门静脉癌栓的介入局部治疗联合 SBRT 放疗的疗效分析
 PO-3273 钱 坤 载 anti-VEGF siRNA 温敏微凝胶治疗肝癌模型的实验研究
 PO-3274 冉 雄 CT 引导下 Hook-wire 穿刺定位肺小结节的临床应用价值
 PO-3275 任志忠 mTACE 治疗肝癌外周血 PD-1 表达及临床意义
 PO-3276 常飞霞 低剂量双源 CT 扫描在肺穿刺活检中的应用价值
 PO-3277 田 帅 虚拟单色光谱成像与金属伪影减少算法在 CT 引导下经皮肺活检的应用研究
 PO-3278 田 帅 虚拟单能谱成像技术联合金属伪影减少算法在能谱 CT 引导下骨活检中的应用价值
 PO-3279 王鑫森 远端动脉入路在肝动脉化疗栓塞中应用探索
 PO-3280 吴博阳 肝动脉灌注化疗对比全身化疗方案治疗不可切除胆管癌:一项单中心回顾性研究
 PO-3281 陈 燕 恶性梗阻引流前后的胆道微生物群组成研究
 PO-3282 韩浩杰 基于磁共振纹理分析预测结直肠癌肝转移瘤 TACE 术后早期疗效的研究
 PO-3283 赵浩钦 罕见 Meso-Rex 分流术后血栓形成行颈静脉肝内门体分流术一例
 PO-3284 王俊超 TEG-PM 指导下的抗凝抗血小板治疗与经验性抗凝治疗在肝硬化患者 TIPS 术后支架失功能中的关系的研究
 PO-3285 徐馨雅 基于肾血管平滑肌脂肪瘤瘤体成分预测经动脉栓塞术后早期疗效
 PO-3286 李宗伟 部分脾动脉栓塞术治疗肝细胞癌伴脾功能亢进对肝储备功能的影响
 PO-3287 张玉博 CMR 对 TIPS 术后心脏结构的影响
 PO-3288 杨雯卉 融合技术对判断颅内动脉瘤破裂出血责任动脉瘤的诊断价值
 PO-3289 尹 娜 MRI 引导肝癌射频消融治疗的临床应用研究
 PO-3290 陶雅红 主动脉根部解剖参数对经导管主动脉瓣置换术后瓣周漏的预测价值
 PO-3291 范天榆 介入栓塞术与开颅夹闭术对颅内动脉瘤患者预后的影响比较
 PO-3292 李 萍 CT 引导下不同消融方式在肺结节中的疗效对比研究
 PO-3293 吕 玲 佯门静脉癌栓肝细胞肝癌经 FO-HAIC 治疗后的生存预后模型研究
 PO-3294 李 赛 早期 TIPS 可以使乙肝肝硬化食管胃底静脉曲张破裂出血患者获益
 PO-3295 孟雪柔 抗血小板药物基因检测与血栓弹力图血小板图在颅内动脉瘤支架置入治疗中的应用研究
 PO-3296 陈 亮 IVIM 评估下肢动脉硬化闭塞症 EVT 术后骨骼肌微循环动态变化及再狭窄的价值
 PO-3297 孙媛媛 3D-DSA 实时导航技术在颅内动脉瘤栓塞治疗中应用价值的研究
 PO-3298 李东东 Angiojet 机械血栓抽吸术治疗亚急性下肢动脉缺血的初步观察
 PO-3299 张智博 基于多层螺旋 CT 灌注成像进展期胃癌经胃动脉化疗栓塞术前后血流状态变化的初步研究
 PO-3300 应世红 细节决定成败之前列腺增生动脉栓塞治疗
 PO-3301 应世红 肝癌精准 TACE 有效性和安全性的单中心研究
 PO-3302 熊梦怡 探讨 DSA 无痛鞘管法动态子宫输卵管造影的临床应用价值
 PO-3303 邓 钧 小粒径载药微球栓塞联合仑伐替尼治疗不可切除肝细胞癌的有效性与安全性分析:一项真实世界研究
 PO-3304 宋 静 低位恶性胆道梗阻经皮经肝胆道金属支架置入术后急性胰腺炎的临床预测模型:一项回顾性研究
 PO-3305 彭 刚 原发性肝细胞癌患者多次经动脉化疗栓塞治疗过程中甲胎

中华医学会 第30次全国放射学学术大会

CHINESE CONGRESS OF RADIOLOGY 2023

PO-3306	王宇楠	蛋白的动态变化轨迹 肝恶性肿瘤经动脉化疗栓塞术后肝肿形成的临床特点分析	PO-3328	叶 曼	Magnetic resonance and fluorescence imaging of perfluorohexane loaded nanoparticles targeting atherosclerosis and their effects on activated macrophages
PO-3307	袁鉴鹏	经桡动脉入路栓塞肩关节动脉治疗顽固性肩关节骨性关节炎的疗效及安全性分析	PO-3329	吴莉莉	The value of using machine learning models based on conventional MRI radiomics features to predict the blood supply of pituitary neuroendocrine tumors preoperatively
PO-3308	隰子涵	基于 MRI 及临床特征对中晚期 HCC 首次 D-TACE 短期疗效的预测价值分析	PO-3330	吴烁华	Evidence for hypometabolism in epileptic focus and GABA alterations in drug-resistant MRI-negative TLE
PO-3309	高雨佳	肝硬化脾功能亢进患者部分性脾动脉栓塞术后血流动力学变化研究	PO-3331	韩 颖	In vivo MRI and Fluorescence Dual-modal Imaging of Inflammation for Identifying Unstable Atherosclerotic Plaque Using Stabilin-2 Targeted Magnetic Nanoparticles
PO-3310	吕 琦	Fatty acid binding protein 5 (FABP5) regulates proliferation via the PI3K/AKT signaling pathway in clear cell renal cell carcinoma cell lines	PO-3332	黄梦庭	The relationship between brain microstructural alterations and clinical symptoms and psychological disorders in Crohn's disease
PO-3311	冯田钰怡	Altered dynamic functional connectivity association with diverse grade white matter hyperintensity and cognition in cerebral small vessel disease patients	PO-3333	刘开惠	IVIM quantitative parameters combined with clinicopathological features can predict PD-L1 expression in cervical cancer
PO-3312	胡绮莉	Intrinsic Brain Activity Alterations in Patients with Mild Cognitive Impairment-to-Normal Reversion: A Resting-State Functional MRI Study from Voxel to Whole-Brain Level	PO-3334	叶玉杰	Diurnal variation of GABA levels in the parietal and anterior cingulate gyrus of healthy young people based on magnetic resonance spectroscopy
PO-3313	赵小虎	Pelvic effusion in patients with ovarian thecoma-fibroma associated with the tumor size and plate CA-125 level: A retrospective magnetic resonance imaging study	PO-3335	刘开惠	IVIM quantitative parameters can non-invasive predict PD-1/PD-L1 expression in cervical cancer: combined with clinicopathological features
PO-3314	赵小虎	Altered activity and functional connectivity of superior temporal gyri in anxiety disorders a functional magnetic resonance imaging study	PO-3336	郭佳敏	Machine learning based on sarcopenia and MRI radiomics to predict the efficacy of neoadjuvant therapy for triple-negative breast cancer
PO-3315	章智琪	Enhanced Glioblastoma Therapy through Redox-Sensitive Polymer Micelles Co-Encapsulating Immune Checkpoint Inhibitors and Chemotherapeutic Agents	PO-3337	鲁 霞	BATF is potential diagnostic and prognostic biomarker associated with 18F-FDG PET/CT features in colorectal cancer
PO-3316	陶逸宁	Uniting Dual-Modal MRI/Chemiluminescence Nanotheranostics: Spatially and Sensitive Self-Reporting Photodynamic Therapy in Oral Cancer	PO-3338	李 强	Sequential targeting biomimetic nano platform for enhanced mild photothermal therapy and chemotherapy of tumor
PO-3317	马源源	Dual-Enzyme and Radiation Enabled Oxygen Self-Supplying Nanosystem for Augmented Tumor Imaging and Radiotherapy	PO-3339	李 豪	Dual logic gate regulated triple amplified CRISPR-based biosensors for achieving high signal-to-ratio and dual-modal biological monitoring
PO-3318	周 梅	CeO ₂ nanoparticles mediated by BSA promoted oxygenation for enhanced chemo-sonodynamic therapy of tumors	PO-3340	张 倩	Predictive value of 18F-FDG PET/CT and serum tumor markers for tumor mutational burden in patients with non-small cell lung cancer
PO-3319	杨 柳	Programming CpG Functionalized Evans Blue for Lymph-node Targeting Molecular Vaccines	PO-3341	王 玉	PET imaging of brown adipose tissue using fluorine 18-labeled TSPO ligand DPA-714
PO-3320	黄伟晟	Molecular mechanisms and behavioral relevance underlying neural correlates of early-life urbanization	PO-3342	陆紫微	CT features, progression patterns and immune status of pulmonary trichinosis: Quantitative evaluation based on mimics software in high-resolution CT
PO-3321	许欣茹	In Vivo Assessment of Regional Tau Deposition, Gray Matter Volume and Cognition in Alzheimer disease: a head-to-head 18F-fortaucipir PET/MR study	PO-3343	曹 蓉	Dual-Ratiometric Magnetic Resonance Tunable Nanoprobe with Acidic-microenvironment-responsive Property to Enhance the Visualization of Early Tumor Pathological Changes
PO-3322	黄莹霞	Predicting the prognosis of glioblastoma based on MRI radiomic model of temporal muscle and tumor: a multicenter study	PO-3344	张晓磊	Deep learning for chemical exchange saturation transfer reconstruction from sparse imaging
PO-3323	姚德帆	Renal-Clearable Nanodots Overcoming Metabolic Reprogramming to Boost Mitochondrial-Targeted Photodynamic Therapy in Triple-Negative Breast Cancer	PO-3345	赵 升	89Zr-labeled PD-L1 PET imaging as a potential biomarker to replace immunohistochemistry(IHC)
PO-3324	杨 静	A multicenter study based on multiparametric MRI radiomics model to identify conventional imaging misdiagnosis or uncertain pleomorphic adenomas and Warthin tumors	PO-3346	庄彩玉	Theranostic CEST-Enhanced Thermoresponsive Hydrogel Drug Delivery System for Postsurgical Treatment of Glioblastoma
PO-3325	金雪焱	Application of 7 T Cardiac Magnetic Resonance Imaging to Study Muscle Ring Finger Protein 1 Inhibits Impairment of Diastolic Function in Diabetic Cardiomyopathy	PO-3347	羊倩羽	Multifunctional Nano-CA for Imaging-Guided Precision Therapy of Nasopharyngeal Carcinoma
PO-3326	梁博深	Explore the alleviative effect of Cangai volatile oil on myocardial hypertrophy of different degrees in rats exposed to chronic hypobaric hypoxia at high altitude	PO-3348	李玉洁	Enhancing Liver Cancer Therapy and Imaging with Reduction-Responsive Biodegradable Micelles: A Theranostic Approach
PO-3327	姬瑶璇	Cardiac magnetic resonance multimodal evaluation of the ameliorative effects of BAG3 on left ventricular remodeling in rats	PO-3349	王锡臻	Alterations in degree centrality and functional connectivity in tension-type headache: a resting-state fMRI study
			PO-3350	吴 瑕	Targeted Dual-modal Imaging for Specific Detection of Oral Squamous Cell Carcinoma



PO-3351	朱仪	Reverse Magnetic Resonance Tuning nanoplatform with heightened sensitivity for non-invasively multiscale visualizing ferroptosis-based tumor therapy	PO-3379	王皓瑶	探索
PO-3352	张恒	The role of TIGIT/CD40 NVs encapsulating MNS-OXA in enhancing immunotherapy for pancreatic cancer	PO-3380	张高瑞	磁性纳米颗粒磁矩测量在磁热效应中的应用
PO-3353	王燕	Bio-orthogonal click-targeting nanocomposites for chemo-immunotherapy synergistic therapy in triple-negative breast cancer	PO-3381	周大卫	GSH 响应性 T1/T2 双模态纳米酶用于铁死亡和自噬诱导的 T _f 靶向乳腺癌协同治疗
PO-3354	时宇鹏	Facile synthesis of Gd-doped red-emissive carbon nanodots for fluorescent/MR bimodal imaging and tumor therapy	PO-3382	林晓倩	基于脂肪酸代谢基因的乳腺癌放射基因组学分析
PO-3355	陶逸宁	Sequence-Activated Fluorescent Nanotheranostics for Real-Time Profiling Pancreatic Cancer	PO-3383	吴小伟	光声成像对乳腺癌早期治疗响应的多生理参数监测
PO-3356	吴健民	4-OI inhibits hypoxia-induced injuries on β -cell via reducing LDHA-mediated ROS generation	PO-3384	孙微	阿尔茨海默病的神经血管耦合改变
PO-3357	羊倩羽	TME-Responsive Nanotheranostics: T1/T2 dual-modal MRI and Imaging-guided PDT in Nasopharyngeal Carcinoma	PO-3385	吴梦琳	Fe3+@PDOPA-b-PSar-DOX 纳米颗粒用于药物递送和乳腺癌的诊疗
PO-3358	张文佳	Magnetic-optical Dual-modality Imaging Monitoring Chemotherapy Efficacy of Pancreatic Cancer With a Low-dose Fibronectin-targeting Gd-based Contrast Agent	PO-3386	余斐然	生物启发的多抗氧化剂协同纳米治疗平台用以实现急性肾损伤的时间敏感治疗
PO-3359	江茂情	Prognostic significance of integrating total metabolic tumor volume and EGFR mutation status in patients with lung adenocarcinoma	PO-3387	赵雨萱	Fe3O4-mSiO2 诊疗一体化纳米体系改善胰腺癌组织固体应力及增强药物渗透和抗肿瘤治疗效果
PO-3360	赵洁	Multifunctional PD-L1 targeted Fe3O4@GEM nanoparticles under MRI monitoring for combination therapy of colorectal cancer	PO-3388	宣文涛	自组装的超小 Fe3O4 纳米粒用于肿瘤靶向双模 T1/T2 加权磁共振成像引导的协同化学动力学和化学治疗
PO-3361	王静	NaGdF4-Based Magnetic Resonance Nanoprobes for Qualitative Inflammation Imaging in Glioma: Hot or Cold?	PO-3389	周煜凡	7T 多参数 MRI 结合线粒体形态评估研究肌醇抗三阴性乳腺癌紫杉醇耐药的研究
PO-3362	李佳丽	A magnetic resonance nanoprobe with STING activation character collaborates with platinum-based drug for enhanced tumor immunochemotherapy	PO-3390	田雅琪	基于机器视觉和区域增长法的相位校正：一种三点 Dixon 的相位解包裹方法
PO-3363	张帆	Correlation between Ki67, CK7, and Gadoxetic Acid-Enhanced Magnetic Resonance Imaging in Hepatocellular Carcinoma: A Molecular and Imaging Biomarker Study	PO-3391	陈月	B7-H3 靶向近红外二区荧光分子成像引导前列腺癌精确切除
PO-3364	赵小虎	卵泡膜细胞 - 纤维瘤伴囊变的 MR 影像学分型及相关因素分析	PO-3392	江舒	通过磁共振成像和近红外光谱评估鸢尾素对小鼠棕色脂肪组织的激活作用
PO-3365	蔺晓梅	基于基因 - 环境交互作用的新型 AD 大鼠模型的构建及多维度评估与应用	PO-3393	聂凯	基于机器学习的影像组学在无对比剂电影磁共振图像上鉴别心肌淀粉样变性和肥厚型心肌病
PO-3366	李昊	GlucEST 技术在氯胺酮的快速抗抑郁作用中的应用研究	PO-3394	张鹏华	具有 CT/MRI 双模态成像的新型纳米酶探针在肿瘤治疗和疗效监测中的应用
PO-3367	李国栋	PO-3366 李昊 GlucEST 技术在氯胺酮的快速抗抑郁作用中的应用研究	PO-3395	郭煜升	新生 SD 大鼠缺氧缺血性脑损伤扩散峰度成像的时间进程变化
PO-3368	刘锦强	谷氨酸化学交换饱和转移成像对放射性脑损伤大鼠的应用价值	PO-3396	张蓓蓓	基于氘同位素磁共振的放射 - 代谢 - 基因组学无创监测以 HK2 为靶点的肿瘤免疫微环境动态变化
PO-3369	李迎波	基于放疗线 / 双酶的循环自供氧体系用于增敏肿瘤放疗	PO-3397	王怡宁	单线态氧激活纳米载体用于乳腺癌的 X 射线诱导光动力治疗及级联铁死亡研究
PO-3370	杨洁	细胞膜仿生纳米探针用于激活巨噬细胞介导的乳腺癌免疫治疗	PO-3398	林丁乙	重塑胰腺癌细胞外基质协同促进铜死亡效应的仿生有机硅纳米平台的研究
PO-3371	杨学	联合 PD-L1 及 miR-182 的 ROS 响应光免疫探针用于增强乳腺癌免疫治疗的分子影像研究	PO-3399	贾岩龙	多对比定量 MRI 技术在甲状腺相关性眼病中的应用研究
PO-3372	向覃言秋	“off-on”多模态仿生纳米探针用于肿瘤相关巨噬细胞复极化过程的实时成像监测	PO-3400	周巧妹	PO-3400 周巧妹 一种“自循环”智能纳米酶可被铁死亡及双硫死亡动态激活实现高效肿瘤治疗
PO-3373	徐晓璇	MRI 可视化铁钼纳米体介导光热 / 铁死亡在抗乳腺癌免疫效应中的作用	PO-3401	章巾帼	PO-3401 章巾帼 功能化聚天冬氨酸纳米粒子对端粒双靶向肝癌诊疗一体化研究
PO-3374	杜加伟	双模成像示踪小鼠缺血性脑卒中后纤维蛋白沉积的实验研究	PO-3402	周飞	PO-3402 周飞 磁共振纳米对比剂 Fe3+@PSar-b-PDOPA-cy7 在结直肠癌肝转移中体内分布及其分子机制
PO-3375	朱修权	仿生纳米乳剂用于氧气递送和 CAF 抑制以逆转免疫抑制和增强声动力治疗胰腺肿瘤	PO-3403	李嘉敏	PO-3403 李嘉敏 iRGD 靶向脂质体载药体系增强肝癌靶免治疗疗效及其机制的探讨
PO-3376	袁佳鑫	ROS 响应的聚合物纳米粒子协同三阴性乳腺癌的光热治疗	PO-3404	何真虎	PO-3404 何真虎 肿瘤微环境响应的诊疗探针 MnFe2O4-PEG 在放疗增敏中的实验研究
PO-3377	贺小娅	超小分子影像探针调控 TRPV1 通道治疗帕金森病	PO-3405	周梦洋	PO-3405 周梦洋 体内 MRI/FL 多模态成像探针的制备及治疗作用研究
PO-3378	张九龙	Epo/NSE 双特异性驱动 FTH1 表达的 MR 成像体外检测干细胞的成神经分化	PO-3406	靳尚	PO-3406 靳尚 钆掺杂 Fe3O4 纳米探针在 T1/T2 MRI 引导下的肿瘤协同治疗研究
		基于 NIR-III 区激光激活的硒化钛在脂肪肉瘤光热治疗	PO-3407	祖涵瑜	PO-3407 祖涵瑜 磁共振 T2 对比剂 Fe3O4@Cys 的制备及新西兰兔活体成像研究
			PO-3408	谢诗燕	PO-3408 谢诗燕 基于类淋巴系统磁共振成像预测血管性痴呆模型大鼠认知障碍的发生
			PO-3409	吴晓娟	PO-3409 吴晓娟 大脑结构与功能重组是重症肌无力患者认知损伤的神经影像学潜在基础
			PO-3410	陈春曲	PO-3410 陈春曲 鞍向 POCD 小鼠脑血屏障诊疗一体化纳米探针构建
			PO-3411	石大发	PO-3411 石大发 帕金森病患者脑网络异常：基于低频振幅的 Kullback-Leibler 离散相似性个体网络分析

中华医学会 第30次全国放射学学术大会

CHINESE CONGRESS OF RADIOLOGY 2023

PO-3412	洪 露	靶向 VISTA 的纳米探针及对胰腺癌的治疗研究	PO-3443	劳 群	儿童急性脑脊髓炎影像学诊断
PO-3413	齐亚飞	新型荧光-MRI 双模态成像探针同时监测树突状细胞疫苗迁移和凋亡以指导结直肠癌化疗 - 免疫联合治疗	PO-3444	劳 群	婴幼儿臂丛神经损伤 MRI 联合技术体系
PO-3414	石大发	帕金森病脑功能、代谢及神经递质异常改变	PO-3445	马恩潭	泡状棘球蚴病及其肝外转移的影像学特征分析
PO-3415	李天亮	功能蛋白共振 / 荧光无损影像标记方法与应用研究	PO-3446	吴树剑	临床 - 定量 CT 列线图预测老年重症新型冠状病毒感染性肺炎短期预后的价值
PO-3416	于 洋	CT 影像组学与 PET 衍生参数对宫颈癌盆腔淋巴结转移 诊断价值的临床对比研究	PO-3447	郑佳瑞	肝衰竭伴轻微型肝性脑病患者人工肝治疗后脑功能改变：一项随访研究
PO-3417	康厚艺	基于多参数放射组学及生境成像预测 GBM 的 IDH 分型	PO-3448	张 旭	300 例儿童肺结核胸部 CT 图像分析
PO-3418	刘彩云	靶向髓鞘探针 Gd-DTDS 在多发性硬化大鼠髓鞘损伤模型中的实验研究	PO-3449	李思琪	MRI 放射学预测乙型肝炎病毒感染相关肝细胞癌并探索相关易感基因
PO-3419	毛雨萌	谷胱甘肽加权化学交换饱和转移成像在盆腔肿瘤中的临床应用	PO-3450	吴春梅	基于 CT 影像组学对肾上腺瘤亚型的鉴别研究价值
PO-3420	隋莲玉	Identification of the Pathological Types of Brain Metastasis from Lung Cancer Based on Multiparametric MRI Radiomics: A Feasibility Study	PO-3451	刘雪艳	一组输入性急性肺组织胞浆菌病 CT 表现及动态变化分析
PO-3421	尹曲华	Clinical and imaging features of pregnancy complicated with active tuberculosis	PO-3452	常玉山	椎管内棘球蚴病的 MRI 及临床表现
PO-3422	吴 麟	Bilateral lymphatic function decreased asynchronously after recovery in mild COVID-19 patients	PO-3453	何 雄	基于机器学习的 MRI 影像组学鉴别布鲁菌性脊柱炎与结核性脊柱炎
PO-3423	龚晓明	Analysis of clinical features and prognostic factors of AIDS-related lymphoma	PO-3454	王苏丹	原发性肝血管肉瘤的影像表现及病理分析
PO-3424	郭 辉	Hydatid disease of bone: Imaging features	PO-3455	劳 群	小儿腺病毒感染临床影像学诊断
PO-3425	王 哲	The oral Akt inhibitor ipatasertib induces hepatocellular carcinoma cell apoptosis via METTL3 downregulation	PO-3456	陈淑香	胃癌 CTIA 与病理及生物学行为的相关性
PO-3426	朱振宸	Time-dependent Visualized CT Score to Differentiate Severe/critical COVID-19 at Fever Clinic	PO-3457	王 哲	联合 CT 影像组学与临床指标鉴别克罗恩病与肠结核的应用价值研究
PO-3427	孟 欢	The Importance of Multiparametric MRI Radiomics Model in Predicting Risk Stratification in Early-stage Endometrial Carcinoma	PO-3458	童永秀	基于 MSCT 影像组学诺莫图术前预测合并幽门螺杆菌感染的早期胃癌 HER2 状态的初步研究
PO-3428	潘文雪	Radiomics based on MRI for predicting the nature of nodules in cirrhotic liver.	PO-3459	鲁植艳	科学解读肺结节
PO-3429	汪丽娅	Depression Related Structural Changes Based on 3D Brain MRI and Neural Fingerprint Assisted Segmentation and Imaging-markers	PO-3460	孟 欢	多参数 MRI 影像组学模型在预测早期子宫内膜癌风险分层中的价值
PO-3430	许沛嘉	Imaging Features of Pancreatic Dedifferentiated Liposarcoma: A Rare Case Report	PO-3461	赵月娟	AIDS 合并肺部隐球菌感染的临床特点和影像特征分析
PO-3431	杨存霞	CT-Based Radiomics Nomogram for Differentiation of adrenal Lipid-poor benign lesions and Metastases: an exploratory study	PO-3462	鲁景楠	CT 与 MRI-PDFF 诊断慢性乙肝患者肝脏脂肪变性的一致性分析
PO-3432	杨 斌	Clinical and Imaging features of livers infected with Fasciola gigantica	PO-3463	吕圣秀	流行性感冒临床及影像学特征分析
PO-3433	姜星原	Implications and Prospects of Immunological and Neuroimaging Research in HIV-Related Cognitive Impairment	PO-3464	吕圣秀	获得性免疫缺陷患者并发尘肺结核的胸部 CT 表现分析
PO-3434	詹 艺	Cerebrovascular dysfunction as a Marker of Cognitive Impairment in HIV Positive Individuals	PO-3465	唐光孝	新型冠状病毒肺炎 (COVID-19) 的胸部 CT 改变与 T 淋巴细胞亚群的相关性研究
PO-3435	王哲瀚	PD-1 Checkpoint Inhibition plus Chemotherapy for Advanced Metastatic Triple-Negative Breast Cancer	PO-3466	舒伟强	2 型糖尿病合并肺结核血糖水平与胸部 CT 特点的相关性分析
PO-3436	方 旭	Tracheal CT Radiomics Nomogram to Predict Omicron Variant of SARS-CoV-2 Infection	PO-3467	王惠秋	乳腺结核的 CT 表现分析
PO-3437	王怡淞	Identifying Minimal Hepatic Encephalopathy: A new perspective from Multimodality Magnetic Resonance Imaging	PO-3468	李春华	胸部 CT 影像联合临床和实验室检查对耐多药肺结核的诊断价值
PO-3438	战跃福	A new CT score-based staging for melioidosis pneumonia to predict progression	PO-3469	李春华	活动性肺结核影像征象在非活动性肺结核中的表现
PO-3439	王 瑶	Common and distinct pattern of frequency-dependent intrinsic brain activity in patients with post-acute COVID-19 syndrome	PO-3470	唐光孝	膝关节结核的 MRI 表现
PO-3440	刘明科	回顾性研究 COVID-19 心肌炎和严重性因素	PO-3471	王惠秋	AIDS 合并肝脏结核 CT 影像学表现
PO-3441	罗 琳	LAD 纵深型心肌桥形态与 CT-FFR 的关系研究	PO-3472	任 荣	HIV 阳性合并肺结核患者的 CT 影像学诊断与鉴别
PO-3442	罗 琳	AI 辅助下的病变体积评估在新型冠状病毒肺炎临床分型中的应用价值	PO-3473	任 研	结节型非结核分枝杆菌肺病与肺结核的 CT 影像学分析
			PO-3474	侯传珂	脑肠轴与 MR 影像联合是 HIV 相关神经认知障碍患者的新机遇
			PO-3475	罗 梵	AI 技术在儿童肺结核影像诊断中的研究现状与展望
			PO-3476	朱玉萍	慢性疼痛的静息态功能磁共振研究进展
			PO-3477	侯可可	心脏共振在早期男性梅毒患者中的临床应用
			PO-3478	李科熠	右后颈枕部恶性蝶螺瘤一例
			PO-3479	鲁 宏	基于 AI 赋能脑创伤半暗带的精准诊断
			PO-3480	况 辉	贝伐珠单抗治疗大鼠脑创伤的病理与行为学变化的实验研究
			PO-3481	乔国庆	新型冠状病毒肺炎是以肺实质性炎症为主的肺炎
			PO-3482	范春华	儿童 COVID-19 相关的出血可逆性后部脑病综合征伴新发糖尿病酮症酸中毒及多系统炎症综合征：罕见病例报道
			PO-3483	余英芳	青海省 3 例重症新型冠状病毒肺炎的影像学特点及动态变化分析
			PO-3484	林小翼	贝伐珠单抗治疗脑创伤半暗带后的 AQP4 及 Occludin 表达水平实验研究
			PO-3485	林小翼	应用 MM-MRI 检测贝伐珠单抗治疗脑创伤半暗带脑水肿



PO-3486	麦晓飞	的疗效实验研究	PO-3526	杨志萍	基于多学科的整体护理联合积极心理学干预在癫痫患者 PET-MRI 检查中的应用
PO-3487	陈彦孜	T1mapping 和 T1 ρ 定量成像预测兔肝纤维化：一项基于机器学习的研究	PO-3527	李 雪	静脉注射非离子型碘对比剂对血流动力学影响的临床特征研究（专题讲座）
PO-3488	林 燕	鼻腔肉芽肿性毛细血管瘤和鼻息肉基于 CT 增强和灰度共生矩阵的鉴别诊断	PO-3528	贾晓茜	淡化碘对比剂风险告知对急性生理性不良反应的影响
PO-3489	周忠凯	基于肺部 CT 影像学早期变化预测新冠肺炎临床结局的研究	PO-3529	覃 蕾	IMB 模型在学龄前儿童行磁共振检查中的应用
PO-3490	徐雪彬	就诊于肝病门诊的罕见职业病：肝脏血管肉瘤一例	PO-3530	李 赛	精细化护理在幽闭恐惧症患者磁共振检查中的应用效果
PO-3491	鲁 宏	胰腺侵袭性纤维瘤病例报告及文献复习	PO-3531	杨 静	核医学放射护理现状分析与改进策略研究
PO-3492	蒋上海	ASL 在脑梗死早期诊断及治疗风险评估中临床应用	PO-3532	呼婷婷	碘造影剂（ICM）致过敏反应的临床特点及危险因素
PO-3493	徐开蔚	基于深度学习的大鼠脑创伤半暗带的自动分割研究	PO-3533	邵 慧	多模式教学法在静脉穿刺基地教学中的应用
PO-3494	李 翔	CT 总严重程度评分联合检验指标对肝硬化患者 SARS-CoV-2 感染患者预后的研究	PO-3534	卢 瑶	应用低张等渗甘露醇在小肠增强 CT 检查前规范化准备对图像质量的效果评价
PO-3495	侯代伦	外周血嗜酸性粒细胞：放射科医师鉴别儿童胸肺型并殖吸虫病与结核性胸膜炎的重要参考	PO-3535	冯 望	医疗失效模式与效应分析模型在 MRI 检查患者金属异物去除中的应用
PO-3496	李 翔	基于 ReHo 颅外多器官结核患者的脑功能研究	PO-3536	庄丽娜	低剂量甘露醇在基于压缩感知技术的磁共振小肠成像中的应用
PO-3497	王 瑶	MRI 表现为椎体内弥漫分布结节的脊柱结核 3 例	PO-3537	王玉娟	王玉娟—例 EVAR 术后并发胆固醇结晶栓塞的护理与启发
PO-3498	刘文亚	新冠急性后综合征患者频率依赖性内在大脑活动模式	PO-3538	陈 娅	多元互动教学模式在碘对比剂实习教学中的应用价值
PO-3499	黄志华	肝包虫病影像学诊断专家共识	PO-3539	蔡 莉	“会呼吸的痛”——1 例哮喘患者的安全救助
PO-3500	王 瑶	HIV 相关腮腺良性淋巴上皮囊肿影像学表现	PO-3540	赵海燕	基于思维导图指导下预见性护理方案的构建及对行高浓度对比剂 CT 肝脏血管三维成像患者图像质量的影响
PO-3501	魏 琳	新型冠状病毒肺炎患者脑血流改变相关的基因表达：一项结合神经影像和转录的研究	PO-3541	郝相相	护理干预与 5G 互联网医疗流程优化技术对脑卒中 CTA 检查中有效缩短等候时间及提高患者配合度的效果评价
PO-3502	史燕杰	获得性免疫缺陷综合征合并弓形虫脑病的临床特征及影像表现	PO-3542	刘格格	高级药物与物理护理干预分别对提高躁动患儿 CT 检查成功率的研究
PO-3503	黄红芳	史燕杰 基于 MRI 多 b 值直方图阵列及卷积神经网络预测乳腺癌溶骨性转移化疗疗效	PO-3543	张 霞	介入室医用耗材二级库房 6S 管理模式的实践探讨
PO-3504	李 壴	群组管理模式结合视频立体化健康教育对冠状动脉 CT 血管成像患者的影响	PO-3544	张 霞	PO-3543 张 霞 LVIS 支架辅助弹簧圈栓塞治疗颈内动脉瘤的安全性和有效性探讨
PO-3505	王 睿	预防性护理在钆贝葡胺造影剂上腹部增强 MRI 检查中的应用分析	PO-3545	陈廷静	王玉娟—例 EVAR 术后并发胆固醇结晶栓塞的护理与启发
PO-3506	赵 雷	任晓静 多模态教学在放射科在职护士操作培训中的探讨与研究	PO-3546	平自玲	“会呼吸的痛”——1 例哮喘患者的安全救助
PO-3507	张 航	“00 后”本科护理实习生职业认同感的调查与分析	PO-3547	段 雨	段雨 基于会话分析和信息管理系统构建医学影像科医技护患和谐沟通模式
PO-3508	张 峰	张航 膀胱 Mp-MRI 膀胱充盈度与患者舒适度的双优护技医协同流程研究	PO-3548	高 玲	高玲 研究精细化护理干预模式在介入手术室经皮穿刺椎体成型术患者中的应用
PO-3509	车 瑶	张峰 肺穿刺护士规范化培训考核评价指标体系的构建与应用	PO-3549	王雪琴	王雪琴 一种非常有效的方法：用于提高 3-6 岁幼儿 MRI 检查成功率、图像质量及效率的方法
PO-3510	王晓琳	车瑶 藏族患者 CT 增强碘对比剂过敏反应高危因素的研究	PO-3550	任晓静	任晓静 复盘分析在影像学增强检查护理不良事件管理中的应用
PO-3511	陕梦迪	王晓琳 6S 管理在医学影像科护理质量控制中的应用效果	PO-3551	刘田野	刘田野 虚拟平扫图像是否可以在儿童全脑全脊髓质子治疗中代替常规平扫图像进行剂量计算
PO-3512	陈 红	陕梦迪 探讨儿童在磁共振检查中的心理分析及护理干预效果	PO-3552	潘凤华	潘凤华 10% 水合氯醛口服与灌肠镇静在婴幼儿心脏 CT 检查的临床应用及效果观察
PO-3513	牟成维	陈红 思维导图护理干预在静脉血栓介入溶栓治疗中的应用效果	PO-3553	许少辉	许少辉 优化安全管理措施对医学影像科护理安全影响
PO-3514	曹靖惠	牟成维 黑白世界	PO-3554	梁蝴蝶	梁蝴蝶 可兼容心脏起搏器在磁共振成像安全检查中的应用现状
PO-3515	李 慧	曹靖惠 建立专科质量指标在碘对比剂外渗管理中的运行效果观察	PO-3555	白 琳	白琳 认知护理干预对儿童 MR 检查图像质量的影响
PO-3516	丁 丽	李慧 呼吸训练联合分阶段心理干预对磁共振普美显动态增强扫描患者的影响	PO-3556	刘俊伶	刘俊伶 专科护理质量敏感指标在急危重症患者 CT 检查安全管理中的应用研究
PO-3517	聂 驿	丁丽 放射科护理风险管理的应用效果研究	PO-3557	王 燕	王燕 131I 治疗分化型甲状腺癌健康科普的研究进展
PO-3518	徐晓丹	聂驿 经左右肘正中静脉注射对比剂对冠状动脉 CTA 图像质量影响	PO-3558	刘晓侠	刘晓侠 精细化护理在老年人核磁共振增强检查患者中的应用效果分析
PO-3519	吴燕燕	徐晓丹 清单式管理在多学科联合行经导管主动脉瓣置换术中的护理体会	PO-3559	张 旋	张旋 增强 CT 结合结肠仿真内镜对结直肠癌的检查方法及护理
PO-3520	凌 燕	吴燕燕 导管室介入手术健康教育科普模式实践研究与创新探索	PO-3560	梅 莉	梅莉 幽闭恐惧调查问卷在磁共振检查人群中的汉化及信效度检验
PO-3521	李佳雯	凌燕 心脏介入导管室护理人员分阶段岗位胜任力提升探讨	PO-3561	陈冬萍	陈冬萍 “互联网+”健康管理模式在首次行 PTCD 患者延续护理中的应用
PO-3522	朱永利	李佳雯 危重患儿磁共振检查最佳镇静水平动态评估的相关性研究	PO-3562	卢俞宏	卢俞宏 标准化放射护理质控系统的研发及临床应用
PO-3523	杨 璞	朱永利 CT 增强检查留置针软管部份断裂、打折并嵌入肌肉内 1 列报道	PO-3563	陈日玉	陈日玉 急性脑梗死患者血管内取栓时间的影响因素分析及其护理专案建
PO-3524	王文燕	杨璞 探讨音乐疗法改善老年核磁共振检查患者焦虑的效果	PO-3564	郑淑琳	郑淑琳 复盘式多元化急救情景演练在放射科技护一体化工作中的应用效果
PO-3525	李建洁	王文燕 耐高压 PICC 导管在胸部肿瘤患者增强 CT 检查中的应用效果评价			
		李建洁 CT 增强检查前患者饮食准备现状调查分析			

中华医学会 第30次全国放射学学术大会

CHINESE CONGRESS OF RADIOLOGY 2023

PO-3565	杨丽芹	急诊 TIPS 治疗门脉高压症食管胃静脉出血的术中护理探析	PO-3603	孙 峰	基于知识转化模型的心脏磁共振技术扫描教学方法研究
PO-3566	赵瑞云	细节化护理联合放松训练在神经梅毒磁共振检查患者中的应用效果	PO-3604	钟京渝	费曼学习法在应用于放射科住院医师规范化培训上消化道造影教学的可行性研究
PO-3567	韩汶君	分化型甲状腺癌病人 ^{131}I 全身扫描前肠道准备的研究进展	PO-3605	钟京渝	我国放射科住院医师规范化培训研究热点和趋势的可视化分析
PO-3568	李佳营	水化护理在宫颈癌化疗后患者中降低 CT 增强检查对比剂外渗的概率及减少对比剂肾病发生风险的应用研究	PO-3606	刘春华	角色互换教学融合 PDCA 循环在放射科教学阅片中的应用研究
PO-3569	李小芳	循证护理在 AngioJet 系统抽吸治疗下肢静脉血栓介入术后并发症的应用研究	PO-3607	邝 晓	布鲁姆学习目标分类法在影像科实习护士周计划教学中的应用效果
PO-3570	马志明	探讨“双低”腹部 CTA 增强降低肿瘤病人血管外渗的临床应用价值	PO-3608	王世平	安宁市紧密型医共体与“千县工程”下医学影像中心构建模式
PO-3571	李 媛	OSCE 考核在综合介入中心规培护士中的应用与效果评价	PO-3609	吕鑫一	医学影像技师规范化培训在毕业后教育中的意义
PO-3572	李 媛	OSCE 考核在婴儿 MR 新入职护士培训中的应用	PO-3610	郑传胜	武汉协和医院放射科管理经验浅谈
PO-3573	张 涛	全程护理干预提高胎儿磁共振检查一次成功率	PO-3611	李 冠	胸腹主动脉混合现实技术在 Stanford A 型主动脉夹层中的临床应用
PO-3574	符水喜	投影式血管成像仪穿刺法在 CT 造影检查中提高静脉穿刺成功率降低碘对比剂外渗发生的效果观察	PO-3612	高 翩	利用增强现实技术辅助肝胆系统 PBL+CBL 影像学教学
PO-3575	戴婉姜	不同紫外线灯具对卒中 CT 设备及检查室的消杀比较	PO-3613	杨 柳	基于增强现实技术的多模态影像融合在本科医学生教学中的应用
PO-3576	毛元红	“目视化宣教”提高患者增强 CT 检查后“口服水化”的依从性	PO-3614	周 晖	德国心血管影像中心研修经历对学科建设的启发
PO-3577	毛元红	“清单式评估单”在保障患者增强 CT 检查安全的应用	PO-3615	何秀超	云影像教学数据库在医学影像学实习生实践中应用研究
PO-3578	邓丽君	虚拟现实技术在缓解肝癌患者术中疼痛的应用研究	PO-3616	宋 超	紧密型医共体与“千县工程”融合推动影像学科高质量发展研究
PO-3579	邓丽君	临床护理教育中以岗位胜任力为核心的新型护理人才培养体系的探索与实践	PO-3617	汪 琴	STAR 继续教育培养模式提升青年影像技师科研能力
PO-3580	林淑宁	探讨 85 例肺结节患者 CT 引导下肺结节穿刺活检的并发症发生情况及影响因素	PO-3618	许 莹	Evaluation of image quality of spectrum CT with different single energy imaging in portal vein and abdominal aorta
PO-3581	张 军	多模式呼吸训练联合 PERMA 模式在老年肝脏磁共振增强检查中的应用	PO-3619	许 莹	Assessment of the liver low-density lesions with a spectral CT
PO-3582	陈颖琦	优化注射方法在 PET/MRI 中的应用研究	PO-3620	许 莹	The difference between virtual non-enhanced imaging and true non-enhanced imaging: a comparison study
PO-3583	赵 丽	智慧自助健康宣教小程序对老年冠脉 CTA 患者相关知识知晓率的影响及效果研究	PO-3621	张 力	Application value of dual-detector spectral CT virtual single-energy spectrum image in reducing lower cervical spine artifacts
PO-3584	陈 曦	癌症放疗患者自我管理影响因素及干预措施的研究进展	PO-3622	吴诗瑶	Age and Size Dependent Local Diagnostic Reference Levels and Achievable Doses for 47 CT Examinations: A Million Chinese Cohort Study
PO-3585	李 欢	直肠高分辨磁共振检查肠道准备技术研究与效果分析	PO-3623	韦 鑫	Automatic quality control based on Generative Adversarial Networks in chest X-rays
PO-3586	兰 芳	碘对比剂急性不良反应危险人群风险筛查表的设计与应用	PO-3624	穆 琳	Image Quality Control of Pelvis Digital Radiographs Using A Multi-faceted Deep Learning Decision Model : Ready for Clinical Daily Practice?
PO-3587	王雪柳	中心静脉导管在影像科对比剂高压输注安全性应用研究	PO-3625	周宇涵	Assessing Artifact Reduction of ^{125}I Seeds in Detector-Based Spectral CT Images: A Quantitative and Texture Analysis
PO-3588	闵 婷	临床护理路径标准在核磁共振增强护理中的应用效果分析	PO-3626	江叶海	Patient adaptive respiratory training in the lung magnetic resonance free breathing sequence image quality study
PO-3589	李 娅	精细化护理在影像安全管理中的综合措施	PO-3627	聂 壮	SSDE for estimating patient specific radiation dose in cardiac coronary artery CT angiography
PO-3590	汪祝莎	基于一体化信息集成平台的医学影像检查预约服务模式创新管理	PO-3628	宋曼莉	A preliminary intramural multicenter evaluation of the quantitative accuracy and stability of synthetic magnetic resonance imaging(MRI) sequence using a system phantom
PO-3591	陆春花	《PDCA 循环在提高盆腔增强检查前肠道准备完备率中的应用效果》	PO-3629	李小虎	Assessment of noise reduction potential and image quality improvement of a DLIR TrueFidelity in abdomen CT
PO-3592	陆春花	《基于钉钉平台放射科护理交班日志模板的构建和应用》	PO-3630	李小虎	Image quality assessment of two generations of rapid kV-switching spectral CT systems on virtual monoenergetic images: A Phantom Study
PO-3593	韦昕廷	个性化护理模式对老年肿瘤放射治疗影响的研究进展	PO-3631	时付坤	Risk factors for transient respiratory motion artifacts during arterial phase of dynamic enhanced MRI with disodium gadolinate
PO-3594	周鸿怡	放射科护士急救事件应急能力水平及影响因素分析	PO-3632	李贝贝	Feasibility Study of "One Key" Individualized Low Dosage Technique in CT Colonography
PO-3595	夏 琴	多层螺旋 CT 血管成像在下肢动脉闭塞检查中的护理干预与配合	PO-3633	王 甜	16cm 容积扫描模式在一站式左房 - 肺静脉 - 冠状动脉 CT
PO-3596	钟京渝	The endorsement of general and artificial intelligence reporting guidelines in radiological journals: a meta-epidemiologic study			
PO-3597	莫笑开	Use of virtual simulation-based training platform on thyroid ultrasonography in medical students: a randomized control trial			
PO-3598	梁春雨	The Application of Heuristic Teaching Method in the Practice for Qualified Professional Personnel of Medical Imaging			
PO-3599	汪 琴	STAR continuing education training model to enhance the scientific research ability of young imaging technicians			
PO-3600	程伊莲	MBO 理念下导师制联合定向提升带教的放射科新护士培训			
PO-3601	程 琳	以核心效能为导向的放射科护理教师培训模式改革与实践			
PO-3602	盛澍丽	肿瘤专科医院影像科基于目标绩效管理方案的探讨			



PO-3634	杨 静	成像检查的应用价值	PO-3669	黄文诺	数字 X 线摄影最佳源像距体模实验研究
PO-3635	梅莞翠	18F-NAF 全身骨扫描显像所致辐射剂量的研究 结合监测点优化的能谱扫描在双低剂量下肢动脉血管 CT 成像中的临床价值	PO-3670	霍 艳	新兴数字化医学影像技术在提高心血管疾病、关节疾病和肿瘤的诊断水平方面的应用价值评估
PO-3636	王 倩	基于知识图谱和图像分类的胸片智能化质控研究	PO-3671	胡 静	常规及数字 X 线成像的临床应用价值
PO-3637	崔园园	基于深度学习重建算法的 FOCUS 及 MUSE DWI 在甲状腺相关性眼病中应用价值的研究	PO-3672	聂吉林	Propeller DWI 及 MUSE DWI 序列在直肠肿瘤扩散加权成像图像质量的比较性研究
PO-3638	王云梦	FOCUS 及 MUSE DWI 对甲状腺相关性眼病的应用价值的研究	PO-3673	余燕武	秉持命运共同体理念开展放射科日常质量控制工作
PO-3639	万欣怡	评价视野优化无失真多元灵敏度编码技术 (FOCUS MUSE) 在直肠病变中的成像质量以及预测在病理危险因素中的潜在价值	PO-3674	胡晓云	肺移植术的“质控”：影像学如何“把好关”
PO-3640	王 冲	能谱 CT 去除 DBS 术前定位检查金属伪影的价值	PO-3675	胡晓云	脑胶质瘤及脑转移瘤生物 / 靶向治疗后的影像学定量评估报告规范解读
PO-3641	姜 松	3.0T 磁共振 NC-FIRM-MRA 和 CE-MRA 在肾动脉成像中的对比研究	PO-3676	吴 东	脑出血 CT 检查累积辐射剂量的监测意义
PO-3642	张沉石	虚拟单能级成像及骨去金属伪影技术去除腰椎内固定伪影的临床应用价值	PO-3677	杜佳圆	噪声对测量冠状动脉钙化积分影响的探究
PO-3643	杨尚文	对比剂团注追踪技术头颅 CTA 监测扫描启动时间的研究	PO-3678	史 征	静脉图像质量提升 ---- 双源双能量 CT 扫描技术配合高浓度对比剂对下肢静脉的扫描
PO-3644	李文航	前瞻性心电门控 70kV 在非肥胖患者胸痛三联 CTA 检查中的可行性研究	PO-3679	胡梦梦	基于全量数据分析 CT 辐射剂量诊断参考水平的可行性研究
PO-3645	黎枝鑫	双源 CT 高碘流率肾动脉 CTA 造影与 DSA 成像的对比	PO-3680	郭莹莹	影像技术质控：提高医疗诊断和治疗准确性的关键
PO-3646	宋 超	探讨双能量 CT 虚拟单能量在下肢静脉成像联合下腔静脉滤网植入术的一站式运用	PO-3681	俞真伟	70kVp 联合 ASIR-V 的宽体探测器 CT 与 120kVp 的常规 CT 在头颈部血管造影中辐射剂量及对比剂用量的对照研究
PO-3647	朱梦甜	吸气对抗阻力呼吸法与标准呼吸法在冠状动脉 CTA 扫描中的应用对比	PO-3682	何 嚼	320 排 CT 柔性减影技术在“双低”肺动脉检查中的应用
PO-3648	朱梦甜	探讨 NICaS 无创血流动力学监测指标对冠脉 CTA 达峰时间的影响	PO-3683	李 树	脊柱全长拼接 X 线摄影技术规范的探讨
PO-3649	朱梦甜	NICaS 无创血流动力学监测冠脉 CTA 联合常规增强 CT 图像质量及安全性研究	PO-3684	李 靖	基于鼓室注射钆对比剂后的 3D-FLAIR 序列扫描显示梅尼埃综合征患者内耳淋巴积水的研究
PO-3650	刘 衡	院级 CT 辐射剂量参考水平与警示值的建立及其在冠状动脉 CTA 剂量优化中的运用	PO-3685	王 芳	关于制定数字化 X 线摄影中双下肢全长拼接技术规范的探讨
PO-3651	王宇飞	不同锥形束 CT 扫描模式交替成像在头颈部肿瘤患者图像引导放疗中的应用	PO-3686	周宇涵	双层探测器光谱 CT 在 125I 粒子植入去金属伪影对图像质量改善中的应用价值
PO-3652	唐 飞	多功能数字胃肠机 (DRF) 应用于瓦 - 米试验的优势及心得体会	PO-3687	于 群	MRI 临床应用安全专家共识解读
PO-3653	潘欣璐	颈部增强 CT 减少伪影优化方案的应用研究	PO-3688	郑兴华	结合能谱技术对于肝静脉血管在不同 KV 下最佳成像效果的研究
PO-3654	徐汉友	一种新的放射性损伤敏感性监测方法的探讨	PO-3689	傅婉云	基于多参数深度学习模型的颈动脉 CTA 图像质量自动评估
PO-3655	徐汉友	医用放射性损伤的防治进展和防治建议	PO-3690	李 冠	基于低剂量 CT 技术行胸腹主动脉混合现实成像的可行性研究
PO-3656	任占丽	基于深度学习图像重建提升 CCTA 图像质量的可行性	PO-3691	陈 薇	CT 能谱成像对抑制锁骨下对比剂伪影的临床研究
PO-3657	梅博哲	基于深度学习智能测量胸部 CT 图像噪声和信噪比的可行性研究	PO-3692	张小勇	基于智能调制技术 CT 摆位对图像质量和辐射剂量影响的模体研究
PO-3658	杨创勃	两种不同超高 b 值扩散加权成像序列在前列腺癌和前列腺增生中的临床应用	PO-3693	牛雅欣	IRIS-DWI 与常规 DWI 在直肠癌诊断中的比较研究
PO-3659	杨创勃	两种不同超高 b 值扩散加权成像在前列腺肿瘤病变 MR 检查中对图像质量的影响	PO-3694	张 欣	针对托管医院冠状动脉 CTA 同质化标准建设的调查研究
PO-3660	邓 洋	CT 系统化分组质量控制管理模式在放射科技护一体化管理中的应用研究	PO-3695	郝 琪	低管电压对 CTA 的图像质量和剂量的影响
PO-3661	贾永军	全心运动校正算法对冠状动脉钙化积分图像质量和定量评估的影响	PO-3696	郝 琪	16cm 宽体探测器能谱 CT 增强扫描虚拟平扫代替常规平扫最佳期相选择的相关研究
PO-3662	宾大庆	500 例腰椎正侧位片质控分析及体会	PO-3697	董馥闻	膝关节体模数字 X 线摄影源像距与体表入射剂量及图像质量的实验研究
PO-3663	舒震宇	PDCA 循环模式在改善腹部磁共振图像质量中的应用研究	PO-3698	陈利华	基于 RQS 评分评估和分析国内外放射学顶刊文献的质量
PO-3664	吕青青	儿童颅脑集成 MRI 的图像质量研究	PO-3699	张 涛	探索不同呼吸训练方式对肝肿瘤特异性磁共振检查动脉期图像质控的影响
PO-3665	倪鸣飞	基于深度学习图像重建算法对脑白质脱髓鞘患者 MRI 图像去噪效果的研究	PO-3700	陈春云	磁共振上腹部增强基于改良呼吸训练法联合稀释钆塞酸二钠以减少动脉期一过性伪影方案及进展解读
PO-3666	杨创勃	超高 b 值读出方向分段采样扩散加权成像序列在前列腺癌和前列腺增生中的临床应用	PO-3701	陈春云	基于实时监测技术 (Care Bolus) 下不同注射速度对钆塞酸二钠 (Gd-EOB-DTPA) 增强成像肝动脉期图像质量的影响
PO-3667	丁晓青	社会媒体在心脏 CTA 个性化成像中的价值	PO-3702	任小军	压舌板刺激迷走神经在高心率患者中进行冠状动脉 CTA 扫描的可行性探讨
PO-3668	黄文诺	基于定位图像估算管电流调制 CT 检查体型特异性辐射剂量的方法	PO-3703	刘译阳	双能量参数的稳定性和可重复性：一个基于不同碘浓度的体膜研究
			PO-3704	崔志敏	摄影 KV 在 DR 成像质量和辐射效能中的影响分析
			PO-3705	何子福	发育性髋关节 DR 摄影辐射剂量与图像质量的相关性研究
			PO-3706	胡梦婷	自动预置技术结合噪声指数及迭代重建算法在腹壁下动脉

中华医学会 第30次全国放射学学术大会

CHINESE CONGRESS OF RADIOLOGY 2023

PO-3707	程启烽	CTA 中的应用 低剂量胸腹部三期联合增强扫描结合深度学习重建算法的应用价值
PO-3708	童小雨	1024 重建大矩阵结合 KARL 算法对胃部血管及肿瘤供血动脉显示的应用价值
PO-3709	程启烽	噪声指数联合迭代重建算法行低辐射剂量 CT 尿路成像 (CTU) 的可行性探究：模体研究
PO-3710	胡梦婷	基于深度学习重建算法优化低剂量腹壁下动脉 CTA 成像参数
PO-3711	童小雨	CT 重建矩阵对不同密度大小肺结节影像组学特征稳定性的影响
PO-3712	程启烽	噪声指数联合 ODM 技术及迭代重建算法行低辐射剂量 CT 尿路成像 (CTU) 的可行性探究
PO-3713	王诗耕	能谱下肢 CTV 在血栓显示和分期中的应用价值
PO-3714	王诗耕	低能级靶重建结合 ASIR-V 算法在下肢静脉成像中的应用
PO-3715	王诗耕	1024 × 1024 重建矩阵结合 Karl 算法对肾上腺 CT 图像质量和自动分割的影响
PO-3716	童小雨	管电压对组学特征再现性和自动骨密度预测模型的影响
PO-3717	胡梦婷	1024 × 1024 重建矩阵结合迭代重建算法在腹壁下动脉 CTA 中的应用价值
PO-3718	魏 巍	基于 GSI-Assist 在不同腹围患者腹部增强 CT 成像中实现个体化“双低”的应用研究
PO-3719	魏 巍	探讨能谱 CT 在术前鉴别膀胱癌病理分级的最佳成像模式
PO-3720	魏 巍	能谱 CT 参数变化对影像组学预测膀胱癌病理分级的影响
PO-3721	吴志斌	不同上肢静脉穿刺注射造影剂对急性胸痛主动脉 CTA 图像的影响
PO-3722	范 勇	能谱 CT 单能量成像提高门静脉对比度后处理参数优化
PO-3723	樊 婧	256 层螺旋 CT 行冠状动脉 CTA 时心率与最佳期相间的关系
PO-3724	范 勇	应用高权重迭代算法降低结直肠癌患者 CTC 辐射剂量可行性研究
PO-3725	范 勇	探究深度学习重建算法在低剂量 CT 结肠造影中的应用价值
PO-3726	范 勇	探究 1024 × 1024 重建矩阵结合 Karl 算法对 CT 门静脉图像质量和肝脏体积测量的影响
PO-3727	张竞颐	肠系膜下动脉 CTA 应用深度学习重建算法降低辐射剂量的可行性研究
PO-3728	张竞颐	基于去脂体重的低对比剂方案在结直肠癌能谱 CT 成像中的可行性
PO-3729	吕仁锋	深度学习重建算法结合低管电压在常规肺部 CT 扫描中的应用价值
PO-3730	唐 星	超低剂量 CT 结合深度学习重建算法对腹部图像质量的影响
PO-3731	李 蒙	放射科的诊断错误和偏倚
PO-3732	付新辉	呼吸运动对肺癌患者 4D-CT 的图像质量影响研究
PO-3733	綦维维	低管电压联合深度学习图像重建算法在降低胸腹盆联合增强 CT 辐射剂量的价值
PO-3734	邢立红	The preoperative predictive value of radiomics and nomogram for intrahepatic mass cholangiocarcinoma pathological grading based on T2 weighted image and hepatobiliary phase imaging
PO-3735	刘燕萍	Individually body surface area-adapted contrast media injection in coronary CT angiography
PO-3736	董淑雯	Optimized Bolus Threshold for Dual-Energy CT Angiography with Monoenergetic Images: A phantom study
PO-3737	钟京渝	Just give the contrast? Appraisal of guidelines on intravenous iodinated contrast media use in patients with kidney disease
PO-3738	崔园园	The application of "one-stop" low contrast dose and low flow rate craniocervical CTA integrated with cerebral CTP in patients with carotid atherosclerosis

PO-3739	姚 祥	Deposition of Gadolinium in Central and Peripheral Nervous System and Its Effects on Sensory, Cognition, and Athleticism After Multiple Injections of Gadolinium Contrast Agents in Rats
PO-3740	姚 祥	Experimental study on the deposition of gadolinium-based contrast agent and its enhanced the expression of NLRP3 inflammasome activation mechanism in the brain of type 2 diabetic rats
PO-3741	徐 慧	Application value of POWER PICC as venous access in contrast enhanced CT scanning
PO-3742	吴训华	低造影剂总量低注射速度低辐射在高危新生儿先天性心脏病 CTA 检查中的探索
PO-3743	杨惠泉	新型造影剂银纳米三角在肿瘤计算机断层扫描成像中的应用研究
PO-3744	贾广生	高心率冠状动脉 CTA 成像经验分享
PO-3745	李 雪	腹部 CT 增强检查患者禁食时间与急性不良反应的相关性分析
PO-3746	李建洁	CT 增强检查前饮食准备的范围综述
PO-3747	陈廷静	碘 ICM 高压输注后静脉留置针回血的临床观察及相关因素分析
PO-3748	江小虹	一管到底，碘亮安全—记碘对比剂渗漏质量改进
PO-3749	俞嘉伟	责任斑块强化比、脑低灌注和糖化血红蛋白与复发性缺血性脑卒中的相关性
PO-3750	吕 洋	CT 增强扫描中使用高压注射器的风险预见及防范措施
PO-3751	李 剑	超低对比剂注射流速在长期化疗患者血管 CT 成像的应用
PO-3752	严辉峰	耐高压 PICC 导管在肿瘤患者腹部 CT 增强中的应用研究
PO-3753	王继荣	西宁地区低辐射剂量、低对比剂用量和低注射流速在肺动脉 CTA 中的应用
PO-3754	时洪坤	探讨西门子 Force 使用能谱技术扫描下肢血管增强成像中与 GE Revolution 的优势对比
PO-3755	李佳营	探讨水化护理在宫颈癌化疗后患者中降低 CT 增强检查对比剂外渗的概率及减少对比剂肾病发生风险的临床价值
PO-3756	刘 星	第三代双源 New Force CT 冠状动脉成像的低剂量低对比剂个性化扫描方案研究
PO-3757	刘明鸣	缩短超液化碘油 HSG 延迟片时间评价输卵管功能的可行性研究
PO-3758	吴晶晶	三低对比剂联合能谱 CT 技术在门静脉与肝静脉一站式成像中的可行性研究
PO-3759	邝 晓	首诊负责制在碘对比剂外渗全程护理干预中的应用
PO-3760	裴锦奎	肺动脉 CTA 联合腹盆增强的一站式能谱扫描在妇科肿瘤患者中诊断伴随性肺栓塞的临床价值
PO-3761	刘 平	从对比剂基础理论到科研设计思维
PO-3762	孔存青	基于多功能纳米颗粒的肝癌双模态成像及多模式治疗的研究
PO-3763	吕仁锋	深度学习重建算法结合低管电压头颈 CT 血管成像的双低研究
PO-3764	张 贺	比较头颈部 CTA 常规扫描与低对比剂、能谱单能量扫描的图像质量、辐射剂量
PO-3765	曾 杰	评价上肢血管 CT 成像对比剂稀释注射对动脉增强效果的改善研究
PO-3766	黄 莉	多次增强 CT 检查后患者身体代谢影响的探讨
PO-3767	王 瑛	放射科对比剂注射的精细化实践
PO-3768	池 萌	碘对比剂恒温箱加热处理对冠脉 CTA 患者心电变化及外渗风险的影响
PO-3769	李知晓	CT 动态 4D 联合直接法单下肢 CTV 血管成像评估下肢血管病变
PO-3770	陈可馨	一项在大型三甲医院关于碘对比剂外渗的回顾性研究
PO-3771	刘 倩	蓝信平台在放射科管理以及患者隐私保护中的应用
PO-3772	王 勤	基于失效模式与效应分析的对比剂不良反应的患者处置流



		程管理
PO-3773	邵志清	影像技师在危急值报告信息化管理中的价值初探
PO-3774	郭 靖	现代中医发展下的中医医院影像科的管理与思考
PO-3775	熊 洁	全托管三甲医院放射科的规划与筹建
PO-3776	周娇娇	3.0TMRI 分时段预约检查流程优化实施应用
PO-3777	刘义平	县域医院放射科在管路安全管理中的重要作用和影像报告要点
PO-3778	胡金香	住院医师规范化培训 X 线造影技能操作分层次教学方法探讨
PO-3779	李坤华	Performance of deep learning-based autodetection of arterial stenosis on head and neck CT angiography: an independent external validation study
PO-3780	郝云秀	Deep-learning-based auto-segmentation of lumbar muscle and vertebral body on proton density fat fraction (PDFF) map facilitates clinical applications of body composition analysis
PO-3781	许志高	Support Vector Machine for Stratification of Cognitive Impairment Using 3D TIWI in Patients with Type 2 Diabetes Mellitus
PO-3782	韦瑞丽	A RadioFusionOomics model for discrimination between grade 4 astrocytoma and glioblastoma: comparison of two subregion definition strategies
PO-3783	汪 洋	Deep Learning-Enabled Clinically Applicable CT Planbox for Stroke With High Accuracy and Repeatability
PO-3784	张茂萍	IILS: Intelligent imaging layout system for automatic imaging report standardization and intra-interdisciplinary clinical workflow optimization
PO-3785	黄 瑶	Multiparametric MRI model using Shapley additive explanations interpretability analysis for predicting molecular subtypes of breast cancer
PO-3786	霍继文	Computed tomography-based 3D convolutional neural network deep learning model for predicting micropapillary or solid growth pattern of invasive lung adenocarcinoma
PO-3787	贺 帅	Pretreatment CT radiomics nomogram for predicting initial benefits from 1 immune checkpoint inhibitor in advanced non-small-cell
PO-3788	贺 帅	CT-Based Peritumoral and Intratumoral Radiomics as Pretreatment Predictors of Atypical Responses to Immune Checkpoint Inhibitor Across Tumor Types: A Preliminary Multicenter Study
PO-3789	钟京渝	Deep learning image reconstruction generates thinner slice iodine maps with improved image quality to increase diagnostic acceptance and lesion conspicuity: a prospective study on abdominal dual-energy CT
PO-3790	童永秀	A nomogram model of spectral CT quantitative parameters and clinical characteristics predicting lymphovascular invasion of gastric cancer
PO-3791	姜沁伶	High-resolution computed tomography with 1024-matrix: Comparison with 512-matrix for AI-assisted diagnosis system in the evaluation of pulmonary nodules
PO-3792	孟名柱	Preliminary Study on YOLO-V5 rapid identification of degenerative spondylolisthesis
PO-3793	王灵杰	Machine Learning-based identification of symptomatic carotid atherosclerotic plaques with dual-energy computed tomography angiography
PO-3794	朱正阳	Swin transformer Framework for predicting Grade and IDH mutation free of tumor segmentation: a multi-institutional study
PO-3795	朱正阳	Radiomics for predicting Grades, IDH mutation and MGMT promoter methylation of Adult Diffuse Gliomas: Combination
		of structural MRI, ADC and SWI
PO-3796	陈铭珍	Intelligent assessment of lymph nodes involvement in breast cancer based on CNN algorithm: A feasibility and validation study
PO-3797	李冬雪	Development and validation of a combinatorial MRI sequence-based radiomics model for preoperative prediction of microsatellite instability status in rectal cancer
PO-3798	邢兆宇	Automatic Urinary Stones Detection System for Abdominal Non-enhanced CT Images Reduces the Burden on Radiologists
PO-3799	陆 昊	CT-based radiomics with various classifiers for histological differentiation of parotid gland tumors
PO-3800	李 硕	Staging Liver Fibrosis Using Routine Magnetic Resonance Imaging Based on Machine learning model
PO-3801	徐子良	Cognitive Impairment After Sleep Deprivation: The Role of Precuneus Related Connectivity on The Intra-Individual Variability Changes
PO-3802	肖 轩	Developing a dementia risk prediction model for people with depression: a longitudinal machine learning study
PO-3803	马依迪丽尼加提	Deep learning and radiomics of longitudinal CT scans for early prediction of tuberculosis treatment outcomes
PO-3804	马依迪丽尼加提	Deep Learning on Longitudinal CT Scans: Automated Prediction of Treatment Outcomes in Hospitalized Tuberculosis Patients at Early Stage
PO-3805	高 飞	Using Machine Learning to Predict the Efficacy of Neoadjuvant Chemoradiotherapy for Local Advanced Rectal Cancer Based on Texture Features of MRI
PO-3806	代永亮	Application value of artificial intelligence CT quantitative analysis technology in the process of bronchial changes at different stages of pulmonary contusion
PO-3807	姚 祥	Clinical application of 3DSlicer and Sina in minimally invasive puncture drainage of elderly patients with spontaneous intracerebral hemorrhage under local anesthesia
PO-3808	曹伯裕	A Study on Predicting Spontaneous Deep Brain Hematoma Expansion Based on Head CT Perfusion Imaging
PO-3809	张继云	Radiomics analysis of gadoxetic acid-enhanced MRI preoperative predicts vessels encapsulating tumor clusters in hepatocellular carcinoma
PO-3810	赵祯义	The value of CT radiomics on predicting of progression of aortic intramural hematoma
PO-3811	张灵艳	Research on prognosis model of cerebral hemorrhage based on deep learning
PO-3812	张灵艳	Deep learning-based Synthetic Magnetic Resonance Image Generation from CT Imaging for Cerebral Ischemic Stroke Patients
PO-3813	万美琪	Predicting rectal metachronous liver metastases with CT-based Deep learning model
PO-3814	张 敏	The Influence of Different Iterative Algorithms on Machine Deep Learning Detection of Long Diameter and 3D Volume Measurement of Pulmonary Nodules in Conventional and Low Dose CT Scanning
PO-3815	刘心怡	The Value of Deep Learning Model Based on Non-contrast Abbreviated MRI for Screening Small High-Risk Hepatic Nodules
PO-3816	尹 平	Deep learning model for the segmentation and evaluation of neoadjuvant chemotherapy response in patients with osteosarcoma on routine MRI
PO-3817	刘 想	An Integrated Clinical Nomogram for the Identification of Local Recurrence of Prostate Cancer Patients with Biochemical Recurrence

中华医学会 第30次全国放射学学术大会

CHINESE CONGRESS OF RADIOLOGY 2023

PO-3818	刘 想	Automated Treatment Response Evaluation of Metastatic Lesions in Advanced Prostate Cancer Patients Using Deep Learning Based on the MET-RADS-P System	
PO-3819	钟舒婷	Development of Radiomics model based on Contrast-Enhanced CT with Clinical Characteristics to Predict Primary Post-acute Pancreatitis Diabetes Mellitus	
PO-3820	袁子龙	Integration of dosimetric parameters, clinical factors, and radiomics to predict symptomatic radiation pneumonitis in lung cancer patients undergoing combined immunotherapy and radiotherapy	
PO-3821	张心怡	Building and Validating a Nomogram Utilizing Biparametric MRI PI-RADS v2.1 and Clinical Parameters to Reduce Unnecessary Prostate Biopsies	
PO-3822	王天宇	Application of Deep Learning-Generated Virtual Material Decomposition Images for Distinguishing Intracranial Hemorrhage from Contrast Staining Within 24 Hours After Endovascular Thrombectomy	
PO-3823	马诗语	Deep Learning-Based Clinical-Radiomics Nomogram for Preoperative Prediction of Lymph Node Metastasis in Patients with Rectal Cancer: A Two-center Study	
PO-3824	魏 伟	Application Value of MR Radiomics in Grading of Cerebral of Gliomas	
PO-3825	陈巧玲	Integrating intratumoral and peritumoral CT-based radiomics to predict visceral pleural invasion and prognosis in clinical stage IA non-small cell lung cancer: a two-center study	
PO-3826	马晓璐	MRI-based Radiomics for the Differentiation of Stage T1 Rectal Cancers from Rectal Adenomas	
PO-3827	沈 浮	Efficacy of Preoperative MRI-based Deep Learning Model in Diagnosis of Lateral Lymph Node Metastases in Patients with Rectal Cancer	
PO-3828	常一凡	Change and evaluation of hippocampal volume and subregion volume before and after refractory seizure control based on artificial intelligence analysis	
PO-3829	马江琴	Multiparametric MRI-Based Radiomics Model to Predict Tumor-Stroma Ratio in Prostate Cancer.	
PO-3830	袁 渊	Deep Learning Models for Preoperative T-Stage Assessment in Rectal Cancer Using MRI: Exploring the Impact of Rectal Filling	
PO-3831	丁小博	Is Double-Low CTA of Renal Artery with Deep Learning Image Reconstruction Algorithm Better than Traditional CTA with Iterative Reconstruction Algorithm?	
PO-3832	丁小博	The superiority of Low-kV Renal Triphasic-enhanced CT with Deep Learning Image Reconstruction in Patient Care over Conventional enhanced CT exam	
PO-3833	强羽荟	Establishment and validation of machine learning models predicting the rapid progression of interstitial lung disease in patients with idiopathic inflammatory myopathy based on quantitative HRCT, a single-center, prospective, cohort study	
PO-3834	王弘熠	Deep-Learning based quantitative high resolution computed tomography in prediction of rapid progression of idiopathic inflammatory myopathies-related interstitial lung disease	
PO-3835	谢飞扬	Deep-learning based detection model of small pancreatic cystic lesions on contrast-enhanced CT	
PO-3836	卓芝政	Spatial Structural Abnormality Maps Driving Cognitive Impairment and Physical Disability in Multiple Sclerosis	
PO-3837	罗朝天	Effect of Coefficient of Determination (R ²) on the Accuracy of CMRtools Software in Diagnosing Liver Iron Concentration in Thalassemia Patients	
PO-3838	徐 霏	Performance Evaluation of Large Language Models in	Radiology domain: A Comparative Study of ChatGPT-4, GPT-3.5, Bing, and Bard in Chinese Language Context
PO-3839	赵 伟	MAN-GAN: A Mask-Adaptive Normalization based Generative Adversarial Networks for liver multi-phase CT image generation	
PO-3840	赵 伟	Computed Tomography-derived intratumoral and peritumoral radiomics in predicting EGFR mutation in lung adenocarcinoma	
PO-3841	周诗琪	Noninvasive diagnostic models based on CT scans for differentiating solitary pulmonary metastasis in colorectal cancer patients by artificial intelligence: a multicenter study	
PO-3842	鲁 君	Prediction of long-term functional prognosis using a machine learning model with lesion spatial information in acute ischemic stroke	
PO-3843	彭 云	Synthetic T2WI generated from b0 diffusion-weighted imaging using Hybrid-Fusion Network	
PO-3844	马宗晶	Predicting the growth of sub-centimeter sub-solid pulmonary nodule within two years	
PO-3845	黄珊珊	Prognostic prediction of acute posterior circulation ischemic stroke after mechanical thrombectomy based on DWI radiomics	
PO-3846	李振辉	Perioperative Change in Skeletal Muscle Index and Its Long-term Prognostic Significance in Patients with Colorectal Cancer: A Retrospective Longitudinal Cohort Study	
PO-3847	郭佳敏	Deep learning for automatic segmentation of triple-negative breast cancer lesions and axillary lymph nodes in multi-sequence magnetic resonance imaging	
PO-3848	王慧莉	Machine learning based on SPECT/CT to differentiate bone metastasis and benign bone lesions in lung malignancy patients	
PO-3849	杨丽勤	A Preliminary Study on the Value of a Combined bpMRI-Based Radiomics-Clinical Model for Assessing Extracapsular Extension in Prostate Cancer	
PO-3850	盖 群	Altered intersubject functional variability of brain white-matter in major depressive disorder and its association with gene expression profiles and clinical applications	
PO-3851	龙仕超	Artificial intelligence-based multi-parametric MRI model predicts intra-tumoral tertiary lymphoid structures in Hepatocellular Carcinoma: a multicenter observational study	
PO-3852	刘 栋	Noninvasive Magnetic Resonance Imaging Radiomics Features of adenohypophysis in evaluation of hypothalamic-pituitary-gonadal axis activation in pre- and at-puberty children.	
PO-3853	卢 婷	Research progresses of evaluating tumor microenvironment by Deep Learning	
PO-3854	余佳燕	Deep learning for automatic lateral ventricles segmentation and diagnosis of ventriculomegaly by fetal MRI	
PO-3855	梁红琴	Fully automatic analysis CT FFR for the identification of ischemia-specific CAD with a new coronary artery model reconstruction algorithm: A muti-center study	
PO-3856	黄莹莹	Longitudinal magnetic resonance images-based deep learning model in the precise detection of recurrence in treated nasopharyngeal carcinoma	
PO-3857	徐子良	Abnormal Rich Club Organization in Postprandial Distress Type Functional Dyspepsia	
PO-3858	陈 娟	Feasibility of MRI-based radiomics model for predicting the risk stratification of microvascular invasion in hepatocellular carcinoma	
PO-3859	谢明哲	Analysis of the production of 3D crutches	
PO-3860	羊倩羽	Survival rate prediction of nasopharyngeal carcinoma patients using a deep neural network	



PO-3861	张斌	Predicting telomerase reverse transcriptase promoter mutation status in glioblastoma by whole-tumor texture analysis of multisequence MRI imaging	PO-3885	朱润莹	brain metastasis Radiomics Analysis Based on Dynamic Contrast-Enhanced MRI for Prediction of the Postoperative Prognosis in Hepatocellular Carcinoma
PO-3862	赵洁	Radiomic features of the hippocampal based on magnetic resonance imaging in the menopausal mouse model linked to neuronal damage and cognitive deficits	PO-3886	张琬姝	An automated detection method for Hyperdense Middle Cerebral Artery Sign of acute ischemic stroke in non-contrast computed tomography
PO-3863	潘映钰	Research on the application of radiomics in neurodegenerative diseases	PO-3887	杨友常	Multimodal data integration using machine learning to predict the risk of clear cell renal cancer metastasis: A retrospective multicentre study
PO-3864	查俊豪	Comparing a Fully Automated Hybrid Approach on MRI and FibroScan for Triaging Clinically Significant Liver Fibrosis: A Multi-center Cohort Study	PO-3888	周芸慧	Dual-phase contrast-enhanced CT-based intratumoral and peritumoral radiomics for preoperative prediction of lymphovascular invasion in gastric cancer
PO-3865	陈新伟	A Combined Model Integrating Radiomics and Deep Learning Based on Contrast-enhanced CT for Preoperative Staging of Laryngeal Carcinoma	PO-3889	林潇	Medical-Inspired Deep Learning Algorithm for the Quantification of Epicardial Adipose Tissue
PO-3866	李贝贝	PET/CT measures of inter-tumor heterogeneity for predicting platinum resistance of high-grade serous ovarian cancer	PO-3890	支凯玥	Preoperative prediction of the SSIGN score and outcome in clear cell renal cell carcinoma using a combination of CT radiomics and clinical features
PO-3867	李穗	Synthesized 7T SWI from 3T SWI Using conditional based Diffusion Denoising Probability Model: A Initial Study	PO-3891	刘新宇	Deep learning-assisted automatic segmentation of the uterine corpus and fibroids on T2-weighted magnetic resonance images
PO-3868	林达丰	Radiomic signatures associated with tumor immune heterogeneity predict survival in locally recurrent nasopharyngeal carcinoma	PO-3892	韩少强	Parsing altered gray matter morphology of depression using a framework integrating the normative model and non-negative matrix factorization
PO-3869	罗竹人	Value of 2D and 3D CT radiomics models based on machine learning in predicting thymoma with different risk stratification	PO-3893	韩少强	Two distinct subtypes of obsessive compulsive disorder revealed by a framework integrating multimodal neuroimaging information
PO-3870	方如旗	Non-contrast-enhanced MRI radiomics improves preoperative diagnostic performance for local staging in endometrial cancer	PO-3894	高晨	Prediction of Prognosis of Invasive Breast Carcinoma in Women Based on Ferroptosis-related lncRNA
PO-3871	牛晓玉	The difference of dynamic functional connectivity density in different severity of long-term smokers	PO-3895	龙阳飞	Diagnostic performance of radiomics for the vulnerability of arterial plaques: A Systematic Review and Meta-Analysis
PO-3872	周韓鼎	Self-Supervised Learning Method for Brain Tumor Classification in Fewer Training Epochs	PO-3896	田娅	Two distinct subtypes of obsessive compulsive disorder revealed by heterogeneity through discriminative analysis
PO-3873	王俊人	Application value of 320-detector row CT coronary subtraction technique in patients with mild-moderate calcification score	PO-3897	吴珊	Identifying Amyotrophic Lateral Sclerosis through the Abnormal Gray Matter Volume Pattern using Support Vector Machine Algorithm
PO-3874	刘刚	Multimodal deep learning network for the discrimination of benign and malignant pulmonary ground glass nodules	PO-3898	李宗烨	Preliminary Preclinical Application Study of Single-Scan Ultra-Fast Quantitative Magnetic Resonance Imaging
PO-3875	庞惠泽	Three distinct subtypes of multiple system atrophy revealed by connectivity features through consensus clustering analysis	PO-3899	张训兰	COVID-19 and Diabetes research: Where Are We Now and What Does the Future Hold? A Bibliometric Visualization Analysis
PO-3876	郑婉仪	MRI-based Vascular Permeability and Cell Density-Related Habitats for Distinguishing IDH Mutation Status in Glioma	PO-3900	戴涵婷	Preoperatively identify VEGF-positive HCC: via Peritumoral Delta Radiomics
PO-3877	周福庆	Altered Cortical Morphological and Functional Topological Properties in Patients with NMOSD: an Individual-Based Brain Network Study	PO-3901	何秀超	Application of Improved Faster-RCNN in Rib Fracture Detection
PO-3878	陈小佩	Deep learning-based on multiphase computed tomography images for the preoperative prediction of HER2 expression in gastric cancer	PO-3902	杜青林	Development of a nomogram model based on MRI T2WI radiomics combined with clinical characteristics for predicting the post-acute pancreatitis diabetes mellitus
PO-3879	邵志清	Noncontrast Computed Tomography-based Radiomics Analysis as Predictors of Revised Hematoma Expansion in Spontaneous Intracerebral Hemorrhage	PO-3903	谢婷婷	Fully Automated Segmentation and Volumetry of hepatic veins and portal veins at CT prior to major hepatectomy using deep learning
PO-3880	王玉辉	Skull fracture detection of CT images based on an improved YOLOv5 method	PO-3904	王颖	ECG - based cardiodynamicsgram can reflect anomalous functional information in coronary artery disease
PO-3881	樊婷婷	Artificial Intelligence Assisted Identification of Severe Patients with Coronavirus Disease 2019 Based on Quantitative Computed Tomography Parameters	PO-3905	任采月	Clinico-biological-radiomics (CBR) based machine learning for improving the diagnostic accuracy of false-positive lymph nodes in lung cancer
PO-3882	李琪媛	Intratumoral and peritumoral CT radiomics in predicting prognosis in patients with chondrosarcoma: a multicenter study	PO-3906	张振华	Multi-modal Fusion of Radiomics and Pathomics for Enhanced Pancreatic Cancer Survival Prediction with Asymmetric Twinning Information Interaction Network (ATIIN)
PO-3883	赵国樞	Usefulness of texture features of mean apparent propagator-magnetic resonance imaging in distinguishing glioblastoma and solitary brain metastasis			
PO-3884	赵国樞	Neurite orientation dispersion and density imaging-based texture features in differentiating glioblastoma from solitary			

中华医学会 第30次全国放射学学术大会

CHINESE CONGRESS OF RADIOLOGY 2023

PO-3907	李小虎	Feasibility of ultra-low radiation dose reduction for Urinary calculus using Deep Learning CT Image Reconstruction : prospective pilot study	PO-3931	薛 波	器学习模型研究 基于人工智能辅助迭代图像重建技术的智能快速磁共振(iQMR)在急性缺血性脑卒中MR检查中的应用价值研究
PO-3908	李小虎	Value of TrueFidelity (deep learning image reconstruction) in low-dose urinary tract CT: image quality and calculus detection	PO-3932	黄文君	基于人工智能的肺结节良恶性诊断的验证研究
PO-3909	张文静	Prediction of acute symptom severity using neuroanatomic images in antipsychotic-naïve first episode schizophrenia	PO-3933	曾 辉	使用机器学习预测肝细胞癌MVI状态：对放射科医生的作用
PO-3910	朱元强	Structural Abnormalities in the Fronto-Parietal Network: Linking White Matter Integrity to Sustained Attention Deficits in Schizophrenia	PO-3934	宋冬冬	人工智能肺结节筛查中检测效能初探
PO-3911	朱元强	Effects of sleep deprivation and daytime naps on working memory based on task-state functional magnetic resonance	PO-3935	朱逸峰	基于深度学习建立颈椎病MR诊断模型的初步研究
PO-3912	朱元强	A multimodal image-based study of the effects of sleep deprivation and daytime naps on risky decision-making and its mechanisms	PO-3936	范旭辉	基于多参数磁共振及机器学习的瘤周与瘤内影像组学特征模型用于术前评估胰腺癌的病理学结果
PO-3913	刘方圆	Entropy as a Novel Predictor of Cardiovascular Events in Patients with Myocarditis	PO-3937	李泉江	MRI影像组学在预测鼻咽癌预后的应用价值研究
PO-3914	秦松楠	Non-Contrast Computed Tomography-Based Radiomics for Staging of Connective Tissue Disease-Associated Interstitial Lung Disease	PO-3938	刘明珠	基于机器学习技术的早期COPD诊断模型研究
PO-3915	戴 懿	Application of Combined Convolution Neural Network and Graph Convolution Network for Predicting Axillary Lymph Node Metastasis in Breast Cancer Based on Dynamic Contrast-enhanced MRI: A Multicenter Study	PO-3939	张永胜	基于多中心的多参数MRI影像组学列线图预测ISUP≥3前列腺癌的价值
PO-3916	宋 澄	Formation Prediction of MCA Intracranial Aneurysms by Hemodynamic and Morphological natures using Machine Learning Method	PO-3940	于会昌	基于Swin Transformer架构的磁共振图像加速重建
PO-3917	邓虞娇	"Differentiating and Diagnosing 'Patchy Shadows' in the Central Nervous SystemBased on MRI Images Using a Multitask Deep Learning Model	PO-3941	王佳伟	基于CT影像组学联合临床特征对新型冠状病毒肺炎-奥密克戎株肺炎临床转归的预测研究
PO-3918	毕 秋	Multimodal integration of habitat radiomics, pathomics and clinical parameters for predicting platinum resistance in patients with high-grade serous ovarian carcinoma	PO-3942	王灵杰	基于机器学习的双能量CTA识别症状性颈动脉斑块的研究
PO-3919	韩鹏熙	Based on Front-End Engineer- Coronary Artificialintelligence(AI):Deep-Learning Image Reconstruction (DLIR) for Coronary Computed Tomography Angiography (CCTA) about qualitative Image Analysis and coronary atherosclerosis burden	PO-3943	薛 靖	基于多相CT影像组学对膀胱尿路上皮癌预后预测价值的研究
PO-3920	朱宏庆	Construction of Preoperative Nomogram Prediction Model for WHO/ISUP Grading of Clear Cell Renal Cell Carcinoma based on Clinical and CT Image Radiomics	PO-3944	贺小娅	基于胸部正位X线摄影的儿童PICC导管头端智能定位
PO-3921	李 杨	Application of a new deep learning image reconstruction (DLIR) algorithm in pediatric orbital ultra-low dose CT imaging: A pilot study based on image quality	PO-3945	彭 琳	基于多参数MRI影像组学术前评估直肠癌肿瘤出芽分级
PO-3922	郭艺帆	Interpreting Structured CT Reports of Pulmonary Nodules According to Relevant Guidelines: A ChatGPT Approach	PO-3946	许方怡	胸部CT重建参数对于肺结节影像组学特征的影响探究
PO-3923	赵娴靓	A Deep Learning Model Predicating Functional Outcomes of Spontaneous Intracerebral Hemorrhage Based on CT Scans	PO-3947	周治明	ME-Mind模型：用于预测自发性脑出血后血肿扩大的基于新型深度学习策略的端到端模型
PO-3924	李佳蔚	基于纹理分析方法评价肝泡状棘球蚴病活性的初步研究	PO-3948	陈星池	基于瘤内和瘤周的CT影像组学无创预测胃癌微卫星不稳定状态
PO-3925	邹 灿	骨骼CT三维重建技术在流浪精神分裂患者锁骨性别及年龄推断应用价值	PO-3949	李 博	基于PET/CT的深度影像组学后融合模型预测PD-L1在非小细胞肺癌中的表达状态
PO-3926	张 敏	探讨多次重复扫描中MRS的可重复性	PO-3950	钟京渝	我国影像组学研究热点和趋势的可视化分析
PO-3927	张 敏	探讨纵向研究中多次扫描所得MRS结果的差异性	PO-3951	陈思璇	基于MRI的不同影像组学模型预测胶质瘤MGMT启动子甲基化状态的研究
PO-3928	朱逸峰	基于深度学习方法自动测量儿童颈椎MRI结构的初步研究	PO-3952	伍瑶斌	采用结构分离技术提升胸肺静脉CTA后处理效率的应用研究
PO-3929	颜秋婵	基于深度学习模型建立的人工智能定位算法在颈椎MRI成像中的应用	PO-3953	陈 亮	AI协同影像未来
PO-3930	舒震宇	基于磁共振结构像定量分析预测直肠癌p53状态：一项机	PO-3954	周宇涵	深度学习图像重建算法在全脑CT灌注生成的CT血管造影中的有效性评估
			PO-3955	管乃超	基于注意力机制的肺结节检测算法研究
			PO-3956	曹伯裕	CT参数Tmax预测高危短暂性脑缺血发作患者脑卒中的应用
			PO-3957	陈永明	探讨基于AI+深度学习的冠状动脉CT血流储备分数(CT-FFR)在冠心脏病无创诊断中的应用价值。
			PO-3958	韩 涛	基于MRI影像组学预测脑膜瘤复发/进展
			PO-3959	李 露	基于bpMRI影像组学的机器学习模型预测移行带非显著性前列腺癌的价值
			PO-3960	汪博泉	基于增强T1WI影像组学预测直肠腺癌病理分级的可行性研究
			PO-3961	刘梦珂	MRI影像组学评估原发性淋巴水肿临床分期的价值
			PO-3962	马泽鹏	基于生成对抗网络深度学习在减少心脏磁共振运动伪影中的应用研究
			PO-3963	刘 巧	基于机器学习的肺结节多分类预测模型的建立与验证
			PO-3964	黄兴涛	基于CT的深度学习模型在鉴别良恶性实性肺结节($\leq 8\text{mm}$)中的价值
			PO-3965	肖莉莉	冠状动脉CT血流储备分数不同软件算法及操作者间一致性分析及同质化初探
			PO-3966	陈 亮	基于单病种人工智能全流程管理方案在医院多科室的整体运用



PO-3967	王 猛	基于双能量单能技术结合 AI 在肺动脉栓子检出率价值应用	PO-3998	杨 楠	基于 CT 的放射组学预测小细胞肺癌化疗后复发时间模型
PO-3968	曹建新	联合人工智能模型迭代重建和 70KV 超低管电压大幅度降低肺动脉 CTA 辐射剂量的应用研究	PO-3999	钟美梦	人工智能辅助压缩感知技术对颅脑液体和白质抑制序列图像质量的影响
PO-3969	彭 聪	基于对比增强 CT 图像纹理建立三分类机器学习模型诊断甲状腺常见结节病变	PO-4000	伍雪威	基于生物可解释性的多任务深度学习预测胶质瘤分子分型及预后
PO-3970	钟舒婷	基于增强 CT 影像组学预测急性胰腺炎后糖尿病的发生	PO-4001	张学明	基于头颅 CTA 检测颅内动脉粥样硬化狭窄的混合监督深度学习模型的开发与验证
PO-3971	韩佳悦	基于增强 CT 的分类回归树模型对透明细胞肾细胞癌的诊断研究	PO-4002	罗诗维	基于影像组学的机器学习模型用于中枢神经系统肿瘤的类型及分子状态的评估
PO-3972	张 俊	基于 X 线图像的深度学习影像组学鉴别急慢性骨质疏松性椎体压缩性骨折：一项多中心研究	PO-4003	徐静雅	基于 CT 深度学习鉴别胸腺瘤组织学分型的临床应用价值
PO-3973	李 静	基于超声瘤内和瘤周放射组学和临床特征构建的诺模图用于鉴别甲状腺结节良恶性：一项多中心研究	PO-4004	张学明	基于头颅 CTA 检测颅内动脉粥样硬化狭窄的混合监督深度学习模型的开发与验证
PO-3974	杜 海	结合临床超声语义特征和放射组学特征诊断恶性甲状腺结节的诺模图的开发和验证：一项多中心研究	PO-4005	于俊丽	基于右优势型冠脉 CT 平扫冠周脂肪建立模型预测软斑块的研究
PO-3975	高子淇	基于 AI 技术模拟双源 CT 对肾结石诊断的低剂量初探	PO-4006	刘欢欢	基于 MRI 的深度学习在预测直肠癌 KRAS 基因突变中的价值
PO-3976	杨博文	基于深度学习重建的快速 T2WI 的影像组学模型诊断前列腺癌的价值	PO-4007	焦凯剑	U-Net 3D 自动分割与磁共振放射组学定量分析马拉松运动员膝关节软骨及半月板
PO-3977	李杭骏	基于 CT 图像的深度学习模型在机会性骨疏松症筛查中的骨密度分类与预测研究	PO-4008	郭 琳	基于 CT 影像组学的耐药肺结核辅助诊断研究
PO-3978	许岂豪	基于增强 MRI 的纹理分析术前预测肝细胞癌 Ki-67 状态的价值	PO-4009	陈意妮	基于 CT 影像组学构建机器学习模型鉴别海绵状血管瘤和单纯脑出血
PO-3979	许岂豪	基于弥散加权成像的纹理分析术前预测肝细胞癌 Ki-67 状态的价值	PO-4010	孙永兵	中国体检人群骨密度降低 Nomogram 临床预测模型的构建与验证
PO-3980	谯孝凤	基于 MRI 影像组学的机器学习模型预测前列腺癌的 Ki67 表达与 Gleason 分级分组	PO-4011	郑 涛	多序列 MR 预测伊马替尼治疗后胃肠间质瘤的无进展生存期
PO-3981	刘佳荟	血清总胆汁酸与早期复发肝细胞癌的影像组学特征相关性研究	PO-4012	郝光宇	深度学习技术对颅内外动脉狭窄的诊断价值
PO-3982	张文会	基于多模态影像组学的机器学习模型预测胰腺癌血管侵犯及辅助手术决策的研究	PO-4013	杜 娟	ADC 图为基础的影像组学模型对 GIST 有丝分裂指数的预测价值
PO-3983	朱驷文	基于术前增强 CT 构建胰腺癌淋巴结转移的影像组学预测模型	PO-4014	赵煌旋	基于衰减系数法的四维数字减影血管造影图像重建研究
PO-3984	徐俊峰	影像技术实习生结合人工智能辅助诊断对肺结节 Lung-RADS 分级的应用研究	PO-4015	邢春华	功能网络连接的中断预示着老年性耳聋患者的认知障碍
PO-3985	李大瑞	深度学习影像组学列线图预测胶质瘤患者 IDH 突变状态的一项多中心的研究	PO-4016	董 浩	基于 CT 放射组学的无监督共识聚类对临床 T1 期肺腺癌患者进行危险分层成为可能性
PO-3986	李大瑞	基于多模态 MRI 的 3D-EfficientB2 卷积神经网络预测脑胶质瘤 IDH 突变状态：一项多中心的研究	PO-4017	许岂豪	基于增强 MRI 的纹理分析术前预测肝细胞癌微血管密度的价值
PO-3987	李大瑞	基于常规 MRI 图像的 3D 卷积神经网络预测脑胶质瘤分级：一项多中心的研究	PO-4018	倪 铭	GPT-4 在基于影像学表现的肿瘤鉴别诊断和协助放射科医生改进诊断方面的价值
PO-3988	李大瑞	基于 APTw 生境分析的影像组学模型预测 IDH 突变	PO-4019	徐青青	基于 CT 小肠成像肠壁及肠系膜脂肪影像组学模型预测克罗恩病可行性研究
PO-3989	魏明翔	利用多参数 MRI 结合深度学习及影像组学对上皮性卵巢癌盆腔上腹膜转移进行术前评估	PO-4020	许岂豪	DWI 和 ADC 纹理分析预测肝细胞癌 mRECIST 标准评价 TACE 疗效
PO-3990	刘 智	一个融合 MRI 放射组学和深度学习特征的融合模型用于预测 IDH 突变的高级别星形细胞瘤中 ATRX 突变状态：一项多中心研究	PO-4021	王慧慧	影像组学预测进展期前列腺癌生化复发的初步研究
PO-3991	周蕾蕾	基于 multi-scale CNN 的脑 CT 图像运动校正重建算法的临床验证研究	PO-4022	邬 超	基于多阶段集成网络的青少年特发性脊柱侧凸辅助诊断系统
PO-3992	梁江涛	用于区分国际神经母细胞瘤风险组分期系统的高风险和非高风险患者的 18 F-FDG PET/MRI 影像组学列线图	PO-4023	黎 格	人工智能 AI 在预测肺部亚实性结节 SSN 浸润性风险的研究
PO-3993	马庄宣	基于 Mimics 三维重建支气管树 及影像组学在慢性阻塞性肺疾病中的早期诊断价值	PO-4024	刘治超	基于卷积神经网络和注意力机制的深度学习非小细胞肺癌计算机辅助诊断模型
PO-3994	邓 铁	联合影像组学及深度学习在 CT 平扫上自动鉴别肺挫伤与社区获得性肺炎	PO-4025	姜 仪	基于增强 CT 影像组学术前预测祖细胞型肝细胞癌
PO-3995	王心怡	基于 T2 加权 MRI 瘤周联合瘤内影像组学模型在术前预测上皮性卵巢癌 FIGO 分期的价值	PO-4026	刘雨森	基于颈动脉超声影像组学结合临床指标的机器学习模型预测 2 型糖尿病患者脑卒中风险
PO-3996	杨 波	基于多模态空洞卷积神经网络人工智能技术辅助精准诊断急性胰腺炎的研究	PO-4027	宏 雪	CT 在 3D 打印技术中的应用
PO-3997	郭小芳	基于 MRI 影像组学预测直肠癌新辅助治疗预后	PO-4028	陈晓琴	融合血流动力学特征的基底动脉开窗与动脉粥样硬化斑块相关性研究
			PO-4029	潘 晶	基于胸部 CT 深度学习机会性筛查骨质疏松的有效性研究
			PO-4030	向 窦	4D Flow MRI 技术在无创诊断肝硬化患者临床显著性门静脉高压及食管胃静脉曲张风险中的应用
			PO-4031	杨雪茹	深度学习重建算法与 ASIR 重建算法对 CT 图像质量的对比研究：80kv、管电流调制 40mAs 条件下的体模实验
			PO-4032	周玉洁	基于深度学习模型实现急性缺血性脑卒中梗死核心及脑白

中华医学会 第30次全国放射学学术大会

CHINESE CONGRESS OF RADIOLOGY 2023

PO-4033	赵莹	质变性的多任务分割算法	PO-4065	李武超	影像 - 病理组学多尺度模型肾透明细胞癌预后预测
PO-4034	蒋可欣	基于增强 MRI 的深度学习术前预测肝细胞癌病理分级	PO-4066	彭文静	基于深度学习重建的快速扫描直肠 MRI 图像质量研究
PO-4035	冯小晨	基于 MRI 半月板 3D 卷积神经网络模型预测 48 个月内膝骨关节炎的发生	PO-4067	叶坤林	基于机器学习的影像组学特征用于在 CCTA 中鉴别冠脉的异常状态
PO-4036	曾梦	深度学习模型基于 MRI 对颈椎中央椎管、神经根狭窄程度分级	PO-4068	闫晓辉	智能快速共振 (IQMR) 在颅内血管壁磁共振成像中的应用价值
PO-4037	鱼婧涵	基于胸部 CT 图像的肺炎深度学习分类预测模型	PO-4069	郁耀辉	基于 CT 放射组学预测肺囊型包虫病活性的研究
		基于增强 ct 利用影像组学模型预测对结直肠癌卵巢转移疗效评估价值研究	PO-4070	李梦蕾	比较基于薄层和厚层 CT 图像的影像组学分析在 II 期结直肠癌预后预测方面的应用价值
PO-4038	刘飞雪	Quantitative measurement of areas in lumbar disc paravertebral muscle and vertebral body with automatic segmentation based on nnU-Net in patients with degenerative spinal deformity	PO-4071	周紫玲	基于小样本的 MRI 图像腹部区域脂肪自动分割
PO-4039	李延楠	双源 CT 心脏 + 全主动脉一站式成像三低扫描方案在心脏经导管主动脉瓣植入术 (TAVI) 术前评估中的应用	PO-4072	李亮	基于乳腺钼靶的深度学习模型在鉴别乳腺肿块方面的诊断价值评估
PO-4040	金倩娜	基于人工智能的计算机辅助检测系统有助于放射科住院医生提高 PI-RADS 的诊断准确性和效率	PO-4073	张帅	利用 CT 放射组学特征进行鉴别肺亚型侵袭性粘液腺癌和肺炎：多中心研究
PO-4041	何康文	预测膀胱癌肌层浸润状态的放射 - 代谢组学：一项初步研究	PO-4074	李春利	基于 CT、定量超声和血液指标的集成机器学习模型用于定量评估脂肪肝
PO-4042	周恒	基于多任务深度学习的全过程系统可自动诊断乳腺病变和预测腋窝淋巴结转移：多中心研究	PO-4075	李春利	基于平扫 CT 的影像组学预测肝相关事件发生
PO-4043	余苔痕	基于 CT 和深度学习预测肾透明细胞癌病理分级	PO-4076	赵致禾	基于 MRI 图像质量量化评估的乳腺腺体渐进式成长学习分割策略
PO-4044	席晓霖	基于 Bp-MRI 及 P504s、34 β E12、P63 表达状态影像组学模型预测早期前列腺癌	PO-4077	马超伟	动物颈椎和基于 CT 模型之间在 3D 打印中的几何和体积关系
PO-4045	施露	基于非对比增强 CT 的影像组学特征预测白血病脑出血患者死亡风险的研究	PO-4078	吴思雨	利用影像组学区分 PCNSL 的 GCB 亚型和非 GCB 亚型：一项多中心研究
PO-4046	牛晓玉	基于静息态功能磁共振评估网络游戏障碍患者大脑内在局部连接的静态和动态改变	PO-4079	邹文涛	基于 3D MRI 影像组学模型鉴别 IA 期宫颈癌与高级别鳞状上皮内瘤变的价值研究
PO-4047	李亚农	利用深度学习算法对血氧依赖水平功能磁共振进行高时间 - 空间分辨率 重建	PO-4080	赵鹏飞	基于磁共振环境分析预测宫颈癌同步放化疗疗效的临床研究
PO-4048	欧阳美翔	70KVp 管电压联合人工智能迭代重建算法显著提高了肺癌全身对比增强 CT 的图像质量，同时降低了造影剂剂量和辐射剂量	PO-4081	岳秋圆	铜死亡关键核心基因 FDX1 的泛癌预后价值评估与跨疾病、跨模态的影像组学模型的构建
PO-4049	佟晶	基于胸部 CT 心外膜脂肪影像组学列线图诊断冠状动脉慢血流的价值	PO-4082	敖平	人工智能在肋骨骨折 CT 诊断的应用研究
PO-4050	章茜	人工智能在乳腺摄影质量控制中的应用评价	PO-4083	张道恩	基于 CS-AI 技术的 3D PDWI 序列在 MRI 单髋关节薄层高分辨成像中的临床应用价值
PO-4051	林江南	基于深度学习磁共振血管成像脑动脉瘤自动检测效能研究	PO-4084	蒋贝	人工智能在颈动脉 CTA 中辅助诊断颈动脉狭窄的应用研究
PO-4052	曾钰灝	基于 13N- 氨水心肌灌注显像神经网络结合影像组学模型预测心肌存活	PO-4085	秦锐	冠心病伴认知障碍患者大脑功能中枢的改变和因果联系
PO-4053	赵茜茜	基于肺结节 CT 影像特征及人工智能软件定量特征预测肺腺癌生长模式	PO-4086	柏冬	基于 MR 联合超声的多模态影像组学在乳腺良恶性疾病中的诊断价值
PO-4054	黄肇恒	基于 CCTA 的冠状动脉周围脂肪组织影像组学诺模图预测主要心脏不良事件的多中心研究	PO-4087	胡婷丹	基于 MRI 图像的影像组学分析用于预测局部进展期直肠癌患者对新辅助治疗的治疗反应和预后：一项多中心研究
PO-4055	钟华	基于 Pix2Pix 生成对抗网络生成 40KeV 虚拟单能量 CT 图像及图像质量评价	PO-4088	施楠楠	深度学习肝胆期合成图像在肝纤维化分期诊断中的价值探讨
PO-4056	李武超	联合多尺度影像组学及病理组学模型预测肾透明细胞癌 SSIGN 风险评分	PO-4089	姚文君	基于压力图像的 CT 扫描范围坐标系重构方法研究
PO-4057	吴松雄	基于 MRI 和多参数级联网络的腮腺肿瘤分割	PO-4090	付子杰	基于 CT 影像组学对不确定肺结节进行侵袭性预测和亚型分类
PO-4058	苏伟	基于自体模校正的 PL-QCT 在骨密度及身体成分检测的应用初探	PO-4091	陈欣	利用 CT 图像特征预测神经母细胞瘤 MKI 指数的三级放射组学模型
PO-4059	帅欣艳	鉴别侵袭性肺曲霉病与非小细胞肺癌空洞病变的影像组学模型构建	PO-4092	王旭	肺结节低剂量 CT 对 AI 检测效能及影像组学特征的影响：体模研究
PO-4060	肖涵	光谱 CT 成像：双能 CT 和多能光子计数 CT 的技术原理	PO-4093	綦维维	人工智能 (AI) 自动后处理软件进行冠状动脉搭桥血管 CTA 后处理工作的初步探讨
PO-4061	杨明亮	乳腺 MRI 病灶分割技术进展	PO-4094	刚亚栋	人工智能自动定位技术在不同体型患者胸部 CT 成像中的应用
PO-4062	李涛	全模型迭代和混合迭代重建算法在人工智能软件辅助颅内动瘤诊断中的对比研究	PO-4095	刚亚栋	AI 等中心定位技术在冠状动脉 CT 造影中的应用及价值
PO-4063	李曼	基于深度学习网络构建 CT 肺动脉栓塞智能检测模型的研究	PO-4096	邹灿	蝶鞍三维重建技术对青少年长期服用抗精神药物致性早熟的临床应用分析
PO-4064	张宗军	基于深度学习骨密度定量分析和定量 CT 在老年人 CT 机会性骨质疏松筛查中的对照研究	PO-4097	邹灿	CT—CPR 评价呼吸道狭窄对 OSAS 制定个性化诊疗方案的临床价值分析

大会主要合作伙伴



GE HealthCare

UNITED 联影
IMAGING

PHILIPS

SIEMENS
Healthineers

Neusoft 东软医疗



Canon
CANON MEDICAL

WDM 万东



京新药业

BEACON 巨烽

XIFO

Cloud Magnet

Guerbet |



Carestream

商汤
sense time

深睿医疗
deepwise

数坤科技
SHUKUN

SUBTLE MEDICAL

康达卡乐福
KANGDA COLORFUL

推想医疗

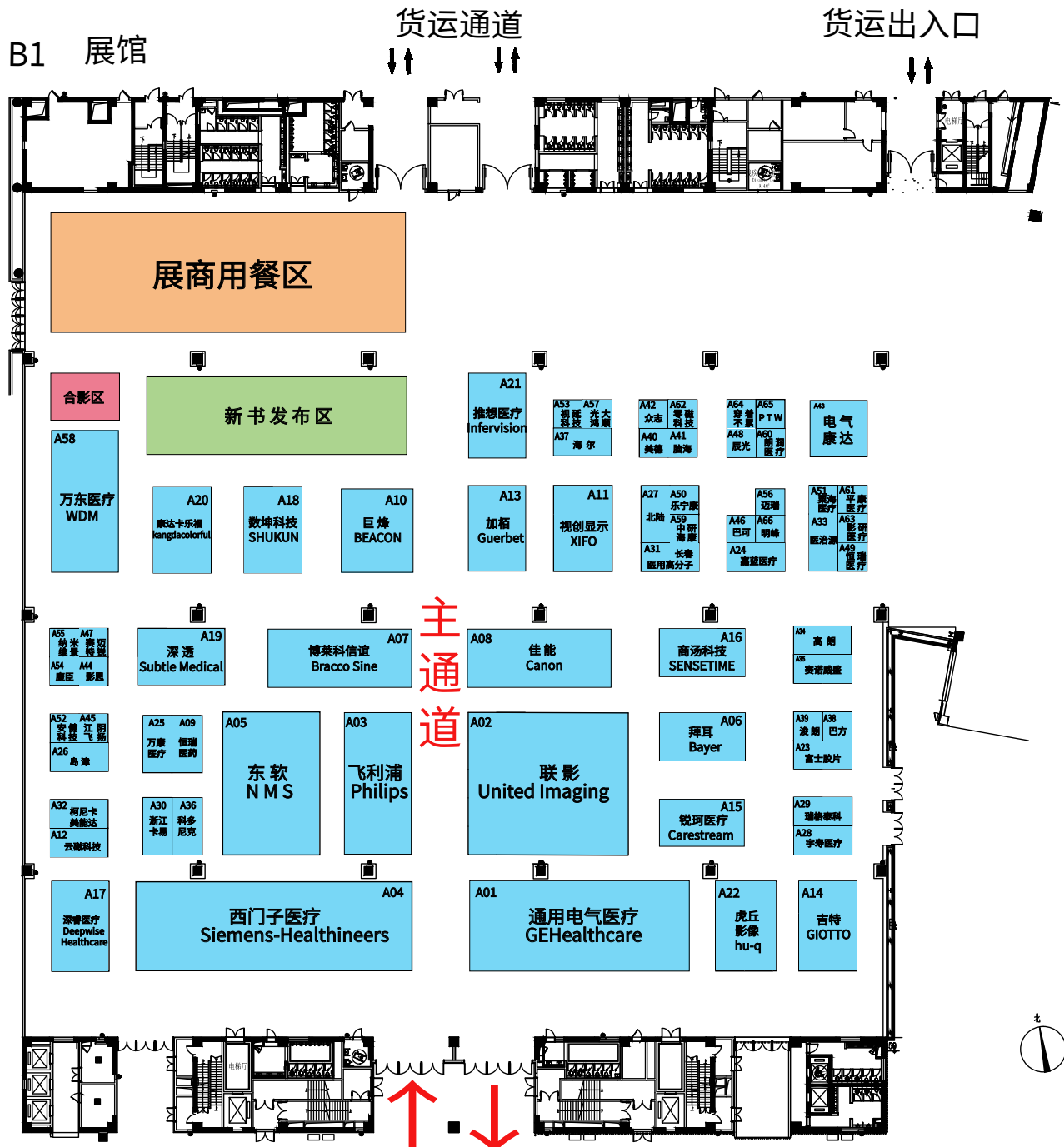
hu.q
虎丘影像

中华医学会 第30次全国放射学学术大会





展览平面图



参展商名录

企业名称	展位号	企业名称	展位号
通用电气医疗系统贸易发展(上海)有限公司	A01	医智源健康科技(杭州)有限公司	A33
上海联影医疗科技股份有限公司	A02	上海高朗医疗设备有限公司	A34
飞利浦(中国)投资有限公司	A03	赛诺威盛科技(北京)股份有限公司	A35
西门子医疗系统有限公司	A04	科多尼克(上海)贸易有限公司	A36
东软医疗系统股份有限公司	A05	明峰医疗系统股份有限公司	A66
拜耳医药保健有限公司	A06	巴方医疗科技(北京)有限公司	A38
上海博莱科信谊药业有限责任公司	A07	南京正大天晴制药有限公司	
佳能医疗系统(中国)有限公司	A08	慧影医疗科技(北京)股份有限公司	
北京万东医疗科技股份有限公司	A58	湖南浚朗科技有限公司	A39
江苏恒瑞医药股份有限公司	A09	深圳市美德医疗电子技术有限公司	A40
深圳市巨烽显示科技有限公司	A10	杭州脑海科技有限公司	A41
广州视创显示科技有限公司	A11	苏州众志医疗科技有限公司	A42
南京云磁电子科技有限公司	A12	影思软件科技(上海)有限公司	A44
加栢药业(温州)有限公司	A13	江阴市飞扬器械有限公司	A45
广州伟确医疗设备有限公司	A14	巴可(苏州)医疗科技有限公司	A46
锐珂亚太投资管理(上海)有限公司	A15	北京赛迈特锐医疗科技有限公司	A47
上海商汤智能科技有限公司	A16	上海辰光医疗科技股份有限公司	A48
杭州深睿博联科技有限公司	A17	恒瑞医疗	A49
数坤(北京)网络科技有限公司	A18	深圳市乐宁康医疗科技有限公司	A50
深智透医疗科技发展(上海)有限责任公司	A19	粟海信息科技(苏州)有限公司	A51
卡乐福医疗科技集团有限公司	A20	深圳市安健科技股份有限公司	A52
推想医疗科技股份有限公司	A21	北京视延科技有限公司	A53
虎丘影像(苏州)股份有限公司	A22	广州康臣药业有限公司	A54
上海电气康达医疗器械集团股份有限公司	A43	纳米维景(上海)医疗科技有限公司	A55
爱克发医疗系统设备(上海)有限公司		北京光大鸿顺科技有限公司	A57
上海九州智慧医学影像研究院		北京中研海康科技有限公司	A59
富士胶片(中国)投资有限公司	A23	苏州朗润医疗系统有限公司	A60
深圳迈瑞生物医疗电子股份有限公司	A56	平康(深圳)医疗设备科技有限公司	A61
上海嘉蓝仪器设备有限公司	A24	广东省零磁科技有限公司	A62
海尔集团(青岛)金盈控股有限公司	A37	影研医疗科技(上海)有限公司	A63
浙江卡易智慧医疗科技有限公司	A30	河北穿着不累医疗科技有限公司	A64
江阴万康医疗科技有限公司	A25	培德维辐射测量仪器(北京)有限公司	A65
岛津企业管理(中国)有限公司	A26	深圳蓝影医学科技股份有限公司	
北京北陆药业股份有限公司	A27	凯捷健生物技术咨询(北京)有限公司	
无锡市宇寿医疗器械有限公司	A28	南京巨鲨显示科技有限公司	
深圳瑞格泰科医疗科技有限公司	A29	正大天晴药业集团股份有限公司	
长春市医用高分子有限公司	A31	上海中长江通信技术有限公司	
柯尼卡美能达医疗科技(上海)有限公司	A32		



GE HealthCare

配置证调整政策落地，推进公立医院高质量发展



Revolution CT Power

- 超高端CT必备技术标准
- 160mm宝石宽体探测器
- 33MHU高能量子球管
- 4000次/秒 双瞬切能谱成像



先行CT

- 重新定义CT扫描新起点
- 40mm宽体探测器
- 全能机覆盖全部位检查
- 普及型CT翻倍扫描效率



SIGNA™ PET/MR

- 优异硬件平台
- 零回波准CT成像平台
- 专利临床科研应用



启元3.0T 磁共振

- 3T设备
- 6T效能
- 1台投入
- 2倍收益



珠峰3.0T 磁共振

- 日扫百人 效益保障
- 重疾全能 留住病人
- 专家常驻 使用无忧
- 专精特新 论文自由



纳米1.5T 磁共振

- 心·互联
5G互联：专属老师伴身边
- 双·数字
纳米材质：射频双向数字化
- 汉·智能
汉化设计：智能交互新国潮



SIGNA™ Voyager AIR

- 新硬件平台·用无忧图
- 全流程质控·标准化
- 超效能应用·高产出



GE HealthCare

可锐影®

钆特酸葡胺注射液

Clariscan®

Gadoteric Acid Meglumine Salt



安心守护 锐影可鉴

爱让细微不止被感受
也被看见

批准文号：国药准字HJ20220038、国药准字HJ20220037、国药准字HJ20220036。
禁忌：对本品的组成成分过敏者禁用。对其它钆鳌合物有过敏反应或可疑过敏反应史的患者也不应使用本品。
不良反应：在临床试验中，恶心、头痛、注射部位反应、冷感、低血压、寒颤、头晕、热感、灼痛感、皮疹、面部、味觉障碍和高血压是偶见（≥1/1000 - <1/100）的相关不良反应。
其他禁忌内容请参见不良反应详见说明书。

本广告仅供医学药学专业人士阅读 沪药广审(文)第270418-63228号。

钆特酸葡胺注射液

诊疗联动 融合新生

欢迎莅临 B1馆A02



uCT 960+
超高端640层CT

uMR 880

全身科研型3T磁共振

*uAI***FI***inside*



uAngio 960

「智慧仿生」机器人
血管造影X射线系统



uMammo 890i

业界首创高清低剂量
三维断层成像系统

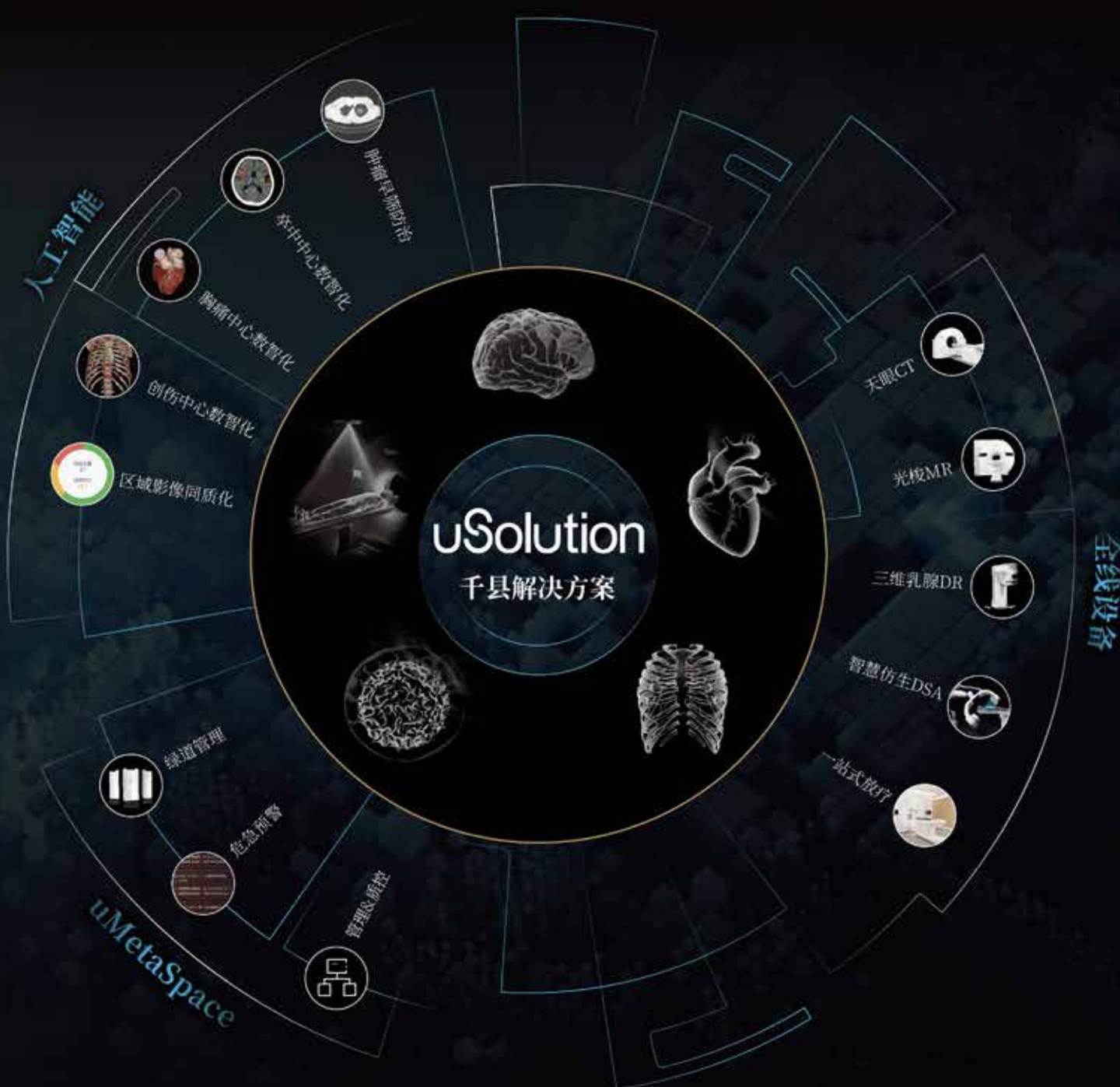
探索更多精彩



数智一体 赋能千县工程五大中心建设

卒中 / 胸痛 / 创伤 / 肿瘤 / 影像中心方案

源头整合影像、介入、AI与信息化技术的五大中心解决方案，
开创县域危急预警与诊疗协同新模式



PHILIPS

MR 5300

医用磁共振成像系统

MR 5300 全新一代BlueSeal系列产品

*BlueSeal为飞利浦官方宣传名称

魔方平台



魔方中控

魔方双链路

魔方线圈

BlueSeal 磁体

您的系统有一个密封的1.5T磁体，其在生产过程中将少量氮气封闭（密封）到磁体内，可供设备使用寿命内使用。

当发生磁场自然消失或可控磁场消除时，氮仍将处于磁体容器内，氮不能溢漏到检查室内。



PHILIPS

X射线计算机体层摄影设备

Spectral CT



让每一粒
光子分外闪耀

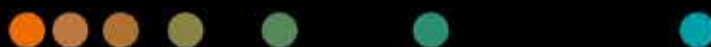
皓克Spectral CT

NAEOTOM Alpha®
with Quantum Technology

CT redefined.

The world's first photon-counting CT.

siemens-healthineers.com/NAEOTOM-Alpha

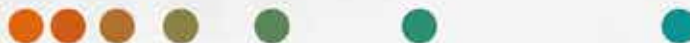


SIEMENS
Healthineers 

MAGNETOM Mica

跨越山海，以智共振

让每一家医院
都成为最值得信赖的地方



智慧影像 中国创

覆盖全球110多个国家
历史装机量达45000余台

MDaaS

医疗设备与数据服务



NeuEcho 15, NeuEcho 15 pro
彩超多普勒超声诊断系统
辽械注准20172050189



IVD
NT-1000, NT-1000P
全自动生化分析仪
辽械注准20172220198



PET/CT
NeuVise PET/CT
正电子发射及X射线计算机断层成像系统
国械注准20203050629
NeuVise Pro PET/CT
正电子发射及X射线计算机断层成像系统
国械注准20203060630



MRI
NeuMR Rena
磁共振成像系统
国械注准20223050652



CT
NeuViz Epoch
X射线计算机体层摄影设备
国械注准20203060462



DSA
NeuAngio 30C
医用血管造影X射线机
国械注准20193050988



XR
NeuVision 650
数字化医用X射线摄影系统
辽械注准20202060348



东软医疗系统股份有限公司

中国·沈阳浑南区创新路177-1号

邮编:110167

电话: (86 24) 2335 8888

www.neusoftmedical.com

禁忌症及注意事项详见使用说明书 请在医生指导下使用

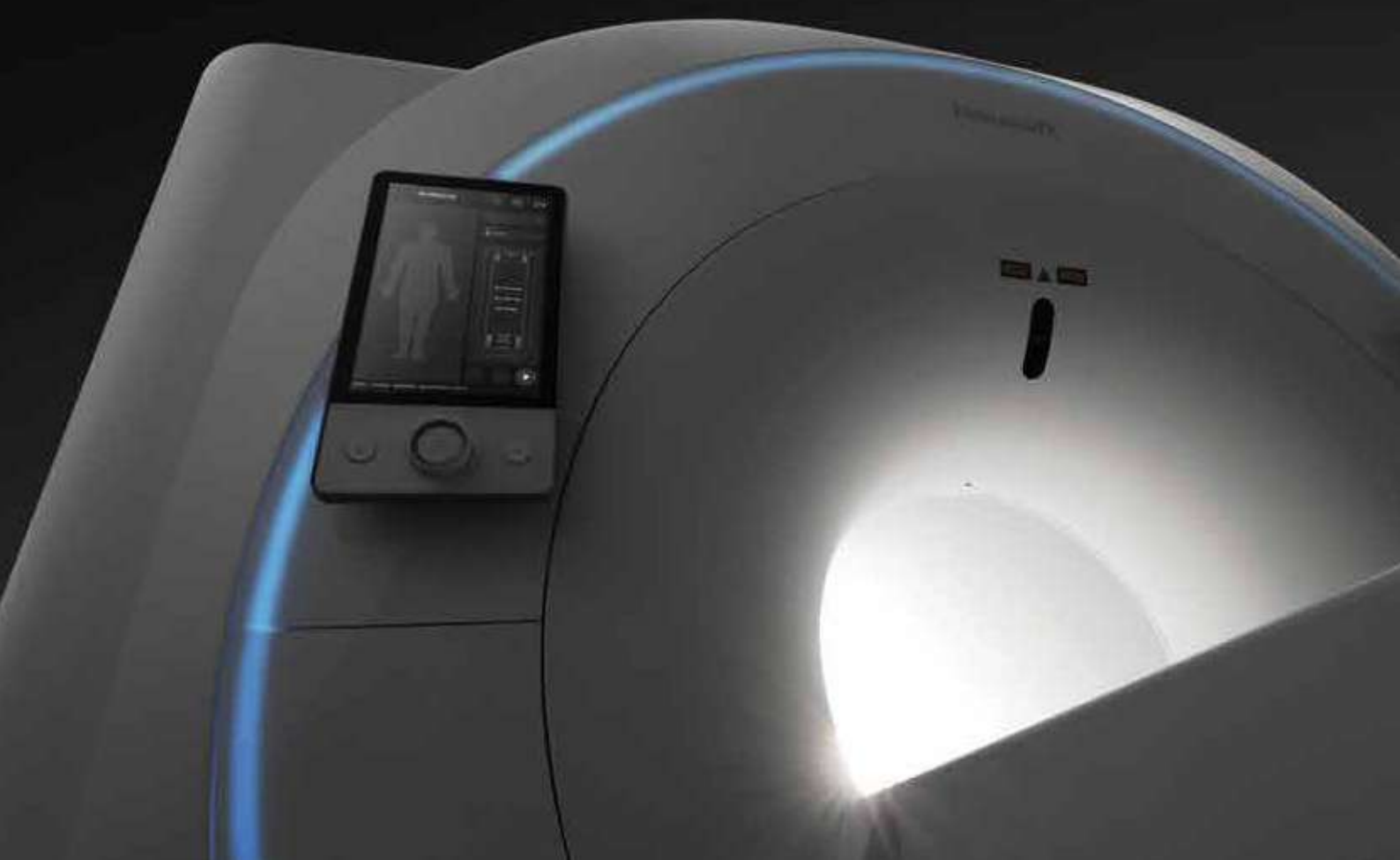
辽械广审(文)第240610-03002号

双能聚力 重构3.0T

业界首创双能磁共振 领航磁共振新发展

请前往B馆A05展台或扫描下方二维码

了解更多发布会信息



NeuViz Epoch+ 无极系列CT

用创新打破瓶颈，用技术突破极限，NeuViz Epoch+ 无极系列 CT 以 0.235s 全球最快转速、业内唯一 16cm 螺旋扫描重新定义超高端 CT。

CardiacInfinity

心无限

0.235s 极致转速，16cm 宽体探测器，结合新一代冠脉运动矫正技术，突破冠脉成像瓶颈，打造全“心”无限可能

ClearInfinity

影无界

以深度学习重建算法实现至清图像、至低剂量，追溯图像本质，打破影像边界，成就无界智慧影像

CreateInfinity

创无极

一站式专科解决方案，结合NeuAI全域人工智能平台，以无极表现共创临床&科研新高度





优维显®高浓低粘带来更好成像
质量¹，全年龄段人群证实安全性^{2,3}

**优维显®临床价值更优，可节约
额外医疗成本⁴⁻⁸**

经桡动脉PCI术⁹⁻¹¹, 优维显®370U为适用





全能钆剂 不同凡响



莫迪司——钆贝葡胺注射液

- 全身磁共振检查
- 肝特异性对比剂
- 2岁以上儿童及成人使用



上海博莱科信谊药业有限责任公司
Shanghai Bracco Sine Pharmaceutical Corp.Ltd.

国药准字H20054702
沪药广审(文)第 240723-09423号
本广告仅供医学药学专业人士阅读

【禁忌】

对本品的组成成分过敏者禁用。对其他钆螯合物有过敏反应史或不良反应史的患者也不应使用本品。

【不良反应】

使用含钆对比剂可引起不良反应，一般为轻至中度且为一过性的。临床试验中常见不良反应有头痛 (<10%)、恶心 (<10%) 和注射部位反应 (<10%)。完整不良反应详见说明书。



信
SINE
誼

迈越经典 超凡绝伦



典迈伦350——碘美普尔注射液

- 非常低的渗透压及粘滞度、无螯合剂
- 具有介入性冠状动脉造影适应症
- 甲状腺功能亢进非禁忌



上海博莱科信谊药业有限责任公司
Shanghai Bracco Sine Pharmaceutical Corp. Ltd.

国药准字 J20150023
沪药广审(文)第240307-09393号
本广告仅供医学药学专业人士阅读

【禁忌】

已知对碘美普尔或其任何辅料过敏。子宫输卵管造影。当怀疑或确定为妊娠时，以及在急性炎症期间，禁忌对女性生殖器官进行放射学检查。
禁止鞘内同时注射皮质类固醇和碘美普尔。为避免药物过量，当发生技术操作失误时，不能立即重复进行脊髓造影。

【注意事项】

分为与患者有关、与造影检查有关、在具有特殊病情患者（如甲状腺功能亢进症、结节性甲状腺肿）中的使用、动脉给药和静脉给药等情况，详见说明书。

【不良反应】

使用含碘对比剂可引起不良反应，一般为轻至中度且为一过性的。临床试验中常见不良反应有热感(<10%)、头晕和头痛(<1%)。完整不良反应详见说明书。

中国医疗显示行业标杆企业

医疗影像智能显示 · 人机界面技术创新与应用研究
国家级高新技术企业

智能显示

- ◎采集 ◎处理
- ◎传输 ◎管理
- ◎显示 ◎应用



四大
产品线

人机界面

- ◎智能触控
- ◎核心部件
- ◎系统集成

解决方案

- ◎阅片中心
- ◎数字化手术室
- ◎超声质控

- ◎智能铁磁探测仪
- ◎无磁摄像监控系统
- ◎无磁消毒仪/转运车
- ◎磁共振射频线圈
- ◎X射线防护服/帘

中小设备

深圳市巨烽显示科技有限公司是一家致力于医疗影像智能显示和人机界面技术创新与应用研究的
国家级高新技术企业，产品线覆盖智能显示、人机界面、解决方案、中小设备。

20^年
研发生产经验

8000⁺
国内终端医院客户

95%
全球知名医疗设备厂家

100⁺
出口国家和地区

深圳市巨烽显示科技有限公司
Shenzhen Beacon Display Technology Co., Ltd.

电话: +86 755 3686 8362 传真: +86 755 2699 5755

深圳市龙华区大浪街道横朗社区福龙路旁恒大时尚慧谷大厦(东区)6栋15楼

www.beacon-display.cn



▲ 查看更多 ▲



GIOTTO吉特乳腺机的生产厂商 IMS GIOTTO S.P.A.
(艾蒙斯吉特有限公司), 1965 年成立于意大利博洛尼亚, 是
行业内唯一专注于设计、研发、制造乳腺机的厂家, 乳腺X线
影像领域领先的国际品牌。

展位号
A 1 4



**GIOTTO
IMAGE 3D**

经典圆形臂



**GIOTTO
CLASS**

灵动轻巧



IMS GIOOTTO S.P.A.

⑩ VIA SAGITTARIO, 5 - 40037
SASSO MARCONI - BOLOGNA - ITALY
⑨ +39 051 84 68 51
✉ IMSCOMM@IMSGIOTTO.COM
⑩ WWW.IMSGIOTTO.COM

WIDE CODE
偉確醫療

广州伟确医疗设备有限公司

⑩ 广州市天河区天河东路153号国德大厦10层01单元
⑨ 020-8755 1121
✉ MARKETING@WIDECODE.COM.CN
⑩ WWW.WIDECODE.COM.CN



提供全球
医疗成像
解决方案

推进全球医疗保健事业需要具备什么？

承诺。
协作。
专注。

居于锐珂医疗价值观核心的三个词汇

多年来，我们作为一家全球性企业在医疗成像领域一直居于前沿地位。数千名专业人员在奋进的道路上始终不曾停下脚步，只为确保我们的客户处于他们各自领域的前沿地位——在达成更高生产率的同时，进行有效的成本控制，并提供优质患者护理服务。

作为医疗成像领域的洞察者，我们可以为您开创一条更具智慧的发展道路。

我们承诺，无论现在还是未来，我们都将不断推出创新的、高性价比的医疗保健解决方案，以应对这些趋势和挑战。



锐珂医疗官方二维码，
更多内容请关注二维码了解详情



商汤智慧医疗以成为“AI 驱动的‘智慧医院’设计赋能者”为战略目标，秉持“以患者为中心，以质量为核心”的理念，致力于为医院、医生、医疗企业提供领先的智慧化转型方案。

团队自主研发并打造了融入医疗大模型的“SenseCare® 智慧医院”综合解决方案，围绕智慧诊疗、智慧就医、智慧医院管理、智慧医学科研、智慧医疗云五大场景，打造“五位一体”产品矩阵，为合作伙伴提供全栈式多维赋能。在多模态医疗基础模型群强大的算法能力支撑下，该方案为医院提供了覆盖诊疗愈全流程的 AI 辅助，助力多学科临床方向日常诊疗，同时有效赋能患者就医、医院管理、医疗科研转化等环节；针对区域医联体，方案致力于帮助其构建开放、智能、安全、便捷的医疗云平台，实现影像数据互联互通、5G+ 远程会诊等众多功能，推动分级诊疗协同和区域均质化医疗发展。

团队已与上海交通大学医学院附属瑞金医院、四川大学华西医院、郑州大学第一附属医院等顶尖医院开展广泛合作，共同探索医疗领域的科技创新与应用落地。

22 张 国内外医疗器械认证，业务覆盖内地、港澳、东南亚、中东多国

5 项 获得 5 项智慧医疗世界大赛冠军 / 金奖

80 篇+ 发表超过 80 篇顶级期刊及顶级会议论文

10 项+ 承担 10 余项国家级、省级重大科技项目

全球第5 IPRDaily “2020 全球智慧医疗 -AI 医学影像辅助诊断发明专利排行榜”

700 件+ 拥有医疗行业全球专利资产



[业务咨询]

400 900 5986 (周一至周五 09:30-18:00)

[商务合作]

business@sensetime.com

[媒体垂询]

pr@sensetime.com



了解商汤科技
智慧医疗



获取商汤科技
智慧诊疗宣传册

deepwise MetAI



deepwise MetAI 构建智慧影像新纪元

深睿医疗 Deepwise MetAI 智慧影像 & 大数据通用平台，应用计算机视觉、自然语言处理、深度学习等人工智能技术，实现影像扫描后处理、打印、诊断、会诊、教学、科研的一站式影像科全周期智能管理，并将检查及诊断数据标准化与结构化，助力影像科数智化的全面演进，实现顺畅的诊疗流程及精准的临床诊断，还可赋能多学科专家会诊、科研提质增效、影像科室能力建设等领域，创造一个高效、精准、数据自由的影像科，全面进入智慧影像的新纪元！

流程顺畅

- Deepwise MetAI深度融合与打通影像科工作流，无缝衔接，顺畅流程

数据流通

- 打破数据壁垒，实现数据的结构化存储与自由流通，形成数据资产

提质增效

- AI 全工作流辅助，大幅提升工作质量与效率，解放科室人力

自主科研

- 结构化数据可独立或交叉研究，助力实现高效的自主临床科研





数坤数字医生

用AI重塑医疗健康

覆盖CT、MR、DR、DSA、US等多种模态

贯穿筛、诊、治、管、研全部流程

覆盖心、脑、胸、腹、肌骨等重要部位的重大疾病

获得NMPA、FDA、MDR CE资格认证

数坤科技是世界领先的智慧医疗健康科技平台，坚持用中国原创、全球引领的技术为医疗健康行业提供智慧产品及创新解决方案。数坤科技致力于构建全球领先医疗健康大脑“数字人体”，针对心脑血管疾病和肿瘤等重大常见病和慢病，自主研发了覆盖疾病筛查、辅助诊断、治疗决策全流程的“数字医生”产品组合，并成功应用于智慧影像、智慧手术、智慧健康三大领域。

截至目前，数坤科技是全球唯一一家在心、脑、胸三个关键领域同时拥有NMPA三类证、MDR CE认证的医疗AI高科技企业。数坤科技的数字医生产品已经在全国近3000家医疗健康机构高粘性日常使用，包括超90%的百强医院及80%的目标公立三甲医院，市场覆盖率行业第一。



了解数坤科技最新动态



深透科技

深透科技

以生成式人工智能变革医学诊疗影像

深透科技是我国**创新AI医学影像公司**
致力于使用人工智能技术进行图像重建增强
软件产品可用于**优化医学影像的图像质量及成像流程**
实现减少造影剂使用量和加快成像速度的目的

凭借全球先进的AI技术及商业落地服务
深透科技可解决医学影像检查排队时间长、耗时长、质量不一致
存在潜在危害(辐射剂量)等难题
实现**更高效、更优质、更安全、更智能**的影像诊疗服务



人工智能图像增强领域的领导者

400-765-1608
www.subtlematica.cn



SupPET ®



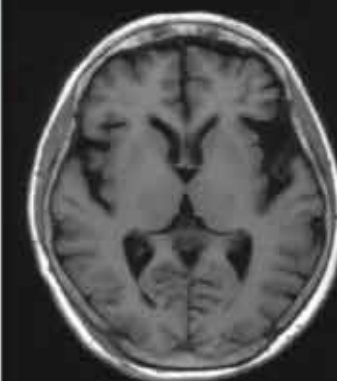
Original Scan

ACQUISITION TIME:

16 min



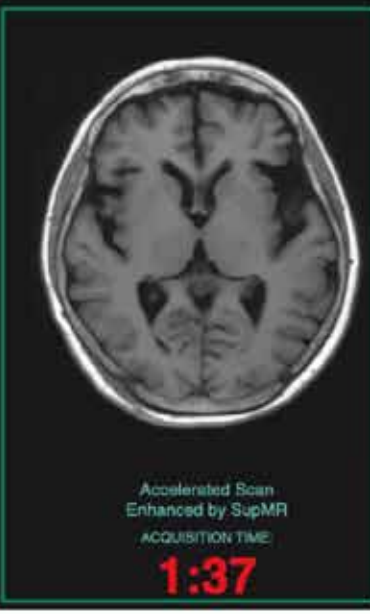
SupMR ®



Original Scan

ACQUISITION TIME:

2:55





医疗科技 让健康生活更多彩

康达卡乐福医疗科技集团有限公司成立于2011年，公司总部位于浙江嘉兴，在上海、沈阳、洛阳设立了研发中心和工厂。卡乐福医疗依托高校和医院，产学研医相结合，致力于为全球客户提供医学影像、口腔、康复、核医学及放疗等医疗器械解决方案，产品包括DR、CT、MR、US、DSA、骨密度仪、口腔CT等。公司使命是用中国智慧把国际先进的高端医疗设备技术与中国优秀的加工制造能力结为一体，为中国及全球市场提供高性能医学影像设备综合解决方案，让健康生活更多彩。



Fophie Free 1.5T MR (无液氮)

康达卡乐福医疗科技集团有限公司

浙江省嘉兴市嘉善县惠民街道春达路8号A-3幢



KF-100U 动态U臂DR



LKC-650X 悬吊DR



KRF-100 多功能DRF



Apricus DEX100 双能X线骨密度



LKC-550S 双立柱DR





全系列智能解决方案

AI改善生命健康

InferRead® 医学影像解决方案 ---



InferRead CT Lung
肺部疾病智能解决方案



InferRead CT Target Reconstruction
肺结节CT靶重建和结构化报告解决方案



InferRead CT Bone
胸部骨折智能解决方案



InferRead CT Coronary
心血管智能解决方案



InferRead CT Cerebral
脑血管智能解决方案



InferRead CT Stroke
脑卒中智能解决方案

InferOperate® AI- 4D智能手术规划系统 ---



InferOperate Thorax Planning
AI-4D胸肺智能手术规划系统



InferOperate Liver Planning
AI-4D肝胆智能手术规划系统



InferOperate Urology Planning
AI-4D泌尿智能手术规划系统

InferScholar® 医教研平台解决方案 ---



InferScholar
AI学者科研平台



InferMatrix
AI算法集成与转化平台



InferEducate
AI互动教学平台



推想医疗公众号



推想医疗视频号



推想研学社

推想医疗科技股份有限公司

010-86462323

contact@infervision.com

<http://www.infervision.com>

爱康道[®]

专注无磁无源无金属通信23年

铸就 **无源金属** 通信技术世界发明专利

解决了传统核磁共振一项难题

SM02型

无磁无源无金属双路通信设备

实现核磁共振独特的功能：

- 1、实现了大噪声下医患随时清晰通话。
- 2、由于无磁无源无金属保证成像质量。
- 3、全程监控患者的呼声提高安全性能。
- 4、ENC和触摸式智能系统科技尽显。



VM01型 核磁专用无磁监控系统

产品优势：

- 1、自带大容量存储硬盘，支持高清回放，便于查看历史记录。
- 2、1080P高清解码录像机+300W变焦镜头+彩色液晶显示，确保高清画面质量。
- 3、合理的机身设计，占用空间小，使用和维护更方便。
- 4、更有2路、4路监控及双屏独立单画面显示功能，可供选择订制。

官网

上海中长江通信技术有限公司

电话：4008-210-992 021-58228175

官网：www.zcjtt.com

邮箱：zcj@cncaeae.cn

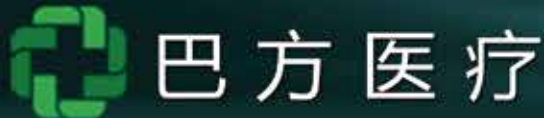


胶片自助取袋智能终端

小细节彰显大智慧



操作简便 | 智慧体验 | 放射流程 | 彰显公益 | 降耗提效



智能设备与智慧服务探索者
助力医疗事业高质量发展

一码一袋

凭借检查单码/取片
码/医保码/医保卡等
识别方式扫码取袋。

助推环保

符合“禁塑令”要求，
胶片袋采用新型全
生态降解环保材质。

智能管理

容量/库存/消耗量以
及用尽提醒/故障提
示等运行监控功能。

可定制化

机体与耗材可定制
设计印刷，与医院
主题文化相得益彰。

解放人工

24小时无人值守自
助服务模式，全面
解放人工劳动力。

杜绝浪费

自助终端代替自取，
智能识别，仅放射
检查患者取袋。

可视宣教

19寸显示屏，可拓
展提供多种健康宣教
及检查指导动画。

质量保证

采用伺服电机等高质
量组件，杜绝频发故
障拒绝业务中断。

更多产品与技术服务敬请联系我们

- 数字影像刻录系统与数字胶片
- 全流程智能医技预约分诊系统
- 电子诊疗档案自助服务终端
- 医学影像数字化示教解决方案

巴方医疗科技（北京）有限公司

电话：010 - 8409 7986

邮箱：sales@bj-bfm.com

地址：北京市朝阳区北沙滩甲1号中科电大厦710



健贝安

碘克沙醇注射液

大浪淘沙 安心之选

唯一等渗碘对比剂，造影安全首选



正大天晴药业集团
CHIATAI TIANQING PHARMACEUTICAL GROUP



多典®
碘普罗胺注射液
Iopamide injection

多重优势之选 经典之选

高浓低黏，血管和脏器造影理想之选！

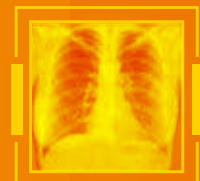


正大天晴药业集团
CHIATAI TIANQING PHARMACEUTICAL GROUP



公司简介

虎丘影像(苏州)股份有限公司,是一家专注于各类影像输出设备、耗材研发与生产的高新技术企业、苏州市独角兽培育企业、国家级专精特新“小巨人”企业;医疗产品主要有热敏胶片、医用图像打印机、多功能自助取片机等。



热敏胶片



多功能自助取片机

企业生产备案号:苏苏食药监械生产备20182001号

医械广告批准文号:苏械广审(文)第240613-08424号

产品备案号:热敏胶片:苏苏械备20171191号 & 苏苏械备20201252号 多功能自助取片机:苏苏械备20171327号

*禁忌内容或注意事项详见说明书

*请参照说明书或在公司专业人员指导下使用本产品



虎丘影像(苏州)股份有限公司

电话:0512-66368881 全国服务热线:400-833-7771 传真:0512-66367771 邮编:215163

电子邮箱:sales05@hu-q.com 网址:www.hu-q.com 地址:苏州高新区天目山路19号

区域销售及服务机构

北京:010-65818677

西安:029-89651925

成都:028-86662208

武汉:027-82750680

广州:020-83650969

长春:0431-82787855



万康医疗

www.magtron-inc.com

地址：江苏省江阴市东盛西路6号A7-2

电话：(0510) 8160 2320

传真：(0510) 8160 2320

邮箱：info@magtron-inc.com



提供磁共振高清成像解决方案



16/32/48/64通道头线圈 (科研)



8/16/32通道颅颈血管线圈



8/16/32通道头线圈



8/16/32通道头颈联合线圈



16/32通道体部线圈



32通道心脏线圈



16通道心脏线圈



8/16通道乳腺线圈



8/16/32通道甲状腺线圈



8/16通道颈动脉线圈



8/16通道立体定向线圈



8/16通道婴儿线圈



8/16通道婴幼儿头脊柱线圈



8/16通道肩关节线圈



8/16通道膝关节线圈



8/16通道腕手线圈



8/16通道踝关节线圈



8通道体线圈



8通道关节线圈



8通道大柔线圈



8通道腹部线圈



8通道心脏线圈



多通道眼部线圈



8/16通道兔子线圈



多通道大/小鼠线圈



心血管图像处理软件



MRE磁共振弹力成像



胎儿心脏MRI门控



Magtron磁共振图像
后处理系统



中国研创

用诚挚产品和创新服务赋能医者，共创医疗价值，
做医者值得信赖的长久伙伴和智慧之选。

COO-700系列 通用血管造影材料耗材包 国械注准20200001
Viann LST系列 磁共振扫描系统 国械注准20200004
TURBONON 1200 X射线计算机体层摄影设备 国械注准2022000148
DRF-T系列 适配螺旋CT射线机 国械注准2022000214
斯兰方1000L系列 整合型乳腺X射线机 国械注准2022000129
1500系列 移动DR摄影X射线机 国械注准2022000187
蒙纳吉监护仪 计算机监护评估组合 Ⅲ类稿 国械注准20091540067号 批文:

原研原创 坚实中国影像力量

1955年

拓新初创

68载

匠心如磐

30,000⁺

年服务用户

100,000⁺设备

遍及全球

矢志不移科技创新路

1955年

万东成立，自主研发的X射线产品进入国内卫生机构

1989年

成功研发大型C臂

2005年

万东在美国安装

磁共振i_Open 0.36T

2022年

自主研发无液氦超导磁共振、全幅DR

1986年

成功研发1250mA大型X射线产品

1997年

公司于上海证券交易所上市

2006年

推出自主研发的大型动态平板DSA

2016年

公司打造智能工厂、智能服务和远程影像诊断全新服务体系

2023年

自主研发Open CT

*Max*TM
3
ulrich*easy*INJECT

德国ulrich[®] 全自动造影剂注射器



卫生 安全

- 封闭系统
- 患者端气泡监测
- 无接触安全接头



经济 高效

- 低成本耗材
- 优化造影剂管理
- 高效工作流程



快速 简单

- 每日仅需设置一次
- 快速更换患者
- 直观的操作界面



德国原装进口

ulrich*INJECT*
CT motion™



New 造影剂增强乳腺X检查
(CEDM/CESM)

JALAN 嘉蓝中国

地址：上海市普陀区华池路 58 弄 5 号 416 室

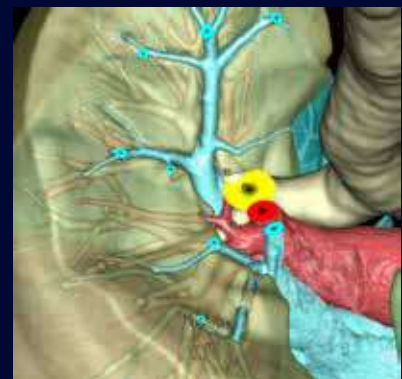
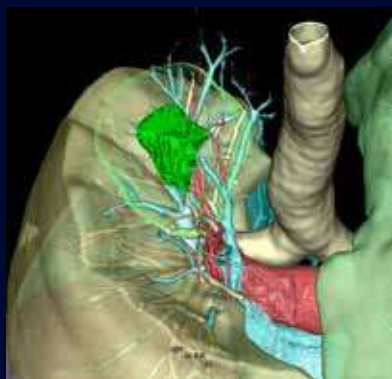
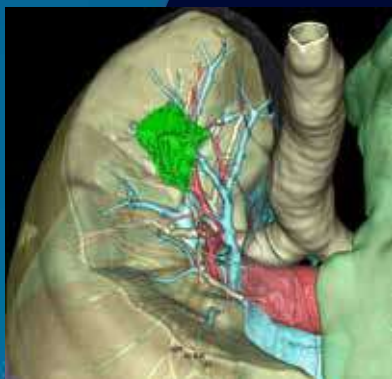
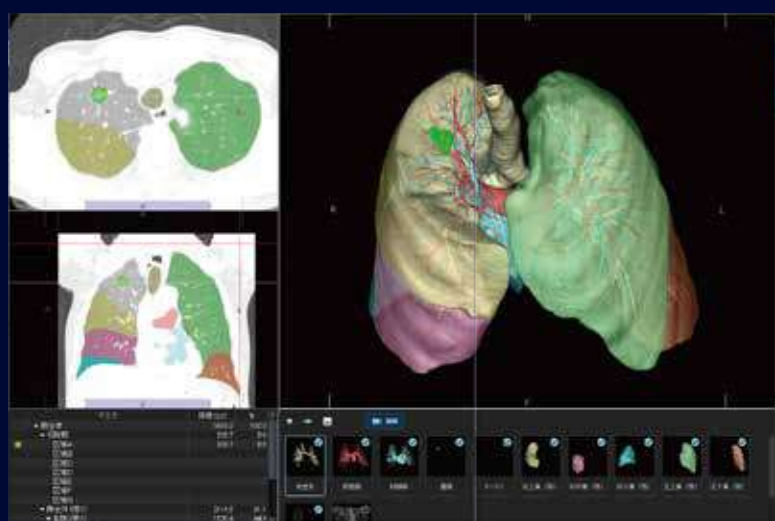
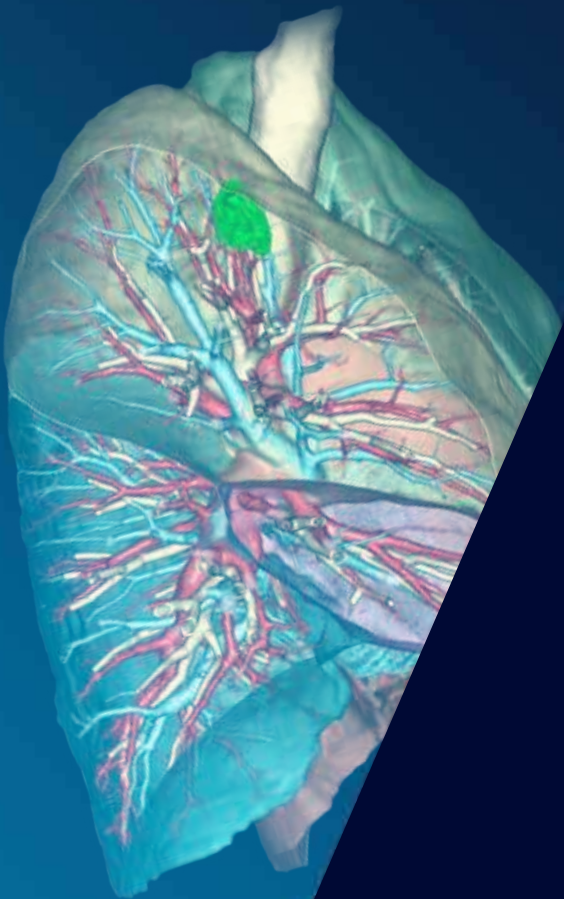
电话：+86 21 5290 3205

邮箱：jalan@s-jalan.com

ulrich
medical

ziostation RE\ORAS

全球首发 “平扫” CT 肺手术切除计划



高精度的肺部分段及肿瘤提取 多种手术切除方式模拟

树桩视图精准模拟术后残端